RÉPUBLIQUE TOGOLAISE
Ministère de l'Éducation nationale

CONSEIL AFRICAIN ET MALGACHE POUR L'ENSEIGNEMENT SUPÉRIEUR

Université de Lomé

UNIVERSITE DE KARA

7ème édition

7JSDC

JOURNÉES SCIENTIFIQUES DU CAMES

9-12 MARS 2026

Palais des Congrès
Université de Lomé

Thème : *« Quelle Recherche scientifique pour une Afrique solidaire, résiliente et développée : vers une politique commune ambitieuse de Recherche dans l'espace CAMES ».*

Livre des résumés
Abstract Book

SANTÉ
HEALTH

DFG Deutsche Forschungsgemeinschaft
German Research Foundation

Table des matières / Table of Contents

Accouchements chez les gestantes porteuses d'un utérus unicicatriciel au Centre Hospitalier et Préfectoral de Sotouboua au Togo de juin 2023 à juin 2025 25

Deliveries among pregnant women with a single-scar uterus at the Sotouboua Prefectural Hospital Center in Togo from June 2023 to June 2025 25

Analyse comparative des profils de résistance aux antimicrobiens des entérobactéries isolées du portage chez des patients ambulatoires et des infections cliniques en milieu urbain 26

Comparative analysis of antimicrobial resistance profiles in Enterobacteriaceae isolates from outpatient carriages and clinical infections in an urban setting 26

Analyse coût-efficacité de la chimioprophylaxie du paludisme saisonnier chez les enfants de moins de 5 ans dans le département des Collines au Bénin en 2025 28

COST-EFFECTIVENESS ANALYSIS OF SEASONAL MALARIA CHEMOPREVENTION AMONG CHILDREN UNDER 5 YEARS OLD IN THE COLLINES DEPARTMENT, BENIN, IN 2025 28

Analyse de la disponibilité de dispositifs orthopédiques implantables au bloc opératoire du CHU d'Angré d'octobre à décembre 2024 30

Analysis of the availability of implantable orthopedic devices in the operating room at Angré University Hospital from October to December 2024 30

Annonce du diagnostic de cancer en contexte de pays à ressources limitées: expérience de Bobo-Dioulasso 32

Disclosure of cancer diagnosis in a low-resources setting: experience from Bobo-Dioulasso 32

Appauvrissement lié aux dépenses de santé en côte d'ivoire : fréquence et inégalités au niveau des ménages 34

Health expenditure-related impoverishment in Côte d'Ivoire: frequency and inequalities at household level 34

Aspects épidémiologiques et étiologiques des décès néonatals à l'hôpital de Bè au Togo 35

Epidemiological and etiological aspects of neonatal deaths at the Bè hospital in Togo 35

Aspects expérimentaux des dysfonctions sexuelles associées au chlorhydrate d'oxycodone chez le rongeur 36

Experimental aspects of sexual dysfunctions associated with oxycodone hydrochloride in rodents 36

Association entre les polymorphismes rs11003125 et rs7096206 du promoteur du gène MBL2 et l'infection par le virus de l'hépatite B au Burkina Faso 38

Association between MBL2 gene promoter polymorphisms rs11003125 and rs7096206 and hepatitis B virus infection in Burkina Faso. 38

Audit des décès néonataux au Centre Hospitalier Universitaire de Kara 40

audit of neonatal deaths at the Kara University Hospital Centre 40

AUTOMEDICATION CHEZ L'ENFANT A LOME, TOGO. 41

SELF - MEDICATION AMONG CHILDREN IN LOME, TOGO. 41

Caractéristiques des patients ayant des dépenses pharmaceutiques élevées en Côte d'Ivoire 43

Characteristics of high-cost users of prescription drugs in Côte d'Ivoire 43

Comparaison du Profil epidemiologique du Paludisme avant et pendant l'intervention vaccinale dans six districts de la région du Sud-Ouest Cameroun 45

Comparing Epidemiological Profile of Malaria Before and During Vaccine Intervention in Six Districts of the South West Region of Cameroon 45

CONCEPTION D'UN OUTIL PRATIQUE DE GESTION DES DISPOSITIFS MEDICAUX : GENERALITES SUR LES DISPOSITIFS MEDICAUX 47

DESIGN OF A PRACTICAL TOOL FOR MANAGING MEDICAL DEVICES: GENERAL KNOWLEDGE ON MEDICAL DEVICES 47

Déplétion des réserves énergétiques impliquée dans la virulence de Metarhizium pingshaense contre An. gambiae s.l., vecteur du paludisme 49

Energy depletion drives native Metarhizium pingshaense virulence in malaria vector Anopheles gambiae s.l. 49

Dermatite atopique en milieu hospitalier : une étude cas-témoins selon l'approche One Health ... 50

Atopic dermatitis in a hospital setting: a case–control study using the One Health approach 50

Détermination des intervalles de référence de la créatininémie et de l'urémie chez les enfants de 1 à 5 ans 52

Determination of reference ranges for creatinine and uremia in children aged 1 to 5 years 52

Étude comparative des performances de ChatGPT-4, Claude, Gemini, Mistral et Perplexity sur des questions à choix multiples en cardiologie 54

Comparative Study of the Performance of ChatGPT-4, Claude, Gemini, Mistral, and Perplexity on Multiple-Choice Questions in Cardiology 54

Étude épidémiologique des hémoglobinoses à profils électrophorétiques particuliers en côte d'ivoire 56

Epidemiological study of hemoglobinopathies with specific electrophoretic profiles in côte d'ivoire 56

Evaluation de la qualité des résultats des valeurs de contrôle de quelques paramètres biochimiques (Glycémie, Créatinémie et la Transaminase TGP) au laboratoire de l'Hôpital de Zone de DJIDJA ABOMEY AGBANGNIZOUN au Bénin 57

Evaluation of the quality of results for control values of some biochemical parameters (blood glucose, creatinine and transaminase TGP) at the laboratory of the DJIDJA ABOMEY AGBANGNIZOUN District Hospital in Benin 57

EVALUATION DES CAUSES DES INTERVENTIONS CHIRURGICALES DANS LES ELEVAGES D'OVINS ET DE LEUR PRISE EN CHARGE DANS LES CABINETS VETERINAIRES DE LA REGION DE DAKAR AU SENEGAL 58

EVALUATION OF THE CAUSES OF SURGICAL INTERVENTIONS IN SHEEP FARMS AND THEIR TREATMENT IN VETERINARY CLINICS IN THE DAKAR REGION OF SENEGAL 58

Evaluation des connaissances du personnel soignant des pôles meres-enfants sur la douleur néonatale dans la région des plateaux au Togo. 60

Knowledge assessment of neonatal pain among Maternal and Child Healthcare providers in the Plateaux Region, Togo 60

Facteurs associés à la transmission du VIH de la mère à l'enfant dans la commune de Kloto au Togo. 62

Factors associated with mother to child transmission of HIV in the community of Kloto in Togo. ... 62

Facteurs associés aux mauvaises pratiques en matière de prévention de l'hypertension artérielle chez les professionnels de la coiffure à Parakou, au Bénin en 2025 63

Title: Factors associated with poor practices in preventing hypertension among hairdressing professionals in Parakou, Benin in 2025 63

Facteurs de risque environnementaux du cancer du sein au Togo : une étude cas-témoins dans une perspective One Health 64

Environmental Exposures and Breast Cancer Risk in Togo: A One Health Perspective 64

Facteurs de risques des nouveau-nés de faible poids de naissance au Togo : étude cas témoins ... 65

Risk factors for low birth weight newborns in Togo : a case-control study 65

Identification d'un nouvel allèle HLA-C*07:1194N par séquençage de nouvelle génération en Côte d'Ivoire 66

Identification of a Novel HLA-C*07:1194N Allele by Next Generation Sequencing in Côte d'Ivoire 66

Impact des variants d'APOBEC3G sur la sensibilité à l'hépatite B chronique 68

Impact of APOBEC3G variant on chronic hepatitis B susceptibility 68

Infection urinaire dans le service de néphrologie du CHU Sylvanus Olympio de Lomé 70

Urinary tract infections in the Nephrology Department of Sylvanus Olympio University Hospital of Lomé 70

LA TUMEUR DE BUSCHKE LOWENSTEIN ET GROSSESSE A PROPOS D'UN CAS AU CHUD OUEME, BENIN EN 2025 72

BUSCHKE-LOWENSTEIN TUMOR AND PREGNANCY: A CASE REPORT AT CHUD OUEME, BENIN IN 2025. 72

L'accès aux traitements antirétroviraux dans le district sanitaire de Sakassou (Centre, Côte d'Ivoire) 73

Access to antiretroviral treatments in the Sakassou health district (Central Côte d'Ivoire) 73

Morbi-mortalité chez les enfants de 0 à 18 ans dans le service de pédiatrie au Centre Hospitalier Régional de Tsévié. 74

Morbidity and mortality in children aged 0 to 18 in pediatrics departement of Tsevie Regional

Hospital Center. 74

Ouverture du scaffold imidazo[4,5-c][1,6]naphthyridin-4(5H)-one par conception rationnelle d'une nouvelle structure 75

Opening of the imidazo[4,5-c][1,6]naphthyridin-4(5H)-one scaffold by rational design of a new structure 75

Pollution chimique (HAP et ETM) de la nappe libre du Sud-Est forestier de la Côte d'Ivoire 76

Chemical pollution (PAHs and TMs) of the unconfined aquifer in the southeastern forest region of Côte d'Ivoire 76

Prévalence du poliovirus dans le cadre de la surveillance environnementale et du confinement de janvier 2020 a juin 2023 au Ouagadougou et Bobo Dioulasso au Burkina Faso. 77

Prevalence of poliovirus in environmental surveillance and containment from January 2020 to June 2023 in Ouagadougou and Bobo-Dioulasso, Burkina Faso. 77

Prévalence du virus de la rubéole dans le système de surveillance épidémiologique au Burkina Faso de 2001 a 2021. 78

Prevalence of rubella virus in the epidemiological surveillance system in Burkina Faso from 2001 to 2021. 78

Profil d'expression de l'enzyme APOBEC3G dans la chronicité de l'hépatite B 79

APOBEC3G expression profile in chronic hepatitis B 79

Profil lipidique au cours du syndrome néphrotique chez les enfants reçus au Centre Hospitalier Universitaire Yalgado Ouédraogo 81

Lipid profile in nephrotic syndrome in children admitted to the Yalgado Ouédraogo University Hospital Center 81

Profil phénotypique Rh-Kell chez les donneurs de sang au Togo 83

Rh–Kell Phenotypic Profile among Blood Donors in Togo 83

Tendances et facteurs associés à l'utilisation d'au moins quatre visites de soins prénatals ou plus chez les femmes enceintes au Burkina Faso entre 2003 et 2021 85

Trends and factors associated with completing at least four antenatal care visits among pregnant women in Burkina Faso between 2003 and 2021 85

Activité antiparasitaire à large spectre de deux extraits d'une plante médicinale traditionnelle, Anogeissus leiocarpus, utilisée pour le traitement des poulets de chair 87

Broad-spectrum antiparasitic activity of two extracts from a traditional medicinal plant, Anogeissus leiocarpus, used for the treatment of broiler chickens 87

Activités anthropiques et infestation naturelle de Bulinus globosus par les schistosomes dans trois communes du sud-Bénin 89

Anthropogenic activities and natural infestation of Bulinus globosus by schistosomes in three municipalities of southern Benin 89

ANALYSE DE LA PERCEPTION DE LA STERILISATION DANS LA GESTION DES CARNIVORES DOMESTIQUES ERRANTS DE LA VILLE DE OUAGADOUGOU (BURKINA FASO) 90

ANALYSIS OF PERCEPTIONS OF STERILIZATION IN THE MANAGEMENT OF STRAY

DOMESTIC CARNIVORES IN THE CITY OF OUAGADOUGOU (BURKINA FASO) 90

ANALYSE DES CONDITIONS DE DEPLOIEMENT DE LA CHIMIOPREVENTION DU PALUDISME SAISONNIER : UNE ETUDE QUALITATIVE DANS LA COMMUNE RURALE DE KARIFAMORIAH, GUINEE 91

ANALYSIS OF THE CONDITIONS FOR DEPLOYING SEASONAL MALARIA CHEMOPREVENTION : A QUALITATIVE STUDY IN THE RURAL COMMUNE OF KARIFAMORIAH, GUINEA 91

Analyse épidémiologique des souches de Salmonella isolées dans des élevages avicoles et des hôpitaux à N'Djamena (Tchad) à l'aide des techniques ERIC-PCR, IS-PCR, PFGE et de la sensibilité aux antimicrobiens. 92

Epidemiology analysis of Salmonella strains isolated from poultry farms and hospitals in N'Djamena (Chad) using ERIC-PCR, IS-PCR, PFGE and antimicrobial susceptibility. 92

Analyse spatio-temporelle des blessés liés aux accidents de la route à Bouaké entre 2022 et 2024 94

Spatio-temporal analysis of road accident injuries in Bouaké between 2022 and 2024 94

Anatomie positionnelle et morphométrique de l'aorte thoracique du mélanoderme vivant au Togo : étude angio-scanographique à propos de 53 cas. 96

Positional and morphometric anatomy of the thoracic aorta of melanoderms living in Togo: CT angiographic study of 53 cases. 96

APPROCHE COMPARATIVE POUR LA VALORISATION DE CARAPA PROCERA, UNE ESSENCE MINEURE POURVUE EN BIOMOLECULES ACTIVES UTILES DANS LA LUTTE CONTRE LES PERTURBATIONS DE SANTE, LIEES STRESS OXYDATIF 98

A COMPARATIVE APPROACH FOR VALORIZATION OF CARAPA PROCERA, A NEGLIGEATED ESSENCE FULL OF USEFULL ACTIVE BIOMOLECULES AGAINST HEALTH DESORDERS DUE TO OXIDATIVE STRESS 98

Approche « One Health » et mise en place d'une surveillance intégrée des Lyssavirus au Gabon : résultats sérologiques rétrospectifs et données virologiques préliminaires 100

The « One Health approach » to the implementation of integrated lyssavirus surveillance in Gabon: retrospective serological results and preliminary virological data 100

Aspects psychologiques de la réanimation au Togo : déstructuration psychique, vécu de la réanimation et répercussions sur l'équilibre psycho-physique 102

Psychological aspects of resuscitation in Togo : psychological breakdown, the experience of resuscitation and its repercussions on psycho-physical balance 102

Atrésie de l'œsophage en milieu africain : défis de la prise en charge et résultats thérapeutiques à propos de 9 cas. 103

Oesophageal atresia in Africa: challenges in management and therapeutic outcomes in nine cases. 103

Attaques armées terroristes dans la région des Savanes au Togo, troubles anxio-dépressifs et résilience chez les personnes déplacées 104

Armed terrorist attacks in the Savanes Region in Togo, anxiety disorder, depression and resilience among displaced persons 104

Bonne performance du test Xpert MTB/RIF ULTRA dans le diagnostic de la Tuberculose Extra pulmonaire à Bamako, Mali. 105

Good performance of the Xpert MTB/RIF ULTRA Test in the Diagnosis of Extrapulmonary Tuberculosis in Bamako, Mali. 105

Brucellose cameline: Enquête sérologique et Connaissances Attitudes et Pratiques (CAP) dans la région de Tahoua (Niger) 107

Camel brucellosis: Serological survey and Knowledge, Attitudes and Practices (KAP) in the Tahoua region (Niger) 107

Caractérisation de la résistance aux molécules de dernières lignes thérapeutiques et diversité génétique des souches de Klebsiella spp. impliquées dans les infections urinaires chez les femmes : cas de l' HIAOBO 108

Characterization of resistance to last-line therapeutic molecules and genetic diversity of Klebsiella spp strains involved in urinary tract infections in women: the case of HIAOBO. 108

Caractérisation phylogénétique et profilage des gènes de résistance aux quinolones des souches d'Escherichia coli responsables d'infections urinaires chez des femmes à Cotonou, Bénin 110

Phylogenetic Characterization and Quinolone Resistance Gene Profiling of Escherichia coli Strains Causing Urinary Tract Infections in Women in Cotonou, Benin 110

Caractérisations génomique de virus respiratoires aux Comores : Influenza B et Virus Respiratoire Syncytial 112

Genomic characterization of respiratory viruses in the Comoros: Influenza B and Respiratory Syncytial Virus 112

Cartographie des infestations parasitaires gastro-intestinales des poulets élevés en système traditionnel dans les zones cotonnières du Bénin. 114

Mapping of Gastrointestinal Parasitic Infestations in Chickens Raised Under Traditional Farming Systems in the Cotton-Growing Areas of Benin 114

Catégorisation par intelligence artificielle de la population hypertendue du nord de la Côte d'Ivoire: une approche de Machine Learning 116

Artificial Intelligence Categorizing Hypertensive Population Northern of Cote d'Ivoire a Machine Learning Approach 116

Communication en santé et usage excessif des écrans numériques chez les enfants: vulnérabilités sanitaires et renforcement des politiques de prévention dans l'espace CAMES 118

Health communication and excessive use of digital screens among children: health vulnerabilities and strengthening of prevention policies in the CAMES area 118

Complications materno-fœtales des grossesses non suivies dans le Centre de Santé de Référence de Diéma en 2021et 2022 119

Maternal and Fetal Complications of Unmonitored Pregnancies at the Diéma Reference Health Center in 2021 and 2022 119

Comportement des principaux vecteurs du paludisme dans la transmission après la mise en place d'une couverture universelle en moustiquaires imprégnées d'insecticide longue durée (MILDA) à Bouaké, Côte d'Ivoire 121

Major vectors attitude in malaria transmission following a universal long-lasting insecticidal nets (LLINs) coverage in Bouaké, Côte d'Ivoire 121

Conception de dérivés d'indolone comme agents antitumoraux ciblant le complexe p53–MDM2 par une approche de docking moléculaire avec un profil pharmacocinétique favorable 122

Conception of Indolone derivatives as anti-tumor targeting p53-MDM2 by the molecular docking approach with a favorable pharmacokinetic profile 122

CONDITION PHYSIQUE ET QUALITÉ DE SOMMEIL CHEZ 14 FEMMES EN SURPOIDS ET OBÈSES APRES HUIT SEMAINES DE FITNESS EN 2022 123

PHYSICAL CONDITION AND SLEEP QUALITY IN 14 OVERWEIGHT AND OBESE WOMEN AFTER EIGHT WEEKS OF FITNESS IN 2022 123

Consommation des produits dopant chez les footballeurs de la commune d'Abobo (Abidjan, Côte d'Ivoire) 125

Doping Use Among Footballers in the Abobo District (Abidjan, Cote d'Ivoire) 125

Contribution de la morphométrie des sinus frontaux dans la détermination du sexe chez le sujet togolais 126

Contribution of frontal sinus morphometry to sex determination with togolese subjects 126

Corrélation entre le polymorphisme d'insertion/délétion du gène de l'enzyme de conversion de l'angiotensine et l'hypertension artérielle dans la population gabonaise 128

Correlation between insertion/deletion polymorphism of the angiotensin-converting enzyme gene and hypertension in the Gabonese population 128

Corrélats électrophysiologiques de l'apprentissage sur écran : Analyse des profils oscillatoires des dynamiques pariéto-occipitales en mémoire de travail 129

Electrophysiological correlates of screen-based learning: Oscillatory profiles of parieto-occipital dynamics in working memory 129

Criblage virtuelle des molécules issues de la pharmacopée de l'Afrique de l'Ouest et Docking moléculaire ciblant la protéase NS2B/NS3 du virus de la dengue 130

Virtual screening of phytocompounds from West African pharmacopoeia and Molecular Docking targeting dengue virus protein NS2B/NS3 130

Dénutrition aiguë sévère chez les enfants de moins de 5 ans au Centre Hospitalier Régional de Tsévié au Togo 131

Severe acute malnutrition among children under 5 years' age in the Tsevie Regional Hospital Center in Togo 131

DENUTRITION AIGUE SEVERE CHEZ LES ENFANTS DE MOINS DE 5 ANS AU CENTRE HOSPITALIER UNIVERSITAIRE SYLVANUS OLYMPIO DU TOGO 132

SEVERE ACUTE MALNUTRITION AMONG CHILDREN UNDER 5 YEARS' AGE IN THE SYLVANUS OLYMPIO UNIVERSITY HOSPITAL CENTER OF TOGO 132

Dépistage et suivi sérologique de l'hépatite C chez les donneurs de sang au Centre Régional de Transfusion Sanguine de Bouaké 133

Hepatitis C Screening and Serological Follow-up among Blood Donors at the Bouaké Regional Blood Transfusion Center 133

Détection des allo-anticorps anti-érythrocytaires chez les patients polytransfusés et les femmes suivies en obstétrique : étude de 43 cas. 135

Detection of Erythrocyte Alloantibodies in Polytransfused Patients and Obstetric Women: A Study of 43 Cases. 135

Détection moléculaire des gènes de virulence de Candida albicans isolées chez les femmes enceintes au Centre Hospitalier Universitaire d'Angré, Abidjan, Côte d'Ivoire 137

Molecular detection of virulence genes in Candida albicans strains isolated from pregnant women at University Hospital of Angré, Abidjan, Côte d'Ivoire 137

Détection passive versus active des réservoirs de Plasmodium falciparum au sein des communautés vivant dans le district sanitaire de Korhogo au Nord de la Côte d'Ivoire 139

Passive versus active detection of Plasmodium falciparum reservoirs in communities living in the health district of Korhogo northern Côte d'Ivoire 139

Déterminants du retard à la réalisation de césarienne d'urgence selon la classification de Lucas l'Hôpital de Zone de Bembéréké–Sinendé 141

Determinants of delay in performing emergency cesarean section according to the Lucas classification at the Bembéréké–Sinendé District Hospital. 141

Développement d'un modèle d'apprentissage supervisé pour la prédiction des lésions hépatiques induites par le médicament : application aux molécules de la pharmacopée de l'Afrique de l'Ouest 142

Development of a supervised learning model for predicting drug-induced liver toxicity: application to molecules of the West African pharmacopoeia 142

Développement et évaluation d'un score pronostic clinique de la mortalité chez les patients hospitalisés pour coup de chaleur dans un contexte de ressources limitées : cas du Burkina Faso 143

Development and evaluation of a mortality prognostic score of hospitalized patients for Heat Stroke in a resource-limited setting: The case of Burkina Faso 143

Devenir à un mois des cas d'atteinte rénale aiguë au cours du paludisme grave chez les enfants au centre hospitalier universitaire départemental du borgou (benin) 144

Outcome at one month of cases of acute renal failure due to severe malaria in children at the departmental teaching hospital of borgou (benin) 144

Devenir et causes de la perte de vue chez PVVIH suivies dans un centre de prise en charge au Nord-Bénin 145

Outcomes and Causes of Loss to Follow-up Among People Living with HIV (PLHIV) Followed at a Care Center in Northern Benin 145

Diagnostic Moléculaire de Mycobacterium ulcerans en Côte d'Ivoire : Étude Rétrospective des données de 2019 à 2024 146

Molecular Diagnosis of Mycobacterium ulcerans in Côte d'Ivoire: Retrospective Study of Data from 2019 to 2024 146

Dire la « tension » : Représentations populaire de l'hypertension artérielle : écarts avec le savoir biomédical et enjeux de santé publique au Burkina Faso. 147

Speaking of “tension”: lay module of hypertension, gaps with biomedical knowledge, and public health stakes in Burkina Faso 147

DISTRIBUTION DES GLOSSINES ET EVALUATION DE LA PREVALENCE DE LA TRYPANOSOMIASE BOVINE DANS AU MALI 149

DISTRIBUTION OF TSETSE FLIES AND ASSESSMENT OF THE PREVALENCE OF BOVINE TRYPANOSOMIASIS IN MALI 149

DIVERSITE DES PHLEBOTOMES ET TRANSMISSION DE IA LEISHMANIOSE EN ZONES RURALES DANS LA REGION DU GBÊKÊ, CENTRE DE LA COTE D’IVOIRE 150

SPECIES DIVERSITY AND TRANSMISSION OF LEISHMANIASIS IN RURAL AREAS OF THE REGION OF GBÊKÊ, CENTRAL CÔTE D’IVOIRE 150

Diversité des vecteurs potentiels d’arbovirus dans un site universitaire d’Abidjan, en contexte de forte incidence de la dengue en Côte d’Ivoire 151

Diversity of potential arbovirus vectors at a university site in Abidjan, in a context of high dengue incidence in Côte d'Ivoire 151

Diversité malacologique et risques de transmission des schistosomes et paramphistomes dans les régions du Centre et des Hauts-Bassins (Burkina Faso) 153

Malacological diversity and risks of transmission of schistosomes and paramphistomes in the center and Hauts-Bassins regions (Burkina Faso) 153

Diversité moléculaire de Staphylococcus aureus chez des isolats cliniques humains à Abidjan révélée par sequencage rpoB et typage spa 154

Molecular diversity of Staphylococcus aureus among human clinical isolates in Abidjan revealed by rpoB sequencing and spa typing 154

Dix ans de santé mentale communautaire au Togo : cas de l’association ASMDT 156

Ten years of community mental health in Togo: the case of the ASMDT association 156

Données récentes sur les populations de glossines, vecteurs des trypanosomes dans le massif forestier de Minkébé au nord-est du Gabon. 158

Recent data on Glossina spp. populations, vectors of trypanosomes in the Minkébé forest massif in north-east Gabon 158

Du traumatisme à la résilience : trajectoires psychiques de femmes victimes de violences conjugales au Togo 160

From Trauma to Resilience : Psychological Trajectories of Women Victims of Domestic Violence in Togo 160

Dynamique épidémiologique des virus respiratoires au Gabon : de la circulation résiduelle pandémique à la caractérisation moléculaire du Virus Respiratoire Syncytial. 161

Epidemiological dynamics of respiratory viruses in Gabon: from pandemic residual circulation to the molecular characterization of Respiratory Syncytial Virus. 161

Échographie Doppler rénal : etude comparative chez patients diabétiques et non diabétiques ... 163

Renal Doppler ultrasound: a comparative study in diabetic and non diabetic patients 163

Effet cardioprotecteur de l'extrait aqueux de Flemingia faginea contre l'infarctus du myocarde induit par l'isoprotérénol chez le rat 164

Cardioprotective effect of aqueous extract of Flemingia faginea in isoproterenol-induced myocardial infarction in rat 164

EFFET DE COXOSAN ORAL ND SUR LES COCCIDIOSES CHEZ LE POULET DE CHAIR A DAKAR (SENEGAL) 166

EFFECT OF COXASAN ORAL ND ON COCCIDIOSIS IN BROILER CHICKENS IN DAKAR (SENEGAL) 166

Effet néphroprotecteur des racines d'Anogeissus leiocarpus (DC.) Guill. & Perr. dans un modèle de néphrotoxicité induite par le dichromate de potassium ($K_2Cr_2O_7$) 167

Renoprotective effect of the roots of Anogeissus leiocarpus (DC.) Guill. & Perr. in a potassium dichromate ($K_2Cr_2O_7$)-induced nephrotoxicity model 167

Elimination de l'arsenic par adsorption sur le charbon de bois 168

Arsenic removal by adsorption onto charcoal 168

ENQUETE DE PREVALENCE PONCTUELLE SUR L'USAGE DES ANTIMICROBIENS CHEZ LES PATIENTS HOSPITALISES DANS TROIS STRUCTURES SANITAIRES DE ZINDER (NIGER) ... 169

A POINT PREVALENCE SURVEY ON ANTIMICROBIAL USE AMONG HOSPITALIZED PATIENTS IN THREE HEALTH FACILITIES IN ZINDER (NIGER) 169

Enseignement du bon usage des antibiotiques chez les étudiants en médecine : développement et transfert international d'un dispositif innovant en Allemagne et au Malawi 171

Teaching for Rational Antibiotic Use: Development and International Transfer of an Innovative Blended-Learning Tool in Germany and Malawi 171

Épidémiologie et caractérisation moléculaire du virus de la dermatose nodulaire contagieuse bovine (DNCB) chez les bovins dans la région du Poro, en Côte d'Ivoire 173

Epidemiology and Molecular Characterization of Lumpy Skin Disease Virus in Cattle in the Poro Region of Ivory Coast 173

Espaces et pratiques communautaires à risques de contracter l'ulcère de Buruli au Sud-Est du Bénin 175

Community spaces and territorial practices at risk of contracting Buruli ulcer in south eastern Benin 175

Etat des lieux de l'échinococcose dans le département de Korhogo (Côte d'Ivoire) 176

State of Echinococcosis in the Department of Korhogo (Ivory Coast) 176

Etat des lieux du niveau d'accès à l'eau potable, à l'hygiène et à l'assainissement dans les ménages de la commune de Bonou au sud du Bénin. 177

Assessment of the level of access to drinking water, hygiene and sanitation in households in the commune of Bonou in southern Benin 177

Etude comparative de deux méthodes de détermination du taux d'hémoglobine 178

Comparative study of two methods for determining hemoglobin levels 178

Etude des marqueurs sérologiques de l'hépatite virale B chez les patients vivant avec le syndrome

drépanocytaire majeur au service d'hématologie du CNHU de Cotonou en 2025 179

Serological markers of hepatitis B virus infection among patients with major Sickle Cell Disease at the Hematology Department of the CNHU of Cotonou, 2025 179

Étude des risques professionnels chez les travailleurs d'une mine industrielle d'or au Mali : cas du site de Komana en 2024 181

Study of occupational risks among workers in an industrial gold mine in Mali: the case of the Komana site in 2024 181

Étude tomodensitométrique du processus unciné de l'ethmoïde chez le sujet togolais : morphométrie, variations anatomiques et implications chirurgicales. 182

Computed Tomographic Study of the Ethmoidal Uncinate Process in the Togolese Population: Morphometry, Anatomical Variations, and Surgical Implications 182

EVALUATION DE LA PERFORMANCE CLINIQUE DU STANDARD Q HIV/Syp/HBsAg Triple Test® EN COTE D'IVOIRE 184

EVALUATION OF THE CLINICAL PERFORMANCE OF THE STANDARD Q HIV/Syp/HBsAg Triple Test® IN IVORY COAST 184

Évaluation de la promptitude du système de santé face à la flambée de dengue dans la région du Centre au Burkina Faso en 2023 selon l'approche 7-1-7 186

Assessment of the health system's responsiveness to the dengue outbreak in the Central region of Burkina Faso in 2023 using the 7-1-7 approach 186

Evaluation de la transmission mère enfant du VIH à l'hôpital de district commune IV de 2022 à 2024 187

Evaluation of mother-to-child transmission of HIV at District Hospital Commune IV from 2022 to 2024 187

Evaluation de l'adhésion du personnel du bloc opératoire à l'utilisation de la check-list de l'OMS à l'Hôpital Saint Camille de Ouagadougou (HOSCO) au Burkina Faso 189

Evaluation of operating room staff adherence to the use of the WHO checklist at Saint Camille Hospital in Ouagadougou (HOSCO) in Burkina Faso 189

Évaluation de solutions basées sur l'intelligence artificielle pour la détection automatique de maladies liées aux globules rouges au Bénin 190

Evaluation of AI-Based Models for Automatic Detection of Red Blood Cell–Related Diseases in Benin 190

Evaluation des activités antioxydante et hépatoprotectrice de l'extrait hydroéthanolique des écorces de racines de Sarcocephalus latifolius 192

Evaluation of the antioxidant and hepatoprotective activities of the hydroethanolic extract of the root bark of Sarcocephalus latifolius 192

Evaluation des pratiques à risque de contamination de la brucellose chez les éleveurs dans la région des Plateaux au Togo 193

Assessment of practices posing a risk of brucellosis contamination among livestock farmers in the Plateaux region of Togo 193

Évaluation des programmes d'enseignement de la radiologie dans les facultés de médecine

d’Afrique subsaharienne francophone : une étude transversale 195

Evaluation of radiology teaching programmes in medical schools in francophone sub-saharan Africa: A cross-sectional study 195

Évaluation des risques sanitaires des composés organiques volatils dissous dans les eaux de la moitié Sud-ivoirienne de la rivière Bia en période de basses eaux et hautes eaux 196

Assessment of the health risks posed by volatile organic compounds dissolved in the waters of the Bia River (southeastern Côte d’Ivoire) during low and high water periods 196

Evaluation du confort perdialytique des patients au centre national hospitalier universitaire Hubert Koutoukou Maga de Cotonou 197

Evaluation of the perdialytic comfort of patients at the hubert koutoukou maga national university hospital centre (cnhu-hkm) in cotonou (benin) 197

Évaluation du niveau d’exposition aux piqûres des vecteurs de trypanosomiase humaine africaine (THA) et risque de transmission de la maladie dans les foyers éteints et actifs de THA en Côte d’Ivoire par utilisation de biomarqueur d’exposition 199

Assessment exposure levels from human African trypanosomiasis (HAT) vectors bites and risk of disease transmission in extinct and active HAT in Côte d'Ivoire using exposure biomarkers 199

Evaluation du potentiel cardioprotecteur de l’extrait hydro-éthanolique des rhizomes cuits de Nymphaea lotus L. (Nymphaeaceae) contre l'infarctus du myocarde induit par l'isoprotérénol chez le rat. 201

Evaluation of the cardioprotective potential of hydro-ethanolic extract from cooked rhizomes of Nymphaea lotus L. (Nymphaeaceae) against isoproterenol-induced myocardial infarction in rats. 201

Évaluation économique de la prise en charge de l’ulcère de Buruli : analyse coût-efficacité d’une nouvelle approche thérapeutique (CoEff-UB) 203

Economic evaluation of Buruli ulcer treatment: cost-effectiveness analysis of a new therapeutic approach (CoEff-UB) 203

Évaluation intégrée One Health de la réduction de la prévalence des trypanosomes après les interventions de lutte anti-glossines dans les foyers endémiques de Côte d’Ivoire 205

Integrated One Health Assessment of the Reduction in Trypanosome Prevalence Following Tsetse Control Interventions in Endemic Foci of Côte d’Ivoire 205

Évaluation phytochimique et biologique in vitro de l'extrait hydroéthanolique d'Anchomanes difformis au Togo 207

In vitro phytochemical and biological evaluation of hydroethanolic extract of Anchomanes difformis In Togo 207

Exposition professionnelle aux produits chimiques et état de santé au sud du Bénin 209

Occupational exposure to hazardous chemicals and health status of workers in southern Benin ... 209

Exposition sublétale des moustiques et usages communautaires des insecticides à Tiassalé (Côte d’Ivoire) : enjeux pour la résistance et la lutte antivectorielle 211

Sublethal exposure of mosquitoes and community use of insecticides in Tiassalé (Côte d'Ivoire):

challenges for resistance and vector control 211

FACTEURS ASSOCIES A LA MACROSOMIE DANS LES CENTRES DE REFERENCE DE LA REGION DES PLATEAUX 213

FACTORS ASSOCIATED WITH MACROSOMIA IN REFERENCE CENTERS IN THE PLATEAUX REGION 213

Facteurs associés à la vaccination au cours de la campagne nationale de vaccination contre la rougeole et la rubéole en Côte d'Ivoire en 2024 215

Factors associated with vaccination during the national measles and rubella vaccination campaign in Côte d'Ivoire in 2024 215

Facteurs associes a l'hypertension artérielle chez les agents de sante des deux hôpitaux universitaires de Parakou (Bénin) 217

Factors associated with high blood pressure among healthcare workers at the two university hospitals of Parakou (Benin) 217

Facteurs associés au handicap dans les communautés endémiques aux maladies tropicales négligées ou à d'autres causes en Afrique de l'Ouest : cas du Bénin et de la Côte d'Ivoire 218

Factors associated with disability in communities endemic to neglected tropical diseases or other causes in West Africa: the case of Benin and Côte d'Ivoire 218

Facteurs associés au risque suicidaire chez les étudiants en médecine, soins infirmiers et obstétricaux au Bénin en 2025 220

Factors associated with suicide risk among medical, nursing and midwifery students in Benin in 2025 220

Facteurs associés aux grossesses non intentionnelles en milieu scolaire dans la préfecture de Tchaoudjo (Togo) en 2024 222

Factors associated with unintended pregnancies in schools in the prefecture of Tchaoudjo (Togo) in 2024 222

Facteurs associés aux rechutes de la tuberculose pharmaco sensible chez les patients suivis au Centre National Hospitalier Universitaire de Pneumo-Phtisiologie de Cotonou entre 2019 et 2023 223

Factors associated with relapses of drug-susceptible tuberculosis at the National University Hospital Center of Pneumo-Physiology in Cotonou (CNHU-PPC) between 2019 and 2023 : a case-control study 223

FACTEURS DE RISQUE DE DECES DES NOUVEAU - NES PREMATURES AU CENTRE HOSPITALIER UNIVERSITAIRE (CHU) SYLVANUS OLYMPIO, LOME (TOGO) 225

RISK FACTORS FOR DEATH IN PREMATURE NEWBORNS AT THE SYLVANUS OLYMPIO UNIVERSITY HOSPITAL CENTER (CHU) IN LOME, TOGO 225

Facteurs prédictifs de la non vaccination des enfants en Côte d'Ivoire en 2025 227

Predictive Factors for Non-Vaccination of Children in Côte d'Ivoire in 2025 227

Fort taux de résistance aux fluoroquinolones des souches de Campylobacter spp isolées des fèces diarrhéiques infantiles dans la ville de Makokou. 229

High rate of resistance to fluoroquinolones of Campylobacter spp strains isolated from childhood

diarrheic faeces in the city of Makokou. 229

FREQUENCE ET FACTEURS ASSOCIES A L'ARTHERIOPATHIE OBLITERANTE DES MEMBRES INFERIEURS CHEZ LES DIABETIQUES SUIVIS AU CNHU—HKM DE COTONOU EN 2025 ... 231

FREQUENCY AND ASSOCIATED FACTORS OF LOWER LIMB PERIPHERAL ARTERIAL DISEASE AMONG DIABETIC PATIENTS FOLLOWED AT THE CNHU–HKM OF COTONOU IN 2025 231

Gènes de résistance aux fluoroquinolones chez les souches multirésistantes de Escherichia coli à Niamey, Niger 233

Fluoroquinolone resistance genes in multidrug-resistant Escherichia coli isolates from Niamey, Niger 233

Génomique et épidémiologie moléculaire de la résistance de Neisseria gonorrhoeae à l'azithromycine en Côte d'Ivoire de 2014 à 2025 235

Genomics and molecular epidemiology of azithromycin resistance in Neisseria gonorrhoeae in Côte d'Ivoire from 2014 to 2025 235

HELLP SYNDROME : FREQUENCE, PRONOSTIC ET FACTEURS DE RISQUE AU CENTRE HOSPITALIER UNIVERSITAIRE ET DEPARTEMENTAL DU BORGOU ET ALIBORI DE 2019 A 2023 ******** 237

HELLP SYNDROME: FREQUENCY, PROGNOSIS, AND RISK FACTORS AT THE DEPARTMENTAL AND UNIVERSITY HOSPITAL CENTER OF BORGOU AND ALIBORI FROM 2019 TO 2023 ******* 237

Hétérogénéité du potentiel de transmission du virus de la dengue chez trois populations naturelles d'Aedes aegypti au Burkina Faso : implications pour la surveillance et le contrôle 238

Heterogeneity of transmission potential of dengue virus in three natural populations of Aedes aegypti in Burkina Faso: implications for surveillance and vector control 238

HLA et Paludisme : Typage des allèles HLA-B*53:01 et -DPB1*01:01 en Côte d'Ivoire par technologie Nanopore 240

HLA and Malaria: Typing of HLA-B*53:01 and -DPB1*01:01 alleles in Côte d'Ivoire by Next Generation Sequencing 240

Impact de la couverture santé dans la qualité de la prise en charge des enfants au Centre Hospitalier Universitaire de Kara (Nord Togo) 241

Impact of health coverage on the quality of care for children at the University Hospital Center of Kara (Northern Togo) 241

Impact de la politique de gratuité des accouchements et des césariennes au Sénégal : une évaluation basée sur l'approche de la double-différence 242

Impact of the policy of free childbirth and cesarean sections in Senegal: an evaluation based on the double-difference approach 242

Impact des programmes phytosanitaires sur l'efficacité des insecticides de nouvelle génération au Togo 243

Impact of phytosanitary programs on the effectiveness of new-generation Insecticides in Togo ... 243

Impact d'un programme d'exercice physique associé à un traitement antihypertenseur sur les

valeurs tensionnelles chez des sujets obeses souffrant de l'hypertension artérielle. 244

Impact of a physical exercise program associated with antihypertensive treatment on blood pressure values in obese subjects suffering from arterial hypertension 244

infections associées aux soins dans le service de chirurgie générale du Centre Hospitalier universitaire de Tengandogo. 246

Healthcare-Associated Infections in the General Surgery Department of the Tengandogo University Hospital Center. 246

Infections chirurgicales pédiatriques au Cameroun : prévalence, présentations cliniques et issues dans trois hôpitaux de référence 248

Pediatric Surgical Infections in Cameroon: Prevalence, Clinical Presentations, and Outcomes in Three Referral Hospitals 248

Influence du délai et de la température de conservation du sang total sur le taux d'ARN plasmatique du VIH1 en contexte tropical 250

Influence of storage time and temperature of whole blood on plasma HIV-1 RNA levels in a tropical setting 250

Inhibition de la formation de biofilms de souches bactériennes à partir d'huile essentielle de la menthe poivrée (Mentha piperita) et de la propolis 252

Inhibition of biofilm formation at bacterial strains using peppermint (Mentha piperita) and propolis essential oil 252

Inventaire des stomoxes, vecteurs potentiels d'agents pathogènes, dans le massif forestier de Minkébé au nord-est du Gabon 253

Inventory of stomoxes, potential vectors of pathogens, in the Minkébé forest massif in northeastern Gabon 253

Issue de la grossesse chez les gestantes ayant un syndrome drépanocytaire majeur à la maternité du CHU-SO au Togo de 2021-2024 254

Outcomes of pregnancy in women with severe sickle cell syndrome at the CHU-SO maternity ward in Togo from 2021 to 2024 254

L'infection par Metarhizium pingshaense restaure la susceptibilité à la deltaméthrine chez An. gambiae s.l. résistants par modulation de l'expression génique 255

Native Metarhizium pingshaense infection reverses insecticide resistance in Anopheles gambiae sensu lato by altering gene expression 255

La problématique de la prise en charge des cancers du tractus digestif haut au Centre Hospitalier Universitaire Tengandogo. 257

The challenges of managing upper gastrointestinal cancers at the Tengandogo University Hospital. 257

Le rituel de veuvage foguel'b chez les Nawda (Togo) : articulations entre rituel, deuil et psyché collective. 259

The foguel'b widowhood ritual among the Nawda (Togo): articulations between ritual, mourning and collective psyche 259

Les effets de la non disponibilité des produits de santé de la reproduction sur l'offre de soins

intégrés au district sanitaire de Pô au Burkina Faso 260

Effects of the unavailability of reproductive health supplies on the delivery of integrated care in the Pô health district of Burkina Faso 260

LIEUX DE VIE DES SUJETS DE TRYPANOSOMIASE HUMAINE AFRICAINE (THA) DE 2010 A 2020 ET RISQUE D'ESPACES RESIDUELS DE TRANSMISSION EN CÔTE D'IVOIRE 262

LOCATION OF HUMAN AFRICAN TRYPANOSOMIASIS (HAT) SUBJECTS FROM 2010 TO 2020 AND RISK OF RESIDUAL TRANSMISSION AREAS IN CÔTE D'IVOIRE 262

Malondialdéhyde, biomarqueur pronostique de la gravité de la maladie chez les drépanocytaires en crises vaso-occlusives en Côte d'Ivoire 264

Malondialdehyde, a prognostic biomarker of disease severity in sickle cell patients experiencing vaso-occlusive crises in Côte d'Ivoire. 264

Méfiance institutionnelle et sous-utilisation des données probantes au Bénin : analyse des barrières relationnelles entre chercheurs et décideurs 266

Institutional mistrust and underutilization of evidence-based data in Benin: analysis of relational barriers between researchers and decision-makers 266

Modélisation temporelle des cas de dengue en Côte d'Ivoire de 2017 à 2023 par les modèles SARIMA et ARIMAX 268

Temporal modelling of dengue cases in Ivory Coast from 2017 to 2023 using SARIMA and ARIMAX models 268

Morphologie, topographie et morphométrie extraluminale de l'artère cérébrale moyenne (artère sylvienne) par injection et dissection 269

Morphology, Topography, and Extraluminal Morphometry of the Middle Cerebral Artery (sylvian artery) by Injection and Dissection 269

Niveaux de résistance variables d'aedes aegypti et d'aedes albopictus aux insecticides à abidjan, en côte d'ivoire 271

Varying levels of insecticide resistance in aedes aegypti and aedes albopictus in abidjan, côte d'ivoire 271

Niveaux élevés de stress oxydatif chez les personnes vivant avec le virus de l'immunodéficience humaine et suivant un traitement antirétroviral en Côte d'Ivoire 273

High levels of oxidative stress in people living with human immunodeficiency virus and undergoing antiretroviral treatment in Côte d'Ivoire 273

Occasions manquées de vaccination : une vue d'ensemble dans les établissements de santé en Côte d'Ivoire en 2025 274

Missed vaccination opportunities: an overview in healthcare facilities in Côte d'Ivoire in 2025 ... 274

ORIGINE, DISTRIBUTION ET INCIDENCE DE LA RAGE HUMAINE EN CÔTE D'IVOIRE DE 2013 À 2023 276

ORIGIN, DISTRIBUTION AND INCIDENCE OF HUMAN RABIES IN CÔTE D'IVOIRE FROM 2013 TO 2023 276

Perception de la substitution médicamenteuse dans un contexte de couverture maladie universelle

: cas d’une communauté urbaine de Yopougon, Côte d’Ivoire 277

Perception of drug substitution in the context of universal health coverage: evidence from an urban community in Yopougon, Côte d’Ivoire 277

Perceptions de la sexualité, influences socioculturelles et obstacles à la prévention des comportements sexuel à risque chez les adolescents et jeunes adultes en Côte d’Ivoire 279

Perceptions of sexuality, sociocultural influences and barriers to the prevention of risky sexual behaviour among adolescents and young adults in Côte d'Ivoire 279

Perceptions et comportements associés aux risques sanitaires relatifs aux moustiques chez les communautés rurales de la région du Poro en Côte d’Ivoire 281

Perceptions and behaviors associated with health risks related to mosquitoes among rural communities in the Poro region of Côte d’Ivoire 281

Plantes antimicrobiennes et résistance bactérienne : état des lieux et perspectives durables. ... 282

Antimicrobial Plants and Bacterial Resistance: Current Status and Sustainable Perspectives ... 282

Politique humaniste de l’économie de la santé pour une couverture sanitaire universelle en Afrique à la lumière de Béatrice Majnoni 283

A Humanistic Health Economics Policy for Universal Health Coverage in Africa in Light of Béatrice Majnoni’s Thought 283

Polymorphismes des promoteurs des gènes des métalloprotéinases matricielles (MMP) dans le cancer du col de l’utérus 284

Polymorphisms in the promoters of matrix metalloproteinase (MMP) genes in cervical cancer ... 284

Portage digestif de bactéries multirésistantes chez les patients à l’admission dans deux services de réanimation d’Abidjan, Côte d’Ivoire 285

Digestive Carriage of Multidrug-Resistant Bacteria in Patients at Admission to Two Intensive Care Units in Abidjan, Côte d’Ivoire 285

Pouvoir antimicrobien d’extraits de Adansonia digitata, de Ocimum gratissimum, de Momordica charantia et de Crateva adansonii sur les souches bactériennes multirésistantes isolées de plaies chroniques à Ouinhi (Bénin) 287

Antimicrobial activity of extracts from Adansonia digitata, Ocimum gratissimum, Momordica charantia, and Crateva adansonii against multidrug-resistant bacterial strains isolated from chronic wounds in Ouinhi (Benin). 287

Pratiques phytothérapeutiques dans la prise en charge de l’infertilité humaine au Bénin: entre enjeux et solutions durables pour le bien être sanitaire 288

Phytotherapy Practices in the Management of Human Infertility in Benin: Between Challenges and Sustainable Solutions for Health Well-Being 288

Prévalence de l’infection a Toxoplasma gondii chez les porcs et les phacochères au senegal ... 289

Prévalence of Toxoplasma gondii infection in pigs and wild boars in senegal 289

Prévalence de l’infection par le virus de l’hépatite B et facteurs associés chez les étudiants

résidant sur un campus universitaire du sud-est du Gabon 290

Prevalence of hepatitis B virus infection and associated factors among students residing on a university campus in southeastern Gabon 290

Prévalence des Klebsiella pneumoniae hypervirulentes chez les femmes souffrant d'une infection urinaire à Libreville, au Gabon. 292

Prevalence of hypervirulent Klebsiella pneumoniae in women with urinary tract infection in Libreville, Gabon. 292

Prévalence et déterminants de l'usage des méthodes contraceptives dans les établissements secondaires de Bouaké nord-est (centre Côte d'Ivoire) 294

Prevalence and determinants of contraceptive use in secondary schools in northeast Bouaké (central Ivory Coast) 294

Prévalence et facteurs associés au stress chez les professionnels de santé dans les hôpitaux de la zone sanitaire Parakou-N'Dali (Bénin) en 2023 295

Prevalence and factors associated with stress among healthcare professionals in hospitals in the Parakou-N'Dali health zone (Benin) in 2023 295

Profils immunitaires basés sur les cytokines à l'accouchement comme indicateurs du risque d'infection palustre chez les primigestes au Burkina Faso : une analyse exploratoire par regroupement hiérarchique 297

Cytokine-Driven Immune Phenotypes at Delivery as Indicators of Malaria Infection Risk Among Primigravidae in Burkina Faso: An Exploratory Clustering Analysis 297

Qualité de vie des patients opérés de la cataracte dans le service d'ophtalmologie du CHD Atacora (Bénin) en 2025. 299

Quality of life of patients who have undergone cataract surgery in the ophthalmology department of CHD Atacora (Benin) in 2025 299

Quelle médecine pour une société résiliente face aux pathologies émergentes à l'ère de l'intelligence artificielle en Afrique ? 300

What kind of medicine is needed for a society that is resilient to emerging diseases in the age of artificial intelligence in Africa? 300

Raccourcissement du traitement de l'ulcère de Buruli en Afrique de l'Ouest : point d'étape de l'essai BLMs4BU 301

Shortening Buruli ulcer treatment in western Africa: an update on the BLMs4BU trial 301

Récupération améliorée post césarienne à la Clinique Universitaire de Gynécologie et obstétrique (CUGO) du Centre National Hospitalier et Universitaire Hubert Koutoukou Maga (CNHU-HKM) en 2022 303

Enhanced rehabilitation is a multidisciplinary approach to the postoperative 303

Relation entre les profils de résistance aux insecticides chez Anopheles gambiae sensu lato et les pratiques agricoles en Côte d'Ivoire 305

Relationship between insecticide resistance profiles in Anopheles gambiae sensu lato and agricultural practices in Côte d'Ivoire 305

Réponse transcriptomique aux polluants agrochimiques chez le moustique Anopheles gambiae à

l'aide de la technologie de séquençage de nouvelle generation 307

Transcriptomic response to agrochemical pollutants in Anopheles gambiae mosquitoes using next-generation sequencing technology 307

Réponse virologique sous Dolutégravir chez les enfants et adolescents en milieu rural gabonais : une étude transversale (2023-2025). 309

Virological response to dolutegravir in children and adolescents in rural Gabon: a cross-sectional study (2023-2025). 309

Réponses anticorps à la vaccination antipaludique par sporozoïtes entiers dans les études d'infection palustre humaine contrôlée 311

Antibody Responses to Whole-Sporozoite Malaria Vaccination in Controlled Human Malaria Infection Studies 311

Réponses IgG humaines contre extraits de glande salivaire d'Aedes aegypti dans les populations rurales et urbaines au Burkina Faso: utilisation d'un nouvel outil immuno-épidémiologique pour évaluer l'exposition humaine au vecteur majeur de la dengue 313

"HUMAN IgG RESPONSES TO Aedes aegypti SALIVARY GLAND EXTRACTS IN RURAL AND URBAN POPULATIONS IN BURKINA FASO: USE OF A NEW IMMUNO-EPIDEMIOLOGICAL TOOL TO ASSESS HUMAN EXPOSURE TO DENGUE MAJOR VECTOR BITES" 313

Résultats anatomiques et fonctionnels du traitement chirurgical des fractures bimalléolaires ... 314

Anatomical and functional results of surgical treatment for bimaleolar fractures 314

Réticence des femmes à l'adoption de la contraception moderne après avortement au Burkina Faso : comprendre les causes et conséquences 316

Women's Reluctance to Adopt Modern Contraception After Abortion in Burkina Faso: Understanding the Causes and Consequences 316

Risque épidémique de la dengue et de la fièvre jaune associé à la dynamique saisonnière d'Aedes aegypti dans les zones urbaines et péri-urbaines au sud-est de la Côte d'Ivoire 318

Epidemic risk of dengue and yellow fever associated with the seasonal dynamics of Aedes aegypti in urban and peri-urban areas in southeastern Côte d'Ivoire 318

Rupture biographique et réintégration sociale des sujets victimes d'accident vasculaire cérébral (AVC) en Côte d'Ivoire 320

Biographical disruption and social reintegration of stroke victims in Ivory Coast 320

Sécurité transfusionnelle des concentrés érythrocytaires : détermination des hématies parasitées par Plasmodium au Centre National de Transfusion Sanguine de Côte d'Ivoire 321

Transfusion safety of red blood cell concentrates: determination of Plasmodium-infected red blood cells at the National Blood Transfusion Center of Côte d'Ivoire 321

Sensibilité de neuf (9) variétés de cotonnier vis à vis de jassides du cotonnier en Côte d'Ivoire ... 323

Sensitivity of nine (9) cotton varieties to cotton jassids in Côte d'Ivoire 323

Séquençage portable de l'ADN libre circulant par technologie Nanopore pour le diagnostic du sepsis et l'investigation des épidémies dans des contextes ruraux à ressources limitées 324

Portable Cell-Free DNA Nanopore Sequencing for Sepsis Diagnostics and Outbreak Investigation in Resource-Limited Rural Settings 324

Séroprévalence du SARS-CoV-2 en population générale dans deux communes de la ville d'Abidjan pendant la quatrième vague de l'épidémie en Côte d'Ivoire. 326

Seroprevalence of SARS-CoV-2 in the general population of two districts in Abidjan during the fourth wave of the epidemic in Côte d'Ivoire. 326

Sexualité chez les personnes âgées vivant dans la commune de Parakou : défis et perspectives ... 328

Sexuality among the elderly living in the commune of Parakou: challenges and perspectives ... 328

Socialisation alimentaire et valorisation du patrimoine gastronomique ivoirien 330

Food socialization and promotion of Ivorian gastronomic heritage 330

STIGMATISATION A L'EGARD DE LA LÈPRE : AMPLEUR ET FACTEURS ASSOCIÉS DANS LE DÉPARTEMENT DU ZOU AU BENIN 331

Leprosy-Related Stigma : Magnitude and Associated Factors in the Zou Department, Benin ... 331

Surveillance de la prévalence du paludisme chez les patients tuberculeux à Brazzaville. 332

Monitoring the prevalence of malaria among tuberculosis patients in Brazzaville 332

Survie en hémodialyse à Lomé 333

Survival outcomes among hemodialysis patients in Lomé 333

SYNTHÈSE SOUS IRRADIATION MICRO-ONDE DE NOUVEAUX DÉRIVÉS N-(SULFONAMIDOPROPYL)-5-ARYLMÉTHYLIDÈNE RHODANINES ET LEUR ÉVALUATION BIOLOGIQUE 335

SYNTHESIS UNDER MICROWAVE IRRADIATION OF NEW DERIVATIVES N-(SULFONAMIDOPROPYL)-5-ARYLMÉTHYLIDÈNE RHODANINES AND THEIR BIOLOGICAL EVALUATION 335

Taux élevés des génotypes oncogènes du HPV chez les femmes vivant avec le VIH, une urgence de renforcer la vaccination prophylactique chez les populations féminines vivant au Gabon. 337

High rate of oncogenic HPV genotypes among women living with HIV: an urgent need to strengthen prophylactic vaccination among female populations in Gabon 337

Télésurveillance de la trypanosomiase humaine africaine dans un contexte d'élimination 339

Remote Surveillance of Human African Trypanosomiasis in an Elimination Context 339

Tendance évolutive des indicateurs de la lutte contre l'ulcère de Buruli au Bénin entre 2008 et 2023 340

Trends in indicators for the fight against Buruli ulcer in Benin between 2008 and 2023 340

Tendances épidémiologiques des Paralysies Flasques Aiguës de 2019 à 2024 en Côte d'Ivoire ... 341

Epidemiological trends in acute flaccid paralysis from 2019 to 2024 in Côte d'Ivoire 341

THÉORIE DE L'HARMONIE REPRODUCTIVE CONTEXTUELLE (THRC) : UNE THÉORIE

INNOVANTE POUR LA PROMOTION DURABLE DE LA SANTÉ REPRODUCTIVE AUPRÈS DES POPULATIONS MARGINALISÉES DANS LES PAYS EN DÉVELOPPEMENT 343

CONTEXTUAL REPRODUCTIVE HARMONY THEORY (CRHT): AN INNOVATIVE THEORY FOR THE SUSTAINABLE PROMOTION OF REPRODUCTIVE HEALTH AMONG MARGINALIZED POPULATIONS IN DEVELOPING COUNTRIES 343

Thérapies combinées à base de moxidectine pour la filariose lymphatique : essai contrôlé randomisé, ouvert, avec évaluation en aveugle par les observateurs 344

Moxidectin combination therapies for lymphatic filariasis: an open-label, observer-masked, randomised controlled trial 344

Traitement par sorafenib dans le Carcinome Hépatocellulaire avancé : expérience du service de Médecine interne du CHU Souro Sanou. 346

Treatment with sorafenib in advanced hepatocellular carcinoma: experience of the Internal Medicine Department at Souro Sanou University Hospital. 346

Troubles de la personnalité chez les soignants des Unités de Soins Palliatifs au sud du Bénin ... 348

Personality disorders among caregivers in palliative care units in southern Benin 348

Un isolat local de la bactérie Serratia spp. associé à Anopheles gambiae présente une forte activité de blocage de la transmission de Plasmodium falciparum 350

A Local bacterium Serratia spp. isolate from Anopheles gambiae exhibits strong Plasmodium falciparum transmission-Blocking Activity 350

Une étude pragmatique pour évaluer l'éfficacité et la tolérabilité d'une seule dose de la sulfadoxine-pyriméthamine plus artesunate-pyronaridine (SPAP) pour le traitement du paludisme simple chez les adultes et les enfants au Gabon 352

A pragmatic study to evaluate the efficacy and tolerability of a single-dose sulfadoxine-pyrimethamine plus artesunate-pyronaridin (SPAP) regimen for the treatment of uncomplicated malaria in adults and children in Gabon. 352

UTILISATION DES NOUVELLES TECHNOLOGIES DE L'INFORMATION ET DE LA COMMUNICATION COMME MOYEN D'ELABORATION D'ICONOGRAPHIE SUR LES MALFORMATIONS CONGENITALES 354

USE OF NEW INFORMATION AND COMMUNICATION TECHNOLOGIES AS A MEANS OF DEVELOPING ICONOGRAPHY ON CONGENITAL ABNOMALIES 354

Validation moléculaire des biomarqueurs protéomiques plasmatiques pour la détection du carcinome hépatocellulaire dans l'hépatite B chronique 356

Molecular Validation of Plasma Proteomic Biomarkers for Hepatocellular Carcinoma Detection in Chronic Hepatitis B 356

Variantes anatomiques du complexe nez- sinus chez les patients présentant une rhinosinusite chronique à Parakou (Bénin) 358

Anatomical Variants of the Nose-Sinus Complex in Patients with Chronic Rhinosinusitis in Parakou (Benin) 358

Vécus des proches aidants des patients schizophrènes suivis au Centre National Hospitalier Universitaire de Psychiatrie de Cotonou : une étude qualitative de type phénoménologie

herméneutique interprétative 359

Lived Experiences of Family Caregivers of Schizophrenic Patients Followed at the National University Hospital Center of Psychiatry in Cotonou: An Interpretive Hermeneutic Phenomenological Qualitative Study 359

PTR SANTÉ

P.1

Accouchements chez les gestantes porteuses d'un utérus unicicatriciel au Centre Hospitalier et Préfectoral de Sotouboua au Togo de juin 2023 à juin 2025

Deliveries among pregnant women with a single-scar uterus at the Sotouboua Prefectural Hospital Center in Togo from June 2023 to June 2025

Ameyo Ayoko KETEVI[1], tketevi@yahoo.fr ; Georges Didier NGASSA MEUTCHI; Alessi ANDELE; Akila BASSOWA; Dédé RD AJAVON; AS ABOUBAKARI; Koffi AKPADZA

[1] FSS Université de Lomé- Togo

Résumé

Résumé
Objectif : Etudier les Aspects épidémiologiques, cliniques et pronostiques des accouchements chez les gestantes porteuses d'un utérus unicicatriciel dans le Centre Hospitalier Préfectoral de Sotouboua
Patientes et méthodes : Il s'agissait d'une étude transversale descriptive qui
s'est déroulée dans le service de gynécologie - obstétrique du Centre Hospitalier et Préfectoral de Sotouboua du 30 Juin 2023 au 30 Juin 2025.
Résultats : L'épreuve utérine a été faite chez 211 parturientes avec 20 % de réussite. L'âge moyen était de 28,6 ans, avec des extrêmes de 16 ans et 45 ans. La majorité des gestantes (77,5 %) avaient un espace inter génésique >18 mois. Dans 56,1 % des cas, elles avaient fait leur dernière consultation prénatale dans un centre non chirurgical (USP). Parmi les différentes indications de la césarienne antérieur, l'asphyxie et la disproportion foeto-pelvienne venaient dans 34,3% et 22,5%. La mortalité maternelle était de 0,4 %. Nous avons enregistré 1 cas de décès maternel suite à une hémorragie du post partum par rupture utérine. Nous avions noté au total 9 cas de rupture utérine soit 3,2 %.
Une suspicion d'excès de poids fœtale avec un poids ≥ 3500 g est une indication de césarienne prophylactique. Nous avons enregistré 16 % d'excès de poids fœtal après épreuve utérine réussie. Nous avons enregistré 280 nouveau-nés dont 9 cas de décès périnatales soit 3,4% des cas, tout mode d'accouchement confondu.
Conclusion : Le taux de réussite de l'épreuve utérine est significativement bas parmi les femmes soigneusement sélectionnées. Une consultation prénatale de qualité et une préparation rigoureuse à l'accouchement est un gage d'un meilleur pronostic.

Abstract

Abstract
Objective: To study the epidemiological, clinical, and prognostic aspects of childbirth in pregnant women with a unicornuate uterus at the Sotouboua Prefectural Hospital Center
Patients and methods: This was a descriptive cross-sectional study conducted in the gynecology and obstetrics department of the Sotouboua Prefectural Hospital Center from June 30, 2023, to June 30, 2025.
Results: The uterine test was performed on 211 parturients with a 20% success rate. The average age was 28.6 years, with extremes of 16 and 45 years. The majority of pregnant women (77.5%) had an intergenetic interval >18 months. In 56.1% of cases, they had their last prenatal consultation in a non-surgical center (USP). Among the various indications for previous cesarean section, asphyxia and fetal-pelvic disproportion occurred in 34.3% and 22.5% of cases, respectively. Maternal mortality was 0.4%. We recorded one case of maternal death following postpartum hemorrhage due to uterine rupture. We noted a total of nine cases of uterine rupture, or 3.2%. Suspected fetal macrosomia with a weight ≥ 3500 g is an indication for prophylactic cesarean section. We recorded 16% fetal macrosomia after successful uterine testing. We recorded 280 newborns, including 9 cases of perinatal death, or 3.4% of cases, regardless of mode of delivery.
Conclusion: The success rate of uterine testing is significantly low among carefully selected women. High-quality prenatal care and rigorous preparation for delivery are key to a better prognosis.

P.2

Analyse comparative des profils de résistance aux antimicrobiens des entérobactéries isolées du portage chez des patients ambulatoires et des infections cliniques en milieu urbain

Comparative analysis of antimicrobial resistance profiles in Enterobacteriaceae isolates from outpatient carriages and clinical infections in an urban setting

Kobina Amandzé Adams Kofi[1], kofi.adams17@outlook.fr ; Kouadio Stéphane Koffi[2]; Adou Koffi Mathieu Kra[1]; Ivan Alexia Yapi[2]; N'Douba Adèle Kacou[2]; Nathalie Guessend[3]

[1] Laboratoire de Biologie et Santé, UFR Biosciences, Université Félix Houphouët Boigny, Côte d'Ivoire

[2] Département de Sciences fondamentales et biocliniques, UFR Sciences Médicales, Université Félix Houphouët Boigny, Côte d'Ivoire

[3] Institut Pasteur de Côte d'Ivoire

Résumé

L'émergence et la propagation des entérobactéries multirésistantes en milieu communautaire et hospitalier constituent un problème de santé publique, en particulier dans les zones urbaines densément peuplées. Bien que la résistance aux antimicrobiens chez les isolats cliniques ait été largement étudiée, les profils de résistance des souches issues du portage intestinal restent encore peu documentés, malgré leur rôle potentiel en tant que réservoirs importants de gènes de résistance. Une approche intégrée incluant à la fois les isolats de portage et les isolats cliniques serait nécessaire pour mieux comprendre la dynamique de la résistance aux antimicrobiens. Ainsi, cette étude visait à comparer les profils de résistance aux antibiotiques des entérobactéries isolées du portage digestif chez des patients ambulatoires et de celles responsables d'infections cliniques. Au total, 196 souches incluant les espèces E. coli, K. pneumoniae et E. cloacae ont été analysées, dont 60 isolats de portage et 136 isolats cliniques. Les tests de sensibilité ont été réalisés par diffusion en disque selon les recommandations du CASFM 2023. Les profils de résistance ont été classés en MDR, XDR ou PDR selon Magiorakos et al., et l'indice MAR a été calculé. Les résultats ont montré une forte prévalence de souches MDR (86,73%) dans les deux groupes, avec des profils de résistance distincts selon l'origine des isolats. Les souches de portage présentaient des niveaux de résistance plus élevés aux céphalosporines, aux fluoroquinolones, aux monobactames, aux tétracyclines et aux sulfamides (MAR : 0,76±0,09), tandis que les souches cliniques montraient une résistance accrue aux aminosides et aux carbapénèmes (MAR : 0,65 ±0,18). Les phénotypes XDR (6,12%) et PDR (1,02%) ont été principalement identifiés parmi les isolats cliniques. Ces résultats soulignent le rôle du portage intestinal comme réservoir de la résistance aux antimicrobiens et appuient la nécessité de stratégies intégrées de surveillance communautaire et hospitalière en milieu urbain.

Abstract

The emergence and spread of multidrug-resistant Enterobacteriaceae (MDR-E) in community and hospital settings constitute a major public health challenge, particularly in densely populated urban areas. Although antimicrobial resistance among clinical isolates has been commonly studied, resistance profiles of intestinal carriage strains remain poorly documented, despite their potential role as important reservoirs of resistance genes. An integrated approach including both carriage and clinical isolates is therefore necessary to better understand antimicrobial resistance dynamics. This study aimed to compare the antibiotic resistance profiles of Enterobacteriaceae isolated from digestive carriage in outpatients and from clinical infections. A total of 196 strains, including Escherichia coli, Klebsiella pneumoniae, and Enterobacter cloacae, were analyzed, comprising 60 carriage isolates and 136 clinical isolates. Antimicrobial susceptibility testing was performed using the disk diffusion method according to CASFM guidelines. Resistance profiles were classified as multidrug-resistant (MDR), extensively drug-resistant (XDR), or pandrug-resistant (PDR) based on the criteria of Magiorakos et al., and the multiple antibiotic resistance (MAR) index was calculated. Overall, a high prevalence of MDR strains was observed (86.73%) in both groups, with distinct resistance patterns depending on the source. Carriage strains showed higher resistance to cephalosporins, fluoroquinolones, monobactams,

tetracyclines, and sulfonamides (MAR index: 0.76 ± 0.09), whereas clinical strains exhibited increased resistance to aminoglycosides and carbapenems (MAR index: 0.65 ± 0.18). XDR (6.12%) and PDR (1.02%) phenotypes were mainly identified among clinical isolates. These findings emphasize the role of intestinal carriage as a reservoir of antimicrobial resistance and support the need for integrated community-hospital surveillance strategies in urban settings.

P.3

Analyse coût-efficacité de la chimioprophylaxie du paludisme saisonnier chez les enfants de moins de 5 ans dans le département des Collines au Bénin en 2025

COST-EFFECTIVENESS ANALYSIS OF SEASONAL MALARIA CHEMOPREVENTION AMONG CHILDREN UNDER 5 YEARS OLD IN THE COLLINES DEPARTMENT, BENIN, IN 2025

Codjo Abodourin albert Charles Patrick Makoutode[1], makoutotodepatrick@yahoo.fr ; Lamidhi Salami[2]; Rilwane Djibril[2]

[1] Institut Régional de la Santé Publique, Université d'Abomey-Calavi, Benin, Auteur

[2] nstitut Régional de la Santé Publique, Université d'Abomey-Calavi, Benin, co-auteur

Résumé

Introduction : Le paludisme demeure un défi majeur de santé publique en Afrique subsaharienne, représentant 40% des consultations et la première cause de mortalité chez les enfants de moins de 5 ans au Bénin. La Chimioprophylaxie du Paludisme Saisonnier est une intervention préventive prometteuse, mais son rapport coût-efficacité dans le contexte spécifique du département des Collines reste à établir. Cette étude visait à analyser le coût-efficacité de la CPS chez les enfants de moins de 5 ans dans le département des Collines au Bénin en 2025.
Méthodes : Il s'agit d'une analyse coût-efficacité réalisée de mars à avril 2025. L'échantillon comprenait 454 ménages sélectionnés par échantillonnage probabiliste à plusieurs degrés en plus des données exhautives du système de surveillance de routine. Les données ont été analysées avec Stata 18.4 et Python 3.10. Des tests de sensibilité univariée et multivariée ont été réalisés avec des simulations de Monte Carlo sur 10000 itérations pour évaluer la robustesse des résultats.
Résultats : La CPS a permis une réduction de 19,94% des cas de paludisme et de 32,50% des décès entre 2023 et 2024. La couverture du premier jour était excellente (101,52%) mais chutait drastiquement aux jours 2 et 3 (environ 49%). Le coût total de l'intervention s'élevait à 246 505 194,5 FCFA. Le coût par DALY évitée était de 123 376 FCFA, le coût par cas évité de 17 333 FCFA, avec un retour sur investissement de 138%. La connaissance de la CPS était de 98,2% avec un taux de satisfaction de 94,5%. Les parents ont perçu une réduction de 85,8% des épisodes de paludisme chez leurs enfants.
Conclusion : La CPS est une intervention coût-efficace selon les critères de l'OMS dans le département des Collines. Cependant, la faible observance aux jours 2 et 3 limite son efficacité optimale. Le passage à une stratégie DOT3 est recommandé pour maximiser l'impact sanitaire et économique.
Mots-clés : Chimioprophylaxie du paludisme saisonnier, analyse coût-efficacité, enfants de moins de 5 ans, Collines, Bénin.

Abstract

Introduction: Malaria remains a major public health challenge in sub-Saharan Africa, accounting for 40% of consultations and serving as the leading cause of mortality among children under 5 in Benin. Seasonal Malaria Chemoprevention (SMC) is a promising preventive intervention, but its cost-effectiveness within the specific context of the Collines department remains to be established. This study aimed to analyze the cost-effectiveness of SMC among children under 5 in the Collines department, Benin, in 2025.
Methods: This is a cost-effectiveness analysis conducted from March to April 2025. The sample included 454 households selected through multi-stage probability sampling, supplemented by exhaustive data from the routine surveillance system. Data were analyzed using Stata 18.4 and Python 3.10. Univariate and multivariate sensitivity analyses were performed using Monte Carlo simulations with 10,000 iterations to assess the robustness of the results.
Results: SMC led to a 19.94% reduction in malaria cases and a 32.50% reduction in deaths between 2023 and 2024. Day 1 coverage was excellent (101.52%) but dropped drastically on days 2 and 3 (approximately 49%). The total cost of the intervention amounted to 246,505,194.5 FCFA. The cost per DALY (Disability-Adjusted Life Year) averted was 123,376 FCFA, and the cost per case averted was

17,333 FCFA, with a return on investment of 138%. Knowledge of SMC stood at 98.2% with a satisfaction rate of 94.5%. Parents perceived an 85.8% reduction in malaria episodes among their children.
Conclusion: SMC is a cost-effective intervention according to WHO criteria in the Collines department. However, low adherence on days 2 and 3 limits its optimal effectiveness. Transitioning to a DOT3 strategy (Directly Observed Treatment over 3 days) is recommended to maximize both health and economic impact.

P.4

Analyse de la disponibilité de dispositifs orthopédiques implantables au bloc opératoire du CHU d'Angré d'octobre à décembre 2024

Analysis of the availability of implantable orthopedic devices in the operating room at Angré University Hospital from October to December 2024

Sounan Serge Alain KONE[1], konesounansergealain@gmail.com ; Eyou Florent Daniel MISSA[1]; Clémence Kakwokpo N'GUESSAN[2]; Gnahoré José Arthur LIA[2]; Nouho BINATE[1]; Alain KACOU[1]

[1] Centre Hospitalier Universitaire D'Angré

[2] Laboratoire des sciences du médicament, sciences analytiques et santé publique, Unité de formation et de recherche des sciences pharmaceutiques et biologiques, Université Felix Houphouët-Boigny, Abidjan, Côte d'Ivoire

Résumé

Introduction
La disponibilité des médicaments et dispositifs médicaux au bloc opératoire constitue un indicateur essentiel de la qualité des soins, garantissant la continuité et l'efficacité des interventions chirurgicales. Dans ce cadre, cette étude se propose d'analyser la disponibilité des dispositifs orthopédiques implantables (DOI) au bloc opératoire du CHU d'Angré, sur la période d'octobre à décembre 2024 en vue d'améliorer la prise en charge des patients.
Méthode
Il s'agit d'une étude transversale rétrospective menée sur 322 patients ayant bénéficié d'une dispensation de dispositifs médicaux implantables en chirurgie orthopédique. Les données ont été recueillies à partir des registres de dispensation sur trois mois : octobre (88 patients), novembre (154) et décembre (80).
Résultats
En octobre, la disponibilité des implants était limitée : 65% pour les plaques et clous, 69,61% pour les vis (représentant 73% du stock), et 100% pour les broches. Les prothèses de hanche ont connu une rupture critique (80%), tandis que le ciment osseux était totalement indisponible. Entre octobre et novembre, une réduction de 29,5 % des demandes a été observée, avec une nette amélioration de la disponibilité de produits (de 65,5% à 92%) dont une résolution complète de la rupture du ciment osseux. La disponibilité moyenne est passé de 69,78 à 93,88 %. En décembre, le taux de rupture a atteint son pic (48%), avec des indisponibilités majeures : fixateurs (100 %), vis (63,77%), fiches de fixateurs externe (55,56%), etc. Toutefois nous avons obtenus une disponibilité satisfaisante de ciment (100%), de fil de cerclage (100%), de broches (80,65%) et de prothèse de hanche (76,47% : net progrès par rapport à octobre).
Conclusion
Cette étude a permis d'attirer l'attention sur l'importance de la disponibilité des dispositifs orthopédiques implantables au bloc opératoire afin d'identifier les éventuelles ruptures, d'évaluer la régularité de l'approvisionnement et d'améliorer la qualité de la prise en charge chirurgicale.

Abstract

Introduction
The availability of drugs and medical devices in the operating room is an essential indicator of the quality of care, ensuring the continuity and effectiveness of surgical procedures. In this context, this study aims to analyze the availability of implantable orthopedic devices (IODs) in the operating room of the Angré University Hospital Center between October and December 2024 with a view to improving patient care.
Method
This is a retrospective cross-sectional study of 322 patients who received implantable medical devices for orthopedic surgery. Data were collected from dispensing records over a three-month period: October (88 patients), November (154), and December (80).
Results

In October, implant availability was limited: 65% for plates and nails, 69.61% for screws (representing 73% of stock), and 100% for pins. Hip prostheses experienced a critical shortage (80%), while bone cement was completely unavailable. Between October and November, there was a 29.5% reduction in demand, with a marked improvement in product availability (from 65.5% to 92%), including a complete resolution of the bone cement shortage. Average availability rose from 69.78% to 93.88%. In December, the shortage rate peaked (48%), with major unavailability of fixators (100%), screws (63.77%), external fixator pins (55.56%), etc. However, we achieved satisfactory availability of cement (100%), cerclage wire (100%), pins (80.65%), and hip prostheses (76.47%: a significant improvement compared to October).

Conclusion

This study has drawn attention to the importance of the availability of implantable orthopedic devices in the operating room in order to identify potential shortages, assess the regularity of supply, and improve the quality of surgical care.

P.5

Annonce du diagnostic de cancer en contexte de pays à ressources limitées: expérience de Bobo-Dioulasso

Disclosure of cancer diagnosis in a low-resources setting: experience from Bobo-Dioulasso

Mariama Stéphanie MILLOGO, msmillogo@yahoo.com

Université Nazi Boni

Résumé

Titre :
L'annonce du diagnostic de cancer en contexte de pays à ressources limitées : expérience de Bobo-Dioulasso
Introduction :
L'annonce d'un diagnostic de cancer constitue un moment critique du parcours de soins, particulièrement dans les pays à ressources limitées (PRL), où les facteurs socio-économiques et culturels influencent fortement l'adhésion thérapeutique. Cette étude vise à analyser les difficultés liées à l'annonce du cancer au Burkina Faso et à identifier les facteurs associés à l'abandon de la prise en charge.
Méthodes :
Il s'agissait d'une étude rétrospective menée au Centre Hospitalo-Universitaire Sourô Sanou de Bobo-Dioulasso. Elle incluait 310 patients suivis en oncologie médicale en 2025. Les taux d'abandon après l'annonce du diagnostic ont été analysés, ainsi que les raisons rapportées par les patients ayant interrompu leur prise en charge.
Résultats :
Un abandon de la prise en charge a été observé chez 10 % des patients après l'annonce du diagnostic. Les principales causes identifiées étaient les difficultés financières (60 %), les croyances en des causes mystiques (15 %), le recours aux tradipraticiens (10 %), une compréhension insuffisante de l'annonce médicale (7 %), la perte de vue (5 %) et le désespoir (3 %).
Discussion et Conclusion :
Ces résultats mettent en évidence le rôle majeur des barrières financières et socioculturelles dans la prise en charge du cancer en PRL, en cohérence avec les données de la littérature. La proportion de patients ayant une compréhension insuffisante de l'annonce souligne la nécessité d'adapter les stratégies de communication médicale. L'annonce du cancer au Burkina Faso demeure un processus complexe nécessitant une approche globale intégrant le renforcement des compétences en communication, le soutien psychosocial et l'accompagnement financier afin d'améliorer l'adhésion thérapeutique et le pronostic des patients.

Abstract

Title:
Disclosure of Cancer Diagnosis in a Low-Resource Setting: Experience from Bobo-Dioulasso
Introduction:
Disclosure of a cancer diagnosis represents a critical step in the care pathway, particularly in low-resource settings (LRS), where socioeconomic constraints and cultural beliefs strongly influence treatment adherence. This study aimed to analyze challenges related to cancer diagnosis disclosure in Burkina Faso and to identify factors associated with discontinuation of care.
Methods:
A retrospective study was conducted at the Sourô Sanou University Hospital in Bobo-Dioulasso. It included 310 patients managed in medical oncology in 2025. Rates of treatment discontinuation following diagnosis disclosure were assessed, and the reasons reported by patients who interrupted their care were analyzed.
Results:
Treatment discontinuation after diagnosis disclosure was observed in 10% of patients. The main

reasons identified were financial difficulties (60%), beliefs in mystical causes of disease (15%), recourse to traditional healers (10%), insufficient understanding of the medical disclosure (7%), loss to follow-up (5%), and psychological distress or hopelessness (3%).
Discussion and Conclusion:
These findings highlight the predominant role of financial and sociocultural barriers in cancer care in low-resource settings, consistent with data from similar contexts. The proportion of patients with insufficient understanding of the diagnosis underscores the need to adapt medical communication strategies. Cancer diagnosis disclosure in Burkina Faso remains a complex process requiring a holistic approach that includes improved communication skills, psychosocial support, and financial assistance to enhance treatment adherence and patient outcomes.

P.6

Appauvrissement lié aux dépenses de santé en côte d'ivoire : fréquence et inégalités au niveau des ménages

Health expenditure-related impoverishment in Côte d'Ivoire: frequency and inequalities at household level

Kouamé KOFFI, koffiso@gmail.com

Département des Sciences Analytiques et Santé Publique, Université Félix Houphouët-Boigny, Abidjan, Côte d'Ivoire.

Résumé

Introduction : L'appauvrissement lié aux dépenses de santé est un indicateur clé de la protection financière dans le cadre de la couverture sanitaire universelle. L'objectif de cette étude était d'estimer la fréquence de l'appauvrissement et sa distribution selon les caractéristiques sociodémographiques, socioéconomiques et sanitaires des ménages.
Méthodes Il s'agit d'une analyse secondaire des données de l'EHCVM 2021. L'analyse a inclus 12 965 ménages et utilisé des méthodes statistiques descriptives bivariées (test du Chi-carré).
Résultats: Dans l'échantillon, 2,73 % des ménages ont connu un appauvrissement après des dépenses de santé. Le risque varie significativement selon plusieurs facteurs : il est plus élevé dans les ménages dirigés par une femme (15,73 % vs 10,81 % ; p<0,001) et augmente avec l'âge du chef de ménage (jusqu'à 15,43 % chez les ≥65 ans ; p<0,001). Une scolarisation plus élevée est associée à un risque plus faible (jusqu'à 0,97 % au niveau supérieur ; p<0,001). Les ménages ruraux sont davantage exposés (16,13 %) que les urbains (6,24 %) et ceux d'Abidjan (0,61 %) (p<0,001). Par ailleurs, l'appauvrissement atteint 61,95 % dans le quintile le plus pauvre contre 0,03 % dans le plus riche (p<0,001). L'assurance maladie joue un rôle protecteur, avec des niveaux plus faibles chez les ménages couverts par la CMU (4,18 %) ou par d'autres régimes (0,40 %) que chez les non assurés (12,30 %). La présence de maladie chronique est associée à un risque plus élevé (p=0,007), contrairement à l'hospitalisation récente et à l'exposition à la COVID-19 (p>0,05) qui n'ont pas d'effets significatifs.
Conclusion : L'appauvrissement post-dépenses de santé est faible mais fortement concentré chez les ménages pauvres et ruraux. L'extension de la Couverture Maladie universelle (CMU) et des mesures de protection ciblées sont essentielles.

Abstract

Introduction: Health expenditure-related impoverishment is a key indicator of financial protection in the context of universal health coverage. The objective of this study was to estimate the frequency of impoverishment and its distribution according to the socio-demographic, socio-economic and health characteristics of households.
Methods: This is a secondary analysis of data from the 2021 EHCVM. The analysis included 12,965 households and used bivariate descriptive statistical methods (Chi-square test).
Results: In the sample, 2.73% of households experienced impoverishment after health expenditure. The risk varies significantly according to several factors: it is higher in female-headed households (15.73% vs. 10.81%; p<0.001) and increases with the age of the head of household (up to 15.43% among those aged ≥65; p<0.001). Higher levels of education are associated with a lower risk (up to 0.97% at the highest level; p<0.001). Rural households are more exposed (16.13%) than urban households (6.24%) and those in Abidjan (0.61%) (p<0.001). Furthermore, impoverishment reaches 61.95% in the poorest quintile compared to 0.03% in the richest (p<0.001). Health insurance plays a protective role, with lower levels among households covered by CMU (4.18%) or other schemes (0.40%) than among the uninsured (12.30%). The presence of chronic disease is associated with a higher risk (p=0.007), unlike recent hospitalisation and exposure to COVID-19 (p>0.05), which have no significant effects.
Conclusion: Post-health expenditure impoverishment is low but highly concentrated among poor and rural households. The extension of universal health coverage (CMU) and targeted protection measures are essential.

P.7

Aspects épidémiologiques et étiologiques des décès néonatals à l'hôpital de Bè au Togo

Epidemiological and etiological aspects of neonatal deaths at the Bè hospital in Togo

Kwami Gagnon AZIALEY[1], drazialey@yahoo.fr ; Abace DADJA[2]; Koffi Edem DJADOU[3]

[1] Département de santé publique, Université de Lomé

[2] Ecole Nationale des Sages-Femmes de Tsévié, Togo

[3] Département de Pédiatrie, Université de Lomé

Résumé

Introduction : les décès néonatals constituent un problème de santé publique et de développement. Au Togo, l'OMS estime le taux de mortalité néonatale à 27 pour 1000 naissances vivantes en dépit des efforts d'amélioration de la santé maternelle.
Objectif : Cette étude avait pour but de décrire l'ampleur des décès néonatals dans un hôpital à caractère régional qu'est l'hôpital de Bè et d'analyser les facteurs associés.
Méthodes : Il s'est agi d'une étude transversale et à visée analytique portant sur les décès néonatals du 1er janvier 2020 au 31 décembre 2024. Les données ont été collectées à l'aide d'un questionnaire standard digitalisé. Une régression logistique multivariée a été faite.
Résultats : Au total 641 cas décès néonatals ont été enregistrés. Le taux de mortalité néonatale hospitalière était de 6,79%. L'asphyxie périnatale (39,47%), les septicémies néonatales (24,95%) et les infections néonatales (17,78%) constituaient les trois (3) premières causes décès néonatals. La multiparité (p = 0,041), les grossesses multiples (p= 0,030), le faible nombre de consultations prénatales (p = 0,012), l'accouchement dans une structure autre qu'une maternité agréée (p = 0,004), la prématurité (p = 0,000), le faible poids de naissance (p = 0,001), le mauvais score d'Apgar (p = 0,000) et la présence d'une pathologie au cours du travail d'accouchement (p = 0,000) étaient les facteurs significativement associés à la survenue des décès néonatals.
Conclusion : Le taux de mortalité néonatale reste élevé. Ces décès sont associés à des facteurs maternels mais aussi à des facteurs socio-économiques. Les efforts pour améliorer la qualité des services de soins périnatals et l'autonomisation de la femme doivent être intensifiés afin de réduire la mortalité néonatale dans nos pays en développement.

Abstract

Introduction: Neonatal deaths are a public health and development problem. In Togo, the WHO estimates the neonatal mortality rate at 27 per 1,000 live births, despite efforts to improve maternal and women's health.
Objective: The aim of this study was to describe the extent of neonatal deaths in a regional hospital, the Bè hospital, and to analyze the associated factors.
Method: This was a descriptive cross-sectional and analytical study of neonatal death cases from January 1, 2020, to December 31, 2024. Data was collected using a standard digital questionnaire. Multivariate logistic regression was performed.
Results: A total of 641 neonatal deaths were recorded. The hospital neonatal mortality rate was 6.79%. Perinatal asphyxia (39.47%), neonatal sepsis (24.95%) and neonatal infections (17.78%) were the three (3) leading causes of neonatal death. Mutiparity (p = 0,041), multiple pregnancy (p= 0,030), low number of antenatal consultations (p = 0,012), delivery in a facility other than an approved maternity hospital (p = 0,004), prematurity (p = 0,000), low birth weight (p = 0,001), poor Apgar score (p = 0,000) and pathologies occurring during labor (p = 0,000) were the factors significantly associated with the occurrence of neonatal deaths.
Conclusion: The neonatal mortality rate remains high. These deaths are associated with maternal factors as well as socioeconomic factors. Efforts to improve the quality of perinatal care services and the empowerment of women must be intensified to reduce neonatal mortality in our developing countries.

P.8

Aspects expérimentaux des dysfonctions sexuelles associées au chlorhydrate d'oxycodone chez le rongeur

Experimental aspects of sexual dysfunctions associated with oxycodone hydrochloride in rodents

Landry Martial MIGUEL[1], miguel_landry@yahoo.fr ; Archange Michel MBOUNGOU MALONGA[1]; Destin MBEMBA BAHAMBOULA[1]; Choupette DOBHAT-DOUKAKINI[2]; Childérick LEKANA[2]; Donatien MOUKASSA[1]; Ange Antoine ABENA[2]

[1] Laboratoire de Biochimie et de Pharmacologie, Université Marien NGOUABI, Congo

[2] Université Dénis SASSOU-N'GUESSO, Congo

Résumé

Problématique. Le chlorhydrate d'oxycodone est un antalgique opioide utilisé dans le traitement de la douleur, qu'elle soit aiguë ou chronique. Utilisé au long cours, il peut contribuer à l'apparition de plusieurs effets secondaires tels que les dysfonctions sexuelles. Objectif. Ce travail avait pour objectif d'analyser les aspects expérimentaux des dysfonctions sexuelles associées au chlorhydrate d'oxycodone chez le rongeur. Matériel et méthodes. Des rats Wistar males et femelles, de poids compris entre 100 et 300g, ont été utulisés. Le chlorhydrate d'oxycodone (aux doses de 5 et 10 mg/kg) a été administé aux animaux quotidiennement, par voie orale, pendant 30 jours. Les variables étudiées comprenaient des mesures comportementales, morphologiques (poids des organs sexuelles), physiologiques (paramètres du sperme), hormonales (taux de FSH, LH, testosterone et progesterone) et une analyse histologique. Résultats. : Sur le plan morphologique, l'exposition des animaux au chlorhydrate d'oxycodone (5 et 10 mg/kg) provoque chez le rat mâle, une raideur de la queue, un priapisme et une atrophie de la prostate, des testicules et de l'épididyme, dont l'intensité est dose-dépendante. Chez la femelle, le chlorhydrate d'oxycodone a provoqué des altérations morphologiques sévères, telles que des masses annexielles palpables et une augmentation significative du poids des ovaires. Concernant les paramètres du spermogramme, le chlorhydrate d'oxycodone a entraîné une diminution significative de la mobilité des spermatozoïdes et du nombre de spermatozoïdes normaux Les résultats obtenus montrent également une diminution significative des taux de FSH, testosterone (chez le mâle) et progesterone (chez la femelle). L'analyse histologique a revélé la presence des altérations microscopiques, comme des nodules granulomateux corticaux, ont été constatées dans les ovaires des rates exposées au chlorhydrate d'oxycodone. Conclusion. L'administration prolongée d'oxycodone (chlorhydrate) aux doses de 5 et 10 mg/kg, a entraîné des altérations morphologiques sévères, des perturbations des paramètres du spermogramme, une déplétion hormonale et la presence d'anomalies ovariennes microscopiques.

Abstract

Background. Oxycodone hydrochloride is an analgesic opioid used to treat acute and chronic pain. Long-term use can contribute to several side effects, including sexual dysfunction. Objective. This study aimed to analyze the experimental aspects of sexual dysfunction associated with oxycodone hydrochloride in rodents. Materials and methods. Male and female Wistar rats, weighing between 100 and 300 g, were used. Oxycodone hydrochloride (at doses of 5 and 10 mg/kg) was administered orally to the animals daily for 30 days. The variables studied included behavioral, morphological (sex organ weight), physiological (sperm parameters), and hormonal (FSH, LH, testosterone, and progesterone levels) measurements, as well as histological analysis. Results. Morphologically, exposure of animals to oxycodone hydrochloride (5 and 10 mg/kg) caused queue rigidity, priapism, and atrophy of the prostate, testes, and epididymis in male rats, the severity of which was dose-dependent. In females, oxycodone hydrochloride caused severe morphological alterations, such as palpable adnexal masses and a significant increase in ovarian weight. Regarding semen analysis, oxycodone hydrochloride resulted in a significant decrease in sperm motility and the number of normal sperm. The results also showed a significant decrease in FSH, testosterone (in males), and progesterone (in females) levels. Histological analysis revealed the presence of microscopic alterations, such as cortical granulomatous nodules, in

the ovaries of individuals exposed to oxycodone hydrochloride. Conclusion: Prolonged administration of oxycodone (hydrochloride) at doses of 5 and 10 mg/kg resulted in severe morphological alterations, disturbances in spermogram parameters, hormonal depletion, and the presence of microscopic ovarian abnormalities.

P.9

Association entre les polymorphismes rs11003125 et rs7096206 du promoteur du gène MBL2 et l'infection par le virus de l'hépatite B au Burkina Faso

Association between MBL2 gene promoter polymorphisms rs11003125 and rs7096206 and hepatitis B virus infection in Burkina Faso.

Minane Nafissa TRIANDE[1], triandeminane2@gmail.com ; Lassina TRAORE[1]; Sidnooma Véronique ZONGO[1]; Teega-Wendé Clarisse OUEDRAOGO[1]; Mousso SAVADOGO[1]; Florencia Wendkuuni DJIGMA[1]; Jacques SIMPORE[2]

[1] Université Joseph KI-ZERBO, Laboratoire de Biologie Moléculaire et de Génétique (LABIOGENE), 03 BP 7021 Ouagadougou 03

[2] Centre de Recherche Biomoléculaire Pietro Annigoni (CERBA), BP 364 Ouagadougou 01, Burkina Faso

Résumé

Contexte : L'infection par le Virus de l'hépatite B (VHB) est un problème de santé publique à l'échelle mondiale dont l'évolution est particulièrement influencée par les facteurs génétiques et immunitaires de l'hôte, en l'occurrence le gène de la lectine liant le mannose 2 (MBL2). Cette étude vise donc à évaluer l'implication du gène MBL2 dans l'évolution de l'infection chez les patients infectés par le VHB au Burkina Faso.
Méthode : Cette étude a recruté 74 participants dont 12 cas d'hépatite B chronique (HBC), 28 cas de carcinome hépatocellulaire (CHC), 12 cas de cirrhose et 22 cas d'hépatite B résolue (HBR). Après l'extraction de l'ADN génomique, le génotypage des polymorphismes a été réalisé par la PCR en temps réel avec le QuantStudioTM5. Les résultats ont été analysés à l'aide de SPSS version 20 et d'Epi info version 7.5.2.0. Les Odds Ratio (OR), les intervalles de confiance (IC) et les valeurs de p ont été calculés pour déterminer les différences entre les groupes, et évaluer les niveaux de risque (les différences statistiques avec p-value < 0,05 ont été considérées comme significatives).
Résultats : De cette étude, il en ressort que les porteurs du profil hétérozygote GC du rs11003125 était les plus représentés avec 77% contre 16.2% pour les homozygotes sauvages GG et 6.8% pour les homozygotes mutés CC. L'étude du polymorphisme rs7096206 a révélé une fréquence de 43.2% pour le génotype sauvage CC et 28.4% pour l'hétérozygote CG et l'homozygote GG chacun. Le portage du génotype GG et l'allèle G du rs7096206 étaient associés à la "résolution de l'infection" (OR=0.02; IC=0.0002-0.3; p=0.0003 et OR=0.06; IC=0.01-0.2; p=0.000003 respectivement) et à la protection contre l'évolution de la cirrhose vers le CHC (OR=0.25; IC=0.09-0.7; p=0.006). De plus, l'allèle C du rs11003125 pourrait également réduire le risque que l'infection évolue vers le CHC (OR=0.3; IC=0.1-0.7; p=0.01).
Conclusion : Notre étude a montré que les allèles C et G des polymorphismes rs11003125 et rs7096206 du gène MBL2 pourraient conférer une protection contre l'hépatite chronique, la cirrhose et le CHC. Ces résultats soulignent l'importance des connaissances sur l'expression et les mécanismes d'action de ce gène, qui pourront servir de biomarqueurs efficaces pour le pronostic des formes graves de l'infection par le VHB.

Abstract

Background: Hepatitis B Virus (HBV) infection is a global public health problem whose evolution is particularly influenced by host genetic and immune factors, in this case the mannose-binding lectin 2 (MBL2) gene. This study therefore aims to assess the involvement of the MBL2 gene in the course of infection in HBV-infected patients in Burkina Faso.
Method: For this study, we recruited 74 participants in 2022 according to inclusion/exclusion criteria, including 12 cases of chronic hepatitis B (CHB), 28 cases of hepatocellular carcinoma (HCC), 12 cases of cirrhosis and 22 cases of resolved hepatitis B (RBH). Real-time PCR with QuantStudioTM5 was used to genotype the rs11003125 and rs7096206 polymorphisms of the MBL2 gene. Results were analyzed using SPSS version 20 and Epi info version 7.5.2.0 (statistical differences with p-value < 0.05 were considered significant).

Results: Results: Carriers of the rs11003125 GC heterozygote profile were the most represented at 77%, compared with 16.2% for GG wild-type homozygotes and 6.8% for CC mutated homozygotes. Study of the rs7096206 polymorphism revealed a frequency of 43.2% for the wild CC genotype, 28.4% for the heterozygous CG and homozygous GG each. Carrying the GG genotype and the G allele of rs7096206 were associated with “resolution of infection” (OR=0.02; CI=0.0002-0.3; p=0.0003 and OR=0.06; CI=0.01-0.2; p=0.000003 respectively) and protection against progression from cirrhosis to HCC (OR=0.25; CI=0.09-0.7; p=0.006). Moreover, the C allele of rs11003125 could also reduce the risk of infection progressing to HCC (OR=0.3; CI=0.1-0.7; p=0.01).
Conclusion: Our study has shown that the C and G alleles of the rs11003125 and rs7096206 polymorphisms of the MBL2 gene may confer protection against chronic hepatitis, cirrhosis and HCC. These results underline the importance of knowledge about the expression and mechanisms of action of this gene, which could serve as effective biomarkers for the prognosis of severe forms of HBV infection.

P.10

Audit des décès néonataux au Centre Hospitalier Universitaire de Kara

audit of neonatal deaths at the Kara University Hospital Centre

Ouro-Bagna Tchagbele[1], otchagbele@gmail.com ; Komi Deladem Azoumah[1]; Kokou Agbékogni Réné Segbedji[1]; Sollim Myriam Talboussouma[1]; Kadji kombieni[1]; Adama Dodji Gbadoe[2]

[1] Equipe de recherche en santé de l'enfant – Faculté des Sciences de la santé-Université de Kara

[2] Département de pédiatrie – Faculté des Sciences de la Santé –Université de Lomé

Résumé

Titre : audit des décès néonataux au Centre Hospitalier Universitaire de Kara
Objectif : identifier les différents retards et les causes de la mortalité néonatale.
Matériel et méthodes : Il s'est agi d'une étude transversale descriptive portant sur 46 cas de décès néonatals audités à l'unité de néonatologie du service de pédiatrie au Centre Hospitalier Universitaire de Kara (CHU-K) sur une période de 06 mois (1er janvier au 30 juin 2023).
Résultats : La mortalité hospitalière néonatale était de 129,1‰. Plus de trois quart (84,8%) des décès étaient survenus dans la première semaine et majoritairement (56,4%) à la garde. Les principales causes présumées de décès étaient, la prématurité et ses complications (45,6%), l'asphyxie périnatale (26,1%) et l'infection néonatale (21,7%). Les 3 classiques retards ont été identifiés dans ce travail.
Conclusion : La prématurité et ses complications, l'asphyxie périnatale et l'infection néonatale étaient les principales causes de mortalité néonatale dans notre service. Pour réduire cette mortalité, il est nécessaire de vaincre les trois retards qui y concourent par la correction des différents éléments.
Mots clés : Nouveau-né, mortalité néonatale, audit médical et néonatologie, Togo.

Abstract

Title : audit of neonatal deaths at the Kara University Hospital Centre
Objectif : identify the various delays and causes of neonatal mortality.
Material and methods: This was a descriptive cross-sectional study of 46 cases of neonatal death audited in the neonatology unit of the pediatrics department at the University Hospital Centre of Kara (CHU-K) over a period of 06 months (January 1 to June 30, 2023).
Results: Neonatal hospital mortality was 129,1‰. More than three-quarters (84.8%) of deaths had occurred within the first week, and the majority (56.4%) at the ward. The main presumed causes of death were, prematurity and its complications (45.6%), perinatal asphyxia (26.1%) and neonatal infection (21.7%).
The 3 classic delays were identified in this study.
Conclusion: Prematurity and its complications, perinatal asphyxia and neonatal infection are the main causes of neonatal mortality in our department. To reduce this mortality, it is necessary to overcome the three contributing delays by correcting the different elements.
Key words: Newborn, neonatal mortality, medical audit and neonatology, Togo.

P.11

AUTOMEDICATION CHEZ L'ENFANT A LOME, TOGO.

SELF - MEDICATION AMONG CHILDREN IN LOME, TOGO.

Foli Yvon AGBEKO[1], agbekocames2022@gmail.com ; Maradia BANG'NA TCHADJOBO[2]; Pegdwende Edwige PASSERE[2]; Moutawakilou SALIFOU[2]; A. Fataou TCHASSANTI[2]; Elom Ounoo TAKASSI[3]; Koffi Edem DJADOU[4]

[1] service de Pediatrie, CHU Campus,Lomé,Togo

[2] 2. Ecole nationale des auxiliaires médicaux, Lomé, Togo

[3] service de Pediatrie, CHR Lomé Commune,Lomé,Togo

[4] service de Pediatrie, CHR Tsévié, Tsévié, Togo

Résumé

Introduction
L'automédication est un défi majeur de santé publique, au regard des échecs thérapeutiques, les résistances aux antimicrobiens et les effets indésirables des médicaments. L'objectif de ce travail était de déterminer la fréquence de l'automédication chez les enfants hospitalisés.
Méthodes : Etude transversale à visée descriptive et analytique, ce travail sur l'automédication a été mené dans le service de pédiatrie au CHU Sylvanus Olympio, Togo. Il a consisté en une interview des parents dont les enfants, âgés de 0 à 15 ans, étaient hospitalisés du 15 mai au 30 juin 2024.
Résultats : Les parents ont eu recours à l'automédication à une fréquence de 77,9 % (176 / 226). La tranche d'âge d'enfants âgés de 0 à 5 ans a représenté 46,6 %, avec un sexe ratio de 0,96. Les signes motivant cette pratique ont été fièvre (48,9 %) et céphalées (28,5 %). Le traitement était mixte (association de traitement pharmaceutique et traditionnel) (51,6 %). Les médicaments utilisés ont été le Paracétamol (54,8 %), l'Ibuprofène (11,3 %), le Fer (9,7 %) et le Métronidazole (6,9 %). Malgré les médicaments utilisés, 39,8 % des parents se plaignaient de la persistance de la fièvre. Les raisons avancées étaient le manque de moyen (46,7 %), la connaissance de la maladie (24,7 %) et les frais de consultation élevés (16,7 %). Les sources d'approvisionnement ont été les revendeuses ambulantes (57,0 %) et la pharmacie (28,5 %). Les facteurs associés à l'automédication à l'endroit des enfants ont été l'âge des parents de 25 -35 ans (46,8 %), le parent de sexe féminin (70,4 %), le niveau d'instruction primaire (43,0 %), un revenu familial moyen (56,0 %) ou une mère commerçante (26,3 %) ($p<0,05$).
Conclusion : L'automédication est fréquente, perçue par les parents comme un moyen plus efficace et moins coûteux, exposant à des dangers majeurs.
Mots - clés : automédication, médicaments, pédiatrie

Abstract

Introduction : Self - medication is a major public health challenge in terms of treatment failures, antimicrobial resistance (AMR) and adverse effects. The aim of this study was to determine the frequency of self - medication among hospitalised children.
Methods : This descriptive and analytical cross - sectional study on self - medication was conducted in the paediatric department of the Sylvanus Olympio University Hospital in Togo. It consisted of interviews with parents whose children, aged 0 to 15 years, were hospitalised between 15 th May and 30th June 2024.
Results : Parents resorted to self - medication at a rate of 77.9 % (176 / 226). Children aged 0 to 5 years represented 46.6 % of the sample, with a sex ratio of 0.96. The signs motivating this practice were fever (48.9 %) and headaches (28.5 %). Treatment was mixed (combination of pharmaceutical and traditional treatment) (51.6 %). The medicines used were paracetamol (54.8 %), ibuprofen (11.3 %), iron (9.7 %) and metronidazole (6.9 %). Despite the medicines used, 39.8 % of parents complained that the fever persisted. The reasons given were lack of resources (46.7 %), knowledge of the disease (24.7 %) and high consultation fees (16.7 %). The sources of supply were street vendors (57.0 %) and pharmacies (28.5 %). The factors associated with self - medication in children were : parents aged between 25 and 35 (46.8 %), female parents (70.4 %), primary education level (43.0 %), average family income (56.0 %), mother working in commerce (26.3 %) ($p < 0.05$).

Conclusion : Self - medication is common, perceived by parents as a more effective and less costly option, but exposing children to major dangers.
keywords : self - medication, medicines, paediatrics.

P.12

Caractéristiques des patients ayant des dépenses pharmaceutiques élevées en Côte d'Ivoire

Characteristics of high-cost users of prescription drugs in Côte d'Ivoire

Jérôme KOUAME[1], jerome.kouame@yahoo.fr ; Akissi Régine ATTIA-KONAN[1]; Kouame KOFFI[1]; Serge OGA[1]

[1] UFR Sciences Pharmaceutiques et Biologiques, Université Félix Houphouet-Boigny, Côte d'Ivoire

Résumé

Introduction : Dans de nombreux pays, une proportion relativement faible de personnes occasionne d'importantes dépenses pharmaceutiques. Ces personnes, généralement décrits comme étant des Patients à Dépenses Pharmaceutiques Elevées (PDPE), sont la cible privilégiée des mesures visant à maitriser les dépenses pharmaceutiques. Cette étude visait à analyser les caractéristiques des PDPE à la Mutuelle Générale des Fonctionnaires et Agents de l'Etat de Côte d'Ivoire (MUGEFCI).

Méthodes : Nous avons réalisé une analyse rétrospective des données de la MUGEFCI. Les bénéficiaires ayant consommé au moins un médicament remboursé entre le 1er janvier 2014 et le 31 décembre 2018 ont été inclus dans l'étude. Les caractéristiques sociodémographiques, celles relatives aux médicaments et aux établissements de santé ont été collectées. Les PDPE étaient les personnes dont les dépenses pharmaceutiques annuelles étaient supérieures au 95e percentile de dépenses. Des équations d'estimation généralisées (GEE) ont été utilisées pour analyser les associations entre le fait d'être un PDPE et les caractéristiques susmentionnées.
Résultats : Les PDPE avaient des dépenses moyennes de 298439,62±211901,19 à 342681,59±263144,11 francs CFA ont occasionnaient 30,84% à 32,31% des dépenses pharmaceutiques. Les personnes de 65 ans et plus représentaient 1,5 % à 15,8 % des PDPE et occasionnaient 1,41% à 18,25% des dépenses. Par rapport aux personnes de 15-25 ans, celles de 55-65 ans, de 65-75 ans et de plus de 75 ans étaient respectivement 1,47 fois (OR= 1,47 [1,41–1,54], p<0.001), 1,73 fois (OR= 1,73 [1,64–1,82], p<0.001) et 1,5 fois (OR= 1,5 [1,38-1,63], p<0.001)plus susceptibles d'être des PDPE. Les personnes qui consommaient des médicaments cardiovasculaires et des anticancéreux étaient respectivement 18,59 fois (OR= 18,59 [18,55-19,23], p<0.001) et 78,37 (OR= 78,17 [68.85-89.21], p<0.001) fois plus susceptibles d'être des PDPE.
Conclusion : Nos travaux soulignent la nécessité de s'engager dans la prévention des cancers et des maladies cardiovasculaires.

Abstract

Introduction: In many countries, a relatively small proportion of people account for a significant proportion of pharmaceutical expenditure. These individuals, generally described as High-Cost Users (HCUs) are the primary target of measures aimed at controlling pharmaceutical expenditure. This study aimed to analyse the characteristics of HCUs of pres at the Mutuelle Générale des Fonctionnaires et Agents de l'Etat de Côte d'Ivoire (MUGEFCI).

Methods: We conducted a retrospective analysis of MUGEFCI data. Beneficiaries who consumed at least one reimbursed medicine between 1 January 2014 and 31 December 2018 were included in the study. Sociodemographic characteristics, characteristics related to drugs and healthcare facilities were collected. The HCUs were individuals whose annual pharmaceutical expenditure was above the 95th percentile of expenditure. Generalised estimating equations (GEE) were used to analyse the associations between being a HCU and the above-mentioned characteristics.
Results: HCUs had average expenditures of 298,439.62±211,901.19 to 342,681.59±263,144.11 XOF, accounting for 30.84% to 32.31% of pharmaceutical expenditures. People aged 65 and over accounted for 1.5% to 15.8% of PDPEs and accounted for 1.41% to 18.25% of expenditure. Compared to people aged 15–25, those aged 55–65, 65–75 and over 75 were respectively 1.47 times (OR= 1.47 [1.41–1.54], p<0.001), 1.73 times (OR= 1.73 [1.64–1.82], p<0.001) and 1.5 times (OR= 1.5 [1.38-1.63], p<0.001)

more likely to be PDPEs. People who took cardiovascular and anticancer drugs were 18.59 times (OR= 18.59 [18.55-19.23], p<0.001) and 78.37 times (OR= 78.17 [68.85-89.21], p<0.001) times more likely to be HCUs.
Conclusion: Our work highlights the need to engage in the prevention of cancer and cardiovascular disease.

P.13

Comparaison du Profil epidemiologique du Paludisme avant et pendant l'intervention vaccinale dans six districts de la région du Sud-Ouest Cameroun

Comparing Epidemiological Profile of Malaria Before and During Vaccine Intervention in Six Districts of the South West Region of Cameroon

YOLANDE DJIKE PUEPI (epse) FOKAM[1], yolandep2000@yahoo.fr ; CHELSEY CHINWE MEJANG AKPU[2]; DIOMEDE NOUKEU NJINKUI[3]; EDGARD MANDENG[2]; FELICITEE NGUEFACK DONGMO[4]

[1] FACULTE DES SCIENCES DE LA SANTE, UNIVERSITE DE BUEA, CAMEROON

[2] UNIVERSITE DE BUEA, CAMEROUN

[3] FACULTE DE MEDECINE ET DES SCIENCES PHARMACEUTIQUES, UNIVERSITE DE DSCHANG, CAMEROUN

[4] FACULTE DE MEDECINE ET DES SCIENCES BIOMEDICALES, UNIVERSITE DE YAOUNDE I , CAMEROUN

Résumé

Le paludisme est une priorité de santé publique et touche majoritairement les enfants de moins de 5ans. L'OMS recommande depuis 2021, le vaccin RTS,S/AS01 dans les régions à forte transmission du P. falciparum. Le Cameroun l'a introduit dans son programme Elargi de vaccination en janvier 2024 dans 42 Districts de Santé. Dans la Région du Sud-Ouest, le vaccin a été mis en œuvre dans 3 districts sanitaires pilotes : Limbé, Tiko et Mamfé.
L'objectif était de comparer le profil épidémiologique du paludisme avant et pendant l'intervention vaccinale dans six districts de la Région du Sud-Ouest.
Nous avons mené une étude écologique à partir de la plateforme DHIS2 chez les enfants de moins de 5 ans dans chacun des districts sanitaires, pour les périodes de pré-intervention et d'intervention. La charge du paludisme a été comparée entre les deux périodes d'étude dans les 3 districts pilotes, et entre les 3 zones pilotes et non pilotes (Buea, Kumba Nord et Tombel). L'effet du vaccin antipaludique RTS,S a été évalué par le nombre moyen ou le pourcentage de réduction des cas de paludisme non compliqués et graves dans les zones pilotes, comparativement aux districts de santé non pilotes. Une enquête hospitalière a été menée auprès de 133 participants des 6 districts. Un échantillon minimum de 20 soignants dans une structure sanitaire par district a rempli un questionnaire afin de déterminer le taux de sensibilisation et d'acceptabilité.
En janvier 2025, parmi les enfants qui avaient reçu 3 doses de vaccin on notait une réduction de 29,88 % (valeur $p < 0,001$) des cas de paludisme non compliqué confirmés par microscopie, dans les districts de santé de Limbé. Tiko a présenté une réduction moyenne globale des cas de paludisme entre les périodes d'étude ($p > 0,05$). Mamfé a connu une augmentation des pourcentages moyens de cas de paludisme confirmés par le TDR de 25,54 % ($p < 0,001$) et 20,98 % ($p < 0,001$). Entre les zones pilotes et les non-pilotes, Mamfé a enregistré une augmentation des hospitalisations pour paludisme sévère confirmé par TDR (52,42, valeur $p < 0,001$) et par microscopie (5,67, $p = 0,025$) par rapport à Tombel. Le taux de soignants sensibilisés par rapport au vaccin était de 49,6 % et l'acceptabilité 84,6 %.

Conclusion: Le vaccin antipaludique ajouté aux interventions existantes a permis de réduire le nombre de cas de paludisme sévère et non compliqué dans les districts sanitaires de Tiko et de Limbé. Cependant, Mamfé a connu un effet négatif associé au vaccin antipaludique.

Abstract

Malaria is a public health priority and primarily affects children under 5 years of age. Since 2021, the WHO has recommended the RTS,S/AS01 vaccine in regions with high transmission of P. falciparum. Cameroon introduced it into its Expanded Vaccination Program in January 2024 in 42 Health Districts. In the South-West Region, the vaccine was implemented in 3 pilot health districts: Limbe, Tiko, and Mamfe. The objective was to compare the epidemiological profile of malaria before and during the vaccine intervention in six districts of the South-West Region. We conducted an ecological study using the DHIS2 platform among children under 5 years in each health district, for the pre-intervention and

intervention periods. The malaria burden was compared between the two study periods in the 3 pilot districts, and between the 3 pilot and non-pilot areas (Buea, Kumba North, and Tombel). The effect of the RTS,S malaria vaccine was evaluated by the average number or percentage reduction in cases of uncomplicated and severe malaria in pilot areas, compared with non-pilot health districts. A hospital survey was conducted with 133 participants from the 6 districts. A minimum sample of 20 caregivers per health facility per district completed a questionnaire to determine the level of awareness and acceptability.
In January 2025, among children who had received 3 doses of the vaccine, there was a 29.88% reduction ($p < 0.001$) in confirmed uncomplicated malaria cases by microscopy in the Limbé health districts. Tiko showed an overall average reduction in malaria cases between study periods ($p > 0.05$). Mamfé experienced an increase in the average percentages of malaria cases confirmed by RDT of 25.54% ($p < 0.001$) and 20.98% ($p < 0.001$). Between pilot and non-pilot areas, Mamfé recorded an increase in hospitalizations for severe malaria confirmed by RDT (52.42, $p < 0.001$) and by microscopy (5.67, $p = 0.025$) compared to Tombel. The rate of healthcare workers aware of the vaccine was 49.6% and the acceptability was 84.6%.
Conclusion: The malaria vaccine, added to existing interventions, helped reduce the number of severe and uncomplicated malaria cases in the Tiko and Limbe health districts. However, Mamfé experienced a negative effect associated with the malaria vaccine.

P.14

CONCEPTION D'UN OUTIL PRATIQUE DE GESTION DES DISPOSITIFS MEDICAUX : GENERALITES SUR LES DISPOSITIFS MEDICAUX

DESIGN OF A PRACTICAL TOOL FOR MANAGING MEDICAL DEVICES: GENERAL KNOWLEDGE ON MEDICAL DEVICES

Kakwokpo Clémence N'GUESSAN[1], clemencenguessan@yahoo.fr ; Paule Mireille BOKA[1]; Anne-Cinthia AMONKOU[1]; Awa Nakognon TUO[1]; Sandrine Armelle AKA[1]

[1] Université Félix Houphouët-Boigny

Résumé

Introduction :
Dans nos pays, la gestion des dispositifs médicaux reste confrontée à des défis majeurs liés à la diversité des produits et à l'insuffisance de connaissances pratiques des professionnels de santé. Face à ces enjeux, il apparaît nécessaire de disposer d'outils pédagogiques adaptés permettant d'améliorer leur maîtrise.
Objectif :
Présenter un guide pratique de gestion des dispositifs médicaux visant à renforcer les capacités en matière de compréhension, de classification, de traçabilité et de conformité réglementaire des dispositifs médicaux.
Méthodologie :
Le travail repose sur une analyse documentaire approfondie des référentiels internationaux et régionaux applicables aux dispositifs médicaux, notamment les normes ISO (ISO 13485, ISO 14971, ISO 15223-1), les règlements européens (MDR 2017/745 et IVDR 2017/746), la réglementation américaine (FDA – 21 CFR), ainsi que les lignes directrices de l'UEMOA. Ces données ont été synthétisées et organisées sous forme de tableaux et d'outils pratiques facilitant leur appropriation par les utilisateurs.
Résultats
Le guide propose une approche structurée de la gestion des dispositifs médicaux, couvrant :
- les définitions et notions clés nécessaires à l'identification des DM ;
- le cadre institutionnel international et régional ;
- les principales normes techniques et exigences réglementaires ;
- les marquages et pictogrammes essentiels à la sécurité et à la traçabilité ;
- la classification des dispositifs médicaux selon l'abord et la criticité du risque.

Cette organisation permet une meilleure compréhension des obligations liées à la mise sur le marché, à l'utilisation et à la surveillance post-commercialisation des dispositifs médicaux.
Conclusion :
Ce guide pratique constitue un outil pédagogique et opérationnel pour les pharmaciens, biomédicaux, professionnels de santé, responsables qualité et étudiants. Il contribue au renforcement de la sécurité des patients, en particulier dans le contexte des systèmes de santé d'Afrique de l'Ouest.

Abstract

Introduction
In our countries, the management of medical devices still faces major challenges related to product diversity and the insufficient practical knowledge of healthcare professionals. So, it appears necessary to have adapted educational tools to improve their mastery.
Objective
To present a practical guide for the management of medical devices aimed at strengthening capacities in understanding, classifying, tracing, and ensuring regulatory compliance of medical devices.
Methodology
This work is based on an in-depth literature review of international and regional frameworks applicable to medical devices, including ISO standards (ISO 13485, ISO 14971, ISO 15223-1), European regulations (MDR 2017/745 and IVDR 2017/746), US regulations (FDA – 21 CFR), as well as UEMOA

guidelines. This data has been synthesized and organized into tables and practical tools to facilitate their adoption by users.

Results

The guide proposes a structured approach to medical device management, covering:

• Key definitions and concepts necessary for identifying medical devices (MDs);
• The international and regional institutional framework;
• Key technical standards and regulatory requirements;
• Essential markings and pictograms for safety and traceability;
• The classification of medical devices according to administration route and criticality.

This organization allows for a better understanding of obligations related to market placement, use, and post-market surveillance of medical devices.

Conclusion

This practical guide serves as both an educational and operational tool for pharmacists, biomedical engineers, healthcare professionals, quality managers, and students. It contributes to strengthening patient safety, particularly in the context of West African healthcare systems.

P.15

Déplétion des réserves énergétiques impliquée dans la virulence de Metarhizium pingshaense contre An. gambiae s.l., vecteur du paludisme

Energy depletion drives native Metarhizium pingshaense virulence in malaria vector Anopheles gambiae s.l.

Doubé Lucien Lamy[1], lucien_d.l@yahoo.com ; Edounou Jacques Gnambani[2]; Issiaka Saré[2]; Souro Abel Millogo[2]; Moussa Namountougou[3]; Baldini Francesco[4]; Etienne Bilgo[2]

[1] Institut Recherche en Sciences de la Santé, Université Nazi BONI, Burkina Faso

[2] Institut Recherche en Sciences de la Santé

[3] Université Nazi BONI, Burkina Faso

[4] University of Glasgow, UK

Résumé

Introduction : Le Metarhizium spp., champignons entomopathogènes les plus étudié pour le contrôle des moustiques réduit la survie mais aussi la capacité de vol et la prise de repas de sang chez Anopheles gambiae s.l.. Ces activités sont toutes connues pour leur forte demande en énergie. Ce travail visait à évaluer le coût énergétique de l'infection par Metarhizium pingshaense par la quantification des réserves énergétiques de An. gambiae s.l..

Méthodes : Les femelles An. coluzzii VKPER et An. gambiae Kisumu ont été infectées par M. pingshaense S10 à 1×107spore/ml ou traitées avec une solution de tween 80 sans conidies de champignon. Les réserves énergétiques : lipides, glycogène et glucose ont été quantifiées aussi bien sur des moustiques infectés et des contrôles suivant le protocole de Van Handel. Au total, 15 moustiques survivantes de chaque bras de traitement ont été échantillonnées aléatoirement à 1h, 4 et 8 jours post-infection puis conservées à -80°C. L'expérience a été réalisée en 3 répliques. Les concentrations de chaque métabolite ont été analysées suivant un model linéaire mix.

Résultats : M. pingshaense a induit une déplétion significative des réserves glycogéniques (χ^2=11.3, p=0.003) et lipidiques (χ^2=10.3, p=0.005) : glycogène 118.6±14.9 µg/L (contrôles) vs 27.3±14.9 (j4) et 39.7±14.9 µg/L (j8) ; lipides 243.3±19.3 vs 181.0±19.3 (j4) et 200.0±19.3 µg/L (j8). Glucose stable. Effet plus prononcé chez résistants VKPER.

Conclusion : M. pingshaense altère le fitness des moustiques en détournant les réserves énergétiques pour sa croissance végétative au détriment de son hôte. Ce résultat élucide un mécanisme majeur de la virulence du Metarhizium contre les moustiques.

Abstract

Background: Metarhizium spp., the most studied entomopathogenic fungi for mosquito control, reduce survival, flight capacity, and blood-feeding in Anopheles gambiae s.l.. These activities are highly energy-demanding. This study assessed the energy cost of Metarhizium pingshaense infection by quantifying energy reserves in An. gambiae s.l..

Methods: Female An. coluzzii VKPER and An. gambiae Kisumu were infected with M. pingshaense S10 (1×10^7 spores/ml) or treated with Tween 80 solution (control). Energy reserves (lipids, glycogen, glucose) were quantified using the Van Handel protocol in infected and control mosquitoes. Fifteen surviving females per treatment were randomly sampled at 1h, 4 and 8 days post-infection and stored at -80°C. Experiments were run in triplicate. Metabolite concentrations were analyzed using linear mixed-effects models.

Results: M. pingshaense induced significant depletion of glycogen (χ^2=11.3, p=0.003) and lipid reserves (χ^2=10.3, p=0.005): glycogen 118.6±14.9 µg/L (controls) vs 27.3±14.9 (day 4) and 39.7±14.9 µg/L (day 8); lipids 243.3±19.3 vs 181.0±19.3 (day 4) and 200.0±19.3 µg/L (day 8). Glucose levels remained stable across treatments. Metarhizium effects were more pronounced in insecticide-resistant VKPER.

Conclusion: M. pingshaense impairs mosquito fitness by diverting energy reserves toward fungal vegetative growth at the host's expense. These findings elucidate a key mechanism of Metarhizium virulence against mosquitoes.

P.16

Dermatite atopique en milieu hospitalier : une étude cas-témoins selon l'approche One Health

Atopic dermatitis in a hospital setting: a case–control study using the One Health approach

Abla Sefako AKAKPO[1], sefasyl@yahoo.fr ; Julienne Noudé TECLESSOU[2]; Fifonsi Adjidossi GBEASOR[3]; Bayaki SAKA[4]; Didier Koumavi EKOUEVI[3]; Palokinam PITCHE[5]

[1] Service de dermatologie du CHU Sylvanus Olympio ; Université de Lomé, Togo

[2] Service de dermatologie du CHU Campus ; Université de Lomé, Togo

[3] Département de santé publique, FSS ; Université de Lomé, Togo

[4] Service de dermatologie du CHR Tsévié ; Université de Lomé, Togo

[5] Service de dermatologie du CHU Sylvanus Olympio

Résumé

Objectif : Décrire la relation entre les facteurs humains, animaux et environnementaux liés à la dermatite atopique (DA) selon l'approche intégrée One Health (OH).
Méthodes : Il s'est agi d'une étude cas-témoins menée du 15 mars au 15 juin 2025. Ont été inclus des patients de tout âge présentant une DA, diagnostiquée cliniquement selon les critères de Hanifin et Rajka, ainsi que des témoins appariés selon l'âge (±3 ans) et le sexe.
Résultats : Au total, 50 cas ont été appariés à 100 témoins. Les cas présentaient majoritairement un profil pédiatrique avec un âge médian de 84 mois (IIQ : 39-192 mois), une répartition équilibrée des sexes et une prédominance de résidences en milieu urbain. Les antécédents familiaux de DA (28% cas et 7% témoins) et d'asthme (14% cas et 3% témoins) étaient significativement associés à la maladie. Sur le plan clinique, les cas présentaient principalement un prurit (94%), des lésions typiques (papules 80 %, xérose 78%, érythème 52%) et des poussées récurrentes survenant plusieurs fois par an (59,5 %). Les expositions environnementales (poussière, chaleur, allergènes, animaux) étaient fréquentes dans les deux groupes, sans lien statistiquement significatif avec la DA. En analyse multivariable, seuls les antécédents familiaux de DA (RC = 5,47 ; IC95% [1,64-9,3]) et d'asthme (RC = 3,96 ; IC95% [1,54–10,2]) étaient significativement associés à la maladie, confirmant la prédominance des facteurs intrinsèques.
Conclusion : Notre étude a mis en évidence une association significative entre la DA et la présence d'antécédents familiaux de DA et d'asthme, après ajustement sur l'âge. En revanche, aucun facteur environnemental ou animal n'a montré d'influence déterminante. Ces résultats soulignent l'importance des facteurs humains, notamment génétiques dans la survenue de la DA et l'intérêt d'élargir la taille de l'échantillon dans les futures études, afin d'en renforcer la puissance statistique et la robustesse scientifique.
Mots clés : Dermatite atopique, facteurs humains, facteurs environnementaux, One Health

Abstract

Objective: To describe the relationship between human, animal, and environmental factors associated with atopic dermatitis (AD) using the integrated One Health (OH) approach.
Methods: This was a case-control study conducted from March 15 to June 15, 2025. Patients of all ages with atopic dermatitis, clinically diagnosed according to the Hanifin and Rajka criteria, were included, along with controls matched for age (±3 years) and sex.
Results: A total of 50 cases were matched to 100 controls. The cases were predominantly pediatric, with a median age of 84 months (IQR: 39-192 months), an equal sex distribution, and a predominance of urban residence. A family history of atopic dermatitis (28% in cases vs. 7% in controls) and asthma (14% in cases vs. 3% in controls) was significantly associated with the disease. Clinically, cases mainly presented with pruritus (94%), typical lesions (papules 80%, xerosis 78%, erythema 52%), and recurrent flares occurring several times per year (59.5%). Environmental exposures (dust, heat, allergens, animals) were frequent in both groups, with no statistically significant association with atopic dermatitis. In multivariable analysis, only a family history of atopic dermatitis (OR = 5.47; 95% CI

[1.64-9.3]) and asthma (OR = 3.96; 95% CI [1.54-10.2]) were significantly associated with the disease, confirming the predominance of intrinsic factors.
Conclusion: Our study demonstrated a significant association between atopic dermatitis and a family history of atopic dermatitis and asthma after adjustment for age. In contrast, no environmental or animal factors showed a decisive influence. These findings highlight the importance of human, particularly genetic, factors in the occurrence of atopic dermatitis and underscore the need to increase sample size in future studies to enhance statistical power and scientific robustness.
Keywords: Atopic dermatitis, human factors, environmental factors, One Health

P.17

Détermination des intervalles de référence de la créatininémie et de l'urémie chez les enfants de 1 à 5 ans

Determination of reference ranges for creatinine and uremia in children aged 1 to 5 years

Fabienne Marie B.T.B. SOUDRE[1], fabysoudre@gmail.com ; Jean-Christian ADJAMI[2]; Raoul KARFO[1]; Alice KIBA[1]; Arnaud KOURAOGO[3]; Elie KABRE[1]; Jean SAKANDE[1]

[1] Université Joseph KI-ZERBO

[2] Université Saint Thomas d'Aquin

[3] Université Nazi BONI

Résumé

Introduction : Chez l'enfant, la définition des intervalles de référence est d'une importance capitale car les valeurs normales extrapolées à partir des données adultes pouvent entraîner des erreurs d'interprétation. L'objectif de l'étude était de déterminer les intervalles de référence de la créatininémie et l'urémie chez les enfants de 1 à 5 ans au Centre Hospitalier Universitaire Pédiatrique Charles de Gaulle.
Méthodologie : Il s'est agi d'une étude transversale, avec collecte rétrospective des données du 1er janvier 2024 au 30 avril 2025. Le dosage de la créatininémie a été effectuée par la méthode de Jaffé compensée et celle de l'urémie par méthode enzymatique. Les intervalles de référence ont été déterminés par une méthode indirecte, conformément aux recommandations du Clinical and Laboratory Standards Institute.
Résultats : Au total, 160 enfants ont été inclus. Les données de la créatininémie et de l'urémie ne suivaient pas une distribution normale (test de normalité de Shapiro-Wilk respectivement 0,86 (p = 0,0) et 0,896 (p = 0,0)). Une corrélation positive a été trouvée entre l'âge et l'urémie (p = 0,0210), justifiant la stratification des intervalles de référence par tranche d'âge. La stratification des intervalles de référence par sexe n'était pas justifiée, l'analyse n'ayant montré aucune différence significative. Ainsi, l'intervalle de référence de la créatininémie calculé était de 17,58 – 55,39 µmol/L. Quant à l'urémie, selon les tranches d'âge, les valeurs étaient les suivantes : [1, 2] ans 1,3 – 6,4 mmol/L ;]2, 3] ans 1,7 – 7,0 mmol/L ;]3, 4] ans 1,4 – 6,3 mmol/L et]4, 5] ans 2,0 – 6,7 mmol/L.
Conclusion : Cette étude a permis d'établir les intervalles de référence pour la créatininémie et l'urémie chez les enfants de 1 à 5 ans. Les résultats révèlent des spécificités locales, confirmant l'importance d'utiliser des normes propres à notre contexte pour améliorer la précision du diagnostic.

Abstract

Introduction: In children, defining reference ranges is of paramount importance because normal values extrapolated from adult data can lead to misinterpretation. The objective of the study was to determine the reference ranges for creatinine and urea levels in children aged 1 to 5 years at the Charles de Gaulle Pediatric University Hospital Center.
Methodology: This was a cross-sectional study with retrospective data collection from January 1, 2024, to April 30, 2025. Creatinine levels were measured using the compensated Jaffé method and urea levels using an enzymatic method. Reference ranges were determined using an indirect method, in accordance with the recommendations of the Clinical and Laboratory Standards Institute.
Results: A total of 160 children were included. Creatinine and urea data did not follow a normal distribution (Shapiro-Wilk normality test: 0.86 (p = 0.0) and 0.896 (p = 0.0), respectively). A positive correlation was found between age and uremia (p = 0.0210), justifying the stratification of reference intervals by age group. Stratification of reference ranges by gender was not justified, as the analysis showed no significant differences. Thus, the calculated reference range for creatinine was 17.58–55.39 µmol/L. As for uremia, the values according to age group were as follows: [1, 2] years 1.3–6.4 mmol/L; [2, 3] years 1.7–7.0 mmol/L; [3, 4] years 1.4–6.3 mmol/L; and [4, 5] years 2.0–6.7 mmol/L.
Conclusion: This study established reference ranges for creatinine and urea levels in children aged 1 to 5 years. The results reveal local specificities, confirming the importance of using standards specific to

our context to improve diagnostic accuracy.

P.18

Étude comparative des performances de ChatGPT-4, Claude, Gemini, Mistral et Perplexity sur des questions à choix multiples en cardiologie

Comparative Study of the Performance of ChatGPT-4, Claude, Gemini, Mistral, and Perplexity on Multiple-Choice Questions in Cardiology

Wendlassida Martin Nacanabo, nacmartinwend@gmail.com

Centre Hospitalier Universitaire de Bogodogo, Ouagadougou/Burkina Faso

Résumé

Contexte : L'intelligence artificielle, en particulier les grands modèles linguistiques (LLM), a révolutionné le domaine de la médecine. Leur capacité à comprendre et à répondre à des questions médicales suscite un intérêt croissant, notamment en cardiologie, où la précision du diagnostic et du traitement est essentielle.
Objectif : L'objectif de notre étude était d'évaluer et de comparer les performances de cinq LLM sur des questions à choix multiples (QCM) en cardiologie.
Matériels et méthodes : Il s'agit d'une étude comparative menée au sein du service de cardiologie de l'hôpital universitaire de Bogodogo, à Ouagadougou, portant sur 83 QCM tirés du programme national français de cardiologie 2020. Les questions ont été soumises à ChatGPT-4, Claude, Gemini, Mistral et Perplexity. Les performances ont été évaluées sur la base de la précision globale et thématique, ainsi que du nombre de discordances. La concordance entre les LLM a été évaluée à l'aide du test de Kruskal-Wallis.
Résultats : Claude a obtenu la meilleure précision globale (78,31 %), suivi de ChatGPT-4 et Gemini (75,90 %), puis Mistral (72,29 %) et Perplexity (68,67 %). Chaque LLM a démontré un profil de performance distinct par sujet, Claude excellant dans l'insuffisance cardiaque (100 %) et les arythmies (90,9 %), et ChatGPT-4 dans les investigations diagnostiques (87,5 %). L'analyse des discordances a montré une précision légèrement supérieure pour ChatGPT-4.
Le test de Kruskal-Wallis avec effet de taille a révélé des différences statistiquement significatives dans les performances entre les LLM, que ce soit globalement, par sujet ($p < 0,05$) et avec des effets de taille généralement importants.
Conclusion : malgré des variations dans leurs profils de performance, les cinq LLM étudiés ont des capacités relativement similaires pour répondre à des questions à choix multiples bien structurées en cardiologie. Ils pourraient donc constituer des outils précieux dans l'enseignement médical dans notre contexte où les ressources sont limitées.

Abstract

Background: Artificial intelligence, particularly Large Language Models (LLMs), has revolutionized the field of medicine. Their ability to understand and answer medical questions is generating growing interest, especially in cardiology, where diagnostic and therapeutic accuracy is essential.
Objective: The objective of our study was to assess and compare the performance of five LLMs on multiple-choice questions (MCQs) in cardiology.
Materials and Methods: This was a comparative study conducted in the cardiology department of the Bogodogo University Hospital, Ouagadougou, involving 83 MCQs derived from the 2020 French national cardiology curriculum. The questions were submitted to ChatGPT-4, Claude, Gemini, Mistral, and Perplexity. Performance was evaluated based on overall and thematic accuracy, as well as the number of discordances. Agreement between the LLMs was assessed using the Kruskal–Wallis test.
Results: Claude achieved the highest overall accuracy (78.31%), followed by ChatGPT-4 and Gemini (75.90%), then Mistral (72.29%) and Perplexity (68.67%). Each LLM demonstrated a distinct performance profile by topic, with Claude excelling in heart failure (100%) and arrhythmias (90.9%), and ChatGPT-4 in diagnostic investigations (87.5%). The analysis of discordances showed a slightly higher precision for ChatGPT-4. The Kruskal–Wallis test with effect size revealed statistically significant differences in performance between the LLMs, whether globally, by topic ($p < 0.05$) and with generally large effect sizes.

Conclusion: Despite variations in their performance profiles, these five LLMs studied have relatively similar capabilities for answering well-structured cardiology multiple-choice questions. They could therefore be valuable tools in medical education in our resource-limited context.

P.19

Étude épidémiologique des hémoglobinoses à profils électrophorétiques particuliers en côte d'ivoire

Epidemiological study of hemoglobinopathies with specific electrophoretic profiles in côte d'ivoire

Gnogbo Alexis BAHI[1], alexisbahi@yahoo.fr ; Lydie BOYVIN[1]; Joachim AMANI[2]; Kouassi Jules KONAN[1]; A. Jean-Luc N'GUESSAN[3]; Yapi Guillaume YAYÉ[4]; Allico Joseph DJAMAN[5]

[1] Institut Pasteur de Côte d'Ivoire

[2] Université Félix Houphouët Boigny

[3] Laboratoire National de Santé Publique

[4] Université Jean Lorougnon Guédé de Daloa

[5] Université Felix Houpouët Boigny

Résumé

Introduction : Le profil électrophorétique des hémoglobines (Hb) particulières telles que les Hémoglobines D, E et K (Hb D, Hb E et Hb K) peut influencer les stratégies thérapeutiques car pouvant renseigner sur des manifestations cliniques significatives parfois graves chez certains patients. L'objectif de cette étude est de réaliser un inventaire des formes d'hémoglobinoses à profil particulier en circulation au niveau de la Côte d'Ivoire.
Méthodologie : L'indentification et la quantification de ces profils ont été réalisées à l'aide de la méthode d'électrophorèse capillaire du CAPILLARYS 3 OCTA de SEBIA dont le principe est basé sur sa capacité à séparer de manière nette l'Hb D, l'Hb E et Hb K des autres fractions d'hémoglobine telles que respectivement l'Hb S et l'Hb A2 bien qu'elles co-migrent parfois.
Résultats et discussion : Les résultats ont montré sur un total de 969 échantillons analysés 497 cas d'hémoglobine anormale soit 51,29% des cas dont 35 Hb E, 14 Hb D et 02 Hb K soit respectivement 7,04%, 2,82% et 0,40% des cas anormaux. Les taux de ces formes d'hémoglobine variaient de 0,1 à 89,0% pour l'Hb E, de 0,4 à 49,1% pour l'Hb D et de 12 à 14% pour l'Hb K, ce qui pourrait représenter un facteur important d'orientation dans la prise en charge médicale des hémoglobinoses en générale.
Conclusion : L'identification et la quantification correcte de ces hémoglobinopathies à profil particulier serraient donc essentielle dans le diagnostic d'orientation pour une meilleure prise en charge thérapeutique des patients.

Abstract

Introduction : The electrophoretic profile of specific hemoglobins (Hb) such as Hemoglobin D, E, and K (Hb D, Hb E, and Hb K) can influence therapeutic strategies because it can provide information about significant clinical manifestations that are sometimes severe in certains patients. The aim of this study is to compile an inventory of the forms of hemoglobinopathies with specific profiles circulating in Côte d'Ivoire.
Methodology : These profiles were identified and quantified using the CAPILLARYS 3 OCTA capillary electrophoresis method from SEBIA, which is based on its ability to clearly separate Hb D, Hb E, and Hb K from other hemoglobin fractions such as Hb S and Hb A2, respectively, even though they sometimes co-migrate.
Results and discussion : The results showed that out of a total of 969 samples analyzed, there were 497 cases of abnormal hemoglobin, representing 51.29% of cases, including 35 Hb E, 14 Hb D, and 2 Hb K, representing, respectively, 7.04%, 2.82%, and 0.40% of abnormal cases. The rates of these forms of hemoglobin ranged from 0.1 to 89.0% for Hb E, 0.4 to 49.1% for Hb D, and 12 to 14% for Hb K, which could represent an important factor in the medical management of hemoglobinopathies in general.
Conclusion : The correct identification and quantification of these hemoglobinopathies with specific profiles would therefore be essential in the initial diagnosis for better therapeutic management of patients.

P.20

Evaluation de la qualité des résultats des valeurs de contrôle de quelques paramètres biochimiques (Glycémie, Créatinémie et la Transaminase TGP) au laboratoire de l'Hôpital de Zone de DJIDJA ABOMEY AGBANGNIZOUN au Bénin

Evaluation of the quality of results for control values of some biochemical parameters (blood glucose, creatinine and transaminase TGP) at the laboratory of the DJIDJA ABOMEY AGBANGNIZOUN District Hospital in Benin

Atchadé Pascal TCHOGOU[1], tchopass2@gmail.com ; Nonvignon Béni DOSSOU[1]; Féliciènne AGBOGBA[1]; Ezeckièl LOKONON[1]; Eugénie ANAGO Eugénie[2]; Lamine BABA-MOUSSA[2]; Maximin SENOU[1]

[1] Université Nationale des Sciences, Technologies, Ingénierie et Mathématiques (UNSTIM), Bénin

[2] Université d'Abomey Calavi (UAC), Bénin

Résumé

Contexte et Objectif : L'assurance qualité dans les laboratoires de biologie médicale est essentielle pour garantir la fiabilité des résultats analytiques, particulièrement pour les paramètres biochimiques couramment utilisés dans le suivi clinique, comme la glycémie, la créatininémie et la transaminase TGP. Ce mémoire vise à évaluer la conformité des valeurs de contrôle interne obtenues au laboratoire de l'Hôpital de Zone de Zone de DJIDJA ABOMEY AGBANGNIZOUN, aux exigences des règles de Westgard.

Méthodologie : L'étude s'est déroulée sur une période de 30 jours. Des contrôles internes, à l'aide des sérums HumaTrol N (normal) et HumaTrol P (pathologique), ont été réalisés quotidiennement avant les manipulations. Les dosages ont été effectués par spectrophotométrie, et les résultats analysés au moyen des courbes de Levey-Jennings. La précision a été évaluée à l'aide du coefficient de variation (CV), et l'exactitude par le coefficient de récupération (CR).

Résultats : Les CV obtenus étaient inférieurs à 15 % pour les trois paramètres, indiquant une bonne précision. Les coefficients de récupération de la glycémie (102 %), de la créatininémie (95 %) et de la transaminase P (96 %) respectaient l'intervalle d'acceptabilité (95–105 %), confirmant leur exactitude. Quelques violations de la 1ère règle de Westgard ont été notées, révélant des erreurs aléatoires isolées.

Conclusion : L'évaluation globale démontre que les méthodes analytiques utilisées au sein du laboratoire sont fiables, précises et exactes. Toutefois, un renforcement de la rigueur dans la maintenance des équipements et l'application stricte des procédures de contrôle qualité reste nécessaire pour garantir la constance et la fiabilité des résultats rendus.

Abstract

Context and Objective: Quality assurance in medical biology laboratories is essential to guarantee the reliability of analytical results, particularly for biochemical parameters commonly used in clinical monitoring, such as blood glucose, serum creatinine, and transaminase (TGP). This thesis aims to evaluate the conformity of internal control values obtained at the Djidja Abomey Agbangnizoun District Hospital laboratory with the requirements of the Westgard guidelines.

Methodology: The study was conducted over a 30-day period. Internal controls, using HumaTrol N (normal) and HumaTrol P (pathological) sera, were performed daily before each procedure. Assays were performed by spectrophotometry, and the results were analyzed using Levey-Jennings curves. Precision was assessed using the coefficient of variation (CV), and accuracy using the recovery coefficient (RC).

Results: The coefficients of variation (CVs) obtained were less than 15% for all three parameters, indicating good precision. The recovery coefficients for blood glucose (102%), serum creatinine (95%), and transaminase P (96%) were within the acceptable range (95–105%), confirming their accuracy. A few violations of Westgard's first rule were noted, revealing isolated random errors.

Conclusion: The overall evaluation demonstrates that the analytical methods used in the laboratory are reliable, precise, and accurate. However, stricter equipment maintenance and adherence to quality control procedures are still necessary to ensure the consistency and reliability of the results.

P.21

EVALUATION DES CAUSES DES INTERVENTIONS CHIRURGICALES DANS LES ELEVAGES D'OVINS ET DE LEUR PRISE EN CHARGE DANS LES CABINETS VETERINAIRES DE LA REGION DE DAKAR AU SENEGAL

EVALUATION OF THE CAUSES OF SURGICAL INTERVENTIONS IN SHEEP FARMS AND THEIR TREATMENT IN VETERINARY CLINICS IN THE DAKAR REGION OF SENEGAL

Sahidi ADAMOU, adamousahidi@yahoo.fr

EISMV

Résumé

Autrefois élevés pour leur lait, leur viande et leur peau, les ovins sont aujourd'hui élevés pour des raisons affectives au Sénégal. De ce fait, leur bien-être s'avère primordial pour le propriétaire. Bien que généralement résistants, les ovins restent vulnérables à des pathologies nécessitant des interventions chirurgicales. C'est dans ce contexte que s'inscrit cette étude, dont l'objectif général est d'identifier les causes des pathologies chirurgicales dominantes dans les élevages ovins et leur prise en charge dans les cabinets vétérinaires. Pour ce faire, 44 cabinets vétérinaires de la région de Dakar ont été enquêtés sur la base d'un questionnaire.

Il est ressorti de l'étude que parmi les interventions chirurgicales réalisées chez les ovins, la césarienne, la kélotomie, le ruminotomie, la castration et la mammectomie sont cités respectivement par 100% ; 97,44% ; 94,87% ; 87,18% ; 71,79% ; 5,13% et 2,56% des cabinets. Pour ce qui est des causes, les césariennes sont justifiées par des dystocies maternelles avec des animaux ayant un bassin étroit (84,09%) avec des saillis non conforme. Pour les ruminotomies, elles sont liées à l'ingestion des corps étrangers (29,55%) ou à une météorisation spumeuse (30%). Les mammectomies sont liées à des mammites gangréneuses (95%) et chroniques suppurées (67,50%), tandis que les hernies ombilicales et inguinales résultent souvent de défauts congénitaux (82,50%) ou à une mise en reproduction précoce et abusive (65%).

Bien que 82% des vétérinaires soient doté d'une salle d'opération, 21,87% d'entre eux ne possèdent pas tout le matériel adéquat pour respecter toutes les différentes étapes de la chirurgie, ce qui contribue à l'apparition des complications post-opératoires, telles que les hémorragies (82,14%) et les infections.

Ce travail nous a permis de déceler les causes des interventions chirurgicales dans les élevages ovins de la région de Dakar, leur fréquence et de mettre en évidence les complications chirurgicales associées.

Abstract

Once raised for their milk, meat, and skin, sheep are now raised for emotional reasons in Senegal. As a result, their well-being is of paramount importance to their owners. Although generally hardy, sheep remain vulnerable to diseases requiring surgical intervention. This study was conducted in this context, with the overall objective of identifying the causes of the most common surgical conditions in sheep farms and how they are treated in veterinary practices. To this end, 44 veterinary practices in the Dakar region were surveyed using a questionnaire.

The study found that among the surgical procedures performed on sheep, cesarean section, kelotomy, ruminotomy, castration, and mastectomy were cited by 100%, 97.44%, 94.87%, 87.18%, 71.79%, 5.13%, and 2.56% of practices, respectively. In terms of causes, cesarean sections are justified by maternal dystocia in animals with narrow pelvises (84.09%) and non-compliant protrusions. Ruminotomies are related to the ingestion of foreign bodies (29.55%) or frothy meteorism (30%). Mastectomies are linked to gangrenous mastitis (95%) and chronic suppurative mastitis (67.50%), while umbilical and inguinal hernias often result from congenital defects (82.50%) or early and excessive breeding (65%).

Although 82% of veterinarians have an operating room, 21.87% of them do not have all the necessary equipment to perform all the different stages of surgery, which contributes to the occurrence of post-operative complications such as hemorrhaging (82.14%) and infections.

This study enabled us to identify the causes of surgical procedures in sheep farms in the Dakar region,

their frequency, and the associated surgical complications.

P.22

Evaluation des connaissances du personnel soignant des pôles meres-enfants sur la douleur néonatale dans la région des plateaux au Togo.

Knowledge assessment of neonatal pain among Maternal and Child Healthcare providers in the Plateaux Region, Togo

Daké Homba Batalia[1], theodorebatalia@gmail.com ; Blessing Opportune Koudakpo[2]; Islamiyatou ALAOU[2]; Kandjime KOLANI[2]; Faridatou ADAM[2]; Agbessi Etonam Francis Kougnigan[3]; Foli Yvon Agbeko[4]

[1] Hopital de l'Ordre de Malte d'Elavagnon, Elavagnon,Togo

[2] Ecole Nationale des Sage - Femmes, Atakpamé, Togo

[3] Centre Hospitalier Régional (CHR) de Tsévié, Tsévie, Togo

[4] Centre Hospitalier Universitaire (CHU) Campus, Lomé, Togo

Résumé

Introduction
La douleur du nouveau - né longtemps sous - estimée, est aujourd'hui reconnue comme une réalité ayant des effets délétères sur son développement, mais sa prise en charge reste insuffisante. Cette étude vise à évaluer les connaissances du personnel soignant des pôles mères - enfants sur la douleur du nouveau - né dans la région des Plateaux au Togo.
Méthodologie
Il s'agit d'une étude transversale descriptive et multicentrique, menée du 30 Mai au 30 Juin 2025 au CHR d'Atakpamé, au CHP de Kpalimé, au CHP de Notsè et à l'Hôpital Ordre de Malte (HOM) d'Elavagnon. Elle a ciblé tout le personnel soignant travaillant dans les unités de maternité, de pédiatrie et de néonatologie des 4 centres. Les données ont été collectées à l'aide d'un questionnaire, dans le respect du principe éthique.
Résultats
L'étude a pris en compte 115 professionnels de santé, dont 04 médecins, 05 techniciens supérieurs de santé, 35 infirmiers, 41 sages - femmes, 20 accoucheuses, 10 aides-soignants. Le sex - ratio était de 0,49. La perception de la douleur par le nouveau - né était reconnue par 98,3% du personnel soignant, mais 96,6 % ignoraient l'existence d'échelle d'évaluation. L'absence de formation continue était évoquée comme raison dans 87,8% et 98,0 % du personnel enquêté exprimaient le besoin d'en recevoir.
Conclusion
La douleur du nouveau - né est reconnue, mais reste peu prise en charge. Il est important de former le personnel soignant et de mettre en place des protocoles adaptés pour améliorer les soins.
Mots – clés : douleur, nouveau – né, Togo

Abstract

Introduction
Newborn pain, long underestimated, is now recognized as a real phenomenon with harmful effects on development. However, its management remains insufficient. This study aims to assess the knowledge of healthcare workers in maternal and child health units regarding newborn pain in the Plateaux region of Togo.
Methodology
This was a descriptive, cross-sectional, multicenter study conducted from May 30 to June 30, 2025, at the Regional Hospital of Atakpamé, the Prefectoral Hospital of Kpalimé, the Prefectoral Hospital of Notsè, and the Ordre de Malte Hospital (HOM) in Elavagnon. The study targeted all healthcare personnel working in maternity, pediatric, and neonatal units of the four centers. Data were collected using a questionnaire, in compliance with ethical principles.
Results
The study included 115 healthcare professionals: 4 physicians, 5 senior health technicians, 35 nurses, 41 midwives, 20 birth attendants, and 10 nursing assistants. The male-to-female ratio was 0.49. Recognition of pain perception in newborns was reported by 98.3% of healthcare workers; however, 96.6% were unaware of the existence of pain assessment scales. The lack of continuing education was

cited as a reason by 87.8% of respondents, and 98% expressed the need for such training.
Conclusion
Although newborn pain is widely recognized, it remains poorly managed. Training healthcare personnel and implementing appropriate protocols are essential to improve care.
Keywords: pain, newborn, Togo

P.23

Facteurs associés à la transmission du VIH de la mère à l'enfant dans la commune de Kloto au Togo.

Factors associated with mother to child transmission of HIV in the community of Kloto in Togo.

Ounoo Elom Takassi[1], elomtak@gmail.com ; Foli Agbeko[2]; Nadiedjoa Kokou Douti[2]; Koffi Edem Djadou[3]

[1] CHR Lomé Commune, Université de Lomé, Togo

[2] CHU Campus, Université de Lomé, Togo

[3] CHR Tsévié, Université de Lomé, Togo

Résumé

Introduction : La transmission mère-enfant (TME) reste la principale source de nouvelles infections à VIH pédiatrique. L'objectif de cette étude était de décrire la prévalence et les facteurs associés à la transmission mère-enfant de l'infection à VIH dans la commune de Kloto.
Matériel et Méthode : Il s'agissait d'une étude rétrospective à visée descriptive et analytique réalisée du 18 avril au 20 mai 2024. La population étudiée était constituée des mères infectées par le VIH et leurs nourrissons âgés de 18 à 24 mois suivis en PTME.
Résultats : L'âge médian des mères était de 29,5 ans, 44,0% avaient un niveau secondaire et provenaient essentiellement des zones urbaines (63,0%). La prévalence de la transmission mère-enfant du VIH était de 3%. Chez les nourrissons, on retrouvait une prédominance féminine (59 %) soit un sex ratio de 0,69. Le facteur associé à la transmission du VIH était la cessation de l'allaitement après 12 mois (p :0000).
Conclusion : Des actions doivent être menées pour améliorer l'implication masculine dans les services PTME. Ce qui pourrait permettre l'élimination de la transmission du VIH de la mère à l'enfant dans nos milieux en voie de développement.

Abstract

Introduction: Mother-to-child transmission (MTCT) remains the main source of new paediatric HIV infections. The aim of this study was to describe the prevalence and factors associated with mother-to-child transmission of HIV infection in the municipality of Kloto.
Material and method: This was a retrospective descriptive and analytical study conducted from April 18 to May 20, 2024. The study population consisted of HIV-infected mothers and their infants aged between 18 and 24 months undergoing PMTCT.
Results: The median age of the mothers was 29.5 years, 44.0% had secondary education and most came from urban areas (63.0%). The prevalence of mother-to-child transmission of HIV was 3%. Among infants, there was a predominance of females (59%), with a sex ratio of 0.69. The factor associated with HIV transmission was cessation of breastfeeding after 12 months (p:0000).
Conclusion: Action must be taken to improve male involvement in PMTCT services. This could lead to the elimination of mother-to-child transmission of HIV in our developing communities.

P.24

Facteurs associés aux mauvaises pratiques en matière de prévention de l'hypertension artérielle chez les professionnels de la coiffure à Parakou, au Bénin en 2025

Title: Factors associated with poor practices in preventing hypertension among hairdressing professionals in Parakou, Benin in 2025

Yèssito Corine Nadège HOUEHANOU[1], yessito_fr@yahoo.fr ; Lionel KODJO[1]; Emmanuella BOCHEKPO[1]; Don-Bosco MIGNANWANDE[1]

[1] Ecole Nationale de Formation des Techniciens Supérieurs en Santé Publique et Surveillance Epidémiologique, Université de Parakou, Bénin

Résumé

Introduction : L'hypertension artérielle (HTA) est un facteur de risque cardiovasculaire majeur. Les professionnels de coiffure constituent une population à risque. Ce travail vise à identifier les facteurs associés aux mauvaises pratiques en matière de prévention de l'HTA chez les professionnels de coiffure à Parakou au Bénin en 2025.
Méthodes : Une étude transversale a été menée auprès des professionnels de coiffure exerçant dans les ateliers de coiffure à Parakou, âgés d'au moins 18 ans et ayant donné leur consentement écrit. Ils ont été sélectionnés par un échantillonnage aléatoire en grappes. Les données ont été collectées en juillet 2025 lors d'une entrevue individuelle avec chaque participant grâce à un questionnaire électronique. Les pratiques ont été évaluées par une série de 7 items sur le mode de vie cotés 0 ou 1, et classées « mauvaises » lorsque le score était < 4. Les facteurs associés ont été identifiés grâce à une régression logistique multivariée avec un seuil de significativité $p < 0,05$.
Résultats : Un total de 329 professionnels a participé sur 357 sélectionnés. L'âge moyen était de 24,5 ± 7,4 ans et le sex-ratio de 0,44. Le niveau de connaissance était faible chez 95,7% et les attitudes mauvaises chez 45,6%. Les mauvaises pratiques concernaient 77,8% parmi eux. Les professionnels ayant fréquenté une structure sanitaire il y a plus d'un an étaient plus à risque de mauvaises pratiques (OR ajusté : 2,68 ; IC95% [1,38-5,21] ; p=0,002) comparativement aux autres.
Conclusion : Cette étude révèle un lien entre les mauvaises pratiques en matière de prévention de l'HTA chez les coiffeurs et la faible fréquentation de structures sanitaires. Elle montre l'intérêt de la sensibilisation communautaire.

Abstract

Introduction: Hypertension is a major cardiovascular risk factor. Hairdressers are a high-risk population. This work aims to identify the factors associated with poor practices in prevention of hypertension among hairdressing professionals in Parakou, Benin in 2025.
Methods: A cross-sectional study was conducted among hairdressers practicing in hairdressing workshops in Parakou, aged at least 18 years and having given their written consent. They were selected by a random sampling in clusters. The data was collected in July 2025, during an individual interview using an electronic questionnaire. The practices were evaluated by a series of 7 items about lifestyle, rated 0 or 1, and classified as 'poor' when the score is < 4. The associated factors were identified through a multivariate logistic regression with a significance threshold $p < 0.05$.
Results: A total of 329 professionals participated out of 357 selected. The average age was 24.5 ± 7.4 years and the sex ratio was 0.44. The level of knowledge about hypertension prevention was low in 95.7% and the attitudes were poor in 45.6%. The poor practices concerned 77.8% among them. Hairdressing professionals who attended a health facility more than one year ago were at greater risk of poor practices (adjusted OR: 2.68; 95% CI [1.38-5.21]; p=0.002) compared to others.
Conclusion: This study reveals a link between poor practices in preventing hypertension among hairdressing professionals and low attendance of health facilities. It highlights the interest of community awareness against hypertension.

P.25

Facteurs de risque environnementaux du cancer du sein au Togo : une étude cas-témoins dans une perspective One Health

Environmental Exposures and Breast Cancer Risk in Togo: A One Health Perspective

Ablavi Ahoefa ADANI-IFE[1], solangeadaniife@yahoo.fr ; Kodjo DJAGADOU[1]; Mohaman DJIBRIL[1]

[1] Service d'oncologie, CHU Sylvanus Olympio, Lomé - Togo

Résumé

Introduction : Le cancer du sein constitue un problème majeur de santé publique en Afrique subsaharienne. Au Togo, les facteurs environnementaux susceptibles de contribuer à ce risque demeurent peu étudiés, notamment dans une perspective One Health intégrant les interactions entre la santé humaine, l'environnement et les déterminants sociaux. L'objectif de cette étude était d'identifier les expositions environnementales associées au cancer du sein à Lomé.
Méthodes : Une étude cas–témoins a été menée du 1er juillet au 30 septembre 2025 à l'unité d'oncologie médicale du CHU Sylvanus Olympio. Les cas étaient des femmes âgées de ≥ 18 ans avec un cancer du sein histologiquement confirmé, tandis que les témoins étaient des femmes appariées par âge, sans antécédents personnels ni familiaux de cancer du sein. Les données ont été recueillies au moyen d'un questionnaire standardisé. Une analyse a été réalisée par régression logistique conditionnelle.
Résultats : La majorité des cas était diagnostiquée à un stade avancé. Comparativement aux témoins, les cas présentaient des consommations plus fréquentes de légumes verts (99 % contre 80 %, $p < 0,001$), d'eau de forage (46,9 % contre 29,3 %, $p < 0,05$) et d'eau de puits (15,3 % contre 1,1 %, $p < 0,05$). La consommation d'alcool (58 % contre 43,3 %, $p = 0,045$) et l'exposition aux irradiations médicales (52 % contre 3 %, $p < 0,001$) étaient également plus fréquentes. Dans l'analyse multivariée, le statut matrimonial, le lieu de résidence et le niveau d'instruction étaient significativement associés au cancer du sein.
Conclusion : Les résultats suggèrent un rôle combiné des déterminants sociaux et des expositions environnementales dans le risque de cancer du sein au Togo, renforçant la pertinence de stratégies de prévention intégrées et multisectorielles s'inscrivant dans l'approche One Health.

Abstract

Background: Breast cancer is a growing public health concern in sub-Saharan Africa. In Togo, potential environmental contributors remain poorly documented, particularly from a One Health perspective that integrates human health, the environment, and social determinants. This study aimed to identify environmental exposures linked to breast cancer in Lomé.
Methods: A case–control study was conducted from July 1 to September 30, 2025, in the Medical Oncology Unit of Sylvanus Olympio University Teaching Hospital. The Cases were women aged ≥18 years with histologically confirmed breast cancer. Controls were age-matched women without a personal or family history of breast cancer. Data were collected using a standardized questionnaire. Conditional logistic regression was used to identify independent associations.
Results: Most cases were diagnosed at advanced stages. Compared with controls, cases more often reported consuming green leafy vegetables (99% vs 80%; $p < 0.001$), drinking borehole water (46.9% vs 29.3%), and drinking well water (15.3% vs 1.1%) ($p < 0.05$). Alcohol consumption (58% vs 43.3%; $p = 0.045$) and exposure to medical radiation (52% vs 3%; $p < 0.001$) were also more common among cases. In multivariate analysis, marital status, place of residence, and education level remained significantly associated with breast cancer.
Conclusion: These findings suggest that both social determinants and environmental exposures may contribute to breast cancer risk in Togo. This underscores the need for integrated, multisectoral prevention strategies grounded in a One Health framework to address the complex interplay among human health, environmental factors, and societal structures.

P.26

Facteurs de risques des nouveau-nés de faible poids de naissance au Togo : étude cas témoins

Risk factors for low birth weight newborns in Togo : a case-control study

Ounoo Elom Takassi[1], elomtak@gmail.com ; Mawouto Fiawoo[2]; Foli Agbéko[3]; Nadiedjoa Kokou Douti[3]; Koffi Edem Djadou[4]

[1] CHR Lomé Commune, Université de Lomé, Togo

[2] CHP Kpalimé, Université de Lomé, Togo

[3] CHU Campus, Université de Lomé, Togo

[4] CHR Tsévié, Université de Lomé, Togo

Résumé

Introduction : Le faible poids de naissance, constitue une cause majeure de morbidité et de mortalité néonatale. L'objectif de l'étude était de déterminer les facteurs de risque associés à l'hypotrophie dans les centres de référence de la région des Plateaux au Togo en 2024.
Patients et méthodes : Il s'est agi d'une étude prospective cas témoins qui s'est déroulée du 01er mars au 31 mai 2024. Les critères d'inclusion étaient les nouveau-nés prématurés de 0 à 28 jours de vie, hospitalisés dans l'un des centres d'étude pendant la période d'étude.
Résultats : Au total, 116 cas pour 232 témoins étaient colligés. La prévalence de l'hypotrophie était de 5,9 % (1965/116 cas). Les facteurs de risque maternels identifiés en analyse multivariée étaient la naissance au CHR Atakpamé (p<0,001), le paludisme au cours de la grossesse (p<0,001), le nombre de consultation prénatal inférieur à 4 (p :0,004). Le risque de survenue d'insuffisance pondérale était environ 5 fois plus élevé chez les nourrissons dont leur mère avait eu un paludisme au cours de la grossesse (OR=5,17) et 7 fois plus élevé au CHR Atakpamé (OR=7,21).
Conclusion : Le dépistage des retards de croissance intra-utérin est essentiel, reposant sur le bon suivi de la grossesse. Les interventions visant à traiter ces facteurs de risque pourraient potentiellement réduire l'incidence de l'insuffisance pondérale à la naissance.

Abstract

Introduction : Low birth weight, is a major cause of neonatal morbidity and mortality. The objective of the study was to determine the risk factors associated with hypotrophy in referral centres in the Plateaux region of Togo in 2024.
Patients and methods : This was a prospective case-control study conducted from 1 March to 31 May 2024. The inclusion criteria were premature newborns aged 0 to 28 days, hospitalised in one of the study centres during the study period.
Results : A total of 116 cases and 232 controls were collected. The prevalence of hypotrophy was 5.9% (1965/116 cases). The maternal risk factors identified in multivariate analysis were birth at the Atakpamé Regional Hospital Centre (p<0.001), malaria during pregnancy (p<0.001), and fewer than four prenatal consultations (p:0.004). The risk of low birth weight was approximately 5 times higher in infants whose mothers had malaria during pregnancy (OR=5.17) and 7 times higher at the Atakpamé Regional Hospital Centre (OR=7.21).
Conclusion : Screening for intrauterine growth retardation is essential and relies on proper pregnancy monitoring. Interventions aimed at addressing these risk factors could potentially reduce the incidence of low birth weight.

P.27

Identification d’un nouvel allèle HLA-C*07:1194N par séquençage de nouvelle génération en Côte d’Ivoire

Identification of a Novel HLA-C*07:1194N Allele by Next Generation Sequencing in Côte d’Ivoire

Brou Doris Oura[1], ouradoris@gmail.com ; Aya Jeanne Armande Ake[1]; Tossea Armand Stephane Koui[1]; Salimata Moussa[1]; Yassongui Mamadou Sekongo[2]; Valery Dubois[3]; Kouabla Liliane Siransy[1]

[1] Centre National de Transfusion Sanguine de Côte d’Ivoire, Université Félix Houphouët-Boigny, Côte d’Ivoire

[2] Centre National de Transfusion Sanguine de Côte d’Ivoire

[3] Etablissement Français du Sang (EFS), France

Résumé

Introduction. Les gènes HLA de classe I sont les plus polymorphes du génome humain, avec 29475 allèles identifiés (IPD-IMGT/HLA, version 3.62). Le locus HLA-C compte 8944 allèles identifiés, codant pour 4934 protéines différentes.

Matériel et méthodes. Le typage HLA a débuté par extraction d’ADN d’un échantillon de sang périphérique, grâce au kit QuickGene DNA Whole Blood Kit S (DB-S) et à l’automate QuickGene Mini80 (KURABO). Les extraits ont été, ensuite, amplifiés pour 11 loci HLA (HLA-A, B, C, DQA1, DQB1, DPA1, DPB1, DRB1 et DRB3/4/5) à l’aide du kit NanoTYPE 24/11 v2 RUO (Omixon). Le séquençage a été, enfin, réalisé par le kit ONT Rapid Barcoding 96 sur le MinIon (technologie Oxford Nanopore) et l'analyse effectuée avec le logiciel NanoTyper 2.1.0 RUO (Omixon). La nouvelle séquence a été confirmée par génotypage HLA avec les réactifs NGMix (Établissement Français du Sang, France) par technologie Illumina MiSeq (Illumina, Californie). Les analyses de ces données ont étés faite avec le logiciel Typestream Visual (One Lambda, version EFS 2.0).

Résultats. Le nouvel allèle HLA-C*07:1194N présente une substitution d'un nucléotide par rapport à l'allèle HLA-C*07:01:01:01 en position 410 (C→T, codon 70 CAG→TAG) dans l'exon 2, entraînant le remplacement de la glutamine par un codon stop. La mère du donneur de sang a été typée également mais ne possède pas le nouvel allèle hérité probablement du père. L'haplotype du donneur a été identifié comme étant : HLA-A*74:01:01~C*07:1194N~B*44:03~DRB1*13:03~DQA1*01:02~DQB1*06:02:01~DPA1*02:01P~DPB1*01:01P. Le génotypage HLA complet obtenu pour cet individu est: HLA-A*30:02:01, 74:01:01 ; -B*44:03:01, 57:03:01 ; -C*07:01:01, 07:1194N ; -DRB1*01:01:01, 13:03:01. -DRB3*02:02:01 ; -DQA1*01:01:01, 01:02:01 ; -DQB1*05:01:01, 06:02:01 ; -DPA1*02:01P, 02:01P ; -DPB1*01:01P, 13:01P. Les numéros d’accès de ce nouvel allèle HLA-C dans les bases de données GenBank et IPD-IMGT/HLA sont respectivement PV568332 et HLA43354.

Conclusion. Un nouvel allèle HLA-C*07:1194N a été identifié chez un donneur de sang ivoirien.

Abstract

Introduction. The HLA class I genes are the most polymorphic genes in the human genome with 29,475 alleles identified according to the IPD-IMGT/HLA Database (release 3.62). The HLA-C locus has a total of 8,944 alleles identified coding for 4,934 different proteins.

Materiel and Methods. HLA typing was performed by gDNA extraction from a peripheral blood sample using QuickGene DNA Whole Blood Kit S (DB-S) and QuickGene Mini80 (KURABO) extraction instrument. Sample were amplified for HLA 11 loci (HLA-A, B, C, DQA1, DQB1, DPA1, DPB1, DRB1 and DRB3/4/5) using NanoTYPE 24/11 v2 RUO (Omixon). Sequencing was performed using the ONT Rapid Barcoding Kit 96 on MinIon (Oxford Nanopore technology) and analysis was performed using Omixon NanoTyper software version 2.1.0 RUO (Omixon). The novel sequence was confirmed using HLA

genotyping NGMix reagents (Etablissement Français du Sang, France) run on the Illumina MiSeq sequencing system (Illumina, California). The reads were analysed with the Typestream Visual software (One Lambda, version EFS 2.0).

Results.The novel HLA-C*07:1194N allele has a one nucleotide substitution when compared to the HLA-C*07:01:01:01 allele at position 410 where C→T (codon 70 CAG→TAG) in exon 2, resulting in an amino acid change from Glutamine to a stop codon. The mother of the blood donor has been HLA typed with the same methodology and does not have the novel allele, which was inherited from the father. We were able to establish the haplotype carrying the novel allele to be: HLA-A*74:01:01~C*07:1194N~B*44:03~DRB1*13:03~DQA1*01:02~DQB1*06:02:01~DPA1*02:01P~DPB1*01:01P. The complete HLA genotyping obtained for this individual was HLA-A*30:02:01, 74:01:01; -B*44:03:01, 57:03:01; -C*07:01:01, 07:1194N; -DRB1*01:01:01, 13:03:01; -DRB3*02:02:01; -DQA1*01:01:01, 01:02:01; -DQB1*05:01:01, 06:02:01; -DPA1*02:01P, 02:01P; -DPB1*01:01P, 13:01P. The novel HLA-C allele accessions numbers of GenBank and IPD-IMGT/HLA Databases are respectively PV568332 and HLA43354.

Conclusion. In this work, we report a novel HLA-C*07:1194N identified in an Ivoirian (Côte d’Ivoire, West Africa) blood donor.

P.28

Impact des variants d'APOBEC3G sur la sensibilité à l'hépatite B chronique

Impact of APOBEC3G variant on chronic hepatitis B susceptibility

Tarwendsida Marie Alexia KABORE[1], kaborealexia21@gmail ; Tiembo Farida Milène ZIDA[1]; Wend-Pouiré Yacouba NIKIEMA[1]; San Ny Anou Stéphane SOME[1]; Sanata KIEMDE[1]; Ina Marie Angele TRAORE[2]; Tegwindé Rebeca COMPAORE[2]

[1] Université Joseph KI-ZERBO

[2] Institut de Recherche en Sciences de la Sante (IRSS/CNRST)

Résumé

Introduction
APOBEC3G composants de l'immunité innée joue un rôle significatif dans la défense antivirale. Plusieurs études ont révélé que des variants du gène APOBEC3G seraient susceptibles de jouer un rôle important dans la progression de l'hépatite B vers une forme chronique. L'objectif principal de notre recherche était donc, d'étudier les polymorphismes rs8177832, rs6001417, rs35228531 et rs57575465 du gène APOBEC3G et leurs effets sur la progression de la maladie.
Matériels et méthode
Nous avons mené une étude transversale incluant 106 personnes atteintes d'hépatite B et 103 personnes non atteintes. Le génotypage des polymorphismes d'APOBEC3G a été effectué par la méthode de discrimination allélique TaqMan. Les fréquences génotypiques ont été analysé , et leur association avec l'évolution vers l'hépatite B chronique a été évaluée par la régression logistique binaire à l'aide du logiciel R studio version 4.4.3 .
Résultats
Une prédominance des génotypes mutés pour les polymorphismes rs8177832, rs35228531 et rs6001417 ont été observées chez les sujets sains. La régression logistique bivariée a montré une association significative entre les génotypes hétérozygotes pour les polymorphismes rs8177832, rs35228531, rs6001417et l'hépatite B, avec des odds ratios < 1, suggérant un risque réduit de chronicité. Le résultat était respectivement pour rs35228531 génotype C/T (OR= 0,48, [0,27-0,86], p=0,015), pour rs6001417 génotype C/G (OR= 0,48, [0,26-0,87], p= 0,016), pour rs8177832 génotype A/G (OR= 0,40, [0,21-0,75], p=0,005).
Pour le rs5757465, le génotype TT de type sauvage était prédominant dans les deux groupes, sans différence statistiquement significative entre les personnes vivant avec l'hépatite B et celles qui n'en étaient pas atteintes.
Conclusion
Cette étude a montré que variants hétérozygotes de l'APOBEC3G du gène APOBEC3G pourraient être associés à un risque réduit d'hépatite chronique dans la population étudiée. Tandis que la prédominance du génotype TT (rs5757465) pourrait refléter une variabilité limitée au sein de la population Burkinabé.

Abstract

Introduction
APOBEC3G components of innate immunity, play a significant role in antiviral defense. Several studies have revealed that variants of the APOBEC3G gene may play an important role in the progression of hepatitis B to a chronic form. The main objective of our research was therefore to study the rs8177832, rs6001417, rs35228531, and rs57575465 polymorphisms of the APOBEC3G gene and their effects on disease progression.
Materials and methods
We conducted a transversal study including 106 individuals with hepatitis B and 103 individuals without hepatitis B. Genotyping of APOBEC3G polymorphisms was performed using the TaqMan allele discrimination method. Genotype frequencies were analyzed, and their association with progression to chronic hepatitis B was evaluated using binary logistic regression with R studio software version 4.4.3.
Results

A predominance of mutated genotypes for the rs8177832, rs35228531, and rs6001417 polymorphisms was observed in healthy subjects. Bivariate logistic regression showed a significant association between heterozygous genotypes for the rs8177832, rs35228531, and rs6001417 polymorphisms and hepatitis B, with odds ratios < 1, suggesting a reduced risk of chronicity. The result was respectively for rs35228531 genotype C/T (OR=0.48, [0.27-0.86], p=0.015), for rs6001417 genotype C/G (OR=0.48, [0.26-0.87], p=0.016), and for rs8177832 genotype A/ G (OR=0.40, [0.21-0.75], p=0.005).
For rs5757465, the wild-type TT genotype was predominant in both groups, with no statistically significant difference between individuals living with hepatitis B and those without the disease.
Conclusion
This study showed that heterozygous variants of the APOBEC3G gene could be associated with a reduced risk of chronic hepatitis in the study population. Meanwhile, the predominance of the TT genotype (rs5757465) could reflect limited variability within the Burkinabe population.

P.29

Infection urinaire dans le service de néphrologie du CHU Sylvanus Olympio de Lomé

Urinary tract infections in the Nephrology Department of Sylvanus Olympio University Hospital of Lomé

Kossi Akomola SABI[1], kossi.sabi@gmail.com ; Badomta DOLAAMA[1]; Eyram Yoan Yawo Makafui AMEKOUDI[2]; Adjovi Jacqueline EKON[1]; Jannat HAROUNE-TRAORE[1]

[1] Service de Néphrologie-Hémodialyse du Centre Hospitalier Universitaire Sylvanus Olympio de Lomé, Togo

[2] Service de Néphrologie du Centre Hospitalier Universitaire de Kara, Togo

Résumé

Objectif : Les infections urinaires représentent un enjeu majeur de santé publique de part par leur fréquence surtout en néphrologie. L'objectif de cette étude était de décrire les aspects épidémiologiques, cliniques et bactériologiques des infections urinaires en néphrologie au CHU-SO à Lomé.
Méthode d'étude : il s'est agi d'une étude longitudinale descriptive menée du 01 janvier 2025 au 30 septembre 2025, portant sur des patients présentant une infection urinaire documentée. Les données socio-démographiques, cliniques, biologiques, bactériologiques, radiologiques et évolutives ont été analysées.
Résultats : Au total, 92 cas d'infections urinaires ont été colligé sur 258 patients inclus. Le taux d'incidence d'infection urinaire était de 2,69 cas pour 100 personnes- années. L'âge moyen des patients était de 58,5 ± 13,9 ans, avec une prédominance des sujets âgés de plus de 70 ans (28,3 %). Une prédominance féminine a été observée, avec un sex-ratio de 0,64. Les infections urinaires étaient souvent paucisymptomatiques, avec une absence de signes fonctionnels chez 63 % des patients. Parmi les patients symptomatiques, la dysurie et la pollakiurie étaient les signes les plus fréquents (17,4 % chacun), suivies des douleurs pelviennes (13 %). Les principaux germes isolés étaient l'Escherichia coli (54,4%) et le Klebsiella pneumoniae (23,9%). Les germes étaient sensibles à l'imipenème, l'amikacine et la gentamicine respectivement dans 91,4% ; 83,7% et 74,4% des cas. L'évolution était favorable dans 94,6 % des cas.
Conclusion : Les infections urinaires en néphrologie touchent principalement des patients âgés, à prédominance féminine avec une résistance élevée aux bêtalactamines.

Abstract

Objective: Urinary tract infections (UTIs) constitute a major public health issue due to their high frequency, particularly in nephrology settings. The aim of this study was to describe the epidemiological, clinical and bacteriological characteristics of UTIs among nephrology patients at CHU Sylvanus Olympio (CHU-SO) in Lome.

Methods: We conducted a descriptive longitudinal study from 1 January 2025 to 30 September 2025 including patients with a microbiologically documented UTI. Sociodemographic, clinical, biological, bacteriological, radiological and outcome data were analysed.

Results: Overall, 92 UTI cases were recorded among 258 patients included. The UTI incidence rate was 2.69 cases per 100 person-years. The mean age was 58.5 ± 13.9 years, with a predominance of patients aged >70 years (28.3%). A female predominance was observed, with a male-to-female ratio of 0.64. UTIs were frequently paucisymptomatic, with no urinary symptoms in 63% of patients. Among symptomatic patients, dysuria and urinary frequency were the most common symptoms (17.4% each), followed by pelvic pain (13%). The main pathogens isolated were Escherichia coli (54.4%) and Klebsiella pneumoniae (23.9%). Susceptibility to imipenem, amikacin and gentamicin was observed in 91.4%, 83.7% and 74.4% of isolates, respectively. Clinical outcome was favorable in 94.6% of cases.

Conclusion: In nephrology, UTIs predominantly affect older patients, with a female predominance and high resistance to beta-lactam antibiotics

P.30

LA TUMEUR DE BUSCHKE LOWENSTEIN ET GROSSESSE A PROPOS D'UN CAS AU CHUD OUEME, BENIN EN 2025

BUSCHKE-LOWENSTEIN TUMOR AND PREGNANCY: A CASE REPORT AT CHUD OUEME, BENIN IN 2025.

BENEDICTE INGRID OLOWO[1], olowoingrid@yahoo.fr ; Moufalilou ABOUBAKAR[1]; Mathieu OGOUDJOBI[1]; Patrice DANGBEMEY[1]; Angéline TONATO-BAGNAN[1]

[1] FSS

Résumé

INTRODUCTION
La tumeur de Buschke Lowenstein est liée à l´infection à papillomavirus qui est transmissible. Pendant la grossesse son apparition peut être une source de gène avec un risque de transmission faible au moment de l´accouchement. Elle peut poser un problème de prise en charge thérapeutique.
OBSERVATION CLINIQUE :
Il S'agit de Mademoiselle H.M. âgée de 19 ans revendeuse sans antécédents pathologiques particuliers, ayant consulté pour une tuméfaction vulvaire avec leucorrhées malodorantes et une douleur à type de tension évaluée à 7 sur l´échelle visuelle de la région ano-génitale sur une grossesse de 17 SA.
A l´examen, on objectivait une énorme masse prenant toute la vulve et une partie de la région anale, ne permettant pas d´individualiser les grandes ni les petites lèvres et le clitoris. L´orifice vaginal difficilement accessible et les parois vaginales étaient sans particularités au toucher vaginal. L´examen au spéculum n'a été fait vu l'obstruction vulvaire.
La patiente a bénéficié d'une cautérisation. Aucune complication périnéale n´était objectivée à l´examen et les suites du post partum étaient simples. La patiente a été adressée en dermatologie et un suivi gynécologique devrait se fait avec un dépistage périodique du cancer du col.
L'évolution qui très lente a été satisfaisante, marqués par l'absence clinique de récidives pendant la grossesse et après l'accouchement.
Conclusion : Certains condylomes vulvaires nécessite une prise en charge urgence pour le confort et de remédier à l'impotence fonctionnelle dont ils sont à l'origine

Abstract

Abstract
Introduction:Buschke-Lowenstein tumor is linked to human papillomavirus (HPV) infection, which is transmissible. Its appearance during pregnancy can be a source of discomfort, although the risk of transmission during delivery is low. It can pose a challenge in terms of therapeutic management.
CLINICAL OBSERVATION:
This concerns Miss H.M., a 19-year-old female vendor with no significant past medical history, who presented with vulvar swelling, foul-smelling vaginal discharge, and a tension-like pain rated at 7 on the visual anogenital pain scale, during a 17-week pregnancy.
On examination, a large mass was observed, covering the entire vulva and part of the anal region, obscuring the labia majora, minora, and clitoris. The vaginal opening was difficult to access, and the vaginal walls were unremarkable on vaginal examination. A speculum examination was not performed due to the vulvar obstruction.
The patient received cauterization as treatment. No perineal complications were observed during the examination, and the postpartum period was uneventful. The patient was referred to dermatology, and gynecological follow-up with periodic cervical cancer screening is planned.
The very slow progression was satisfactory, marked by the absence of clinical recurrence during pregnancy and after delivery.
Conclusion: Some vulvar condylomas require urgent management for comfort and to address the functional impairment they cause.
Conclusion: Some vulvar condylomas require urgent management for comfort and to cure the functional impotence they cause.

P.31

L’accès aux traitements antirétroviraux dans le district sanitaire de Sakassou (Centre, Côte d’Ivoire)

Access to antiretroviral treatments in the Sakassou health district (Central Côte d’Ivoire)

Yannick KONAN, ykonan14@gmail.com

Laboratoire des Vulnérabilités Socio-Environnementales (LAVSE), Université Alassane Ouattara, Bouaké, Côte d'Ivoire

Résumé

Le passage aux multithérapies en 1996 a transformé la prise en charge du VIH, tout en érigeant l’accès aux soins dans les pays en développement en enjeu géopolitique majeur. Bien que la mobilisation internationale et l’émergence des génériques aient réduit les coûts, les obstacles structurels persistent. Le cas de la Côte d’Ivoire est emblématique : engagé précocement dans une politique volontariste, le pays fait face à un paradoxe. Malgré ses efforts historiques, il demeure le foyer principal de l’épidémie en Afrique de l’Ouest, et des zones comme le district de Sakassou révèlent les difficultés persistantes des Personnes Vivant avec le VIH (PVVIH) pour accéder aux traitements essentiels.

Abstract

The shift to combination therapies in 1996 transformed the management of HIV, while making access to healthcare in developing countries a major geopolitical issue. Although international mobilization and the emergence of generic drugs have reduced costs, structural obstacles persist. The case of Côte d'Ivoire is emblematic: having engaged early in a proactive policy, the country faces a paradox. Despite its historical efforts, it remains the main hotspot of the epidemic in West Africa, and areas like the Sakassou district reveal the ongoing difficulties People Living with HIV (PLHIV) face in accessing essential treatments.

P.32

Morbi-mortalité chez les enfants de 0 à 18 ans dans le service de pédiatrie au Centre Hospitalier Régional de Tsévié.

Morbidity and mortality in children aged 0 to 18 in pediatrics departement of Tsevie Regional Hospital Center.

Ounoo Elom Takassi[1], elomtak@gmail.com ; Foli Agbeko[2]; Nadiedjoa Kokou Douti[2]; Koffi Edem Djadou[3]

[1] CHR Lomé Commune, Université de Lomé, Togo

[2] CHU Campus, Université de Lomé, Togo

[3] CHR Tsévié, Université de Lomé, Togo

Résumé

Introduction : La morbidité et la mortalité pédiatriques sont considérées comme des indicateurs classiques du niveau de développement social et économique d'un pays. L'objectif de cette étude était de déterminer la morbidité et la mortalité chez les enfants de 0 à 18 ans au CHR Tsévié.
Matériel et méthode : il s'est agi d'une étude rétrospective descriptive et analytique portant sur les dossiers d'enfants hospitalisés et ou décédés du 1er janvier 2020 au 31 décembre 2020. Résultats : Au total 1160 dossiers étaient étudiés. La prévalence globale des décès était de 10,1%. La tranche d'âge de 0 à 1 mois était la plus représenté avec 47,7% des cas, suivie de celle des 12 à 59 mois qui faisait 27,8 % des cas. La sex-ratio était de 1,13. Le paludisme, l'infection néonatale et l'asphyxie périnatale représentaient les principales causes de décès dans respectifs 34,1% ; 29% et 21,3% des cas. Les facteurs associés au décès étaient un niveau socioéconomique faible (p <0,001) ; un retard aux soins entre 3 à 6 jours (p<0,001) et une durée de séjour inférieur à 2 jours (p<0,001).
Conclusion : La mortalité hospitalière pédiatrique était élevée et était dominée par les affections néonatales. Les interventions visant à améliorer la prise en charge des nouveau-nés d'une part et la lutte contre le paludisme d'autre part permettraient de réduire la mortalité.

Abstract

Introduction : Pediatric morbidity and mortality are considered classic indicators of a country's level of social and economic development. The aim of this study was to investigate morbidity and mortality in children aged 0-18 years at the CHR Tsévié.
Material and method: this was a retrospective descriptive and analytical study of the records of children hospitalized and/or deceased from January 1, 2020 to December 31, 2020. Data were collected from June 6 to December 15, 2021.
Results: A total of 1,160 files were studied. The overall prevalence of death was 10.1%. The 0-1 month age group was the most represented with 47.7% of cases, followed by the 12-59 month age group with 27.8%. The sex ratio was 1.13. Malaria, neonatal infection and perinatal asphyxia were the main causes of death in 34.1%, 29% and 21.3% of cases respectively. Factors associated with death were low socioeconomic status (p<0.001) ; delay in care between 3 and 6 days (p<0.001) and length of stay less than 2 days (p<0.001).
Conclusion : Pediatric in-hospital mortality was high and dominated by neonatal conditions. Interventions to improve newborn care on the one hand, and malaria control on the other, would help reduce mortality.

P.33

Ouverture du scaffold imidazo[4,5-c][1,6]naphthyridin-4(5H)-one par conception rationnelle d'une nouvelle structure

Opening of the imidazo[4,5-c][1,6]naphthyridin-4(5H)-one scaffold by rational design of a new structure

Ousmane DEMBELE, oxmodamocles@yahoo.fr

Faculté de Pharmacie - Laboratoire National de la Santé

Résumé

Ces dernières années, les réactions de couplage croisé catalysées par des métaux sont apparues comme un outil puissant pour fonctionnaliser les échafaudages hétérocycliques afin de fournir efficacement des liaisons C–C et C–N. Parmi eux, les réactions de couplage croisé Suzuki-Miyaura et Buchwald-Hartwig sont devenues des processus très appropriés pour développer des molécules bioactives telles que des médicaments et des produits agrochimiques. Dans ce contexte, les réactions catalysées par le palladium et le cuivre sont des méthodes efficaces pour fournir des hétérocycles hautement fonctionnalisés. Dans le cadre de notre intérêt pour la synthèse d'échafaudages hétérocycliques utilisant ces approches, nous avons concentré notre attention sur le développement de méthodologies de synthèse pour permettre l'accès à une grande variété de 1,6-naphtyridinones fonctionnalisées. Parmi tous les types de 1,6-naphtyridinones signalés à ce jour, les 1,6-naphtyridin-2(1H)-ones et les 1,6-naphtyridin-4(1H)-ones ont attiré beaucoup d'attention. Nous avons précédemment rapporté des synthèses efficaces de 1,6-naphtyridin-2(1H)-ones 3,7-disubstituées et leurs applications en tant qu'agents anticancéreux potentiels.6 Maintenant, nous nous concentrons sur l'échafaudage 1,6-naphtyridin-4(1H)-one . La famille des 1,6-naphtyridinones possède un large éventail de propriétés biologiques. En particulier, les 1,6-naphtyridin-4(1H)-ones 3,7-disubstituées ont été décrites comme agents antibactériens, antiviraux et immunosuppresseurs. Afin d'étendre la fonctionnalisation d'un tel noyau hétérocyclique, nous souhaitions un accès facile et fiable pour la préparation de 1,6-naphtyridin-4(1H)-ones 3,7-disubstituées exploitant le couplage croisé et les réactions SNAr (Figure 1). Nous décrivons ici une synthèse efficace d'une 3,7-dihalo-1,6-naphtyridin-4(1H)-one permettant la préparation des 1,6-naphthyridine-4(1H)-3,7-disubstituées d'intérêt biologique potentiel.

Abstract

In recent years, metal-catalyzed cross-coupling reactions have emerged as a powerful tool for functionalizing heterocyclic scaffolds, efficiently forming C–C and C–N bonds. Among these, the Suzuki-Miyaura and Buchwald-Hartwig reactions have become highly suitable processes for developing bioactive molecules, such as pharmaceuticals and agrochemicals. In this context, palladium- and copper-catalyzed reactions provide efficient methods for producing highly functionalized heterocycles. Within our ongoing interest in synthesizing heterocyclic scaffolds using these approaches, we have focused on developing synthetic methodologies to access a wide variety of functionalized 1,6-naphthyridinones. Among the reported 1,6-naphthyridinones, the 1,6-naphthyridin-2(1H)-ones and 1,6-naphthyridin-4(1H)-ones have garnered significant attention. We previously reported efficient syntheses of 3,7-disubstituted 1,6-naphthyridin-2(1H)-ones and their potential as anticancer agents. Now, we turn our attention to the 1,6-naphthyridin-4(1H)-one scaffold. The 1,6-naphthyridinone family exhibits a broad spectrum of biological properties. In particular, 3,7-disubstituted 1,6-naphthyridin-4(1H)-ones have been reported as antibacterial, antiviral, and immunosuppressive agents. To expand the functionalization of this heterocyclic core and improve physicochemical properties (e.g., solubility), we sought reliable access to "open" analogs exploiting cross-coupling and SNAr reactions. Herein, we describe an efficient synthesis of 1-benzyl-N-(2-chloropyridin-4-yl)-1H-imidazole-4-carboxamide derivatives as opened forms of the 3,7-disubstituted imidazo[4,5-c][1,6]naphthyridin-4(5H)-one scaffold with potential biological interest.

P.34

Pollution chimique (HAP et ETM) de la nappe libre du Sud-Est forestier de la Côte d'Ivoire

Chemical pollution (PAHs and TMs) of the unconfined aquifer in the southeastern forest region of Côte d'Ivoire

Bernard ADIAFFI, adiaffi_be@yahoo.fr

UNIVERSITE FELIX HOUPHOUËT BOIGNY, CÔTE D'IVOIRE

Résumé

Dans le Sud-Est forestier ivoirien (Dabou-Abidjan-Bonoua), l'urbanisation accélérée et la transformation anthropique de la végétation amenuisent la qualité des eaux souterraines en hydrocarbures aromatiques polycycliques (HAP) et en éléments traces métalliques (ETM). Pour identifier les sources et évaluer d'une part les risques non cancérigènes (HI) et cancérigènes (CR) des HAP et d'autre part, la qualité des eaux vis-à-vis des ETM, 26 échantillons d'eau ont été prélevés et analysés. Une identification des sources de huit HAP est faite à l'aide des ratios diagnostics de HAP suivie de l'évaluation du risque sanitaire à partir des doses journalières d'exposition par ingestion et par contact cutané à la fois pour les HAP et les ETM. Le calcul de l'indice de qualité des eaux (WQI) et de charge polluante (PLI) axés sur les ETM a été également effectué. L'étude révèle des concentrations en HAP allant de 0,03 à 3,37 ng/l avec une prédominance en HAP légers. Les sources Pyrolytique et pétrogénique sont mises en évidence. Le risque sanitaire est très faible à la fois pour les HAP non cancérigènes (7,15.10-7 à 1,31.10-5) chez les enfants et (2,58.10-7 à 4,27.10-6 ; HI ˂ 1) chez les adultes et pour les HAP cancérigènes (5,59.10-10 à 1,57.10-8) chez les enfants et (1,87.10-10 à 5,63.10-9 ; CR ˂ 1.10-4) chez les adultes. Les concentrations en ETM sont inférieures aux seuils de l'OMS pour les eaux de consommation, sauf à Palmafrique (Dabou, concentration en Cd ˃ 3 µg/l : 102,87µg/l). Hormis Palmafrique, les localités présentent des eaux de qualité excellente (WQI ˂ 50 : 14,04 à 30,97 / PLI ˂ 1 : 0,003 à 0,083) avec un CR acceptable (10-6 < CR < 10-4) chez les adultes contrairement aux enfants chez qui il est au-delà du seuil critique (CR ˃ 10-4) dans les localités comme Palmafrique (6,28.10-3), Petit Badien (1,11.10-4), CNRA Okpoyou (1,04.10-4), Agbaille (1,21.10-4).

Abstract

In the forested southeast of Côte d'Ivoire (Dabou-Abidjan-Bonoua), rapid urbanization and anthropogenic transformation of vegetation were reducing the quality of groundwater in terms of polycyclic aromatic hydrocarbons (PAHs) and trace metals (TMs). To identify the sources and assess both the non-carcinogenic (HI) and carcinogenic (CR) risks of PAHs and the quality of the water in terms of TMs, 26 water samples were collected and analyzed. The sources of eight PAHs were identified using PAH diagnostic ratios, followed by a health risk assessment based on daily exposure doses through ingestion and skin contact for both PAHs and TMs. The water quality index (WQI) and pollutant load index (PLI) focused on TMs were also calculated. The study reveals PAH concentrations ranging from 0.03 to 3.37 ng/L, with a predominance of light PAHs. Pyrolytic and petrogenic sources were highlighted. The health risk is very low for both non-carcinogenic PAHs (7.15×10^{-7} to 1.31×10^{-5}) in children and (2.58×10^{-7} to 4.27×10^{-6}; HI ˂ 1) in adults, and for carcinogenic PAHs (5.59.10-10 to 1.57.10-8) in children and (1.87.10-10 to 5.63.10-9; CR ˂ 1.10-4) in adults. TM concentrations were below WHO thresholds for drinking water, except in Palmafrique (Dabou, Cd concentration ˃ 3 µg/l: 102.87µg/l). Apart from Palmafrique, the localities have excellent water quality (WQI ˂ 50: 14.04 to 30.97 / PLI ˂ 1: 0.003 to 0.083) with an acceptable CR (10-6 < CR < 10-4) in adults, unlike children, in whom it exceeds the critical threshold (CR ˃ 10-4) in localities such as Palmafrique (6.28.10-3), Petit Badien (1.11×10^{-4}), CNRA Okpoyou (1.04×10^{-4}), and Agbaille (1.21×10^{-4}).

P.35

Prévalence du poliovirus dans le cadre de la surveillance environnementale et du confinement de janvier 2020 a juin 2023 au Ouagadougou et Bobo Dioulasso au Burkina Faso.

Prevalence of poliovirus in environmental surveillance and containment from January 2020 to June 2023 in Ouagadougou and Bobo-Dioulasso, Burkina Faso.

Issa TONDE[1], tondis@ymail.com ; Baowend-somdé Raoul Zio[2]; Absatou Ky-Ba[3]; Abdoul-Salam Ouédraogo[4]; Idrissa Sanou[5]; Rasmata Ouédraogo-Traoré[1]; Mahamoudou Sanou[1]

[1] Université Joseph Ki-Zerbo/CHU pédiatrique Charles de Gaulle

[2] Centre ospitalier regional de Dedougou

[3] UniversitéUniversité Joseph Ki-Zerbo/CHU Bogodogo

[4] Université Nazi Boni/CHU Sanou Sourou

[5] Université Joseph Ki-Zerbo/CHU Tengandogo

Résumé

Introduction : Le Burkina Faso engagé dans le processus d'éradication de la polio conformément aux recommandations de l'OMS, a commencé la surveillance environnementale en Mars 2016. C'est pour une nécessité d'évaluation de cette surveillance, que cette étude a été initié.
Matériel et Méthodes : Les échantillons ont été collectés, conservés et transportés selon les recommandations de l'OMS. Tous les dix sites de la surveillance reparti dans les deux grandes villes du pays ont été prélevés dans la période de janvier 2020 à juin 2023. Ces échantillons ont été analysés par la culture cellulaire sur cellule RD, L20B, puis par la RT-PCR pour le typage et par le séquençage.
Résultats : Au total 419 échantillons d'eaux usées ont été recueillis à Ouagadougou et à Bobo Dioulasso. La performance de la surveillance environnementale était en deçà des attentes de l'OMS durant la période d'étude. Au total 419 échantillons dont 321 (76,61 %) à Ouagadougou et 98 (23,39 %) à Bobo Dioulasso ont été prélevés. Quatre Cent Trois (403) échantillons soit 96,18 % ont été mis en culture. Parmi les échantillons mis en culture, les positifs aux entérovirus était de 25,05 %, les positifs aux entérovirus non polio était de 21,96 % et les poliovirus confirmés par PCR était de 4,30 %. Le séquençage a permis de confirmer un cas de cVDPV2 représentant 0,24 %.
Conclusion : cette étude a montré une prévalence de poliovirus de 4,3 % et une prévalence des entérovirus en dessous des attentes de l'OMS traduisant une faible performance de la surveillance environnementale.

Abstract

Introduction: Burkina Faso, committed to the process of eradicating polio in accordance with WHO recommendations, began environmental surveillance in March 2016. This study was initiated out of a need to evaluate this surveillance.
Materials and Methods: Samples were collected, stored, and transported according to WHO recommendations. Samples were collected from all ten surveillance sites in the country's two major cities between January 2020 and June 2023. These samples were analyzed by cell culture on RD and L20B cells, then by RT-PCR for typing and sequencing.
Results: A total of 419 wastewater samples were collected in Ouagadougou and Bobo Dioulasso. The performance of environmental surveillance fell short of WHO expectations during the study period. A total of 419 samples were collected, including 321 (76.61%) in Ouagadougou and 98 (23.39%) in Bobo Dioulasso. Four hundred and three (403) samples, or 96.18%, were cultured. Among the samples cultured, 25.05% were positive for enteroviruses, 21.96% were positive for non-polio enteroviruses, and 4.30% were confirmed as polioviruses by PCR. Sequencing confirmed one case of cVDPV2, representing 0.24%.
Conclusion: This study showed a poliovirus prevalence of 4.3% and an enterovirus prevalence below WHO expectations, reflecting poor environmental surveillance performance.

P.36

Prévalence du virus de la rubéole dans le système de surveillance épidémiologique au Burkina Faso de 2001 a 2021.

Prevalence of rubella virus in the epidemiological surveillance system in Burkina Faso from 2001 to 2021.

Issa TONDE[1], tondis@ymail.com ; Anatol Kafando[2]; Absatou Ky-Ba[3]; Abdoul-Salam Ouédraogo[4]; Mahamoudou Sanou[1]; Idrissa Sanou[5]; Rasmata Ouédraogo-Traoré[1]

[1] Université Joseph Ki-Zerbo/CHU pédiatrique Charles de Gaulle

[2] CHU pédiatrique Charles de Gaulle

[3] Université Joseph Ki-Zerbo/CHU Bogodogo

[4] Université Nazi Boni/CHU Sanou Sourou

[5] Université Joseph Ki-Zerbo/CHU Tengandogo

Résumé

Introduction : Rubivirus rubellae agent responsable de la rubéole, maladie le plus souvent bénigne, mais responsable de risque d'effet tératogène et de fausse couche chez la femme enceinte et chez l'enfant pouvant même conduire à la mort. L'existence d'un vaccin efficace a permis de l'inclure dans la liste de l'OMS des maladies éradicables d'ici 2030. Cette étude a pour but d'évaluer cette possibilité d'éradication à travers l'étude de la prévalence du virus de la rubéole depuis le début de la surveillance au Burkina Faso.

Méthodologie : Il s'agit d'une étude descriptive de janvier 2001 à décembre 2021 et couvrant 65 districts sanitaires du Burkina Faso. Les échantillons de sang provenant de cas suspects de rubéole sont acheminés au Laboratoire National de Référence Rougeole-Rubéole au Centre Hospitalier Universitaire pédiatrique Charles de Gaulle pour confirmation, par la recherche des IgM par la technique ELISA.

Résultats : sur un total de 5693 d'échantillons analysés, 10 % étaient positifs à la rubéole. Parmi les cas positifs, 71,4 % des sérums provenaient de patients non vaccinés. La majeure partie des échantillons (96,4 %), était prélevé dans le délai c'est-à-dire 28 jours après le début de l'éruption cutané. Les enfants de moins de 15 ans étaient les plus représentés et le sex-ratio H/F était de 0,97. L'année 2012 a enregistré le plus de cas positifs avec 17,7 % qui a chuté à 0,7 % en 2015 pour se maintenir jusqu'en 2021. Dans l'ensemble des années, le pic des cas se situait entre février et juin.

Conclusion : De façon générale le nombre de cas de rubéole a considérablement diminué depuis 2015. Les personnes non vaccinées étaient les plus exposées

Abstract

Introduction: Rubivirus rubellae is the agent responsible for rubella, a disease that is usually benign but can cause teratogenic effects and miscarriage in pregnant women and in children, and can even lead to death. The existence of an effective vaccine has enabled it to be included in the WHO list of diseases that can be eradicated by 2030. The aim of this study is to assess the possibility of eradication by studying the prevalence of the rubella virus since surveillance began in Burkina Faso.

Methodology: This is a descriptive study covering the period from January 2001 to December 2021 and covering 65 health districts in Burkina Faso. Blood samples from suspected rubella cases are sent to the National Measles-Rubella Reference Laboratory at the Charles de Gaulle Pediatric University Hospital Center for confirmation by IgM testing using the ELISA technique.

Results: Of a total of 5,693 samples analyzed, 10% were positive for rubella. Among the positive cases, 71.4% of the sera came from unvaccinated patients. Most of the samples (96.4%) were taken within the recommended time frame, i.e., 28 days after the onset of the rash. Children under 15 years of age were the most represented, and the male-to-female ratio was 0.97. The year 2012 recorded the highest number of positive cases with 17.7%, which fell to 0.7% in 2015 and remained stable until 2021. Overall, the peak in cases occurred between February and June.

Conclusion: In general, the number of rubella cases has decreased significantly since 2015. Unvaccinated individuals were most at risk.

P.37

Profil d'expression de l'enzyme APOBEC3G dans la chronicité de l'hépatite B

APOBEC3G expression profile in chronic hepatitis B

Tiembo Farida Milène ZIDA[1], mnezida@yahoo.fr ; Tarwendsida Marie Alexia KABORE[1]; Yeli Rocsane Axelle Coulibaly[1]; Sanata KIEMDE[1]; San Ny Anou Stéphane SOME[1]; Ina Marie Angele TRAORE[2]; Tegwindé Rebeca COMPAORE[2]

[1] Laboratoire de Biologie Moléculaire et de Génétique (LABIOGENE), Université Joseph KI-ZERBO, Burkina Faso

[2] Institut de Recherche en Sciences de la Santé (IRSS/CNRST), Ouagadougou, Burkina Faso

Résumé

Contexte: L'hépatite B est un problème de santé publique en Afrique particulièrement dans la région subsaharienne. Les polypeptides catalytiques de l'enzyme d'édition de l'ARNm de l'apolipoprotéine B 3G (APOBEC3G), sont des enzymes de l'immunité antivirale ayant démontré des capacités d'inhiber la réplication de virus de l'hépatite B (VHB). Le but de notre étude était d'évaluer le niveau d'expression d'APOBEC3G dans la pathogenèse de l'hépatite B chronique.
Méthode: Il s'agissait d'une étude transversale menée auprès de 53 patients VHB chronique et de 53 individus sains. La Numération Formule Sanguine, le Taux de Prothrombine, les transaminases, les bilirubines et la charge virale ont été réalisés. L'ARN a été extrait à l'aide du kit Qiagen QIAmp RNA, puis les extraits obtenus ont été rétrotranscrit en ADN complémentaire (ADNc). Ces ADNc ont été amplifiés par PCR en temps réel avec le master mix PowerTrack SYBR Green en utilisant des amorces de β-actine et d'APOBEC3G. Les test de Mann Whitney et de Spearman ont été effectué à l'aide des logiciels R studio et GraphPad Prism.
Résultats: La population de notre étude était constituée à 55,7% de femmes et l'âge des individus variait de 19 à 62 ans. Le niveau d'expression moyen (APOBEC3G) était plus élevé chez les patients négatifs au VHB. La différence du niveau d'expression entre les deux groupes n'était pas significative (p value= 0,87). Aucune corrélation n'a pu être établie entre le niveau d'expression d'APOBEC3G et la charge virale ou les paramètres biologiques. La différence entre les charges virales des patients VHB chronique traités et non traités était significative (p value= 0,01).
Conclusion: Cette étude a montré que le niveau d'expression d'APOBEC3G était plus élevé chez les patients négatifs au VHB comparé à ceux VHB chronique. Aucune association avec la charge virale ou les autres paramètres biologiques n'a pu être établie.

Abstract

Background: Hepatitis B is a public health problem in Africa, particularly in the sub-Saharan region. The catalytic polypeptides of the apolipoprotein B 3G (APOBEC3G) mRNA editing enzyme are antiviral immunity enzymes with the ability to inhibit hepatitis B virus (HBV) replication. The aim of our study was to determine the level of APOBEC3G expression in the pathogenesis of chronic hepatitis B.
Method: This was a cross-sectional study of 53 individuals with chronic HBV and 53 healthy individuals. Complete blood count, prothrombin time, aminotransferase, bilirubin, and viral load were measured. RNA was extracted using the Qiagen QIAmp RNA kit, and the extracts obtained were reverse transcribed into complementary DNA. This cDNA was amplified by real-time PCR with the PowerTrack SYBR Green Master Mix using β-actin and APOBEC3G primers. The Mann Whitney and Spearman tests were performed using R studio and GraphPad Prism software.
Results: The population in our study was 55.7% female, and the age of the individuals ranged from 19 to 62 years. The mean expression level (APOBEC3G) was higher in HBV-negative patients. The difference in expression level between the two groups was not significant (p value = 0.87). No correlation was found between APOBEC3G expression levels and viral load or biological parameters. The difference in viral load between treated and untreated chronic HBV patients was significant (p value= 0.01).
Conclusion: This study showed that the level of APOBEC3G expression was higher in HBV-negative patients compared to those with chronic HBV. No association with viral load or other biological

parameters could be established.

P.38

Profil lipidique au cours du syndrome néphrotique chez les enfants reçus au Centre Hospitalier Universitaire Yalgado Ouédraogo

Lipid profile in nephrotic syndrome in children admitted to the Yalgado Ouédraogo University Hospital Center

Fabienne Marie B.T.B. SOUDRE[1], fabysoudre@gmail.com ; Raoul KARFO[1]; Alice KIBA[1]; Arnaud KOURAOGO[2]; N. Edwige Isabelle VOKOUMA[1]; Elie KABRE[1]; Jean SAKANDE[1]

[1] Université Joseph KI-ZERBO

[2] Université Nazi BONI

Résumé

Introduction : Le syndrome néphrotique est une affection rénale chronique fréquente chez l'enfant, particulièrement en Afrique subsaharienne. Au Burkina Faso, il représente un véritable défi de prise en charge en milieu pédiatrique. Outre l'atteinte rénale, le syndrome néphrotique s'accompagne souvent d'une dyslipidémie, impliquée dans l'aggravation du pronostic et le risque cardiovasculaire. Cependant, les données locales restent limitées, justifiant la réalisation de cette étude.
Méthodologie : Il s'est agi d'une étude cas-témoins menée de janvier à juin 2025 au CHU Yalgado Ouédraogo, incluant 40 enfants âgés de 3 à 15 ans (20 cas de syndrome néphrotique et 20 témoins). Des prélèvements sanguins à jeun et des urines de 24 heures ont permis la réalisation du bilan biochimique : protidémie, albuminémie, créatininémie, protéinurie et bilan lipidique. L'analyse statistique a été réalisée avec Stata 16.0, avec un seuil de significativité $p < 0,05$, dans le respect des règles éthiques et après consentement éclairé.
Résultats : L'âge moyen des patients de l'étude était de 8,5 ± 3,65 ans et le sex-ratio H/F de 1,5. Chez les cas, la protéinurie moyenne était de 0,71 ±1,49 g/24h, la protidémie de 55,95 ± 7,25 g/L et l'albuminémie de 36,88 ± 6,93 g/L. Les valeurs moyennes du cholestérol total, du HDL-cholestérol et du LDL-cholestérol étaient significativement plus élevées chez les enfants suivis pour syndrome néphrotique (respectivement p=0,007 ; p=0,0001 et p=0,022). Les dyslipidémies retrouvées chez ces enfants étaient à type d'hypercholestérolémie (25 %), d'hypertriglycéridémie (20%) et d'hypoHDL-cholestérolémie (5%).
Conclusion : Létude a mis en évidence une fréquence élevée de dyslipidémies au cours du syndrome néphrotique. Ces anomalies, en particulier l'élévation du LDL-cholestérol, exposent à un risque cardiovasculaire important. Une surveillance lipidique systématique et une prise en charge précoce s'imposent pour améliorer le pronostic et la qualité de vie des enfants suivis pour cette pathologie.

Abstract

Introduction: Nephrotic syndrome is a common chronic kidney disease in children, particularly in sub-Saharan Africa. In Burkina Faso, it represents a real challenge for pediatric care. In addition to kidney damage, nephrotic syndrome is often accompanied by dyslipidemia, which is implicated in worsening prognosis and cardiovascular risk. However, local data remain limited, justifying the conduct of this study.
Methodology: This was a case-control study conducted from January to June 2025 at the Yalgado Ouédraogo University Hospital, including 40 children aged 3 to 15 years (20 cases of nephrotic syndrome and 20 controls). Fasting blood samples and 24-hour urine samples were used to perform biochemical tests: proteinemia, albuminemia, creatininemia, proteinuria, and lipid profile. Statistical analysis was performed using Stata 16.0, with a significance threshold of $p < 0.05$, in accordance with ethical rules and after informed consent.
Results: The mean age of the patients in the study was 8.5 ± 3.65 years and the male-to-female ratio was 1.5. In the cases, the mean proteinuria was 0.71 ± 1.49 g/24h, the mean proteinemia was 55.95 ± 7.25 g/L, and the mean albuminemia was 36.88 ± 6.93 g/L. The mean values for total cholesterol, HDL cholesterol, and LDL cholesterol were significantly higher in children monitored for nephrotic syndrome (p=0.007, p=0.0001, and p=0.022, respectively). The dyslipidemias found in these children were hypercholesterolemia (25%), hypertriglyceridemia (20%), and hypoHDL-cholesterolemia (5%).

Conclusion: The study highlighted a high frequency of dyslipidemia in nephrotic syndrome. These abnormalities, particularly elevated LDL cholesterol, expose patients to significant cardiovascular risk. Systematic lipid monitoring and early management are necessary to improve the prognosis and quality of life of children being treated for this condition.

P.39

Profil phénotypique Rh-Kell chez les donneurs de sang au Togo

Rh–Kell Phenotypic Profile among Blood Donors in Togo

Koffi MAWUSSI[1], mawussimeko@yahoo.fr ; Hèzouwè MAGNANG[2]; Liza Koboyo NADJIR[3]; Messanh Délagnon Irénée KUEVIAKOE[4]; Yao LAYIBO[5]; Essohana PADARO[6]; Lochina FETEKE[7]

[1] Centre Régional de transfusion sanguine de Sokodé /Faculté des sciences de la santé - Université de Kara

[2] Centre national de recherche et de soins aux drépanocytaires/ Faculté des sciences de la santé - Université de Lomé, Togo

[3] Centre national de transfusion sanguine de Lomé/Faculté des sciences de la santé - Université de Lomé, Togo

[4] Centre Hospitalier Universitaire Sylvanus Olympio/ Faculté des sciences de la santé - Université de Lomé, Togo

[5] Centre Hospitalier Universitaire Sylvanus Olympio

[6] Centre Hospitalier Universitaire Campus de Lomé/ Faculté des sciences de la santé - Université de Lomé, Togo

[7] Centre national de transfusion sanguine de Lomé/ Faculté des sciences de la santé - Université de Lomé, Togo

Résumé

Introduction : Le phénotypage des antigènes érythrocytaires est essentiel pour améliorer la sécurité transfusionnelle immunologique. Toutefois, les données relatives aux phénotypes Rh-Kell chez les donneurs de sang au Togo sont insuffisamment documentées. Cette étude a pour objectif de déterminer le profil phénotypique Rh-Kell des donneurs de sang et de contribuer à la constitution d'une base de données de donneurs phénotypés.
Méthodes : Il s'agissait d'une étude transversale menée du 12 juin au 29 août 2025 auprès de 1 405 donneurs de sang au Centre national de transfusion sanguine de Lomé et au Centre régionale de transfusion sanguine de Sokodé. Le typage RhD a été réalisé par la méthode d'agglutination sur plaque et par carte gel. Le Phénotype RhCE a été effectué par la méthode sur plaque, tandis que la recherche de l'antigène Kell (K) a été réalisée par la méthode en tube.
Résultats : Les fréquences des antigènes D, C, E, c et e étaient respectivement de 89,47%, 20,36%, 17,01%, 99,50% et 99,29%. L'antigène Kell (K) était présent chez 0,64 % des donneurs. Au total, 14 phénotypes Rh–Kell ont été identifiés. Les plus fréquents étaient DcceeK− (57,51 %), DCceeK− (14,38 %) et DccEeK− (13,45 %).
Conclusion : Le phénotype DcceeK− était prédominant chez les donneurs de sang au Togo. Ces résultats constituent une base essentielle pour la mise en place d'un registre de donneurs phénotypés, en vue de prévenir l'allo-immunisation, notamment chez les patients polytransfusés.

Abstract

Background: Red blood cell antigen phenotyping is essential to improve immunohematological transfusion safety. However, data on Rh–Kell phenotypes among blood donors in Togo remain limited. This study aimed to determine the Rh–Kell phenotypic profile of blood donors and to contribute to the establishment of a database of phenotyped donors.
Methods: This was a cross-sectional study conducted from June 12 to August 29, 2025, among 1,405 blood donors at the National Blood Transfusion Center in Lomé and the Regional Blood Transfusion Center in Sokodé. RhD typing was performed using slide agglutination and gel card methods. RhCE phenotyping was carried out using the slide method, while the Kell (K) antigen was tested using the tube method.
Results: The frequencies of the D, C, E, c, and e antigens were 89.47%, 20.36%, 17.01%, 99.50%, and 99.29%, respectively. The Kell (K) antigen was detected in 0.64% of donors. A total of 14 Rh–Kell phenotypes were identified. The most frequent phenotypes were DcceeK− (57.51%), DCceeK−

(14.38%), and DccEeK− (13.45%).
Conclusion: The DcceeK− phenotype was predominant among blood donors in Togo. These findings provide an essential basis for establishing a registry of phenotyped blood donors, with the aim of improving transfusion safety and preventing alloimmunization, particularly in chronically transfused patients.

P.40

Tendances et facteurs associés à l'utilisation d'au moins quatre visites de soins prénatals ou plus chez les femmes enceintes au Burkina Faso entre 2003 et 2021

Trends and factors associated with completing at least four antenatal care visits among pregnant women in Burkina Faso between 2003 and 2021

Adja Mariam OUEDRAOGO[1], adjamariam@yahoo.fr ; Rachidatou COMPAORE[1]; Halima TOUGRI[1]; Moussa Lonkila ZAN[2]; Kadari CISSE[1]; Désiré Lucien DAHOUROU[1]; Seni KOUANDA[1]

[1] Institut de Recherche en Sciences de la Santé (IRSS)

[2] Université Joseph KI-ZERBO

Résumé

Introduction
Malgré la mise en œuvre de multiples stratégies de santé maternelle, la couverture des soins prénatals recommandés (4SPN+) demeure insuffisante dans plusieurs pays à revenu faible, dont le Burkina Faso. Cette étude analyse les tendances temporelles de l'utilisation des SPN et identifie les facteurs associés entre 2003 et 2021.
Méthodes
Il s'agit d'une analyse secondaire des données des Enquêtes Démographiques et de Santé (EDS) du Burkina Faso de 2003, 2010 et 2021, portant sur 7 795 femmes âgées de 15 à 49 ans. Des analyses univariées et bivariées (test du chi-carré) ont été réalisées, suivies d'analyses multivariées par régression logistique. Les facteurs associés aux 4SPN+ ont été estimés à l'aide d'odds ratios ajustés avec IC à 95 %, en considérant une valeur de $p \leq 0,05$.
Résultats
La proportion de femmes ayant bénéficié d'au moins quatre SPN est passée de 17,6% en 2003 à 33,7 % en 2010, puis à 72,2 % en 2021. Après ajustement, de 2003 à 2021, l'indice de richesse et la région étaient significativement associés à une
utilisation optimale des SPN. En 2021, il y avait en plus l'intervalle intergénésique et le sexe du chef.
Conclusion
Malgré une amélioration notable de la couverture des SPN, des inégalités persistantes subsistent. Des interventions ciblées sur les femmes socialement et économiquement vulnérables, combinées à des politiques de lutte contre la pauvreté, de promotion de l'éducation féminine et d'amélioration de l'accès aux services, sont essentielles pour renforcer l'utilisation optimale des soins prénatals et réduire la mortalité maternelle

Abstract

Introduction
Despite the implementation of multiple maternal health strategies, coverage of the recommended antenatal care services (ANC4+) remains insufficient in several low-income countries, including Burkina Faso. This study analyzes temporal trends in ANC utilization and identifies associated factors between 2003 and 2021.
Methods
This was a secondary analysis of data from the Burkina Faso Demographic and Health Surveys (DHS) conducted in 2003, 2010, and 2021, including 7,795 women aged 15–49 years. Univariate and bivariate analyses (chi-square test) were performed, followed by multivariable logistic regression analyses. Factors associated with ANC4+ were estimated using adjusted odds ratios (AORs) with 95% confidence intervals (CIs), considering a p-value ≤ 0.05 as statistically significant.
Results
The proportion of women who received at least four ANC visits increased from 17.6% in 2003 to 33.7% in 2010, and to 72.2% in 2021. After adjustment, from 2003 to 2021, household wealth index and region were significantly associated with optimal ANC
utilization. In 2021, birth interval and sex of the household head were additionally associated.

Conclusion
Despite a marked improvement in ANC coverage, persistent inequalities remain.Targeted interventions focusing on socially and economically vulnerable women, combined with policies aimed at poverty reduction, promotion of female education, and improved access to health services, are essential to strengthen optimal antenatal care utilization and reduce maternal mortality.

OL.1

Activité antiparasitaire à large spectre de deux extraits d'une plante médicinale traditionnelle, Anogeissus leiocarpus, utilisée pour le traitement des poulets de chair

Broad-spectrum antiparasitic activity of two extracts from a traditional medicinal plant, Anogeissus leiocarpus, used for the treatment of broiler chickens

Konan Dominique TANO[1], tankondom@gmail.com ; Anzoumana Lassinan OUATTARA[2]; Rivière Assandi KOUAMÉ[3]; Akissi Jeanne KOFFI[1]; Na Ahou Kaddy RASMANE[1]; Amoin Florence KOFFI[4]; Abou OUATTARA[4]

[1] 1) Centre de Recherche et de Lutte contre le Paludisme et autres Pathogènes (CRLP), Institut National de Santé Publique (INSP), Abidjan, Côte d'Ivoire

[2] 2) UFR Sciences Biologiques, Université Péléforo Gon Coulibaly (UPGC), Korhogo, Côte d'Ivoire

[3] 3) Université Alassane Ouattara (UAO), Bouaké, Côte d'Ivoire

[4] 5) UFR Agroforesterie, Université Jean Lorougnon Guédé (UJLoG), Daloa, Côte d'Ivoire

Résumé

Contexte : Le paludisme et la coccidiose aviaire, causés respectivement par des parasites du genre Plasmodium et Eimeria, constituent des problèmes sanitaires et économiques majeurs. Face à l'émergence de résistances aux traitements conventionnels, l'exploration de ressources végétales, telles qu'Anogeissus leiocarpus (Combretaceae), largement utilisée en médecine traditionnelle africaine pour ses propriétés antipyrétiques et antidiarrhéiques, représente une piste prometteuse.
Objectif : Cette étude vise à évaluer l'activité antiplasmodiale in vitro et anticoccidienne in vivo des extraits de feuilles d'Anogeissus leiocarpus.
Méthodes : Les extraits aqueux (par décoction) et hydro-éthanolique (par macération) ont été utilisés pour les tests. L'activité antiplasmodiale a été mesurée sur des isolats cliniques de Plasmodium falciparum selon la variante fluorimétrique du microtest de Rieckmann. L'activité anticoccidienne a été déterminée via un modèle d'inhibition de la sporulation des oocystes d'Eimeria tenella selon les procédures décrites par Udo et al., (2018). La quinine et la luméfantrine puis l'Amprolium ont été utilisés respectivement comme antipaludiques et anticoccidien de référence.
Résultats : Les extraits ont montré une activité dose-dépendante contre les parasites. L'extrait aqueux a présenté une activité antiplasmodiale plus forte que celle de l'extrait hydro-éthanolique, avec des CI50 moyennes respectives de 3,2 µg/mL et 12,7 µg/mL sur les isolats testés. Contre Eimeria tenella, l'extrait aqueux s'est révélé efficace, inhibant 79,26 % de la sporulation des oocystes à la concentration de 100 µg/mL.
Conclusion : Les résultats de cette étude justifieraient l'usage traditionnel d'Anogeissus leiocarpus et met en évidence son double effet contre Plasmodium falciparum et Eimeria tenella. Des investigations plus poussées en vue de l'isolement des principes actifs responsables des activités ainsi qu'une étude comparative du potentiel anticoccidien in vitro devraient être envisagées.

Abstract

Background: Malaria and avian coccidiosis, caused by parasites of the genus Plasmodium and Eimeria respectively, represent major health and economic challenges. Face to the emerging resistance to conventional treatments, the exploration of plant resources, such as Anogeissus leiocarpus (Combretaceae), widely used in African traditional medicine for its antipyretic and antidiarrheal properties, represents a promising avenue.
Objective: This study aims to evaluate the in vitro antiplasmodial and in vivo anticoccidial activities of leaf extracts from Anogeissus leiocarpus.
Methods: Aqueous (by decoction) and hydro-ethanolic (by maceration) extracts were prepared for testing. Antiplasmodial activity was assessed against clinical isolates of Plasmodium falciparum using the fluorometric variant of the Rieckmann microtest method. Anticoccidial activity was determined through a model of sporulation inhibition of Eimeria tenella oocysts, following procedures described by

Udo et al. (2018). Quinine and lumefantrine, and Amprolium, were used as reference antimalarial and anticoccidial agents, respectively.
Results: The extracts showed dose-dependent activity against the parasites. The aqueous extract demonstrated stronger antiplasmodial activity than the hydro-ethanolic extract, with respective mean IC50 values of 3.2 µg/mL and 12.7 µg/mL against the tested isolates. Against Eimeria tenella, the aqueous extract was effective, inhibiting 79.26% of oocyst sporulation at a concentration of 100 µg/mL.
Conclusion: The results of this study support the traditional use of Anogeissus leiocarpus and highlight its dual efficacy against Plasmodium falciparum and Eimeria tenella. Further investigations aimed at isolating the active principles responsible for these activities, as well as a comparative study of its in vitro anticoccidial potential, are needed.

OL.2

Activités anthropiques et infestation naturelle de Bulinus globosus par les schistosomes dans trois communes du sud-Bénin

Anthropogenic activities and natural infestation of Bulinus globosus by schistosomes in three municipalities of southern Benin

Saturnin HOUNSOU[1], saturninhounsou@yahoo.fr ; Armelle Sabine Yélignan HOUNKPATIN[1]; Zinsou Côme KOUKPO[2]

[1] Laboratoire de Recherche Pluridisciplinaire de l'Enseignement Technique (LaRPET) / Ecole Normale superieure de l'enseignement Technique (ENSET), Lokossa / Université Nationale des Sciences, Technologies, Ingénierie et Mathématiques (UNSTIM), Abomey, Bénin

[2] Faculté des Sciences et Techniques (FAST), Université d'Abomey-Calavi, Bénin

Résumé

La schistosomiase urinaire est une parasitose causée par le trématode Schistosoma haematobium, dont le cycle biologique fait intervenir obligatoirement un mollusque d'eau douce du genre Bulinus comme hôte intermédiaire. L'objectif de l'étude était d'analyser les facteurs anthropiques associés à l'infestation naturelle de Bulinus globosus par les schistosomes dans trois communes du sud-Bénin. Une collecte mensuelle de B. globosus était effectuée par une même personne de janvier à décembre 2025 sur 12 sites répartis de façon égale dans les communes des Aguégués, Dangbo et Sô-Ava pendant 30 minutes pour chaque séance de collecte. Les sites étaient des mares, étangs agro-piscicoles et rizières. Des observations directes étaient faites pour noter les activités humaines exercées sur chaque site. Les mollusques collectés étaient soumis au laboratoire à un test d'infestation naturelle aux schistosomes. Au total, 2174 individus de B. globosus étaient collectés dont 21,11% infectés naturellement par les schistosomes. Une variation significative des taux d'infestation de B. globosus en fonction des communes ($\chi2$= 24,931 ; P< 0,001), sites ($\chi2$= 104,935 ; P< 0,001), types d'habitat des mollusques ($\chi2$= 45,256 ; P< 0,001), mois ($\chi2$= 62,767 ; P< 0,001), saisons ($\chi2$= 28,680 ; P< 0,001) et périodes hydrologiques ($\chi2$= 8,247 ; P= 0,016) a été observée. La pratique de la pêche à l'aide de nasses, d'hameçons et filets (OR= 6,84 ; P< 0,001), l'abreuvage du bétail (OR= 1,85 ; P= 0,001), la lessive et baignade (OR= 3,71 ; P= 0,031) et la riziculture (OR= 3,90 ; P< 0,001) sur les sites étaient associées à une augmentation du risque d'infestation naturelle de B. globosus, soulignant l'importance de la mise en place de mesures de gestion environnementale pour la prévention.

Abstract

Urinary schistosomiasis is a parasitic disease caused by the trematode Schistosoma haematobium, whose life cycle obligatorily involves a freshwater snail of the genus Bulinus as the intermediate host. The aim of the study was to analyze the anthropogenic factors associated with the natural infestation of Bulinus globosus by schistosomes in three municipalities in southern Benin. A monthly collection of B. globosus was carried out by the same person from January to December 2025 at 12 sites equally distributed in the municipalities of Aguégués, Dangbo, and Sô-Ava, with each sampling session lasting 30 minutes. The sites consisted were pools, aquaculture ponds, and rice fields. Direct observations were made to record the human activities taking place at each site. The snails collected were subjected to a natural schistosome infestation test in the laboratory. A total of 2,174 B. globosus individuals were collected, of which 21.11% were naturally infected with schistosomes. A significant variation in B. globosus infestation rates was observed according to municipalities (χ^2 = 24.931; P < 0.001), sites (χ^2 = 104.935; P < 0.001), snail habitat types (χ^2 = 45.256; P < 0.001), months (χ^2 = 62.767; P < 0.001), seasons (χ^2 = 28.680; P < 0.001), and hydrological periods (χ^2 = 8.247; P = 0.016). The practice of fishing with traps, hooks and nets (OR= 6.84; P< 0.001), watering livestock (OR= 1.85; P= 0.001), washing and bathing (OR= 3.71; P= 0.031) and rice cultivation (OR= 3.90; P< 0.001) on the sites were associated with an increased risk of natural infestation of B. globosus, highlighting the importance of implementing environmental management measures for prevention.

OL.3

ANALYSE DE LA PERCEPTION DE LA STERILISATION DANS LA GESTION DES CARNIVORES DOMESTIQUES ERRANTS DE LA VILLE DE OUAGADOUGOU (BURKINA FASO)

ANALYSIS OF PERCEPTIONS OF STERILIZATION IN THE MANAGEMENT OF STRAY DOMESTIC CARNIVORES IN THE CITY OF OUAGADOUGOU (BURKINA FASO)

Sahidi ADAMOU, adamousahidi@yahoo.fr

EISMV

Résumé

La lutte contre la rage dans les pays sous-développés, passe par la maitrise de la croissance des populations de carnivores domestiques errants. A cet effet, la stérilisation apparaît comme une alternative durable par rapport à l'abattage longtemps utilisé et cela, selon une approche One Health qui intègre la santé humaine, animale et environnementale.

C'est dans ce sens que cette étude a été menée dans le but d'évaluer les perceptions socio-culturelles des populations autour de l'utilisation de cette méthode de stérilisation chirurgicale comme outil de prévention des zoonoses dans la ville de Ouagadougou. L'étude a été menée entre décembre 2024 et février 2025, auprès de 392 habitants de Ouagadougou, selon un échantillonnage aléatoire stratifié. Il en est ressorti que parmi les enquêtés, 54% possédait un animal de compagnie contre 46% qui n'en ont jamais possédé avec 85,27 % d'entre eux qui perçoivent les chiens errants comme un danger. Ce point de vue est soutenu par la faite que 77,26 % des participants savent que les animaux peuvent transmettre des maladies à l'homme et que ces maladies peuvent parfois être mortelle selon 73,06 % d'entre eux. De ce fait, comme moyen de gestion de ces animaux errants ; 21,17 % soutiennent activement la stérilisation, contre 65 % qui privilégient l'abattage. Les freins identifiés pour l'acceptation de la stérilisation comme moyen de lutte contre les zoonoses et la prolifération des chiens errants incluent : le manque d'information (76 %), des coûts élevés de l'actes (38,3 %) et des croyances culturelles (22,5 %).

En somme, cette étude recommande un renforcement de la sensibilisation, un encadrement vétérinaire accessible, ainsi qu'un soutien institutionnel clair pour intégrer la stérilisation dans les stratégies locales de gestion des zoonoses, dans le respect de l'approche One Health.

Abstract

He fight against rabies in underdeveloped countries requires controlling the growth of stray domestic carnivore populations. To this end, sterilization appears to be a sustainable alternative to the long-used practice of culling, in line with a One Health approach that integrates human, animal, and environmental health.

It is in this context that this study was conducted with the aim of assessing the socio-cultural perceptions of the population regarding the use of this surgical sterilization method as a tool for preventing zoonoses in the city of Ouagadougou. The study was conducted between December 2024 and February 2025 among 392 residents of Ouagadougou, using stratified random sampling. The survey revealed that 54% of respondents owned a pet, compared to 46% who had never owned one, with 85.27% of them perceiving stray dogs as a danger. This view is supported by the fact that 77.26% of participants know that animals can transmit diseases to humans and that these diseases can sometimes be fatal, according to 73.06% of them. As a result, as a means of managing these stray animals, 21.17% actively support sterilization, compared to 65% who favor culling. The obstacles identified to the acceptance of sterilization as a means of controlling zoonoses and the proliferation of stray dogs include: lack of information (76%), high costs (38.3%), and cultural beliefs (22.5%).

In summary, this study recommends increased awareness, accessible veterinary supervision, and clear institutional support to integrate sterilization into local zoonosis management strategies, in line with the One Health approach.

OL.4

ANALYSE DES CONDITIONS DE DEPLOIEMENT DE LA CHIMIOPREVENTION DU PALUDISME SAISONNIER : UNE ETUDE QUALITATIVE DANS LA COMMUNE RURALE DE KARIFAMORIAH, GUINEE

ANALYSIS OF THE CONDITIONS FOR DEPLOYING SEASONAL MALARIA CHEMOPREVENTION : A QUALITATIVE STUDY IN THE RURAL COMMUNE OF KARIFAMORIAH, GUINEA

Joseph Lamilé SONGBONO[1], songbonoj@gmail.com ; Bossou GOEPOGUI[2]; Sadio DIALLO[1]; Anon Félix N'DIA[3]; Oumar SANGHO[4]

[1] Département de sociologie, Université Julius Nyerere de Kankan (Guinée)

[2] Département de philosophie, Université Julius Nyerere de Kankan (Guinée)

[3] UFR sociologie, Université Félix Houphouët-Boigny-Cocody (Côte d'Ivoire)

[4] Département d'Enseignement et de Recherche en Santé Publique et Spécialités, Université des Sciences, des Techniques et des Technologies de Bamako (Mali)

Résumé

Introduction : La chimioprévention du paludisme saisonnier (CPS) est au cœur de la lutte contre le paludisme dans les zones à transmission saisonnière. Elle a été développée en Guinée grâce aux recommandations de l'Organisation Mondiale de la Santé (OMS) et à l'appui des partenaires. La qualité de ses résultats, notamment dans les communautés rurales, dépend surtout des conditions dans lesquelles elle est déployée. De ce fait, une étude est entreprise pour apprécier le cadre de mise en œuvre de la CPS à Karifamoriah. Matériels et Méthodes : Il s'agissait d'une étude qualitative qui s'est déroulée entre Octobre et Novembre 2025 dans la commune rurale de Karifamoriah. Un échantillonnage non probabiliste a été utilisé et la taille de l'échantillon a été déterminée sur la base de la saturation. Au total 35 entretiens individuels ont été réalisés. Une analyse thématique a été faite avec les données recueillies sur le terrain. Résultats : La forte adhésion communautaire et l'évolution positive dans la motivation des ressources humaines ont contribué au succès de la CPS. Par contre, l'insuffisance de la formation reçue par le personnel, la complexité de l'intervention, le manque d'outils de gestion, l'accessibilité difficile de certaines localités et l'alignement de la période de la CPS sur le calendrier agricole ont rendu difficile la mise en œuvre de l'intervention. Conclusion : La mise en œuvre de la CPS dans la commune rurale de Karifamoriah se déroule dans un contexte globalement défavorisé malgré quelques facteurs facilitateurs.

Abstract

Introduction : Seasonal malaria chemoprevention (SMC) is central to the fight against malaria in areas of seasonal transmission. It was developed in Guinea based on recommendations from the World Health Organization (WHO) and with the support of partners. The quality of its results, particularly in rural communities, depends primarily on the conditions under which it is implemented. Therefore, a study was undertaken to assess the framework for SMC implementation in Karifamoriah. Materials and Methods : This was a qualitative study conducted between October and November 2025 in the rural commune of Karifamoriah. Non-probability sampling was used, and the sample size was determined based on saturation. A total of 35 individual interviews were conducted. A thematic analysis was performed on the data collected in the field. Results : Strong community support and positive changes in staff motivation contributed to the success of the seasonal malaria chemoprevention (SMC). However, insufficient staff training, the complexity of the intervention, a lack of management tools, difficult access to some localities, and the alignment of the SMC period with the agricultural calendar made implementation challenging. Conclusion : The implementation of the SMC in the rural commune of Karifamoriah is taking place in a generally disadvantaged context despite some facilitating factors.

OL.5

Analyse épidémiologique des souches de Salmonella isolées dans des élevages avicoles et des hôpitaux à N'Djamena (Tchad) à l'aide des techniques ERIC-PCR, IS-PCR, PFGE et de la sensibilité aux antimicrobiens.

Epidemiology analysis of Salmonella strains isolated from poultry farms and hospitals in N'Djamena (Chad) using ERIC-PCR, IS-PCR, PFGE and antimicrobial susceptibility.

Tabo DJIM ADJIM[1], bekourou2000@yahoo.fr ; Yves MILLEMANN[2]

[1] L2BCM, FSEA, Université de N'Djamena, Tchad

[2] MASQ, HIDAOA, Maisons alfort/ France

Résumé

Les salmonelles sont associées à de nombreuses maladies d'origine alimentaire dans le monde. Elles sont également considérées comme l'un des principaux agents pathogènes responsables de la gastro-entérite humaine dans le monde. En Afrique, les salmonelles non typhiques sont reconnues comme une cause majeure de maladies infectieuses chez les enfants et les adultes dont le système immunitaire est affaibli, principalement en raison du paludisme, de l'infection par le VIH et de la malnutrition.
Afin d'évaluer les relations phylogénétiques et de trouver des liens épidémiologiques entre les souches humaines et aviaires isolées au cours de la même période et dans la même région, un total de 139 isolats de Salmonella trouvés chez l'homme et la volaille dans cette étude ont été caractérisés par ERIC-PCR et IS200-PCR. L'analyse PCR a été suivie d'une analyse par macrorestriction (PFGE) de l'ADN génomique de 22 isolats communs de sérotypes de Salmonella rencontrés à la fois chez l'homme et chez la volaille avec l'enzyme XbaI. Tous les isolats analysés avec les amorces Eric ont montré des bandes allant de 6 à 14 avec des tailles de 147 pb à 3 kb et cinquante-trois profils différents. Avec les amorces IS, nous avons obtenu 6 à 12 bandes avec des tailles de 90 pb à 3,5 kb et également cinquante-trois profils différents. Pour les 22 isolats humains et aviaires, 18 profils PFGE différents ont été obtenus parmi les sept sérotypes analysés.
Les résultats de la PCR ont démontré que, dans le contexte de cette étude épidémiologique, les méthodes ERIC-PCR et IS200-PCR peuvent être utilisées efficacement pour limiter le nombre d'isolats devant être sérotypés. La comparaison des profils ERIC-PCR, IS200-PCR, PFGE et de sensibilité aux antimicrobiens entre les isolats d'origine humaine et aviaire a mis en évidence, d'une part, les preuves indirectes de sources de contamination humaine par des sérotypes de Salmonella provenant d'élevages de volailles et, d'autre part, la diversité des sources et des réservoirs potentiels de souches de Salmonella dans la ville de N'Djamena.

Abstract

Salmonella are linked to many food-borne diseases in the world. They are also considered to be one of the main pathogens causing human gastroenteritis worldwide. In Africa, non-typhoidal Salmonella is recognized as a major cause of infectious diseases in children and adults with compromised immune status due mainly to malaria, HIV infection and malnutrition.
In order to evaluate the phylogenetic relationships and to find epidemiological links between human and avian strains isolated in the same period of time and in the same region, a total of 139 Salmonella isolates found in humans and poultry in this study were characterised by ERIC-PCR and IS200-PCR. The PCR analysis was followed by macrorestriction analysis (PFGE) of genomic DNA from 22 common isolates of Salmonella serotypes encountered in both humans and poultry with XbaI enzyme. All isolates analyzed with Eric primers showed bands ranged from 6-14 with sizes from 147 pb–3 kb and fifty three different profiles. With IS primers, we obtained 6-12 bands with sizes from 90 pb–3.5 kb and also fifty three different patterns. For the 22 human and poultry isolates, 18 different PFGE profiles were obtained among the seven analyzed serotypes
PCR results demonstrated that, in the context of this epidemiological study, ERIC- and IS200-PCR methods can be used effectively to limit the number of isolates that have to be serotyped. The comparison of ERIC-PCR, IS200-PCR, PFGE and antimicrobial susceptibility profiles among isolates

from human and avian origins has highlighted, on one hand, the indirect evidence of human contamination sources by Salmonella serovars from poultry farms, and on the other hand the diversity of sources and potential reservoirs of Salmonella strains in the N'Djamena city.

OL.6

Analyse spatio-temporelle des blessés liés aux accidents de la route à Bouaké entre 2022 et 2024

Spatio-temporal analysis of road accident injuries in Bouaké between 2022 and 2024

Konan Rodolphe Mardoché AZONGNIBO[1], mardoche.azongnibo@ird.fr ; Seri David IKPO[2]; Loukou Blaise YAO[2]; Michel KODO[2]; Emmanuel BONNET[3]

[1] Institut de Recherche pour le Développement, Côte d'Ivoire

[2] CHU Bouaké, Université Alassane Ouattara, Côte d'Ivoire

[3] Institut de Recherche pour le Développement, PRODIG, CNRS, France

Résumé

Introduction
Les accidents de la voie publique constituent un problème majeur de santé publique dans les pays à revenu faible et intermédiaire. Ils y entraînent une morbidité et une mortalité prématurée croissantes. En Afrique de l'Ouest, l'urbanisation, le trafic et l'incivisme routier aggravent la situation. La ville de Bouaké, deuxième agglomération de Côte d'Ivoire et carrefour routier important, illustre particulièrement ces dynamiques. Au-delà de la multiplication des moto-taxis, diverses actions favorisent l'apparition de zones accidentogènes à forte morbidité. L'étude vise à identifier ces zones entre 2022 et 2024 afin d'orienter les actions de prévention.
Matériels et méthodes
L'étude repose sur une base de données géolocalisée provenant de la police nationale et du Groupement des Sapeurs-Pompiers Militaires. Les données ont été analysées à l'aide d'outils géostatistiques. Une estimation de la densité par noyau (Kernel Density Estimation) a permis de visualiser les zones de concentration spatiale des accidents. Une analyse par balayage spatial de Kulldorff a été utilisée pour estimer le risque d'accident avec blessé. Pour calculer les risques relatifs et d'identifier les clusters significatifs des blessés, une grille spatiale a été utilisée.
Résultats
Entre mars 2022 et décembre 2024, 2 062 accidents ont été enregistrés, avec un pic observé en 2023. Les accidents sans blessés sont fortement concentrés au centre-ville et le long des principaux axes structurants (A3, route de l'aéroport, route universitaire, axe Air-France). Les accidents avec blessés présentent une distribution globalement similaire, mais avec des foyers supplémentaires. L'analyse du risque met en évidence plusieurs zones à risque élevé, notamment les axes de Broukro, du centre-ville, d'Air-France, de Kennedy et de N'Gattakro. Le risque d'accident avec blessé est relativement plus élevé sur certains axes périphériques et secondaires, tandis que les zones centrales concentrent davantage les accidents à faible gravité.

Abstract

Introduction
Road accidents are a major public health problem in low- and middle-income countries. They cause increasing morbidity and premature mortality. In West Africa, urbanization, traffic and reckless driving are exacerbating the situation. The city of Bouaké, the second-largest urban area in Côte d'Ivoire and a major road junction, is a particularly good example of these dynamics. In addition to the proliferation of motorcycle taxis, various factors contribute to the emergence of accident-prone areas with high morbidity rates. The study aims to identify these areas between 2022 and 2024 in order to guide prevention efforts.
Materials and methods
The study is based on a geolocated database provided by the national police and the Military Fire Brigade Group. The data was analyzed using geostatistical tools. Kernel density estimation was used to visualize areas of spatial concentration of accidents. A Kulldorff spatial scan analysis was used to estimate the risk of accidents involving injuries. A spatial grid was used to calculate relative risks and identify significant clusters of injuries.

Results

Between March 2022 and December 2024, 2,062 accidents were recorded, with a peak observed in 2023. Accidents without injuries are heavily concentrated in the city center and along the main arterial roads (A3, airport road, university road, Air France road). Accidents involving injuries show a similar overall distribution, but with additional hotspots. Risk analysis highlights several high-risk areas, including the Broukro, city center, Air France, Kennedy and N'Gattakro roads. The risk of accidents with injuries is relatively higher on certain peripheral and secondary roads, while the central areas have a higher concentration of minor accidents.

OL.7

Anatomie positionnelle et morphométrique de l'aorte thoracique du mélanoderme vivant au Togo : étude angio-scanographique à propos de 53 cas.

Positional and morphometric anatomy of the thoracic aorta of melanoderms living in Togo: CT angiographic study of 53 cases.

Ananivi SOGAN[1], sopher2@hotmail.fr ; Yaovi Edem James[1]; Solim Carolle Nabede[2]; Pihou Gbande[2]; Kodjo H. Madzra Dzoka[1]; Augustin Agoda-Koussema[2]; Komlanvi James[1]

[1] Laboratoire d'anatomie humaine, Université de Lomé, Faculté des Sciences de la Santé (Togo)

[2] Service de radiologie et d'imagerie médicale du CHU Sylvanus Olympio de Lomé (Togo)

Résumé

Introduction/Objectif
La prise en charge des affections chirurgicales de l'aorte thoracique ne peut se faire sans la connaissance de son anatomie. L'avènement de la chirurgie de l'aorte thoracique en milieu africain nous oblige à disposer des données anatomiques locales sur cette artère. Le but de ce travail est d'enrichir les données de la littérature, en étudiant l'artère thoracique chez le mélanoderme vivant au Togo.
Matériels et méthodes
Nous avons mené une étude transversale à collecte rétrospective, monocentrique, descriptive et analytique sur six mois (juillet en décembre 2024) à l'hôpital Nadouvi LAWSON-BODY de Lomé (Togo). Les images angio-scanographiques de 53 patients ont été retenues et exploitées. Les paramètres étudiés étaient : la morphologie de l'aorte thoracique, les situations de son origine et de sa terminaison, la situation du point le plus antérieure de l'aorte ascendante, le point le plus culminant de l'arc aortique puis les données métriques.
Résultats
La morphologie de l'aorte thoracique (AT) était de type C dans 37,7% (n=20), de type B dans 32,1% (n=17) et de type D dans 22,6% (n=12). La morphologie variait en fonction de l'âge. Son origine se projetait à hauteur de Th8 dans 37,7%(n=20) et en Th7 dans 22,6 %(n=12) ; sa terminaison se localisait dans 58,5% (n=31) en Th12 et en L1 dans 18,9%(n=10). Le point le plus antérieur de l'aorte ascendante se situait au niveau du 2EICD, 3PSCD et 2PSCD dans respectivement 24,5%(n=13) ; 22,6%(n=12) ; 15,1%(n=8). La distance de ce point à la paroi thoracique antérieure était 23,0 ±9,4 mm et diminuait suivant l'âge. Le point le plus culminant de l'arc aortique se projetait en Th3 dans 52,8%(n=28) et Th2 dans 22,6%(n=12). Le diamètre moyen de l'AT à l'origine et à la terminaison était respectivement de 31,4 ±4,7mm et 21,9±2,8mm. On notait une augmentation des différents diamètres avec l'âge.
Conclusion
Cette étude expose les bases anatomiques de certaines notions cliniques connues et des variations positionnelles. Ces notions sont utiles pour éviter des erreurs d'interprétation en imagerie de l'aorte thoracique et aussi dans le traitement chirurgical. Il serait souhaitable de confronter ces résultats ultérieurement à ceux d'une étude de l'aorte thoracique sur des sujet anatomiques.

Abstract

Background/Aim: The nursing of surgical ailments of the thoracic aorta cannot be carried out without the knowledge of its anatomy. The advent of thoracic aortic surgery in Africa requires us to have local anatomical data on this artery. The aim of this work is to enrich the literature by studying the thoracic artery in melanoderms living in Togo.
Methods: We conducted a cross-sectional, retrospective, single-center, descriptive, and analytical study over six months (July to December 2024) at Nadouvi Lawson-Body Hospital in Lomé, Togo. CT angiographic images from 53 patients were selected and analyzed. The parameters studied were: the morphology of the thoracic aorta, the locations of its origin and termination, the location of the most anterior point of the ascending aorta, the highest point of the aortic arch and then the metric data.
Results: The morphology of the thoracic aorta (TA) was type C in 37.7% (n=20), type B in 32.1%

(n=17), and type D in 22.6% (n=12). Morphology varied according to age. Its origin projected at Th8 in 37.7% (n=20) and at Th7 in 22.6% (n=12); its termination was located at Th12 in 58.5% (n=31) and at L1 in 18.9% (n=10). The most anterior point of the ascending aorta was located at the level of the 2EICD, 3PSCD, and 2PSCD in 24.5% (n=13), 22.6% (n=12), and 15.1% (n=8), respectively. The distance from this point to the anterior chest wall was 23.0 ± 9.4 mm and decreased with age. The highest point of the aortic arch projected at Th3 in 52.8% (n = 28) and Th2 in 22.6% (n = 12). The medium diameter of the TA at the origin and termination was 31.4 ± 4.7 mm and 21.9 ± 2.8 mm, respectively. An increase in the various diameters was noted with age.
Conclusion: This study outlines the anatomical bases of certain known clinical concepts and positional variations. These concepts are useful for avoiding interpretation errors in thoracic aortic imaging and also in surgical treatment. It would be desirable to compare these results with those of a study of the thoracic aorta on anatomical subjects later on.

OL.8

APPROCHE COMPARATIVE POUR LA VALORISATION DE CARAPA PROCERA, UNE ESSENCE MINEURE POURVUE EN BIOMOLECULES ACTIVES UTILES DANS LA LUTTE CONTRE LES PERTURBATIONS DE SANTE, LIEES STRESS OXYDATIF

A COMPARATIVE APPROACH FOR VALORIZATION OF CARAPA PROCERA, A NEGLIGEATED ESSENCE FULL OF USEFULL ACTIVE BIOMOLECULES AGAINST HEALTH DESORDERS DUE TO OXIDATIVE STRESS

Rose-Monde MEGNANOU[1], megnanour@yahoo.fr ; Ginette Gladys DOUE[1]; Ahouman Silas Elisée DJOMAN[1]; Abel Boris KOUAKOU[2]; Marcelline SOPPY

[1] Laboratoire de Biotechnologies, Agriculture et Valorisation des Ressources Biologiques

[2] Centre National de Recherche Agronomique (Côte d'Ivoire)

Résumé

Les matières grasses des noix de Carapa procera et Vitellaria paradoxa sont similairement et respectivement, exploitées au Centre et au Nord de Côte d'Ivoire, en Pharmacopée.
Cependant Carapa procera reste encore sous-estimé, avec utilisation juste circonscrite aux localités du Centre. Cela pourrait être dû à sa méconnaissance liée aux faibles données y afférent ; notamment sur le profil phytochimique de sa graine et de son huile. Ce-dit profil contribuerait assurément à la diversification des ressources agricoles à impact économie. D'où la présente étude sur la noix entière de Carapa procera, en vue d'une valorisation en synergique avec les noix de Vitellaria paradoxa.
Des checking qualitatif et quantification en composés phytochimiques ont été effectués sur les noix entières, les amandes et les matières grasses.
Les résultats du checking ont révélé la présence de composés à activité antioxydante comme les phénoliques (flavonoïdes et tannins), terpénoïdes (caroténoïdes et phytostérols), alcaloïdes et la vitamine C, dans toutes les matrices analysées ; à des teneurs significativement variables. Pour la matière grasse, Carapa procera a enregistré les meilleurs teneurs en flavonoïdes (116,82 ± 50,33 versus 26,34 ± 1,49 mg/ 100g MS). Les valeurs en caroténoïdes (175,85 ± 58,10 versus 208,33±0 µg/ 100 g MS), phytostérols (4,19 ± 0 versus 31,28 ± 9, 31 mg/ 100 g) et vitamine C (3,63 ± 1,04 mg/100 versus 5,45 ± 1,04 mg/ 100g MS) ont été moindre que celles de Vitellaria paradoxa ; cependant, non négligeables.
Cette similarité de profil phytochimique, ainsi que les bonnes teneurs en composés antioxydants de leurs matières grasses, ainsi que la présence d'alcaloïdes, indiquent certainement, l'exploitation de Carapa procera au même titre que Vitellaria paradoxa pour la lutte contre les maladies métaboliques et dégénératives ; ajoutant ainsi une plus-value à la filière des oléagineux des pays producteurs des deux essences, comme la Côte d'Ivoire

Abstract

In Côte d'Ivoire, Carapa procera and Vitellaria paradoxa nuts are similary exploited for pharmacopée purposes in Middle and Northern ares, respectivelly.
Howtheless, Carapa procera remains negligeated and its use is just limited to Middle area. Such situation would be linked to slight data about that essence ; mainly as for its nut and oil phytochemical profils. These profils setting would surely, contribute to diversing agri-ressources with economical impact. Hence, this encurring study on Carapa procera entire nuts and oil has been set up for a valaorisation at the same level as Vitellaria paradoxa.
Qualitative and quantitative checking of phytochemical compounds were carried out on both essences nuts and fats.
Result revealed antioxidant compounds like phenolics (flavonoïds and tanins), terpenoids (caroténoids et phytosterols), alcaloids and vitamin C, in both nuts and fats ; with significantly variable contents. About fats, Carapa procera topped best flavonoid (116,82 ± 50,33 versus 26,34 ± 1,49 mg/ 100g DM) amount. Caroténoids (175,85 ± 58,10 versus 208,33±0 µg/ 100 g DM), phytosterols (4,19 ± 0 versus 31,28 ± 9, 31 mg/ 100 g DM) and vitamin C (3,63 ± 1,04 mg/100 versus 5,45 ± 1,04 mg/ 100g MS)

contents were less than Vitellaria paradoxa fat ones ; whatever, not negligeables.
Such similarity in phytochemical profils, added to relative good contents in antioxidant compounds would surely constitute indicators for Carapa procera nut exploitation against health metabolic and degenerative disterbences, like Vitellaria paradoxa one ; such approach would constitute a added-value to oil-seeds sector in producing counties, like Côte d'ivoire.

OL.9

Approche « One Health » et mise en place d'une surveillance intégrée des Lyssavirus au Gabon : résultats sérologiques rétrospectifs et données virologiques préliminaires

The « One Health approach » to the implementation of integrated lyssavirus surveillance in Gabon: retrospective serological results and preliminary virological data

Nadine N'dilimabaka[1], nadinendilimabaka@yahoo.fr ; Danielle Styvie Koumba Mavoungou[1]; Linda Bohou Kombila[1]; Schedy Koumba Moukouama[1]; Service Naissangera[1]; Vladimir Soami[2]; Rose Marlène Mouguiama[3]

[1] Centre Interdisciplinaire de Recherches Médicales de Franceville (CIRMF), Département de Virologie, Unité Emergence des Maladies Virales, BP 769 CIRMF Franceville, Gabon

[2] Service de Réanimation, Centre Hospitalier Universitaire de Libreville (CHUL), BP 2228, Libreville, Gabon

[3] Service de Réanimation, Centre Hospitalier Universitaire d'Owendo (CHUO), BP 2256, Libreville, Gabon

Résumé

Les Lyssavirus (famille Rhabdoviridae) sont responsables de la rage, une encéphalomyélite aiguë mortelle classée parmi les maladies tropicales négligées, causant environ 60 000 décès humains chaque année dans le monde. Au Gabon, la surveillance et les données scientifiques sur la rage sont restées longtemps limitées : avant nos travaux, seule une publication de 1988 documentait la vaccination canine, tandis que les cas notifiés reposaient majoritairement sur un diagnostic clinique.
Dans le but de combler ce déficit, nous avons conduit une étude visant à caractériser les Lyssavirus circulant au Gabon selon une approche intégrée « One Health ». Des échantillons humains et animaux issus de quatre (Estuaire, Haut-Ogooué, l'Ogooué-Ivindo et Ogooué-Lolo) des neuf provinces que comptent le pays ont été analysés par qPCR et PCR conventionnelle pour la détection de l'ARN viral, ainsi que par sérologie pour l'identification d'anticorps anti-RABV (Rabies virus, virus de la rage). Les échantillons positifs ont été séquencés en utilisant la méthode Sanger et analysés phylogénétiquement avec le logiciel Mega X.
Nous rapportons le premier diagnostic moléculaire de cas humains de rage au Gabon. Les séquences obtenues appartiennent au sous-clade African 1A du clade cosmopolitain du virus rabique (RABV). Par ailleurs, la mise en évidence d'anticorps anti-RABV chez des personnes non vaccinées vivant en zones rurales suggère des expositions naturelles, possiblement subcliniques. Enfin, chez les carnivores domestiques, la détection du Lagos Bat Lyssavirus (LBV) chez des chiens et des chats souligne la circulation de Lyssavirus non-RABV et suggère un risque de transmission inter-espèces et un enjeu potentiel de santé publique justifiant l'importance d'une surveillance élargie.
Ces résultats démontrent la circulation concomitante de plusieurs Lyssavirus chez l'homme et l'animal au Gabon et plaident pour le renforcement des stratégies de surveillance, de prévention et de recherche dans une approche « One Health ».

Abstract

Lyssaviruses (family: Rhabdoviridae) cause rabies, which is classified as a neglected tropical disease and is an acute encephalomyelitis with a fatal outcome. It causes approximately 60,000 human deaths worldwide each year. In Gabon, surveillance and scientific data on rabies have long been limited. Prior to our study, only one publication from 1988 had documented canine vaccination, and reported cases were mainly based on clinical diagnosis.
To address this, we conducted a study to characterise the lyssaviruses circulating in Gabon using an integrated 'One Health' approach. We analysed human and animal samples from four of the country's nine provinces (Estuaire, Haut-Ogooué, Ogooué-Ivindo and Ogooué-Lolo) by qPCR and conventional PCR to detect viral RNA, and by serology to identify anti-RABV (rabies virus) antibodies. Positive samples were sequenced using the Sanger method and analyzed phylogenetically using Mega X

software.
We report the first molecular diagnosis of human rabies cases in Gabon. The obtained sequences belong to the African 1A subclade of the cosmopolitan rabies virus (RABV) clade. Furthermore, the detection of anti-RABV antibodies in unvaccinated individuals living in rural areas suggests natural, potentially subclinical, exposure. Finally, the detection of Lagos Bat Lyssavirus (LBV) in domestic carnivores such as dogs and cats highlights the circulation of non-RABV lyssaviruses. This suggests a risk of interspecies transmission, which is a potential public health issue. This justifies the importance of expanded surveillance.
These results demonstrate the circulation of several lyssaviruses in humans and animals in Gabon, highlighting the need to strengthen surveillance, prevention and research strategies within a 'One Health' approach.

OL.10

Aspects psychologiques de la réanimation au Togo : déstructuration psychique, vécu de la réanimation et répercussions sur l'équilibre psycho-physique

Psychological aspects of resuscitation in Togo : psychological breakdown, the experience of resuscitation and its repercussions on psycho-physical balance

Kouami ADANSIKOU, kopedam@gmail.com

Structure de Recherche Universitaire Psychologie, Orientation et Développement humain (POD), Université de Lomé, Togo

Résumé

Guidée par l'objectif de vérifier le lien d'identité entre la qualité de vie des patients en réanimation telle que décrite dans la littérature et celle qu'ont peut observer chez les patients au Togo, la présente étude prospective a été menée sur 95 patients suivis dans le service de réanimation polyvalente de l'Hôpital Saint Jean de Dieu d'Afagnan au Togo.
La recherche a consisté à recueillir directement par des entretiens semi-directifs des informations sur le vécu des patients pendant leur hospitalisation en réanimation, puis dans les services de suite. L'observation au quotidien a constitué une source permanente de données autant sur le vécu que sur la déstructuration psychique.
Les résultats issus de l'analyse de contenu et des différentes corrélations montrent que :
- La réanimation génère sa propre pathologie et révèle un état psychotiforme marqué par des cauchemars, des délires, des agitations et des hallucinations.
- La réanimation constitue pour ceux qui ont en sont revenus un « autre monde », un monde de traumatisme psychique marqué par des cauchemars, un déchainement persécutif, une inquiétude anticipatoire dans un état de stress permanent. Après y avoir été et en être revenu, on n'en revient tout à fait comme avant.
- Le vécu traumatique de la réanimation se traduit à court et à moyen terme par des complications somatiques et des névroses nosocomiales à l'instar des névroses post-traumatiques et traumatiques.
Il se révèle important que les soins en réanimation et en post-réanimation soient repensés dans une étroite collaboration entre médecins et les psychistes (psychologues et psychiatres).

Abstract

Guided by the objective of verifying the correlation between the quality of life of intensive care patients as described in the literature and that observed in patients in Togo, this prospective study was conducted on 95 patients followed in the multi-purpose intensive care unit of Saint Jean de Dieu Hospital in Afagnan, Togo.
The research consisted of directly collecting information, through semi-structured interviews, on the patients' experiences during their hospitalization in intensive care and subsequently in the follow-up care units. Daily observation provided a continuous source of data on both their lived experience and their psychological distress.
The results from the content analysis and various correlations show that:
- Intensive care generates its own pathology and reveals a psychotic state marked by nightmares, delusions, agitation, and hallucinations.
- For those who have survived, intensive care is like another world, a world of psychological trauma marked by nightmares, a persecutory frenzy, and anticipatory anxiety in a state of constant stress. After being there and coming back, one is never quite the same again.
- The traumatic experience of intensive care manifests in the short and medium term as somatic complications and nosocomial neuroses, similar to post-traumatic and traumatic neuroses.
It is crucial that intensive care and post-intensive care be rethought through close collaboration between physicians and mental health professionals (psychologists and psychiatrists).

OL.11

Atrésie de l'œsophage en milieu africain : défis de la prise en charge et résultats thérapeutiques à propos de 9 cas.

Oesophageal atresia in Africa: challenges in management and therapeutic outcomes in nine cases.

Amavi FOLLY[1], folamavi@gmail.com ; Amivi Alice DONOU; Yacoub Ahmat SALHADINE; Mawuli KUMA; Yendoube TOARE; Missoki Azanledji BOUME; Gamedzi Komlatsè AKAKPO-NUMADO

[1] Centre hospitalier universitaire de Kara, Université de Kara, Togo

Résumé

Introduction : l'atrésie de l'œsophage est une extrême urgence chirurgicale de la 1ère semaine de vie. Le but de notre étude est de souligner les difficultés de sa prise en charge dans notre contexte défavorisé et de proposer des solutions.
Matériel et méthodes : nous avons mené une étude rétrospective et descriptive sur les dossiers de cas d'AO pris en charge au CHU Campus de Lomé, durant la période allant du 1er janvier 2020 au 31 décembre 2024, soit 5 ans. Les aspects épidémiologiques, diagnostiques, thérapeutiques et évolutifs étaient étudiés. La classification de Waterson était utilisée.
Résultats : en 5 ans, neuf cas d'AO ont été colligés, soit une fréquence annuelle de 1,8 cas. L'âge moyen des patients à l'admission était de 7 jours. On notait une prédominance féminine (5/4). La sialorrhée et la détresse respiratoire étaient présentes chez tous. La radiographie thoraco-abdominale a permis de poser le diagnostic dans tous les cas. Aucun diagnostic anténatal n'a été posé. Les malformations associées étaient retrouvées dans 33,33% avec une prédominance des malformations cardiaques. Il y avait 5 cas de groupe A ; 2 cas de groupe B et 2 cas de groupe C. Le délai moyen de la chirurgie était 11 jours. Une thoracotomie droite a été effectuée chez 7patients. Le type III de Ladd et Gross était le plus fréquent (88,89%). Seule une patiente a survécu. Le taux de mortalité était de 88,89%. Cette mortalité était essentiellement liée aux conditions de la réanimation post opératoire, à l'infection post opératoire et à la dénutrition.
CONCLUSION : l'atrésie de l'œsophage constitue encore à ce jour une malformation greffée d'une lourde mortalité dans notre contexte à cause du retard diagnostic, de la prise en charge et des déficits de la réanimation néonatale.

Abstract

Introduction: Oesophageal atresia (OA) is an extreme surgical emergency in the first week of life. The aim of our study is to highlight the difficulties of managing this condition in our disadvantaged context and to propose solutions.
Materials and methods: We conducted a retrospective and descriptive study of cases of EA treated at the Lomé Campus Teaching Hospital between 1 January 2020 and 31 December 2024. Epidemiological, diagnostic, therapeutic and evolutionary aspects were studied. The Waterson classification was used.
Results: Over five years, nine cases of OA were collected, representing an annual frequency of 1.8 cases. The average age of patients on admission was seven days. There was a predominance of females (5/4). Sialorrhea and respiratory distress were present in all cases. Thoracoabdominal radiography enabled diagnosis in all cases. No antenatal diagnosis was made. Associated malformations were found in 33.33% of cases, with a predominance of cardiac malformations. There were five cases in group A, two cases in group B and two cases in group C. The average time to surgery was 11 days. Right thoracotomy was performed in 7 patients. Ladd and Gross type III was the most common (88.89%). Only one patient survived. The mortality rate was 88.89%. This mortality was mainly linked to post-operative resuscitation conditions, post-operative infection and malnutrition.
CONCLUSION: Oesophageal atresia is still a malformation associated with high mortality in our context due to delayed diagnosis, management and deficits in neonatal resuscitation.

OL.12

Attaques armées terroristes dans la région des Savanes au Togo, troubles anxio-dépressifs et résilience chez les personnes déplacées

Armed terrorist attacks in the Savanes Region in Togo, anxiety disorder, depression and resilience among displaced persons

Kaka KALINA, kakakalina1@yahoo.fr

Equipe de Recherche Psychologie, Orientation et Développement humain (SRU-POD)

Résumé

Depuis 2021, les organisations extrémistes violentes sont actives dans la région des Savanes, entraînant de nombreuses attaques et atrocités ainsi que le déplacement des populations. Les préfectures de Kpendjal, Kpendjal-Ouest, Tône et Cinkassé sont les plus touchées. En effet, selon la Direction Régionale de l'Action Sociale des Savanes, ces quatre préfectures ont accueilli en 2023 un total de 30874 personnes déplacées. Dans ce contexte, la santé mentale des personnes déplacées risque d'être négativement affectée. Cependant, à notre connaissance, aucune recherche n'a été réalisée à ce jour sur la santé mentale et la résilience des personnes déplacées. La présente étude se propose alors d'investiguer sur les troubles anxieux et dépressif ainsi que sur la résilience chez ces personnes. Elle a été réalisée sur 383 personnes déplacées accueillies par des familles dans les préfectures de Tône, de Cinkassé, de Kpendjal et Kpendjal-Ouest. Les résultats issus de l'analyse statistique des données recueillies par le questionnaire et un guide d'entretien, indiquent que les personnes déplacées ont été confrontées aux événements traumatisants suivants : les bruits des armes et des détonations (84%), le déplacement forcé et soudain vers une autre localité suite à l'ultimatum des groupes armés terroristes ou des attaques (67%), la vue des corps de personnes tuées (62%), le décès brutal d'un proche parent lors des attaques (60%). Dans ce contexte, 58,4% de femmes et 48,8% d'hommes présentent une symptomatologie anxieuse certaine et 57,9% de femmes et (48,8%) d'hommes une symptomatologie dépressive certaine. En outre, le coping émotionnel (72%) et la recherche du soutien social (53%), sont les stratégies les plus utilisées pour faire face à la souffrance psychique. Par ailleurs, 95,6% de ces personnes ont rapporté un niveau de résilience satisfaisant favorisé par des facteurs de protection.

Abstract

Since 2021, violent extremist organizations have been active in the Savanes region, resulting in numerous attacks and atrocities, as well as the displacement of populations. The prefectures of Kpendjal, Kpendjal-Ouest, Tône, and Cinkassé are the most affected. Indeed, according to the Regional Directorate of Social Action for the Savanes region, these four prefectures received a total of 30,874 displaced persons in 2023. In this context, the mental health of displaced persons is likely to be negatively affected. However, to our knowledge, no research has yet been conducted on the mental health and resilience of displaced persons. This study therefore aims to investigate anxiety and depressive disorders, as well as resilience, in these individuals. However, to our knowledge, no research has yet been conducted on the mental health and resilience of displaced persons. This study therefore aims to investigate anxiety and depressive disorders, as well as resilience, in these individuals. It was carried out on 383 displaced persons hosted by families in the prefectures of Tône, Cinkassé, Kpendjal, and Kpendjal-Ouest. The results of the statistical analysis of data collected through a questionnaire and an interview guide indicate that displaced persons experienced the following traumatic events: the sounds of gunfire and explosions (84%), forced and sudden displacement to another location following ultimatums from armed terrorist groups or attacks (67%), the sight of the bodies of people killed (62%), and the sudden death of a close relative during attacks (60%). In this context, 58.4% of women and 48.8% of men presented with definite symptoms of anxiety, and 57.9% of women and 48.8% of men presented with definite symptoms of depression. Furthermore, emotional coping (72%) and seeking social support (53%) were the most frequently used strategies for coping with psychological distress. Moreover, 95.6% of these individuals reported a satisfactory level of resilience, supported by protective factors.

OL.13

Bonne performance du test Xpert MTB/RIF ULTRA dans le diagnostic de la Tuberculose Extra pulmonaire à Bamako, Mali.

Good performance of the Xpert MTB/RIF ULTRA Test in the Diagnosis of Extrapulmonary Tuberculosis in Bamako, Mali.

Bassirou Diarra[1], bdiarra@icermali.org ; Gagni Coulibaly[2]; Yeya dit Sadio Sarro[2]; Fah Gaoussou Traore[2]; Seydou Doumbia[2]

[1] Centre Universitaire de Recherche Clinique (UCRC), USTTB, Mali

[2] UCRC, USTTB, Mali

Résumé

Introduction : la tuberculose extrapulmonaire (TEP) représente 20 à 40% de toutes les formes de tuberculose dans le monde. Son diagnostic est difficile à cause des symptômes non spécifiques, des prélèvements difficiles à obtenir, des échantillons des organes très souvent pauci bacillaires mais aussi les cultures peuvent se contaminer facilement, diminuant considérablement la sensibilité des tests diagnostiques. Cependant, le test Xpert® MTB/RIF Ultra, facile à réaliser, basé sur la recherche et l'amplification simultanée de l'ADN de la bactérie pourrait améliorer le taux de diagnostic de la TEP. Le but de l'étude était d'évaluer la performance du test Ultra par rapport à la culture dans le diagnostic de la TEP à Bamako.
Méthodes : Il s'agissait d'une étude transversale réalisée entre septembre 2023 et mars 2024 dans le laboratoire P3 de mycobactériologie et des fièvres hémorragiques du Centre Universitaire de Recherche Clinique (UCRC), Bamako. Les patients suspects de TEP ont été prélevés dans différentes structures hospitalières de Bamako et les produits biologiques ont été respectivement examinés à la microscopie, Xpert Ultra et la culture.
Résultats : parmi les 238 patients inclus, 80(33,6%) ont été MTB détectés par Ultra. Au même moment la microscopie était positive dans 77 cas et 79 patients avaient une culture positive. Le taux de détection était respectivement plus élevé dans les échantillons ganglionnaires, des liquides d'ascite et pleural, et d'urine. Les valeurs de sensibilité et de spécificité du test Ultra ont été respectivement de 100% (95% IC, 95,36-100), et de 99,37% (95% IC, 96,52-99,89), et les valeurs prédictives positives et négatives ont été respectivement de 98,75% (95%CI, 93,25-99,78) et 100% (95%CI, 97,66-99,73).
Conclusion : Xpert Ultra a montré une bonne performance dans le diagnostic de la TEP. Son usage systématique dans les produits biologiques permettra un diagnostic et une prise en charge rapide des cas de TEP.

Abstract

Introduction: Extrapulmonary tuberculosis (EPTB) accounts for 20 to 40% of all tuberculosis cases worldwide. Its diagnosis is challenging due to nonspecific symptoms, difficulty in obtaining samples, organ samples often containing few bacilli, and the potential for easy contamination of cultures, which significantly reduces the sensitivity of diagnostic tests. However, the easy-to-perform Xpert® MTB/RIF Ultra test, based on the simultaneous detection and amplification of bacterial DNA, could improve the EPTB diagnosis rate. The aim of this study was to evaluate the performance of the Ultra test compared to culture in the diagnosis of EPTB in Bamako.
Methods: This was a cross-sectional study conducted between September 2023 and March 2024 in the Mycobacteriology and viral Hemorrhagic Fever BSL-3 Laboratory of the University Clinical Research Center (UCRC), Bamako. Patients suspected of having EPTB were sampled from various hospital facilities in Bamako, and biological samples were examined with microscopy, Xpert Ultra, and culture.
Results: Among the 238 patients included, 80 (33.6%) had tuberculosis mycobacteria detected by Ultra. At the same time, microscopy was positive in 77 cases, and 79 patients had a positive culture. The detection rate was highest in lymph node samples, ascitic and pleural fluid, and urine. While the sensitivity and specificity values of the Ultra test were 100% (95% CI, 95.36–100) and 99.37% (95% CI, 96.52–99.89), respectively, the predictive positive and negative values were 98,75% (95%CI, 93,25-99,78) and 100% (95%CI, 97,66-99,73) respectively.

Conclusion: Xpert Ultra demonstrated good performance in the diagnosis of extrapulmonary tuberculosis. Its routine use in various biological products will allow for the rapid diagnosis and management of EPTB cases.

OL.14

Brucellose cameline: Enquête sérologique et Connaissances Attitudes et Pratiques (CAP) dans la région de Tahoua (Niger)

Camel brucellosis: Serological survey and Knowledge, Attitudes and Practices (KAP) in the Tahoua region (Niger)

Harouna MAHAMADOU TANIMOUN[1], tharounamahamadou@gmail.com ; Andrée Prisca Ndjoug NDOUR[2]; Haladou GAGARA[3]; Marichatou HAMANI[1]; Rianatou BADA-ALAMBEDJI[2]; Ayayi Justin AKAKPO[2]

[1] Centre d'Excellence Régional sur les Productions Pastorales (CERPP) Niger, Université Abdou Moumouni (UAM) de Niamey / Faculté d'Agronomie

[2] Ecole Inter-Etats des Sciences et Médecine Vétérinaires de Dakar (EISMV)

[3] Laboratoire Central de l'Elevage du Niger (LABOCEL)

Résumé

Une étude transversale a été conduite de décembre 2023 à juin 2024 dans la région de Tahoua (Niger) afin d'estimer la séroprévalence de la brucellose cameline et d'identifier les facteurs de risque associés à sa survenue. Un total de 332 échantillons de sérum a été collecté auprès de dromadaires de sexes et d'âges variés, provenant de 32 exploitations réparties dans quatre départements de la région. Les analyses sérologiques ont été réalisées à l'aide de deux tests : le test au Rose Bengale (RBT) et le test ELISA indirect (iELISA). Les résultats ont révélé une positivité de 0,3 % (1/332) pour chacun des deux tests, correspondant à deux animaux différents. L'interprétation en parallèle a permis d'estimer une séroprévalence globale de 0,6 % (2/332). Cependant, aucune association statistiquement significative (P > 0,05) n'a été observée entre la séroprévalence et les variables étudiées, telles que l'âge, le sexe, le mode d'élevage, le contact avec d'autres ruminants, la taille du troupeau ou la race. Par ailleurs, l'enquête a révélé un faible niveau de connaissance de la maladie par les éleveurs. Les pratiques identifiées les plus importantes susceptibles de favoriser la transmission de la maladie dans la zone étudiée étaient la consommation du lait cru, la manipulation à mains nues des fœtus avortés et du placenta, ainsi que la cohabitation des dromadaires avec d'autres espèces animales domestiques et la mauvaise gestion de l'élevage. Bien que la prévalence observée soit faible, elle n'exclut pas la circulation de Brucella spp. dans la région. Compte tenu du potentiel zoonotique de la maladie, des mesures de prévention et de surveillance restent nécessaires.

Abstract

A cross-sectional study was conducted from December 2023 to June 2024 in the Tahoua region (Niger) to estimate the seroprevalence of camel brucellosis and identify the risk factors associated with its occurrence. A total of 332 serum samples were collected from dromedaries of various sexes and ages from 32 farms in four departments of the region. Serological analyses were performed using two tests: the Rose Bengal test (RBT) and the indirect ELISA (iELISA). The results revealed a positivity rate of 0.3% (1/332) for each of the two tests, corresponding to two different animals. Parallel interpretation allowed an overall seroprevalence of 0.6% (2/332) to be estimated. However, no statistically significant association (P > 0.05) was observed between seroprevalence and the variables studied, such as age, sex, farming method, contact with other ruminants, herd size or breed. Furthermore, the survey revealed a low level of knowledge about the disease among farmers. The most significant practices identified as likely to promote disease transmission in the study area were the consumption of raw milk, the handling of aborted foetuses and placentas with bare hands, the cohabitation of dromedaries with other domestic animal species, and poor livestock management. Although the prevalence observed is low, it does not rule out the circulation of Brucella spp. in the region. Given the zoonotic potential of the disease, prevention and surveillance measures remain necessary.

OL.15

Caractérisation de la résistance aux molécules de dernières lignes thérapeutiques et diversité génétique des souches de Klebsiella spp. impliquées dans les infections urinaires chez les femmes : cas de l' HIAOBO

Characterization of resistance to last-line therapeutic molecules and genetic diversity of Klebsiella spp strains involved in urinary tract infections in women: the case of HIAOBO.

Evrard MAYOMBO NGOUSSOU[1], mayombo.n.evrard@gmail.com ; Annicet Clotaire DIKOUMBA[2]; Rolande MABIKA MABIKA[2]; Ornella ZONG MINKO[4]; Franck MOUNIOKO[2]; Jean Fabrice YALA[4]

[1] Centre Interdisciplinaire de Recherches Médicales de Franceville, Ecole Doctorale régionale (EDR) d'Afrique centrale en infectiologie tropicale, Gabon

[2] Centre Interdisciplinaire de Recherches Médicales de Franceville, Gabon

[3] Laboratoire National, Libreville, Gabon

[4] Centre Interdisciplinaire de Recherches Médicales de Franceville, Université de Sciences et Techniques MASUKU ,Gabon

Résumé

Introduction. Les bactéries du genre Klebsiella constituent le deuxième uropathogène après Escherichia coli et sont impliquées dans des infections urinaires souvent associées à une forte résistance aux antimicrobiens, touchant principalement les femmes.
Objectif. Cette étude visait à caractériser les profils de résistance aux antibiotiques de dernier recours des Klebsiella spp. responsables d'infections urinaires chez les femmes et à évaluer leur diversité génétique.
Matériel et méthodes. Les isolats urinaires ont été obtenus sur lames biphasées Urilines. L'identification bactérienne et l'antibiogramme ont été réalisés à l'aide des systèmes Api 20E, ATB Ur et VITEK® 2 COMPACT. La détection des gènes de résistance aux carbapénèmes (blaKPC, blaIMP, blaVIM) et à la fosfomycine (fosA, fosB, fosC, glpT, uhpT) a été effectuée par PCR conventionnelle. La diversité génétique a été analysée par ERIC-PCR.
Résultats. Parmi les 208 femmes incluses, la prévalence des infections urinaires était de 43,75 % (91/208). Klebsiella spp. représentait 29,03 % des bactéries isolées. Les souches ont montré des taux élevés de résistance aux céphalosporines de troisième génération (55,56 %), de quatrième génération (40,74 %) et à la fosfomycine (40,74 %). Une résistance intermédiaire aux fluoroquinolones de troisième génération (25,92 %) et une faible résistance à l'imipenème (7,41 %) ont été observées. Les gènes blaKPC (40,0 %) et fosA (36,0 %) étaient détectés chez 81,82 % des souches. L'ERIC-PCR a révélé 19 profils distincts regroupés en 9 clusters.
Conclusion. Les Klebsiella spp. uropathogènes isolées chez les femmes présentent une résistance élevée aux antibiotiques de dernier recours, une importante diversité génétique et une circulation notable des gènes blaKPC et fosA.

Abstract

Introduction. Bacteria of the genus Klebsiella are the second most common uropathogens after Escherichia coli and are frequently involved in urinary tract infections, often associated with high levels of antimicrobial resistance, particularly among women.
Objective. This study aimed to characterize resistance profiles to last-line antibiotics among Klebsiella spp. responsible for urinary tract infections in women and to assess their genetic diversity.
Materials and Methods. Urinary isolates were obtained using biphasic Urilines slides. Bacterial identification and antimicrobial susceptibility testing were performed using the Api 20E, ATB Ur, and VITEK® 2 COMPACT systems. The detection of carbapenem resistance genes (blaKPC, blaIMP, blaVIM) and fosfomycin resistance genes (fosA, fosB, fosC, glpT, and uhpT) was carried out by conventional PCR. Genetic diversity was analyzed using ERIC-PCR.
Results. Among the 208 women included, the prevalence of urinary tract infections was 43.75% (91/208). Klebsiella spp. accounted for 29.03% of the isolated bacteria. The strains exhibited high

resistance rates to third-generation cephalosporins (55.56%), fourth-generation cephalosporins (40.74%), and fosfomycin (40.74%). Intermediate resistance to third-generation fluoroquinolones (25.92%) and low resistance to imipenem (7.41%) were observed. The blaKPC (40.0%) and fosA (36.0%) genes were detected in 81.82% of the isolates. ERIC-PCR revealed 19 distinct profiles grouped into 9 clusters.
Conclusion. Uropathogenic Klebsiella spp. isolated from women showed high resistance to last-line antibiotics, considerable genetic diversity, and notable circulation of the blaKPC and fosA genes.

OL.16

Caractérisation phylogénétique et profilage des gènes de résistance aux quinolones des souches d'Escherichia coli responsables d'infections urinaires chez des femmes à Cotonou, Bénin

Phylogenetic Characterization and Quinolone Resistance Gene Profiling of Escherichia coli Strains Causing Urinary Tract Infections in Women in Cotonou, Benin

Ménonvè Atindehou[1], atindehou@live.fr ; Frédéric Assogba[1]; Léon Kpohinto[1]; Latifou Lagnika[1]

[1] Laboratoire de Biologie Intégrative pour l'Innovation Thérapeutique, Université d'Abomey-Calavi, Bénin

Résumé

L'émergence d'une résistance aux quinolones médiée par des plasmides (PMQR) chez les isolats d'Escherichia coli est devenue une menace mondiale dans le traitement des maladies infectieuses. Les quinolones, autrefois considérées comme des agents antimicrobiens à large spectre très efficaces, ont été largement utilisées pour le traitement des infections urinaires, des maladies gastro-intestinales et des infections systémiques causées par E. coli et d'autres pathogènes Gram-négatifs. Cette étude exploratoire vise à caractériser les souches d'E. coli isolées dans l'urine de femmes à Cotonou, en se concentrant sur leur contexte phylogénétique et leur résistance aux traitements antimicrobiens. Au total, 20 souches d'E. coli isolées chez des femmes atteintes d'infections urinaires ont été analysées. Des tests de sensibilité aux antimicrobiens ont été réalisés avec 12 antibiotiques appartenant à quatre classes principales : les bêta-lactamines (amoxicilline + acide clavulanique, ampicilline, amoxicilline, aztréonam, ceftriaxone, imipénème, céfixime), les fluoroquinolones (ciprofloxacine), les aminoglycosides (amikacine, nétilmicine) et nitrofuranes. La PCR simplex a été utilisée pour détecter les gènes de résistance aux quinolones (Qnr) médiés par plasmide et pour déterminer les groupes phylogénétiques à l'aide de marqueurs spécifiques (ChuA, YjaA et TSPE4.C2). Parmi les isolats d'E. coli uropathogènes (UPEC), 45 % étaient porteurs d'au moins un gène Qnr : le gène QnrB a été détecté dans 66,7 % de ces souches positives et le gène QnrS dans 77,8 % d'entre elles. Le profil de résistance aux antibiotiques des isolats porteurs des gènes Qnr a montré une forte résistance à l'ampicilline et à l'amoxicilline (88,88 %), ainsi qu'à la ciprofloxacine, au triméthoprime/sulfaméthoxazole, au céfixime et à l'aztréonam (77,77 %). La classification phylogénétique a révélé que le groupe D était le plus répandu (55 %), suivi du groupe A (35 %) et du groupe B1 (10 %). Cette étude fournit des données intéressantes justifiant l’application à un grand échantillonnage.

Abstract

The emergence of plasmid-mediated quinolone resistance (PMQR) in Escherichia coli isolates has become a global threat in the treatment of infectious diseases. Quinolones, once considered highly effective broad-spectrum antimicrobial agents, have been widely used for the management of urinary tract infections, gastrointestinal diseases, and systemic infections caused by E. coli and other Gram-negative pathogens. This preliminary study aimed to characterize the E. coli strains isolated from the urine of women in Cotonou, focusing on their phylogenetic background and resistance to antimicrobial treatments. A total of 20 E. coli strains isolated from women with urinary tract infections (UTIs) were analyzed. Antimicrobial susceptibility testing was performed against 12 antibiotics from four major classes: beta-lactams (Amoxicillin + clavulanic acid, Ampicillin, Amoxicillin, Aztreonam, Ceftriaxone, Imipenem, Cefixime), fluoroquinolones (Ciprofloxacin), aminoglycosides (Amikacin, Netilmicin), and nitrofurans. Simplex PCR was used to detect plasmid-mediated quinolone resistance genes (Qnr) and to determine phylogenetic groups using specific markers (ChuA, YjaA, and TSPE4.C2). Among the uropathogenic E. coli (UPEC) isolates, 45% carried at least one Qnr gene—QnrB was detected in 66.7% and QnrS in 77.8% of these positive strains. The antibiotic resistance profile of isolates carrying the Qnr genes showed high resistance to ampicillin and amoxicillin (88.88%), as well as ciprofloxacin, trimethoprim/sulfamethoxazole, cefixime, and aztreonam (77.77%). Phylogenetic classification revealed that group D was the most prevalent (55%), followed by group A (35%) and group B1 (10%). Notably,

group B2, was completely absent. The findings provide strong evidence supporting the application of this study to a larger population.

OL.17

Caractérisations génomique de virus respiratoires aux Comores : Influenza B et Virus Respiratoire Syncytial

Genomic characterization of respiratory viruses in the Comoros: Influenza B and Respiratory Syncytial Virus

Ahmed El-Harif Nawar-Khadidja[1], maayannah@gmail.com ; Moise Diagne Moussa[2]; Hamza Abdou Azali[3]; Bénédicte Ndeboko[4]

[1] Université des Sciences de la Santé, Institut National de Recherche pour l'Agriculture, la Pêche et l'Environnement

[2] Institut Pasteur de Dakar, Sénégal

[3] Institut National de Recherche pour l'Agriculture, la Pêche et l'Environnement , Comores

[4] Centre Hospitalier Universitaire Mère-Enfant Fondation Jeanne Ebori, Université des Sciences de la Santé, Gabon

Résumé

Contexte : La surveillance génomique des virus respiratoires reste inégale en Afrique, laissant les petits États insulaires, sans données de référence, ce qui justifie le présent travail. Les Comores ne disposaient d'aucune donnée génomique sur les virus Influenza ou le Virus Respiratoire Syncytial (VRS), limitant la compréhension de leur épidémiologie.

Méthodes: Un total de 105 prélèvements nasopharyngés a été réalisé entre juin et septembre 2024 à Ngazidja (Grande Comore), afin de rechercher la présence des virus respiratoires. Pour ce faire, une extraction d'acides nucléiques (AN) a été réalisées à partir de ces prélèvements. Puis une amplification par qPCR, un séquençage métagénomique et une analyse phylogénétique ont été réalisés.

Résultats et Discussion: Nos résultats nous ont révélé la présence de deux virus respiratoires : Influenza B et VRS. Le séquençage de ces deux virus a permis d'identifier les génomes complets à savoir : pour Influenza B, il s'agit des 8 segments de la souche B/Ngazidja/11_S11/2024, appartenant à la lignée Victoria, et au clade V1A.3a.2 (Réf GenBank : PX578234-PX578241) ; pour le VRS, il s'agit du génome complet de la souche Human respiratory syncytial virus A isolate 11_S11 de type A, appartenant au clade GA2.3.5 (Réf GenBank : PX632726.1). L'analyse phylogénétique a révélé que nos séquences sont similaires à des souches américaines récentes (2024-2025) et ont des affinités avec des souches historiques d'Afrique du Nord, d'Afrique de l'Ouest et d'Asie soulignant la nécessité de renforcer les capacités de surveillance génomique régionale pour mieux retracer les voies d'introduction virale, comprendre la dynamique épidémiologique locale et contribuer équitablement au système mondial d'alerte.

Conclusion : Cette étude fournit les premières données génomiques complètes des virus Influenza B et VRS aux Comores. Elle démontre la faisabilité et l'utilité du séquençage génomique locale, même à petite échelle dans un contexte à ressources limitées.

Abstract

Background: Genomic surveillance of respiratory viruses remains uneven in Africa, leaving small island states without baseline data, which justifies the present work. Comoros had no genomic data on Influenza virus or Respiratory Syncytial Virus (RSV), limiting the understanding of their epidemiology.

Methods: A total of 105 nasopharyngeal samples were collected between June and September 2024 in Ngazidja (Grande Comore) to screen for respiratory viruses. Nucleic acids (NA) were extracted from these samples. This was followed by qPCR amplification, metagenomic sequencing, and phylogenetic analysis.

Results and Discussion: Our results revealed the presence of two respiratory viruses: Influenza B and

RSV. Sequencing these viruses enabled the identification of complete genomes: for Influenza B, the eight segments of strain B/Ngazidja/11_S11/2024, belonging to the Victoria lineage and clade V1A.3a.2 (GenBank Ref: PX578234-PX578241); for RSV, the complete genome of strain Human respiratory syncytial virus A isolate 11_S11 of type A, belonging to clade GA2.3.5 (GenBank Ref: PX632726.1). Phylogenetic analysis revealed that our sequences are similar to recent American strains (2024-2025) and share affinities with historical strains from North Africa, West Africa, and Asia. This highlights the need to strengthen regional genomic surveillance capacities to better trace viral introduction pathways, understand local epidemiological dynamics, and contribute equitably to the global early warning system.

Conclusion: This study provides the first complete genomic data for Influenza B and RSV viruses in the Comoros. It demonstrates the feasibility and utility of local genomic sequencing, even on a small scale in a resource-limited setting.

OL.18

Cartographie des infestations parasitaires gastro-intestinales des poulets élevés en système traditionnel dans les zones cotonnières du Bénin.

Mapping of Gastrointestinal Parasitic Infestations in Chickens Raised Under Traditional Farming Systems in the Cotton-Growing Areas of Benin

Gilles-christ Amos AKAKPO[1], gilleschristakakpo@gmail.com ; Coovi Guénolé AKOUEDEGNI[2]; Boris Sourou KANNINKPO[3]; Didier MARLIER[4]

[1] Laboratoire d'Ethnopharmacologie et de Santé Animale, Faculté des Sciences Agronomiques, Université d'Abomey-Calavi, Cotonou, Bénin

[2] Laboratoire d'Ethnopharmacologie et de Santé Animale, Faculté des Sciences Agronomiques, Université d'Abomey-Calavi, Cotonou, Bénin.

[3] Laboratoire d'Ecologie Appliquée, Faculté des Sciences Agronomiques, Université d'Abomey-Calavi, Cotonou, Bénin

[4] Département de gestion vétérinaire des Ressources Animales, Faculté de médecine vétérinaire, Université de Liège, Liège, Belgique

Résumé

Cette étude compare le niveau d'infestation parasitaire gastrointestinale des poulets élever en système traditionnel dans deux zones agroécologiques du Bénin. A cet effet, un diagnostic coprologique utilisant la méthode Mini-FLOTAC a été réalisé sur 120 poulets prélevés aléatoirement dans différents élevages traditionnels, répartir entre la zone cotonnière du Centre et celle du Nord Bénin. Ce diagnostic a été complété par des autopsies helminthologiques afin d'évaluer la prévalence et l'intensité des infestations parasitaires. L'analyse des résultats coprologique a révélé des charges parasitaires significativement différentes entre les villages. Le village de Sèbè, situé dans la zone cotonnière du Nord, présente la charge parasitaire totale la plus élevée (186,03±264,94), significativement supérieure à celle des autres villages ($p<0,001$), avec une diversité parasitaire notable comprenant Ascaridia sp. (66,33±141,99), des Oocystes de coccidies (99,70±234,14) et Capillaria spp. (15,00±33,40). En revanche, le village de Gararou, dans la zone cotonnière du centre, enregistre une charge parasitaire plus faible (8,00±15,63) et une diversité parasitaire réduite. Dans l'ensemble des villages étudiés, les Oocyste de coccidies sont présents à des taux non négligeables. Contrairement aux résultats coprologiques, les autopsies helminthologiques n'ont pas mis en évidence de différences significatives entre les villages concernant le nombre de vers adultes dénombrés ($p=0,325$). Ces résultats reflètent l'influence de l'environnement et des pratiques d'élevages traditionnelles sur le niveau d'infestation parasitaire des poulets. Il encourage des recherches approfondies sur les paramètres de l'environnement qui influencent le niveau d'infestation des poulets et évaluer son impact sur les performances zootechniques, afin d'améliorer la santé et la productivité des animaux dans les conditions d'élevage traditionnelle.

Abstract

This study compares the level of gastrointestinal parasitic infestation in chickens raised under traditional farming systems in two agroecological zones of Benin. To this end, a coprological diagnosis using the Mini-FLOTAC method was carried out on 120 chickens randomly sampled from different traditional farms, distributed between the central cotton-growing zone and the northern cotton-growing zone of Benin. This diagnosis was complemented by helminthological autopsies in order to assess the prevalence and intensity of parasitic infestations. Analysis of the coprological results revealed significantly different parasite loads among villages. The village of Sèbè, located in the northern cotton-growing zone, showed the highest total parasite load (186.03 ± 264.94), significantly higher than that of the other villages ($p < 0.001$), with notable parasite diversity including Ascaridia sp. (66.33 ± 141.99), coccidian oocysts (99.70 ± 234.14), and Capillaria spp. (15.00 ± 33.40). In contrast, the village of Gararou, in the central cotton-growing zone, recorded a lower parasite load (8.00 ± 15.63) and reduced parasite diversity. Overall, in all villages studied, coccidian oocysts were present at non-negligible levels. In contrast to the coprological findings, helminthological autopsies did not reveal

significant differences among villages in terms of the number of adult worms counted ($p = 0.325$). These results reflect the influence of environmental conditions and traditional farming practices on the level of parasitic infestation in chickens. They encourage further research into environmental parameters that influence infestation levels in chickens and the evaluation of their impact on zootechnical performance, in order to improve animal health and productivity under traditional farming conditions.

OL.19

Catégorisation par intelligence artificielle de la population hypertendue du nord de la Côte d'Ivoire: une approche de Machine Learning

Artificial Intelligence Categorizing Hypertensive Population Northern of Cote d'Ivoire a Machine Learning Approach

Dougba Noel DAGO[1], dougbanoeldago@gmail.com ; Dramane DAGNOGO[1]; Sara Laetitia Elphège GNANGUI[1]; Adjiman Florent KIMOU[2]; Nafan DIARRASSOUBA[1]

[1] Université Peleforo GON COULIBALY, Korhogo, Cote d'Ivoire

[2] Cardiology Division of Korhogo Regional Hospital, Korhogo, Cote d'Ivoire.

Résumé

L'hypertension est la deuxième cause de consultation à l'hôpital régional de Korhogo (KRH). Bien que cette région soit fortement touchée par les maladies infectieuses et parasitaires, le taux de patients hypertendus y est considérable. Compte tenu de la complexité des symptômes de l'hypertension, nous avons développé une approche Machine Learning afin de caractériser la population hypertendue sur la base des données anthropométriques et biomédicales de 329 patients. Nous avons simulé une analyse de regroupement de cette population par la méthode des k-moyennes. Nous avons développé un modèle de prédiction statistique dans le langage de programmation des logiciels R et Python, afin d'identifier les paramètres anthropométriques, environnementaux et biomédicaux pouvant adéquatement définir le profil des populations hypertendues. Ainsi, ce modèle a intégré les données biomédicales, les données quantitatives (e. i. l'âge, la glycémie et le taux de cholestérol) et les données qualitatives (i.e. la profession, le lieu de résidence et le niveau d'activité/sédentarité) des patients. L'analyse des k-moyennes a permis de regrouper les patients en quatre classes d'âge. Aussi, le modèle a présenté une performance modérée en termes de précision pour la prédiction du sexe des jeunes patients hypertendus (AUC = 0,66). Le modèle a par ailleurs révélé que les paramètres (i) « sédentaire/actif » (S/A), (ii) profession, (iii) lieu de résidence et (iv) âge, caractérisaient mieux les jeunes patients hypertendus, et a suggéré une fréquence élevée d'hypertension chez les jeunes femmes. Chez les patients hypertendus plus âgés, le modèle s'est montré suffisamment précis en termes de prédiction du sexe des patients (AUC = 0,83). Pour cette catégorie d'âge de patients hypertendus, le modèle a révélé la profession, l'âge, la glycémie, le cholestérol et le paramètre S/A comme étant d'excellent facteurs prédictifs de l'hypertension artérielle. Les résultats ont mis en évidence une contribution non significative des paramètres biomédicaux vis-à-vis de la catégorisation des jeunes patients hypertendus, contrairement aux patients hypertendus plus âgés. En conclusion, notre modèle de prédiction a montré une performance modérée pour la catégorisation de la population hypertendue en général. Il a en outre suggéré les paramètres (i) profession, (ii) S/A, ainsi que les paramètres biomédicaux, comme étant les mieux indiqués pour la catégorisation des patients hypertendus plus âgés contrairement à la profession et l'âge qui s'avèrent être de bons indicateurs pour la catégorisation des jeunes patients hypertendus.

Abstract

Hypertension is a second reason why patients visit Korhogo Regional Hospital (KRH). Even if this area strongly impacted by infectious and parasitical diseases, hypertensive patient's rate is considerable in Korhogo district. Considering the complexity of hypertension symptoms, we performed a machine learning approach aiming to characterize hypertensive population by processing 329 patients' bio-medical as well as quantitative and qualitative anthropomorphic data. We stimulated a clustering analysis of hypertensive population by k-mean survey. We developed accuracy predictive model via a machine leaning approach in R and Python programming environments, to identify parameters exhibiting good fit with hypertensive population profile by integrating patient's biomedical and quantitative (i.e. age, glycaemia and cholesterol rate) and qualitative (i.e. profession, habitat and sedentary/activity) data. K-mean analysis suggested four age clustering groups. The model exhibits moderate performance in terms of accuracy predicting young hypertensive patients gender (AUC =0.66). Model score revealed respectively sedentary/active (S/A) parameter, patients profession, habitat and age as main factors characterizing young hypertensive patients and suggested high

youngest female hypertensive frequency. For ageing hypertensive, model exhibited a good accuracy AUC = 0.83 in predicting gender. The model describing ageing hypertensive population revealed respectively good predictive fit to patient professions, age, glycaemia, cholesterol and S/A parameters. Findings neglected biomedical parameters contribution in categorizing young as opposite to ageing hypertensive patients. In conclusion, our predictive model displayed a moderate performance in categorizing hypertensive population respectively for qualitative and biomedical parameters by suggesting profession and S/A parameters as well as biomedical parameters as displaying good fit with ageing hypertensive patients, while patient profession and age as exhibiting good fitting with young hypertensive population.

OL.20

Communication en santé et usage excessif des écrans numériques chez les enfants: vulnérabilités sanitaires et renforcement des politiques de prévention dans l'espace CAMES

Health communication and excessive use of digital screens among children: health vulnerabilities and strengthening of prevention policies in the CAMES area

N'GUESSAN FABIENNE ZITA N'DRIN, docndrin2019@gmail.com

Université Alassane OUATTARA (Côte d'Ivoire-Bouaké)

Résumé

L’essor des technologies numériques, la diffusion accélérée des écrans numériques et leurs multiples usages modifient de plus en plus les habitudes sociales et éducatives des enfants. Ces outils numériques sont omniprésents dans le quotidien familial. Dans le monde et particulièrement dans l’espace CAMES, l’exposition précoce et l’accès croissant aux écrans numériques restent majoritairement sans contrôle parentale. Ces pratiques familiales mettent en lumière des questions importantes en matière de santé infantile. Quels sont les risques sanitaires liés à l’exposition précoce aux écrans numériques et à leur usage excessif chez les enfants ? Comment les parentes et les enfants se représentent-ils l’usage du numérique ? Comment la recherche en communication peut-elle contribuer à l’élaboration d’une stratégie de prévention dans l’espace CAMES ? Pour tenter d’apporter des éléments de réponses à ce questionnement, nous privilégierons une méthodologie combinant l’approche quantitative et qualitative. Ce travail mobilisera au niveau théorique, les artefacts de la communication pour le changement social et comportemental et des représentations sociales des usages. De nombreux travaux ont mis en lumière les conséquences négatives de l’usage excessif des écrans numériques sur la santé physique, mentale et cognitive, ainsi que sur la socialisation de l’enfant. Au regard des dynamiques socioculturelles et éducatives courantes dans l’espace CAMES, la communication en santé se présente comme un outil stratégique pour booster le changement social et comportemental et soutenir la mise en œuvre d’une politique commune de recherche et de prévention face à ces pratiques.

Abstract

The rise of digital technologies, the rapid spread of digital screens, and their multiple uses are increasingly changing children's social and educational habits. These digital tools are omnipresent in daily family life. Worldwide, and particularly within the CAMES region, early exposure to and growing access to digital screens remain largely uncontrolled by parents. These family practices highlight important issues regarding children's health. What are the health risks associated with early exposure to digital screens and their excessive use by children? How do parents and children perceive digital technology use? How can communication research contribute to the development of a prevention strategy within the CAMES region? To attempt to answer this question, we will favor a methodology combining quantitative and qualitative approaches. This work will draw upon, at the theoretical level, the artifacts of communication for social and behavioral change and social representations of usage. Numerous studies have highlighted the negative consequences of excessive digital screen use on physical, mental, and cognitive health, as well as on children's socialization. Given the current sociocultural and educational dynamics within the CAMES region, health communication emerges as a strategic tool to boost social and behavioral change and support the implementation of a common research and prevention policy regarding these practices.

OL.21

Complications materno-fœtales des grossesses non suivies dans le Centre de Santé de Référence de Diéma en 2021et 2022

Maternal and Fetal Complications of Unmonitored Pregnancies at the Diéma Reference Health Center in 2021 and 2022

Nouhoum TELLY[1], nouhoumtelly@gmail.com ; Oumar SANGHO[2]; Housseini DOLO[2]; Soya MAGUIRAGA[3]; Zakaria KEITA[4]; Birama Apho Ly[2]; Hamadoun SANGHO[2]

[1] 1 Université des sciences, des techniques et technologies de Bamako (USTTB) ; Mali ; 2 Cellule Sectorielle de Lutte Contre le VIH /sida, la Tuberculose et les Hépatites virales (CSLS-TBH) Bamako, Mali

[2] 1 Université des sciences, des techniques et technologies de Bamako (USTTB) ; Mali

[3] 3Centre de Santé de Référence de Diéma, Mali

[4] 4Centre Universitaire de Recherche Clinique (UCRC) Bamako, Mali

Résumé

Introduction : Les grossesses non suivies augmentent la survenue des complications materno-fœtales. Ce travail visait à évaluer les complications des grossesses non suivies au Centre de Santé de Référence (CSRéf) de Diéma.
Matériel et méthode : Il s'agissait d'une étude transversale à collecte de données rétrospective pour tous les cas de grossesse non suivi enregistrés dans le service de maternité du CSRéf de Diéma du 1er février 2021 au 31 avril 2022. L'étude a portée sur les dossiers des accouchés n'ayant pas fait de consultation prénatale (CPN) au cours de la grossesse. La taille de l'échantillon 263. Les données ont été enregistrées dans Kobotoolbox, analysées sur SPSS. Les fiches d'enquêtes étaient codifiées pour garder l'anonymat.
Résultats : La proportion des grossesses non suivies durant la période était de 20,4 %. Les complications maternelles étaient dominées par les hémorragies 57,6% ; la souffrance fœtale 13,3% ; le paludisme 9,4% ; l'HTA avec ses complications 9,4% et l'anémie 23% La mortalité fœtale était de 47%. Les facteurs associés à ces complications était le taux d'hémoglobine < 7 g/dl, le décès fœtal chez les mères de plus de 22 ans avec respectivement p= 0,015 et p=0,003.
Conclusion : Les grossesses non suivies représente environ 1/5 des accouchements à Diéma. Les complications maternelles étaient marquées par les hémorragies, la souffrance fœtale aigue, le paludisme, l'hypertension artérielle et ses complications. Le pronostic fœtal était dominé par la prématurité et les morts nés. Ces complications peuvent être évité en faisant un suivi régulier des consultations prénatales.

Abstract

Introduction: Unmonitored pregnancies increase the occurrence of maternal and fetal complications. This study aimed to evaluate the complications of unmonitored pregnancies at the Diéma Reference Health Center (CSRéf).
Materials and Methods: This was a retrospective cross-sectional data collection study for all cases of unmonitored pregnancies recorded in the maternity ward of the Diéma CSRéf from February 1, 2021, to April 31, 2022. The study included the records of women who gave birth but did not receive prenatal care (ANC) during their pregnancy. The sample size was 263. Data were entered into KoboToolbox and analyzed using SPSS. The survey forms were coded to ensure anonymity.
Results: The proportion of pregnancies not monitored during the period was 20.4%. Maternal complications were dominated by hemorrhages (57.6%), fetal distress (13.3%), malaria (9.4%), hypertension with its complications (9.4%), and anemia (23%). Fetal mortality was 47%. Factors associated with these complications were hemoglobin levels < 7 g/dL and fetal death in mothers over 22 years of age (p = 0.015 and p = 0.003, respectively).
Conclusion: Pregnancies without monitoring represent approximately one-fifth of deliveries in Diéma. Maternal complications were marked by hemorrhages, acute fetal distress, malaria, hypertension, and its complications. The fetal prognosis was dominated by prematurity and stillbirths. These

complications can be avoided by regular prenatal care.

OL.22

Comportement des principaux vecteurs du paludisme dans la transmission après la mise en place d'une couverture universelle en moustiquaires imprégnées d'insecticide longue durée (MILDA) à Bouaké, Côte d'Ivoire

Major vectors attitude in malaria transmission following a universal long-lasting insecticidal nets (LLINs) coverage in Bouaké, Côte d'Ivoire

Konan Fabrice ASSOUHO[1], assokofabrice@gmail.com ; Dounin Danielle ZOH[2]; Dipomin François TRAORE[2]; Konan Rodolphe Mardoché AZONGNIBO[3]; Akré Maurice ADJA[4]

[1] Université de San Pedro

[2] Université Alassane Ouattara de Bouaké

[3] Institut de Géographie Tropicale

[4] Université Felix Houphouet-Boigny

Résumé

Afin de réduire le nombre de cas de paludisme, plusieurs campagnes de distribution de moustiquaires imprégnées d'insecticide à longue durée d'action (MILDA) ont été menées en Côte d'Ivoire. Cette étude visait à étudier le comportement des vecteurs et le niveau de transmission vectorielle du paludisme dans la région de Bouaké, à la suite de la distribution à grande échelle de MILDA en 2017. Les moustiques ont été collectés dans le quartier de Belle-Ville et dans le village de Kpo-Kahankro par capture sur sujet humain et par pulvérisation intradomiciliaire de pyrèthre. Les moustiques issus de ces captures ont été identifiés morphologiquement. Les techniques ELISA CSP et ELISA repas sanguin ont permis de déterminer respectivement l'infection par Plasmodium falciparum et l'origine des repas sanguins. Dans le quartier de Belle-ville, un seul vecteur (An gambiae) a été identifié tandis que dans le village de Kpo-kahankro, ce sont deux vecteurs (An gambiae et An funestus) qui ont été identifiés. Le taux d'inoculation entomologique (TIE) enregistré pour An. gambiae s.l. était de 49 et 212 piqûres infectées/personne/an (pi/p/an) à Belle-ville et à Kpo-kahankro respectivement. Ce vecteur a présenté une tendance à l'exophagie à Belle-ville. Cependant, dans le village de Kpo-kahankro, ce vecteur pique aussi bien à l'intérieur qu'à l'extérieur des habitations. Par ailleurs, le TIE d'An. funestus dans le village de Kpo-kahankro a été de 230 piqûres infectées/personne/an et ce vecteur était endophage. Il ressort de ce travail que la transmission du plasmodium est plus intense en milieu rural avec une intervention très importante de An. funestus et An. gambiae qui en assure presqu'à part égale.

Abstract

In order to reduce the number of malaria cases, several campaigns to distribute long-lasting insecticide-treated mosquito nets (LLINs) have been carried out in Côte d'Ivoire. This study aimed to investigate vector behaviour and the level of vector-borne malaria transmission in Bouaké following the large-scale distribution of LLINs in 2017. Mosquitoes were collected in Belle-Ville neighbourhood and in the village of Kpo-Kahankro by human landing catches and indoor pyrethrum spraying. The mosquitoes from these captures were identified morphologically. CSP ELISA and blood meal ELISA techniques were used to determine Plasmodium falciparum infection and blood meal origin, respectively. In the Belle-Ville neighbourhood, a single vector (An gambiae) was identified, while in the village of Kpo-Kahankro, two vectors (An gambiae and An funestus) were identified. The entomological inoculation rate (EIR) recorded for An. gambiae s.l. was 49 and 212 infectious bites per person per year (ib/p/year) in Belle-ville and Kpo-kahankro, respectively. This vector showed a tendency towards exophagy in Belleville. However, in the village of Kpo-kahankro, this vector bites both inside and outside dwellings. Furthermore, the EIR of An. funestus in the village of Kpo-kahankro was 230 infected bites per person per year, and this vector was endophagous. This study shows that Plasmodium transmission is more intense in rural areas, with An. funestus and An. gambiae playing a very significant role, almost equally.

OL.23

Conception de dérivés d'indolone comme agents antitumoraux ciblant le complexe p53–MDM2 par une approche de docking moléculaire avec un profil pharmacocinétique favorable

Conception of Indolone derivatives as anti-tumor targeting p53-MDM2 by the molecular docking approach with a favorable pharmacokinetic profile

Yaya Yéo[1], yeoyaya532@gmail.com ; Clémence Ingrid Bléhoué[1]; Yves Kily Hervé Fagnidi[1]

[1] Unité de Formation et de Recherche en Sciences et Technologies, Université Alassane Ouattara, Côte d'Ivoire;Laboratoire de Physique Fondamentale et Appliquée, Université Nangui Abrogoua, Côte d'Ivoire

Résumé

Nous avons conçu virtuellement de nouveaux composés antitumoraux prometteurs, des dérivés d'indolone comme inhibiteurs de la protéine E3 ubiquitine ligase bien connue sous le nom de MDM2 (murine double minute 2), responsable de la régulation négative de p53. En nous basant sur la chimie combinatoire assistée par ordinateur, le docking moléculaire, les modèles 3D-RQSA et un pharmacophore, nous avons généré, affiné et criblé une bibliothèque virtuelle d'analogues d'indolone substitués en positions R1, R2 et R3. À partir de la structure cristalline de MDM2 en complexe avec l'inhibiteur Mi-63 (code PDB 3LBL), nous avons préparé des modèles 3D de 24 complexes MDM2:INDx présentant une activité expérimentale connue (Kiexp) pour établir un modèle de relation quantitative structure activité (RQSA) et une corrélation linéaire entre l'énergie libre de Gibbs relative (GFE) de formation du complexe récepteur–ligand (ΔΔGcom) et Kiexp :
$pKiexp = -0{,}0674 \cdot \Delta\Delta Gcom + 7{,}4502$ (1) ; $R^2 = 0{,}91$. Le pouvoir prédictif du modèle RQSA a ensuite été validé par la génération d'un modèle pharmacophorique (3D-QSAR-PH4) permettant d'explorer efficacement le sous espace chimique des indolones afin d'identifier de nouveaux analogues plus puissants. Ce modèle PH4 nous a guidé dans la conception d'une bibliothèque combinatoire virtuelle de plus de 5 625 analogues d'indolone qui ont été criblés. Enfin, les meilleurs résultats PH4 ont été évalués à l'aide de l'équation (1) pour l'activité prédite (Kipre) et ont fourni 14 candidats administrables par voie orale, dont le meilleur, INDA (Kipre = 0,4 nM), est 77 fois plus puissant que le composé le plus actif de la série initiale (IND1), tout en présentant un profil pharmacocinétique favorable.

Abstract

We have virtually designed important new anti-tumor compounds, indolone derivatives as inhibitors of the E3 ubiquitin ligase protein well known as MDM2 (murine double minute 2) responsible for the negative regulation of p53. Based on the theory of computer-aided combinatorial chemistry, molecular docking, 3D-QSAR models and pharmacophore, we have enumerated, focused and screened a virtual library of indolone analogues substituted in position R1, R2 and R3. From the crystalline structure of MDM2 in complex with the inhibitor Mi-63 (pdb code 3LBL), we have prepared 3D models of 24 MDM2:INDx complexes with a known observed activity (Kiexp) to establish a quantitative structure-activity model (QSAR) and a linear correlation between the relative Gibbs free energy (GFE) of the formation of the receptor –ligand complex (ΔΔGcom) and Kiexp: $pKiexp = -0{,}0674.\Delta\Delta Gcom + 7{,}4502$ (1); $R2 = 0.91$. The predictive power of the QSAR model was then validated by the generation of a pharmacophore model (3D-QSAR-PH4) to efficiently explore the chemical subspace of the indolone in order to reach new, more powerful analogues. This PH4 model guided us in the design of a virtual combinatorial library of more than 5625 Indolone analogues that have been screened. Finally, the best PH4 results were evaluated with equation (1) for the predicted potency (Kipre) and gave 14 orally bioavailable candidates whose best INDA (Kipre = 0.4 nM) is 77 times more powerful than the most active of the initial series (IND1) displaying a favorable pharmacokinetic profile.

OL.24

CONDITION PHYSIQUE ET QUALITÉ DE SOMMEIL CHEZ 14 FEMMES EN SURPOIDS ET OBÈSES APRES HUIT SEMAINES DE FITNESS EN 2022

PHYSICAL CONDITION AND SLEEP QUALITY IN 14 OVERWEIGHT AND OBESE WOMEN AFTER EIGHT WEEKS OF FITNESS IN 2022

JEAN-PAUL KOUASSI[1], kouassijp1@yahoo.fr ; JOSI-NOELLINE SINH[1]; KOFFI DIALLO[2]; MOUSSA BAKAYOKO[1]; YAPI AXEL BROU[1]; N'GUESSAN KOUAME[1]

[1] Laboratoire des sciences du mouvement Humain, du Développement et du bien Être, Institut National de la Jeunesse et des Sports (INJS), Abidjan, Cote d'Ivoire

[2] Université Nangui Abrogoua, Laboratoire de biocatalyse et des bioprocédés Abidjan, Cote d'Ivoire

Résumé

Chez les sujets en surpoids ou obèses souffrant de trouble du sommeil, la pratique régulière d'activité physique peut non seulement améliorer la condition physique mais également la qualité de sommeil. L'objectif de cette étude est d'évaluer l'effet d'un programme de huit semaines de fitness sur la condition physique et la qualité de sommeil chez des femmes obèses ou en surpoids à Abidjan souffrant de trouble du sommeil (Côte d'Ivoire).

Cette étude été menée à Abidjan avec 14 femmes (6 en surpoids 8 obèses) âgés en moyenne de 35±8 ans. Les sujets ont subi un programme de fitness de 8 semaines. La condition physique et que la qualité de sommeil évaluées respectivement avec l'indice de Ruffier-Dickson et l'échelle de Spiegel ont été mesurées. Le test U de Man Withney et le test de rang de Wilcoxon ont été utilisés pour comparer les effets du programme d'entrainement.

Les résultats ont révélé, à la fin du programme une diminution, de la masse corporelle (-3,7 kg) et de l'IMC (-0,9 Kg/m2 ; $p < 0,001$) et du rapport tour de taille / tour de hanche (-0,06 ; $p < 0,001$).

A la fin du programme d'entrainement, 3 femmes en surpoids ont obtenu un statut pondéral normal. Chez les femmes obèses, une baisse significative de IMC a été observée ($p < 0,01$) bien qu'elles soient restées obèses.

A la fin du programme de fitness, une baisse significative de l'indice de Ruffier Dickson (- 2,09; $p < 0,001$) a été observée chez ces femmes traduisant ainsi l'amélioration de leur condition physique. La fréquence cardiaque de repos, a significativement baissé (-11 bpm ; $p < 0,01$). Toutes les 8 femmes qui avaient une condition physique faible, ont obtenu une condition physique moyenne. La qualité de sommeil était bonne chez 13 femmes contre 5 (+ 8 femmes; $p < 0,001$) au début du programme d'activité physique.

Au regard des résultats, il est nécessaire de faire la promotion des activités physiques pour une amélioration de la santé en vue d'une prise en charge non médicamenteuse des troubles du sommeil et l'amélioration de la condition physique des femmes en surpoids ou obèses.

Abstract

In overweight or obese subjects with sleep disorders, regular physical activity can improve not only physical fitness but also sleep quality. The aim of this study was to evaluate the effect of an eight-week fitness programme on physical condition and sleep quality in overweight or obese women with sleep disorders in Abidjan (Côte d'Ivoire).

This study was conducted in Abidjan with 14 women (6 overweight, 8 obese) with an average age of 35±8 years. The subjects underwent an 8-week fitness programme. Physical fitness and sleep quality were measured using the Ruffier-Dickson index and the Spiegel scale respectively. The Man Withney U test and the Wilcoxon rank test were used to compare the effects of the training program.

At the end of the program, the results showed a reduction in body mass (-3.7 kg) and BMI (-0.9 kg/m2; $p < 0.001$) and in the waist-to-hip circumference ratio (-0.06; $p < 0.001$).

At the end of the training program, 3 overweight women achieved normal weight status. In the obese women, a significant reduction in BMI was observed ($p < 0.01$) even though they remained obese.

At the end of the fitness program, a significant drop in the Ruffier Dickson index (- 2.09; $p < 0.001$) was observed in these women, reflecting the improvement in their physical condition. Resting heart rate fell

significantly (-11 bpm; $p < 0.01$). All 8 women who had a low level of physical fitness achieved an average level of physical fitness. Sleep quality was good in 13 women compared with 5 (+ 8 women; $p < 0.001$) at the start of the physical activity program.
In view of the results, it is necessary to promote physical activity as a means of improving health, with a view to non-medicinal management of sleep disorders and improving the physical condition of overweight or obese women.

OL.25

Consommation des produits dopant chez les footballeurs de la commune d'Abobo (Abidjan, Côte d'Ivoire)

Doping Use Among Footballers in the Abobo District (Abidjan, Cote d'Ivoire)

JOSI-NOELLINE SINH[1], noelline983@gmail.com ; PATERSON VALERY DISSEKA[1]; JEAN-PAUL KOUASSI[1]; MAMERY KONE[1]; KOUASSI STANISLAS TANOH[1]; N'GUESSAN KOUAME[1]

[1] LABORATOIRE PLURIDSCIPLINAIRE DES SCIENCES DU MOUVEMENT DU DEVELOPPEMENT ET DU BIEN ETRE, INSTITUT NATIONAL DE LA JEUNESSE ET DES SPORTS D'ABIDJAN, COTE D'IVOIRE

Résumé

Le dopage sportif est une pratique qui consiste à utiliser des substances ou procédés de nature à modifier la performance des athlètes lors des compétitions.
L'objectif de cette étude était d'évaluer le niveau de consommation des produits dopant chez les footballeurs des Clubs de la commune d'Abobo en Côte d'Ivoire. Il s'agit d'une étude descriptive transversale portant sur 204 sujets dont 63 femmes et 141 hommes.
Il a été constaté que 71% des enquêtés (hommes et femmes) utilisent des produits dopants tels que, l'EPO (54,90%), les stéroïdes anabolisants (33,82%) et l'alcool (24,02%) pour améliorer leur performance. Le pourcentage des hommes qui consomment les produits dopants est statistiquement plus élevée que celui des femmes (47% Vs 24% ; $p < 0,01$). Parmi ceux-ci, il a été constaté que 58,33% des footballeurs seniors consomment les produits dopants. Les travaux ont également mis en évidence que 20,59% des cadets (14-15 ans) font usages des produits dopants.
Les résultats de cette étude mettent en évidence que les enquêtés ont besoin de formation et de suivi pour éviter le dopage afin de réduire les problèmes de santé et de sanction pendant les compétitions.

Abstract

Sports doping is a practice that involves using substances or methods to alter athletes' performance during competitions. The objective of this study was to assess the level of doping product use among football players of clubs in the Abobo district of Côte d'Ivoire.
This was a descriptive cross-sectional study involving 204 subjects, including 63 women and 141 men.
It was found that 71% of the footballers (men and women) use doping products such as EPO (54.90%), anabolic steroids (33.82%), and alcohol (24.02%) to improve their performance. The percentage of men using doping products is statistically higher than that of women (47% Vs 24%; $p < 0.01$). Among these, it was found that 58.33% of senior football players use doping products. The research also revealed that 20.59% of cadets (age 14-15) use performance-enhancing drugs.
The results of this study highlight the need for training and support among those surveyed to prevent doping and reduce health problems and penalties during competitions.

OL.26

Contribution de la morphométrie des sinus frontaux dans la détermination du sexe chez le sujet togolais

Contribution of frontal sinus morphometry to sex determination with togolese subjects

Adoukoê Marie Madeleine AKUE[1], eiramm12@gmail.com ; Zana KONATE[2]; Joachim Axel ONDO MEBALEH DONG[3]; Zié Moussa COULIBALY[4]; Yawo Apélété AGBOBLI[1]; Mathurin DJODJO[2]; Koffi BOTTI[2]

[1] Centre Hospitalier Universitaire Sylvanus Olympio, Lomé Togo

[2] Département de santé publique et spécialités, UFR Sciences Médicales - Université Félix Houphouët Boigny-Abidjan, Côte d'Ivoire

[3] Service de Radiologie et imagerie médicale, imagerie interventionnelle au CHI Poissy, Saint-Germain-en-Laye, France

[4] Département de santé publique et spécialités, UFR Sciences Médicales - Université Alassane Ouattara-Bouaké, Côte d'Ivoire

Résumé

Introduction :
L'identification des individus en médecine légale repose souvent sur des méthodes complexes comme l'analyse ADN. Cependant, les sinus frontaux, par leur morphologie unique à chaque individu, peuvent offrir une alternative utile, notamment pour l'estimation du sexe.
Méthodes :
Une étude rétrospective descriptive et analytique a été menée à Lomé en 2025 sur 80 radiographies crâniennes (incidence Caldwell) de sujets âgés de 20 ans et plus. Les dimensions des sinus frontaux (hauteur, largeur, surface) ont été mesurées à l'aide du logiciel Horos. Une régression logistique binaire, basée sur le critère AIC, a permis d'élaborer un modèle prédictif du sexe. La performance a été évaluée par la courbe ROC.
Résultats :
Sur les 80 sujets, 67 présentaient des sinus exploitables (35 hommes, 32 femmes). L'étude de la sélection des variables a détecté que la surface du sinus frontal droit et la largeur du sinus frontal gauche étaient plus adaptées à la détermination du sexe. Les hommes avaient une surface du sinus droit significativement plus grande ; les femmes présentaient une largeur gauche légèrement plus élevée. Ces paramètres ont permis la construction d'une fonction logit. Le modèle final incluant ces deux variables a obtenu une précision globale de 74,6 % (AUC = 0,745).
Conclusion :
La morphométrie des sinus frontaux présente un intérêt certain pour l'estimation du sexe, en particulier dans les contextes où les méthodes classiques d'identification sont inaccessibles. Des études à plus grande échelle sont nécessaires pour valider cette approche dans un cadre médico-légal togolais.

Abstract

Introduction:
In forensic medicine, the identification of unknown human remains can be challenging, particularly in the absence of DNA or fingerprint data. Frontal sinuses, due to their unique morphology, may serve as a useful alternative for personal identification and sex estimation.
Methods:
This retrospective descriptive and analytical study was conducted in Lomé (Togo) between [month] and [month] 2025. A total of 80 cranial radiographs in Caldwell view were analyzed, focusing on individuals aged 20 years and older. Morphometric parameters of the frontal sinuses (height, width, and surface area) were measured using Horos software (v3.3.6). Binary logistic regression was used to predict sex based on selected variables via the Akaike Information Criterion (AIC). Model performance was assessed using ROC curve analysis.
Results:

Among the 80 subjects, 67 had identifiable frontal sinuses (35 males, 32 females). The variable selection study detected that the area of the right frontal sinus and the width of the left frontal sinus were more suitable for sex determination. Males showed a significantly larger right sinus surface area, while females had slightly higher values for left sinus width and sinus height. These parameters allowed the construction of a logit function. The final logistic regression model included right sinus surface area ($p = 0.0397$) and left sinus width ($p \approx 0.0856$), achieving an overall classification accuracy of 74.6% and an AUC of 0.745.

Conclusion:

Frontal sinus morphometry shows moderate potential for sex estimation in forensic settings. While not sufficient alone, it can provide valuable complementary information, especially when other identification methods are unavailable. Larger and more diverse samples are recommended to improve the predictive validity of this approach.

OL.27

Corrélation entre le polymorphisme d'insertion/délétion du gène de l'enzyme de conversion de l'angiotensine et l'hypertension artérielle dans la population gabonaise

Correlation between insertion/deletion polymorphism of the angiotensin-converting enzyme gene and hypertension in the Gabonese population

Guy Roger NDONG ATOME[1], ndong_atome@yahoo.com ; Louis-Clément OBAME ENGONGA[2]; Felix OVONO ABESSOLO[3]

[1] Laboratoire de Recherche en Biochimie, Université des Sciences et Techniques de Masuku, Gabon

[2] Laboratoire de Recherche en Biochimie, (USTM)

[3] Département de Biochimie, Université des Science de la Sante

Résumé

Contexte : Le polymorphisme I/D du gène de l'enzyme de conversion de l'angiotensine (ECA) semble être un excellent marqueur du risque d'hypertension. L'étude a été menée afin de déterminer la relation entre l'hypertension artérielle et le polymorphisme du gène ECA au sein de la population gabonaise. Méthode : Au total, 132 patients ont été recrutés, dont 95 patients hypertendus (cas) et 37 sujets normotendus (témoins).La séquence de 287 pb dans l'intron 16 du gène ACE a été identifiée par PCR conventionnelle. Une analyse statistique et un calcul du rapport de cotes ont été effectués afin de comparer les distributions des allèles I et D entre les sujets hypertendus et non hypertendus. Résultats : Les fréquences des génotypes DD, ID et II étaient respectivement de 53 %, 39,4 % et 7,6 % dans la population étudiée. Le génotype DD était environ 3 fois plus fréquent chez les cas (55, soit 78,60 %) que chez les témoins (15, soit 21,40 %). L'allèle D était 3 fois plus fréquent chez les cas (75 %) que chez les témoins (25 %). Le polymorphisme I/D du gène ACE semble être associé à un risque d'hypertension, mais la corrélation n'était pas significative (OR = 1,55, p = 0,15). Conclusion : Ces résultats ont montré que les génotypes DD, ID et II n'étaient pas impliqués dans l'apparition de l'hypertension chez la population gabonaise conduisant à des maladies cardiovasculaires.

Abstract

Background: I/D polymorphism of the Angiotensin Converting Enzyme gene (ACE), seems to be an excellent marker of risk of the hypertension. The study was carried out in order to determine the relationship between arterial hypertension and the polymorphism of the ACE gene among the Gabonese population. Methods: In total 132 patients were enrolled of which 95 hypertensive patients (cases) and 37 normotensive subjects (controls). The 287bp sequence in intron 16 of the ACE gene were identified by a conventional PCR. Statistical analysis and calculation of the odds ratio were applied to compare distributions of alleles I and D between hypertensive and non-hypertensive subjects. Results: The frequencies of the genotypes DD, ID and II were 53%, 39.4% and 7.6% respectively in the study population. The DD genotype was approximately 3 times greater in cases 55 (78.60%) than in controls 15 (21.40%). The D allele was 3 times higher among cases (75%) than controls (25%). I/D polymorphism of the ACE gene seems to be associated with a risk for hypertension but the correlation was not significant (OR=1.55, p=0.15). Conclusion: These results showed that the genotypes DD, ID, II were not involved in the occurrence of hypertension in Gabonese population leading to cardiovascular diseases.

OL.28

Corrélats électrophysiologiques de l'apprentissage sur écran : Analyse des profils oscillatoires des dynamiques pariéto-occipitales en mémoire de travail

Electrophysiological correlates of screen-based learning: Oscillatory profiles of parieto-occipital dynamics in working memory

Yacouba OUATTARA[1], ouattara.yacouba03@ufhb.edu.ci ; Koffi Mathias YAO[1]; Taki Romaric YIAN[1]; Prisca Joëlle Djoman DOUBRAN[2]; Soualiho OUATTARA[1]

[1] Université Félix Houphouët-Boigny

[2] Université Alassane OUATTARA

Résumé

L’omniprésence des écrans transforme les environnements éducatifs, soulevant des questions sur leurs effets neurocognitifs. Cette étude explore les corrélats électrophysiologiques de l’apprentissage visuospatial en comparant un support numérique (avec écran, AE) à un support physique (sans écran, SE). 25 étudiants masculins droitiers (20–26 ans) ont mémorisé la disposition de neuf images sur une grille 3×3. L’activité EEG a été enregistrée en continu à 50 Hz (montage LATRILLE, dérivations P3-O1, P4-O2, P7-O1, P8-O2) et filtrée entre 1–15 Hz. Les analyses comportementales révèlent une performance moyenne équivalente entre les deux groupes (p=0,78), avec un effet d’apprentissage global significatif ($p < 0.001$) indiquant une diminution systématique du pourcentage d'erreurs au fil des répétitions. Sur le plan électrophysiologique, les dynamiques pariéto-occipitales montrent des modulations des bandes Alpha (8–13 Hz) et Thêta (4–8 Hz). Tandis que le groupe AE présente une désynchronisation Alpha accentuée liée à un effort visuel accru, le groupe SE se caractérise par une stabilité relative du rythme Alpha, suggérant une charge perceptive visuelle moins fragmentée sur support physique. De plus, le groupe SE manifeste une synchronisation Thêta constante et soutenue dans les régions pariétales, reflétant un effort d'encodage spatial régulier et un maintien stable des informations en mémoire de travail. En conclusion, bien que l'efficacité mnésique soit comparable, le support physique sollicite une dynamique oscillatoire plus stable et moins coûteuse en ressources attentionnelles visuelles que l'interface numérique.

Abstract

The ubiquity of screens is transforming educational environments, raising critical questions regarding their neurocognitive effects. This study explores the electrophysiological correlates of visuospatial learning by comparing a digital medium (with screen, WS) to a physical medium (without screen, NS). Twenty-five right-handed male students (aged 20–26 years) memorized the layout of nine images on a 3×3 grid. EEG activity was continuously recorded at 50 Hz (LATRILLE montage; derivations P3-O1, P4-O2, P7-O1, P8-O2) and filtered between 1–15 Hz. Behavioral analyses revealed equivalent mean performance between the two groups (p=0.78), with a significant global learning effect ($p < 0.001$), indicating a systematic decrease in error percentage across repetitions. Electrophysiological findings showed that parieto-occipital dynamics involve modulations of the Alpha (8–13 Hz) and Theta (4–8 Hz) bands. While the WS group exhibited accentuated Alpha desynchronization associated with increased visual effort, the NS group was characterized by relative Alpha rhythm stability, suggesting a less fragmented visual perceptive load on the physical medium. Furthermore, the NS group manifested constant and sustained Theta synchronization in the parietal regions, reflecting a regular spatial encoding effort and stable maintenance of information in working memory. In conclusion, although memory efficacy is comparable, the physical medium elicits more stable oscillatory dynamics and is less taxing on visual attentional resources than the digital interface.

OL.29

Criblage virtuelle des molécules issues de la pharmacopée de l'Afrique de l'Ouest et Docking moléculaire ciblant la protéase NS2B/NS3 du virus de la dengue

Virtual screening of phytocompounds from West African pharmacopoeia and Molecular Docking targeting dengue virus protein NS2B/NS3

Yves M K KANTAGBA, kantagbayves2@gmail.com

Université Joseph Ki Zerbo, Burkina Faso

Résumé

La médecine traditionnelle offre un large éventail de possibilités pour la conception de médicaments assistée par ordinateur. Cette stratégie de recherche et de développement de médicaments est encore embryonnaire en Afrique notamment au Burkina Faso, pays de plus en plus confronté à des maladies émergentes telles que la dengue pour laquelle il n'existe pas à ce jour un traitement curatif. La circulation des quatre sérotypes a été documentée dans le pays. Cette étude vise à évaluer le potentiel thérapeutique de composés phytochimiques contenus dans la pharmacopée d'Africaine de l'ouest contre la protéine NS2B/NS3 du virus de la dengue par amarrage moléculaire virtuelle intégrant plusieurs logiciels et bases de données. À partir d'une revue de la littérature, nous avons identifié 191 molécules issues de 30 plantes connues pour leurs effets antiviraux. Cinq composés répondaient aux critères d'inclusion pour l'amarrage moléculaire : la patuline extraite de Calotropis procera, le résiniféronol extrait d'Euphorbia poissonii, le sécurinol A extrait de Flueggea virosa, ainsi que l'acide shikimique et le gallate de méthyle extraits de Terminalia macroptera. Les meilleures affinités ont été observées entre le résiniféronol et les protéases NS2B/NS3 des sérotypes 1, 2 et 4, avec des énergies de liaison respectives de -7,4 kcal/mol, -6,8 kcal/mol et -7,3 kcal/mol. La protéase NS2B/NS3 du sérotype 3 présentait quant à elle la meilleure affinité pour le sécurinol A (-7 kcal/mol). Cette étude ouvre la voie à de nouvelles recherches en conception de médicaments assistée par ordinateur et encourage une collaboration multidisciplinaire pour promouvoir les plantes médicinales d'Afrique de l'Ouest face aux problèmes de santé.

Abstract

Traditional medicine offers a wide range of application for in silico study techniques. This drug research and development strategy is embryonic in the West African context, particularly in Burkina Faso, which is increasingly faced with emerging diseases such as dengue fever. Circulation of the 4 serotypes of this virus has been documented in the country. This study aims to evaluate the therapeutic potential of phytocompounds contained in the West African pharmacopoeia against dengue virus NS2B/NS3 protein, using computational methods integrating several software packages and databases. Based on a literature review, we identified 191 molecules from 30 plants known for their antiviral effects. Five met the inclusion criteria for molecular docking: patulin from calotropis procera, resiniferonol from Euphorbia poissonii, Securinol A from Flueggea virosa, Shikimic acid and Methyl gallate from Terminalia macroptera. The best binding scores were observed between resiniferonol and the serotypes 1, 2 and 4 NS2B/NS3 protease, with binding energies of -7.4 Kcal/mol, -6.8 Kcal/mol and -7.3 Kcal/mol respectively; while the NS2B/NS3 protease of serotype 3 had the best affinity for securinol A (-7 Kcal/mol). This study points the way to further research in computer aided drug design field and calls for multidisciplinary collaboration to promote West African medicinal plants against health challenges.

OL.30

Dénutrition aiguë sévère chez les enfants de moins de 5 ans au Centre Hospitalier Régional de Tsévié au Togo

Severe acute malnutrition among children under 5 years‘ age in the Tsevie Regional Hospital Center in Togo

Agbessi Etonam Francis KOUGNIGAN[1], koufrannis@gmail.com ; Marc YUMBA MWEPU[2]; Alain RUBENGA UWITO[3]; Foli Yvon AGBEKO[3]; Mawouto FIAWOO[4]; Koffi Edem DJADOU[1]

[1] Service de pédiatrie, Centre Hospitalier Régional (CHR) de Tsévié, Tsévié, Togo

[2] Service de pédiatrie, Hôpital de Bè, Lomé, Togo

[3] Service de pédiatrie, Centre Hospitalier Universitaire (CHU) Campus, Lomé, Togo

[4] Service de Pédiatrie, Centre Hospitalier Préfectoral (CHP) de Kpalimé, Togo

Résumé

Introduction : La dénutrition affecte 5,7 % des enfants de moins de 5 ans au Togo (MICS 2017). Elle est généralement consécutive à des pratiques alimentaires non appropriées. L’objectif du présent travail a été de décrire la Dénutrition aiguë sévère (DAS) chez les enfants de 0 à 5 ans dans le service de pédiatrie du CHR – Tsévié.
Matériel et méthode : Il s’agit d’une étude rétrospective à viser descriptive portant sur les dossiers des enfants hospitalisés pour DAS dans le service de pédiatrie du CHR – Tsévié du 1er Janvier 2020 au 31 Décembre 2022. Les critères diagnostiques de DAS étaient le rapport P / T< -3 SD, le périmètre brachial < 115 mm et / ou présence d’œdèmes nutritionnels.
Résultats : La fréquence hospitalière était de 1,75 % (133 / 7 615). L’âge moyen était de 13,75 ± 12 mois avec un sex – ratio à 1,25. Le taux d’allaitement exclusif a été de 84,21 % et un enfant sur trois (36,89 %) avait débuté la diversification alimentaire dès l’âge de 4 mois. Le marasme a représenté 85,71 %. La prise en charge nutritionnel a été dominé par le lait thérapeutique qui était administré dans 92,48 % des cas (57,89 % de F100 et 34,59 % de F75). Un traitement antibiotique a été initié dans 98,50 % des cas. Les complications médicales étaient surtout marquées par l’anémie (66,92 %). La durée moyenne du séjour hospitalier était de 13,67 jours ± 8,9 jours et le taux de guérison était de 57,14 % avec un gain pondéral moyen de 1,31 kg ± 7,27. La létalité liée à la DAS a été de 19,55 % et le quart des enfants (23,31 %) était sorti contre avis médical.
Conclusion : La DAS demeure un problème majeur de santé publique avec une forte létalité. Les bonnes pratiques alimentaires doivent être promues.

Abstract

Introduction: Malnutrition affects 5,7% of children under the age of 5 years in Togo (MICS 2017). It is generally the result of inappropriate feeding practices. The objective of this study was to describe Severe acute malnutrition (SAM) in children aged 0 to 5 years in the pediatric department of the Tsévié Regional Hospital Center.
Methodology: This is a retrospective descriptive study of children hospitalized for SAM in the pediatrics department of the Tsévié Regional Hospital Center from January 1, 2020 to December 31, 2022. Clinical criteria of SAM were Weight / height < -3SD, Up arm circumference <115 mm and/or feet oedema.
Results: The hospitalization rate was 1.75 % (133/7615). The mean age was 13.75 ± 12 months, with a sex ratio of 1.25. The rate of exclusive breastfeeding was 84,21 and one child out of three (36,89 %) had started diversifying their diet by the age of 4 months. Marasmus has represented 85,71 %. Nutrional support was dominated by therapeutic milk, which was administered in 92,48 % of case (57,89 % of F100 and 34,59 % of F75). Antibiotic treatment was initiated in 98,50 % of cases. Medical complications were mainly marked by anemia (66.92 %). The average length of hospital stay was 13.67 days ± 8.9 days, and the recovery rate was 57.14 % with an average weight gain of 1.31 kg ± 7.27. The mortality rate associated with SAM was 19.55%, and a quarter of the children (23.31%) were discharged against medical advice.
Conclusion: The study showed that SAM remains a major public health problem, with a high case-fatality rate. Efforts must continue to reduce its prevalence in the population.

OL.31

DENUTRITION AIGUE SEVERE CHEZ LES ENFANTS DE MOINS DE 5 ANS AU CENTRE HOSPITALIER UNIVERSITAIRE SYLVANUS OLYMPIO DU TOGO

SEVERE ACUTE MALNUTRITION AMONG CHILDREN UNDER 5 YEARS' AGE IN THE SYLVANUS OLYMPIO UNIVERSITY HOSPITAL CENTER OF TOGO

Tatiano Wiyao SEKU[1], statiano4@gmail.com ; Achraf TCHAPIDE-TRAORE[2]; Agbessi Etonam Francis KOUGNIGAN[1]; Foli Yvon AGBEKO[2]; Mawuto FIAWOO[3]; Koffi Edem DJADOU[1]

[1] Service de pédiatrie, Centre Hospitalier Régional (CHR) de Tsévié ,Tsévié , Togo

[2] Service de pédiatrie, Centre Hospitalier Universitaire (CHU) Campus, Lomé ,Togo

[3] Service de Pédiatrie, Centre Hospitalier Prefectorial (CHP) de Kpalimé, Kpalimé, Togo

Résumé

Introduction. La Dénutrition Aiguë Sévère (DAS) affecte 1,1 % des enfants de moins de 5 ans au Togo (MICS 2017). Ce travail analyse la prise en charge des enfants âgés de 0 à 59 mois hospitalisés de 2015 à 2019 pour DAS.
Matériels et méthode. Il s'agit d'une série de cas à visée descriptive, fondée sur l'exploitation des dossiers et registres d'enfants hospitalisés pour DAS (P/T < - 3DS, PB < 115 mm, présences d'œdèmes bilatéraux nutritionnels). Elle s'est déroulée du 14 février 2015 au 31 décembre 2019 dans le service de pédiatrie du Centre Hospitalier Universitaire Sylvanus Olympio. Elle tentait d'évaluer l'impact du protocole national de prise en charge de la malnutrition adopté en 2013 - 2014.
Résultats : La fréquence hospitalière de la DAS a été de 1,2 % (508/59500). L'âge moyen était de 11,69 +/-10,49 mois avec un sex ratio de 1,19. Les enfants âgés de moins de 12 mois ont représenté 56,9%. Le marasme a été observé dans 81,7%. Les principales causes étaient le VIH (41,2%), la gémellité / faible poids de naissance (16,7%), les pratiques alimentaires inadéquates (8,8%) et l'abandon maternel (8,8%). Le traitement a permis un gain pondéral moyen de 12,89 g/kg/j +/-13,29 pour un séjour moyen de 13,5 jours. Le taux de létalité était de 7,1%. La diarrhée à l'admission multipliait le risque de décès par 4,82.
Conclusion : Les bonnes pratiques alimentaires et la prévention de la transmission du VIH restent des stratégies essentielles pour limiter la DAS.
Mots-clés : dénutrition – enfant -Togo

Abstract

Introduction. Severe acute malnutrition (SAM) affects 1.1% of children under 5 years of age in Togo (MICS 2017). This study analyses the care provided to children aged 0 to 59 months hospitalised for SAM between 2015 and 2019.
Materials and methods. This is a descriptive case series based on the analysis of the files and records of children hospitalised for SAM (W/H < - 3SD, HC < 115 mm, presence of bilateral nutritional oedema). It took place from 14 February 2015 to 31 December 2019 in the paediatric department of the Sylvanus Olympio University Hospital Centre. It sought to assess the impact of the national protocol for the management of malnutrition adopted in 2013-2014.
Results: The hospital frequency of DAS was 1.2% (508/59,500). The average age was 11.69 +/-10.49 months with a sex ratio of 1.19. Children under 12 months of age accounted for 56.9%. Marasmus was observed in 81.7%. The main causes were HIV (41.2%), twins/low birth weight (16.7%), inadequate feeding practices (8.8%) and maternal abandonment (8.8%). Treatment resulted in an average weight gain of 12.89 g/kg/day +/-13.29 for an average stay of 13.5 days. The mortality rate was 7.1%. Diarrhoea on admission increased the risk of death by 4.82.
Conclusion: Good feeding practices and prevention of HIV transmission remain essential strategies for limiting DAS.
Keywords: malnutrition-children-Togo

OL.32

Dépistage et suivi sérologique de l'hépatite C chez les donneurs de sang au Centre Régional de Transfusion Sanguine de Bouaké

Hepatitis C Screening and Serological Follow-up among Blood Donors at the Bouaké Regional Blood Transfusion Center

M'BOH EPI REINE ELISABETH N'GOU[1], reinemboh@hotmail.com ; KADJO INNOCENT N'DAH[1]; NARDIANHIO SORO[1]; FLEUR NATACHA NENELOU[1]; KOUABLA LILIANE SIRANSY[2]; BAMORY DEMBELE[3]; YASSONGUI MAMADOU SEKONGO[1]

[1] Centre National de Transfusion Sanguine, Côte d'Ivoire

[2] Centre National de Transfusion Sanguine, Côte d'Ivoire ; Faculté de Médecine et des Sciences Biomédicales, Université Félix Houphouët-Boigny (UFHB)

[3] Centre National de Transfusion Sanguine, Côte d'Ivoire ; UFR des Sciences Pharmaceutiques et Biologiques, Université Félix Houphouët-Boigny (UFHB)

Résumé

Introduction : La prévalence de l'hépatite C chez les donneurs de sang dans le monde est estimée entre 1 et 5 %. Le dépistage repose principalement sur la détection des anticorps anti-VHC, mais cette approche est associée à un taux élevé de faux positifs, estimé à environ 60 % chez les donneurs présentant des ratios faibles. L'objectif de cette étude était de dépister l'hépatite C chez les donneurs de sang par test de chimiluminescence et d'évaluer l'évolution des résultats lors du suivi. Méthodes : Il s'agissait d'une étude prospective menée de novembre 2024 à décembre 2025. Le dépistage a été réalisé de novembre 2024 à octobre 2025. Les donneurs testés positifs ont été suivis tous les deux mois pendant six mois. Résultats : Sur 21 643 donneurs, 107 (0,49 %) ont été dépistés positifs aux anticorps anti-VHC, dont 86 hommes et 21 femmes. L'âge variait de 16 à 77 ans, avec une moyenne de 36 ans. Les ratios allaient de 1,1 à 1000, avec 33,64 % des donneurs présentant un ratio ≤ 8. Sept cas de co-infection ont été observés (5 avec le VHB et 2 avec le VIH). Parmi les 107 donneurs positifs, 32, 10 et 6 sont revenus respectivement une, deux et trois fois en contrôle. Au premier contrôle, 12 (37,5 %) étaient négatifs, dont 9 (75 %) avaient un ratio ≤ 5 au dépistage initial. Un donneur ayant un ratio initial de 25,9 est devenu négatif au premier contrôle, puis à nouveau positif aux deuxième et troisième contrôles. Discussion : En chimiluminescence, les ratios compris entre 1 et 8 sont considérés comme des positifs faibles et correspondent fréquemment à des faux positifs. Conclusion : Le suivi des donneurs dépistés positifs aux anticorps anti-VHC permet de réduire significativement les faux positifs et d'améliorer la fiabilité du dépistage.

Abstract

Introduction: The global prevalence of hepatitis C among blood donors is estimated to range from 1% to 5%. Screening mainly relies on the detection of anti-HCV antibodies; however, this approach is associated with a high rate of false-positive results, estimated at approximately 60% among donors with low signal-to-cutoff ratios. The objective of this study was to screen for hepatitis C among blood donors using a chemiluminescence assay and to evaluate the evolution of results during follow-up. Methods: This was a prospective study conducted from November 2024 to December 2025. Screening was performed between November 2024 and October 2025. Donors who tested positive were followed every two months for six months. Results: Among 21,643 donors, 107 (0.49%) tested positive for anti-HCV antibodies, including 86 men and 21 women. Age ranged from 16 to 77 years, with a mean of 36 years. Signal-to-cutoff ratios ranged from 1.1 to 1000, with 33.64% of donors presenting a ratio ≤ 8. Seven cases of coinfection were identified, including five with hepatitis B virus and two with HIV. Among the 107 positive donors, 32, 10, and 6 returned for one, two, and three follow-up visits, respectively. At the first follow-up, 12 donors (37.5%) tested negative, of whom 9 (75%) had an initial screening ratio ≤ 5. One donor with an initial ratio of 25.9 tested negative at the first follow-up but became positive again at the second and third follow-ups. Discussion: In chemiluminescence assays, ratios between 1 and 8 are considered low-positive results and are frequently associated with false-positive findings. Conclusion: Follow-up of donors who test positive for anti-HCV antibodies significantly reduces false-positive results

and improves the reliability of hepatitis C screening.

OL.33

Détection des allo-anticorps anti-érythrocytaires chez les patients polytransfusés et les femmes suivies en obstétrique : étude de 43 cas.

Detection of Erythrocyte Alloantibodies in Polytransfused Patients and Obstetric Women: A Study of 43 Cases.

M'BOH EPI REINE ELISABETH N'GOU[1], reinemboh@hotmail.com ; KONAN EUGENE KOUAME[1]; FLEUR NATACHA NENELOU[1]; KOUABLA LILIANE SIRANSY[2]; SAYDOU KABORE[1]; BAMORY DEMBELE[3]; YASSONGUI MAMADOU SEKONGO[1]

[1] Centre National de Transfusion Sanguine, Côte d'Ivoire

[2] Centre National de Transfusion Sanguine, Côte d'Ivoire; ; Faculté de Médecine et des Sciences Biomédicales, Université Félix Houphouët-Boigny (UFHB)

[3] Centre National de Transfusion Sanguine, Côte d'Ivoire ; UFR des Sciences Pharmaceutiques et Biologiques, Université Félix Houphouët-Boigny (UFHB)

Résumé

Introduction : L'allo-immunisation post-transfusionnelle reste un enjeu majeur, surtout chez les patients polytransfusés et les femmes en âge de procréer, pouvant entraîner des complications sévères. Cette étude visait à déterminer la présence d'anticorps irréguliers anti-érythrocytaires chez ces deux populations au Centre Régional de Transfusion Sanguine (CRTS) de Bouaké. Méthodes : Une étude transversale a été menée de février à septembre 2025. Quarante-trois patients ayant bénéficié d'une recherche d'agglutinines irrégulières (RAI) ont été inclus. Le dépistage a utilisé un panel de quatre cellules tests O, en suspension non traitée et traitée à la papaïne. Les RAI positives ont été explorées par un panel d'identification de onze cellules. Un groupage ABO-Rh, un phénotypage érythrocytaire et un test de Coombs direct ont été réalisés systématiquement. Résultats : Parmi les 43 patients (26 femmes, 17 hommes, âge moyen 36.18 ± 19.38 ans), la majorité provenait des services d'hématologie clinique et d'oncologie. Le groupe O prédominait (74,4 %), et le phénotype ccDeeK- était majoritaire (67,4 %). Une double population pour les antigènes C et/ou E a été notée chez dix patients. Des anticorps irréguliers ont été détectés chez dix patients (23,3 %), dont deux identifiés : anti-E et anti-Fya. Le test de Coombs direct était positif chez 20 patients, et deux cas de pan-agglutination avec témoin autologue positif ont été observés. Discussion et conclusion : La fréquence de l'allo-immunisation (23,3 %) dépasse celle rapportée dans la littérature (5–14 %), reflétant un risque accru chez les patients polytransfusés. Les anticorps identifiés ciblent des antigènes immunogènes. Ces résultats soulignent l'importance d'une recherche systématique des agglutinines irrégulières avant et après transfusion, particulièrement chez les populations à risque, afin de prévenir les complications transfusionnelles.

Abstract

Introduction: Post-transfusion alloimmunization remains a major concern, particularly in polytransfused patients and women of childbearing age, as it can lead to severe complications. This study aimed to determine the presence of irregular erythrocyte antibodies in these two populations at the Bouaké Regional Blood Transfusion Center (CRTS). Methods: A cross-sectional study was conducted from February to September 2025. Forty-three patients who underwent a screening for irregular antibodies (RAI) were included. Screening was performed using a panel of four O-type test cells, in both untreated and papain-treated suspensions. Positive RAIs were further investigated using an eleven-cell identification panel. ABO-Rh blood grouping, erythrocyte phenotyping, and direct Coombs testing were systematically performed. Results: Among the 43 patients (26 women, 17 men; mean age 36.18 ± 19.38 years), most were from clinical hematology and oncology departments. Blood group O predominated (74.4%), and the ccDeeK- phenotype was most frequent (67.4%). A double population for C and/or E antigens was observed in ten patients. Irregular antibodies were detected in ten patients (23.3%), two of which were identified as anti-E and anti-Fya. The direct Coombs test was positive in 20 patients, and two cases of pan-agglutination with a positive autologous control were noted. Discussion and Conclusion: The observed alloimmunization rate (23.3%) exceeds that reported in the literature

(5–14%), indicating an increased risk in polytransfused patients. The identified antibodies targeted highly immunogenic antigens. These findings highlight the importance of systematic screening for irregular antibodies before and after transfusion, particularly in high-risk populations, to prevent transfusion-related complications.

OL.34

Détection moléculaire des gènes de virulence de Candida albicans isolées chez les femmes enceintes au Centre Hospitalier Universitaire d'Angré, Abidjan, Côte d'Ivoire

Molecular detection of virulence genes in Candida albicans strains isolated from pregnant women at University Hospital of Angré, Abidjan, Côte d'Ivoire

Kpongbo Etienne ANGORA[1], angorakpongbo2005@yahoo.fr ; Bénédicte Yekayo KONE[2]; Maurine Aline N'GUIACHI[3]; Matenin Ouattara OUATTARA[3]; N'douba Adèle KACOU[3]

[1] Service de Biologie Médicale Centre Hospitalier et Universitaire de Angré, UFR Sciences Pharmaceutiques et Biologiques, Université Félix Houphouët Boigny, Abidjan, Côte d'Ivoire

[2] Service de Biologie Médicale Centre Hospitalier et Universitaire de Angré,

[3] Service de Biologie Médicale Centre Hospitalier et Universitaire de Angré

Résumé

Introduction : Parmi les espèces de levures responsables des candidoses vulvovaginales, Candida albicans est la plus rencontrée en milieu clinique. Cette espèce est un complexe qui comprend Candida albicans sensu stricto et les espèces apparentées. En Côte d'Ivoire, les données moléculaires de ce complexe sont limitées. L'objectif de cette étude était d'identifier par PCR les souches du complexe Candida albicans et les gènes de virulence chez les femmes enceintes au CHU d'Angré.
Matériel et méthodes : Il s'est agi d'une étude transversale sur 3 mois de Mars à Mai 2025 réalisée au service de Biologie médicale du CHU d'Angré. Elle a porté sur des souches de levures identifiées chez les femmes enceintes par les techniques mycologiques classiques et conservées dans du BCC-glycérol à -20 °C. Une PCR ciblant le gène hwp1 a été utilisée pour différencier Candida albicans, Candida africana et Candida dubliniensis. Les marqueurs de virulence de type HWP1, SAP1 et SAP6 ont été également recherchés.
Résultats : Au total, sur 77 souches de Candida identifiées par les méthodes classiques et conservées, Candida albicans représentaient 48,05%, suivi de Candida krusei (27,27%), Candida tropicalis (12 ,99%), Candida glabrata (11,69%). Par la PCR, Candida albicans sensu stricto a été identifié à 48,05% sur les 37 souches. Aucune souche de Candida dubliniensis et Candida africana n'a été identifiée. Le gène de virulence SAP6 était le plus identifié dans les souches isolées des candidoses vulvovaginales symptomatiques. L'association du profil génotypique HWP1/ SAP1/ SAP6 a été la plus observée à 33,3%.
Conclusion : L'espèce Candida albicans sensu stricto était la seule identifiée dans les souches de levures isolées chez les femmes enceintes. Le gène de virulence SAP6 était associé le plus identifié, ce qui suggère son implication dans la pathogenèse de la candidose vaginale.

Abstract

Introduction: Among yeast species responsible for vulvovaginal candidiasis, Candida albicans is the most commonly observed in clinical settings. This species is a complex that includes Candida albicans sensu stricto and related species. In Côte d'Ivoire, molecular data are spare on this complex. The objective of this study was to molecularly identify Candida albicans complex strains and virulence genes in pregnant women at University Hospital Angré.
Materials and methods: This was a cross-sectional study carried out from March to May 2025 in the Medical Biology service of the University Hospital Angré. It included yeast strains identified in pregnant women using conventional mycological methods and stored in BCC-glycerol at -20°C. PCR targeting the hwp1 gene was used to differentiate between Candida albicans, Candida africana, and Candida dubliniensis. Virulence markers such as HWP1, SAP1, and SAP6 were also investigated.
Results: Of 77 Candida strains identified by conventional methods, Candida albicans accounted for 48.05%, followed by Candida krusei (27.27%), Candida tropicalis (12.99%), and Candida glabrata (11.69%). Using PCR, Candida albicans sensu stricto was identified in 48.05% of the 37 strains. No Candida dubliniensis or Candida africana strains were identified. The SAP6 virulence gene was the

most commonly identified in strains isolated from symptomatic vulvovaginal candidiasis. The HWP1/SAP1/SAP6 genotypic profile was the most commonly observed, at 33.3%.
Conclusion: Candida albicans sensu stricto was the only species identified in yeast strains isolated from pregnant women. The SAP6 virulence gene was the most frequently identified association, suggesting its involvement in the pathogenesis of vaginal candidiasis.

OL.35

Détection passive versus active des réservoirs de Plasmodium falciparum au sein des communautés vivant dans le district sanitaire de Korhogo au Nord de la Côte d'Ivoire

Passive versus active detection of Plasmodium falciparum reservoirs in communities living in the health district of Korhogo northern Côte d'Ivoire

Kigbafori Dieudonné SILUE[1], kigbafori.silue@csrs.ci ; Edjronké Marc Alexis BENIE[2]; Tenena Jean COULIBALY[1]; Issa YEO[1]; Karim TUO[3]; Xavier DING[4]

[1] Université Félix Houphouët-Boigny, Côte d'Ivoire

[2] Université Nangui Abrogoua, , Côte d'Ivoire

[3] Institut Pasteur de Côte d'Ivoire, Côte d'Ivoire

[4] Fondation FIND

Résumé

Introduction : Les données de la morbidité palustre en Côte d'Ivoire résultent principalement de la détection passive des cas dans les établissements sanitaires publiques. Cependant, dans le cadre des efforts d'élimination du paludisme, tous les réservoirs mériteraient d'être identifiés et pris en compte dans les approches de lutte. L'objectif était d'évaluer l'étendue des réservoirs de Plasmodium falciparum au sein des communautés dans un contexte de transmission du paludisme.
Méthodologie : Deux enquêtes transversales ont été menées d'Août 2019 à Février 2020, l'une dans les formations sanitaires (phase passive) et l'autre en milieu communautaire (phase active) dans le district sanitaire de Korhogo au Nord de la Côte d'Ivoire. Un prélèvement de sang capillaire a été effectué chez des patients fébriles consentants puis examiné par le TDR-HRP2, la microscopie et le test d'amplification isotherme induite par boucle de l'ADN (LAMP).
Résultats : Au total, sur 1491 participants reçus lors de la phase passive, 746 fébriles ont été inclus. Pour la phase active, 2178 ménages ont été visités et 184 fébriles provenant de 159 ménages ont été inclus. En milieu hospitalier, les prévalences d'infestations à P. falciparum chez les patients fébriles étaient de 31% (231/746; IC95%: 27,6-34,3), 25,8% (192/744; IC95%: 22,6-28,9) et 40,3% (301/746; IC95%: 36,8-43,9) au TDR, la microscopie et au test LAMP. En milieu communautaire ces prévalences étaient respectivement de 29,3% (54/184; IC95%: 22,7-36,0), 20,9% (38/182*; IC95%: 14,9-26,8) et 43,5% (80/184; IC95%: 36,2-50,7).
Conclusion : La détection active des cas fébriles a mis en évidence des réservoirs de P. falciparum en milieu communautaire à des proportions similaires à celles identifiées dans les structures sanitaires publiques. Ces importants réservoirs en milieu communautaire restent cependant non captés par le système sanitaire national. Ils devraient être identifiés et pris en considération dans les stratégies de lutte contre le paludisme en Côte d'Ivoire.

Abstract

Background: Malaria morbidity data in Côte d'Ivoire are mainly derived from passive case detection in public health facilities. However, as part of malaria elimination efforts, all reservoirs should be identified and taken into account in control strategies. The objective was to assess the extent of Plasmodium falciparum reservoirs within communities in a context of malaria transmission.
Methods: Two cross-sectional surveys were conducted between August, 2019 and February, 2020, one in public health facilities (passive phase) and the other in a community setting (active phase) in the district of Korhogo, northern Côte d'Ivoire. Capillary blood samples were taken from consenting febrile patients and then examined using TDR-HRP2, microscopy, and loop-mediated isothermal amplification (LAMP) testing.
Results: In total, out of 1,491 participants seen during the passive phase, 746 with fever were included. For the active phase, 2,178 households were visited and 184 individuals with fever from 159 households were included. In health facilities, prevalence of P. falciparum among febrile patients was 31% (231/746; 95% CI: 27.6-34.3), 25.8% (192/744; 95% CI: 22.6-28.9), and 40.3% (301/746; 95% CI: 36.8-43.9) by RDT, microscopy, and LAMP test, respectively. In community setting, prevalences of P.

falciparum were 29.3% (54/184; 95% CI: 22.7-36.0), 20.9% (38/182; 95% CI: 14.9-26.8) and 43.5% (80/184; 95% CI: 36.2-50.7), respectively.
Conclusion: Active detection of fever cases has revealed reservoirs of P. falciparum in the community at rates similar to those identified in public health facilities. However, these significant reservoirs in the community remain not targeted by the national health system. They should be identified and taken into account in malaria control strategies in Côte d'Ivoire.

OL.36

Déterminants du retard à la réalisation de césarienne d'urgence selon la classification de Lucas l'Hôpital de Zone de Bembéréké–Sinendé

Determinants of delay in performing emergency cesarean section according to the Lucas classification at the Bembéréké–Sinendé District Hospital.

Roger KLIKPEZO, kliroger@yahoo.fr

Faculté de médecine de l'université de Parakou

Résumé

Introduction : La césarienne d'urgence est une intervention vitale dont l'efficacité dépend du respect des délais opératoires. Leur dépassement demeure fréquent et constitue un enjeu majeur de santé maternelle et néonatale.
Méthode d'étude : Une étude transversale descriptive à visée analytique avec collecte prospective a été menée en 2025 au service de gynécologie-obstétrique de l'Hôpital de Zone de Bembéréké–Sinendé. Elle a inclus exhaustivement 118 gestantes ayant bénéficié d'une césarienne d'urgence. Le retard opératoire, variable dépendante, a été évalué selon la classification de Lucas. Les données ont été recueillies par entrevue et revue documentaire, puis analysées par statistiques descriptives et analytiques, avec régression logistique binaire.
Résultats : L'âge moyen des femmes était de 25,37 ± 5,94 ans. La majorité des indications relevaient du code rouge de Lucas (80,5 %), dominées par la souffrance foetale aiguë (62,1 %). La prévalence du retard de réalisation de la césarienne était de 90,68 %. Les délais moyens décision–extraction étaient de 70,23 ± 45,64 minutes pour les codes rouges et de 90,04 ± 60,56 minutes pour les codes oranges. Le retard était significativement associé à l'occupation du bloc opératoire, à l'absence d'un membre de l'équipe chirurgicale, à la surcharge de travail, au refus ou à l'attente du consentement familial ($p < 0,05$).
Conclusion : Le retard des césariennes d'urgence est très élevé malgré des indications majoritairement vitales, soulignant des défaillances organisationnelles nécessitant des interventions ciblées.

Abstract

Introduction: Emergency cesarean section is a life-saving procedure whose effectiveness depends on timely surgical intervention. Delays remain frequent and represent a major challenge for maternal and neonatal health.
Methods: A descriptive cross-sectional study with an analytical component and prospective data collection was conducted in 2025 in the obstetrics and gynecology department of the Bembéréké–Sinendé District Hospital. A total of 118 women who underwent emergency cesarean section were exhaustively included. Surgical delay, the dependent variable, was assessed using the Lucas classification. Data were collected through interviews and medical record review, then analyzed using descriptive and analytical statistics, including binary logistic regression.
Results: The mean age of participants was 25.37 ± 5.94 years. Most indications fell under Lucas category red (80.5%), mainly acute fetal distress (62.1%). The prevalence of delayed emergency cesarean section was 90.68%. Mean decision-to-delivery intervals were 70.23 ± 45.64 minutes for red codes and 90.04 ± 60.56 minutes for orange codes. Delay was significantly associated with operating theater occupancy, absence of a surgical team member, workload overload, and refusal or delay in obtaining family consent ($p < 0.05$).
Conclusion: Delays in emergency cesarean sections remain extremely high despite predominantly life-threatening indications, highlighting organizational shortcomings that require targeted interventions.

OL.37

Développement d'un modèle d'apprentissage supervisé pour la prédiction des lésions hépatiques induites par le médicament : application aux molécules de la pharmacopée de l'Afrique de l'Ouest

Development of a supervised learning model for predicting drug-induced liver toxicity: application to molecules of the West African pharmacopoeia

Yves M K KANTAGBA, kantagbayves2@gmail.com

Université Joseph Ki Zerbo, Burkina Faso

Résumé

Les plantes médicinales occupent une place importante dans les soins de santé primaires en Afrique de l'Ouest mais leur profil hépatotoxique reste peu documenté. Les atteintes hépatiques demeurent l'une des principales causes d'attrition du médicament en phase de développement clinique avec d'énormes pertes en temps et en ressources financières. Face aux menaces sanitaires comme les pathologies émergentes et dans le contexte à ressources limitées, la prédiction des lésions induites par les phytomolécules est essentielle pour optimiser la recherche et développement de nouveaux médicaments et l'utilisation sûre des remèdes traditionnels. Un modèle de forêt aléatoire a été développé pour prédire l'hépatotoxicité à partir d'un ensemble de caractéristiques combinant neuf descripteurs physico-chimiques et les empreintes moléculaires de Morgan R2 (1024 bits). Les données d'entraînement etaient les composés de référence issus de la base de données « US FDA DILIst » et la validation externe s'est faite sur l'ensemble de données « Greene ». Les performances ont été évaluées par validation croisée imbriquée. Le modèle combinant descripteurs physico-chimiques et empreintes moléculaires a atteint un AUC-ROC externe de 0,83, un AUC-PR de 0,85 et un MCC de 0,55 ; démontrant ainsi une bonne performance et une capacité de généralisation. L'application du modèle à 191 composés phytochimiques de la « pharmacopée d'Afrique de l'Ouest » a révélé que 80,1 % d'entre eux étaient potentiellement hépatotoxiques ; l'acide fusidique et la nicamine avaient les probabilités les plus élevées (> 80 %). Ces résultats confirment l'intérêt et la fiabilité des approches computationnelles pour la prédiction de l'hépatotoxicité et soulignent la nécessité d'une approche pluridisciplinaire dans l'évaluation toxicologique systématique des médicaments traditionnels pour une prise de décision scientifiquement efficiente.

Abstract

Herbal Medicinal plants play a significant role in primary healthcare in West Africa but their hepatotoxic profile remains poorly documented. Liver damage remains a major cause of drug attrition during clinical development, resulting in enormous losses of time and financial resources. Faced with health threats such as emerging diseases and in resource-limited settings, predicting drug-induced liver injury is essential for optimizing research and development of new drugs and ensuring the safe use of traditional remedies. A Random Forest model was developed to predict hepatotoxicity using a combined feature set of nine physicochemical descriptors and Morgan fingerprints R2 (1024 bits). The training dataset included reference compounds from the US FDA DILIst database, while external validation was performed on the Greene dataset. Model performance was assessed using nested cross-validation. The combined descriptors-fingerprints model achieved an external AUC-ROC of 0.83, AUC-PR of 0.85, and MCC of 0.55, demonstrating good performance and generalization capacity. Application of the model to 191 phytochemicals from the West African pharmacopoeia indicated that 80.1% were potentially hepatotoxic, with fusidic acid and nicamin showing the highest probabilities (>80%). These results confirm the interest and reliability of computational approaches for predicting hepatotoxicity and highlight the need for a multidisciplinary approach in the systematic toxicological evaluation of traditional drugs for scientifically efficient decision-making.

OL.38

Développement et évaluation d'un score pronostic clinique de la mortalité chez les patients hospitalisés pour coup de chaleur dans un contexte de ressources limitées : cas du Burkina Faso

Development and evaluation of a mortality prognostic score of hospitalized patients for Heat Stroke in a resource-limited setting: The case of Burkina Faso

Yves M K KANTAGBA, kantagbayves2@gmail.com

Université Joseph Ki Zerbo, Burkina Faso

Résumé

Le coup de chaleur est une urgence médicale saisonnière en Afrique de l'Ouest. L'identification précoce des patients à haut risque est cruciale pour optimiser leur prise en charge. Actuellement, il n'existe pas de score pronostique simple et validé pour cette affection. Cette étude visait à développer un score pronostic de mortalité chez les patients hospitalisés pour coup de chaleur au CHU de Bogodogo, au Burkina Faso. Il s'agissait d'une étude transversale rétrospective sur 167 patients hospitalisés pour coup de chaleur. Une analyse univariée a été réalisée pour identifier les facteurs prédictifs ($p < 0,05$) puis une régression logistique multivariée pour sélectionner les prédicteurs indépendants, enfin un score pronostic a été établi. La validation a été effectuée par bootstrap (1000 itérations). Les performances ont été évaluées à l'aide de l'aire sous la courbe ROC. Sur 167 patients (âge moyen : 72,8 ± 10,9 ans), 86 (51,5 %) sont décédés. Cinq critères cliniques ont été identifiés : score de Glasgow < 10 (3 points), âge ≥ 60 ans (2 points), température ≥ 40 °C (1 point), ≥ 2 comorbidités (1 point) et détresse respiratoire (1 point). Le score GATCD (0-8 points) a démontré d'excellentes performances discriminatoires (AUC-ROC = 0,854 ; IC : 0,796-0,911). Au seuil optimal de 5 points, la sensibilité était de 81,4 % et la spécificité de 81,5 %. La stratification identifie trois groupes : risque faible (0-2 points, mortalité : 20 %), risque modéré (3-5 points, mortalité : 27 %) et risque élevé (6-8 points, mortalité : 86 %). Le score GATCD est un outil simple, rapide qui pourrait faciliter le triage ou l'orientation des patients et adapter l'intensité des soins. Une validation externe sur un large échantillon de données est encore nécessaire et/ou une évaluation en pratique clinique.

Abstract

Heatstroke is a serious medical emergency with a high seasonal mortality rate. Early identification of high-risk patients is crucial for optimizing care. Currently, no simple and validated prognostic score exists for this condition in sub-Saharan Africa. This study aimed to develop and validate a simple prognostic score to predict mortality in patients hospitalized for heatstroke at the University Hospital of Bogodogo, Burkina Faso. This was a retrospective cross-sectional study including 167 patients hospitalized for heatstroke from March 1 to May 31, 2024. Univariate analysis was performed to identify predictive factors ($p < 0.05$). Multivariate logistic regression with LASSO regularization was used to select independent predictors. A simple score was developed based on five readily available clinical criteria. Validation was performed using bootstrapping (1000 iterations). Performance was assessed using the area under the ROC curve. Of 167 patients (mean age 72.8 ± 10.9 years), 86 (51.5%) died. Five independent risk factors were identified: Glasgow Coma Scale score < 10 (3 points), age ≥ 60 years (2 points), temperature ≥ 40°C (1 point), ≥ 2 comorbidities (1 point), and respiratory distress (1 point). The GATCD score (0-8 points) demonstrated excellent discriminatory performance (AUC-ROC = 0.854; 95% CI: 0.796-0.911). At the optimal threshold of 5 points, the sensitivity was 81.4% and the specificity 81.5%. Stratification identifies three groups: low risk (0-2 points, mortality 20%), moderate risk (3-5 points, mortality 27%), high risk (6-8 points, mortality 86%). The GATCD score is a simple, rapid, and effective tool for predicting mortality and stratifying risk in patients suffering from heat stroke. It could facilitate triage or reference and guide the intensity of care. External validation with large dataset and/or clinical practice assessment.

OL.39

Devenir à un mois des cas d'atteinte rénale aiguë au cours du paludisme grave chez les enfants au centre hospitalier universitaire départemental du borgou (benin)

Outcome at one month of cases of acute renal failure due to severe malaria in children at the departmental teaching hospital of borgou (benin)

Aimé Mahougnon VINASSE[1], aimevinasse@gmail.com ; Séraphin AHOUI[2]; Gérard KPANIDJA[2]; Missikê MELIKAN[1]; Joseph GODONOU[1]; Jacques VIGAN[1]

[1] Faculté des Sciences de la Santé, Université d'Abomey Calavi, Bénin

[2] Faculté de Médecine, Université de Parakou, Bénin

Résumé

Introduction : La prise en charge de l'atteinte rénale aiguë (ARA) au cours du paludisme grave de l'enfant représente un défi considérable dans nos milieux.
Objectif : Etudier le devenir à un mois des cas d'ARA au cours du paludisme grave chez les enfants au Centre Hospitalier Universitaire Départemental du Borgou (Benin) en 2024.
Méthodes : Il s'agissait d'une étude de suivi longitudinal menée dans le service de pédiatrie du CHUD B dont la collecte de données s'est déroulée du 1er juin 2024 au 31 août 2024. Étaient inclus les enfants âgés d'un mois à 15 ans, ayant un paludisme grave à Plasmodium falciparum, présentant une atteinte rénale aiguë selon KDIGO 2012 et dont le consentement du parent était obtenu. La variable dépendante était le pronostic de l'atteinte rénale aiguë. Le suivi a concerné l'évolution des signes cliniques et de la créatininémie à J7, avant la sortie et toutes les semaines.
Résultats : Sur les 204 enfants inclus, 43 soit 21,1% avaient une atteinte rénale aiguë. Du point de vue de la sévérité, 46,5% et 48,8% avaient présenté respectivement les stades I et III selon KDIGO 2012. La moyenne d'âge des enfants était de 57,3 mois ± 37,6 mois et le sex-ratio de 1,4. L'oligurie était présente dans 90,2% des cas. Sur le plan évolutif, le taux de mortalité était de 18,6%. Tous les survivants avaient eu une amélioration clinique et des données paracliniques. Conclusion : Un enfant hospitalisé pour paludisme grave sur cinq a présenté une atteinte rénale aiguë. Sa prise en charge doit être anticipée devant tout cas de paludisme grave.

Abstract

Introduction : The management of acute kidney injury (AKI) during severe malaria in children represents a considerable challenge in our environments.
Objective : To study the one-month outcome of AKI cases of severe malaria in children at the Departmental Teaching Hospital of Borgou and Alibori (Benin) in 2024.
Methods : This was a longitudinal follow-up study conducted in the paediatric department of CHUD B. Data collection took place from 1 June 2024 to 31 August 2024. Children aged between one month and 15 years with severe Plasmodium falciparum malaria, presenting with acute kidney injury according to KDIGO 2012 and with parental consent were included. The dependent variable was the prognosis of the acute kidney injury. Follow-up included changes in clinical signs and creatinine levels at D7, before discharge and weekly.
Results : Of the 204 children included, 43 (21.1%) had acute kidney injuries. In terms of severity, 46.5% and 48.8% were KDIGO 2012 stages I and III respectively. The average age of the children was 57.3 months ± 37.6 months, and the sex ratio was 1.4. Oliguria was present in 90.2% of cases. The mortality rate was 18.6%. All survivors had improved clinically and paraclinically.
Conclusion : One child in five hospitalized for severe malaria has been presented with acute kidney damage. Any case of severe malaria must be treated in advance.

OL.40

Devenir et causes de la perte de vue chez PVVIH suivies dans un centre de prise en charge au Nord-Bénin

Outcomes and Causes of Loss to Follow-up Among People Living with HIV (PLHIV) Followed at a Care Center in Northern Benin

Adébayo Alassani[1], adebayoalassani@gmail.com ; Abdou-Badiou Djibril[1]; Cossi Angelo Attinsounon[1]

[1] Faculté de Médecine, Université de Parakou, Bénin

Résumé

Introduction : Parmi les problèmes auxquels est confronté le suivi des personnes vivant par le VIH (PVVIH) figure la perte de vue. La présente étude s'est intéressée au devenir et aux causes des PVVIH perdues de vue.
Cadre et Méthodes : il s'est agi d'une étude transversale et descriptive avec recueil prospectif des données. La population d'étude était constituée des PVVIH perdues de vue, des deux sexes, âgées de plus de 15 ans, suivies à Parakou. Les variables étudiées étaient relatives au devenir et aux raisons de la perte de vue et au devenir des PVVIH. L'analyse des données était faite par le logiciel Epi Info version 7.2.
Résultats : La population d'étude était constituée de 293 PVVIH avec une moyenne d'âge de 37,72±12,24 ans. Une prédominance féminine (65,12 %). Le devenir des PVVIH perdues de vue était caractérisé par le décès (9,90%), 11,94 % n'étaient pas retrouvées et 78,16 % vivantes. Parmi les PVVIH vivantes, la majorité avait changé de site de prise en charge (50,61 %) ou arrêter les antirétroviraux (42,35 %). Les raisons de la perte de vue étaient dominées par la stigmatisation (60,26 %).
Conclusion : La majorité des PVVIH perdues de vue était vivante et avait changé de site de traitement ou arrêté les antirétroviraux. La principale raison de la perte de vue était la stigmatisation.

Abstract

Introduction: Loss to follow-up is one of the challenges faced by the care of people living with HIV (PLHIV). This study focused on the outcomes and causes of loss to follow-up among PLHIV.

Settings and Methods: This was a cross-sectional, descriptive study with prospective data collection. The study population consisted of PLHIV lost to follow-up, of both sexes, aged over 15 years, followed in Parakou. The variables studied related to outcomes, reasons for loss to follow-up, and the outcomes of PLHIV. Data analysis was performed using Epi Info version 7.2 software.

Results: The study population consisted of 293 people living with HIV (PLHIV) with a mean age of 37.72 ± 12.24 years. There was a female predominance (65.12%). The outcomes for PLHIV lost to follow-up were characterized by death (9.90%), 11.94% could not be located, and 78.16% were alive. Among the living PLHIV, the majority had changed treatment sites (50.61%) or discontinued antiretroviral therapy (42.35%). The reasons for loss to follow-up were primarily stigmatization (60.26%).

Conclusion: The majority of PLHIV lost to follow-up were alive and had changed treatment sites or discontinued antiretroviral therapy. The main reason for loss to follow-up was stigmatization.

OL.41

Diagnostic Moléculaire de Mycobacterium ulcerans en Côte d'Ivoire : Étude Rétrospective des données de 2019 à 2024

Molecular Diagnosis of Mycobacterium ulcerans in Côte d'Ivoire: Retrospective Study of Data from 2019 to 2024

Aby Christiane Amon[1], abychristiane@gmail.com ; Sylvie Mireille Kouamé-Sina[2]; Grace Rebecca Aké-Bogni[3]; Konan Albert Yavo[2]; Aboubacar Sylla[2]; N'Golo David Coulibaly[2]; Solange Elise Kakou-Ngazoa[2]

[1] Institut Pasteur de Côte d'Ivoire

[2] Institut Pasteur de Côte d'Ivoire, Côte d'Ivoire

[3] Université Alassane Ouattara de Bouaké, Côte d'Ivoire

Résumé

L'ulcère de Buruli, causé par Mycobacterium ulcerans, demeure une maladie tropicale négligée et constitue un important problème de santé publique en Côte d'Ivoire. Le diagnostic moléculaire représente aujourd'hui la méthode de référence pour confirmer les cas suspects. Cette étude rétrospective a porté sur les données de diagnostic moléculaire réalisées à l'Institut Pasteur de Côte d'Ivoire entre 2019 et 2024. L'objectif de cette étude était d'évaluer la contribution du diagnostic moléculaire à la confirmation des cas suspects d'ulcère de Buruli en Côte d'Ivoire. Au total, 1 619 échantillons ont été analysés par PCR en temps réel après extraction de l'ADN par lyse bactérienne alcaline à l'aide du kit GenoLyse. Parmi eux, 881 (54,41 %) se sont révélés positifs. L'ulcère de Buruli touche aussi bien les hommes que les femmes. La distribution géographique met en évidence une forte prévalence de 67,9 % et 63,6% respectivement dans les districts d'Agboville et de Daloa . Enfin, parmi tous les types de prélèvements, seuls les écouvillons ont été plus sensibles au diagnostic de la qPCR (36,87 % des cas positifs). Avec plus de 50% des échantillons analysés confirmés positifs, la PCR ciblant l'IS2404 s'affirme comme un outil indispensable pour le diagnostic fiable de Mycobacterium ulcerans.

Abstract

Buruli ulcer, caused by Mycobacterium ulcerans, remains a neglected tropical disease and constitutes a significant public health issue in Côte d'Ivoire. Molecular diagnosis is currently the reference method for confirming suspected cases. This retrospective study focused on molecular diagnostic data obtained at the Institut Pasteur of Côte d'Ivoire from 2019 to 2024. The aim of this research was to evaluate the contribution of molecular diagnosis in confirming suspected Buruli ulcer cases in Côte d'Ivoire. A total of 1,619 samples were analyzed using real-time PCR following DNA extraction via alkaline bacterial lysis using the GenoLyse kit. Among these, 881 (54.41%) tested positive. Buruli ulcer affects both men and women. Geographic distribution shows a high prevalence of 67.9% and 63.6% in the Agboville and Daloa districts, respectively. Finally, among all sample types, swabs were significantly more sensitive for qPCR diagnosis (36.87% of positive cases). With over 50% of analyzed samples confirmed positive, PCR targeting IS2404 proves to be an essential tool for reliable diagnosis of Mycobacterium ulcerans.

OL.42

Dire la « tension » : Représentations populaire de l'hypertension artérielle : écarts avec le savoir biomédical et enjeux de santé publique au Burkina Faso.

Speaking of "tension": lay module of hypertension, gaps with biomedical knowledge, and public health stakes in Burkina Faso

Wambi Maurice Evariste YAMEOGO, yamwamb@gmai.com

Institut Africain de Santé Publique(IASP), Burkina Faso.

Résumé

Introduction : Au-delà de sa dimension biomédicale, l'HTA s'inscrit dans des univers de sens locaux qui structurent sa prise en charge. À partir du concept de nosologie populaire d'Olivier de Sardan, cette étude analyse le contenu et la construction des représentations sociales de l'HTA chez les patients burkinabè.

Méthodes : Cette étude qualitative s'appuie sur 41 entretiens semi-directifs réalisés avec des patients hypertendus (27 femmes, 14 hommes) au Burkina Faso (Ouagadougou et Kaya). Les participants étaient âgés de 28 à 70 ans, majoritairement en union (34/41) et sans instruction formelle (31/41). Les données ont été analysées par catégories conceptualisantes selon Paillé.

Résultats : L'hypertension artérielle apparaît comme une nosologie récente sans équivalent dans les catégories morbides locales. Sa nomination profane procède d'un emprunt au registre biomédical : l'hypertension artérielle devient la « tension », conservant une filiation savante tout en servant de support à une reconfiguration locale.
Le noyau représentationnel s'organise autour d'une maladie grave en raison des complications redoutées (hémiplégie/AVC). Elle est « objectivée » par des signes corporels (maux de tête, vertiges, douleurs) ce qui crée un décalage avec la logique biomédicale d'une pathologie qui peut évoluer pendant longtemps de façon silencieuse.
L'HTA est pensée comme une maladie « prosaïque » aux étiologies variées, mobilisant le registre psychosocial (stress et épreuves émotionnelles) qui coexiste avec des causes biomédicales incorporées via la relation thérapeutique (notamment l'hérédité). L'alimentation dite moderne , avec l'usage de bouillon, constitue un registre explicatif mobilisé de manière inégale, et construit à partir du discours médical sur le régime hyposodé.
Bien que la chronicité de l'HTA soit admise, l'espoir d'une guérison totale persiste et s'investit dans le registre religieux.

Conclusion : Les représentations plurielles de l'HTA, oscillant entre au Burkina Faso s'articulent biomédecine, vécu et culture. Les actions de santé publique doivent s'appuyer sur ces représentations pour coconstruire, avec les communautés, des messages de prévention et parcours de soins intégrant ces logiques locales. Cette médiation culturalisée est essentielle pour améliorer l'efficacité des stratégies de prise en charge des maladies chroniques en Afrique.

Abstract

Introduction:. Beyond its biomedical definition, hypertension is embedded in local worlds of meaning that shape how it is understood and managed. Drawing on Olivier de Sardan's notion of popular nosology, this study examines the content and social construction of hypertension representations among Burkinabè patients.
Methods: This qualitative study is based on 41 semi-structured interviews conducted with people living with hypertension (27 women, 14 men) in Burkina Faso (Ouagadougou and Kaya). Participants were aged 28–70 years, mostly partnered (34/41) and with no formal schooling (31/41). Data were analyzed using Paillé's conceptualizing categories approach.
Results: Hypertension emerges as a relatively recent nosological category with no direct equivalent in local illness classifications. Its lay naming relies on borrowing from biomedical registers:

“hypertension” becomes “tension,” retaining an expert lineage while enabling local reconfiguration. The representational core centers on a serious disease because of feared complications (hemiplegia/stroke). Hypertension is frequently “objectified” through bodily signs (headaches, dizziness, pain), which creates a mismatch with the biomedical view of a condition that may remain silent for long periods. Hypertension is also framed as a “prosaic” illness with multiple etiologies. Psychosocial explanations (stress and emotional ordeals) are prominent and coexist with biomedical causes incorporated through therapeutic encounters (notably heredity). “Modern” diet—especially the use of bouillon cubes—appears as an explanatory register unevenly mobilized and largely constructed through medical discourse on salt restriction. Although hypertension’s chronic nature is broadly acknowledged, hope for a complete cure persists and is often invested in religious registers.
Conclusion: In Burkina Faso, hypertension representations intertwine biomedicine, lived experience, and culture. Public health interventions should build on these representations to co-produce, with communities, prevention messages and care pathways that integrate local logics. Such culturally mediated work is essential to improve the effectiveness of chronic disease management strategies in Africa.

OL.43

DISTRIBUTION DES GLOSSINES ET EVALUATION DE LA PREVALENCE DE LA TRYPANOSOMIASE BOVINE DANS AU MALI

DISTRIBUTION OF TSETSE FLIES AND ASSESSMENT OF THE PREVALENCE OF BOVINE TRYPANOSOMIASIS IN MALI

Astan TRAORE[1], astan_traore@yahoo.fr ; Ousmane Ibrahim KONE[2]; Bintou LY[1]; Modibo DIARRA[3]

[1] USTTB

[2] IPR/IFRA

[3] DNSV

Résumé

En Afrique subsaharienne, l'élevage est une source de revenus pour de nombreuses personnes. Il est confronté
aux contraintes de la trypanosomiase animale africaine (TAA). La lutte antivectorielle et le traitement des animaux constituent l'un des moyens de lutter contre ce fléau. Plusieurs projets de lutte contre la T&T ont été réalisés depuis plus d'un siècle, le plus récent, la PATTEC. Au Mali, de 2007 à 2009, PATTEC-Mali a réalisé des campagnes de lutte dans le bassin du fleuve Niger. Au total, 10998 pièges imprégnés d'insecticides ont été déployés, 2312 doses de produits trypanocides administrées aux animaux. Des contrôles bi-saisonniers ont été réalisés. En 2011, deux ans après l'arrêt des campagnes un suivi bi-saisonnier a été effectué sur 720 bovins sélectionnés de manière stratifiée et aléatoire. La technique de diagnostic utilisée était celle de Murray. Ces suivis ont montré que la densité avait chuté de 4,04 en 2007 à 0,09 glossine/piège /jour en 2009 (P<0,0001) soit un taux de réduction de 97,77 %. La prévalence a diminué de 7,04% à 0,36% en 2009 (P<0,05). En 2011, après la suspension des campagnes de lutte, la prévalence a sensiblement drastiquement augmenté, 8,75% en saison froide, 9,16% en saison pluvieuse, et 6,36% en saison chaude. En 2020, une recrudescence de la DAP était enregistrée (3,56 glossines /piège/jour) avec une prévalence moyenne de 7,01% chez les bovins. Ces résultats montrent que le traitement prophylactique, le contrôle des vecteurs, étaient positivement corrélés avec la réduction de la DAP et le taux d'infection des bovins. La lutte chimique combinée au traitement des animaux permet de contrôler la densité des glossines et le taux d'infection des animaux par la trypanosomiase. Cependant, le risque de recrudescence demeure avec la population résiduelle.

Abstract

In sub-Saharan Africa, livestock farming is a source of income for many people. It faces
the constraints of African animal trypanosomiasis (AAT). Vector control and animal treatment are one way of combating this scourge. Several projects to combat AIT have been carried out over more than a century, the most recent being PATTEC. In Mali, from 2007 to 2009, PATTEC-Mali carried out control campaigns in the Niger River basin. A total of 10,998 insecticide-treated traps were deployed and 2,312 doses of trypanocidal products were administered to animals. Bi-seasonal checks were carried out. In 2011, two years after the campaigns ended, biannual monitoring was carried out on 720 cattle selected in a stratified and random manner. The diagnostic technique used was Murray's technique. These follow-ups showed that density had fallen from 4.04 in 2007 to 0.09 tsetse flies/trap/day in 2009 (P<0.0001), representing a reduction rate of 97.77%. Prevalence decreased from 7.04% to 0.36% in 2009 (P<0.05). In 2011, after the suspension of control campaigns, prevalence increased significantly, reaching 8.75% in the cold season, 9.16% in the rainy season, and 6.36% in the hot season. In 2020, an upsurge in DAP was recorded (3.56 tsetse flies/trap/day) with an average prevalence of 7.01% in cattle. These results show that prophylactic treatment and vector control were positively correlated with the reduction in TSS and the infection rate in cattle. Chemical control combined with animal treatment makes it possible to control tsetse fly density and the infection rate of animals with trypanosomiasis. However, the risk of resurgence remains with the residual population.

OL.44

DIVERSITE DES PHLEBOTOMES ET TRANSMISSION DE IA LEISHMANIOSE EN ZONES RURALES DANS LA REGION DU GBÊKÊ, CENTRE DE LA COTE D'IVOIRE

SPECIES DIVERSITY AND TRANSMISSION OF LEISHMANIASIS IN RURAL AREAS OF THE REGION OF GBÊKÊ, CENTRAL CÔTE D'IVOIRE

Yolande K. E. Bénédicte[1], eba.kouassi09@gmail.com ; Clarisse A. Houngbedji[1]; Rita K. Assovie[1]; Mahama Touré[1]

[1] Centre d'Entomologie Médicale et Vétérinaire, Université Alassane Ouattara, Bouaké, Côte d'Ivoire

Résumé

Contexte : En Côte d'Ivoire, la diversité des phlébotomes et la transmission de la leishmaniose sont encore très peu étudiées. Ainsi, la présente étude visait à évaluer la composition spécifique des phlébotomes et leur rôle dans la transmission de Leishmania spp. en zones rurales dans la région de Gbêkê au centre de la Côte d'Ivoire.
Méthodes : Les phlébotomes adultes ont été collectés à l'aide des pièges lumineux CDC et des pièges huileux dans les villages de Minankro et Golikro en saison sèche (Février à Mars 2025) et en saison pluvieuse (Avril et Mai 2025). Apres l'identification morphologique des phlébotomes capturés, les femelles ont été analysées pour mettre en évidence l'infection des Leishmania spp. a été effectuée à l'aide de la technique Polymerase Chain Reaction (PCR).
Résultats : Au total, 91 phlébotomes ont été identifiés. Ils ont été répartis en deux genres (Sergentomyia et Phlebotomus) et neuf espèces (Se.africana, Se.schwetzi, Se.squamipleuris, Se.inermis, Se.adami, Se.dureni). Le genre Sergentomya (60,44% ; n = 55) était plus abondant que le genre Phlebotomus (39,56% ; n = 36). Ph. rodhaini (31,87% ; n = 29) dominait la faune phlébotomienne. Ph. rodhaini (46,15% ; n = 6) était plus abondante en saison sèche, tandis que Se. africana (29,49% ; n = 23) et Ph. rodhaini (29,49% ; n = 23) dominaient durant la saison pluvieuse. Aucune infection aux Leishmania spp. n'a été détectée chez les femelles analysées (n = 65).
Conclusion : Cette étude révèle une forte diversité spécifique de phlébotomes, vecteurs potentiels de leishmaniose, augurant ainsi un risque de transmission élevé. Leishmania spp. n'a pas été détectée, probablement dû au faible nombre d'individus analysés. Une poursuite de la surveillance entomologique et une protection des populations locales sous des moustiquaires imprégnées d'insecticides sont recommandées.

Abstract

Background: In Côte d'Ivoire, the diversity of sandflies and the transmission of leishmaniasis have been little studied. This study aimed to assess the species composition of sandflies and their role in the transmission of Leishmania spp. in rural areas of the Gbêkê region in central Côte d'Ivoire.
Methods: Adult sandflies were collected using CDC light traps and oil traps in the villages of Minankro and Golikro during the dry season (February to March 2025) and the rainy season (April and May 2025). collected sandflies were identified morphologically. Sandfly females were analyzed for Leishmania spp. infection using the Polymerase Chain Reaction (PCR) technique.
Results: A total of 91 sandflies were identified. They were divided into two genera (Sergentomyia and Phlebotomus) and nine species (Se.africana, Se.schwetzi, Se.squamipleuris, Se.inermis, Se.adami, Se.dureni). The genus Sergentomya (60.44%; n = 55) was more abundant than the genus Phlebotomus (39.56%; n = 36). Ph. rodhaini (31,87%; n = 29) dominated the sandfly fauna. Ph. rodhaini (46.15%; n = 6) was more abundant in the dry season, while Se. africana (29.49%; n = 23) and Ph. rodhaini (29.49%; n = 23) dominated during the rainy season. No Leishmania spp. infection was detected in the females analyzed (n = 65).
Conclusion: This study reveals a high species diversity of sandflies, including potential vectors of leishmaniasis, thus indicating a high risk of transmission. Leishmania spp. was not detected, probably due to the small number of individuals analyzed. Continued entomological surveillance and protection of local populations with insecticide-treated bednets are recommended.

OL.45

Diversité des vecteurs potentiels d'arbovirus dans un site universitaire d'Abidjan, en contexte de forte incidence de la dengue en Côte d'Ivoire

Diversity of potential arbovirus vectors at a university site in Abidjan, in a context of high dengue incidence in Côte d'Ivoire

NEGNOROGO GUINDO-COULIBALY[1], coulnegno1@yahoo.fr ; ZANAKOUNGO IBRAHIMA COULIBALY[2]; YAO LUCIEN KONAN[3]; KOFFI LADJI YAO[3]; EDMOND CHARLES BASSELI[1]; MARIE SOLANGE TIEBRE[4]; MAMADOU CHERIF[1]

[1] UFR Biosciences, Université Félix Houphouët-Boigny, Côte d'Ivoire

[2] Département Environnement et Santé, Institut Pasteur, Côte d'Ivoire

[3] Service d'Entomologie Médicale, Institut National d'Hygiène Publique, Côte d'Ivoire

[4] Centre National de Floristique, Université Félix Houphouët-Boigny, Côte d'Ivoire

Résumé

Les moustiques transmettent plusieurs arbovirus en Côte d'Ivoire, notamment la dengue, qui est récurrente dans le district sanitaire de Cocody-Bingerville. En 2022 face à une nuisance culicidienne marquée, la Direction du Centre National de Floristique de l'Université Félix Houphouët-Boigny, situé dans ce district, a initié une investigation entomologique afin d'évaluer l'ampleur du phénomène et mettre en place des mesures de protection des travailleurs. Cette étude visait à caractériser les moustiques vecteurs et apprécier le risque entomologique de transmission au sein de ce centre.
Les moustiques ont été collectés de mars 2023 à janvier 2024, tous les deux mois, par des prospections larvaires et captures d'adultes à l'aide de pièges BG Sentinel. Après identification morphologique, des lots monospécifiques de vecteurs potentiels d'arbovirus ont été constitués pour la recherche virale par RT-PCR.
Un total de 2 141 moustiques, répartis en 5 genres et 20 espèces, a été collecté. Les indices de diversité Dominance_D (0,55), Simpson 1-D (0,45), Shannon_H (1,10) et Equitability_J (0,38) indiquaient une diversité modérée avec la dominance marquée des deux principaux vecteurs d'arbovirus Aedes. aegypti (72% des collectes) et Aedes albopictus (11,2 %). 50% des gîtes contenaient des larves des vecteurs, principalement les Autres gîtes (66,7%), pneus (50%), récipients abandonnés (48,9%) et gîtes naturels (48,6%). Les densités des vecteurs étaient globalement similaires entre les différents types de gîtes à l'exception de celle de Ae. aegypti, plus abondante dans les Autres gîtes que dans les gîtes naturels. Les densités agressives des femelles étaient de 9,6 et 0,24 femelles/piège/jour pour Ae. aegypti et Ae. albopictus respectivement, sans différence significative. Aucune infection virale (Dengue, Chikungunya, Zika) n'a été détectée.
La présence de vecteurs adaptés aux gîtes recensés souligne l'importance d'une surveillance continue dans cet environnement afin de prévenir la transmission des arbovirus en Côte d'Ivoire.

Abstract

Mosquitoes transmit several arboviruses in Côte d'Ivoire, particularly dengue, which is recurrent in the Cocody-Bingerville health district. In 2022, faced with marked mosquito nuisance, the Directorate of the National Center for Floristics at the Félix Houphouët-Boigny University, located in this district, initiated an entomological investigation to assess the extent of the issue and implement measures to safeguard staff. The aim of this study was to characterise the mosquito vectors and assess the entomological risk of transmission within the centre.
Mosquitoes were collected every two months from March 2023 to January 2024 by larval surveys and adult captures using BG Sentinel traps. Following morphological identification, monospecific batches of potential arbovirus vectors were formed for viral research using RT-PCR.
A total of 2,141 mosquitoes, divided into 5 genera and 20 species, were collected. Diversity indices Dominance_D (0.55), Simpson 1-D (0.45), Shannon_H (1.10) and Equitability_J (0.38) indicated moderate diversity, with the two main arbovirus vectors, Aedes aegypti (72% of collections) and Aedes albopictus (11.2%), showing marked dominance. 50% of breeding sites contained vector larvae, mainly Other breeding sites (66.7%), tyres (50%), discarded containers (48.9%) and natural breeding sites

(48.6%). Vector densities were generally similar between different types of breeding sites, except for Ae. aegypti, which was more prevalent in Other breeding sites than in natural breeding sites. Aggressive densities of females were 9.6 and 0.24 females/trap/day for Ae. aegypti and Ae. albopictus respectively, with no significant difference. No viral infection (Dengue, Chikungunya, Zika) was detected.
The presence of vectors adapted to the identified breeding sites emphasises the importance of ongoing surveillance in this area to prevent the transmission of arboviruses in Côte d'Ivoire.

OL.46

Diversité malacologique et risques de transmission des schistosomes et paramphistomes dans les régions du Centre et des Hauts-Bassins (Burkina Faso)

Malacological diversity and risks of transmission of schistosomes and paramphistomes in the center and Hauts-Bassins regions (Burkina Faso)

Noellie Debora BALIMA[1], balimand994@gmail.com ; Salam SANKARA[1]; Winkom Noellie KPODA[1]; Idrissa OUEDRAOGO[2]; Rimwaodo Pierre SILGA[1]; Hermann SORGHO[3]; Awa GNEME[1]

[1] Laboratoire de Biologie et Ecologie Animales, Université Joseph KI-ZERBO, Burkina Faso

[2] Centre Universitaire de Dori, Université Thomas SANKARA/Laboratoire de Biologie et Ecologie Animales, Université Joseph KI-ZERBO, Burkina Faso

[3] Institut de Recherche en Sciences de la Santé (IRSS)/Laboratoire de Biologie et Ecologie Animales, Université Joseph KI-ZERBO, Burkina Faso

Résumé

Introduction : Au Burkina Faso, les gastéropodes dulçaquicoles jouent un rôle clé dans la transmission des trématodes posant ainsi des défis sanitaire et économique majeurs. Cette étude évalue la diversité des gastéropodes d'eau douce et les taux d'infection larvaire, avec un focus sur les genres schistosoma et paramphistomum.
Matériel et méthodes : Pour atteindre nos objectifs, une enquête malacologique a été menée dans vingt-quatre sites pendant onze mois. L'infection naturelle des spécimens collectés a été détectée en combinant la méthode d'excrétion cercarienne à la méthode de dissection.
Résultats : A l'issu de ces enquêtes, 5007 gastéropodes d'eau douce, répartis en neuf espèces ont été collectés. Parmi les neufs espèces, Bulinus truncatus prédominait avec un pourcentage de 24,95%. Le taux d'émission de cercaires du groupe Schistosoma/Paramphistomum était de 0,60 %. Par ailleurs, 3,76% des gastéropodes ont été infectés par d'autres groupes de trématodes.
Conclusion : Ces résultats démontrent que les zones d'étude constituent des foyers épidémiologiques critiques en raison de la présence d'une grande variété de gastéropodes qui, en plus d'être infectés par des schistosomes et paramphistomes, sont également infectés par d'autres groupes de trématodes qui peuvent être dangereux pour l'homme et les animaux. En conséquence, il est impératif d'instaurer une surveillance pérenne et d'intégrer des stratégies de lutte malacologique dans les politiques de la santé publique régionale.

Abstract

Introduction: In Burkina Faso, freshwater gastropods play a key role in the transmission of trematodes, posing major health and economic challenges. This study assesses the diversity of freshwater snails and larval infection rates, with a focus on the genera Schistosoma and Paramphistomum.
Material and methods: To achieve our objectives, a malacological survey was conducted at twenty-four sites over eleven months. Natural infection of the collected specimens was detected by combining the cercaria excretion method with the dissection method.
Results: At the end of these surveys, 5,007 freshwater snails, divided into nine species, were collected. Among the nine species, Bulinus truncatus predominated with a percentage of 24.95%. The cercariae emission rate of Schistosoma/Paramphistomum group was 0.60%. In addition, 3.76% of gastropods were infected by other groups of trematodes.
Conclusion: These results demonstrate that the study areas are critical epidemiological hotspots due to the presence of a wide variety gastropods which, in addition to being infected with schistosomes and paramphistomes, are also infected with other groups of trematodes that can be dangerous to humans and animals. Consequently, it is imperative to establish ongoing surveillance and integrate malacological control strategies into regional public health policies.

OL.47

Diversité moléculaire de Staphylococcus aureus chez des isolats cliniques humains à Abidjan révélée par sequencage rpoB et typage spa

Molecular diversity of Staphylococcus aureus among human clinical isolates in Abidjan revealed by rpoB sequencing and spa typing

Djaman Nguesssan Carole Obouayeba[1], caroleobouayeba@gmail.com ; Kobina Amandze Adams Kofi[2]; Silke Niemann[3]; Adele Kacou-Ndouba[4]; Allico Joseph Djaman[5]

[1] Université Félix Houphouët Boigny, CHU Angré Cote d'Ivoire

[2] Université Félix Houphouët Boigny, CHU Treichville, Cote d'Ivoire

[3] Institut für Medizinische Mikrobiologie Universitätsklinikum Münster, Allemagne

[4] CHU Angré, Universite Félix Houphouët Boigny, Cote d'Ivoire

[5] Institut Pasteur, Université Félix Houphouët Boigny, Cote d'Ivoire

Résumé

Contexte. Staphylococcus aureus est un agent majeur d'infections humaines en Afrique subsaharienne. Il appartient désormais à un groupe appelé complexe Staphylococcus aureus, regroupant plusieurs espèces récemment décrites présentant des caractères phénotypiques proches de S. aureus. L'identification de routine dans nos laboratoires repose toutefois sur des caractères phénotypiques qui, dans ce contexte, peuvent entraîner des incertitudes et masquer la diversité réelle des souches circulantes, notamment lorsque ces espèces ne sont pas systématiquement recherchées, limitant la fiabilité des données épidémiologiques locales et leur surveillance. Cette étude visait à affiner l'identification des isolats et à analyser la diversité moléculaire de S. aureus au CHU d'Angré. Méthodologie. Cette étude descriptive a porté sur 330 souches (2022–2024), identifiées phénotypiquement comme S. aureus. L'identification moléculaire a reposé sur la PCR des gènes nuc et NRPS. Le séquençage partiel du gène rpoB a été utilisé pour les isolats non identifiés par PCR et pour des isolats atypiques PCR-positifs. Le typage spa a été réalisé sur un sous-ensemble pour la diversité génétique. Résultats. La PCR a identifié 299/330 isolats (90,6 %) comme S. aureus ; 31 (9,4 %) étaient non identifiés. Le séquençage rpoB de 70 isolats a montré, parmi les 31 non identifiés, 9 S. aureus, 16 S. haemolyticus, 3 S. epidermidis et 3 isolats non assignés. Les 39 isolats PCR-positifs ont tous été confirmés comme S. aureus par rpoB (concordance PCR/rpoB 87,1 %). Le typage spa a montré que 81/120 isolats ont fourni des séquences exploitables, dont 9 non typables. Seize types spa ont été identifiés, dominés par t1476 (26,3 %), suivi de t017 (10,0 %), t144 et t4235 (7,4 % chacun) dont un nouveau. Conclusion. Cette étude confirme la prédominance de Staphylococcus aureus dans nos isolats, sans détection d'autres espèces du complexe Staphylococcus aureus et une forte diversité génétique des souches circulantes.

Abstract

Background. Staphylococcus aureus is a major cause of human infections in sub-Saharan Africa. It now belongs to a group known as the Staphylococcus aureus complex, which includes several recently described species sharing phenotypic characteristics close to those of S. aureus. Routine identification in our laboratories is nevertheless based on phenotypic traits which, in this context, may lead to uncertainty and mask the true diversity of circulating strains, particularly when these species are not systematically sought, thereby limiting the reliability of local epidemiological data and their surveillance. This study aimed to refine isolate identification and to analyze the molecular diversity of S. aureus at Angré University Hospital. Methods. This descriptive study included 330 strains (2022–2024) phenotypically identified as S. aureus. Molecular identification was based on PCR targeting the nuc and NRPS genes. Partial sequencing of the rpoB gene was performed on PCR-negative isolates and on atypical PCR-positive isolates. spa typing was carried out on a subset to assess genetic diversity. Results. PCR identified 299/330 isolates (90.6%) as S. aureus; 31 (9.4%) were not identified. rpoB sequencing of 70 isolates showed, among the 31 PCR-negative isolates, 9 S. aureus, 16 S. haemolyticus, 3 S. epidermidis, and 3 unassigned isolates. All 39 PCR-positive isolates were confirmed as S. aureus by rpoB (PCR/rpoB concordance 87.1%). spa typing showed that 81/120 isolates yielded exploitable

sequences, including 9 non-typeable isolates. Sixteen spa types were identified, dominated by t1476 (26.3%), followed by t017 (10.0%), t144 and t4235 (7.4% each), including one new type. Conclusion. This study confirms the predominance of Staphylococcus aureus among our isolates, with no detection of other species of the Staphylococcus aureus complex, and a high genetic diversity among circulating strains.

OL.48

Dix ans de santé mentale communautaire au Togo : cas de l'association ASMDT

Ten years of community mental health in Togo: the case of the ASMDT association

Damèga WENKOURAMA[1], wenkourama@yahoo.fr ; Sonia KANEKATOUA[2]; Saliou SALIFOU[3]; Florentin AYETO[4]; Kwuka Peter JOHNSON[5]; Philippe Kwami Attisso NUBUKPO[6]; Kolou Simliwa DASSA[7]

[1] CHU Ka, Université de Kara, Togo, auteur

[2] CHU Campus de Lomé, Togo, co-auteur 1

[3] Hôpital Psychiatrique de Zébé, Université de Lomé, co-auteur 2

[4] Centre Hospitalier Intercommunal de Villeneuve Saint Georges, France

[5] Centre Hospitalier Pierre Lôo de Nevers, France

[6] Centre Hospitalier Esquirol Limoges, Université de Limoges, France

[7] Centre Hospitalier Universitaire Campus de Lomé, Université de Lomé, Togo

Résumé

La prise en charge des troubles mentaux dans un centre de médecine générale ou dans un centre spécialisé en psychiatrie est un atout mais la prévention et le dépistage précoce des troubles mentaux au niveau communautaire sont plus efficaces et rentables. Cette étude rapporte l'expérience des 10 ans d'activités de l'association ASMDT au Togo. Afin d'atteindre cet objectif, nous avons procédé à la revue des activités de l'ASMDT depuis décembre 2015 à novembre 2025 soit 10 ans d'activités. Les résultats ont montré que l'association ASMDT en collaboration avec la Société Togolaise de Santé Mentale (SOTOSAM) a réalisé 9 campagnes de sensibilisation et de consultations foraines en santé mentale dans 15 localités différentes du Togo. Plus de 1500 personnes ont été consultées et traitées gratuitement. Les principaux troubles mentaux rencontrés ont été les psychoses chroniques avec la schizophrénie en tête, les épilepsies et les dépressions. Cette association a aussi participé à la formation des professionnels de santé mentale avec des enseignements post-universitaires sur le psycho-traumatisme, les troubles du spectre de l'autisme, au soutien à l'ouverture du Diplôme d'Etudes Spécialisée de Psychiatrie. Dans son troisième volet consacré à la recherche, l'association a réalisé une recherche sur l'alcool transculturel (ALCOTRANS) avec 3 articles publiés, une étude en cours de collectes des données sur les consultations foraines et 2 autres en attente de collecte des données. Ces résultats révèlent non seulement l'ampleur des troubles mentaux au Togo, mais aussi la possibilité d'apporter des soins de qualité en santé au niveau communautaire malgré le manque de personnel qualifié à travers des campagnes de sensibilisation, de consultations foraines et de formation en matière de santé mentale.

Abstract

The treatment of mental disorders in a general medical center or a specialized psychiatric center is an asset, but prevention and early detection of mental disorders at the community level are more effective and cost-effective. This study reports on the 10 years of experience of the ASMDT association in Togo. To achieve this objective, we reviewed the ASMDT's activities from December 2015 to November 2025, covering 10 years of activity. The results showed that the ASMDT association, in collaboration with the Togolese Mental Health Society (SOTOSAM), carried out nine awareness campaigns and mobile mental health consultations in 15 different locations in Togo. More than 1,500 people were consulted and treated free of charge. The main mental disorders encountered were chronic psychoses, with schizophrenia at the top of the list, epilepsy, and depression. This association also participated in the training of mental health professionals with postgraduate courses on psychological trauma and autism spectrum disorders, and supported the launch of the Specialized Diploma in Psychiatry. In its third area of focus, research, the association has conducted research on cross-cultural alcoholism (ALCOTRANS) with three articles published, a study currently collecting data on mobile consultations, and two others awaiting data collection. These results reveal not only the extent of mental disorders in Togo, but also the possibility of providing quality healthcare at the community level despite the lack of qualified

personnel through awareness campaigns, mobile consultations, and training in mental health.

OL.49

Données récentes sur les populations de glossines, vecteurs des trypanosomes dans le massif forestier de Minkébé au nord-est du Gabon.

Recent data on Glossina spp. populations, vectors of trypanosomes in the Minkébé forest massif in north-east Gabon

Christophe Roland ZINGA KOUMBA[1], zinga.koumba39@yahoo.com ; Aubin Armel KOUMBA[1]; Edgard Cedric FABRE ANGUILET[2]; Emelie Arlette APINDA-LEGNOUO[3]; Jacques François MAVOUNGOU[4]

[1] Institut de Recherches Agronomiques et Forestières (IRAF-CENAREST) BP: 2246, Libreville-Gabon/ Institut de Recherche en Écologie Tropicale (IRET-CENAREST), BP: 13354, Libreville-Gabon.

[2] Institut de Recherches Agronomiques et Forestières (IRAF-CENAREST) BP: 2246, Libreville-Gabon/

[3] Institut de Recherche en Écologie Tropicale (IRET-CENAREST), BP: 13354, Libreville-Gabon.

[4] Université Internationale de Libreville (UIL), BP: 20411, Libreville-Gabon/ Institut de Recherche en Écologie Tropicale (IRET-CENAREST), BP: 13354, Libreville-Gabon.

Résumé

Afin d'évaluer la richesse spécifique des populations de glossines dans le massif forestier de Minkébé (nord-est du Gabon), une étude entomologique basée sur l'utilisation des pièges Vavoua et Nzi a été menée pendant la saison des pluies dans trois zones différentes de cet écosystème, à savoir : Massoko, Mikouka et Minkébé. Au total, 3062 glossines ont été collectées, avec une répartition de 57,32% à Massoko ; 29,36% à Minkébé et 13,32% à Mikouka. Ces glossines se répartissent en 6 espèces, à savoir Glossina fuscipes, Glossina medicurum, Glossina nashi, Glossina palpalis, Glossina tabaniformis et Glossina pallicera. Parmi ces espèces, Glossina fuscipes (41%) et Glossina nashi (30%) ont été les plus abondantes tandis que les autres espèces ont présenté des pourcentages d'abondance inférieurs à 17%. Globalement, les différentes espèces de glossines capturées sont inégalement distribuées dans ce massif forestier. L'analyse de la distribution spatiale des espèces de glossines a révélé des disparités significatives. Glossina pallicera a été rarement capturée, soulignant sa faible abondance. Par ailleurs, l'indice de Shannon (H'=0,812) ont mis en évidence une variété dans la composition des espèces au sein du massif forestier de Minkébé. En revanche, l'indice de Simpson (D=0,346) a indiqué la prédominance de certaines espèces. Les indices de Bray-Curtis, ont confirmé des différences dans la composition et l'abondance de ces espèces entre les sites prospectés. L'indice de Pielou a révélé des niveaux variables dans la distribution des espèces. Ces résultats soulignent la complexité des interactions environnementales et de la distribution des espèces. Ils mettent en lumière l'importance de surveiller ces paramètres pour guider les stratégies de gestion des vecteurs et de lutte contre les maladies. De plus, ces résultats fournissent des informations cruciales pour la lutte antivectorielle.

Abstract

In order to assess the specific richness of tsetse fly populations in the Minkébé forest massif (northeastern of Gabon), an entomological study, based on the use of Vavoua and Nzi traps was carried out during the rainy season in three different areas of this ecosystem : Massoko, Mikouka and Minkébé. A total of 3062 tsetse flies were collected, with a distribution of 57.32% in Massoko, 29.36% in Minkébé and 13.32% in Mikouka. These tsetse flies are divided into 6 species: Glossina fuscipes, Glossina medicurum, Glossina nashi, Glossina palpalis, Glossina tabaniformis and Glossina pallicera. Of these species, Glossina fuscipes (41%) and Glossina nashi (30%) were the most abundant, while the other species were less than 17% abundant. Overall, the different tsetse fly species captured were unevenly distributed in this forest massif. The analysis of the spatial distribution of Glossina species revealed significant disparities. Glossina pallicera was rarely captured, highlighting its low abundance. In addition, the Shannon index (H'=0.812) revealed a variety of species composition within the Minkébé forest massif. On the other hand, Simpson's index (D=0.346) indicated the predominance of certain species. The Bray-Curtis indices confirmed differences in species composition and abundance between the sites surveyed. The Pielou index revealed variable levels of species distribution. These results underline the complexity of environmental interactions and species distribution. They highlight the importance of monitoring these parameters to guide vector management and disease control strategies.

In addition, these results provide crucial information for vector control

OL.50

Du traumatisme à la résilience : trajectoires psychiques de femmes victimes de violences conjugales au Togo

From Trauma to Resilience : Psychological Trajectories of Women Victims of Domestic Violence in Togo

Marodégueba BARMA[1], mbarma2001@yahoo.fr ; Acouvi KPOGLI[1]

[1] Université de Lomé

Résumé

Les violences conjugales constituent une expérience traumatique majeure susceptible d'altérer durablement le fonctionnement psychique des femmes qui en sont victimes. Toutefois, certaines parviennent à mobiliser des ressources internes et externes leur permettant de se reconstruire et de développer des processus de résilience. Cette étude qualitative explore les trajectoires psychiques de femmes victimes de violences conjugales, en analysant le passage du traumatisme psychique vers des formes de résilience. Cinq survivantes suivies au One Stop Center d'Adidogomé ont été rencontrées dans le cadre d'entretiens cliniques approfondis, complétés par l'Inventaire de détresse péritraumatique (PDI) et la Resilience Scale for Adults (RSA). L'analyse logico-sémantique des données met en évidence une détresse péritraumatique significative chez toutes les participantes, associée à un risque élevé de psychopathologies. Cependant, malgré la sévérité du traumatisme, des processus résilients émergent, principalement soutenus par des facteurs individuels tels que la perception de soi, la projection dans l'avenir et la capacité de mentalisation du vécu traumatique. Les résultats soulignent le rôle central du travail psychique d'élaboration du trauma dans la reconstruction subjective et plaident pour des dispositifs de prise en charge intégrant explicitement le soutien à la résilience chez les femmes victimes de violences conjugales.

Abstract

Domestic violence represents a major traumatic experience that can profoundly and lastingly affect the psychological functioning of the women who experience it. However, some women are able to mobilize internal and external resources that allow them to rebuild themselves and develop resilience processes. This qualitative study explores the psychological trajectories of women victims of domestic violence, analyzing the transition from psychological trauma to forms of resilience. Five survivors followed at the One Stop Center in Adidogomé were interviewed through in-depth clinical sessions, complemented by the Peritraumatic Distress Inventory (PDI) and the Resilience Scale for Adults (RSA). The logico-semantic analysis of the data highlights significant peritraumatic distress in all participants, associated with a High risk of psychopathologies. However, despite the severity of the trauma, resilient processes emerge, mainly supported by individual factors such as self-perception, future orientation, and the ability to mentalize the traumatic experience. The results highlight the central role of the psychic work of processing trauma in subjective reconstruction and advocate for care systems that explicitly include support for resilience in women victims of domestic violence.

OL.51

Dynamique épidémiologique des virus respiratoires au Gabon : de la circulation résiduelle pandémique à la caractérisation moléculaire du Virus Respiratoire Syncytial.

Epidemiological dynamics of respiratory viruses in Gabon: from pandemic residual circulation to the molecular characterization of Respiratory Syncytial Virus.

Christ-Emery KOMBE MOULENGUI, christkombe5@gmail.com

Centre Interdisciplinaire de Recherches Medicales de Franceville

Résumé

Introduction : La pandémie de COVID-19 a profondément modifié l'écologie virale mondiale. Au Gabon, l'impact des mesures de contrôle sur la diversité des pathogènes respiratoires a été marqué par une rupture historique. Ce projet analyse cette transition en passant d'un état de circulation résiduelle globale à une investigation ciblée sur le Virus Respiratoire Syncytial (VRS), acteur majeur des infections respiratoires aiguës.
Objectifs : Évaluer l'impact de la pandémie sur la prévalence des virus respiratoires (2020-2021) et caractériser spécifiquement la dynamique de réémergence et l'évolution génomique du VRS (2024-2025) dans le Sud-Est du Gabon.
Méthodologie : 1. Phase 1 (Screening global) : Analyse de 640 prélèvements par RT-PCR multiplex pour évaluer la diversité virale durant la crise sanitaire. 2. Phase 2 (Investigation ciblée) : Recherche prioritaire du VRS par RT-PCR en temps réel sur des cohortes pédiatriques hospitalières. La caractérisation a été approfondie par le séquençage du gène G, suivi d'une analyse phylogénétique.
Résultats : La phase initiale (publiée) a révélé un taux de positivité global de 4,37 % (IC 95 % : 2,79-5,96), dominé par le Rhinovirus (1,25 %) et le PIV4 (0,78 %). Contrastant avec cette faible circulation, la deuxième phase dédiée au VRS met en évidence un rebond épidémiologique marqué par la prédominance du sous-groupe B. Sur le plan clinique, un lien statistique a été établi entre le RSV et la survenue de dyspnées sévères chez les nourrissons de moins de 6 mois.
Conclusion : Ces travaux fournissent des données essentielles pour comprendre la dynamique virale au Gabon. En liant l'atténuation circulatoire des virus à rebond du RSV-B. ils démontrent l'importance d'une surveillance génomique ciblée pour orienter les stratégies vaccinales et la prise en charge pédiatrique au Gabon.

Abstract

Introduction: The COVID-19 pandemic profoundly altered global viral ecology. In Gabon, the impact of control measures on the diversity of respiratory pathogens was marked by a historic shift. This project analyzes this transition, moving from a state of global residual circulation to a focused investigation of Respiratory Syncytial Virus (RSV), a major driver of acute respiratory infections.
Objectives: To evaluate the impact of the pandemic on the prevalence of respiratory viruses (2020–2021) and to specifically characterize the re-emergence dynamics and genomic evolution of RSV (2024–2025) in Southeastern Gabon.
Methodology: 1. Phase 1 (Global Screening): Analysis of 640 samples using multiplex real-time RT-PCR to assess viral diversity during the health crisis. 2. Phase 2 (Targeted Study): Priority investigation of RSV via real-time RT-PCR within hospitalized pediatric cohorts. Characterization was further detailed through G-gene sequencing, followed by phylogenetic analysis.
Results: The initial phase (published) revealed an overall positivity rate of 4.37% (95% CI: 2.79–5.96), dominated by Rhinovirus (1.25%) and PIV4 (0.78%). In contrast to this epidemiological trough, the second phase dedicated to RSV highlights a rebound marked by the predominance of subgroup B. Clinically, a robust statistical link has been established between RSV dynamics and the occurrence of severe dyspnea in infants under 6 months of age.
Conclusion: This work provides essential data for understanding viral dynamics in Gabon. By linking the circulatory attenuation of viruses to the RSV-B rebound, these findings demonstrate the importance of

targeted genomic surveillance to guide vaccination strategies and pediatric care in Gabon.

OL.52

Échographie Doppler rénal : etude comparative chez patients diabétiques et non diabétiques

Renal Doppler ultrasound: a comparative study in diabetic and non diabetic patients

Pihou GBANDE[1], gbandepihou@yahoo.fr ; Amirat KORECONDE[1]

[1] Chu SO

Résumé

Il s'agit d'une étude cas témoins menée sur un échantillon de 94 patients. L'échogenicité rénale était anormale chez 21,3% des diabétiques. L'IR et l'IP étaient significativment élevés chez les diabétiques que chez les témoins. Les courbes ROC ont montré une bonne performance diagnostique de l 'IR dans la détection des atteintes rénales diabétiques.

Abstract

This was a case control study conducted on a sample of 94 patients. Renal echogenicity was anormal in 21,3%of diabetics. RI and PI were significantly higher in diabetics than control population. ROC curves showed good diagnostics performance in detecting diabetics kidney didease.

OL.53

Effet cardioprotecteur de l'extrait aqueux de Flemingia faginea contre l'infarctus du myocarde induit par l'isoprotérénol chez le rat

Cardioprotective effect of aqueous extract of Flemingia faginea in isoproterenol-induced myocardial infarction in rat

Tanga OUARE[1], tangaouare775@gmail.com ; Maurice OUEDRAOGO[1]; Jocelyn Sébastien BESCOND2[2]

[1] 1- Laboratoire de Physiologie Animale (LAPA), Université Joseph KI-ZERBO, Ouagadougou, Burkina Faso

[2] 2- Laboratoire de Physiopathologie et Régulation des Transports Ioniques (PRéTI), Université de Poitiers, Poitiers, France

Résumé

Introduction : Les pays à revenu faible et intermédiaire sont fortement touchés par les maladies cardiovasculaires (MCV). Ainsi, la médecine alternative a un rôle essentiel à jouer, outre la médecine moderne. Flemingia faginea, une plante à propriété antihypertensive, aurait un effet préventif contre l'infarctus du myocarde (IM). Cette étude consiste à évaluer la propriété cardioprotectrice de l'extrait aqueux de F. faginea (AEFf) chez le rat.
Méthodologie : Des rats à cœur infarci ont été obtenu par traitement à l'isoprotérénol (85 g/kg/jour) les jours 20 et 21. L'AEFf (10, 30 et 100 mg/kg) et de l'aténolol (10 mg/kg) ont été pré-administrés aux rats pendant 21 jours. La concentration des biomarqueurs (GOT, GTP, LDH, et CRP) de l'IM et le ratio poids cardiaque/poids corporel ont été évalués.
Résultats : L'AEFf améliore le niveau des biomarqueurs de l'IM (ASAT, ALAT, LDH, and CRP) et le ratio poids cardiaque/poids corporel. Les niveaux en mg/l de la CRP sont 4,800±0,4461 ; 6,174±0,4783 ; 4,020±0,5044 ; 4,250±0,5123 ; 3,730±0,0800 ; 4,061±0,3304, respectivement chez les groupes control, ISO, ATE, AEFf (10 ; 30 et 100 mg/kg). Chez les groupes control, ISO, ATE, AEFf (10 ; 30 et 100 mg/kg), les concentrations (UI/l) de l'ASAT sont respectivement 160,6±30,62 ; 292,6±36,13 ; 141,4±25,32 ; 123,2±6,794; 119,9±10,62 ; 94,55±8,504. Les valeurs (UI/l) respectives de l'ALAT, chez les groupes control, ISO, ATE, AEFf 10 ; 30 et 100 mg/kg, sont 81,34±4,076; 123,6±14,28 ; 94,54±7,066; 80,55±7,504; 86,29±3,759; 59,58±5,175. Les niveaux (UI/l) LDH sont 403,9±47,44 ; 898,8±40,25 ; 598,6±61,33 ; 631,3±91,65 ; 546,0±70,70 ; 495,7±77,8, respectivement les chez les groupes control, ISO et ATE et AEFf (10 ; 30 et 100 mg/kg). L'AEFf entraine une baisse du ratio du poids cardiaque/poids corporel par rapport au groupe ISO.
Conclusion : L'AEFf améliore les niveaux des biomarqueurs de l'IM et aurait un effet cardioprotecteur.

Abstract

Introduction: Low- and middle-income countries are severely affected by cardiovascular disease (CVD). Alternative medicine therefore has an essential role to play alongside modern medicine. Flemingia faginea, a plant with antihypertensive properties, is thought to have a preventive effect against myocardial infarction (MI). This study evaluates the cardioprotective properties of F. faginea aqueous extract (AEFf) in rats.
Methodology: Rats with heart infarcts were obtained by treatment with isoproterenol (85 g/kg/day) on days 20 and 21. AEFf (10, 30 and 100 mg/kg) and atenolol (10 mg/kg) were pre-administered to the rats for 21 days. The concentration of biomarkers (GOT, GTP, LDH, and CRP) of MI and the heart weight/body weight ratio were evaluated.
Results: AEFf improves MI biomarker levels (GOT, GTP, LDH, and CRP) and heart weight/body weight ratio. CRP levels in mg/l are 4.800±0.4461; 6.174±0.4783; 4.020±0.5044; 4.250±0.5123; 3.730±0.0800; 4.061±0.3304, respectively in the control, ISO, ATE, and AEFf (10, 30, and 100 mg/kg) groups. In the control, ISO, ATE, and AEFf (10, 30, and 100 mg/kg) groups, the concentrations (IU/L) of GOT were 160.6±30.62; 292.6±36.13; 141.4±25.32; 123.2±6.794; 119.9±10.62; 94.55±8.504. The respective GTP values (IU/l) in the control, ISO, ATE, AEFf 10; 30 and 100 mg/kg groups are 81.34±4.076; 123.6±14.28; 94.54±7.066; 80.55±7.504; 86.29±3.759; 59.58±5.175. The LDH levels (IU/l) are 403.9±47.44; 898.8±40.25; 598.6±61.33; 631.3±91.65; 546.0±70.70; 495.7±77.8,

respectively in the control, ISO, ATE and AEFf (10; 30 and 100 mg/kg) groups. AEFf causes a decrease in the heart weight/body weight ratio compared to the ISO group.
Conclusion: AEFf improves MI biomarker levels and may have a cardioprotective effect.

OL.54

EFFET DE COXOSAN ORAL ND SUR LES COCCIDIOSES CHEZ LE POULET DE CHAIR A DAKAR (SENEGAL)

EFFECT OF COXASAN ORAL ND ON COCCIDIOSIS IN BROILER CHICKENS IN DAKAR (SENEGAL)

Oubri Bassa GBATI, oubribassa@yahoo.fr

Ecole InterEtats des Sciences et Médecine Vétérinaires

Résumé

Les résistances aux anticoccidiens sont assez observées en production aviaire. Ainsi, l'utilisation d'extrait naturel dans le traitement de la coccidiose parait comme une alternative durable.
L'objectif de cette étude était d'évaluer l'efficacité et les effets zootechniques des extraits naturels à base d'Origanum vulgare, de Thymus vulgaris, d'Allium sativum, d'Echinacea purpurea, de Salvia officinalis et de Rosmarinus officinalis (Coxasan oralND) dans la prévention des coccidioses aviaires.
Pour ce faire, 600 poussins de souche Cobb 500 repartis en quatre lots de 150 poussins. Tous les lots ont été infestés expérimentalement par voie orale par une suspension d'ookystes sporulés au 12e jour d'élevage.
La charge ookystale est passée de J25 à J35 de 0 à 266,6, de 50 à 583,33, de 50 à 700 et de 1 166,66 à 2 033,33 respectivement pour les lots TATEN (Traité avec Amprolium et Extraits Naturels), TEN (Traité avec Extraits Naturels), TA (Traité avec Amprolium) et T (lot Témoin) avec des différences significatives. Les poids vifs des sujets étaient, à J35, de 1 483,33 ± 186,28 g (lots T), de 1 506,76 ± 210,24 g (lot TA), de 1 557,05 ± 213,62 g (lot TATEN) et de 1 634,62 ± 188,17 g (lot TEN) avec des différences significatives. Les GMQ sont de 58,37 ± 24,59 g, de 63,95 ± 18,44 g, de 71,16 ± 19,32 g et de 80,37 ± 18,26 g respectivement pour les lots T, TA, TATEN et TEN. Les indices de consommation différaient significativement entre eux et sont de 2,81 ± 1,64, 2,05 ± 1,02, 1,89 ± 0,43, 1,47 ± 0,29 respectivement pour les lots T, TA, TATEN et TEN.
Le Coxasan oralND a une activité anticoccidienne plus marquée et améliore l'indice de consommation, le GMQ et le poids vif. Il montre également une activité immunostimulante, car il réduit également l'apparition de troubles sanitaires.

Abstract

Resistance to anticoccidials is quite common in poultry production. Therefore, the use of natural extracts in the treatment of coccidiosis appears to be a sustainable alternative.
Resistance to anticoccidials is quite common in poultry production. Therefore, the use of natural extracts in the treatment of coccidiosis appears to be a sustainable alternative.
The objective of this study was to evaluate the efficacy and zootechnical effects of natural extracts based on Origanum vulgare, Thymus vulgaris, Allium sativum, Echinacea purpurea, Salvia officinalis and Rosmarinus officinalis (Coxasan oralND) in the prevention of avian coccidiosis.
To do this, 600 Cobb 500 chicks were divided into four batches of 150 chicks. All batches were experimentally infested orally with a suspension of sporulated oocysts on the 12th day of rearing.
The oocyst load increased from day 25 to day 35 from 0 to 266.6, from 50 to 583.33, from 50 to 700 and from 1,166.66 to 2,033.33 respectively for the TATEN (Treated with Amprolium and Natural Extracts), TEN (treated with natural extracts), TA (treated with amprolium) and T (control batch) with significant differences. The live weights of the subjects on D35 were 1,483.33 ± 186.28 g (T batches), 1,506.76 ± 210.24 g (TA batch), 1,557.05 ± 213.62 g (TATEN batch) and 1,634.62 ± 188.17 g (TEN batch) at day 35, with significant differences. The average daily gains were 58.37 ± 24.59 g, 63.95 ± 18.44 g, 71.16 ± 19.32 g and 80.37 ± 18.26 g for batches T, TA, TATEN and TEN, respectively. The consumption indices differed significantly between each other and were 2.81 ± 1.64, 2.05 ± 1.02, 1.89 ± 0.43 and 1.47 ± 0.29 for batches T, TA, TATEN and TEN, respectively.
Coxasan oralND has a more pronounced anticoccidial activity and improves feed conversion ratio, average daily gain and live weight. It also has immunostimulatory activity, as it reduces the incidence of health problems.

OL.55

Effet néphroprotecteur des racines d'Anogeissus leiocarpus (DC.) Guill. & Perr. dans un modèle de néphrotoxicité induite par le dichromate de potassium ($K_2Cr_2O_7$)

Renoprotective effect of the roots of Anogeissus leiocarpus (DC.) Guill. & Perr. in a potassium dichromate ($K_2Cr_2O_7$)-induced nephrotoxicity model

Aku Enam Motto[1], nam.motto@gmail.com ; Povi Lawson-Evi[1]; Kwashie Eklu-Gadegbeku[1]

[1] Laboratory of Physiology/ Pharmacology, Unit of Pathophysiology, Bioactive Substances and Safety, Faculty of Sciences, University of Lomé, BP 1515, Togo

Résumé

La prise en charge des lésions rénales reste un défi majeur, soulignant l'urgence de développer de nouvelles stratégies thérapeutiques.
Cette étude a évalué pour la première fois l'activité néphroprotectrice de l'extrait hydroalcoolique (ET) et de la fraction surnageante (SUR) des racines d'Anogeissus leiocarpus contre la néphrotoxicité induite par le dichromate de potassium ($K_2Cr_2O_7$) chez le rat. La néphrotoxicité a été provoquée par une injection sous-cutanée unique de $K_2Cr_2O_7$ (15 mg/kg), et les rats ont été traités par voie orale avec ET (500 mg/kg/jour) ou SUR (100 mg/kg/jour). Les paramètres de la fonction rénale et les biomarqueurs du stress oxydatif ont été analysés, tandis que l'activité antioxydante a été évaluée ex vivo et l'activité anti-inflammatoire in vitro. Le $K_2Cr_2O_7$ a provoqué des altérations significatives des paramètres rénaux (urée, créatinine, protéines totales, électrolytes) et un stress oxydatif accru. Le traitement avec HE et SUP a restauré la majorité de ces paramètres. Notamment, les extraits ont réduit le stress oxydatif en augmentant les niveaux d'antioxydants (GSH et CAT) et en diminuant la peroxydation lipidique (MDA), résultats confirmés ex vivo. En outre, les extraits ont montré une forte activité anti-inflammatoire in vitro.
Ces résultats suggèrent que l'extrait hydroalcoolique et la fraction surnageante des racines d'Anogeissus leiocarpus possèdent un effet néphroprotecteur prometteur contre la néphrotoxicité induite par le $K_2Cr_2O_7$, principalement via leurs propriétés antioxydantes et anti-inflammatoires.

Abstract

The management of kidney injuries remains a major clinical challenge, and there is an urgent need to explore novel and alternative therapeutic strategies.
This study aimed, for the first time, to evaluate the potential nephroprotective activity of the hydroalcoholic extract (HE) and supernatant fraction (SUP) of Anogeissus leiocarpus roots against potassium dichromate ($K_2Cr_2O_7$)-induced nephrotoxicity in rats. Nephrotoxicity was induced by a single subcutaneous injection of $K_2Cr_2O_7$ (15 mg/kg), while rats were orally treated with HE (500 mg/kg/day) or SUP (100 mg/kg/day). Renal function parameters and oxidative stress biomarkers were evaluated, while antioxidant activity was assessed ex vivo and anti-inflammatory activity was investigated in vitro.
$K_2Cr_2O_7$-induced nephrotoxicity was evidenced by significant alterations in renal parameters, including urea, creatinine, total proteins, and electrolytes, along with increased oxidative stress. Administration of HE and SUP significantly restored most renal parameters in nephrotoxic rats. Notably, in vivo treatment with the extracts markedly attenuated oxidative stress by increasing antioxidant levels (GSH and CAT) and reducing lipid peroxidation (MDA levels), findings further supported by ex vivo assays. In addition, the extracts exhibited strong anti-inflammatory activity in vitro.
Overall, the hydroalcoholic extract and supernatant fraction of Anogeissus leiocarpus roots demonstrated a promising nephroprotective effect against $K_2Cr_2O_7$-induced nephrotoxicity, mainly through their antioxidant and anti-inflammatory properties

OL.56

Elimination de l'arsenic par adsorption sur le charbon de bois

Arsenic removal by adsorption onto charcoal

Zourata KABORE[1], kaborezourata@yahoo.fr ; Seta NABA[1]; Samuel NAKOLENDOUSSE[1]

[1] Laboratoire Géosciences et Environnement de l'UJKZ

Résumé

L'arsenic dissout dans les eaux de consommation constitue aujourd'hui un problème de santé tels que l'hyper et/ou l'hypopigmentation, l'hyperkératose palmoplantaire, les vomissements, les douleurs abdominales et les cancers à travers le monde et spécifiquement au Burkina Faso malgré les différents progrès réalisés pour son élimination dans l'eau potable. L'objectif principal de ce travail est de trouver une solution locale plus adaptée pour l'élimination de l'arsenic par adsorption sur le charbon de bois pour tous les usages. Des eaux contaminées à l'arsenic des régions du Centre Est, du Nord, du Plateau Central et du charbon de bois sans prétraitement ont été utilisés dans le cadre des travaux. Les résultats ont montré que l'arsenic dans les eaux utilisées est de degré d'oxydation III et V et que la quantité de charbon de bois est le facteur déterminant dans le processus d'adsorption aussi bien pour les petites que les grandes installations. Le temps de contact peut être utilisé pour optimiser l'utilisation du charbon. Les ions compétiteurs, le pH et le degré d'oxydation n'ont pas une influence sur la capacité d'adsorption de l'arsenic sur le charbon de bois. L'élimination totale de l'arsenic (100%) est obtenue à 66,67g/l dans nos conditions opératoires, ce qui correspond à une capacité d'adsorption de 0,21µg d'arsenic par gramme de charbon de bois. L'optimisation des techniques de traitement de l'arsenic avec le charbon de bois est cruciale pour répondre aux normes de potabilité des eaux de consommation dans les pays en voie de développement.

Abstract

Dissolved arsenic in drinking water is a current health problem, causing hyper- and/or hypopigmentation, palmoplantar hyperkeratosis, vomiting, abdominal pain, and cancer worldwide, and specifically in Burkina Faso, despite progress made in removing it from drinking water. The main objective of this study was to find a more suitable local solution for arsenic removal through adsorption onto charcoal for all uses. Arsenic-contaminated water from the Centre-East, North, and Central Plateau regions, as well as untreated charcoal, were used in the study. The results showed that the arsenic in the water used was of oxidation states III and V, and that the amount of charcoal was the determining factor in the adsorption process for both small and large installations.Contact time can be used to optimize charcoal utilization. Competing ions, pH, and oxidation state do not influence the arsenic adsorption capacity of charcoal. Total arsenic removal (100%) was achieved at 66.67 g/L under our operating conditions, corresponding to an adsorption capacity of 0.21 µg of arsenic per gram of charcoal. Optimizing arsenic treatment techniques using charcoal is crucial for meeting drinking water standards in developing countries.

OL.57

ENQUETE DE PREVALENCE PONCTUELLE SUR L'USAGE DES ANTIMICROBIENS CHEZ LES PATIENTS HOSPITALISES DANS TROIS STRUCTURES SANITAIRES DE ZINDER (NIGER)

A POINT PREVALENCE SURVEY ON ANTIMICROBIAL USE AMONG HOSPITALIZED PATIENTS IN THREE HEALTH FACILITIES IN ZINDER (NIGER)

Mahamadou SEYNI YANSAMBOU[1], bioyans@gmail.com ; Abdallah MAMAN GAMBO[1]; Mahamadou DOUTCHI[2]

[1] Faculté des Sciences et Techniques, Université André Salifou, Zinder, Niger

[2] Faculté des Sciences de la Santé, Université André Salifou, Zinder, Niger

Résumé

Cette étude a pour but d'évaluer le point prévalence sur la consommation d'antimicrobiens dans trois structures sanitaires majeures de Zinder : l'Hôpital National de Zinder (HNZ), le Centre Mère et Enfant, et l'Hôpital de district de Zinder. Sur 45 patients recensés le jour de l'enquête, 97,8% (44/45) recevaient au moins un antimicrobien, dont 82,2% des antibactériens systémiques (J01) et 77,8% d'antipaludiques (P01B), dépassant largement les moyennes nationales nigériennes (51,8-58,7%) et africaines (42,7% continent, 46,7% total).

La prévalence variait fortement selon les services : 100% (13/13) en médecine adulte (AMW), 96,9% (32/32) en pédiatrie médicale (PMW), sans activité chirurgicale ou néonatale recensée. Les diagnostics principaux étaient le paludisme (76,2%, N=32), la pneumonie (19,0%, N=8) et infections non précisées (4,8%). Toutes les prescriptions antibiotiques étaient empiriques pour infections communautaires (100% CAI), sans traitement ciblé ni HAI identifiées.

Parmi les 44 prescriptions antibiotiques (37 patients traités), la ceftriaxone dominait (72,7% J01CF), suivi des pénicillines à spectre étendu (4,5% J01CA) et autres bêta-lactamines (15,9%). L'usage AWaRe montrait 50% Access (gentamicine, ampicilline), 47% Watch (principalement ceftriaxone), 3% Reserve. La conformité aux guidelines atteignait 71,4% en médecine, mais seulement 11,4% des prescriptions mentionnaient une justification et 81,8% une date d'arrêt/revue. 97,3% des traitements étaient IV, avec 16,2% de polymédication antibiotique.

Ces taux records (97,8%) s'expliquent par l'endémicité palustre et la charge infectieuse élevée à Zinder. Comparé au Niger (53,0% prévalence, ceftriaxone 49,3%) et l'Afrique (46,7%, 30,2 % 3GC), Zinder montre un recours massif aux céphalosporines de 3ème génération, souvent en empirie.

Abstract

This study aimed to assess the prevalence of antimicrobial use in three major healthcare facilities in Zinder: Zinder National Hospital (HNZ), the Mother and Child Center, and Zinder District Hospital. Of the 45 patients surveyed on the day of the study, 97.8% (44/45) were receiving at least one antimicrobial, including 82.2% systemic antibacterials (J01) and 77.8% antimalarials (P01B), significantly exceeding the national averages for Niger (51.8-58.7%) and Africa (42.7% continental, 46.7% total). Prevalence varied considerably between departments: 100% (13/13) in adult medicine (AMW), and 96.9% (32/32) in pediatric medicine (PMW), with no surgical or neonatal activity recorded. The main diagnoses were malaria (76.2%, N=32), pneumonia (19.0%, N=8), and unspecified infections (4.8%). All antibiotic prescriptions were empirical for community-acquired infections (100% CAI), with no targeted therapy or AIH identified.

Among the 44 antibiotic prescriptions (37 patients treated), ceftriaxone was the most common (72.7% J01CF), followed by extended-spectrum penicillins (4.5% J01CA) and other beta-lactams (15.9%). AWaRe usage showed 50% Access (gentamicin, ampicillin), 47% Watch (mainly ceftriaxone), and 3% Reserve. Adherence to guidelines reached 71.4% in the internal medicine department, but only 11.4% of prescriptions included a rationale and 81.8% a discontinuation/review date. 97.3% of treatments were IV, with 16.2% involving antibiotic polypharmacy.

These record rates (97.8%) are explained by the endemic nature of malaria and the high infectious load in Zinder. Compared to Niger (53.0% prevalence, ceftriaxone 49.3%) and Africa (46.7%, 30.2% 3GC),

Zinder shows a massive use of third-generation cephalosporins, often empirically.

OL.58

Enseignement du bon usage des antibiotiques chez les étudiants en médecine : développement et transfert international d'un dispositif innovant en Allemagne et au Malawi

Teaching for Rational Antibiotic Use: Development and International Transfer of an Innovative Blended-Learning Tool in Germany and Malawi

Katarina Stete[1], Katarina.stete@uniklinik-freiburg.de ; Siegbert Rieg[1]; Tamara Phiri[2]

[1] Division of Infectious Diseases, Department of Internal Medicine II, University Medical Center, Freiburg, Germany

[2] Kamuzu University of Health Sciences, Blantyre, Malawi; Queen Elizabeth Central Hospital, Blantyre, Malawi

Résumé

Contexte: La résistance aux antimicrobiens (RAM) constitue une menace croissante pour la santé mondiale et nécessite de solides compétences en prescription antibiotique raisonnée. Nous avons développé l'Antibiotic Compass, un dispositif innovant d'apprentissage mixte destiné aux étudiants en dernière année de médecine, visant à renforcer les connaissances, la prise de décision clinique et la compréhension des différences contextuelles d'utilisation des antibiotiques. Le projet inclut un transfert international de l'Allemagne vers le Malawi dans le cadre d'un partenariat entre l'University Medical Center Freiburg et la Kamuzu University of Health Sciences à Blantyre.
Méthodes : Introduit en 2021 à Freiburg, l'Antibiotic Compass associe dix modules d'e-learning à des sessions présentielles interactives. Le programme renforce les principes fondamentaux de microbiologie et de pharmacologie, promeut un raisonnement structuré pour les traitements empiriques et ciblés et met l'accent sur des stratégies concrètes de bon usage. Les modules comprennent de courtes vidéos, des quiz cliniques et une représentation visuelle structurée des antibiotiques organisée selon leur usage clinique pratique. L'évaluation comprenait un questionnaire standardisé mesurant le sentiment de préparation dans 27 domaines de compétence, ainsi qu'une évaluation globale du cours.
Pour le transfert international, une analyse structurée des besoins à Blantyre a examiné la disponibilité des antibiotiques, les pratiques de prescription et l'infrastructure diagnostique.
Résultats : À Freiburg, 232 étudiants ont suivi le cours. L'évaluation globale était excellente (note moyenne 1,1/6). Le sentiment de préparation s'est amélioré dans les 27 domaines évalués. L'analyse des besoins a révélé des différences marquées, notamment une disponibilité inconstante des antibiotiques, un recours empirique aux céphalosporines de troisième génération au Malawi, des délais prolongés en microbiologie avec accès limité aux tests de sensibilité. L'adaptation a donc privilégié une prise de décision guidée par la disponibilité des ressources.
Conclusions : L'Antibiotic Compass est un dispositif pédagogique bien accepté qui renforce la confiance en prescription chez les étudiants en médecine. Le transfert international nécessite une adaptation sensible au contexte tout en contribuant à relever le défi mondial de la RAM.

Abstract

Background: Antimicrobial resistance (AMR) is a growing global health threat, requiring strong competencies in rational antibiotic prescribing. We developed the Antibiotic Compass, an innovative blended-learning tool for final-year medical students, designed to strengthen knowledge, clinical decision-making, and awareness of contextual differences in antibiotic use. The project includes international transfer from Germany to Malawi in a collaborative teaching partnership between the University Medical Center Freiburg and the Kamuzu University of Health Sciences Blantyre, explicitly addressing differences in resources and practice between contexts.
Methods: Introduced in 2021 at Freiburg University Medical Center, the Antibiotic Compass combines ten structured e-learning modules with interactive in-person sessions focused on clinical decision-making. The didactic framework reinforces core principles of microbiology and pharmacology, promotes structured reasoning for empiric and targeted therapy, and emphasizes practical stewardship

strategies. Digital modules include short explainer videos, case-based quizzes, and an innovative visual “antimicrobial shelving system” that organizes agents to support cognitive structuring and practical application. Course evaluation included standardized feedback and assessment of self-perceived preparedness across 27 competency domains of rational antibiotic prescribing1. For international transfer, a structured needs assessment in Blantyre examined antimicrobial availability, prescribing practices, and diagnostic infrastructure.

Results: Since implementation, 232 final-year students have participated in the course in Freiburg. Overall evaluation was excellent (mean grade 1.1 on German 1–6 scale). Self-perceived preparedness improved across all 27 prescribing competencies. Needs assessment revealed marked contextual differences between Freiburg and Blantyre, including inconsistent antibiotic availability and empiric reliance on third-generation cephalosporins in Blantyre due to limited access to penicillins, prolonged microbiology turnaround times, and intermittent susceptibility testing capacity. The Blantyre adaptation therefore prioritized availability-driven decision-making rather than spectrum-based optimization alone.

Conclusions: The Antibiotic Compass is a well-accepted educational tool that enhances prescribing confidence among medical students. Successful international transfer requires context-sensitive adaptation reflecting local resource constraints while addressing the shared global challenge of AMR.

OL.59

Épidémiologie et caractérisation moléculaire du virus de la dermatose nodulaire contagieuse bovine (DNCB) chez les bovins dans la région du Poro, en Côte d'Ivoire

Epidemiology and Molecular Characterization of Lumpy Skin Disease Virus in Cattle in the Poro Region of Ivory Coast

Mireille Catherine KADJA[1], mwonou@yahoo.fr ; Aristide Anicet ZOBO[2]; Libané Dieudonné DAHOUROU[3]; Souaibou SOUROKOU SABI[1]; Yemienguigna Nougnon COULIBALY[1]; Eric KABURA[1]; Yalace KABORET[1]

[1] Ecole Inter-Etats des Sciences et Médecine Vétérinaires (EISMV) de Dakar. BP 5077 Dakar, Fann Sénégal

[2] Laboratoire Central Vétérinaire, Bingerville, Côte d'Ivoire

[3] 3Institut des Sciences de l'Environnement et du Développement Rural, Université Daniel Ouezzin Coulibaly, Dédougou, Burkina Faso

Résumé

La dermatose nodulaire contagieuse bovine (DNCB) représente une menace importante pour la santé et la productivité des bovins en Côte d'Ivoire, où les ressources limitées consacrées à la gestion sanitaire du cheptel entravent l'application de mesures de contrôle efficaces. Malgré son impact sanitaire et économique, les données disponibles sur la prévalence et les caractéristiques génétiques du virus demeurent limitées, laissant subsister des lacunes dans la compréhension de son épidémiologie. La présente étude visait à combler ces lacunes en évaluant la prévalence de la DNCB et les facteurs de risque associés chez les bovins de la région du Poro.

Une étude transversale a été menée sur 405 bovins répartis dans 36 villages de la région du Poro. Les informations relatives aux signes cliniques, à la taille des troupeaux et aux pratiques de conduite d'élevage ont été collectées à l'aide de questionnaires structurés. Des écouvillons nasaux ont été prélevés pour la détection moléculaire du virus par PCR, suivie d'analyses de séquençage ciblant quatre gènes du Capripoxvirus (RPO30, GPCR, glycoprotéine EEV et B22R).

La prévalence globale de la DNCB était de 51,85 %, avec d'importantes variations selon les localités, atteignant 66,67 % à M'bengué et 70,87 % à Dikodougou, tandis que Korhogo présentait la prévalence la plus faible (14,81 %). Les troupeaux de grande taille (> 50 bovins) et les troupeaux transhumants présentaient des prévalences significativement plus élevées ($p < 0,001$). En revanche, aucune association significative n'a été observée avec le sexe, l'âge ou la race des animaux.

L'analyse phylogénétique a montré que les isolats ivoiriens du virus appartiennent au cluster II des souches africaines de terrain, distinctes des souches recombinantes et vaccinales. Ces résultats soulignent la nécessité de renforcer la surveillance moléculaire et d'améliorer les pratiques de gestion des troupeaux afin de limiter l'impact de la DNCB en Côte d'Ivoire.

Abstract

Lumpy skin disease (LSD) poses a serious threat to cattle health and productivity in Ivory Coast, where limited resources for livestock management complicate disease control. Despite LSD's impact, few studies have examined its prevalence and genetic profile within the country, leaving critical gaps in understanding the disease's epidemiology and local risk factors. This study addresses these gaps by investigating LSD prevalence and associated risk factors among cattle in the Poro region. A cross-sectional study sampled 405 cattle across 36 villages, collecting data on clinical signs, herd size, and management practices via structured questionnaires. Nasal swabs were collected for PCR analysis to confirm LSD presence, and sequencing was conducted on four CaPV genes: RPO30, GPCR, EEV glycoprotein, and B22R.

Overall, LSD prevalence was found to be 51.85%, with 210 out of 405 samples testing positive. Prevalence varied significantly across localities, reaching 66.67% in M'bengué and 70.87% in Dikodougou, while Korhogo recorded the lowest at 14.81%. Larger herds (over 50 cattle) had a higher prevalence (76.51%) compared to smaller herds (34.72%), and transhumant herds showed increased

prevalence (86.66% vs. 47.5%, $p < 0.001$). No significant associations were identified with sex, age, or breed. Phylogenetic analysis indicated that the Ivory Coast LSDV isolates clusters with other African field isolates in Cluster II, distinct from South-East Asian and Russian recombinants, as well as the vaccine strains LSDV KSGP_240 and LSDV Neethling. These findings underscore the need for targeted control strategies and improved management practices to mitigate the impact of LSD on livestock health.

OL.60

Espaces et pratiques communautaires à risques de contracter l'ulcère de Buruli au Sud-Est du Bénin

Community spaces and territorial practices at risk of contracting Buruli ulcer in south eastern Benin

Harvey-Spéro JOHNSON[1], harvey.johnson@yahoo.fr ; Alexandra BOCCAROSSA[2]; Esaïe ANAGONOU[3]; Télésphore BROU[4]; Perin CATRAYE[5]; Estelle MARION[1]; Matthieu EVEILLARD[1]

[1] INCIT, Inserm, Univ Angers, CHU Angers, Angers, France

[2] ESO, CNRS, Univ Angers, Angers, France

[3] Université d'Abomey-Calavi, CIFRED, Benin

[4] Département de Géographie, Université de la Réunion

[5] CDTLUB Raoul Follereau, Pobe, Benin

Résumé

L'ulcère de Buruli est une maladie tropicale négligée causée par Mycobacterium ulcerans. C'est la troisième mycobactériose la plus répandue dans le monde après la tuberculose et la lèpre. A ce jour, le mode de transmission exact reste méconnu.
Pour identifier des facteurs de risque de la maladie, nous avons réalisé des enquêtes de santé géographiques qui combinent une étude cas témoins prospective avec des parcours commentés. Au total 117 patients confirmés par PCR et 234 témoins ont été recrutés dans la région de l'Ouémé et du Plateau de novembre 2021 à juin 2024. Des analyses quantitatives et spatiales ont été réalisées.
Les résultats indiquent une distorsion de la répartition de l'âge par rapport au genre. L'âge médian chez les hommes était de 13 ans et de 27 ans chez les femmes. Les analyses multivariées montrent que la baignade (ORa = 3,8 ; IC à 95 % = 1,1-12,9) ; les activités de désherbage et de récolte en période d'inondation (ORa = 5,0 ; IC à 95 % = 1,4-17,6) ; la fréquentation des canaux d'irrigation dans les champs (ORa = 4,7 ; IC à 95 % = 1,5-14,3) et cultiver des cultures mixtes (vivrières et palmeraies) en zone inondable (ORa = 3,3 ; IC à 95 % = 1,1-10,5) représentent des facteurs de risque. Les analyses spatiales montrent que la fréquentation des canaux d'irrigation est une activité spécifique du sud (OR=7,3) tandis que le désherbage et la récolte en période d'inondation sont spécifiques du nord Ouémé (OR=6,6).
L'ensemble de ces résultats suggèrent qu'il existe des facteurs de risque en fonction de l'âge, du genre et du territoire. Ces informations apportent des connaissances précieuses dans la mise en place des stratégies de lutte contre l'ulcère de Buruli.

Abstract

Buruli ulcer is a neglected tropical disease caused by Mycobacterium ulcerans. It is the third most common mycobacterial disease in the world after tuberculosis and leprosy. To date, the exact mode of transmission remains unknown.
To identify risk factors for the disease, we conducted geographic health surveys that combined a prospective case-control study with guided tour. A total of 117 PCR-confirmed patients and 234 controls were recruited in the Oueme and Plateau regions between November 2021 and June 2024. Quantitative and spatial analyses were performed.
The results indicate a distortion in the age distribution by gender. The median age for men was 13 years and for women 27 years. Multivariate analyses show that swimming (ORa = 3,8 ; IC à 95 % = 1,1-12,9) ; weeding and harvesting activities during periods of flooding (ORa = 5,0 ; IC à 95 % = 1,4-17,6) ; the immersion of irrigation channels in fields (ORa = 4,7 ; IC à 95 % = 1,5-14,3) and agroforestry practice on flooded lands (ORa = 3,3 ; IC à 95 % = 1,1-10,5) represent risk factors of Buruli ulcer. Spatial analyses show that the use of irrigation canals is an activity specific to the south (OR=7,3) while weeding and harvesting during the flood season are specific to northern Oueme (OR=6,6).
All of these results suggest that there are risk factors based on age, gender, and territory. This information provides valuable insights into the implementation of strategies to prevent Buruli ulcer.

OL.61

Etat des lieux de l'échinococcose dans le département de Korhogo (Côte d'Ivoire)

State of Echinococcosis in the Department of Korhogo (Ivory Coast)

Fatoumata Coulibaly[1], coulbyfatt@yahoo.fr ; N. David Aka[2]; K. Benjamin Mbari[1]; B. Nicolas Aboly[1]; A.Jean-Louis Ndiaye[3]

[1] Université Peleforo Gon Coulibaly

[2] Université Felix Houphouet Boigny

[3] Université Thiès

Résumé

Le Kyste hydatique est une zoonose parasitaire due à Echinococcus granulosus. L'appellation « Kyste hydatique » est la dénomination historique qui a été donnée à la forme larvaire du parasite. La présente étude a été conduite afin de faire un état des lieux de l'Échinococcose kystique dans le département de Korhogo précisément dans les sous-préfectures de Korhogo, Napié et Niofoin. Pour ce faire, les méthodes utilisées étaient les interviews, l'observation des faits ainsi que les inspections de carcasses et la participation aux activités. Un questionnaire et des fiches d'observation ont permis de collecter les données nécessaires à la réalisation de l'étude. Les logiciels Excel version 2016 et SPSS version 20.0 ont permis le traitement des données collectées. Les résultats indiquent que l'Echinococcose est une maladie parasitaire connu en général par les personnes enquêtées. Cependant, la connaissance de l'hôte définitif et de personnes ayant une fois contractées cette maladie est faible voire nulle. Cette étude a montré que l'Echinococcose est bien présente dans le département de Korhogo. C'est une maladie à craindre aussi bien chez l'homme que chez le bovin étant donné son caractère zoonotique. Une étude plus approfondie devrait être menée au niveau des centres de santé du département ainsi que des élevages pour voir le poids de la maladie au sein des différentes populations afin de mieux les protéger.

Abstract

Hydatid cyst is a parasitic zoonosis caused by Echinococcus granulosus. The name "hydatid cyst" is the historical name given to the larval form of the parasite. This study was conducted to assess the prevalence of cystic echinococcosis in the department of Korhogo, specifically in the sub-prefectures of Korhogo, Napié, and Niofoin. To do this, the methods used were interviews, observation of facts, carcass inspections, and participation in activities. A questionnaire and observation sheets were used to collect the data necessary to carry out the study. Excel version 2016 and SPSS version 20.0 software were used to process the collected data. The results indicate that echinococcosis is a parasitic disease generally known to the people surveyed. However, knowledge of the definitive host and of people who have contracted the disease is low or even non-existent. This study showed that echinococcosis is indeed present in the department of Korhogo. It is a disease to be feared in both humans and cattle given its zoonotic nature. A more in-depth study should be conducted in the department's health centers and livestock farms to assess the impact of the disease on different populations in order to better protect them.

OL.62

Etat des lieux du niveau d'accès à l'eau potable, à l'hygiène et à l'assainissement dans les ménages de la commune de Bonou au sud du Bénin.

Assessment of the level of access to drinking water, hygiene and sanitation in households in the commune of Bonou in southern Benin

Sèwanoudé Symphorose Bérénice TOSSOULEGUE[1], tsymphorose@gmail.com ; Francine Innocentia AHITCHEDE JOHNSON[1]; Karine Lucrèce Marie CODJO-SEIGNON[1]; Zoulkifl SALOU BACHIROU[1]; Franck Zinsou MIGNANWANDE[1]; Roch Christian JOHNSON[1]

[1] Centre Interfacultaire de Formation et de Recherche en Environnement pour le développement Durable, Université d'Abomey-Calavi, Benin

Résumé

Introduction : L'accès à l'eau, l'hygiène et l'assainissement (EHA) est essentiel pour réduire la propagation des maladies infectieuses, surtout en milieu rural. Cette étude a pour but de fournir des données actualisées sur l'accès à l'eau, l'hygiène et l'assainissement dans la commune rurale de Bonou afin de guider les interventions WASH.
Méthode : Il s'est agi d'une étude transversale menée dans tous les arrondissements de la commune de Bonou auprès de 361 ménages. Les données ont été recueillies à l'aide d'un questionnaire via Kobocollect, puis des analyses descriptives et une régression logistique multivariée ont été réalisées.
Résultats : L'enquête révèle que les chefs de ménage étaient majoritairement des hommes, d'âge médian 40 ans, et sans niveau scolaire. Les conditions de vie étaient globalement faibles, avec des habitations précaires et des revenus journaliers souvent inférieurs à 500 francs CFA. Seuls 35,5% soit 128 ménages sur les 361 enquêtés ont accès tout au moins à une source d'eau améliorée, disponible en toutes saisons et se trouvant à moins de 30 minute de leur habitation ; 19,4 % soit 70 ménages, ont accès à un service basique en matière d'hygiène et en assainissement seul 0,6 % des ménages, soit 02 sur 361 ménages, bénéficient d'un service basique. L'analyse multivariée indique que le sexe, le niveau d'instruction, le revenu journalier et le lieu de résidence des ménages sont significativement associes à l'accès à une source d'eau améliorée.
Conclusion : Cette étude met en lumière une situation inquiétante marquée par un accès restreint aux services d'EHA dans la commune de Bonou, surtout en ce qui concerne l'assainissement où une grande partie des ménages s'adonne toujours à la défécation à l'air libre.

Abstract

Introduction: Access to water, hygiene, and sanitation (WASH) is essential to reducing the spread of infectious diseases, especially in rural areas. This study aims to provide updated data on access to water, hygiene, and sanitation in the rural commune of Bonou to guide WASH interventions.
Method: This was a cross-sectional study conducted in all districts of the municipality of Bonou with 361 households. Data were collected using a questionnaire via Kobocollect, then descriptive analyses and multivariate logistic regression were performed.
Results: The survey revealed that the heads of households were predominantly men, with a median age of 40, and no formal education. Living conditions were generally poor, with precarious housing and daily incomes often below 500 CFA francs. Only 35.5%, or 128 out of 361 households surveyed, had access to at least one improved water source, available year-round and located within 30 minutes of their home; 19.4%, or 70 households, had access to basic hygiene and sanitation services; and only 0.6%, or 2 out of 361 households, benefited from basic services. Multivariate analysis indicated that gender, education level, daily income, and place of residence were significantly associated with access to an improved water source.
Conclusion: This study highlights a worrying situation marked by restricted access to WASH services in the municipality of Bonou, especially with regard to sanitation where a large proportion of households still engage in open defecation.

OL.63

Etude comparative de deux méthodes de détermination du taux d'hémoglobine

Comparative study of two methods for determining hemoglobin levels

Atchadé Pascal TCHOGOU[1], tchopass2@gmail.com ; Jean ZINDEHOUTO[1]; Espérance MEDOATINSA[1]; Féliciènne AGBOGBA[1]; Eugénie ANAGO[2]; Lamine BABA-MOUSSA[2]; Maximin SENOU[1]

[1] Université Nationale des Sciences, Technologies, Ingénierie et Mathématiques (UNSTIM), Bénin

[2] Université d'Abomey Calavi (UAC), Bénin

Résumé

Contexte et Objectif : Les résultats émanant d'un laboratoire d'analyses médicales doivent présenter une fiabilité irréprochable. Dès lors, tout doute relatif au bon fonctionnement d'un appareil de mesure doit être impérativement levé. La présente étude se donne pour objectif général d'évaluer les taux d'hémoglobine obtenus par l'HemoCue® Hb301 et l'automate Mindray BC-2800 au sein de l'hôpital de zone Dassa-Glazoué, en vue d'établir une comparaison.
Méthodologie : Cette étude étant descriptive et comparative s'est déroulée durant la période allant de 10 mars au 10 juin 2025. La mesure du taux d'hémoglobine a été réalisée respectivement avec les deux appareils sur 100 échantillons de sang prélevés par capillarité (HemoCue® Hb301) et dans les tubes EDTA (Automate) chez les patients dont le TxHb ou l'hémogramme a été demandé sans aucune distinction d'âge ni de sexe. L'étude de la corrélation a été réalisée sur les valeurs obtenues à partir de la mesure de l'hémoglobine avec les deux appareils.
Résultats : Les résultats montrent que les valeurs du taux d'hémoglobine obtenues avec HemoCue® Hb 301 sont plus élevées (10,658 g/dl) que celles obtenues avec l'Automate d'hématologie Mindray BC 2800 (10,334 g/dl). Ces résultats montrent cependant qu'il y a une forte corrélation entre les valeurs de taux d'hémoglobine obtenues par les deux méthodes de mesure. En résumé, l'étude indique qu'il n'y a pas une différence statistiquement significative entre ces deux méthodes de détermination du taux d'hémoglobine, mais elles montrent également une corrélation linéaire.
Conclusion : Ces deux méthodes sont globalement cohérentes et montrent une relation prévisible entre elles malgré la différence entre les valeurs qu'elles donnent.

Abstract

Context and Objective: The results from a medical analysis laboratory must be of impeccable reliability. Therefore, any doubt relating to the proper functioning of a measuring device must be removed. The general objective of this study is to evaluate the hemoglobin levels obtained by the HemoCue® Hb301 and the Mindray BC-2800 machine within the Dassa-Glazoué zone hospital, with a view to establishing a comparison.
Methodology: This prospective and comparative study took place during the period from March 10 to June 10, 2025. The measurement of the hemoglobin level was carried out respectively with the two devices on 100 blood samples taken by capillary action (HemoCue® Hb301) and on an EDTA tube (Automate) in patients for whom TxHb or CBC was requested without any distinction of age or sex. The correlation study was carried out on the values obtained from the measurement of hemoglobin with the two devices.
Results: The results show that the hemoglobin level values obtained with HemoCue® Hb 301 are higher (10.658 g/dl) than those obtained with the Mindray BC 2800 Hematology Automate (10.334 g/dl). These results show, however, that there is a strong correlation between the hemoglobin level values obtained by the two measurement methods. In summary, these findings indicate that there is not a statistically significant difference between these two methods of determining hemoglobin levels, but they also show a linear correlation.
Conclusion: These two methods are generally consistent and show a predictable relationship between them despite the difference between the values they give.

OL.64

Etude des marqueurs sérologiques de l'hépatite virale B chez les patients vivant avec le syndrome drépanocytaire majeur au service d'hématologie du CNHU de Cotonou en 2025

Serological markers of hepatitis B virus infection among patients with major Sickle Cell Disease at the Hematology Department of the CNHU of Cotonou, 2025

Tatiana BAGLO[1], tatianabag@yahoo.fr ; Luc BEHANZIN[2]; Alban ZOHOUN[1]; Peace ADIMOU[3]; Bienvenu HOUSSOU[4]; Gnon OROU-GUIWA[4]

[1] Faculté des Sciences de la Santé, Cotonou- Université d'Abomey-Calavi, Bénin/ Laboratoire d'hématologie, Centre National Hospitalier Universitaire-Cotonou, Bénin

[2] ENATSE, Université de Parakou, Bénin; Ecole Doctorale des Sciences de la Santé, UAC, Bénin

[3] Université d'Abomey-Calavi, Bénin/ Laboratoire d'hématologie, Centre National Hospitalier Universitaire-Cotonou, Bénin

[4] Service d'hématologie clinique, Centre National Hospitalier Universitaire-Cotonou, Bénin

Résumé

Introduction : la comorbidité drépanocytose-VHB engendre des difficultés de prise en charge additionnelles pour les patients. Malgré ces enjeux, les données sur la prévalence de l'hépatite B chez les patients vivant avec le syndrome drépanocytaire majeur sont quasi-inexistantes au Bénin.
Méthode d'étude : l'étude était transversale avec une collecte prospective réalisée du 30 juillet au 30 Octobre 2025 dans le service d'hématologie du CNHU de Cotonou. Ont été inclus les patients suivis pour drépanocytose et admis pendant la période d'étude. Après un entretien individuel au cours duquel le consentement éclairé des patients a été obtenu, une revue documentaire des dossiers médicaux et un prélèvement de sang veineux ont été effectués en vue de la recherche de l'antigène HBs, de l'anticorps anti-HBc et de l'anticorps anti-HBs par méthode immunologique.
Résultats : au total, 131 drépanocytaires ont été inclus dont 81 patients SS et 50 SC. L'âge moyen de la population d'étude était de 31,3 ± 14,6 ans. Aussi 67,9% des patients avaient un antécédent transfusionnel et 59,8% étaient vaccinés contre l'hépatite B. L'étude des marqueurs sérologiques du virus de l'hépatite B a retrouvé 13 porteurs d'Ag Hbs soit une séroprévalence de 9,92 % et 52 drépanocytaires ont été en contact avec le virus avec un Ac anti Hbc positif (39,7%). Aucun patient âgé de moins de 25 ans n'était porteur du virus de l'hépatite B et 41,2% des 131 patients inclus étaient immunisés avec un Ac anti Hbs positif. L'étude des facteurs associés à l'hépatite B retrouvait l'antécédant transfusionnel comme facteur de risque tandis que la vaccination, le nombre de doses reçu et un revenu mensuel élevé étaient des facteurs protecteurs.
Conclusion : dans notre contexte endémique, la vaccination des drépanocytaires contre le virus de l'hépatite B constitue un maillon fort de la prise en charge et doit donc être recommandée.

Abstract

Introduction:
Sickle cell disease–hepatitis B virus (HBV) comorbidity leads to additional challenges in patient management. Despite these issues, data on the prevalence of hepatitis B among patients with major sickle cell desease are almost non-existent in Benin.
Methods:
This was a cross-sectional study with prospective data collection conducted from July 30 to October 30, 2025, in the Hematology Department of the National University Hospital Center (CNHU) of Cotonou. Patients followed for sickle cell disease and admitted during the study period were included. After individual interviews during which informed consent was obtained, a review of medical records and venous blood sampling were performed to detect hepatitis B surface antigen (HBsAg), anti-HBc antibodies, and anti-HBs antibodies using immunological methods.
Results:
A total of 131 patients with sickle cell disease were included, comprising 81 SS and 50 SC patients. The

mean age of the study population was 31.3 ± 14.6 years. Overall, 67.9% of patients had a history of blood transfusion, and 59.8% had been vaccinated against hepatitis B. Analysis of HBV serological markers identified 13 HBsAg-positive patients, corresponding to a seroprevalence of 9.92%. In addition, 52 patients (39.7%) showed evidence of prior exposure to HBV with positive anti-HBc antibodies. No patient under 25 years of age was infected with hepatitis B virus, and 41.2% of the 131 patients were immune, with positive anti-HBs antibodies. Analysis of factors associated with hepatitis B infection identified a history of blood transfusion as a risk factor, whereas vaccination, the number of vaccine doses received, and higher monthly income were protective factors.
Conclusion:
In our endemic setting, hepatitis B vaccination among patients with sickle cell disease represents a key component of comprehensive care and should therefore be recommended.

OL.65

Étude des risques professionnels chez les travailleurs d'une mine industrielle d'or au Mali : cas du site de Komana en 2024

Study of occupational risks among workers in an industrial gold mine in Mali: the case of the Komana site in 2024

IBRAHIM MAMA CISSE[1], onjourna@gmail.com ; Ménonli ADJOBIMEY[2]; Ibrahim HASSAN[3]; Rose MIKPONHOUE[4]; Antoine Vikkey HINSON[5]; Ahoumènou Paul AYELO[5]

[1] 1. Département de Médecine et Spécialités Médicales, Faculté de Médecine, Université de Parakou, Bénin.

[2] 2. Département de Médecine et Spécialités Médicales, Faculté des Sciences de la Santé, Université d'Abomey-Calavi, Bénin

[3] 3. Institut National de Formation en Sciences de la Santé (INFSS) de Bamako, Mali.

[4] 2. Département de Médecine et Spécialités Médicales, Faculté des Sciences de la Santé, Université d'Abomey-Calavi, Bénin.

[5] Département de Médecine et Spécialités Médicales, Faculté des Sciences de la Santé, Université d'Abomey-Calavi, Bénin.

Résumé

Introduction : Le secteur minier est un des piliers de l'économie de plusieurs pays africains dont la Mali. Malgré sa rentabilité, il reste associé à une exposition à des risques professionnels majeurs en raison d'une défaillance de la prévention. Objectif : Cette étude avait pour objectif d'étudier les risques professionnels et leurs impacts sur la santé des travailleurs miniers.
Méthodologie : Il s'agissait d'une étude transversale descriptive menée auprès de 250 travailleurs de la mine industrielle d'or de Komana dans la période allant du 15 novembre au 31 décembre 2024. Les données ont été collectées à base d'un questionnaire grâce l'application Kobo Collect. Un seuil de significativité de 5% a été retenu.
Résultats : Au total 250 travailleurs ont participé à l'enquête. Ils étaient majoritairement de sexe masculine (96,4%), âgée de plus de 30 ans (56,0%). Les travailleurs étaient exposés aux poussières (98,7%), aux vibrations (49,6%), et à un terrain difficile (58,7%). La prévalence du stress était 68,4% et celle de la fatigue à 59,8%. On notait une charge de travail excessive (71,6%) dont 54,4% chez les travailleurs de nuit. Les atteintes à la santé retrouvées étaient les troubles respiratoires (46,1%) et les troubles musculosquelettiques (33%).
Conclusion : Le site minier de Komana présente un environnement de travail à hauts risques multifactoriels. D'où la nécessité de la mise en œuvre des mesures de prévention adaptées.

Abstract

Introduction: The mining sector is a pillar of the economy in several African countries, including Mali. Despite its profitability, it remains associated with exposure to major occupational hazards due to inadequate prevention measures. Objective: This study aimed to investigate occupational hazards and their impact on the health of mine workers.
Methodology: This was a descriptive cross-sectional study conducted with 250 workers at the Komana industrial gold mine between November 15 and December 31, 2024. Data were collected using a questionnaire administered via the Kobo Collect application. A significance level of 5% was set.
Results: A total of 250 workers participated in the survey. They were predominantly male (96.4%) and over 30 years old (56.0%). Workers were exposed to dust (98.7%), vibrations (49.6%), and difficult terrain (58.7%). The prevalence of stress was 68.4% and that of fatigue 59.8%. Excessive workload was noted (71.6%), with 54.4% of this affecting night shift workers. The most common health problems were respiratory disorders (46.1%) and musculoskeletal disorders (33%).
Conclusion: The Komana mining site presents a high-risk, multifactorial work environment. Therefore, the implementation of appropriate preventive measures is essential.

OL.66

Étude tomodensitométrique du processus unciné de l'ethmoïde chez le sujet togolais : morphométrie, variations anatomiques et implications chirurgicales.

Computed Tomographic Study of the Ethmoidal Uncinate Process in the Togolese Population: Morphometry, Anatomical Variations, and Surgical Implications

Winga Foma, winga.foma@yahoo.com

CHU Sylvanus Olympio de Lomé

Résumé

Objectif : décrire à la tomodensitométrie, l'anatomie du processus unciné (PU) de l'ethmoïde pour en ressortir les aspects à risques chirurgicaux chez le sujet togolais.
Méthode : Il s'est agi d'une étude transversale descriptive et analytique, par collecte rétrospective des examens de tomodensitométrie (TDM) réalisés du 1er janvier 2025 au 30 novembre 2025 (11 mois) au CHU SO de Lomé. La méthode de collecte utilisée était celle non aléatoire avec une technique d'échantillonnage exhaustive. Les données ont été extraites des examens de TDM réalisés sur la période étudiée, selon des critères d'inclusion. Le logiciel de lecture était le workstation DICOM avec outil de mesure (Synapse 3D).
Résultats : 104 examens respectaient les critères d'inclusion, permettant l'étude de 208 PU de l'ethmoïde. L'âge moyen des patients était de 44,7 ans ±15,7 ans. La sex-ratio était de 0,93. Soixante-deux pourcent (62,0%) des patients avaient une longueur du PU entre 15 et 25 mm. La tranche de hauteur du PU de 10 à 20 mm représentait 73,1% des cas ; celle de 2 à 4 mm de largeur 80,8% et celle de 3 à 5 mm d'épaisseur 68,8% des cas. La longueur moyenne de l'infundibulum ethmoïdal était de 9,4 ± 1,8 mm. L'angle entre le PU et le plan du plancher nasal valait moins de 30° chez 20,7% des patients et plus de 50° chez 16,8%. Les PU chez les sujets de sexe masculin étaient globalement plus hauts, plus épais et plus larges ($p<0,05$). Suivant la classification de Landsberg et Friedman, l'attache supérieure du PU à la lame papyracée (type 1) a été la plus observée avec 78 cas (37,5%). La longueur et la hauteur moyennes du PU étaient plus élevées dans l'attache supérieure de type 5 que dans les autres ($p<0,001$). Une largeur moyenne du PU et une longueur d'infundibulum plus élevées étaient associées à la présence de sinusite ($p<0,05$). Selon le type d'attache supérieure du PU, le risque de brèche orbitaire en cas d'uncinectomie était de 73,1% ; celui de la brèche de la base du crâne de 22,1%.
Conclusion : les variations anatomiques du PU de l'ethmoïde sont susceptibles d'accroître le risque de brèche orbitaire et de brèche ostéoméningée lors de la chirurgie endoscopique fonctionnelle des sinus à Lomé.

Abstract

Objective: To describe, using computed tomography, the anatomy of the ethmoidal uncinate process (UP) and to identify surgically relevant risk features in the Togolese population.
Methods: This was a descriptive and analytical cross-sectional study based on a retrospective review of computed tomography (CT) scans performed between January 1 and November 30, 2025 (11 months) at the Sylvanus Olympio University Hospital of Lomé. A non-random exhaustive sampling method was used. Data were extracted from CT examinations meeting the inclusion criteria. Image analysis and measurements were performed using a DICOM workstation equipped with measurement tools (Synapse 3D).
Results: A total of 104 CT examinations met the inclusion criteria, allowing analysis of 208 ethmoidal uncinate processes. The mean age of patients was 44.7 ± 15.7 years, with a sex ratio of 0.93. Sixty-two percent (62.0%) of patients had a UP length between 15 and 25 mm. A UP height between 10 and 20 mm was observed in 73.1% of cases, a width between 2 and 4 mm in 80.8%, and a thickness between 3 and 5 mm in 68.8%. The mean length of the ethmoidal infundibulum was 9.4 ± 1.8 mm. The angle between the UP and the nasal floor plane was less than 30° in 20.7% of patients and greater than 50° in 16.8%. UPs in male patients were generally higher, thicker, and wider ($p < 0.05$). According to the Landsberg and Friedman classification, superior attachment of the UP to the lamina papyracea (type 1)

was the most frequent, observed in 78 cases (37.5%). Mean UP length and height were significantly greater in type 5 attachment compared with other types ($p < 0.001$). Increased mean UP width and longer infundibulum length were significantly associated with the presence of sinusitis ($p < 0.05$). Depending on the type of superior attachment, the risk of orbital wall breach during uncinectomy was estimated at 73.1%, while the risk of skull base breach was 22.1%.
Conclusion: Anatomical variations of the ethmoidal UP may significantly increase the risk of orbital and osteomeningeal breaches during functional endoscopic sinus surgery in Lomé. Preoperative CT evaluation of the uncinate process is therefore essential to optimize surgical safety.

OL.67

EVALUATION DE LA PERFORMANCE CLINIQUE DU STANDARD Q HIV/Syp/HBsAg Triple Test® EN COTE D'IVOIRE

EVALUATION OF THE CLINICAL PERFORMANCE OF THE STANDARD Q HIV/Syp/HBsAg Triple Test® IN IVORY COAST

MIHESSE ROSELINE AFFI[1], miyossai@yahoo.fr ; MATHIEU KABRAN[1]; MARIE PIERRE ELEPO[2]; GRACE EMMANUELLE TO LOU[2]; CECILE KOFFI[2]; KALIDJA MEITE[2]; KOKO ANDRE INWOLEY[1]

[1] 1.Université Felix Houphouet Boigny, Abidjan; Côte d'Ivoire 2. Centre de Diagnostic et de Recherches en Santé (CeDReS) Abidjan; Côte d'Ivoire

[2] Centre de Diagnostic et de Recherches en Santé (CeDReS)

Résumé

INTRODUCTION
Dans le cadre de la lutte combinée contre l'infection à VIH, l'hépatite virale B et la syphilis, notamment pour la prévention de la transmission mère-enfant et en transfusion sanguine, disposer de test de dépistage combiné de ces pathologies est un atout majeur. L'objectif était d'évaluer les performances diagnostiques du Triple test Standard Q HIV, Syphilis, AgHBs de SD Biosensor en Côte d'Ivoire.
MATERIEL ET METHODES
Il s'agit d'une étude transversale d'évaluation de la performance d'un test de diagnostic rapide, STANDARD Q HIV/Syp/HBsAg Triple Test® conduite au Centre de Diagnostic et de Recherche en Santé (CeDReS) de Juin à Octobre 2025 sur un panel de 187 échantillons de plasma. Les performances diagnostiques ont été calculées comparativement aux tests de référence immuno-enzymatiques : Geenscreen ULTRA HIV Ag-Ab®, Monolisa HBs Ag ULTRA de BIORAD et MAGLUMI® TP de SNIBE.
RESULTATS
Pour la détection du VIH, le Triple Test® a présenté une sensibilité et une spécificité de 100%. L'AgHBs et la syphilis ont été détectés avec une sensibilité de 98,3% et des spécificités respectives de 100% et 97,6%. Les VPP du VIH et de l'AgHBs étaient de 100% mais de 95,2% pour la syphilis. Quant aux VPN, elles étaient de 100% pour le VIH contre 99,2% pour l'AgHBs et la syphilis. Le taux de discordance était de 2,13% pour la syphilis suivi de 0,53% pour l'AgHBs. Les caractéristiques opérationnelles du Triple Test® sont satisfaisantes car sont d'une praticabilité simple et très adaptés aux laboratoires périphériques.
CONCLUSION
Les performances diagnostiques du Triple test® pour le VIH, la Syphilis et l'hépatite virale B étaient satisfaisantes. Ce test peut donc être recommandé pour la triple élimination de la transmission des trois infections de la mère à l'enfant et dans la sécurité transfusionnelle dans le contexte africain.

Abstract

INTRODUCTION
In the context of the combined fight against HIV infection, viral hepatitis B and syphilis, particularly for the prevention of mother-to-child transmission and blood transfusion, having a combined screening test for these diseases is a major asset. The objective was to evaluate the diagnostic performance of SD Biosensor's Standard Q HIV, Syphilis, AgHBs Triple Test in Côte d'Ivoire.
MATERIALS AND METHODS
This is a cross-sectional study evaluating the performance of a rapid diagnostic test, STANDARD Q HIV/Syp/HBsAg Triple Test®, conducted at the Centre for Health Diagnosis and Research (CeDReS) from June to October 2025 on a panel of 187 plasma samples. Diagnostic performance was calculated in comparison with the reference immunoenzymatic tests: Geenscreen ULTRA HIV Ag-Ab®, Monolisa HBs Ag ULTRA from BIORAD and MAGLUMI® TP from SNIBE.
RESULTS
For HIV detection, the Triple Test® showed 100% sensitivity and specificity. HBsAg and syphilis were detected with a sensitivity of 98.3% and specificities of 100% and 97.6% respectively. The PPV for HIV and HBsAg was 100%, but 95.2% for syphilis. The NPVs were 100% for HIV versus 99.2% for HBsAg

and syphilis. The discordance rate was 2.13% for syphilis, followed by 0.53% for HBsAg. The operational characteristics of the Triple Test® are satisfactory as it is easy to use and well suited to peripheral laboratories.
CONCLUSION
The diagnostic performance of the Triple Test® for HIV, syphilis and viral hepatitis B was satisfactory. This test can therefore be recommended for the triple elimination of mother-to-child transmission of the three infections and for transfusion safety in the African context.

OL.68

Évaluation de la promptitude du système de santé face à la flambée de dengue dans la région du Centre au Burkina Faso en 2023 selon l'approche 7-1-7

Assessment of the health system's responsiveness to the dengue outbreak in the Central region of Burkina Faso in 2023 using the 7-1-7 approach

Yves M K KANTAGBA, kantagbayves2@gmail.com

Université Joseph Ki Zerbo, Burkina Faso

Résumé

En 2023, le Burkina Faso a enregistré une flambée de dengue avec une augmentation significative des cas et une mortalité considérable. L'approche 7-1-7 définit des objectifs de performance : détection en 7 jours, notification en 1 jour et riposte précoce en 7 jours. Cette étude visait à évaluer la réactivité du système de santé de la région du Centre selon ce cadre. Une évaluation rétrospective a été conduite à partir des bulletins épidémiologiques, rapports de situation et rapports d'investigations. Elle a mobilisé les acteurs de la direction régional de la santé et des districts impliqués dans la coordination de la riposte. Les délais de détection, notification et riposte ont été calculés selon les définitions standardisées 7-1-7. Les goulots d'étranglement et catalyseurs ont été identifiés pour chaque indicateur. Les délais observés étaient : détection 226 jours en partant des directives du guide de surveillance intégré national, notification 21 jours, riposte 18 jours. Aucun objectif n'a été atteint. Les principaux goulots d'étranglement identifiés étaient : l'absence d'un seuil épidémique adaptés au contexte endémique, l'insuffisance de tests de diagnostic, la diffusion limitée des directives, l'absence de procédures de notification standardisées et l'absence de ligne budgétaire dédiée aux épidémies. Les catalyseurs incluaient l'existence d'un système de surveillance intégré et l'engagement des partenaires techniques et financiers. L'évaluation 7-1-7 a révélé des retards significatifs dans la chaîne détection-notification-riposte. Les principales recommandations sont la révision des seuils épidémiques, l'approvisionnement continue en tests de diagnostic rapides, la formation des agents de santé et l'élaboration de procédures de notification standardisées. L'approche 7-1-7 offre un cadre structurant pour améliorer la réactivité face aux maladies endémiques.

Abstract

In 2023, Burkina Faso experienced a dengue outbreak with a significant increase in cases and considerable mortality. The 7-1-7 approach defines performance objectives: detection within 7 days, notification within 1 day, and early response within 7 days. This study aimed to assess the responsiveness of the Central Region's health system according to this framework. A retrospective evaluation was conducted using epidemiological bulletins, situation reports, and investigation reports. It involved stakeholders from the regional health directorate and districts involved in coordinating the response. Detection, notification, and response times were calculated according to the standardized 7-1-7 definitions. Bottlenecks and catalysts were identified for each indicator. The observed timeframes were: detection 226 days, notification 21 days, and response 18 days. No objectives were met. The main bottlenecks identified were: the absence of an epidemic threshold adapted to the endemic context, insufficient diagnostic testing, limited dissemination of guidelines, the lack of standardized notification procedures, and the absence of a dedicated budget line for epidemics. Catalysts included the existence of an integrated surveillance system and the commitment of technical and financial partners. The 7-1-7 assessment revealed significant delays in the detection-notification-response chain. Recommendations include revising epidemic thresholds, increasing the supply of rapid diagnostic tests, training healthcare workers, and developing standardized notification procedures. The 7-1-7 approach provides a structured framework for improving responsiveness to endemic diseases.

OL.69

Evaluation de la transmission mère enfant du VIH à l'hôpital de district commune IV de 2022 à 2024

Evaluation of mother-to-child transmission of HIV at District Hospital Commune IV from 2022 to 2024

Nouhoum TELLY[1], nouhoumtelly@gmail.com ; Ibrahim TEME[2]; Mahamadou S SISSOKO[3]; Madina KONATE[4]; Hamdoun SANGHO[3]

[1] 1Cellule Sectorielle de Lutte Contre le VIH /sida, la Tuberculose et les Hépatites virales (CSLS-TBH) Bamako, Mali 2Université des sciences, des techniques et technologies de Bamako (USTTB)

[2] 3Hopital du District de la Commune IV de Bamako

[3] 2Université des sciences, des techniques et technologies de Bamako (USTTB)

[4] 1Cellule Sectorielle de Lutte Contre le VIH /sida, la Tuberculose et les Hépatites virales (CSLS-TBH) Bamako, Mali

Résumé

Introduction : La transmission du Virus de l'Immunodéficience Humaine de la mère à l'enfant reste un défi majeur de santé publique. L'objectif était d'étudier la transmission mère-enfant (TME) du VIH à l'hôpital de district commune IV de 2022 à 2024.
Méthodes : Il s'agissait d'une étude transversale ayant concerné 231dossiers médicaux et registres de laboratoire de 2022 à 2024 à l'hôpital du district de la commune IV de Bamako. Les données ont été saisies sur Excel et analysées avec STATA. Pour garantir la confidentialité des données les identifiants ont été utilisés. L'autorisation de consultation des dossiers médicaux a été obtenue auprès de la direction de l'hôpital. Aucune donnée nominative n'a été utilisée.
Résultats : La fréquence de la TME était de 3,9%. Parmi les nourrissons 51,95% étaient de sexe féminin. Les nourrissons de 0-6 mois représentait 84,41% au moment de la PCR1. Chez les mères, la tranche d'âge 27 à 35 ans a représentée 55,8%, les ménagères représentaient 65% et 90% des femmes étaient mariées. Le VIH1 a représenté 96,54%. Celles qui connaissaient leur statut sérologique avant la grossesse étaient de 81,82% et 97,84% ont été mises sous traitement antirétroviral (ARV) avant l'accouchement, mais 3,90% l'ont interrompu, 66,23% des mères étaient sous Tenofovir/Lamivudine/Dolutégravir (TLD), 50,64% n'avait pas fait de CD4, et 25,54% la charge virale. Il y avait un lien statistiquement significatif entre ces examens et la positivité de la PCR1 ($p=0,002$). Il existait un lien statistiquement significatif entre la prophylaxie des nourrissons et la PCR1+ ($p<0,001$).
Conclusion : Notre étude souligne la nécessité d'un suivi rigoureux, d'un traitement précoce et d'une observance stricte des ARV pour réduire la transmission mère-enfant du VIH.
Ainsi, il est essentiel de renforcer la sensibilisation communautaire, d'améliorer la formation continue du personnel de santé et de mettre en place un système de suivi plus rigoureux pour garantir une prise en charge efficace et durable.

Abstract

Introduction: Mother-to-child transmission of HIV remains a major public health challenge. The objective was to study mother-to-child transmission (MTCT) of HIV at the Commune IV District Hospital from 2022 to 2024.
Methods: This was a cross-sectional study involving 231 medical records and laboratory logs from 2022 to 2024 at the Commune IV District Hospital in Bamako. Data were entered into Excel and analyzed using STATA. Identifiers were used to ensure data confidentiality. Permission to access medical records was obtained from the hospital administration. No personally identifiable information was used.
Results: The MTCT rate was 3.9%. Among the infants, 51.95% were female. Infants aged 0-6 months represented 84.41% of the sample at the time of PCR1 testing. Among the mothers, the 27-35 age group represented 55.8%, housewives represented 65%, and 90% of the women were married. HIV-1 was present in 96.54% of cases. 81.82% of those who knew their HIV status before pregnancy, and 97.84% were started on antiretroviral therapy (ART) before delivery, but 3.90% discontinued it. 66.23% of the mothers were on Tenofovir/Lamivudine/Dolutegravir (TLD), 50.64% had no CD4 count, and

25.54% had viral load testing. There was a statistically significant association between these tests and a positive PCR1 result (p=0.002). There was a statistically significant association between infant prophylaxis and PCR1+ (p<0.001).
Conclusion: Our study highlights the need for rigorous follow-up, early treatment, and strict adherence to antiretroviral therapy (ART) to reduce mother-to-child transmission of HIV. Therefore, it is essential to strengthen community awareness, improve continuing education for healthcare personnel, and implement a more rigorous follow-up system to ensure effective and sustainable care.

OL.70

Evaluation de l'adhésion du personnel du bloc opératoire à l'utilisation de la check-list de l'OMS à l'Hôpital Saint Camille de Ouagadougou (HOSCO) au Burkina Faso

Evaluation of operating room staff adherence to the use of the WHO checklist at Saint Camille Hospital in Ouagadougou (HOSCO) in Burkina Faso

Nabonswindé Lamoussa Marie OUEDRAOGO[1], maouedna@gmail.com ; KM Jocéline NIKIEMA[1]; N Rodrigue DOAMBA[2]; Edgar OUANGRE[3]; Maurice ZIDA[3]; Adama SANOU[2]

[1] Hôpital Saint Camille de Ouagadougou / Université Saint Thomas d'Aquin (USTA), Burkina Faso

[2] CHU Tengandogo Université Joseph Ki Zerbo

[3] CHU Yalgado Ouédraogo; Université Joseph Ki Zerbo

Résumé

Introduction : La check-list de l'OMS permet de réduire les erreurs évitables et d'instaurer une culture de sécurité du patient au bloc opératoire
Méthodes : il s'est agi d'une étude prospective à visée descriptive et analytique, réalisée au grand bloc de l'HOSCO du 1er Février au 30 Avril 2025
Résultats : Au total, 23 acteurs de la check-list de l'OMS ont été inclus dans notre étude. L'âge moyen des participants était de 41,12±9,4 ans. Le taux d'utilisation de la check-list était de 76,1% avec un taux de conformité de 24%. Le taux de remplissage de la check-list était de 98,74% avant l'induction, 28,3% avant l'incision et 31,45% avant la sortie du patient du bloc opératoire. L'analyse multivariée a mis en évidence une association significative entre la chirurgie d'urgence et l'utilisation de la check-list (p=0,003) et entre le nombre d'acteurs du bloc opératoire présents à l'intervention et le taux de complétude de la check-list (p=0,001). Dans 52,2%, des cas, les répondants affirmaient avoir une bonne connaissance de la check-list et y adhéraient. L'engagement institutionnel était perçu par les acteurs, comme une force impulsive de la check-list (p=0,005). Les principaux obstacles à l'utilisation de la check-list étaient le manque de temps (p=0,004), la résistance au changement (0,001). Dans 95,7%, les répondants ont affirmé que la check-list améliore la sécurité du patient au bloc opératoire et renforce la communication au sein de l'équipe opératoire.
Conclusion : La check-list est un outil simple mais puissant. Son efficacité repose sur l'adhésion des équipes et l'intégration dans une culture de sécurité hospitalière.

Abstract

Introduction: The WHO check-list helps reduce preventable errors and establish a culture of patient safety in the operating room.
Methods: This was a prospective descriptive and analytical study conducted in the main operating room at HOSCO from February 1 to April 30, 2025.
Results: A total of 23 participants in the WHO checklist were included in our study. The average age of participants was 41.12±9.4 years. The checklist usage rate was 76.1% with a compliance rate of 24%. The checklist completion rate was 98.74% before induction, 28.3% before incision, and 31.45% before the patient left the operating room. Multivariate analysis revealed a significant association between emergency surgery and checklist use (p=0.003) and between the number of operating room staff present during the procedure and the checklist completion rate (p=0.001). In 52.2% of cases, respondents said they had a good knowledge of the checklist and adhered to it. Institutional commitment was perceived by staff as a driving force behind the checklist (p=0.005). The main obstacles to using the checklist were lack of time (p=0.004) and resistance to change (0.001). In 95.7% of cases, respondents stated that the checklist improves patient safety in the operating room and strengthens communication within the surgical team.
Conclusion: The check-list is a simple but powerful tool. Its effectiveness depends on team buy-in and integration into a culture of hospital safety.

OL.71

Évaluation de solutions basées sur l'intelligence artificielle pour la détection automatique de maladies liées aux globules rouges au Bénin

Evaluation of AI-Based Models for Automatic Detection of Red Blood Cell–Related Diseases in Benin

ALBAN GILDAS COMLAN ZOHOUN, comlanz@yahoo.fr

Faculté des Sciences de la Santé de Cotonou – Université d'Abomey Calavi - Bénin / Laboratoire d'Hématologie - Clinique Universitaire des Maladies du Sang - CNHU-HKM – Cotonou

Résumé

Introduction : La cytologie hématologique reste une étape clé du diagnostic biologique, en particulier dans les pays à ressources limitées où l'expertise spécialisée est centralisée. Au Bénin, cette activité est principalement assurée au Centre National Hospitalier Universitaire Hubert Koutoukou Maga (CNHU-HKM) de Cotonou. Malgré les progrès des automates d'hématologie, l'examen manuel des frottis sanguins demeure indispensable pour la détection des anomalies qualitatives. L'intelligence artificielle (IA), notamment les réseaux de neurones convolutionnels (CNN), offre des perspectives intéressantes pour automatiser et fiabiliser cette étape.
Objectif : Évaluer et comparer les performances de solutions basées sur l'IA pour la détection automatique de maladies liées aux globules rouges, en mettant en perspective un modèle développé localement au CNHU-HKM avec d'autres modèles CNN existants.
Méthodes : Un modèle CNN à 12 couches a été entraîné à partir d'images de frottis sanguins issues du laboratoire d'hématologie du CNHU-HKM. Les performances de ce modèle ont été comparées à celles d'autres architectures CNN rapportées dans la littérature, en termes de précision de classification et de détection des anomalies morphologiques des globules rouges.
Résultats : Le modèle développé a atteint une performance d'apprentissage de 99 % et une précision supérieure à 90 % sur les données de test pour la classification des leucocytes. Il a permis la détection automatique de pathologies associées aux anomalies de forme des globules rouges, telles que la drépanocytose, la schizocytose et l'elliptocytose, avec une performance globale de 86 %. Les résultats sont comparables à ceux des modèles existants tout en étant adaptés au contexte local.
Conclusion : Les solutions basées sur l'IA constituent un outil prometteur pour renforcer le diagnostic cytologique au Bénin, en améliorant l'accessibilité, la fiabilité et la rapidité des analyses.

Abstract

Introduction: Hematological cytology remains a critical diagnostic step, particularly in low-resource settings where specialized expertise is centralized. In Benin, this activity is mainly performed at the CNHU-HKM in Cotonou. Despite advances in automated hematology analyzers, manual blood smear examination remains essential for detecting qualitative abnormalities. Artificial intelligence (AI), especially convolutional neural networks (CNNs), offers promising opportunities to automate and improve this process.
Objective: To evaluate and compare the performance of AI-based solutions for the automatic detection of red blood cell–related diseases, focusing on a locally developed CNN model versus existing CNN architectures.
Methods: A 12-layer CNN model was trained using digitized blood smear images from the CNHU-HKM hematology laboratory. Its performance was compared with other CNN models reported in the literature, based on classification accuracy and the detection of red blood cell morphological abnormalities.
Results: The locally developed model achieved a training accuracy of 99% and over 90% accuracy on test data for white blood cell classification. It enabled automatic detection of red blood cell–related diseases such as sickle cell anemia, schizocytosis, and elliptocytosis, with an overall performance of 86%. These results are comparable to those of existing CNN-based approaches while being adapted to the local context.
Conclusion: AI-based solutions represent a valuable tool for strengthening hematological diagnosis in

Benin. Locally developed models may improve accessibility, reliability, and efficiency of cytological analysis in resource-limited laboratories.

OL.72

Evaluation des activités antioxydante et hépatoprotectrice de l'extrait hydroéthanolique des écorces de racines de Sarcocephalus latifolius

Evaluation of the antioxidant and hepatoprotective activities of the hydroethanolic extract of the root bark of Sarcocephalus latifolius

Essossinam ATEFEIMBU[1], pachille120@gmail.com ; Sabrina Chris Janiba SANVEE[1]; Koffi Eyram TSETSE[2]; Komlan M. DOSSOU-YOVO[3]; Batomayena BAKOMA[1]

[1] Sciences Pharmaceutiques, Université de Lomé, Togo

[2] CERFOPLAM, Université de Lomé, Togo

[3] Toxicologie, Université de Lomé, Togo

Résumé

Contexte : Au Togo, Sarcocephalus latifolius est utilisé en médecine traditionnelle pour traiter diverses maladies dont les affections du foie. Objectif : Evaluer les activités antioxydante et hépatoprotectrice de l'extrait hydroéthanolique de l'écorce de la racine de Sarcocephalus latifolius (EHESL). Méthodes : Après avoir étudier la composition phytochimique de l'extrait, Le pouvoir antioxydant a été évaluer par les tests diphényle-picryl-hydrazyl (DPPH) et le pouvoir réducteur du fer (FRAP). L'activité hépatoprotectrice a été évaluée à l'aide d'un modèle d'hépatotoxicité aiguë induite par le paracétamol chez le rat. La toxicité sub-chronique et la cytotoxicité (avec le model de la crevette de mer) ont été évalués. L'analyse statistique a été réalisée à l'aide d'une analyse de variance unidirectionnelle (ANOVA) suivie de tests de comparaison multiples de Tukey pour évaluer les différences significatives entre les groupes. Les résultats ont été considérés comme significatifs à P< 0,05. Résultats : L'étude de la toxicité sub-chronique n'a pas montré des signes de toxicité aux doses de 250 mg/kg, 500 mg/kg et 1000 mg/kg. L'évaluation de la cytotoxicité à donner une CL50 = 1,88 mg/ml indiquant que l'extrait n'est pas cytotoxique. L'extrait a montré des propriétés antioxydantes avec une CI50 à 142,91 ± 1,96 µg/ml au test DPPH et une FRAP de 57,53 ± 0,54 µM Fe(II)/g d'extrait. L'évaluation de la composition phytochimique à révéler la présence des tanins condensés et hydrolysés, des flavonoïdes, des saponines et des terpénoïdes. L'administration de l'extrait aux doses 100 mg/kg et 300 mg/kg ont prévenu de manière significative l'hépatotoxicité au paracétamol en comparaison avec le groupe ayant reçu l'eau distillée. Ses résultats étaient similaires à ceux obtenu avec la Silymarine. Conclusion : Les résultats montrent que l'extrait hydroéthanolique des écorces de racines de Sarcocephalus latifolius contient des substances bioactives douées d'une activité antioxydante et hépatoprotectrice.

Abstract

Background: In Togo, Sarcocephalus latifolius is used in traditional medicine to treat various diseases including liver disease. Objective: To evaluate the antioxidant and hepatoprotective activities of the hydroethanolic extract of the root bark of Sarcocephalus latifolius (EHESL). Methods: After studying the phytochemical composition of the extract, the antioxidant power was evaluated by diphenyl-picryl-hydrazyl (DPPH) and iron reducing power (FRAP) tests. Hepatoprotective activity was assessed using a model of acute paracetamol-induced hepatotoxicity in rats. Sub-chronic toxicity and cytotoxicity (with the sea shrimp model) were evaluated. Statistical analysis was performed using a one-way analysis of variance (ANOVA) followed by multiple Tukey comparison tests to assess significant differences between groups. The results were considered significant at P<0.05. Results: The sub-chronic toxicity study did not show signs of toxicity at doses of 250 mg/kg, 500 mg/kg and 1000 mg/kg. The cytotoxicity assessment gave an LC50 = 1.88 mg/mL indicating that the extract is not cytotoxic. The extract showed antioxidant properties with an IC50 of 42.91 ± 1.96 µg/ml in the DPPH assay and a FRAP of 57.53 ± 0.54 µM Fe(II)/g of extract. Evaluation of the phytochemical composition revealed the presence of anthocyanins, tannins, flavonoids, saponins and terpenoids. Administration of the extract at doses significantly prevented paracetamol hepatotoxicity compared to the distilled water group. Its results were similar to those obtained with Silymarin. Conclusion: The results show that the hydroethanolic extract of the root bark of Sarcocephalus latifolius contains bioactive substances with antioxidant and hepatoprotective activity.

OL.73

Evaluation des pratiques à risque de contamination de la brucellose chez les éleveurs dans la région des Plateaux au Togo

Assessment of practices posing a risk of brucellosis contamination among livestock farmers in the Plateaux region of Togo

Yao Hoekou[1], yhoekou@gmail.com ; Koffi Mawulawoè Dogno[2]; Tchadjobo Tchacondo[1]

[1] Laboratoire des Sciences Biomédicales, Alimentaires et de Santé Environnementale (LaSBASE), Ecole Supérieure des Techniques Biologiques et Alimentaires (ESTBA), Université de Lomé, 01 BP 1515 Lomé, Togo

[2] Laboratoire Central Vétérinaire (LCV) de Lomé, Togo

Résumé

La brucellose est une zoonose majeure qui affecte à la fois la santé animale et humaine, constituant ainsi une menace sanitaire et économique importante. Cette zoonose est transmise à l'homme par consommation des produits laitiers ou carnés contaminés ou par contact direct avec les animaux infectés. Il est donc nécessaire de documenter cette maladie auprès des acteurs de l'élevage afin de les sensibiliser pour une meilleure prévention. C'est ainsi que ce travail a été réalisé pour évaluer les pratiques à risque de contamination de la brucellose bovine chez les éleveurs dans la région des Plateaux-Ouest au Togo.

Une enquête a été effectuée de janvier à juin 2025 dans 5 préfectures (Agou, Kloto, Kpele, Danyi et Amou) de la région des Plateaux-Ouest au Togo à l'aide de l'outil kobocollect auprès de 60 éleveurs afin de documenter leurs connaissances, attitudes et pratiques vis-à-vis de la brucellose. Les données collectées ont été exportées au tableur Excel 2016 où elles ont été traitées.

Les éleveurs enquêtés, tous de sexe masculin, étaient âgés de 23 à 68 ans avec un âge moyen de 42 ans. Les résultats d'enquête ont montré que 70% des éleveurs consommaient régulièrement du lait cru non pasteurisé et 71,67% du fromage cru. Malgré que 78,33% des éleveurs enquêtés aient entendu au moins une fois parler de la brucellose, leurs pratiques ne sont pas en adéquation avec les mesures préventives de la maladie. La majorité des éleveurs (91,67%) assistent les vaches lors de la mise-bas et manipulent les avortons sans porter de gants (95%). Peu de bovins malades reçoivent des soins vétérinaires alors que la plupart sont abattus et vendus aux bouchers.

Ces résultats mettent en évidence un risque zoonotique sous-estimé et appellent à renforcer la sensibilisation et les mesures de prévention selon l'approche One Health.

Abstract

Brucellosis is a major zoonosis that affects both animal and human health, posing a significant health and economic threat. This zoonosis is transmitted to humans through the consumption of contaminated dairy or meat products or through direct contact with infected animals. It is therefore necessary to document this disease among livestock farmers in order to raise awareness and improve prevention. This study was therefore conducted to assess practices that pose a risk of bovine brucellosis contamination among livestock farmers in the West Plateaux region of Togo.

A survey was conducted from January to June 2025 in five prefectures (Agou, Kloto, Kpele, Danyi and Amou) in the Plateaux-Ouest region of Togo using the Kobocollect tool among 60 livestock farmers to document their knowledge, attitudes and practices regarding brucellosis. The data collected was exported to Excel 2016, where it was processed.

The livestock farmers surveyed, all male, were aged between 23 and 68, with an average age of 42. The survey results showed that 70% of livestock farmers regularly consumed unpasteurised raw milk and 71.67% consumed raw cheese. Although 78.33% of the farmers surveyed had heard of brucellosis at least once, their practices were not in line with preventive measures for the disease. The majority of farmers (91.67%) assist cows during calving and handle stillborn calves without wearing gloves (95%). Few sick cattle receive veterinary care, while most are slaughtered and sold to butchers.

These results highlight an underestimated zoonotic risk and call for increased awareness and

preventive measures in line with the One Health approach.

OL.74

Évaluation des programmes d'enseignement de la radiologie dans les facultés de médecine d'Afrique subsaharienne francophone : une étude transversale

Evaluation of radiology teaching programmes in medical schools in francophone sub-saharan Africa: A cross-sectional study

Pihou GBANDE, gbandepihou@yahoo.fr

Université de Lomé

Résumé

Introduction : L'harmonisation de l'enseignement de la radiologie pour les étudiants en médecine constitue un enjeu mondial actuel, en particulier en Afrique. L'objectif principal de cette étude était d'évaluer les programmes de formation en radiologie destinés aux étudiants en médecine dans les facultés de médecine d'Afrique subsaharienne francophone.
Matériels et méthodes : Il s'agissait d'une étude descriptive transversale menée entre mai et juin 2024, à l'aide d'un questionnaire semi-structuré. Ont été incluses les facultés de médecine formant des médecins en Afrique subsaharienne francophone, dans lesquelles un membre du département de radiologie a donné son consentement éclairé et rempli le questionnaire.
Résultats : L'étude a recueilli les réponses de 11 enseignants représentant des facultés de médecine de 9 pays d'Afrique subsaharienne francophone. L'enseignement théorique débute durant le cycle de licence dans 63,6 % des facultés. Une similarité des programmes nationaux a été rapportée dans 42,9 % des cas. Le nombre moyen d'heures consacrées à l'enseignement théorique était de 59,7 ± 29,7 heures, avec une médiane de 60 heures. L'imagerie médicale des pathologies était enseignée dans toutes les facultés (100 %), suivie de la sémiologie radiologique de base (72,7 %). Les cours magistraux étaient utilisés dans l'ensemble des facultés (100 %). Les stages de radiologie étaient obligatoires dans 90,9 % des facultés et débutaient au cours du cycle de master dans 50 % des cas, avec une durée moyenne totale de 6,5 ± 4,4 semaines et une durée médiane de 4 semaines. Une évaluation écrite était obligatoire dans 90,9 % des facultés, et la validation du stage était requise dans 81,8 %.
Conclusion : Il apparaît nécessaire de repenser l'enseignement de la radiologie dans la majorité des facultés de médecine et d'harmoniser les objectifs et les programmes en Afrique subsaharienne francophone.

Abstract

Introduction: Harmonisation of radiology education for medical students is a current global topic, particularly in Africa. The main objective of this study was assess radiology training programmes for medical students in francophone sub-Saharan African medical schools.
Materials and Methods: This was a cross-sectional descriptive study conducted between May and June 2024, using a semi-structured survey. In this study, we included medical faculties training physicians in French-speaking sub-Saharan Africa, where a radiology Department member provided informed consent to participate and completed the questionnaire.
Results: The study received responses from 11 faculty members representing medical schools in 9 Francophone sub-Saharan African countries. Theoretical teaching begins during the bachelor's programme in 63.6% of faculties. A national syllabus similarity was reported in 42.9% of the cases. The average number of hours allocated to theoretical teaching was 59.7±29.7 hours and a median of 60 hours. Medical imaging of pathological conditions was reported to be taught in all faculties (100%), followed by basic radiological semiology (72.7%). Lectures were used in all faculties (100%). Radiology internships were reported as mandatory in 90.9% of the faculties and begin during the master's programme in 50%, with a total average duration of 6.5±4.4 weeks and a median duration of 4 weeks. A written examination was reported to be mandatory in 90.9% of faculties, and internship validation was required in 81.8%.
Conclusion: It appears necessary to rethink radiology education in most medical schools and to harmonise objectives and programmes in francophone sub-Saharan Africa.

OL.75

Évaluation des risques sanitaires des composés organiques volatils dissous dans les eaux de la moitié Sud-ivoirienne de la rivière Bia en période de basses eaux et hautes eaux

Assessment of the health risks posed by volatile organic compounds dissolved in the waters of the Bia River (southeastern Côte d'Ivoire) during low and high water periods

KOBEAN CHRIDTOPHE KRA[1], krakobenan06@gmail.com ; BERNARD ADIAFFI[1]

[1] Université Félix Houphouët Boigny Cocody-Abidjan (Côte d'Ivoire)

Résumé

Les composés organiques volatils (COV) constituent une classe majeure de contaminants environnementaux en raison de leur toxicité potentielle, de leur mobilité élevée et de leurs impacts avérés sur la santé humaine et les écosystèmes aquatiques. Cette étude a pour objectif d'évaluer la présence, l'influence saisonnière sur les COV dans les eaux de la Bia, ainsi que leurs implications environnementales et sanitaires sur les populations cibles. Pour y parvenir, des campagnes d'échantillonnage ont été menées selon un protocole normalisé, couvrant différentes périodes hydrologiques. Les COV ont été identifiés et quantifiés par chromatographie en phase gazeuse couplée à la spectrométrie de masse (GC-MS). Après extraction adaptée d'indice de risques écologique, les risques cancérogène et non cancérogène ont été calculés. Les résultats montrent la présence de plusieurs familles de COV, notamment les hydrocarbures (C6H6) et les solvants chlorés (CHCl3 et C2HCl3), avec des concentrations présentant une forte variabilité spatiale et saisonnière. La distribution des COV suivant la sinuosité de la Bia suggère une influence combinée des sources diffuses d'origine anthropique, telles que les rejets domestiques et des apports ponctuels liés aux activités locales. Les concentrations mesurées variant de 0,11 µg/l à 4 µg/l, bien qu'inférieures aux valeurs guides de l'OMS pour les eaux de surface, présentent des risques cancérogène élevés (R > 10-4) pour les trois catégories d'individus avec des risques accrus pour les enfants surtout pendant les périodes de basses eaux. Il incombe aux autorités locales d'élaborer des stratégies de gestion et de protection durable de la Bia et des ressources en eau connexes. Il ressort de cette étude qu'il est nécessaire de surveiller spécifiquement les COV dans les milieux aquatiques tropicaux jusque-là peu documentés et pourtant très nocifs à la santé.

Abstract

Volatile organic compounds (VOCs) are a major class of environmental contaminants due to their potential toxicity, high mobility, and proven impacts on human health and aquatic ecosystems. The aim of this study is to assess the presence and seasonal influence of VOCs in the waters of the Bia River, as well as their environmental and health implications for target populations. To achieve this, sampling campaigns were conducted according to a standardized protocol, covering different hydrological periods. VOCs were identified and quantified by gas chromatography coupled with mass spectrometry (GC-MS). After appropriate extraction of the ecological risk index, carcinogenic and non-carcinogenic risks were calculated. The results show the presence of several families of VOCs, notably hydrocarbons (C6H6) and chlorinated solvents (CHCl3 and C2HCl3), with concentrations showing high spatial and seasonal variability. The distribution of VOCs along the winding course of the Bia suggests a combined influence of diffuse anthropogenic sources, such as domestic discharges and occasional inputs linked to local activities. The concentrations measured, ranging from 0,11 µg/l to 4 µg/l, although below the WHO guideline values for surface water, pose high carcinogenic risks (R > 10-4) for the three categories of individuals, with increased risks for children, especially during low water periods when they reach. It is the responsibility of local authorities to develop strategies for the sustainable management and protection of the Bia and related water resources. This study highlights the need for specific monitoring of VOCs in tropical aquatic environments, which have been little documented to date, yet are highly harmful to health.

OL.76

Evaluation du confort perdialytique des patients au centre national hospitalier universitaire Hubert Koutoukou Maga de Cotonou

Evaluation of the perdialytic comfort of patients at the hubert koutoukou maga national university hospital centre (cnhu-hkm) in cotonou (benin)

Aimé Mahougnon VINASSE[1], aimevinasse@gmail.com ; Séraphin AHOUI[2]; Missikê MELIKAN[1]; Joseph GODONOU[1]; Carine PEDRO[1]; Jacques VIGAN[1]

[1] Faculté des Sciences de la Santé, Université d'Abomey Calavi, Bénin

[2] Faculté de Médecine, Université de Parakou, Bénin

Résumé

Introduction : L'hémodialyse chronique est un traitement souvent associé à des symptômes susceptibles d'altérer le confort des patients.
Objectif : Evaluer le niveau de confort perdialytique des hémodialysés chroniques au CNHU-HKM de Cotonou en 2025.
Méthodes : Il s'agissait d'une étude transversale à visée descriptive et analytique avec recueil prospectif des données, qui s'était déroulée du 23 septembre au 30 octobre 2025, concernant les hémodialysés chroniques au CNHU-HKM de Cotonou âgés d'au moins 18 ans et consentants. L'échantillonnage était exhaustif. La variable dépendante à l'étude était le confort au cours de la séance d'hémodialyse, évaluée à l'aide de la théorie de confort de Kolcaba. Les variables indépendantes sociodémographiques, cliniques paracliniques, thérapeutiques, liées au mode de vie et à la dialyse étaient étudiées. Les facteurs associés à un niveau de confort élevé étaient recherchés avec un seuil de significativité p< 0,05.
Résultats : Au total, 178 patients hémodialysés chroniques étaient inclus. L'âge moyen était de 53±10 ans avec des extrêmes de 18 et 84 ans. Le sexe masculin était le plus représenté soit 59% des patients avec un sex-ratio de 1,4. Les principaux signes affectant négativement le confort étaient la fatigue (69,66%), l'hypotension artérielle (62,92%) et les crampes musculaires (51,68%). Le niveau de confort était jugé modéré et élevé respectivement chez 89,33% et 10,67% des hémodialysés. Les facteurs associés au niveau de confort élevé étaient la durée de vie en hémodialyse >15 ans (p=0,01), la dialyse sur fistule artério-veineuse (p<0,001), l'absence d'autres comorbidités chroniques (p<0,001), une efficacité dialytique de 1,2–1,7 (p=0,002) et le statut de retraité (p<0,001).
Conclusion : La majorité des hémodialysés avait un niveau de confort modéré. Il urge de mettre en œuvre des actions afin d'améliorer le niveau de confort perdialytique des hémodialysés.

Abstract

Introduction: Chronic haemodialysis is a demanding treatment, often associated with symptoms that can affect patients' comfort.
Objective: To assess the level of per-dialysis comfort of chronic haemodialysis patients at the CNHU-HKM in Cotonou in 2025.
Methods: This was a descriptive and analytical cross-sectional study with prospective data collection, conducted from 23 September to 30 October 2025, involving chronic haemodialysis patients at the CNHU-HKM in Cotonou aged 18 years or older who gave their consent. The sampling was exhaustive. The dependent variable studied was comfort during the haemodialysis session, assessed using Kolcaba's comfort theory. Independent sociodemographic, clinical, paraclinical, therapeutic, lifestyle and dialysis-related variables were studied. Factors associated with a high level of comfort were sought with a significance threshold of p< 0.05.
Results: A total of 178 chronic haemodialysis patients were included. The mean age was 53±10 years, with extremes of 18 and 84 years. Males were the most represented, accounting for 59% of patients, with a sex ratio of 1.4. The main signs negatively affecting comfort during haemodialysis were fatigue (69.66%), arterial hypotension (62.92%) and muscle cramps (51.68%). The level of comfort was rated as moderate and high in 89.33% and 10.67% of haemodialysis patients, respectively. Factors associated with a high level of comfort were duration of haemodialysis >15 years (p=0.01), dialysis via

arteriovenous fistula ($p<0.001$), the absence of other chronic comorbidities ($p<0.001$), dialysis efficiency of 1.2–1.7 ($p=0.002$) and retired status ($p<0.001$).
Conclusion: The majority of haemodialysis patients had a moderate level of comfort. There is an urgent need to implement measures to improve the level of per-dialysis comfort for haemodialysis patients.

OL.77

Évaluation du niveau d'exposition aux piqûres des vecteurs de trypanosomiase humaine africaine (THA) et risque de transmission de la maladie dans les foyers éteints et actifs de THA en Côte d'Ivoire par utilisation de biomarqueur d'exposition

Assessment exposure levels from human African trypanosomiasis (HAT) vectors bites and risk of disease transmission in extinct and active HAT in Côte d'Ivoire using exposure biomarkers

Dipomin François TRAORE[1], traoredipominfrancois@yahoo.fr ; Minayégninrin KONE[2]; Diakaridja BERTE[3]; Dramane KABA[3]; N'Goran Mathurin KOFFI[4]; Akré Maurice ADJA[5]; Franck REMOUE[6]

[1] Université Alassane Ouattara, Bouaké, Côte d'Ivoire; Institut Pierre Richet, Institut National de la Santé Publique, Bouaké, Côte d'Ivoire

[2] Université Alassane Ouattara, Bouaké, Côte d'Ivoire; Université Jean Lorougnon Guédé, Daloa, Côte d'Ivoire

[3] Institut Pierre Richet, Institut National de la Santé Publique, Bouaké, Côte d'Ivoire

[4] Université Jean Lorougnon Guédé, Daloa, Côte d'Ivoire

[5] Université Félix Houphouët Boigny, Abidjan, Côte d'Ivoire

[6] MIVEGEC, IRD, Montpellier, France

Résumé

Introduction
Les efforts de lutte du Programme National d'Elimination de la Trypanosomiase Humaine Africaine (THA) et ses partenaires nationaux et internationaux sur la période de 2015-2019 ont permis une réduction drastique de l'incidence la maladie et a permis à l'OMS de valider l'élimination de la THA comme problème de santé publique en Côte d'Ivoire en 2021.
Le défi de surveillance dans les zones à faible densité de vecteurs requiert de nouveaux outils complémentaires pour la lutte anti vectorielle (LAV).
L'objectif de cette étude était d'évaluer le risque de transmission de la THA par la mesure du contact réel homme-vecteur dans les foyers éteint et actif en Côte d'Ivoire par utilisation du biomarqueur d'exposition aux glossines vectrices (réponse IgG anti-peptide Tsgf118-43).
Méthodologie
Cette étude a été réalisée en 2023 sur des prélèvements sanguins collectés en 2019 lors d'un projet DiTECH-HAT où les données entomologiques et sérologiques (TDR) ont été recueillies. Les prélèvements de sang collectés chez les populations (enfants 5 ans et adultes) des foyers actifs (Bonon et Sinfra) et foyers éteints (6 localités de Bouaflé) ont permis d'effectuer les dosages d'IgG dirigés contre le peptide salivaire Tsgf118-43 par la méthode ELISA.
Résultats
Les niveaux de réponses IgG anti-Tsgf118-43 ne présentaient aucune différence significative entre les deux foyers éteint et actif (P = 0,161) et entre les localités du foyer actif (P = 0,144).
Cependant, les niveaux de réponses étaient très hétérogènes entre les localités du foyer éteint (P = 0,043). La comparaison des niveaux de réponses IgG anti- Tsgf118-43 entre les TDR positif et négatif ne montrait aucune différence significative (P = 0,307).
Conclusion
Le biomarqueur d'exposition aux piqûres des glossines pourrait être un outil complémentaire pertinent pour aider à la surveillance de la THA après son élimination en Côte d'Ivoire comme problème de santé publique.

Abstract

Introduction
The efforts of the National Programme for the Elimination of Human African Trypanosomiasis (HAT) and its national and international partners over the period 2015-2019 have resulted in a drastic

reduction in the incidence of the disease and have enabled the WHO to validate the elimination of HAT as a public health problem in Côte d'Ivoire in 2021. The challenge of surveillance in areas with low vector density requires new complementary tools for vector control (VC).
The objective of this study was to assess the risk of HAT transmission by measuring real human-vector contact in extinct and active in Côte d'Ivoire using the biomarker of tsetse fly vectors exposure (anti-peptide Tsgf118-43 IgG response).
Methodology
This study was conducted in 2023 on blood samples collected in 2019 during a DiTECH-HAT project, where entomological and serological (RDT) data were also collected. Blood samples collected from populations (children aged 5 years and adults) in active outbreak areas (Bonon and Sinfra) and inactive outbreak areas (6 localities in Bouaflé) were used to perform IgG assays against the salivary peptide Tsgf118-43 using the ELISA method.
Results
Anti-Tsgf118-43 IgG response levels showed no significant difference between the two active and inactive foci (P = 0.161) and between the locations of the active foci (P = 0.144).
However, response levels were highly heterogeneous among the locations of the inactive foci (P = 0.043). Comparison of anti-Tsgf118-43 IgG response levels between positive and negative RDTs showed no significant difference (P = 0.307).
Conclusion
The biomarker of exposure to tsetse fly bites could be a relevant complementary tool to help monitor HAT after its elimination in Côte d'Ivoire as a public health problem.

OL.78

Evaluation du potentiel cardioprotecteur de l’extrait hydro-éthanolique des rhizomes cuits de Nymphaea lotus L. (Nymphaeaceae) contre l'infarctus du myocarde induit par l'isoprotérénol chez le rat.

Evaluation of the cardioprotective potential of hydro-ethanolic extract from cooked rhizomes of Nymphaea lotus L. (Nymphaeaceae) against isoproterenol-induced myocardial infarction in rats.

Essohanam Jean WEBIKE-MINDAMOU[1], jwebike1@gmail.com ; Maurice OUEDRAOGO[1]; Fédé Aristhide SOULAMA[1]; Tanga OUARE[1]; Essosolam Valentine METEYAKE[1]; François YOUGBARE[1]; Leembiini Adidiatou Mireille KONDE[1]

[1] Laboratoire de Physiologie Animale (LAPA), Université Joseph KI-ZERBO, BURKINA FASO

Résumé

L'infarctus du myocarde (IM) figure parmi les principaux facteurs de risque de mortalité et de morbidité des maladies cardiovasculaires (MCV). Diverses espèces végétales sont utilisées comme remèdes traditionnels pour la prise en charge de ces MCV. Nymphaea lotus L., appartenant à la famille des Nymphaeaceae, est une plante qui a fait l'objet d'études approfondies en raison de ses propriétés thérapeutiques. En effet, des recherches ont mis en évidence son utilité dans la régulation de la pression artérielle, ce qui en fait un sujet d'intérêt pour la médecine traditionnelle au Burkina Faso. Cette étude évalue l'efficacité cardioprotectrice de l'extrait hydro-éthanolique des rhizomes cuits de N. lotus L. (Enyl) dans des modèles in vivo contre l'IM induit par l'isoprotérénol (ISO). Un programme de prétraitement avec l’Enyl a été fixé à 21 jours chez les rats. Les groupes expérimentaux étaient les suivants : groupe non traité, groupe traité à l'ISO (85 mg/kg p.c.), groupe ISO + Enyl à faible dose (100 mg/kg p.c./jour), groupe ISO + Enyl à forte dose (300 mg/kg p.c./jour) et groupe ISO + Aténolol (10 mg/kg p.c./jour). À l'issue de la période expérimentale, une évaluation des paramètres d'hypertrophie cardiaque, l'électrocardiogramme (ECG) ainsi que des échantillons de sang et d'organes pour la mesure des marqueurs cardiaques a été conduite. L'étude a confirmé que le prétraitement avec l'extrait atténuait de manière significative la cardiotoxicité induite par l'ISO chez les rats. Cette hypothèse est étayée par l'amélioration de la normalisation des biomarqueurs cardiaques et le rétablissement des paramètres ECG. L'extrait de rhizomes cuits de N. lotus présente un potentiel cardioprotecteur significatif, par l'abaissement du stress oxydatif et la stabilisation de la fonction myocardique. Cette observation suggère un potentiel intéressant de cet extrait en tant qu'agent cardioprotecteur, ce qui justifie la poursuite des recherches sur ses mécanismes thérapeutiques et ses applications cliniques.

Abstract

Myocardial infarction (MI) is one of the main risk factors for mortality and morbidity from cardiovascular disease (CVD). Various plant species are used as traditional remedies for the management of CVD. Nymphaea lotus L., belonging to the Nymphaeaceae family, is a plant that has been extensively studied for its therapeutic properties. Research has highlighted its usefulness in regulating blood pressure, making it a subject of interest for traditional medicine in Burkina Faso. This study evaluates the cardioprotective efficacy of hydro-ethanolic extract from cooked rhizomes of N. lotus L. (Enyl) in in vivo models against isoproterenol (ISO)-induced MI. A 21-day pre-treatment programme with Enyl was established in rats. The experimental groups were as follows: an untreated group, an ISO-treated group (85 mg/kg b.w.), a low-dose ISO + Enyl group (100 mg/kg b.w./day), a high-dose ISO + Enyl group (300 mg/kg b.w./day) and a high-dose ISO + Atenolol group (10 mg/kg b.w./day). At the end of the experimental period, an assessment of cardiac hypertrophy parameters, an electrocardiogram (ECG) and blood and organ samples for the measurement of cardiac markers was conducted. The study confirmed that pretreatment with the extract significantly attenuated ISO-induced cardiotoxicity in rats. This hypothesis is supported by the improvement in the normalisation of cardiac biomarkers and the restoration of ECG parameters. The extract of cooked N. lotus rhizomes has significant cardioprotective potential by lowering oxidative stress and stabilising myocardial function. This observation suggests an interesting potential for this extract as a cardioprotective agent, which

justifies further research into its therapeutic mechanisms and clinical applications.

OL.79

Évaluation économique de la prise en charge de l'ulcère de Buruli : analyse coût-efficacité d'une nouvelle approche thérapeutique (CoEff-UB)

Economic evaluation of Buruli ulcer treatment: cost-effectiveness analysis of a new therapeutic approach (CoEff-UB)

Sonagnon Inès Elvire AGBO[1], inovillas@gmail.com ; Esaï ANAGONOU,[1]; Gilles Armand SOSSOU[2]; Brunelle Vanessa YEMADJE[1]; Jessica HOUEZO[1]; Emma Sáez López[3]; ISRAEL CRUZ MATA,[4]

[1] Centre Interfacultaire de Formation et de Recherche en Environnement pour le Développement Durable (CIFRED)

[2] Université d'Abomey-Calavi (UAC)

[3] l'Universidad de Zaragoza, Zaragoza, Espagne

[4] École nationale de santé publique, Instituto de Salud Carlos III

Résumé

L'ulcère de Buruli (UB), maladie tropicale négligée causée par Mycobacterium ulcerans, constitue un problème de santé publique majeur dans les zones endémiques d'Afrique de l'Ouest, notamment au Bénin. Son fardeau économique est considérable, tant pour les systèmes de santé que pour les patients et leurs ménages, avec des coûts directs (liés au transport et à l'alimentation), indirects (perte de productivité, déscolarisation) et sociaux (l'exclusion sociale ou isolement) souvent lourds pour les populations vulnérables. L'émergence d'un schéma thérapeutique raccourci, associant rifampicine, clarithromycine et amoxicilline/acide clavulanique sur quatre semaines (RCA4) et évalué par le consortium BLMs4BU, nécessite une évaluation économique rigoureuse pour en apprécier la viabilité et la valeur par rapport au traitement standard actuel de huit semaines (RC8).
Cette étude en cours au Bénin analysera l'impact économique de l'UB et le rapport coût-efficacité de RCA4 par rapport au RC8. Elle estimera les coûts liés à la maladie du point de vue du système de santé (prestataire) et des patients/familles.
La méthodologie adoptée consiste à faire l'évaluation économique comparative dans une perspective de système de santé à partir de données collectées à plusieurs niveaux. L'analyse coût-efficacité comparera les schémas thérapeutiques RC8 et RCA4 via un Modèle de Markov et le calcul du Ratio Coût-Efficacité Incrémental (ICER). Parallèlement, une étude mixte auprès des patients et de leurs accompagnants dans les CDTUB évaluera les coûts directs, indirects et sociaux supportés par les ménages. Des entretiens permettront de comprendre les trajectoires de soins et les stratégies d'adaptation familiales.
Les résultats attendus fourniront une estimation complète du fardeau économique lié à l'UB, une évaluation de la valeur économique du nouveau traitement RCA4 et permettront d'éclairer les décisions et politiques d'allocation des ressources dans le cadre de la prise en charge de cette maladie.

Abstract

Buruli ulcer (BU), a neglected tropical disease caused by Mycobacterium ulcerans, is a major public health problem in endemic areas of West Africa, particularly in Benin. It places a significant economic burden on health systems, patients, and their households, with direct costs (related to transportation and food), indirect costs (loss of productivity, school dropout), and social costs (social exclusion or isolation) that are often heavy for vulnerable populations. The emergence of a shortened treatment regimen combining rifampicin, clarithromycin, and amoxicillin/clavulanic acid over four weeks (RCA4), evaluated by the BLMs4BU consortium, requires rigorous economic evaluation to assess its viability and value compared to the current standard eight-week treatment (RC8).
This ongoing study in Benin will analyze the economic impact of UB and the cost-effectiveness of RCA4 compared to RC8. It will estimate the costs associated with the disease from the perspective of the health system (provider) and patients/families.
The methodology adopted consists of conducting a comparative economic evaluation from a health system perspective based on data collected at several levels. The cost-effectiveness analysis will compare the RC8 and RCA4 treatment regimens using a Markov model and the calculation of the

Incremental Cost-Effectiveness Ratio (ICER). At the same time, a mixed study of patients and their caregivers in CDTUBs will assess the direct, indirect, and social costs borne by households. Interviews will provide insight into care trajectories and family coping strategies.
The expected results will provide a comprehensive estimate of the economic burden associated with BU, an assessment of the economic value of the new RCA4 treatment, and will inform resource allocation decisions and policies for the management of this disease.

OL.80

Évaluation intégrée One Health de la réduction de la prévalence des trypanosomes après les interventions de lutte anti-glossines dans les foyers endémiques de Côte d'Ivoire

Integrated One Health Assessment of the Reduction in Trypanosome Prevalence Following Tsetse Control Interventions in Endemic Foci of Côte d'Ivoire

Ahouty Bernardin AHOUTY[1], bernadinahouty@yahoo.fr ; Berté DJAKARIDJA[2]; Barkissa TRAORE[3]; N'Goran Mathurin KOFFI[1]; Dramane KABA[2]; Kassi martial N'DJETCHI[1]; Konan Thomas KONAN[1]

[1] Université Jean Lorougnon Guédé de Daloa

[2] Institut Pierre Richet de Bouaké

[3] Centre National de Recherche Agronomique

Résumé

Introduction
Les trypanosomes sont des parasites transmis par les glossines et responsables de la trypanosomose humaine africaine (THA) et de la trypanosomose animale africaine (TAA). En Côte d'Ivoire, malgré les efforts de contrôle des réservoirs humains et animaux, la transmission demeure active, exposant les populations humaines et animales à un risque persistant. Dans ce contexte, la lutte anti-glossines constitue une stratégie majeure de contrôle, s'inscrivant dans l'approche One Health intégrant santé humaine, animale et environnementale. Cette étude vise à évaluer l'impact des interventions de lutte anti-vectorielle sur la prévalence des trypanosomes dans deux foyers endémiques ivoiriens.
Méthodologie
Des enquêtes parasitologiques et moléculaires ont été conduites de 2014 à 2018 chez les animaux domestiques (bovins et porcs) dans les foyers de Bonon et Sinfra. Des prélèvements sanguins ont été analysés par des méthodes parasitologiques et moléculaires. Des interventions de lutte anti-glossines ont été mises en œuvre à Bonon à partir de 2016, tandis que Sinfra, sans intervention vectorielle, a servi de zone témoin.
Résultats
Au total, 1 080 animaux (478 bovins et 602 porcs) ont été examinés. À Bonon, une diminution significative de la prévalence de Trypanosoma congolense et T. brucei s.l. a été observée chez les bovins et les porcs après le début de la lutte anti-glossines ($p < 0,05$). En revanche, à Sinfra, les infections sont restées globalement stables chez les bovins et variables chez les porcs.
Conclusion
Les résultats confirment l'efficacité de la lutte anti-glossines dans la réduction des infections trypanosomiennes. Une approche intégrée combinant surveillance parasitologique, entomologique et implication communautaire apparaît essentielle pour un contrôle durable des trypanosomoses dans une perspective One Health.
Mots-clés : Trypanosomoses africaines, lutte anti-vectorielle, incidence

Abstract

Introduction
Trypanosomes are parasites transmitted by tsetse flies and are responsible for African human trypanosomiasis (AHT) and African animal trypanosomiasis (AAT). In Côte d'Ivoire, despite efforts to control human and animal reservoirs, transmission remains active, exposing both human and animal populations to a persistent risk. In this context, tsetse fly control represents a major control strategy and fits within the One Health approach, which integrates human, animal, and environmental health. This study aimed to assess the impact of anti-vector control interventions on trypanosome prevalence in two endemic foci in Côte d'Ivoire.
Methodology
Parasitological and molecular surveys were conducted from 2014 to 2018 in domestic animals (cattle and pigs) in the Bonon and Sinfra foci. Blood samples were analyzed using parasitological and molecular methods. Tsetse control interventions were implemented in Bonon from 2016 onwards,

whereas Sinfra, where no vector control activities were carried out, served as a control area.
Results
A total of 1,080 animals (478 cattle and 602 pigs) were examined. In Bonon, a significant decrease in the prevalence of Trypanosoma congolense and T. brucei s.l. was observed in both cattle and pigs following the implementation of tsetse control interventions ($p < 0.05$). In contrast, in Sinfra, infections remained generally stable in cattle and showed marked variability in pigs.
Conclusion
The findings confirm the effectiveness of tsetse control in reducing trypanosome infections. An integrated approach combining parasitological and entomological surveillance with community involvement is essential for the sustainable control of trypanosomiasis within a One Health framework.

OL.81

Évaluation phytochimique et biologique in vitro de l'extrait hydroéthanolique d'Anchomanes difformis au Togo

In vitro phytochemical and biological evaluation of hydroethanolic extract of Anchomanes difformis In Togo

Komi KOMI KOUKOURA, kkoufrede@outlook.fr

LaSBASE, ESTBA-Universite de Lome

Résumé

La prolifération croissante de souches multirésistantes aux antibiotiques conventionnels a créé un besoin urgent d'explorer des composés bioactifs de remplacement. Cette étude visait à évaluer l'activité antimicrobienne de différents organes d'Anchomanes difformis, une plante médicinale largement utilisée dans la pharmacopée traditionnelle d'Afrique de l'Ouest, contre Escherichia coli, Staphylococcus aureus, Streptococcus pneumoniae et Candida albicans. Des extraits hydroéthanoliques totaux des feuilles, des bulbes et des rhizomes ont été obtenus par macération. La composition phytochimique des extraits a été évaluée qualitativement à l'aide de techniques de coloration standard pour identifier les principaux groupes de métabolites secondaires. La teneur en flavonoïdes totaux a été quantifiée par spectrophotométrie. L'activité antioxydante a été évaluée à l'aide de deux méthodes complémentaires : le test de réduction du phosphomolybdate et le test FRAP (pouvoir antioxydant réducteur du fer). L'activité antimicrobienne in vitro a été évaluée par des méthodes de diffusion en milieu solide (essais de diffusion en puits et sur disque). Le rendement d'extraction hydroéthanolique le plus élevé a été enregistré pour l'extrait d'écorce de feuilles d'A. difformis (9,47 %). Le dépistage phytochimique a révélé la présence d'alcaloïdes, de coumarines et de sucres réducteurs. L'extrait de bulbe présentait la teneur en flavonoïdes totaux la plus élevée (33,78 µg d'Éq R /mg d'Éq D). L'extrait de feuilles a démontré un fort potentiel antioxydant in vitro, avec 37,79 d'Éq AA /g d'Éq D et 270,50 µmol d'Éq FeSO4 /mg d'Éq D. Cependant, aucun des extraits n'a produit de zones d'inhibition visibles dans les essais antimicrobiens effectués par l'une ou l'autre des méthodes de diffusion. Les résultats indiquent que les extraits hydroéthanoliques des organes d'Anchomanes difformis n'ont pas présenté d'activité antibactérienne ou antifongique contre les micro-organismes testés. Néanmoins, des investigations supplémentaires sur les autres activités biologiques de cette plante pourraient aider à élucider les bases de son utilisation médicinale traditionnelle.

Abstract

The increasing proliferation of strains that are multidrug-resistant to conventional antibiotics has created a pressing need to explore alternative bioactive compounds. This study aimed to evaluate the antimicrobial activity of different organs of Anchomanes difformis, a medicinal plant widely used in the traditional pharmacopoeia of West Africa, against Escherichia coli, Staphylococcus aureus,
Streptococcus pneumoniae, and Candida albicans. Total hydroethanolic extracts from the leaves, bulbs, and rhizomes were obtained by maceration. The phytochemical composition of the extracts was assessed qualitatively using standard staining techniques to identify major secondary metabolite groups. Total flavonoid content was quantified spectrophotometrically. Antioxidant activity was evaluated using two complementary methods: the phosphomolybdate reduction assay and the FRAP (Ferric Reducing Antioxidant Power) test. In vitro antimicrobial activity was assessed by solid diffusion methods (well and disk diffusion assays). The highest hydroethanolic extraction yield was recorded for the leaf bark extract of A. difformis (9.47%). Phytochemical screening revealed the presence of alkaloids, coumarins, and reducing sugars. The bulb extract exhibited the highest total flavonoid content (33.78 µg R Eq /mg DE). The leaf extract demonstrated strong in vitro antioxidant potential, with 37.79 AA Eq /g DE and 270.50 µmol FeSO4 Eq /mg DE. However, none of the extracts produced visible inhibition zones in the antimicrobial assays performed by either diffusion method. The findings indicate that hydroethanolic extracts from the organs of Anchomanes difformis did not exhibit antibacterial or antifungal activity against the tested microorganisms. Nonetheless, further investigations into other biological activities of this plant could help elucidate the basis of its traditional

medicinal use.

OL.82

Exposition professionnelle aux produits chimiques et état de santé au sud du Bénin

Occupational exposure to hazardous chemicals and health status of workers in southern Benin

Nonvignon Marius KEDOTE[1], kedmar@yahoo.fr ; Joaquin DARBOUX[1]; Paul AYELO[1]; Cyriaque DEGBEY[1]; Casimir AKPOVI[1]; Géraud PADONOU[2]; Luc DJOGBENOU[1]

[1] Institut Régional de Santé Publique, Comlan Alfred Quenum (IRSP-CAQ)

[2] Faculté des Sciences de la Santé

Résumé

Contexte : L'exposition aux produits chimiques dangereux en milieu professionnel constitue un enjeu majeur de santé publique, particulièrement dans les secteurs à risque où les mesures de protection demeurent insuffisantes.
Objectif : Cette étude vise à évaluer l'exposition aux produits chimiques dangereux et l'état de santé des travailleurs béninois dans différents secteurs d'activité.
Méthodologie : Une enquête transversale a été menée en 2025 auprès de 750 travailleurs répartis sur 12 sites sentinelles à savoir des centres de santé dans les départements de l'Atlantique et du Littoral au Sud du Bénin. Les données ont été collectées à l'aide d'un questionnaire standardisé administré par 15 professionnels de santé sentinelles formées.
Résultats : La population enquêtée travaille à temps plein (70,1%) avec des horaires dépassant 8 heures par jour (71,7%). Les expositions perçues les plus fréquemment rapportées concernent les fumées de diesel/véhicules (43,5%), les polluants atmosphériques (CO : 37,2%), les hydrocarbures aromatiques (benzène : 35,3%, toluène : 24,5%) et les métaux lourds (cuivre : 29,7%, manganèse : 24,3%). Les mesures de prévention restent limitées : seulement 26,8% des travailleurs suivent un protocole de sécurité et le port des EPI est insuffisant (masques nasaux : 41,4%, gants : 20,2%). L'analyse multivariable révèle des associations significatives entre certaines expositions et symptômes de santé : le formaldéhyde avec les difficultés respiratoires (RP=4,02), le cuivre avec les douleurs abdominales (RP=3,03) et les oxydes d'azote avec l'hypertension (RP=6,26). Ces associations persistent après ajustement pour les facteurs de confusion, suggérant un lien potentiel entre expositions professionnelles et effets sanitaires observés.
Conclusion : Cette étude révèle une exposition professionnelle perçue importante aux produits chimiques dangereux associée à une prévalence élevée de symptômes et pathologies chroniques, dans un contexte de protection insuffisante. Ces résultats plaident pour un renforcement urgent de la surveillance et la prévention au Bénin.

Abstract

Background: Occupational exposure to hazardous chemicals represents a major public health challenge, particularly in high-risk sectors where protective measures remain insufficient.
Objective: This study aims to assess exposure to hazardous chemicals and the health status of Beninese workers across different occupational sectors.
Methodology: A cross-sectional survey was conducted in 2025 among 750 workers distributed across 12 sentinel sites, namely health centers in the Atlantique and Littoral departments of southern Benin. Data were collected using a standardized questionnaire administered by 15 trained sentinel health professionals.
Results: The surveyed population was working full-time (70.1%) with working hours exceeding 8 hours per day (71.7%). The most frequently reported perceived exposures concerned diesel/vehicle fumes (43.5%), atmospheric pollutants (CO: 37.2%), aromatic hydrocarbons (benzene: 35.3%, toluene: 24.5%), and heavy metals (copper: 29.7%, manganese: 24.3%). Prevention measures remained limited: only 26.8% of workers followed a safety protocol, and use of personal protective equipment (PPE) was insufficient (nasal masks: 41.4%, gloves: 20.2%). Multivariable analysis revealed significant associations between certain exposures and health symptoms: formaldehyde with respiratory

difficulties (PR=4.02), copper with abdominal pain (PR=3.03), and nitrogen oxides with hypertension (PR=6.26). These associations persisted after adjustment for confounding factors, suggesting a potential link between occupational exposures and observed health effects.
Conclusion: This study reveals significant perceived occupational exposure to hazardous chemicals associated with a high prevalence of symptoms and chronic pathologies, in a context of insufficient protection. These findings call for urgent strengthening of surveillance and prevention measures in Benin.

OL.83

Exposition sublétale des moustiques et usages communautaires des insecticides à Tiassalé (Côte d'Ivoire) : enjeux pour la résistance et la lutte antivectorielle

Sublethal exposure of mosquitoes and community use of insecticides in Tiassalé (Côte d'Ivoire): challenges for resistance and vector control

Koffi Romiald KOUAME[1], romiald.kouame@csrs.ci ; Foungoye Allassane OUATTARA[2]; Ruth Marie Adjoua KOUAME[3]; Nikpa KONE[4]; Guibehi Benjamin KOUDOU[2]

[1] Centre Suisse de recherches Scientifiques en Côte d'Ivoire

[2] Centre Suisse de recherches Scientifiques en Côte d'Ivoire, Université NANGUI ABROGOUA, Côte d'Ivoire

[3] Centre Suisse de recherches Scientifiques en Côte d'Ivoire, Université Alassane Ouattara, Côte d'ivoire

[4] Université NANGUI ABROGOUA, Côte d'Ivoire

Résumé

La lutte antivectorielle repose largement sur les insecticides. Leur efficacité diminue. La résistance des moustiques augmente. Une cause majeure est l'exposition répétée à des doses sublétales. Cette exposition survient souvent en dehors des programmes de santé, par les usages domestiques et agricoles. À Tiassalé, zone de forte pression vectorielle et agricole, ces pratiques restent peu documentées. Cette étude analyse les usages communautaires des insecticides et leurs implications potentielles pour la résistance des moustiques. Une enquête transversale a été menée auprès de 402 ménages à Tiassalé. Un questionnaire structuré a recueilli les données. Il portait sur les connaissances du paludisme, les perceptions de l'efficacité des insecticides, les pratiques de lutte antivectorielle à domicile et l'utilisation des pesticides en agriculture. La connaissance du paludisme était globalement élevée. Quatre-vingt-quatorze pour cent (94%) des répondants identifiaient les moustiques comme vecteurs. Toutefois, des croyances non scientifiques persistaient, notamment l'association de la maladie à la fatigue ou à l'exposition au soleil. La confiance dans les insecticides était limitée. Seuls 31,6 % les jugeaient très efficaces. Plus de la moitié des ménages rapportaient une baisse de leur efficacité, tout en continuant à les utiliser faute d'alternatives perçues comme fiables. En agriculture, l'usage intensif d'herbicides totaux et d'insecticides de contact était fréquent. Les choix des produits reposaient principalement sur le coût et l'efficacité immédiate. Les pratiques observées à Tiassalé traduisent une exposition sublétale fréquente des moustiques aux insecticides. Cette exposition résulte d'usages combinés, domestiques et agricoles. Elle crée des conditions favorables à la sélection de la résistance. Les stratégies de lutte antivectorielle doivent intégrer ces réalités locales pour maintenir leur efficacité et renforcer le contrôle du paludisme.

Abstract

Vector control relies heavily on insecticides. Their effectiveness is declining. Mosquito resistance is increasing. A major cause is repeated exposure to sublethal doses. This exposure often occurs outside of health programmes, through domestic and agricultural use. In Tiassalé, an area of high vector and agricultural pressure, these practices remain poorly documented. This study analyses community insecticide use and its potential implications for mosquito resistance. A cross-sectional survey was conducted among 402 households in Tiassalé. Data were collected using a structured questionnaire. It focused on knowledge of malaria, perceptions of insecticide effectiveness, vector control practices in the home, and pesticide use in agriculture. Knowledge of malaria was generally high. Ninety-four per cent (94%) of respondents identified mosquitoes as vectors. However, unscientific beliefs persisted, including the association of the disease with fatigue or exposure to the sun. Confidence in insecticides was limited. Only 31.6% considered them to be very effective. More than half of households reported a decline in their effectiveness, but continued to use them due to a lack of perceived reliable alternatives. In agriculture, intensive use of total herbicides and contact insecticides was common. Product choices were based primarily on cost and immediate effectiveness. The practices observed in Tiassalé reflect frequent sublethal exposure of mosquitoes to insecticides. This exposure results from combined

domestic and agricultural use. It creates conditions conducive to the selection of resistance. Vector control strategies must integrate these local realities to maintain their effectiveness and strengthen malaria control.

OL.84

FACTEURS ASSOCIES A LA MACROSOMIE DANS LES CENTRES DE REFERENCE DE LA REGION DES PLATEAUX

FACTORS ASSOCIATED WITH MACROSOMIA IN REFERENCE CENTERS IN THE PLATEAUX REGION

Bulus Jacob[1], jcbbulus@gmai.com ; Uwito Alain Rubenga[1]; Achraf Tchapidé-Traoré[1]; Foli Yvon Agbeko[1]; Fousseinatou Aliassim[2]; Sofako Egloh A.[3]; Mawouto Fiawoo[3]

[1] Service de Pédiatrie, CHU-Campus, Togo

[2] Ecole nationale des Sage-femmes de Kpalimé, Togo

[3] Service de Gynéco-obstétrique et de Pédiatrie, CHP Kpalimé, Togo.

Résumé

INTRODUCTION : le poids de naissance à terme ≥ 4000 grammes est fréquent. Au Togo, il existe peu données sur le sujet d'où l'objectif de l'étude afin de déterminer les facteurs associés à la macrosomie fœtale.
MÉTHODE ET PATIENTS: il s'agit d'une étude analytique de type « cas-témoins » conduit d'octobre 2024 à mars 2025 dans sept services de gynéco-obstétrique de référence dans la région des plateaux en colligeant 150 dossiers de cas (macrosomes) et 300 de témoins (nouveau nés normal à terme).
RÉSULTATS : la prévalence variait de 2,7% à 4,3%. Les antécédents médicaux maternels représentaient 19,33%, p < 0,010. Les antécédents familiaux représentaient 45,33%, p < 0,001. La prise pondérale maternelle excessive était observée à 20,00 %, p < 0,001. Le diabète gestationnel était observé dans 6,67% de cas, p < 0,001. La glycémie maternelle ≥ 1,26 g/l était de 4,67%, p < 0,001. Les antécédents maternelles de macrosomies était observée dans 12,00%, p = 0,004. L'obésité maternelle était associée, p < 0,001. La hauteur utérine ≥ 36 cm était de 94,00 %, p < 0,001. La césarienne était pratiquée dans 69,59% de cas, p < 0,001. La rupture prématuré des membranes était de 17,33%, p = 0,038. Le poids moyen des nouveau-nés était de 4121,13 ± 144,14 grammes. La sex-ratio était de 1,72, p = 0,022. L'Apgar à 1 minute était ≤ 6 dans 14,00% des cas, p=0,01. La réanimation néonatale était pratiquée dans 16,00%, p=0,040. Le périmètre crânien ≥ 35 cm était de 89,33 %, p = <0,001. La taille ≥ 50 cm était de 76,67 %, p< 0,001. L'asphyxie néonatale était observée dans 14,00%, p< 0,017. L'hypoglycémie néonatale était observée dans 9,33% de cas, p<0,001. Les bosses sérosanguines étaient observés dans 8,00% de cas. L'admission en pédiatrie était de 57,33%, p < 0,001. Le décès néonatal était de 8,67%, p<0,010.
CONCLUSION : la macrosomie au Togo est associée à des facteurs de risque néonatal.
Mots clé : macrosomie, risques nouveau-né, Togo.

Abstract

INTRODUCTION: Full-term birth weight ≥ 4000 grams is common. In Togo, there is little data on the subject, hence the objective of the study to determine the factors associated with fetal macrosomia.
METHOD AND PATIENTS: This is a case-control analytical study conducted from October 2024 to March 2025 in seven referral gynecology and obstetrics departments in the Plateaux region, collating 150 case files (macrosomes) and 300 control files (normal full-term newborns).
RESULTS: Prevalence ranged from 2.7% to 4.3%. Maternal medical history accounted for 19.33%, p < 0.010. Family history accounted for 45.33%, p < 0.001. Excessive maternal weight gain was observed in 20.00%, p < 0.001. Gestational diabetes was observed in 6.67% of cases, p < 0.001. Maternal blood glucose ≥ 1.26 g/l was 4.67%, p < 0.001. A maternal history of macrosomia was observed in 12.00%, p = 0.004. Maternal obesity was associated, p < 0.001. Uterine height ≥ 36 cm was observed in 94.00%, p < 0.001. Cesarean section was performed in 69.59% of cases, p < 0.001. Premature rupture of embranes was 17.33%, p = 0.038. The average weight of newborns was 4121.13 ± 144.14 grams. The sex ratio was 1.72, p = 0.022. The Apgar score at 1 minute was ≤ 6 in 14.00% of cases, p = 0.01. Neonatal resuscitation was performed in 16.00% of cases, p = 0.040. Head circumference ≥ 35 cm was 89.33%, p = <0.001. Height ≥ 50 cm was 76.67%, p < 0.001. Neonatal asphyxia was observed in 14.00%, p< 0.017.

Neonatal hypoglycemia was observed in 9.33% of cases, p<0.001. Serosanguineous bumps were observed in 8.00% of cases. Admission to pediatrics was 57.33%, p < 0.001. Neonatal death was 8.67%, p<0.010.
CONCLUSION: Macrosomia in Togo is associated with neonatal risk factors.
Keywords: macrosomia, neonatal risks, Togo.

OL.85

Facteurs associés à la vaccination au cours de la campagne nationale de vaccination contre la rougeole et la rubéole en Côte d'Ivoire en 2024

Factors associated with vaccination during the national measles and rubella vaccination campaign in Côte d'Ivoire in 2024

LEPRI BERNADIN NICAISE AKA[1], akanicaise@yahoo.fr ; SOUALIHOU NOUFE[2]; ALFRED DOUBA[1]; KOSSIA YAO[3]; SOPLE RUTH COULIBALY[3]; DESQUIT ANGELE AKA[1]; GBOTTO RAYMAOND BROU[3]

[1] UNIVERSITE FELIX HOUPHOUET BOIGNY

[2] INSTITUT NATIONAL D'HYGIENE PUBLIQUE

[3] DIRECTION DE COORDINATION DU PROGRAMME ELARGI DE VACCINATION

Résumé

Introduction
Dans le cadre de la mise en œuvre des stratégies de lutte contre la rougeole et la rubéole, la Côte d'Ivoire pays a conduit une campagne nationale de vaccinale préventive contre la rougeole et la rubéole du 18 au 27 octobre 2024. L'objectif de ce travail est de déterminer les facteurs associés à la vaccination au cours de cette intervention de santé.
Méthodes
Il s'agissait d'une enquête transversale par sondage en grappes à deux degrés, utilisant une méthode d'échantillonnage probabiliste pour sélectionner les grappes puis les ménages. Elle a été conduite au niveau national et dans 2 strates, Abidjan et hors-Abidjan. La population cible était l'enfants âgé de 9 à 59 mois. L'analyse des données a été faite avec les logiciels Stata, SPSS.
Résultats
Au cours de cette enquête, 1424 mères d'enfants ont été interrogés dont 833 à Abidjan et 591 hors Abidjan. La couverture vaccinale (CV) par carte et histoire était estimée à 70,6% [65,6-75,2] au niveau national. Les CV en milieu urbain et rurale étaient respectivement de 65,8% et 85,3% avec p ˂ 0,001. Les CV des enfants de 9 à 11 mois, 12 à 23 mois et 24 à 59 mois étaient respectivement de 63,4%, 66,3% et 72,7% avec p=0,007. Les CV des enfants dont les parents n'ayant aucune instruction, ayant un niveau primaire et ayant un niveau secondaire et plus étaient respectivement de 72,8%; 73,9% et 65,4% avec p=0,011.
Discussion
Les enfants résidant en milieu rural et les enfants âgés de 24 à 59 mois avaient été mieux vaccinés que les autres. Il en était de même pour les enfants dont les parents n'avaient pas été scolarisé ou qui avaient atteint le niveau primaire.
Conclusion
Les résultats de cette étude seront utilisés dans la planification et la mise en œuvre des prochaines campagnes de vaccination de masse.

Abstract

Introduction
As part of measles and rubella control strategies implementation, Côte d'Ivoire conducted a national preventive vaccination campaign against measles and rubella from October 18 to 27, 2024. This study aims to determine factors associated with vaccination during this health intervention.
Methods
We conducted a cross-sectional survey using a two-stage cluster sampling method. Clusters and households were selected using probability sampling. The survey was conducted nationally in two strata: Abidjan and outside Abidjan. The target population was children aged 9 to 59 months. Data were analyzed using Stata and SPSS.
Results
During this survey, 1,424 mothers of children were interviewed, including 833 in Abidjan and 591 outside Abidjan. Vaccination coverage (VC) based on vaccination card and history was estimated at 70.6% [65.6–75.2] nationally. VC rates in urban and rural areas were 65.8% and 85.3%, respectively (p

< 0.001). VC rates for children aged 9–11 months, 12–23 months, and 24–59 months were 63.4%, 66.3%, and 72.7%, respectively (p = 0.007). VC rates for children whose parents had no education, a primary education, and a secondary education or higher were 72.8%, 73.9%, and 65.4%, respectively (p = 0.011).

Discussion

Children living in rural areas and children aged 24 to 59 months had higher vaccination rates than other children. The same was true for children whose parents had not attended school or who had only reached primary school.

Conclusion
The results of this study will be used in the planning and implementation of future mass vaccination campaigns.

OL.86

Facteurs associes a l'hypertension artérielle chez les agents de sante des deux hôpitaux universitaires de Parakou (Bénin)

Factors associated with high blood pressure among healthcare workers at the two university hospitals of Parakou (Benin)

Aimé Mahougnon VINASSE[1], aimevinasse@gmail.com ; Séraphin AHOUI[2]; Missikê MELIKAN[2]; Joseph GODONOU[1]; Carine PEDRO[1]; Jacques VIGAN[1]

[1] Faculté des Sciences de la Santé, Université d'Abomey Calavi, Bénin

[2] Faculté de Médecine, Université de Parakou, Bénin

Résumé

Introduction : L'hypertension Artérielle (HTA) est le principal facteur de risque cardiovasculaire.
Objectif : Étudier les facteurs associés à l'HTA chez les agents de santé des deux Hôpitaux Universitaires de Parakou (Bénin) en 2025.
Méthode : Il s'agissait d'une étude transversale, menée du 01 juin au 30 septembre 2025 et a concerné les agents de santé du Centre Hospitalier Universitaire Départemental du Borgou et de l'Hôpital d'Instruction des Armées de Parakou. Etaient inclus ceux ayant une HTA ancienne et/ou une pression artérielle mesurée ≥140/90 mmHg, confirmée par trois mesures répétées. L'échantillonnage était exhaustif. La recherche des facteurs associés a été effectuée par régression logistique et le seuil de significativité était $p < 0,05$.
Résultats : Au total, 683 agents avaient participé à l'étude dont 179 sujets présentaient une HTA soit une prévalence de 26,2 %. L'âge moyen des sujets hypertendus était de 47,1±6,8 ans avec un sex-ratio de 0,9. Les antécédents familiaux d'HTA, l'excès de poids et la présence d'HTA non contrôlée malgré une adhésion élevée aux mesures hygiéno-diététiques étaient retrouvés respectivement dans 68,7%, 83,0% et 62,6% des cas. Le modèle de régression logistique a identifié huit facteurs de risque indépendants de l'HTA : l'âge ($p<0,001$), l'excès de poids ($p<0,001$), l'inactivité physique ($p=0,016$), le niveau de connaissance ($p=0,014$), le niveau d'instruction ($p=0,032$) et les antécédents familiaux ($p=0,002$).
Conclusion : La prévalence de l'HTA chez les agents de santé de Parakou est élevée et multifactorielle.

Abstract

Introduction : High blood pressure (hypertension) is the main cardiovascular risk factor.
Objective : To study the factors associated with hypertension among healthcare workers at the two University Hospitals of Parakou (Benin) in 2025.
Methods : This was a cross-sectional study conducted from June 1 to September 30, 2025, involving healthcare workers at the Borgou Departmental University Hospital and the Parakou Military Teaching Hospital. Participants included those with a history of hypertension and/or a measured blood pressure ≥140/90 mmHg, confirmed by three repeated measurements. Sampling was exhaustive. The search for associated factors was carried out by logistic regression and the significance threshold was $p < 0.05$.
Results : A total of 683 individuals participated in the study, of whom 179 had hypertension, representing a prevalence of 26.2%. The mean age of the hypertensive subjects was 47.1 ± 6.8 years, with a male-to-female ratio of 0.9. A family history of hypertension, excess weight, and uncontrolled hypertension despite high adherence to lifestyle modifications were found in 68.7%, 83.0%, and 62.6% of cases, respectively. The logistic regression model identified eight independent risk factors for hypertension: age ($p < 0.001$), excess weight ($p < 0.001$), physical inactivity ($p = 0.016$), level of knowledge ($p = 0.014$), level of education ($p = 0.032$), and family history ($p = 0.002$).
Conclusion : The prevalence of hypertension among healthcare workers in Parakou is high and multifactorial.

OL.87

Facteurs associés au handicap dans les communautés endémiques aux maladies tropicales négligées ou à d'autres causes en Afrique de l'Ouest : cas du Bénin et de la Côte d'Ivoire

Factors associated with disability in communities endemic to neglected tropical diseases or other causes in West Africa: the case of Benin and Côte d'Ivoire

Yévèdo Borel TOSSOU[1], tossouborel@yahoo.fr ; Carine Lucrèce Marie CODJO-SEGNON[1]; Noël Fifamin Christelle GBAGUIDI[1]; Sonagnon Inès Elvire AGBO[1]; Sètondji Diane Edwige ZANVO ZANVO[1]; Sèdjro Gimatal Esaï ANAGONOU[1]; Roch Christian JOHNSON[1]

[1] Centre Interfacultaire de Formation et de Recherche en Environnement pour le développement Durable, Université d'Abomey-Calavi, Benin

Résumé

Introduction
Le handicap constitue un enjeu majeur de santé publique, particulièrement dans les communautés endémiques aux maladies tropicales négligées (MTN) en Afrique de l'Ouest. Malgré son ampleur, les déterminants du handicap, ses conséquences sociales et les réponses institutionnelles demeurent insuffisamment documentés. Cette étude vise à analyser les facteurs associés à la prise en charge du handicap, à la restriction de la participation sociale des personnes handicapées et à l'éducation des personnes handicapées au Bénin et en Côte d'Ivoire.
Méthodes
Une étude mixte (quantitative et qualitative) a été conduite entre 2021 et 2022 dans plusieurs districts endémiques aux MTN des deux pays. Elle a inclus 841 personnes handicapées, des professionnels de santé, des membres de familles et de la communauté. Les données quantitatives ont été analysées avec SPSS v25, tandis que les données qualitatives ont fait l'objet d'une analyse thématique par triangulation.
Résultats
Le handicap moteur était prédominant (65,8 %), avec des causes dominées par les AVC, les accidents de la voie publique et certaines MTN, notamment la filariose lymphatique, l'ulcère de Buruli et la lèpre. Seuls 18,8 % des participants bénéficiaient d'une prise en charge adéquate, tandis que 65,9 % présentaient une restriction de la participation sociale.
Dans ce contexte de vulnérabilité structurelle, l'analyse de l'accès à l'éducation révèle que les handicaps multiples, sensoriels et les restrictions de participation sociale augmentent significativement le risque de non-scolarisation. Une intervention formative pilote fondée sur des outils pédagogiques adaptés a permis de réduire la stigmatisation, de renforcer l'estime de soi et de favoriser l'intégration sociale et économique des personnes handicapées.
Conclusion
Ces résultats soulignent la nécessité de politiques publiques multisectorielles intégrant santé, inclusion sociale et éducation pour améliorer durablement les conditions de vie des personnes handicapées dans les zones endémiques aux MTN.

Abstract

Introduction
Disability is a major public health, particularly in communities endemic to neglected tropical diseases (NTDs) in West Africa. Despite its scale, the determinants of disability, its social consequences, and institutional responses remain insufficiently documented. This study aims to analyze the factors associated with disability management, restrictions on the social participation of persons with disabilities, and the education of persons with disabilities in Benin and Côte d'Ivoire.
Methods
A mixed (quantitative and qualitative) study was conducted between 2021 and 2022 in several NTD-endemic districts in both countries. It included 841 persons with disabilities, health professionals, family members, and community members. Quantitative data were analyzed using SPSS v25, while

qualitative data were analyzed using thematic analysis by triangulation.
Results
Motor disabilities were predominant (65.8%), with causes dominated by strokes, road traffic accidents, and certain neglected tropical diseases, notably lymphatic filariasis, Buruli ulcer, and leprosy. Only 18.8% of participants received adequate care, while 65.9% had limited social participation.
In this context of structural vulnerability, analysis of access to education reveals that multiple disabilities, sensory impairments, and limited social participation significantly increase the risk of non-enrollment in school. A pilot training intervention based on adapted teaching tools reduced stigma, boosted self-esteem, and promoted the social and economic integration of people with disabilities.
Conclusion
These results highlight the need for multisectoral public policies integrating health, social inclusion, and education to sustainably improve the living conditions of people with disabilities in areas endemic to NTDs.

OL.88

Facteurs associés au risque suicidaire chez les étudiants en médecine, soins infirmiers et obstétricaux au Bénin en 2025

Factors associated with suicide risk among medical, nursing and midwifery students in Benin in 2025

Félicité AKOHA[1], fakohanouatin6@gmail.com ; Djidjoho Christian TANDJIEKPON[1]; Iréti Néthania Elie ATAIGBA[2]; Ghislain Emmanuel SOPOH[1]

[1] Laboratoire de recherche en Santé Publique de l'Institut Régional de Santé Publique (IRSP) de Ouidah / UAC / BENIN

[2] Université de Parakou / BENIN

Résumé

Introduction : Les taux de suicide chez les étudiants en médecine sont plus élevés que dans la population générale, certaines estimations étant plusieurs fois supérieures. Il est nécessaire de produire des données fiables et représentatives.
Objectif : Identifier les facteurs associés au risque suicidaire chez les étudiants en médecine, soins infirmiers et obstétricaux au Bénin en 2025.
Méthode : Étude transversale analytique incluant les étudiants des deux universités publiques formant en santé. L'échantillon a été calculée selon la formule de Schwartz, avec un échantillonnage par convenance. Les données ont été collectées par auto-administration d'un questionnaire et analysées avec R 4.5.1.
Résultats : 352 étudiants ont été inclus (âge médian 21 ans, IQR = 3), avec une prédominance féminine (58,5%). La majorité suivait une formation en médecine (52,6 %) et la prévalence du risque suicidaire était de 31,0%. L'âge constituait un facteur protecteur (RPa = 0,71 ; p < 0,001), tandis que le sexe féminin augmentait le risque (RPa = 2,29 ; p = 0,016). L'histoire de vie jouait un rôle important : maltraitances physiques durant l'enfance (RPa = 5,13 ; p = 0,024) et antécédents familiaux de tentative de suicide (RPa = 3,41 ; p = 0,014) étaient significativement associés au risque suicidaire. La consommation d'alcool (RPa = 2,24 ; p = 0,011), les humiliations par un supérieur (RPa = 2,44 ; p = 0,010) et l'idée d'abandonner la formation (RPa = 2,95 ; p = 0,002) augmentaient également le risque suicidaire. Enfin le stress (RPa = 2,21 ; p = 0,028) et l'estime de soi faible (RPa = 3,22 ; p=0,013) ou très faible (RPa = 10,8 ; p< 0,001) étaient les facteurs les plus influents.
Conclusion : Le risque suicidaire est élevé et multifactoriel, avec la faible estime de soi comme facteur le plus fortement associé.

Abstract

Introduction: Suicide rates among medical students are higher than in the general population, with some estimates being several times higher. It is necessary to produce reliable and representative data.
Objective: This study aims to identify factors associated with suicide risk among medical, nursing, and midwifery students in Benin in 2025.
Method: Cross-sectional analytical study including students from two public universities offering health training. The sample size was calculated using Schwartz's formula, with convenience sampling. Data were collected through a self-administered questionnaire and analyzed using R 4.5.1.
Results: 352 students were included (median age 21 years, IQR = 3), with a predominance of females (58.5%). The majority were studying medicine (52.6%) and the prevalence of suicide risk was 31.0%. Age was a protective factor (aPR = 0.71; p < 0.001), while female gender increased the risk (aPR = 2.29; p = 0.016). Life history played an important role: physical abuse during childhood (aPR = 5.13; p = 0.024) and a family history of suicide attempts (aPR = 3.41; p = 0.014) were significantly associated with suicide risk. Alcohol consumption (aPR = 2.24; p = 0.011), humiliation by a superior (aPR = 2.44; p = 0.010), and the idea of dropping out of training (aPR = 2.95; p = 0.002) also increased the risk of suicide. Finally, stress (aPR = 2.21; p = 0.028) and low self-esteem (aPR = 3.22; p = 0.013) or very low self-esteem (aPR = 10.8; p < 0.001) were the most influential factors.
Conclusion: The risk of suicide among health students in Benin is high and multifactorial, with low self-

esteem being the most strongly associated factor.

OL.89

Facteurs associés aux grossesses non intentionnelles en milieu scolaire dans la préfecture de Tchaoudjo (Togo) en 2024

Factors associated with unintended pregnancies in schools in the prefecture of Tchaoudjo (Togo) in 2024

Kwami Gagnon AZIALEY[1], drazialey@yahoo.fr ; Dédé Régine AJAVON[2]; Koumavi Didier EKOUEVI[1]

[1] Département de santé publique, Université de Lomé

[2] Université de Kara, Kara

Résumé

Introduction : Les grossesses en milieu scolaire constituent un frein à l'épanouissement et à l'éducation des jeunes filles. Elles constituent un problème de santé publique et de développement. Au Togo, des dizaines de cas des grossesses scolaires sont enregistrées chaque année.
Objectif : Cette étude avait pour but de décrire l'ampleur et les facteurs associés aux grossesses non intentionnelles dans les collèges et lycées d'enseignement général de la préfecture de Tchaoudjo.
Méthodes : Il s'est agi d'une étude transversale et analytique menée du 1er avril au 30 juin 2024 dans les lycées et collèges de la préfecture de Tchaoudjo et portant sur les élèves ayant contractées une grossesse au cours des trois dernières années scolaires de 2020 à 2023. Les données ont été collectées à l'aide d'un questionnaire digitalisé. Une régression logistique multivariée a été faite.
Résultats : Au total, 61 cas de grossesses ont été enregistrées dans 10 collèges et lycées. L'âge moyen des filles était de 17,55 ans. La prévalence des grossesses scolaires était de 4,86% (IC à 95% [2,95-6,33]). L'existence d'une relation de copinage (OR = 10,12 [6,78; 13,93]), vivre seule (OR = 4,21 [1,73; 6,89]), les mauvaises relations avec les parents (OR = 2,17 [1,93; 4,12]), l'absence de discussion sur la sexualité avec les parents (OR = 1,04 [1,22; 4,01]), l'argent de poche journalier inférieur à 500 FCFA (OR = 8,32 [4,26; 15,01]) étaient les facteurs associés à la survenue des grossesses.
Conclusion : Les grossesses non intentionnelles en milieu scolaire demeurent une réalité préoccupante. La présente étude met à disposition des encadreurs, des parents d'élèves et des décideurs des évidences pour une lutte multisectorielle efficiente.

Abstract

Introduction: Pregnancies among schoolgirls hinder the development and education of young girls. They constitute public health and development problems. In Togo, dozens of cases of schoolgirl pregnancies are recorded each year.
Objective: This study aimed to describe the extent and factors associated with unintended pregnancies in general education colleges and high schools in the Tchaoudjo prefecture.
Method: This was a cross-sectional and analytical study conducted from April 1 to June 30, 2024, in high schools and middle schools in the Tchaoudjo prefecture. It focused on students who had become pregnant during the three previous school years, from 2020 to 2023. Data were collected using a digital questionnaire. A multivariate logistic regression was performed.
Results: A total of 61 cases of pregnancy were recorded in 10 middle and high schools. The average age of the girls was 17.55 years. The prevalence of school-aged pregnancies was 4.86% (95% CI [2.95-6.33]). The existence of a friendship (OR = 10.12 [6.78; 13.93]), living alone (OR = 4.21 [1.73; 6.89]), poor relationships with parents (OR = 2.17 [1.93; 4.12]), lack of discussion about sexuality with parents (OR = 1.04 [1.22; 4.01]), and a daily allowance less than 500 FCFA (OR = 8.32 [4.26; 15.01]) were the factors associated with the occurrence of pregnancies.
Conclusion: Unintended pregnancies in schools remain a worrying reality. This study provides educators, parents, and policymakers with evidence for an effective multi-sectoral approach to combating this issue.

OL.90

Facteurs associés aux rechutes de la tuberculose pharmaco sensible chez les patients suivis au Centre National Hospitalier Universitaire de Pneumo-Phtisiologie de Cotonou entre 2019 et 2023

Factors associated with relapses of drug-susceptible tuberculosis at the National University Hospital Center of Pneumo-Physiology in Cotonou (CNHU-PPC) between 2019 and 2023 : a case-control study

Barikissou Georgia DAMIEN[1], barikiss2000@yahoo.fr ; Agossou Sébastien LAWIN[1]; Ibrahim ALKASSOUM[2]; Isidore Tiandiogo TRAORE[3]; Dissou AFOLABI[4]; Badirou AGUEMON[5]

[1] Centre National Hospitalier et Universitaire de Pneumo-Phtisiologie de Cotonou, Bénin

[2] Département de Santé Publique, Faculté des Sciences de la Santé, Université Abdou Moumouni, Niamey, Niger

[3] Université NAZI BONI

[4] Programme National contre la Tuberculose, Cotonou, Bénin

[5] Département de Santé Publique, Faculté des Sciences de la Santé de Cotonou, Université d'Abomey-Calavi, Bénin

Résumé

Introduction : La tuberculose demeure un problème majeur de santé publique dans les pays à revenu faible et intermédiaire, et la rechute constitue un indicateur important de l'efficacité du traitement. L'objectif de cette étude était d'étudier les facteurs associés aux rechutes de tuberculose pharmaco sensible chez les patients suivis au Centre National Hospitalier Universitaire de Pneumo-Physiologie de Cotonou (CNHU-PPC) entre 2019 et 2023
Méthodes : L'étude a eu lieu au CNHU-PPC. Elle était de type cas-témoins à partir de données rétrospectives, de janvier 2019 au décembre 2023. Trois témoins pour un cas apparié sur l'âge et le sexe. Une analyse multivariée par régression logistique conditionnelle a été réalisée avec un seuil de significativité de 0,05.
Résultats : La taille de l'échantillon était de 340 dont 85 cas et 255 témoins. La moyenne d'âge chez les cas était de 40,25 ± 12,68 ans, l'âge médian des témoins était de 38 ans avec un intervalle interquartile de [31-48] ans. La fréquence des rechutes était de 9,25 % et la tendance évolutive est régressive entre 2019 et 2023. Sur le plan analytique, la consommation régulière d'alcool était significativement associée à la survenue des rechutes (ORa = 3,06 ; IC95 % : 1,31-7,16 ; p =0,0098).
Conclusion : Ces résultats soulignent la nécessité d'un accompagnement psychologique renforcé des patients tuberculeux, notamment en matière de réduction de la consommation d'alcool afin de prévenir les rechutes et améliorer la qualité du suivi thérapeutique.

Abstract

Introduction : Tuberculosis remains a major public health issue in low-and-middle income countries, and relapse is an important indicator of treatment effectiveness. The objective of this study was to investigate the factors associated with relapses of drug-susceptible tuberculosis in patients followed at the National University Hospital Center of Pneumo-Physiology in Cotonou (CNHU-PPC) between 2019 and 2023.
Methods : The study was conducted at the CNHU-PPC. A case-control study based on retrospective data was carried out from January 2019 to December 2023. Three controls were matched to each case based on age and sex. A multivariate conditional logistic regression analysis was performed with a significance level of 0.05.
Results : The sample size was 340, including 85 cases and 255 controls. The mean age of the cases was 40.25 ± 12.68 years, and the median age of the controls was 38 years with an interquartile range of [31-48] years. The frequency of relapses was 9.25 %, and the trend was decreasing from 2019 to 2023. Analytically, alcohol regular consumption was significantly associated with the occurrence of relapses (ORa = 3,06 ; IC95 % : 1,31-7,16 ; p =0,0098).

Conclusion : These results highlight the need for enhanced behavioral support for tuberculosis patients, particularly in reducing alcohol consumption, in order to prevent relapses and improve the quality of therapeutic follow-up.

OL.91

FACTEURS DE RISQUE DE DECES DES NOUVEAU - NES PREMATURES AU CENTRE HOSPITALIER UNIVERSITAIRE (CHU) SYLVANUS OLYMPIO, LOME (TOGO)

RISK FACTORS FOR DEATH IN PREMATURE NEWBORNS AT THE SYLVANUS OLYMPIO UNIVERSITY HOSPITAL CENTER (CHU) IN LOME, TOGO

Achraf TCHAPIDE - TRAORE[1], achraftchapidetraore@gmail.com ; Wiyao Tatiano SEKU[2]; Ferrol BESSI MOUSSOUMOU[1]; Moussa HAMADOU BOUREIMA[3]; Colette BOSSE[4]; Ounoo Elom TAKASSI[5]; Foli Yvon AGBEKO[1]

[1] Service de Pédiatrie, CHU - Campus, Lomé, Togo

[2] Service de Pédiatrie, CHR - Tsévié, Tsévié, Togo

[3] Service de pédiatrie , Hôpital de Bé , Lomé , Togo

[4] Service de Pédiatrie, CHU – Sylvanus Olympio, Lomé, Togo

[5] Service de Pédiatrie, CHR - Lomé Commune, Lomé, Togo

Résumé

Introduction : Quinze millions de nouveau - nés naissent prématurément chaque année. Au Togo, la prématurité était responsable de 29,2 % des décès dans une étude hospitalière menée par Segbedji et al en 2020. L'objectif de ce travail était de déterminer les facteurs de risque de décès des prématurés.
Patients et méthodes : Il s'est agi d'une série de cas à visée descriptive et analytique, de janvier à avril 2023, portant sur les nouveau - nés prématurés de moins de 36 SA hospitalisés dans l'unité de néonatologie du CHU – Sylvanus Olympio.
Résultats : Cent cinquante – neuf prématurés décédés étaient inclus dans l'étude. Les mères étaient majoritairement (81,29 %) âgées de 18 à 35 ans avec des extrêmes de 16 et 50 ans. Seuls 26,98 % des mères avait réalisé au moins 04 consultations prénatales. Plus de la moitié des mères (53,60 %) n'avait réalisé aucune échographie obstétricale et 84,17 % aucune analyse biologique. Le sex – ratio des nouveau – nés était de 0,87 avec 02 cas (1,75 %) d'anomalies du développement sexuel. La tranche d'âge gestationnel de 29 à 32 SA était la plus représentée (51,43 %). Les nouveau – nés de poids de naissance compris entre 1000 et 1500 g étaient majoritaires (52,52 %). La létalité liée à la prématurité était de 49,23 % (159 / 323). Elle était de 77,19 % pour les critères infectieux (p=0,000 ; OR=2,210), de 36,84 % pour l'âge gestationnel inférieur à 28 SA (p=0,000 ; OR=2,513) et de 36,84 % pour le poids de naissance compris entre 1000 et 1500 g (p=0,000 ; OR=1448).
Conclusion : La bonne surveillance de la grossesse, la prise en charge correcte des prématurés en salle d'accouchement et l'équipement de la néonatologie permettront de réduire cette mortalité.

Abstract

Introduction: Fifteen million newborns are born prematurely each year. In Togo, prematurity was responsible for 29.2% of deaths in a hospital study conducted by Segbedji et al in 2020. The objective of this study was to determine the risk factors for death in premature infants.
Patients and methods: This was a descriptive and analytical case series, from January to April 2023, involving premature newborns less than 36 weeks gestation hospitalized in the neonatal unit of the Sylvanus Olympio University Hospital.
Results: One hundred and fifty-nine deceased premature infants were included in the study. The majority of mothers (81.29%) were between 18 and 35 years of age, with extremes of 16 and 50 years. Only 26.98% of mothers had attended at least four prenatal consultations. More than half of the mothers (53.60%) had not had any obstetric ultrasound scans and 84.17% had not had any biological tests. The sex ratio of newborns was 0.87, with two cases (1.75%) of sexual development abnormalities. The gestational age range of 29 to 32 weeks was the most represented (51.43%). Newborns with a birth weight between 1000 and 1500 g were in the majority (52.52%). Prematurity-related mortality was 49.23% (159/323). It was 77.19% for infectious criteria (p=0.000; OR=2.210), 36.84% for gestational age less than 28 weeks (p=0.000; OR=2.513) and 36.84% for birth weight between 1000 and 1500 g

(p=0.000; OR=1448).
Conclusion: Good pregnancy monitoring, proper care of premature infants in the delivery room, and neonatal equipment will help reduce this mortality rate.

OL.92

Facteurs prédictifs de la non vaccination des enfants en Côte d'Ivoire en 2025

Predictive Factors for Non-Vaccination of Children in Côte d'Ivoire in 2025

KEVIN SYLVESTRE YOHOU[1], yoskev@gmail.com ; Anastase MIAN[1]; Tania NZI-BOA[1]; Mathilde MANOUAN[1]; Akissi Régine ATTIA-KONAN[1]; William YAVO[1]; Juile SACKOU-KOUAKOU[1]

[1] Institut National de Santé Publique

Résumé

Introduction : En Côte d'Ivoire, une proportion importante d'enfants non ou insuffisamment vaccinés persistait en 2025, malgré toutes les stratégies mises en œuvre par le programme élargi de vaccination. L'objectif de l'étude était d'identifier les facteurs prédictifs de la non vaccination des enfants.

Méthodes : Une étude transversale analytique a été menée entre juillet et novembre 2025 auprès de 286 parents d'enfants éligibles au programme élargi de vaccination. Les données ont été saisies sur ODK Collect et analysées avec PYTHON® et QGIS®. Une régression logistique a été réalisée au risque 5%.

Résultats : L'étude a mis en évidence des facteurs prédictifs de la non vaccination selon les Odds Ratio à savoir : le manque de séance pour indisponibilité OR = 7,6 [2,68-21,63], les visites des agents de santé communautaire OR = 3,32 [1,77-6,24] , les ruptures en vaccins OR = 7,35 [1,95-29,04] et la perception que le centre de santé était proche OR = 0,48 [0,27-0,87] et le chef de ménage qui était sans emploi OR = 5,39 [1,36-21,29]. Les enfants de ménages dont le chef était sans emploi stable avaient 5 fois plus de risque d'être sous-vaccinés, les ruptures de vaccins multipliaient ce risque par 7, et l'indisponibilité des services par 8. Le faible nombre de visites des ASC le multipliait par 3. La proximité des ménages avec le centre de santé jugé « proche » et accessible à moins de 30 minutes, diminuait de moitié le risque de sous-vaccination.

Conclusion
Il importe de mener des actions à plusieurs niveaux. L'investissement dans des moyens logistiques pour faciliter la mise en œuvre des stratégies de vaccination, le renforcement des capacités des ressources humaines, le renforcement de la disponibilité des vaccins et intrants et l'établissement de partenariats locaux sont des pistes à renforcer.

Abstract

Introduction: In Côte d'Ivoire, a significant proportion of children remained unvaccinated or undervaccinated in 2025, despite all strategies implemented by the expanded vaccination program. The study aimed to identify the predictive factors for non-vaccination of children.

Methods: An analytical cross-sectional study was conducted between July and November 2025 among 286 parents of children eligible for the expanded vaccination program. Data were collected using ODK Collect and analyzed with PYTHON® and QGIS®. A logistic regression was performed with a risk threshold of 5%.

Results: The study identified predictive factors for non-vaccination according to Odds Ratios, namely: lack of sessions due to unavailability OR = 7.6 [2.68-21.63], visits from community health workers OR = 3.32 [1.77-6.24], vaccine shortages OR = 7.35 [1.95-29.04], and the perception that the health center was nearby OR = 0.48 [0.27-0.87]. Additionally, heads of households without stable employment had a 5 times higher risk of being undervaccinated. Vaccine shortages increased this risk by 7 times, while service unavailability multiplied it by 8. A low number of visits from community health agents increased the risk by 3 times. The proximity of households to the health center, deemed "close" and accessible in less than 30 minutes, halved the risk of undervaccination.

Conclusion: It is important to conduct actions at multiple levels. Investing in logistical means to facilitate the implementation of vaccination strategies, strengthening the capacity of human resources, ensuring the availability of vaccines and inputs, and establishing local partnerships are avenues to be reinforced.

OL.93

Fort taux de résistance aux fluoroquinolones des souches de Campylobacter spp isolées des fèces diarrhéiques infantiles dans la ville de Makokou.

High rate of resistance to fluoroquinolones of Campylobacter spp strains isolated from childhood diarrheic faeces in the city of Makokou.

Jean Fabrice YALA[1], yalajeanfabrice@gmail.com ; Rolande MABIKA MABIKA[1]; Ornella ZONG MINKO[1]; Evrard MAYOMBO NGOUSSOU[1]; Léonce Fausther ONDJIAGUI[1]; Jose-Miguel ARMESTO PAULA[2]; Franck MOUNIOKO[3]

[1] Centre interdisciplinaire de Recherches Médicales de Franceville (CIRMF)

[2] Centre Hospitalier Régional Omar BONGO ONDIMBA de Makokou (CHROBOM), Makokou, Gabon

[3] Centre interdisciplinaire de Recherches Médicales de Franceville (CIRMF)/USTM

Résumé

Introduction
L'infection diarrhéique est la deuxième cause de mortalité infantile, et les pathogènes les plus fréquemment mis en cause sont d'origine bactérienne. Leurs meilleures prises en charge passent par la connaissance de leurs profils de résistance aux antibiotiques. Cependant, Campylobacter spp, un agent zoonotique, premier responsable des gastro-entérites humaines et animales, ne connait aucune surveillance et est traité de façon empirique. Cette étude ce propose d'évaluer les profils de résistance des souches de Campylobacter spp isolées des fèces diarrhéiques des enfants vivant dans la ville de Makokou aux fluoroquinolones de 2ème, 3ème et 4ème génération.
Matériel et Méthodes
L'évaluation de la sensibilité de 109 isolats de Campylobacter aux Fluoroquinolones a été réalisée par la technique de diffusion de disque antibiotique sur milieu gélosé Mueller Hinton (MH) selon la technique de Kirby-Bauer. La recherche des gènes plasmidiques du complexe QNR (qnrA, qnrB et qnrS) ainsi que le gène gyr A ont été recherché par PCR multiplex.
Résultats
Les résultats montrent une totale résistance des isolats de Campylobacter spp aux fluoroquinolones, ciprofloxacine (100% ; 116/116), lévofloxacine (100% ; 116/116), péfloxacine (100% ; 116/116). Aussi, ils révèlent que 56,03% (65/116) portent les gènes du complexe QNR, qnrS (51,7%), qnrB (4,3%), qnrA (0%). Tandis que 6,0% (7/116) ne possèdent pas le gène gyrA.
Conclusion
En définitive, les isolats de Campylobacter présentent une totale résistance aux fluoroquinolones et cette résistance phénotypique aurait pour support génétique les gènes plasmidiques du complexe QNR. Cette étude souligne la nécessité d'une surveillance accrue de la sensibilité les isolats de Campylobacter aux antimicrobiens au Gabon et de la mise en œuvre des politiques de contrôle plus strictes sur l'utilisation appropriée des antimicrobiens dans les structures hospitalières que vétérinaires.

Abstract

Introduction
Diarrhoeal infection is the second leading cause of infant mortality, and the most common pathogens are bacterial. Their best management depends on the knowledge of their antibiotic resistance profiles. However, Campylobacter spp, a zoonotic agent, primarily responsible for human and animal gastroenteritis, is not monitored and is treated empirically. This study proposes to evaluate the resistance profiles of Campylobacter spp strains isolated from diarrheic faeces of children living in the city of Makokou to fluoroquinolones of 2nd, 3rd and 4th generation.
Material and methods
The susceptibility assessment of 109 isolates of Campylobacter to Fluoroquinolones was carried out by the antibiotic disc diffusion technique on agar medium Mueller Hinton (MH) according to the Kirby-Bauer technique. The search for the plasmid genes of the QNR complex (qnrA, qnrB and qnrS) as well as the gyrA gene were searched by multiplex PCR.

Results
Les résultats montrent une totale résistance des isolats de Campylobacter spp aux fluoroquinolones, ciprofloxacine (100% ; 116/116), lévofloxacine (100% ; 116/116), péfloxacine (100% ; 116/116). Aussi, ils révèlent que 56,03% (65/116) portent les gènes du complexe QNR, qnrS (51,7%), qnrB (4,3%), qnrA (0%). Tandis que 6,0% (7/116) ne possèdent pas le gène gyrA.
Conclusion
Ultimately, the isolates of Campylobacter present a total resistance to fluoroquinolones and this phenotypic resistance would have for genetic support the plasmid genes of the QNR complex. This study highlights the need for increased surveillance of antimicrobial susceptibility of Campylobacter isolates in Gabon and implementation of stricter control policies on appropriate use of antimicrobials in hospital rather than veterinary facilities.

OL.94

FREQUENCE ET FACTEURS ASSOCIES A L'ARTHERIOPATHIE OBLITERANTE DES MEMBRES INFERIEURS CHEZ LES DIABETIQUES SUIVIS AU CNHU—HKM DE COTONOU EN 2025

FREQUENCY AND ASSOCIATED FACTORS OF LOWER LIMB PERIPHERAL ARTERIAL DISEASE AMONG DIABETIC PATIENTS FOLLOWED AT THE CNHU–HKM OF COTONOU IN 2025

Agué Francis SOUMMONNI, soumonaf@yahoo.fr

Centre National Hospitalier Universitaire Hubert MAGA Cotonou

Résumé

Introduction : L'artériopathie oblitérante des membres inférieurs (AOMI) est une complication macrovasculaire fréquente mais sous-diagnostiquée du diabète sucré, en particulier dans les pays à revenu faible et intermédiaire. Les données issues de l'Afrique de l'Ouest demeurent rares. Cette étude avait pour objectif de déterminer la fréquence de l'AOMI et d'identifier les facteurs associés chez les patients diabétiques suivis dans deux cliniques universitaire du CNHU-HKM (Clinique Universitaire de Cardiologie et la Clinique Universitaire d'endocrinologie, Métabolisme et Nutrition), principal hôpital de référence au Bénin. Méthodes et patients : Nous avons mené une étude analytique transversale avec collecte prospective des données sur 12 mois allant du 1er Janvier au 31 Décembre 2025. Ont été inclus, par recrutement exhaustif, tous les patients des deux sexes âgés de 18 ans et plus présentant un diabète de type 1 ou 2 quelque soit la durée d'évolution, hospitalisés ou suivis en ambulatoire et ayant accepté de participer à l'étude. Les variables étudiées étaient la présence ou non de l'AOMI et ses facteurs associées. Le diagnostic de l'AOMI a été posé sur la base de l'index de pression systolique à la cheville (IPS) ≤ 0,90 et/ou d'une anomalie du flux à l'échodoppler artériel des membres inférieurs : flux démodulé monophasique, amorti ou absent. Résultats: 290 patients ont été inclus. L'âge moyen était 60,57+-11,27 ans avec une prédominance féminine (sex- ratio à 0,88). Les principaux facteurs de risque cardiovasculaire étaient l'HTA (74,7 %), la dyslipidémie (78,3 %), le surpoids/obésité (67,6 %). La prévalence de l'AOMI était de 35,17%, dont 72.4 % de formes asymptomatiques. A l'échodoppler, les lésions athéromateuses étaient majoritairement non significatives (58,3 %), avec une atteinte distale prédominante. Les facteurs associés à l'AOMI étaient L'HTA, la sédentarité, la neuropathie diabétique, le DFG < 60 ml/min, le HDLc bas et LDLc élevé. Conclusion : L'AOMI présente une prévalence élevée et demeure largement asymptomatique chez les diabétiques suivis au CNHU-HKM. Un dépistage systématique et une prise en charge ciblée des facteurs associés sont nécessaires pour réduire les complications.

Abstract

Introduction: Lower limb peripheral arterial disease (PAD) is a frequent but underdiagnosed macrovascular complication of diabetes mellitus, particularly in low- and middle-income countries. Data from West Africa remain scarce. This study aimed to determine the frequency of PAD and to identify associated factors among diabetic patients followed in two university clinics of the CNHU-HKM (University Clinic of Cardiology and the University Clinic of Endocrinology, Metabolism and Nutrition), the main referral hospital in Benin. Methods and patients: We conducted an analytical cross-sectional study with prospective data collection over a 12-month period, from January 1 to December 31, 2025. Using exhaustive recruitment, all patients of both sexes aged 18 years and above with type 1 or type 2 diabetes, regardless of disease duration, whether hospitalized or followed as outpatients, and who consented to participate were included. The variables studied were the presence or absence of PAD and its associated factors. The diagnosis of PAD was based on an ankle–brachial index (ABI) ≤ 0.90 and/or abnormal lower limb arterial Doppler ultrasound findings: monophasic demodulated flow, dampened flow, or absent flow. Results: A total of 290 patients were included. The mean age was 60.57 ± 11.27 years, with a female predominance (sex ratio 0.88). The main cardiovascular risk factors were hypertension (74.7%), dyslipidemia (78.3%), and overweight/obesity (67.6%). The prevalence of PAD was 35.17%, of which 72.4% were asymptomatic forms. On Doppler ultrasound, atherosclerotic lesions

were predominantly non-significant (58.3%), with a predominance of distal involvement. Factors associated with PAD were hypertension, physical inactivity, diabetic neuropathy, estimated glomerular filtration rate (eGFR) < 60 ml/min, low HDL cholesterol, and elevated LDL cholesterol. Conclusion: PAD has a high prevalence and remains largely asymptomatic among diabetic patients followed at the CNHU-HKM. Systematic screening and targeted management of associated factors are necessary to reduce complications.

OL.95

Gènes de résistance aux fluoroquinolones chez les souches multirésistantes de Escherichia coli à Niamey, Niger

Fluoroquinolone resistance genes in multidrug-resistant Escherichia coli isolates from Niamey, Niger

Alio Mahamadou Fody[1], juniorfodym@gmail.com ; Serge Bagre Touwendsida[2]; Laouali Boubou[3]; Chaibou Yaou[4]; Hadiza Bawa Ibrahim[2]; Nicolas Barro[2]

[1] Ecole Normale Supérieure, Université Abdou Moumouni

[2] Laboratoire de Biologie Moléculaire, d'Epidémiologie et de Surveillance des Bactéries et virus Transmissibles par les Aliments (LaBESTA), Université Pr Joseph Ki-Zerbo, Burkina Faso

[3] Hôpital National de Niamey, Niger

[4] Faculté des Sciences et Techniques, Université Abdou Moumouni, Niger

Résumé

La résistance aux quinolones et aux fluoroquinolones constitue un problème de santé publique majeur. L'objectif de cette étude était de déterminer la prévalence des gènes qnr de résistance aux quinolones et aux fluoroquinolones chez des souches multirésistantes de Escherichia coli isolées dans les hôpitaux de Niamey.
La sensibilité aux fluoroquinolones (ciprofloxacine, ofloxacine, acide nalidixique) a été évaluée par le test de sensibilité aux antibiotiques. L'ADN génomique a été extrait par la méthode de choc thermique, et une PCR conventionnelle a été utilisée pour détecter cinq gènes qnr (qnrA, qnrB, qnrC, qnrD, qnrS).
Au total, 195 souches de Escherichia coli multirésistantes ont été isolées à partir d'échantillons cliniques (urines, selles, sang, pus, prélèvements vaginaux). Parmi ces souches, 54 étaient productrices de bêta-lactamases à spectre étendu (BLSE). Ainsi 85 % des souches étaient résistantes à l'ofloxacine, à la ciprofloxacine et à l'acide nalidixique. Parmi les gènes recherchés, seuls trois ont été détectés : qnrS : 33,3 % qnrB : 19,5 % qnrA : 1,5 %. Aucun gène qnrC et qnrD n'a été détecté. Chez les souches BLSE, la prévalence des gènes qnrB et qnrS était respectivement de 22,2 % et de 33,3 % alors que le gène qnrA était absent. Une Co-présence de plusieurs gènes a été observée chez 25 souches qui portaient simultanément 2 gènes (qnrB + qnrS) et 2 souches qui portaient simultanément trois gènes (qnrA + qnrB + qnrS). Par ailleurs, chez Escherichia coli BLSE, 6 isolats portaient simultanément 2 gènes (qnrB and qnrS).
L'étude a permis de révéler une prévalence considérable des gènes de résistance aux quinolones et fluoroquinolones chez les souches multirésistantes de Escherichia coli dans les hôpitaux de Niamey. La coexistence de ces gènes avec ceux des BLSE souligne un risque accru de dissémination horizontale de la résistance, rendant les infections plus difficiles à traiter.

Abstract

Quinolone and fluoroquinolone resistance pose a significant global public health challenge. This study aimed to determine the prevalence of plasmid-mediated quinolone resistance (qnr) genes among multidrug-resistant (MDR) Escherichia coli isolates from clinical specimens in two hospitals in Niamey, Niger.
Antimicrobial susceptibility testing for fluoroquinolones (ciprofloxacin, ofloxacin) and nalidixic acid was performed using disk diffusion. Genomic DNA was extracted via heat shock, and the presence of five qnr gene variants (qnrA, qnrB, qnrC, qnrD, and qnrS) was screened with conventional PCR.
A total of 195 MDR E. coli strains were collected from various clinical samples including urine, stool, blood, pus, and vaginal swabs, with 54 confirmed as extended-spectrum β-lactamase (ESBL)-producing. Phenotypic resistance was high: over 85% of isolates were resistant to ciprofloxacin, ofloxacin, and nalidixic acid. Among the qnr genes tested, only qnrA, qnrB, and qnrS were detected, with prevalence rates of 1.5%, 19.5%, and 33.3%, respectively; qnrC and qnrD were not found in any isolate. The highest combined prevalence of qnr genes was observed in stool sample isolates. In the subset of ESBL-producing strains, qnrS (33.3%) and qnrB (22.2%) were common, while qnrA was absent. Co-occurrence of multiple qnr genes was observed in 25 isolates, all carrying qnrB and qnrS

simultaneously; two isolates contained all three detected genes (qnrA, qnrB, and qnrS). Among ESBL producers, six isolates harbored both qnrB and qnrS. The highest combined prevalence of qnr genes was found in stool sample isolates.
These findings reveal a high occurrence of plasmid-mediated fluoroquinolone resistance determinants particularly qnrS in MDR Escherichia coli in Niamey. The frequent co-localization of qnr genes with ESBL-encoding genes highlights the potential for co-selection and horizontal transfer of multidrug resistance, complicating clinical management of infections. The authors recommend strict antimicrobial stewardship and improved national surveillance of antimicrobial resistance in Niger.

OL.96

Génomique et épidémiologie moléculaire de la résistance de Neisseria gonorrhoeae à l'azithromycine en Côte d'Ivoire de 2014 à 2025

Genomics and molecular epidemiology of azithromycin resistance in Neisseria gonorrhoeae in Côte d'Ivoire from 2014 to 2025

MAEVA BRINDA NGAHANE DATTA[1], brenda.ngahane03@gmail.com ; ALAIN YEO[1]; DAVID COULIBALY N'GOLO[1]; BELINDA KOUAME BLAVO[1]; HORTENSE YAOBLA FAYE KETTE[1]

[1] Institut Pasteur de Côte d'Ivoire

Résumé

Contexte : Neisseria gonorrhoeae est l'agent causal de la gonococcie, une infection sexuellement transmissible majeure en Afrique subsaharienne. L'émergence et la propagation de souches résistantes aux antibiotiques, notamment à l'azithromycine, constituent un enjeu de santé publique mondial. En Côte d'Ivoire, les données sur les profils de résistance et les mécanismes moléculaires associés demeurent limitées. Cette étude visait à caractériser les déterminants phénotypiques et génétiques de la résistance de Neisseria gonorrhoeae à l'azithromycine afin d'améliorer la surveillance et la prise en charge thérapeutique de la gonococcie dans le pays.
Méthodologie : Une étude transversale analytique à visée descriptive a été réalisée sur 324 isolats de Neisseria gonorrhoeae collectés entre 2014 et 2025. L'identification a été effectuée par des méthodes conventionnelles et confirmée par PCR. La sensibilité a été évaluée selon le CLSI. Les gènes de résistance (rrl1–4, rplD, rplV, mtrR, mphA et ermB) ont été détectés par PCR, et les mutations confirmées par séquençage Sanger. Des analyses phylogénétiques ont permis d'établir les relations évolutives entre les isolats.
Résultats : La majorité des isolats (81,5 %) étaient sensibles à l'azithromycine, tandis que 9,7 % présentaient une résistance et 8,7 % une sensibilité intermédiaire. Une tendance à la hausse de la résistance a été observée à partir de 2019, atteignant 41,6 % en 2022. Les antibiotiques tels que la ciprofloxacine, la pénicilline et la tétracycline affichaient des taux de résistance supérieurs à 70 %, tandis que la ceftriaxone, la cefixime et la spectinomycine demeuraient efficace à 100 %. Sur le plan moléculaire, les mutations du gène 23S ARNr (rrl), notamment A2143G, ont été détectées dans toutes les souches séquencées, constituant le principal mécanisme de résistance. Le gène mtr (système d'efflux MtrCDE) était présent chez 100 % des isolats, tandis que rplV et mphA étaient détectés respectivement chez 93,8 % et 90,6 % des isolats. Un seul isolat portait le gène ermB. L'analyse phylogénétique a révélé une hétérogénéité génétique des isolats, traduisant une évolution indépendante et la possible émergence de lignées locales spécifiques.
Conclusion : Cette étude met en évidence une augmentation progressive de la résistance de Neisseria gonorrhoeae à l'azithromycine en Côte d'Ivoire, principalement liée à la mutation A2143G du gène ARNr23S et à la surexpression du système d'efflux MtrCDE.

Abstract

Background: Neisseria gonorrhoeae is the causative agent of gonorrhea, a major sexually transmitted infection in sub-Saharan Africa. The emergence and spread of antibiotic-resistant strains, particularly to azithromycin, is a global public health concern. In Côte d'Ivoire, data on resistance profiles and associated molecular mechanisms remain limited. This study aimed to characterize the phenotypic and genetic determinants of Neisseria gonorrhoeae resistance to azithromycin in order to improve surveillance and therapeutic management of gonorrhea in the country.
Methodology: An analytical and descriptive study was conducted on 324 Neisseria gonorrhoeae isolates collected between 2014 and 2025. Identification was performed using conventional methods and confirmed by PCR. Sensitivity was assessed according to CLSI guidelines. Resistance genes (rrl1–4, rplD, rplV, mtrR, mphA, and ermB) were detected by PCR, and mutations were confirmed by Sanger sequencing. Phylogenetic analyses were used to establish evolutionary relationships between isolates.
Results: The majority of isolates (81.5%) were susceptible to azithromycin, while 9.7% were resistant and 8.7% were intermediate. An upward trend in resistance was observed from 2019 onwards, reaching

41.6% in 2022. Antibiotics such as ciprofloxacin, penicillin, and tetracycline showed resistance rates above 70%, while ceftriaxone, cefixime, and spectinomycin remained 100% effective. At the molecular level, mutations in the 23S rRNA gene (rrl), particularly A2143G, were detected in all sequenced strains, constituting the main mechanism of resistance. The mtr gene (MtrCDE efflux system) was present in 100% of isolates, while rplV and mphA were detected in 93.8% and 90.6% of isolates, respectively. Only one isolate carried the ermB gene. Phylogenetic analysis revealed genetic heterogeneity among the isolates, reflecting independent evolution and the possible emergence of specific local lineages.
Conclusion: This study highlights a gradual increase in Neisseria gonorrhoeae resistance to azithromycin in Côte d'Ivoire, mainly linked to the A2143G mutation of the 23S rRNA gene and overexpression of the MtrCDE efflux system.

OL.97

HELLP SYNDROME : FREQUENCE, PRONOSTIC ET FACTEURS DE RISQUE AU CENTRE HOSPITALIER UNIVERSITAIRE ET DEPARTEMENTAL DU BORGOU ET ALIBORI DE 2019 A 2023 ********

HELLP SYNDROME: FREQUENCY, PROGNOSIS, AND RISK FACTORS AT THE DEPARTMENTAL AND UNIVERSITY HOSPITAL CENTER OF BORGOU AND ALIBORI FROM 2019 TO 2023 *******

Roger KLIKPEZO, kliroger@yahoo.fr

Faculté de médecine de l'université de Parakou

Résumé

Introduction : Le syndrome HELLP est une complication grave de la prééclampsie, associée à une morbi-mortalité materno-foetale élevée. Cette étude vise à déterminer sa fréquence, son pronostic et ses facteurs de risque au CHUD-BA.
Méthode d'étude : Il s'agit d'une étude transversale descriptive et analytique, avec collecte rétrospective des dossiers médicaux de femmes ayant présenté un syndrome HELLP entre 2019 et 2023 au CHUD-BA. Les données ont été analysées avec le logiciel R, et les facteurs associés ont été recherchés par régression logistique multivariée avec estimation des ORa et IC95 %. Les comparaisons ont été effectuées par les tests du chi-carré et de Fisher. L'étude a obtenu l'approbation du CLERB-UP.
Résultats : La fréquence hospitalière du HELLP était de 0,59 % (6 cas pour 1000 admissions). L'âge moyen des patientes était de 27,14 ± 5,33 ans. 63,51 % étaient en union libre et 12,16 %
avaient des antécédents d'HTA. Le terme moyen était de 32,63 ± 3,75 SA et 81,67 % des patientes ont accouché par césarienne. Cliniquement, 93,24 % présentaient des céphalées et 64,86 % avaient une PAS ≥ 160 mmHg. Biologiquement, 63,51 % avaient une hémoglobine entre 7 et 10 g/dL, et 55,41 % présentaient une forme complète du HELLP selon la classification du Tennessee. Le pronostic maternel était favorable dans 94,59 %, avec une mortalité maternelle de 5,41 %. La mortalité périnatale était de 28,33 %. Les facteurs associés étaient la résidence rurale (ORa = 0,4 ; p = 0,027), la prééclampsie (ORa = 2,1 ; p = 0,039), l'ictère (ORa = 1,2 ; p = 0,033), et la thrombopénie sévère (ORa = 0,7 ; p = 0,016).
Conclusion : Le syndrome HELLP reste rare mais grave, avec une mortalité materno-foetale non négligeable. Le dépistage précoce des facteurs associés pourrait améliorer la prise en charge.

Abstract

Introduction: HELLP syndrome is a severe complication of preeclampsia, associated with high maternal and fetal morbidity and mortality. This study aims to determine its frequency, prognosis, and risk factors at CHUD-BA.
Methods: This was a cross-sectional, descriptive, and analytical study with a retrospective data collection of medical records of women diagnosed with HELLP syndrome between 2019 and 2023 at CHUD-BA. Data were analyzed using R software, and associated factors were identified through multivariate logistic regression, estimating adjusted ORs (ORa) with 95% CIs. Comparisons were made using the Chi-square and Fisher's tests. The study received approval from CLERB-UP.
Results: The hospital frequency of HELLP syndrome was 0.59% (6 cases per 1000 admissions). The mean age of patients was 27.14 ± 5.33 years. 63.51% were in a common-law union, and 12.16% had a history of hypertension. The mean gestational age was 32.63 ± 3.75 weeks, and 81.67% of patients delivered via cesarean section. Clinically, 93.24% had headaches, and 64.86% had SBP ≥ 160 mmHg. Biologically, 63.51% had hemoglobin between 7 and 10 g/dL, and 55.41% had complete HELLP according to the Tennessee classification. The maternal prognosis was favorable in 94.59%, with a maternal mortality rate of 5.41%. Perinatal mortality was 28.33%. Associated factors included rural residence (ORa = 0.4; p = 0.027), preeclampsia
(ORa = 2.1; p = 0.039), jaundice (ORa = 1.2; p = 0.033), and severe thrombocytopenia (ORa = 0.7; p = 0.016).
Conclusion: HELLP syndrome remains rare but severe, with significant maternal and fetal mortality. Early detection of associated factors could improve management.

OL.98

Hétérogénéité du potentiel de transmission du virus de la dengue chez trois populations naturelles d'Aedes aegypti au Burkina Faso : implications pour la surveillance et le contrôle

Heterogeneity of transmission potential of dengue virus in three natural populations of Aedes aegypti in Burkina Faso: implications for surveillance and vector control

Houeffa A. Tatiana DOKPOMIWA[1], tiana.dokpomiwa@gmail.com ; Martin B. SOMDA[2]; Anna-Bella FAILLOUX[3]; Etienne BILGO[4]

[1] Institut de Recherches en Sciences de la Santé, Burkina Faso

[2] Centre International de Recherche-Développement sur l'Elevage en Zone Subhumide (CIRDES), Université Nazi BONI, Burkina Faso

[3] Institut Pasteur de Paris, France

[4] Institut de Recherches en Sciences de la Santé, Université Nazi BONI, Burkina Faso

Résumé

Le virus de la dengue constitue une menace croissante en Afrique subsaharienne, transmis principalement par Aedes aegypti. Comprendre les variations de compétence vectorielle entre les populations naturelles est déterminante pour évaluer les risques de transmission et orienter les stratégies de contrôle. Notre étude a ainsi caractérisé la compétence vectorielle de trois populations d'Ae. aegypti du Burkina Faso (Bama, Bobo-Dioulasso, Soumousso) provenant de milieux rural et urbain. Suite à une exposition des moustiques adultes au virus de la dengue par un repas sanguin infectieux, 173 moustiques gorgés et ayant survécus jusqu'à 14 et 21 jours post-infection ont été disséqués. L'infection intestinale, la dissémination dans la tête et la transmission salivaire ont été évaluées, suivie d'une quantification des titres viraux. À J14, les moustiques provenant de Soumousso présentaient le taux d'infection le plus élevé (69,2%), suivi de Bobo-Dioulasso (50%) et Bama (33,3%) avec des taux de dissémination variant de 16,4% à 39,5%. Bien qu'aucune différence significative n'ait été décelée, la tendance se maintient à J21. L'observation la plus remarquable concerne les moustiques de Bama, qui malgré une augmentation du taux de dissémination et des titres viraux élevés (médiane ~$10^{4.6}$ FFU/organe), ne présentaient pas de transmission détectable. Cette absence suggère une barrière salivaire persistante, contrastant avec Soumousso et Bobo-Dioulasso. De plus, les taux d'infection, dissémination et transmission étaient comparables entre les milieux ($p = 0,55$; $p=0,15$; $p=0,80$; Wilcoxon test). Cette observation suggère que les zones rurales présentent un potentiel de transmission équivalent aux zones urbaines susceptibles de servir de réservoirs maintenant la circulation virale. En somme, l'inclusion des zones rurales dans la surveillance entomologique et épidémiologique apparaît essentielle pour une prévention efficace. Les différences inter-populations, indépendantes du contexte environnemental, soulignent l'importance d'inclure des facteurs génétiques populationnels dans le contrôle de la dengue.

Abstract

Dengue virus poses a growing threat in sub-Saharan Africa, transmitted mainly by Aedes aegypti. Understanding variations in vector competence among natural populations is key to assessing transmission risks and guiding control strategies. Therefore, our study characterized the vector competence of three populations of Ae. aegypti from Burkina Faso (Bama, Bobo-Dioulasso, Soumousso) originating from rural and urban environments. Following exposure of adult mosquitoes to the dengue virus through an infectious blood meal, 173 mosquitoes that had fed and survived up to 14- and 21-days post-infection were dissected. Intestinal infection, dissemination in the head, and salivary transmission were assessed, followed by quantification of viral titers. On day 14, mosquitoes from Soumousso had the highest infection rate (69.2%), followed by Bobo-Dioulasso (50%) and Bama (33.3%), with dissemination rates ranging from 16.4% to 39.5%. Although no significant differences were detected, the trend was maintained on day 21. The most remarkable observation concerns the mosquitoes from Bama, which, despite an increase in dissemination rates and high viral loads (median ~$10^{4.6}$

FFU/organ), did not show detectable transmission. This absence suggests a persistent salivary barrier, in contrast to Soumousso and Bobo-Dioulasso. In addition, infection, dissemination, and transmission rates were comparable between collection area ($p = 0.55$, $p=0.15$, $p=0.80$, Wilcoxon test). This observation suggests that rural areas have a transmission potential equivalent to urban areas, which are likely to serve as reservoirs maintaining viral circulation. Overall, the inclusion of rural areas in entomological and epidemiological surveillance appears essential for effective prevention. Inter-population differences, independent of the environmental context, highlight the importance of including population genetic factors in dengue control.

OL.99

HLA et Paludisme : Typage des allèles HLA-B*53:01 et -DPB1*01:01 en Côte d'Ivoire par technologie Nanopore

HLA and Malaria: Typing of HLA-B*53:01 and -DPB1*01:01 alleles in Côte d'Ivoire by Next Generation Sequencing

Tosséa Armand Stéphane KOUI[1], tossea.k@hotmail.com ; Doris Oura BROU[2]; Aya Jeanne Armande AKE[1]; Salimata MOUSSA[2]; Alicia SANCHEZ-MAZAS[3]; Valerie DUBOIS[4]; Kouabla Liliane SIRANSY[2]

[1] Centre National de Transfusion Sanguine de Côte d'Ivoire, Côte d'Ivoire

[2] Centre National de Transfusion Sanguine de Côte d'Ivoire/Université Félix Houphouet-Boigny, Côte d'Ivoire

[3] Department of Genetics and Evolution, University of Geneva, Switzerland

[4] Etablissement Français du Sang (EFS) Auvergne Rhône Alpes, Lyon, France

Résumé

Introduction. Le paludisme, parasitose endémique en Côte d'Ivoire, a fait l'objet de plusieurs études explorant la piste d'un rôle protecteur de certains allèles (B*53:01 et DPB1*01:01) du système HLA. Dans ce travail, nous étudions la diversité moléculaire du système HLA de la population ivoirienne concernant ces deux allèles. Matériel et méthodes. L'extraction d'ADN a été réalisée par le QuickGene (Kurabo) sur des échantillons constitués de sang total prélevé chez des donneurs de sang à Abidjan. Le typage HLA a été réalisé par séquençage NGS (Nanopore) grâce au kit Nanotype 11 loci (Omixon). Résultats. Au total, 200 participants ont été inclus et 187 allèles (102 de classe I et 85 de classe II) ont été identifié. Les allèles B*53:01:01 et DPB1*01:01:01 avaient des proportions respectives de 20% et 21%. La fréquence la plus élevée dans la classe I (0,173) est observée pour B*53:01 et C*04:01 et dans la classe II (0,495) pour DQB1*03:19 et DPB1*417:01. L'allèle B*53:01 a été observé parmi 5 % des allèles les plus fréquents. Aucun déséquilibre de liaison n'a été observé entre HLA-B et DPB1. Conclusion : Les allèles B*53:01 et DPB1*01:01 ayant probablemment un rôle protecteur contre le paludisme ont été observé avec de fortes proportions.

Abstract

Introduction. Malaria is an endemic parasitic disease in Côte d'Ivoire. Several studies have explored the possibility of a protective role for certain alleles (B*53:01 and DPB1*01:01) of the HLA system. In this work, we investigate the molecular diversity of the HLA system in the Ivorian population, particularly with regard to these two alleles. Materials and methods. Donor samples were collected at the Abidjan Blood Centre. Blood extraction was performed using QuickGene method (Kurabo). HLA typing was performed by next-generation sequencing (NGS) using Nanotype kits for 11 loci (Omixon, Werfen). Results. A total of 200 participants were included (133 men and 67 women), and 187 alleles (102 class I and 85 class II) were identified. The B*53:01:01 and DPB1*01:01:01 alleles had respective proportions of 20% and 21%. The highest frequency in class I (0.173) was observed for B*53:01 and C*04:01, and in class II (0.495) for DQB1*03:19 and DPB1*417:01. The B*53:01 allele was among the most frequent 5% in our cohort. No linkage disequilibrium was observed between HLA-B and DPB1. Conclusion. The B*53:01 and DPB1*01:01 alleles, which probably had a protective role against malaria, were observed in the Ivorian population in high proportions.

OL.100

Impact de la couverture santé dans la qualité de la prise en charge des enfants au Centre Hospitalier Universitaire de Kara (Nord Togo)

Impact of health coverage on the quality of care for children at the University Hospital Center of Kara (Northern Togo)

Ouro-Bagna Tchagbele[1], otchagbele@gmail.com ; Komi Deladem Azoumah[1]; Kokou Agbékogni Réné Segbedji[1]; Sollim Myriam Talboussouma[1]; Akoh Koffi[2]; Kadji Kombieni[1]; Adama Dodji Gbadoe[3]

[1] Equipe de recherche en santé de l'enfant – Faculté des Sciences de la santé-Université de Kara

[2] Université de Kara-Faculté de médecine

[3] Département de pédiatrie – Faculté des Sciences de la Santé –Université de Lomé

Résumé

Introduction : Dans le processus d'amélioration de la qualité des soins, la couverture santé occupe une place indispensable. Cette étude vise à évaluer l'impact de la couverture santé dans la qualité de la prise en charge des enfants.
Matériel et méthodes : Il s'agit d'une étude transversale descriptive à collecte rétrospective dans le service de pédiatrie du CHU-Kara du 1er août 2023 au 31 janvier 2024 inclus (sur 06 mois) comparant les éléments de la prise en charge des enfants assurés (EA) et des enfants non-assurés (ENA) avec un test statistique chi2 à seuil de significativité de 5%.
Résultats : Sur les 649 enfants inclus, 180 (27,7%) ont bénéficié d'une couverture santé. Ces enfants résidaient majoritairement en milieu rural (68,1%) et étaient référés dans 82,4%. Le paludisme grave était la principale cause d'hospitalisation (76,4%) suivi des pathologies respiratoires (7,3%). La couverture santé facilitait plus l'accès aux prescriptions dans la réalisation des examens paracliniques (72,8% pour les EA vs 62,5 % pour les ENA, p = 0,0460), l'achat des médicaments prescrits (68,9 % vs 59,5%, p = 0,0460) et contribuait plus à la guérison (74,4 % vs 60,5 %, p = 0,0009). Les décès étaient moindres chez les EA (4,4%) que chez les ENA (6,6%) de même que le taux d'évasion (5 % vs 10,2 %, p = 0,0349) et le taux de sortie contre avis médical (14,4% vs 22,2%, p =0,02760).
Conclusion : La couverture santé, quoiqu'encore faible, a impacté positivement la qualité des soins de santé offerts aux enfants d'où son extension à travers l'Assurance Maladie Universelle pour une couverture santé universelle.
Mots clés : couverture santé, santé de l'enfant, qualité des soins, Togo.

Abstract

Introduction : In the process of improving the quality of care, health coverage plays an essential role. This study aims to assess the impact of health coverage on the quality of care for children.
Materials and Methods : This is a descriptive cross-sectional study with retrospective data collection in the pediatric department of CHU-Kara from August 1, 2023, to January 31, 2024 (over 6 months), comparing aspects of care between insured and uninsured children using a chi-square statistical test with a significance level of 5%.
Results : Of the 649 children included, 180 (27.7%) had health coverage. These children mostly lived in rural areas (68.1%) and were referred in 82.4% of cases. Severe malaria was the main cause of hospitalization (76.4%), followed by respiratory diseases (7.3%). Health coverage facilitated better access to prescriptions for paraclinical exams (72.8% for insured children vs 62.5% for uninsured children, p = 0.0460), the purchase of prescribed medications (68.9% vs 59.5%, p = 0.0460), and contributed more to recovery (74.4% vs 60.5%, p = 0.0009). Deaths were lower among insured children (4.4%) than among uninsured children (6.6%), as were the rates of discharge against medical advice (5% vs 10.2%, p = 0.0349) and self-discharge (14.4% vs 22.2%, p = 0.0276).
Conclusion : Health coverage, although still limited, has positively impacted the quality of healthcare provided to children, which is why it has been extended through Universal Health Insurance for universal health coverage.
Keywords : health coverage, Child health, quality of care, Togo.

OL.101

Impact de la politique de gratuité des accouchements et des césariennes au Sénégal : une évaluation basée sur l'approche de la double-différence

Impact of the policy of free childbirth and cesarean sections in Senegal: an evaluation based on the double-difference approach

Charles KABORE, kaborewendyam@yahoo.fr

Institut de Recherche en Sciences de la Santé (IRSS), Ouagadougou, Burkina Faso.

Résumé

Introduction
En Afrique subsaharienne, la mortalité maternelle est liée à l'accès aux soins lors de l'accouchement. Parmi les déterminants de cet accès, la capacité du ménage à supporter le coût des soins joue un rôle clé. En vue d'améliorer l'accès aux services de santé maternelle, le Sénégal a mis en place en 2005 une politique de gratuité de l'accouchement. L'objectif de cette étude était d'évaluer l'impact de cette politique sur le recours aux services de maternité lors de l'accouchement.
Méthodes
Notre étude a porté sur une cohorte historique de 45 168 femmes ayant accouché entre 2000 et 2018 au Sénégal, issues des huit enquêtes démographiques et de santé réalisées entre 2005 et 2018. L'évaluation de l'impact a été réalisée selon une approche quasi expérimentale, à l'aide d'un modèle de régression des doubles différences.
Résultats
Les résultats montrent que la gratuité des soins n'a pas eu d'effet significatif sur le recours aux soins lors de l'accouchement, après ajustement sur la zone de résidence (OR=1,15 ; IC à 95 %=0,95-1,40). La gratuité des soins n'a pas non plus eu d'impact significatif sur le recours à la césarienne (OR=1,10 ; IC à 95 %=0,81-1,51).
Conclusion
La politique de gratuité des accouchements au Sénégal n'a pas augmenté le nombre d'accouchements en établissement ni le recours à la césarienne. L'augmentation globale de ces deux indicateurs au cours de la période peut s'expliquer soit par la tendance séculaire, soit par des changements dans des facteurs autres que la gratuité.

Abstract

Background: In Sub-Saharan Africa, maternal mortality is linked to the access to care during childbirth including caesarean section (CS). Among the determinants of this access, the household's ability to finance the cost of care plays a key role. With the goal to improve access to maternal health services, Senegal set up a system of free deliveries and CS in 2005 in priority regions, which was gradually extended to the entire territory until 2011. The aim of this study was to assess the impact of this policy on the use of maternity services during childbirth including CS.
Methods: Our study design corresponded to a historical cohort of 45,168 women who gave birth between 2000 and 2018 in Senegal, included from the women interviewed during the eight Demographic and Health Surveys, carried out between 2005 and 2018. The evaluation of the impact was carried out using a quasi-experimental approach, using a difference-in-difference regression model.
Results: The results show that free health care exposure did not have a significant effect on the use of maternity services during childbirth, after adjusting on area of residence (OR=1.15; 95%CI=0.95-1.40). Exposure to free health care also had no significant impact on CS use (OR=1.10; 95%CI=0.81-1.51).
Conclusions: Our findings indicated that the removal of user fees in Senegal did not significantly increase institutional deliveries or CS rates. The increase in these indicators over the period was more likely attributable to underlying secular trends or to other contextual determinants unrelated to the fee exemption policy.

OL.102

Impact des programmes phytosanitaires sur l'efficacité des insecticides de nouvelle génération au Togo

Impact of phytosanitary programs on the effectiveness of new-generation Insecticides in Togo

Yawo APETOGBO[1], georgesapetogbo@gmail.com ; Koffivi K.G. KETOH[1]; Koffi M. AHADJI-DABLA[1]; Dieudonné D. SOMA[2]; Edoh KOFFI[1]; Kossivi I. AKAGANKOU[1]; Yovo KONDO[1]

[1] Laboratoire d'Ecologie et d'Ecotoxicologie (LaEE), Université de Lomé, Togo

[2] Institut de Recherche en Sciences de la Santé (IRSS), Université Nazi Boni, Burkina Faso

Résumé

La présente étude a évalué l'impact des programmes phytosanitaires sur les insecticides de nouvelle génération dans le but de déterminer leur efficacité et rechercher des approches de gestion de résistance des vecteurs aux insecticides au Togo. Trois agrosystèmes (zones maraichère, rizière, cotonnière) ont été sélectionnés sur la base du profil de sensibilité des vecteurs aux insecticides conventionnels. Des femelles de An. gambiae s.l. provenant de ces agrosystèmes ont été exposées à la dose diagnostique (1x) de deux insecticides de nouvelle génération (clothianidine (1x, 2x), chlorfénapyr (1x)) selon les procédures de tests en tubes et bouteilles de l'OMS. Les combinaisons clothianidine/PBO, pyréthrinoïdes/clothianidine et pyréthrinoïdes/chlorfénapyr ont été testées. Un inventaire des insecticides utilisés dans ces agrosystèmes à partir de collecte de bouteilles vides a été fait. Contrairement au chlorfénapyr qui a induit une mortalité égale à 100%, la clothianidine a induit des mortalités comprises entre 74,3% et 86,57% dans les trois agrosystèmes. La dose 2x de la clothianidine a induit une mortalité égale à 100% traduisant une faible intensité de résistance. Le PBO a restauré partiellement la sensibilité des vecteurs à la clothianidine traduisant l'implication des oxydases dans la résistance métabolique et d'autres mécanismes associés notamment la mutation liée aux récepteurs nicotiniques de l'acétylcholine (Mu nAChR). Les combinaisons d'insecticides ont induit un regain de sensibilité aux pyréthrinoïdes. Les néonicotinoïdes identifiés dans les agrosystèmes ont été l'acétamipride, le thiaclopride, l'imidaclopride et le thiamethoxame. Une absence des pyrroles a été notée. Cette étude a révélé que l'utilisation des néonicotinoïdes en agronomie impacterait la sensibilité des vecteurs du paludisme à la clothianidine. Le choix des insecticides de nouvelle génération avec une dose de clothianidine adaptée et les combinaisons d'insecticides serait prometteur pour une gestion efficiente de la résistance aux insecticides des vecteurs au Togo.

Abstract

This study has evaluated the impact of phytosanitary programs on new-generation insecticides with a view to innovating approaches to managing insecticide resistance in vectors in Togo. Three agrosystems (market gardening, rice farming, and cotton farming) were selected based on the sensitivity profile of vectors to conventional insecticides. Female An. gambiae s.l. from these agrosystems were exposed to diagnostic doses (1x) of two new-generation insecticides (clothianidin (1x, 2x), chlorfenapyr (1x)) according to WHO tube and bottle test procedures. The combinations clothianidin/PBO, pyrethroids/clothianidin, and pyrethroids/chlorfenapyr were tested. An inventory of the insecticides used in these agrosystems was made based on the collection of empty bottles. Unlike chlorfenapyr, which induced 100% mortality, clothianidin induced mortality rates of between 74.3% and 86.57% in the three agrosystems. The 2x dose of clothianidin induced 100% mortality, indicating low resistance intensity. The PBO partially restored the sensitivity of vectors to clothianidin, demonstrating the involvement of oxidases in metabolic resistance and other associated mechanisms, notably mutation linked to nicotinic acetylcholine receptors (Mu nAChR). Insecticide combinations induced a resurgence of sensitivity to pyrethroids. The neonicotinoids identified in agrosystems were acetamiprid, thiacloprid, imidacloprid and thiamethoxame. An absence of pyrroles was noted. This study revealed that the use of neonicotinoids in agronomy would impact the sensitivity of malaria vectors to clothianidin. The choice of new-generation insecticides with an appropriate dose of clothianidin and insecticide combinations would be promising for the efficient management of insecticide resistance in vectors in Togo.

OL.103

Impact d'un programme d'exercice physique associé à un traitement antihypertenseur sur les valeurs tensionnelles chez des sujets obeses souffrant de l'hypertension artérielle.

Impact of a physical exercise program associated with antihypertensive treatment on blood pressure values in obese subjects suffering from arterial hypertension

Yvon Rock Ghislain ALONGO[1], alongoyvonrock@gmail.com ; Simplice Innocent MOUSSOUAMI[1]; Kiel ITOUA ONIANGUE ASSOBA[2]; Prince Regis EPELE[2]; Chelmy IBATA ONDZE[2]; Raoul AMPA[3]

[1] Laboratoire de physiologie d'effort et la biomécanique (LPEB)/Institut Supérieur de l'Education Physique et Sportive (ISEPS)/ Université Marien NGOUABI, Brazzaville-Congo.

[2] Laboratoire de physiologie d'effort et la biomécanique (LPEB)/Institut Supérieur de l'Education Physique et Sportive (ISEPS), Brazzaville-Congo.

[3] Faculté des sciences et techniques (FST) /Laboratoire de physiologie d'effort et la biomécanique (LPEB) /Université Marien NGOUABI, Brazzaville-Congo.

Résumé

Résumé :
Contexte : Cette étude s'inscrit dans le contexte de la prise en charge de l'hypertension artérielle chez les sujets obèses à Brazzaville, en évaluant l'effet combiné d'un programme d'exercices physiques et d'un traitement antihypertenseur.
Objectif : Analyser l'impact d'un programme d'activité physique encadrée, associé à un traitement médicamenteux, sur la réduction des valeurs tensionnelles chez des adultes obèses hypertendus.
Méthodologie : L'étude a impliqué 35 participants répartis en deux groupes : un groupe expérimental de 10 sujets ayant suivi le programme combiné, et un groupe témoin de 25 sujets sous traitement médicamenteux uniquement.
Résultats : Les résultats indiquent que le groupe expérimental a connu une baisse significative de la pression artérielle (systolique, diastolique et moyenne), une perte de poids notable, ainsi qu'une amélioration du bien-être général. Ces effets n'ont pas été observés avec le traitement médicamenteux seul.
Conclusion : L'intégration d'un programme d'exercice physique adapté s'avère être une approche thérapeutique complémentaire efficace dans le traitement de l'hypertension associée à l'obésité, en favorisant une meilleure qualité de vie et une perception positive de la santé.
Mots-clés : hypertension artérielle, obésité, exercice physique, traitement antihypertenseur.

Abstract

Background: This study is part of the management of hypertension in obese subjects in Brazzaville, by evaluating the combined effect of a physical exercise program and an antihypertensive treatment.
Objective: Analyze the impact of a supervised physical activity program, associated with drug treatment, on the reduction of blood pressure values in obese hypertensive adults.
Methodology: The study involved 35 participants divided into two groups: an experimental group of 10 subjects who followed the combined program, and a control group of 25 subjects on medication treatment only.
Results: The results indicate that the experimental group experienced a significant decrease in blood pressure (systolic, diastolic and mean), a notable weight loss, as well as an improvement in general

well-being. These effects were not observed with drug treatment alone.
Conclusion: The integration of an adapted physical exercise program proves to be an effective complementary therapeutic approach in the treatment of hypertension associated with obesity, by promoting a better quality of life and a positive perception of health.
Keywords: arterial hypertension, obesity, physical exercise, antihypertensive treatment.

OL.104

infections associées aux soins dans le service de chirurgie générale du Centre Hospitalier universitaire de Tengandogo.

Healthcare-Associated Infections in the General Surgery Department of the Tengandogo University Hospital Center.

Mamadou WINDSOURI[1], windsmad@yahoo.fr ; Rodrigue Namekinsba DOAMBA[1]; Loboure Ramata Elza COMPAORE[1]; Issa Wendpouiré BAHIKORO[1]; Aimée Florence SANON[1]; Eggar OUANGRE[2]; Adama SANOU[1]

[1] CHU Tengandogo, Université KIZERBO, Burkina Faso

[2] CHU Yalagado Ouedraogo, Université KIZERBO, Burkina Faso

Résumé

Introduction : les infections associées aux soins sont des infections qui surviennent au cours de la prise en charge d'un patient et qui n'étaient ni présentes, ni en incubation au début de la prise en charge. Elles constituent un problème courant dans les hôpitaux du monde.
Objectifs : étudier les spécificités des infections associées aux soins dans le service de chirurgie générale du Centre Hospitalier Universitaire de Tengandogo
Matériel et méthodes : il s'est agi d'une étude transversale prospective et mono centrique sur une période allant du 1er décembre 2024 au 31 mai 2025.
Résultats : Nous avons colligé 80 cas d'infections associées aux soins sur 481 patients hospitalisés, soit une incidence de 16,6%. Il existait une prédominance masculine (61,3%). Le sex-ratio était de 1,6. L'âge moyen des patients était de 40,4 ans. Les infections associées aux soins étaient composées des infections du site opératoire (ISO) chez 57 patients (63,7%) et des infections systémiques chez 23 patients (16,3%). Le délai moyen d'apparition après l'admission était de 12,7jours. Escherichia coli était le germe le plus identifié (62,8%). Elle s'est avérée résistante aux antibiotiques de première intention, notamment la ceftriaxone et l'amoxicilline-acide clavulanique, ce qui constitue une situation préoccupante. La durée d'hospitalisation >7jours (p<0,0001), la présence d'une sonde urinaire (p=0,00006), le niveau d'instruction (p=0,0028), la durée de l'intervention chirurgicale ≥150minutes (p=0,00496), l'admission en urgence (p=0,00322) étaient des facteurs associés à la survenue des infections associées aux soins. La durée moyenne d'hospitalisation était de 20,3 jours. La mortalité était de 13,8%.
Conclusion : les infections associées aux soins ont une prévalence élevée dans notre contexte. Les résultats bactériologiques et la résistance aux antibiotiques de première intention nous interpellent sur la nécessité de renforcer les stratégies de prévention et de contrôle des infections dans notre pratique quotidienne.

Abstract

Introduction: Healthcare-associated infections are infections that occur during a patient's care and were neither present nor incubating at the start of care. They are a common problem in hospitals worldwide.
Objectives: To study the specific characteristics of healthcare-associated infections in the general surgery department of the Tengandogo University Hospital Center.
Materials and Methods: This was a prospective, single-center, cross-sectional study conducted from December 1, 2024, to May 31, 2025.
Results: We collected 80 cases of healthcare-associated infections out of 481 hospitalized patients, representing an incidence of 16.6%. There was a male predominance (61.3%). The sex ratio was 1.6. The mean age of the patients was 40.4 years. Healthcare-associated infections consisted of surgical site infections (SSIs) in 57 patients (63.7%) and systemic infections in 23 patients (16.3%). The mean time to onset after admission was 12.7 days. Escherichia coli was the most frequently identified pathogen (62.8%). It proved resistant to first-line antibiotics, including ceftriaxone and amoxicillin-clavulanic acid, which is a concerning situation. Hospital stays >7 days (p<0.0001), the presence of a urinary catheter (p=0.00006), educational level (p=0.0028), surgical duration ≥150 minutes (p=0.00496), and

emergency admission (p=0.00322) were factors associated with the occurrence of healthcare-associated infections. The mean length of hospital stay was 20.3 days. The mortality rate was 13.8%.
Conclusion: Healthcare-associated infections have a high prevalence in our setting. The bacteriological results and resistance to first-line antibiotics highlight the need to strengthen infection prevention and control strategies in our daily practice.

OL.105

Infections chirurgicales pédiatriques au Cameroun : prévalence, présentations cliniques et issues dans trois hôpitaux de référence

Pediatric Surgical Infections in Cameroon: Prevalence, Clinical Presentations, and Outcomes in Three Referral Hospitals

Yannick Ekani Boukar Mahamat[1], boukaryoussouf@gmail.com ; Martine Divine Mokake[1]; Yolande Djike Puepi[1]; Guy Aristide Bang[2]

[1] Faculty of Health Sciences, University of Buea, Cameroon

[2] Faculty of Medicine and Biomedicals Sciences, University of Yaounde 1, Cameroon

Résumé

Contexte : Les infections chirurgicales pédiatriques constituent une cause importante de morbidité et de mortalité dans les pays à revenu faible et intermédiaire. Au Cameroun, les données multicentriques restent limitées. Déterminer la prévalence, les présentations cliniques, la prise en charge et les issues des infections chirurgicales pédiatriques dans trois hôpitaux de référence.

Méthodes : Une étude rétrospective a été menée de janvier 2019 à décembre 2021 à l'Hôpital Général de Douala, l'Hôpital Laquintinie de Douala et l'Hôpital Régional de Buéa. Les dossiers des enfants de 0 à 18 ans admis pour infection chirurgicale ont été analysés. Les données sociodémographiques, cliniques et évolutives ont été exploitées à l'aide de SPSS v25.

Résultats : Sur 1349 admissions chirurgicales pédiatriques, 128 (9,5 %) étaient liées à une infection chirurgicale. La majorité des patients étaient de sexe masculin (63,5 %), avec un âge médian de 8 ans. Les infections les plus fréquentes étaient les abcès des tissus mous (35,2 %), l'ostéomyélite (27,3 %), la pyomyosite (18,0 %) et le sepsis chirurgical néonatal (6,3 %). Plus de la moitié des patients (62 %) consultaient après 7 jours d'évolution. Des complications étaient présentes dans 15 % des cas, notamment septicémie et anémie. L'issue a été favorable pour 90,6 % des enfants, mais la mortalité globale atteignait 4,7 %, avec un pic chez les nouveau-nés (25 %).

Conclusion : Les infections chirurgicales pédiatriques constituent une part non négligeable de la morbidité chirurgicale au Cameroun. La consultation tardive et l'accès limité aux soins spécialisés aggravent la mortalité, en particulier chez les nouveau-nés. Le renforcement du diagnostic précoce, des systèmes de référence et des capacités chirurgicales pédiatriques est essentiel pour améliorer le pronostic.

Abstract

Background: Pediatric surgical infections remain an important cause of morbidity and mortality in low- and middle-income countries (LMICs). In Cameroon, data are scarce despite their public health significance. To determine the prevalence, clinical patterns, management, and outcomes of pediatric surgical infections in three major hospitals in Cameroon.

Methods: A retrospective cross sectional study was conducted between January 2019 and December 2021 in Douala General Hospital, Laquintinie Hospital Douala, and Buea Regional Hospital. Records of children aged 0–18 years admitted for surgical infections were reviewed. Data were analyzed with SPSS v25.

Results: Out of 1349 pediatric surgical admissions, 128 (9.5%) were due to surgical infections. Boys accounted for 63.5% of cases, the mean age was 8 years. The most common infections were soft tissue abscesses (35.2%), osteomyelitis (27.3%), and pyomyositis (18.0%). More than half of patients (62%) presented late, after 7 days of symptom onset. Complications were documented in 15% of patients, mainly septicemia and anemia. Overall, 90.6% of patients were discharged, 4.7% died, 3.1% left against medical advice, and 1.6% were referred. Mortality was highest among neonates (25%) and children

with disseminated sepsis.

Conclusion: Pediatric surgical infections remain a major cause of morbidity and mortality in Cameroon. Prevention, early referral, and improved surgical and neonatal care are critical to improving outcomes.

OL.106

Influence du délai et de la température de conservation du sang total sur le taux d'ARN plasmatique du VIH1 en contexte tropical

Influence of storage time and temperature of whole blood on plasma HIV-1 RNA levels in a tropical setting

Ella Christelle Béhibro Brou[1], ella.brou@inspci.org ; Nokrognan Fatim Coulibaly[2]; Konan Armand Kouassi[2]; Gueyraud Rolland Kipré[2]

[1] Institut National de Santé Publique, Côte d'Ivoire

[2] UFR biosciences,Université Félix Houphouët-Boigny, Côte d'Ivoire

Résumé

Introduction
La charge virale plasmatique du virus de l'immunodéficience humaine (VIH) est l'outil de référence pour évaluer l'efficacité du traitement antirétroviral. Cependant, certaines contraintes logistiques limitent l'accès à ce test à partir du sang total. Notre objectif était d'évaluer la stabilité du taux d'ARN du VIH-1 en fonction de la durée et de la température de conservation du sang total.
Méthodologie
Une étude expérimentale descriptive a été menée entre avril et mai 2025 à l'Institut National de Santé Publique d'Abidjan. Elle a inclus 77 adultes vivant avec le VIH-1, volontaires et consentants. Trois tubes de sang total EDTA prélevés par patient ont été soumis à différents délais (24 heures, 48 heures, 72 heure) et températures (2-8°C, 15-25°C, 37°C) de conservation avant centrifugation. Les plasmas obtenus ont servi à mesurer la charge virale par PCR en temps réel à l'aide du Cobas® 4800. Les données ont été analysées sous SPSS 25. Les comparaisons ont été réalisées à l'aide du test de Friedman, suivi de tests de Wilcoxon avec correction de Bonferroni (α = 0,05). L'étude a été réalisée dans le respect de la confidentialité et de l'anonymat des participants.
Résultats
Il n'y avait pas de différence significative entre les moyennes des charges virales à 24 heures, 48 heures et 72 heures (p = 0,061). En revanche, les moyennes de charge virale entre 2-8°C, 15-25°C et 37°C différaient statistiquement (p = 0,020). Cette différence était principalement due à une diminution de la charge virale à 37°C.
Conclusion
Le sang total peut être conservé jusqu'à 72 heures à des températures comprises entre 2 et 25 °C, ce qui élargit l'accès à la charge virale dans les zones à faibles ressources.

Abstract

Introduction
Plasma viral load of human immunodeficiency virus (HIV) is the gold standard for assessing the effectiveness of antiretroviral therapy. However, certain logistical constraints limit access to this test using whole blood. Our objective was to evaluate the stability of HIV-1 RNA levels as a function of the duration and temperature of whole blood storage.
Methodology
A descriptive experimental study was conducted between April and May 2025 at the National Institute of Public Health in Abidjan. It included 77 adults living with HIV-1 who volunteered and gave their consent. Three EDTA whole blood tubes collected from each patient were subjected to different storage times (24 hours, 48 hours, 72 hours) and temperatures (2-8°C, 15-25°C, 37°C) before centrifugation. The plasma obtained was used to measure viral load by real-time PCR using Cobas® 4800. The data were analyzed using SPSS 25. Comparisons were made using the Friedman test, followed by Wilcoxon tests with Bonferroni correction (α = 0.05). The study was conducted in accordance with the confidentiality and anonymity of the participants.
Results
There was no significant difference between the mean viral loads at 24 hours, 48 hours, and 72 hours (p = 0.061). However, the mean viral loads between 2-8°C, 15-25°C, and 37°C differed statistically (p =

0.020). This difference was mainly due to a decrease in viral load at 37°C.
Conclusion
Whole blood can be stored for up to 72 hours at temperatures between 2 and 25°C, which broadens access to viral load testing in low-resource settings.

OL.107

Inhibition de la formation de biofilms de souches bactériennes à partir d'huile essentielle de la menthe poivrée (Mentha piperita) et de la propolis

Inhibition of biofilm formation at bacterial strains using peppermint (Mentha piperita) and propolis essential oil

Comoé Koffi Donatien BENIE[1], dona.comoe@yahoo.fr ; N'zebo Désiré KOUAME[1]; Koua ATOBLA[1]; Adjéhi DADIÉ[2]

[1] Université Félix Houphouët Boigny

[2] Université Nangui Abrogoua

Résumé

Les biofilms microbiens sont difficiles à éliminer avec les traitements antimicrobiens classiques dans l'environnement cliniques et en industrie. Cette étude vise à inhiber la formation de biofilm bactérien en industrie agroalimentaire et en milieu hospitalier à partir d'huiles essentielles naturelles de la menthe poivrée et de la propolis. Trente (30) souches alimentaires et trente (30) autres cliniques composées de P. aeruginosa (20), S. aureus (20) et de E. coli (20) ont fait objet de cette étude. La détection phénotypique et les gènes de formation de biofilm (PelA, PslA et ppyR) ont été évalués respectivement par la méthode des microplaques et la méthode de PCR. L'effet, des huiles essentielles de la propolis et de la menthe poivrée a été testé sur la formation des biofilms. La médiane de biofilm formé varie de 0,8 ± 0,4 à 1,4 ± 0,4 (souches cliniques) et de 0,7 ± 0.4 à 1,1 ± 0,2 (souches alimentaires). Les gènes de formation de biofilms PelA, PslA, et ppyR ont été majoritairement détectés chez P. aeruginosa avec des prévalences allant de 40 % à 80% chez les souches cliniques et de 40 % à 60% chez les souches alimentaires. Pour des doses en PB (Propolis brute) entre 0,1% et 0,3%, la formation de biofilm est inférieure à 50% (30,1 à 44,1) chez S. aureus et E. coli d'origine clinique et alimentaire. Chez P. aeruginosa cette formation excédant 100% (109,3 % à 142,7 %) est statistiquement significative ($P < 0,01$) pour des doses en PB comprises entre 0,1% et 0,5%. Avec des doses en MPB (Menthe Poivrée brute) oscillant entre 0,2% et 2%, une réduction excédant 100% (101,7% et 274,8%) statistiquement très significative ($P < 0,01$) est observée chez les souches cliniques et alimentaires. Une étude phytochimique pourrait définir l'intérêt potentiel de ces huiles essentielles dans l'élimination des biofilms bactériens.

Abstract

Microbial biofilms are difficult to eliminate with conventional antimicrobial treatments in clinical and industrial settings. This study aimed to inhibit bacterial biofilm formation in the food industry and in hospital settings using natural essential oils of peppermint and propolis. Thirty (30) foodborne and thirty (30) clinical strains, composed of P. aeruginosa (20), S. aureus (20), and E. coli (20), were included in this study. Phenotypic detection and biofilm-forming genes (PelA, PslA, and ppyR) were evaluated using microplate and PCR methods, respectively. The effect of propolis and peppermint essential oils on biofilm formation was tested. The median biofilm formation ranged from 0.8 ± 0.4 to 1.4 ± 0.4 (clinical strains) and from 0.7 ± 0.4 to 1.1 ± 0.2 (foodborne strains). The biofilm-forming genes PelA, PslA, and ppyR were predominantly detected in P. aeruginosa, with prevalences ranging from 40% to 80% in clinical strains and from 40% to 60% in foodborne strains. At crude propolis (CP) concentrations between 0.1% and 0.3%, biofilm formation was less than 50% (30.1 to 44.1) in clinically and foodborne S. aureus and E. coli. In P. aeruginosa, this formation exceeding 100% (109.3% to 142.7%) is statistically significant ($P<0.01$) for propolis (PB) doses between 0.1% and 0.5%. With raw peppermint (MPB) doses ranging from 0.2% to 2%, a reduction exceeding 100% (101.7% to 274.8%), which is highly significant ($P<0.01$), is observed in clinical and food strains. A phytochemical study could define the potential benefit of these essential oils in eliminating bacterial biofilms.

OL.108

Inventaire des stomoxes, vecteurs potentiels d'agents pathogènes, dans le massif forestier de Minkébé au nord-est du Gabon

Inventory of stomoxes, potential vectors of pathogens, in the Minkébé forest massif in northeastern Gabon

Christophe Roland ZINGA KOUMBA[1], zinga.koumba39@yahoo.com ; Aubin Armel KOUMBA[2]; Edgard Cedric FABRE ANGUILET[3]; Emelie Arlette APINDA-LEGNOUO[4]; Jacques François MAVOUNGOU[5]

[1] Institut de Recherche en Écologie Tropicale (IRET-CENAREST), BP: 13354, Libreville-Gabon/Institut de Recherches Agronomiques et Forestières (IRAF-CENAREST) BP : 2246, Libreville-Gabon.

[2] Institut de Recherches Agronomiques et Forestières (IRAF-CENAREST) BP: 2246, Libreville-Gabon/ Institut de Recherche en Écologie Tropicale (IRET-CENAREST), BP: 13354, Libreville-Gabon.

[3] Institut de Recherches Agronomiques et Forestières (IRAF-CENAREST) BP: 2246, Libreville-Gabon/

[4] Institut de Recherche en Écologie Tropicale (IRET-CENAREST), BP: 13354, Libreville-Gabon.

[5] Université Internationale de Libreville (UIL), BP: 20411, Libreville-Gabon/ Institut de Recherche en Écologie Tropicale (IRET-CENAREST), BP: 13354, Libreville-Gabon.

Résumé

Les stomoxes sont des insectes hématophages qui peuvent transmettre des agents pathogènes aux animaux et aux humains. Afin de connaître l'abondance et la diversité des espèces de ces insectes, une étude entomologique basée sur l'utilisation des pièges nzi et vavoua a été conduite, pendant la saison des pluies, dans le massif forestier de Minkébé dans trois biotopes distincts : Mikouka, Massoko et Minkébé. Au total, 1552 stomoxes ont été capturés dont 610 individus à Massoko ; 533 à Mikouka et 409 à Minkébé. Ces stomoxes se répartissent en deux espèces : Stomoxys niger niger et Stomoxys omega. Stomoxys niger niger a été l'espèce la plus abondante avec 1176 individus capturés soit une densité apparente par piège et par jour (DAP) de 4 stomoxes/piège/jour. En revanche, Stomoxys omega a été très faiblement capturé avec 376 spécimens échantillonnés soit une DAP de 1,28 stomoxes/piège/jour. Cette répartition hétérogène pourrait être attribuée aux facteurs écologiques spécifiques à chaque milieu, ainsi qu'à la bioécologie des espèces. La coexistence de ces deux espèces soulève la possibilité d'une transmission potentielle d'agents pathogènes dans le massif forestier de Minkébé. Par conséquent, une étude plus approfondie est essentielle pour mieux comprendre la diversité spécifique de ces stomoxes et leur rôle dans la transmission d'agents pathogènes. Les résultats qui en découleront contribueront à l'élaboration de stratégies de lutte antivectorielle adaptées au massif forestier de Minkébé et à la prévention des maladies transmises par les stomoxes.
Mots clés : Stomoxys niger niger, Stomoxys omega, piège vavoua, piège nzi, Massif forestier de Minkébé, Gabon.

Abstract

Stomoxes are hematophagous insects capable of transmitting pathogens to both animals and humans. To assess the abundance and diversity of these insect species, an entomological study was conducted during the rainy season in the Minkébé forest massif using Nzi and Vavoua traps across three distinct biotopes: Mikouka, Massoko, and Minkébé. A total of 1,552 stomoxes were captured: 610 in Massoko, 533 in Mikouka, and 409 in Minkébé. These specimens belonged to two species: Stomoxys niger niger and Stomoxys omega. Stomoxys niger niger was the most abundant species, with 1,176 individuals captured, corresponding to an apparent density per trap per day (ADT) of 4 stomoxes/trap/day. In contrast, Stomoxys omega was captured at a significantly lower rate, with 376 specimens sampled, representing an ADT of 1.28 stomoxes/trap/day. This heterogeneous distribution may be attributed to the specific ecological factors inherent to each environment, as well as to differences in the bioecology of the species. The coexistence of these two species raises concerns about the potential transmission of pathogens within the Minkébé forest massif. Therefore, a more comprehensive study is essential to better understand the species diversity of stomoxes and their role in pathogen transmission. The resulting data will contribute to the development of targeted vector control strategies for the Minkébé forest massif and to the prevention of stomoxys-borne diseases.

OL.109

Issue de la grossesse chez les gestantes ayant un syndrome drépanocytaire majeur à la maternité du CHU-SO au Togo de 2021-2024

Outcomes of pregnancy in women with severe sickle cell syndrome at the CHU-SO maternity ward in Togo from 2021 to 2024

Ameyo Ayoko KETEVI[1], tketevi@yahoo.fr ; Dominique Elsa NDJENDJE KAMTCHOUA; Bernard DOUAGUIBE; Dede RD AJAVON; Abdoul Samadou ABOUBAKARI; Koffi AKPADZA

[1] FSS Université de Lomé- Togo

Résumé

Objectif : décrire l'issue obstétricale et néonatale des grossesses chez les gestantes porteuses d'un syndrome drépanocytaire majeur (SDM) au CHU Sylvanus- Olympio.
Méthodologie : il s'est agi d'une étude transversale descriptive réalisée du 1er janvier 2021 au 31 décembre 2024 à la maternité du CHU-Sylvanus Olympio. Etaient incluses toutes les femmes porteuses d'un SDM (SS, SC ou Sβ-thalassémie) et ayant accouché au CHU-SO pour un terme gestationnel ≥ 28semaines d'aménorrhée.
Résultats : La prévalence hospitalière était de 0,93%. L'âge moyen était de 26±5 ans, 74,2 % des accouchées étaient porteuses de génotype SC et 23,8% de génotype SS. Les primigestes et les nullipares étaient les plus représentées soit 53,5% et 63,5%. Le début des CPN était tardif pour 66,2% des gestantes. Les complications maternelles touchaient 49,2 % des patientes et dominées par les crises vaso-occlusives (55,5%), l'anémie sévère (25,8%) et la prééclampsie (22,7%). Les complications fœtales concernaient 23,8 % des grossesses dont le RCIU (37,1%). Dans 45,5% des cas, les nouveau-nés étaient hospitalisés pour prématurité. La mortalité maternelle était de 5,8 % et dominée par le syndrome thoracique aigu. La mortalité périnatale était de 4,6 %. Les issues défavorables de la grossesse étaient significativement associées au début tardif des CPN (p=0,016) et à la survenue de complications maternelles (p <0,001).
Conclusion : La grossesse chez les femmes drépanocytaires majeures demeure une situation à haut risque. Une surveillance rapprochée, un suivi prénatal précoce, régulier et multidisciplinaire sont indispensables pour améliorer le pronostic maternel et néonatal.

Abstract

Objective: to describe the obstetric and neonatal outcomes of pregnancies in women with major sickle cell syndrome (MSCS) at Sylvanus-Olympio University Hospital.
Methodology: This was a descriptive cross-sectional study conducted from January 1, 2021, to December 31, 2024, at the maternity ward of the Sylvanus Olympio University Hospital. All women with MSCS (SS, SC, or Sβ-thalassemia) who gave birth at the CHU-SO at ≥ 28 weeks of gestation were included.
Results: The hospital prevalence was 0.93%. The average age was 26±5 years, 74.2% of women who gave birth were carriers of the SC genotype and 23.8% of the SS genotype. Primigravidas and nulliparas were the most represented, accounting for 53.5% and 63.5% respectively. The start of antenatal care was late for 66.2% of pregnant women. Maternal complications affected 49.2% of patients and were dominated by vaso-occlusive crises (55.5%), severe anemia (25.8%), and preeclampsia (22.7%). Fetal complications affected 23.8% of pregnancies, including IUGR (37.1%). In 45.5% of cases, newborns were hospitalized for prematurity. Maternal mortality was 5.8% and was dominated by acute chest syndrome. Perinatal mortality was 4.6%. Adverse pregnancy outcomes were significantly associated with late initiation of antenatal care (p=0.016) and the occurrence of maternal complications (p<0.001).
Conclusion: Pregnancy in women with MSCS remains a high-risk situation. Close monitoring and early, regular, multidisciplinary prenatal care are essential to improve maternal and neonatal prognosis.

OL.110

L'infection par Metarhizium pingshaense restaure la susceptibilité à la deltaméthrine chez An. gambiae s.l. résistants par modulation de l'expression génique

Native Metarhizium pingshaense infection reverses insecticide resistance in Anopheles gambiae sensu lato by altering gene expression

Doubé Lucien Lamy[1], lucien_d.l@yahoo.com ; Sourou Abel Millogo[2]; Issiaka Saré[2]; Edounou Jacques Gnambani[2]; Moussa Namountougou[3]; Baldini Francesco[4]; Etienne Bilgo[2]

[1] Institut Recherche en Sciences de la Santé, Université Nazi BONI, Burkina Faso

[2] Institut Recherche en Sciences de la Santé

[3] Université Nazi BONI, Burkina Faso

[4] University of Glasgow, UK

Résumé

Contexte : Les champignons entomopathogènes du genre Metarhizium spp. émergent comme des biopesticides prometteurs contre les vecteurs du paludisme. Dans une étude précédente, nous avons démontré que les moustiques résistants aux insecticides infectés par Metarhizium présentaient une susceptibilité accrue à la deltaméthrine. Ici, nous visons à élucider les mécanismes sous-jacents.
Méthodes : Cette étude à porter sur An. gambiae s.l. de terrain, An. coluzzii VKPER tous résistants aux pyréthroïdes et An. gambiae s.s. Kisumu sensibles aux insecticides. Les moustiques ont été infectés par Metarhizium pingshaense S10 à 107spores/ml (groupes traités) ou traités avec 0,05% Tween® 80 sans champignon (groupes témoins). Les moustiques vivants ont été collectés aux jours 0, 4 et 8 post-infection, puis exposés à 0,05% de deltaméthrine selon les directives de l'OMS pour les tests de susceptibilité aux insecticides. La mortalité a été enregistrée 1 h après exposition, et l'expression génique des moustiques survivants incluant defensin, CYP6P3, CYP6Z1 et GSTe2 a été analysée par RT-qPCR.
Résultats : La deltaméthrine à 0,05% a éliminé les An. gambiae s.s. Kisumu sensibles, tandis que les An. coluzzii VKPER et An. gambiae s.l. ont survécu à l'exposition dans les groupes témoins. Cependant, l'infection préalable par Metarhizium a significativement réduit la survie de ces souches résistantes après exposition à la deltaméthrine ($p<0,05$; par rapport aux témoins non infectés). Chez les moustiques survivants, l'infection par Metarhizium combinée à la deltaméthrine a diminué l'expression de defensin, GSTe2 et CYP6Z1 par rapport à la deltaméthrine seule, sans changement significatif pour CYP6P3.
Conclusion : L'infection par Metarhizium pingshaense S10 accroît la susceptibilité à la deltaméthrine chez An. gambiae s.l. résistants à la deltaméthrine en réduisant l'expression de gènes clés de détoxication (defensin, GSTe2, CYP6Z1).

Abstract

Background: Entomopathogenic fungi of the genus Metarhizium spp. are emerging as effective biopesticides against malaria vectors. In a previous study, we demonstrated that Metarhizium infected, insecticide resistant mosquitoes exhibit increased susceptibility to deltamethrin. Here, we aim to elucidate the underlying mechanisms.
Methods: Three mosquito strains were used: field-collected, pyrethroid-resistant An. gambiae s.l., pyrethroid-resistant laboratory An. coluzzii VKPER, and insecticide-susceptible An. gambiae s.s. Kisumu. Mosquitoes were infected with Metarhizium pingshaense S10 at 107spores/mL (treatment groups) or treated with fungus-free 0.05% Tween® 80 (control groups). Live mosquitoes were collected on days 0, 4, and 8 post-infection and exposed to 0.05% deltamethrin following WHO insecticide susceptibility testing guidelines. Mortality was recorded 1 h post-exposure, and gene expression in surviving mosquitoes including defensin, CYP6P3, CYP6Z1, and GSTe2 was analyzed by RT-qPCR.
Results: Deltamethrin (0.05%) eliminated susceptible An. gambiae s.s. Kisumu, whereas An. coluzzii VKPER and An. gambiae s.l. survived exposure in controls. However, prior Metarhizium infection significantly reduced survival in these resistant strains post-deltamethrin exposure ($p<0.05$; compared

to uninfected controls). In surviving mosquitoes, Metarhizium infection plus deltamethrin exposure decreased expression of defensin, GSTe2, and CYP6Z1 relative to deltamethrin alone, with no significant change in CYP6P3 expression.
Conclusion: Metarhizium pingshaense S10 infection enhances deltamethrin susceptibility in insecticide-resistant Anopheles by reducing expression of key detoxification genes (defensin, GSTe2, CYP6Z1). This synergistic effect shortens vector survival and transmission potential, even in resistant populations prevalent in malaria-endemic regions like West Africa. Integrating Metarhizium with pyrethroid-treated bed nets could improve biological control strategies, warranting field trials to validate efficacy under semi-natural conditions.

OL.111

La problématique de la prise en charge des cancers du tractus digestif haut au Centre Hospitalier Universitaire Tengandogo.

The challenges of managing upper gastrointestinal cancers at the Tengandogo University Hospital.

Mamadou WINDSOURI[1], windsmad@yahoo.fr ; Rodrigue Namekinsba DOAMBA[1]; Aristide Pingwindé RAMDE[1]; Issa Wendpouiré BAHIKORO[1]; P Gilbert BONKOUNGOU[1]; Adama SANOU[1]; Sidpawalamde Carine BAGRE[1]

[1] CHU Tengandogo, Université KIZERBO, Burkina Faso

Résumé

Introduction : Les cancers du tractus digestif haut sont des tumeurs malignes développées aux dépens de l'œsophage, de l'estomac ou du duodénum, caractérisées par un diagnostic tardif et une mortalité élevée.
Objectif : Identifier les difficultés liées à la prise en charge des cancers du tractus digestif haut au Centre Hospitalier Universitaire Tengandogo.
Matériels et méthodes : Il s'est agi d'une étude transversale descriptive à collecte rétrospective sur une période de 10 ans allant de janvier 2015 à décembre 2024.
Résultats : Nous avons colligé 64 cas de cancers du tractus digestif haut. Il s'agissait de 35 cas de cancers de l'estomac, 27 de l'œsophage et un cas du duodénum. L'incidence moyenne était de 6,4 nouveaux cas/an. La prédominance était masculine avec 38 hommes et 26 femmes, soit un sex-ratio de 1,5. L'âge moyen des patients était de 59,8 ans. Les personnes qui n'avaient pas de revenu permanent étaient plus représentées. Le diagnostic de ces cancers s'est fait à un stade tardif avec un délai moyen de consultation de 5,8 ; 10,6 et 1 mois respectivement pour les cancers de l'œsophage, de l'estomac et du duodénum. La dysphagie avec l'amaigrissement et les vomissements étaient les symptômes les plus fréquents témoignant du stade avancé de la maladie.
L'adénocarcinome était le type histologique prédominant. Quarante-quatre patients ont bénéficié de la chirurgie dont 25 était à visée curative. Le délai moyen de prise en charge était respectivement de 8,8 ; 12,6 et de 12 jours pour les cancers de l'œsophage, de l'estomac et du duodénum. Huit patients ont bénéficié d'une chimiothérapie et un d'une radiothérapie.
Il n'y a pas eu de décès durant l'hospitalisation. La survie à 5 ans dans notre étude est de 7,8%.
Conclusion : La prise en charge des cancers du tractus digestif haut doit être pluridisciplinaire et précoce.

Abstract

Introduction: Cancers of the upper gastrointestinal tract are malignant tumors that develop in the esophagus, stomach, or duodenum, characterized by late diagnosis and high mortality.
Objective: To identify the challenges related to the management of upper gastrointestinal tract cancers at the Tengandogo University Hospital Center. Materials and methods: This was a retrospective descriptive cross-sectional study conducted over a 10-year period from January 2015 to December 2024. Results: We collected 64 cases of upper gastrointestinal tract cancer. These included 35 cases of stomach cancer, 27 of esophageal cancer, and one case of duodenal cancer. The average incidence was 6.4 new cases per year. There was a male predominance, with 38 men and 26 women, for a male-to-female ratio of 1.5. The average age of the patients was 59.8 years. Individuals without a stable income were overrepresented. These cancers were diagnosed at a late stage, with average delays to consultation of 5.8, 10.6, and 1 month for esophageal, gastric, and duodenal cancers, respectively. Dysphagia with weight loss and vomiting were the most frequent symptoms, indicating the advanced stage of the disease. Adenocarcinoma was the predominant histological type. Forty-four patients underwent surgery, 25 of which were curative. The average delays to treatment were 8.8, 12.6, and 12 days for esophageal, gastric, and duodenal cancers, respectively. Eight patients received chemotherapy and one received radiotherapy. There were no deaths during hospitalization. The 5-year survival rate in our study was 7.8%.

Conclusion: The management of upper gastrointestinal tract cancers must be multidisciplinary and initiated early.

OL.112

Le rituel de veuvage foguel’b chez les Nawda (Togo) : articulations entre rituel, deuil et psyché collective.

The foguel’b widowhood ritual among the Nawda (Togo): articulations between ritual, mourning and collective psyche

Bassantéa Lodegaèna KPASSAGOU[1], bl.kpassagou@gmail.com ; Nolhan BANSARD[2]

[1] Equipe de Recherche sur la Psychologie, Orientation, Développement humain

[2] Chercheur en post-doctorat (Université d’Angers)

Résumé

Cet article s’appuie sur une enquête clinique et ethnographique menée au sein de la culture nawda (Togo), dans le cadre du programme TradiNawda. Il analyse le rituel de veuvage foguel’b comme un dispositif symbolique et social de régulation collective du rapport à la perte et à la mort, dans une société lignagère où le groupe prime sur l’individu. À partir d’entretiens menés auprès de veuves et d’autorités traditionnelles, l’étude décrit les principales séquences rituelles (Bô’ôgou djitigue’m, Joo’b, Wérib) et en propose une lecture ethnopsychanalytique. L’analyse met en évidence une articulation étroite entre l’appareil psychique groupal, qui organise et contient collectivement les affects liés à la mort, et l’appareil psychique de la veuve, pris dans ce cadre rituel qui oriente, soutient et limite ses élaborations psychiques. Le rituel ne se réduit pas à une simple réinsertion sociale, mais opère une transformation identitaire durable, assignant la veuve à une position liminaire de médiation symbolique avec la mort. L’analyse montre que le rituel constitue un cadre collectif à partir duquel la perte est symboliquement traitée et rendue supportable, en assignant à la veuve une place spécifique au sein du groupe.

Abstract

This article is based on clinical and ethnographic research conducted within the Nawda culture (Togo) as part of the TradiNawda program. It analyzes the foguel’b widowhood ritual as a symbolic and social mechanism for collectively regulating attitudes toward loss and death in a lineage-based society where the group takes precedence over the individual. Based on interviews with widows and traditional authorities, the study describes the main ritual sequences (Bô’ôgou djitigue’m, Joo’b, Wérib) and offers an ethnopsychoanalytic interpretation. The analysis highlights a close link between the group's psychic apparatus, which collectively organizes and contains the emotions associated with death, and the widow's psychic apparatus, caught up in this ritual framework that guides, supports, and limits her psychic elaborations. The ritual is not limited to simple social reintegration, but brings about a lasting transformation of identity, assigning the widow a liminal position of symbolic mediation with death. The analysis shows that the ritual constitutes a collective framework from which loss is symbolically processed and made bearable, by assigning the widow a specific place within the group.

OL.113

Les effets de la non disponibilité des produits de santé de la reproduction sur l'offre de soins intégrés au district sanitaire de Pô au Burkina Faso

Effects of the unavailability of reproductive health supplies on the delivery of integrated care in the Pô health district of Burkina Faso

Halima TOUGRI[1], htougri03@gmail.com ; Abou COULIBALY[1]; Adja Mariam OUEDRAOGO[1]; Rachidatou COMPAORE[1]; Wambi Maurice Evariste YAMWEOGO[2]; Boukaré CONGO[2]; Dénise KPEBO[3]

[1] Institut de recherche en sciences de la santé (IRSS)/CNRST, Ouagadougou, Burkina Faso

[2] Institut africain de santé publique (IASP), Ouagadougou, Burkina Faso,

[3] Institut national de santé publique, Abidjan, Côte d'Ivoire

Résumé

Introduction La mortalité maternelle et infantile demeure une préoccupation dans le monde et surtout pour les pays de l'Afrique de l'Ouest. Les pays ont mis en oeuvre plusieurs stratégies afin de réduire ces décès. Parmi elles figure l'intégration des soins maternels et infantiles. Cette intégration pour être efficace nécessite plusieurs conditions dont la disponibilité des produits nécessaire à la prise en charge du couple mère-enfant. Le présent article évalue les effets de la non disponibilité des produits sur l'offre de soins intégrés.

Méthodologie L'étude s'est déroulée dans quatre formations sanitaires du district sanitaire de Pô au Burkina Faso. C'est une étude transversale essentiellement qualitative. Les données, collectées à travers les focus group discussion auprès des bénéficiaires et interviews auprès des prestataires, bénéficiaires et informateurs clés ont été enregistrées, transcrites puis analysées avec Nvivo 11. Une analyse thématique suivant les différentes dimensions retenues a été effectuée suivant une approche déductive.

Résultats La non disponibilité de certains produits de santé de la reproduction a entravé l'offre intégrée des soins au couple mère-enfant. C'est le cas des contraceptifs dont la rupture a empêché l'offre intégrée de la PF aux femmes lors des visites postnatales et consultations du nourrisson sain (CNS). On note également le conditionnement de certains vaccins (BCG, VAR/VAA) qui rendent difficile l'intégration de la vaccination de l'enfant aux visites postnatales de la mère. Le manque de matériels de mesure anthropométrique de la mère a entravé l'évaluation de l'état nutritionnel de la mère lors des visites postpartum et des CNS/vaccination.

Les raisons probables de la non disponibilité des produits sont entre autres la mauvaise gestion des stocks, la politique de gratuité des soins, le système pyramidal d'approvisionnement en produits de santé et le conditionnement de certains vaccins. Conclusion

La réussite de l'offre intégrée des soins au couple-mère dans les formations sanitaires passe par la disponibilité des différents produits. Pour ce faire, il faut un suivi régulier et rigoureux des stocks

Abstract

Introduction

Maternal and infant mortality remain a concern worldwide, especially in West African countries. Countries have implemented several strategies to reduce these deaths. One of these is the integration of maternal and child care. To be effective, this integration requires a number of conditions, including the availability of the products needed to care for the mother and child. This article assesses the impact of product unavailability on the provision of integrated care.

Methodology

The study was conducted in four health facilities in the Pô health district in Burkina Faso. It was essentially a qualitative cross-sectional study. The data collected through focus groups with beneficiaries and interviews with providers, beneficiaries and key informants were recorded, transcribed into verbatim and then analysed using Nvivo 11. A thematic analysis along the various dimensions selected was carried out using a deductive approach.

Results

The unavailability of certain reproductive health products has hampered the provision of integrated

mother-child care. This is the case for contraceptives, whose shortage has prevented the provision of integrated family planning services to women during postnatal visits and well-baby consultations. The packaging of certain vaccines (BCG, VAR/VAA) also makes it difficult to integrate child vaccination into postnatal visits for mothers. The lack of anthropometric measurement equipment for mothers has hampered the assessment of their nutritional status during postpartum visits and growth monitoring/immunization.
The plausible reasons for the unavailability of products are poor stock management, free healthcare policy, the pyramid-shaped healthcare supply chain system and the packaging of certain vaccines.
Conclusion
The success of integrated care for mothers and their infants in healthcare facilities depends on the availability of various products. This requires regular and rigorous stock management.

OL.114

LIEUX DE VIE DES SUJETS DE TRYPANOSOMIASE HUMAINE AFRICAINE (THA) DE 2010 A 2020 ET RISQUE D'ESPACES RESIDUELS DE TRANSMISSION EN CÔTE D'IVOIRE

LOCATION OF HUMAN AFRICAN TRYPANOSOMIASIS (HAT) SUBJECTS FROM 2010 TO 2020 AND RISK OF RESIDUAL TRANSMISSION AREAS IN CÔTE D'IVOIRE

Bamoro COULIBALY[1], bamoroc0410@gmail.com ; Aboubacar Adama OUATTARA[2]; Yao Jean Julius KOFFI[3]; N'Goran Mathurin KOFFI[4]; Fabrice COURTIN[5]

[1] Institut Pierre Richet / Institut National de Santé Publique, Côte d'Ivoire

[2] Université Polytechnique de San Pedro, Côte d'Ivoire

[3] Université Alassane Ouattara, Côte d'Ivoire

[4] Université Jean Lorougnon Guédé, Côte d'Ivoire

[5] Institut de Recherche pour le Développement, Côte d'Ivoire

Résumé

Contexte : La lutte contre la THA depuis les années 1970 a permis la baisse des prévalences. A partir de 2016, l'intensification de la lutte a réduit le nombre de cas rapportés à moins de 2 cas par an et permis l'élimination de la THA comme problème de santé publique en 2020. Après ce succès, le pays engage le défi de l'interruption de la transmission du trypanosome-parasite à brève échéance. Cette étude est une contribution géographique dans un élan « One-Heath » visant à identifier des espaces résiduels de contamination.
Méthodologie : La démarche commence par le dépouillement de registres de santé pour constituer la liste exhaustive des sujets THA de 2010 à 2020. Ensuite, l'administration d'un questionnaire aux dits sujets suivi de l'inventaire géo-référencé des localités qu'ils ont fréquenté et enfin une carte des espaces assainis par la lutte. Le logiciel Excel a servi pour la constitution des bases de données, leur traitement et analyse spatiale. Les cartes ont été réalisées avec l'application QGIS.
Résultats : Entre 2010 et 2020, 94 sujets THA étaient identifiés. Pendant l'enquête 73 ont été retrouvés, tous au Centre-Ouest de la Côte d'Ivoire. Les 73 sujets ont visité 94 localités pendant 391 séjours en Côte d'Ivoire, au Burkina Faso et au Mali. Les raisons des mobilités sont le lieu de naissance, la résidence, la recherche d'emplois et de soins. La superposition des lieux de fréquentation des sujets et les espaces assainis montrent un confinement des lieux potentiels de contamination dans le foyer de Oumé et la région du Gbêkê où existe une absence d'information épidémiologique depuis plusieurs décennies.
Conclusion : L'identification des espaces de possible transmission de la THA permet une meilleure surveillance de la maladie.
Mots clés : Trypanosomiase humaine africaine, espaces résiduels, sujets, contamination, Côte d'Ivoire.

Abstract

Context: Efforts to combat HAT since the 1970s have led to a decline in prevalence. Starting in 2016, intensified efforts reduced the number of reported cases to less than two per year and enabled the elimination of HAT as a public health problem in 2020. Following this success, the country is now taking on the challenge of interrupting the transmission of the trypanosome parasite in the short term. This study is a geographical contribution to a "One Health" initiative aimed at identifying residual areas of contamination.
Methodology: The process begins with the analysis of health records to compile a comprehensive list of THA subjects from 2010 to 2020. Next, a questionnaire was administered to these subjects, followed by a georeferenced inventory of the locations they frequented and, finally, a map of the areas cleared by the control program. Excel software was used to compile the databases, process them, and perform spatial analysis. The maps were created using the QGIS application.
Results: Between 2010 and 2020, 94 THA subjects were identified. During the survey, 73 were found,

all in the central-western part of Côte d'Ivoire. The 73 subjects visited 94 locations during 391 stays in Côte d'Ivoire, Burkina Faso and Mali. The reasons for their mobility were place of birth, residence, job hunting and healthcare. Overlaying the subjects' frequented locations with sanitised areas shows that potential sites of contamination are confined to the Oumé outbreak and the Gbêkê region, where there has been a lack of epidemiological information for several decades.
Conclusion: Identifying areas of possible THA transmission allows for better surveillance of the disease.
Keywords: Human African trypanosomiasis, residual areas, subjects, contamination, Ivory Coast.

OL.115

Malondialdéhyde, biomarqueur pronostique de la gravité de la maladie chez les drépanocytaires en crises vaso-occlusives en Côte d'Ivoire

Malondialdehyde, a prognostic biomarker of disease severity in sickle cell patients experiencing vaso-occlusive crises in Côte d'Ivoire.

Aya Jeanne Armande AKE[1], akeyarmande@yahoo.fr ; Kipré Laurent SERI[2]; Saydou KABORE[1]; Assi Lévy Joël ASSI[3]; Hamadou TOURE[1]; Kouabla Liliane SIRANSY[4]; Bamory DEMBELE[4]

[1] Centre National de Transfusion Sanguine de Côte d'Ivoire

[2] Institut Pasteur de Côte d'Ivoire

[3] Université Félix Houphouët-Boigny, Côte d'Ivoire

[4] Université Félix Houphouët-Boigny, Côte d'Ivoire, Centre National de Transfusion Sanguine de Côte d'Ivoire

Résumé

Introduction. La drépanocytose est un problème de santé publique. En Côte d'Ivoire, sa prévalence est de 14 % pour toutes les formes, parmi lesquelles 2% représentent la forme maladie. Les drépanocytaires sont sujets à des épisodes récurrents de douleur intense, appelés crises vaso-occlusives (CVO) et au stress oxydatif. L'objectif de cette étude était de déterminer la concentration en malondialdéhyde (MDA) en lien avec les crises vaso-occlusives (CVO) chez les drépanocytaires en Côte d'Ivoire.
Méthodologie. Cette étude a concerné 90 échantillons de sang provenant de 60 patients drépanocytaires (30 en état stationnaire et 30 en CVO) et 30 donneurs de sang volontaires (Témoins). Le sang total prélevé dans des tubes EDTA a servi à l'électrophorèse de l'hémoglobine. Le plasma a été utilisé pour évaluer le MDA par spectrophotométrie. Le logiciel R a servi à analyser les données. Le seuil de significativité a été fixé à 5%.
Résultats. 70 % des témoins et 53,3 % des drépanocytaires en état stationnaire étaient de sexe masculin. 53,3 % des drépanocytaires en CVO étaient de sexe féminin. Les drépanocytaires ont montré des concentrations en Malondialdéhyde nettement plus élevés (≈ 10 µmol/L) que les témoins (≈ 5 µmol/L), et quel que soit le sexe. Chez les femmes, les concentrations moyennes de MDA étaient respectivement de 5,46 µmol/L, de 8,30 µmol/L et de 10,68 µmol/L chez les témoins, les drépanocytaires stationnaires et celles en CVO, avec $p < 0,001$. Chez les hommes, le niveau de MDA était de 5,58 µmol/L chez les témoins, 9,94 µmol/L en état stationnaire et 11,47 µmol/L en CVO, avec $p < 0,001$.
Conclusion. Les concentrations de MDA ont montré une augmentation significative et progressive des témoins vers les patients en crise vaso-occlusive, confirmant que le MDA est un marqueur sensible de l'intensité de la CVO. La surveillance des niveaux de MDA, associée à d'autres paramètres biologiques est essentielle pour anticiper la survenue des crises vaso-occlusives.

Abstract

Introduction. Sickle cell disease is a public health issue. In Côte d'Ivoire, its prevalence is 14% for all forms, of which 2% represent the disease form. Sickle cell patients are prone to recurrent episodes of intense pain, known as vaso-occlusive crises (VOCs), and oxidative stress. The aim of this study was to determine the concentration of malondialdehyde (MDA) in relation to vaso-occlusive crises (VOCs) in sickle cell patients in Côte d'Ivoire.
Methodology. This study involved 90 blood samples from 60 sickle cell patients (30 in a stable condition and 30 in VOC) and 30 voluntary blood donors (controls). Whole blood collected in EDTA tubes was used for haemoglobin electrophoresis. Plasma was used to assess MDA by spectrophotometry. R software was used to analyse the data. The significance threshold was set at 5%.
Results. 70% of controls and 53.3% of sickle cell patients in a stable condition were male. 53.3% of sickle cell patients in VOC were female. Sickle cell patients showed significantly higher malondialdehyde concentrations (≈ 10 µmol/L) than controls (≈ 5 µmol/L), regardless of gender. In women, the mean MDA concentrations were 5.46 µmol/L, 8.30 µmol/L and 10.68 µmol/L in controls, patients with stable sickle cell disease and patients with acute sickle cell crisis, respectively, with $p <$

0.001. In men, MDA levels were 5.58 µmol/L in controls, 9.94 µmol/L in stable patients and 11.47 µmol/L in patients with VOC, with $p < 0.001$.
Conclusion. MDA concentrations showed a significant and progressive increase from controls to patients in vaso-occlusive crisis, confirming that MDA is a sensitive marker of VOC intensity. Monitoring MDA levels, in conjunction with other biological parameters, is essential for anticipating the onset of vaso-occlusive crises.

OL.116

Méfiance institutionnelle et sous-utilisation des données probantes au Bénin : analyse des barrières relationnelles entre chercheurs et décideurs

Institutional mistrust and underutilization of evidence-based data in Benin: analysis of relational barriers between researchers and decision-makers

Nonvignon Marius KEDOTE[1], kedmar@yahoo.fr ; S. Claude-Gervais ASSOGBA[2]; Virginie MONGBO[1]; Géraud PADONOU[3]

[1] Institut Régional de Santé Publique, Comlan Alfred Quenum (IRSP-CAQ)

[2] Laboratoire de Recherche sur l'Innovation pour le Développement Agricole (LRIDA)

[3] Faculté des Sciences de la Santé

Résumé

Contexte : Malgré une production scientifique croissante en santé publique dans les pays africains, l'intégration des données probantes dans les politiques et pratiques sanitaires demeure faible. Cette sous-utilisation soulève des interrogations sur les barrières systémiques au-delà des seuls aspects techniques.
Objectif : Analyser les mécanismes et barrières à l'utilisation des résultats de recherche en santé publique au Bénin, en mettant l'accent sur les dynamiques relationnelles entre chercheurs et décideurs.
Méthodologie : Une approche qualitative participative a été conduite auprès de 35 acteurs clés (7 chercheurs, 16 décideurs, 6 professionnels de santé, 2 médias, 2 PTF, 2 ONG) à travers des entretiens semi-dirigés, des focus groups et un atelier de validation. L'analyse thématique a exploré les perceptions croisées des acteurs, les mécanismes d'utilisation des connaissances et les facteurs de résistance institutionnelle.
Résultats : Une méfiance structurelle profonde entrave l'utilisation systématique des données probantes. Les chercheurs rapportent que les décideurs « ne croient pas à ce que les chercheurs présentent » et que « le gouvernement a peur de la recherche » car elle pourrait révéler des échecs politiques. Cette méfiance est parfois réciproque, certains chercheurs admettant que la qualité douteuse de certaines études nourrit cette défiance. Face à ces barrières, des stratégies de courtage émergent : co-construction des projets avec les utilisateurs finaux, ateliers d'interprétation des données, tableaux de décision traduisant les rapports complexes en formats actionnables, et policy briefs synthétiques.
Conclusion : La sous-utilisation des données probantes au Bénin s'explique principalement par une rupture relationnelle entre chercheurs et décideurs, fondée sur la méfiance mutuelle, la déconnexion des agendas de recherche et l'absence de mécanismes institutionnalisés de traduction des connaissances. L'institutionnalisation du courtage de connaissances, le développement d'outils de synthèse adaptés et la co-construction systématique des projets apparaissent comme des leviers essentiels pour transformer les données probantes en actions politiques concrètes.

Abstract

Background: Despite growing scientific production in public health in African countries, the integration of evidence-based data into health policies and practices remains low. This underutilization raises questions about systemic barriers beyond purely technical aspects.
Objective: To analyze the mechanisms and barriers to the utilization of public health research results in Benin, focusing on relational dynamics between researchers and decision-makers.
Methodology: A participatory qualitative approach was conducted with 35 key actors (7 researchers, 16 decision-makers, 6 health professionals, 2 media, 2 technical and financial partners, 2 NGOs) through semi-structured interviews, focus groups, and a validation workshop. Thematic analysis explored cross-perceptions of actors, knowledge utilization mechanisms, and factors of institutional resistance.
Results: Deep structural mistrust hinders systematic use of evidence-based data. Researchers report that decision-makers "do not believe what researchers present" and that "the government fears research" as it could reveal policy failures. This mistrust is sometimes reciprocal, with some researchers acknowledging that questionable study quality feeds this distrust. Facing these barriers,

brokerage strategies emerge: co-construction of projects with end-users, data interpretation workshops, decision tables translating complex reports into actionable formats, and synthetic policy briefs.
Conclusion: The underutilization of evidence-based data in Benin is primarily explained by a relational rupture between researchers and decision-makers, based on mutual mistrust, disconnection of research agendas, and absence of institutionalized knowledge translation mechanisms. Institutionalizing knowledge brokering, developing adapted synthesis tools, and systematic co-construction of projects appear as essential levers to transform evidence-based data into concrete policy actions.

OL.117

Modélisation temporelle des cas de dengue en Côte d'Ivoire de 2017 à 2023 par les modèles SARIMA et ARIMAX

Temporal modelling of dengue cases in Ivory Coast from 2017 to 2023 using SARIMA and ARIMAX models

Djedjro Franck- Renaud Meless[1], meless.renaud@ufhb.edu.ci ; Akissi Régine Attia epse Konan[2]; Armel Fabrie Evrard Yode[3]; N'cho Christophe Amin[4]

[1] Institut National d'Hygiène Publique

[2] Institut National de Santé Publique, Université Felix Houphouët Boigny, Côte D'Ivoire

[3] Université Felix Houphouët Boigny, Côte D'Ivoire

[4] Institut National d'Hygiène Publique, Université Felix Houphouët Boigny, Côte D'Ivoire

Résumé

Contexte et objectifs : La dengue est un problème de santé publique persistant en Côte d'Ivoire, avec une récente recrudescence des cas entrainant une instabilité dans le système de santé. L'objectif de cette étude était de développer des modèles de prédiction des cas de dengue en Côte d'Ivoire à partir des modèles de séries chronologiques.
Méthodes : Il s'agit d'une étude secondaire, basée sur des données hebdomadaires issues de la surveillance épidémiologie des cas confirmés de dengue et des variables météorologiques, couvrant la période de 2017 à 2023. Des modèles univariés saisonniers et des modèles multivariés de type ARIMAX avec décalage temporel, ont été comparés. Les performances prédictives ont été évaluées à l'aide de critères standards tels que l'erreur quadratique moyenne (RMSE), l'erreur absolue moyenne (MAE), ainsi que les critères d'information d'Akaike (AIC) et bayésien (BIC).
Résultats : En analyse univarié, le modèle SARIMA (1,0,0)(1,0,0)[52] a été identifié comme le modèle le plus performant avec une une erreur absolue moyenne de 4,3 et une erreur quadratique moyenne (RMSE) de 8,66. Globalement le modèle ARIMAX avec décalage temporel a présenté de meilleures performances prédictives. Parmi les variables météorologiques, l'humidité relative, la température maximale et la température minimale ont montré les associations les plus fortes avec les cas de dengue, aux décalages respectifs de 21, 17 et 3.
Conclusion : L'intégration du décalage temporel des variables climatiques améliore significativement la qualité des prévisions. Ces modèles offrent des informations précieuses pour la planification des soins de santé et l'allocation des ressources, même si des facteurs externes et des interactions complexes doivent être pris en compte.

Abstract

Background and objectives: Dengue fever is a persistent public health problem in Côte d'Ivoire, with a recent resurgence of cases causing instability in the health system. The objective of this study was to develop models for predicting dengue fever cases in Côte d'Ivoire using time series models.
Methods: This is a secondary study based on weekly data from epidemiological surveillance of confirmed dengue cases and meteorological variables, covering the period from 2017 to 2023. Univariate seasonal models and multivariate ARIMAX models with time lag were compared. Predictive performance was evaluated using standard criteria such as root mean square error (RMSE), mean absolute error (MAE), as well as Akaike's information criterion (AIC) and Bayesian information criterion (BIC).
Results: In univariate analysis, the SARIMA (1,0,0)(1,0,0)[52] model was identified as the best-performing model with a mean absolute error of 4.3 and a root mean square error (RMSE) of 8.66. Overall, the ARIMAX model with time lag showed better predictive performance. Among the meteorological variables, relative humidity, maximum temperature and minimum temperature showed the strongest associations with dengue cases, at respective lags of 21, 17 and 3.
Conclusion: The integration of time lags in climate variables significantly improves the quality of forecasts. These models provide valuable information for healthcare planning and resource allocation, although external factors and complex interactions must be taken into account.

OL.118

Morphologie, topographie et morphométrie extraluminale de l'artère cérébrale moyenne (artère sylvienne) par injection et dissection

Morphology, Topography, and Extraluminal Morphometry of the Middle Cerebral Artery (sylvian artery) by Injection and Dissection

Racky WADE[1], racky.wade@ucad.edu.sn ; Magaye GAYE[1]; Ainina NDIAYE[1]; Abdoulaye NDIAYE[1]; Mamadou DIOP[1]; Jean-Marc Ndiaga NDOYE[1]

[1] (1) Laboratoire d'Anatomie et d'Organogenèse (LOAD), FMPOS, UCAD, Dakar, Sénégal

Résumé

Contexte : L'artère cérébrale moyenne (ACM) constitue l'axe hémodynamique principal de la vascularisation hémisphérique latérale et du territoire insulaire. Sa variabilité morphologique, topographique et dimensionnelle au sein de la fosse latérale du cerveau, également appelée vallée sylvienne, conditionne l'interprétation anatomique et radiologique ainsi que la compréhension et la sécurité des approches transsylviennes. Malgré son importance clinique et chirurgicale, les données anatomiques quantitatives issues de dissections injectées demeurent limitées dans notre contexte.

Objectif : Décrire la morphologie, la topographie et la morphométrie extraluminale de l'artère cérébrale moyenne chez l'adulte, et analyser leurs variations selon l'hémisphère cérébral, le sexe et l'âge.

Méthodologie : Il s'agissait d'une étude anatomique observationnelle, descriptive et analytique, menée prospectivement sur une période de trois mois (juin–août 2025) au cours d'autopsies médico-légales. Vingt sujets adultes, représentant quarante hémisphères cérébraux, ont été inclus. Après cathétérisme artériel et injection de résine époxy colorée, une dissection fine de la fosse latérale du cerveau (vallée sylvienne) a été réalisée, avec cartographie in situ avant décollement de la pie-mère. La fosse latérale a été subdivisée en compartiments anatomiques (corridors supérieur C1-C2 et inférieur C4-C3 et entrée latérale C5), en intégrant spécifiquement le sillon central de l'insula. Les diamètres extraluminaux ont été mesurés aux origines des segments M1 à M4 à l'aide d'un pied à coulisse numérique calibré.

Résultats : Un tronc artériel unique était constant à l'origine de l'ACM et au niveau du segment M1 (100 %). Les divisions survenaient préférentiellement en aval de M1, dominées par les bifurcations, tandis que les trifurcations étaient plus rares ; une configuration quadrifide a été observée dans un cas. Sur le plan topographique, le segment M2 empruntait le plus souvent le corridor inférieur, mais présentait un trajet au niveau du sillon central de l'insula dans 25 % des cas. Le diamètre du tronc principal diminuait significativement de M1 vers M4 ($p < 0,001$), avec des corrélations intersegmentaires positives, sans différence significative selon le sexe ni l'hémisphère.

Conclusion : Cette étude fournit des références anatomiques intégrées de l'ACM, documente la variabilité sylvienne, notamment au niveau insulaire, et apporte des données morphométriques extraluminales utiles à l'enseignement anatomique et à la recherche morphologique.

Abstract

Background : The middle cerebral artery (MCA) represents the main hemodynamic axis of lateral hemispheric and insular vascularization. Its morphological, topographical, and dimensional variability within the lateral fossa of brain (sylvian valley) directly influences anatomical and radiological interpretation, as well as the understanding and safety of transsylvian surgical approaches. However, quantitative anatomical data derived from injected cadaveric dissections remain limited in our context.
Objective : To describe the morphology, topography, and extraluminal morphometry of the adult MCA and to analyze variations according to cerebral hemisphere, sex, and age.
Methods : This was an observational, descriptive, and analytical anatomical study conducted prospectively over a three-month period (June–August 2025) during medicolegal autopsies. Twenty adult subjects, representing forty cerebral hemispheres, were included. Following arterial

catheterization and injection of colored epoxy resin, meticulous dissection of the lateral cerebral fossa (sylvian valley) was performed, with in situ cartographic documentation prior to pial detachment. The lateral fossa of brain was subdivided into anatomical compartments (superior corridor C1-C2, inferior corridor C4-C3, and lateral entry C5), with specific integration of the central sulcus of the insula (CSI). Extraluminal diameters were measured at the origins of the M1 to M4 segments using a calibrated digital caliper.
Results : A single arterial trunk was consistently observed at the origin of the MCA and within the M1 segment (100%). Arterial divisions occurred preferentially distal to M1 and were predominantly bifurcations, while trifurcations were less frequent; a quadrifid configuration was identified in one case. From a topographical perspective, the M2 segment most commonly followed the inferior corridor but coursed along the central sulcus of the insula in 25% of cases. The diameter of the main trunk decreased significantly from M1 to M4 ($p < 0.001$), with positive intersegmental correlations. No significant differences were observed according to sex or cerebral hemisphere.
Conclusion : This study provides integrated anatomical reference data on the adult MCA, documents sylvian and insular variability, and offers extraluminal morphometric values that are relevant for anatomical teaching and morphological research.

OL.119

Niveaux de résistance variables d'aedes aegypti et d'aedes albopictus aux insecticides à abidjan, en côte d'ivoire

Varying levels of insecticide resistance in aedes aegypti and aedes albopictus in abidjan, côte d'ivoire

Djélénan Marie-Ange KOUASSA[1], kouassamarieange@gmail.com ; Bi Zahouli Julien ZAHOULI[1]; Mahama TOURE[2]

[1] Centre d'Entomologie Médicale et Vétérinaire, Bouaké, Côte d'Ivoire / Centre Suisse de Recherches Scientifiques en Côte d'Ivoire, Abidjan, Côte d'Ivoire / Université Alassane Ouattara, Bouaké, Côte d'Ivoire

[2] Centre d'Entomologie Médicale et Vétérinaire, Bouaké, Côte d'Ivoire / Université Alassane Ouattara, Bouaké, Côte d'Ivoire

Résumé

Introduction : En Côte d'Ivoire, Abidjan est confrontée à de multiples épidémies d'arboviroses (dengue, fièvre jaune). Toutefois, la résistance les données disponibles sur la résistance des vecteurs locaux aux insecticides sont très peu abondantes et ne concernent uniquement que Aedes aegypti, malgré la présence d'Aedes albopictus récemment introduite à Abidjan.

Objectif : Evaluer le niveau de résistance d'Ae. aegypti et Ae. albopictus à insecticides dans les zones épidémiques d'Abidjan.

Méthodes : Les moustiques Aedes ont été collectés à Cocody, Bingerville et Abobo. Ils ont été élevés jusqu'au stade adulte. Les femelles adultes ont été exposées à 13 insecticides appartenant à 7 classes en suivant les tests en bouteilles de l'Organisation Mondiale de la Santé (OMS) et des Centers for Disease Control and Prevention (CDC).

Résultats : Les populations d'Ae. aegypti et Ae. albopictus testées ont présenté des niveaux de résistance variables aux insecticides. En effet, elles ont été sensibles aux organophosphorés, néonicotinoïdes et pyrroles, avec des taux de mortalité compris entre 98% et 100%. Cependant, Ae. aegypti a été résistante au DDT et au propoxur à Bingerville. Sur tous les sites d'étude, Ae. aegypti était résistante à la apha-cyermethrin, lambda-cyhalothrin, prallethrin et deltamethrin, avec des taux de mortalité compris entre 2 et 93%. Ae. albopictus a été sensible avec un taux de mortalité supérieur à 98% à la transfluthrin et la deltamethrin.

Conclusion : La présente étude a montré que Ae. aegypti et Ae. albopictus ont été sensible aux organophosphorés, néonicotinoïdes et pyrroles, mais résistante aux pyréthrinoïdes et organochlorés. Les outils de lutte antivectorielle basés sur les organophosphorés, les néonicotinoïdes et/ou les pyrroles sont recommandés pour prévenir les épidémies d'arboviroses à Abidjan, Côte d'Ivoire.

Abstract

Introduction: In Côte d'Ivoire, Abidjan is facing multiple arboviral disease epidemics (dengue, yellow fever). However, available data on the resistance of local vectors to insecticides are very limited and only in Aedes aegypti, despite the presence of Aedes albopictus, recently introduced to Abidjan.

Objective: To assess the level of resistance of Ae. aegypti and Ae. albopictus to insecticides in the epidemic areas of Abidjan.

Methods: Aedes mosquitoes were collected in Cocody, Bingerville and Abobo. They were reared to adulthood. Adult females were exposed to 13 insecticides belonging to 7 classes, following the World Health Organization (WHO) and the Centers for Disease Control and Prevention (CDC) bottle bioassay procedures.

Results: The tested populations of Ae. aegypti and Ae. albopictus exhibited varying levels of insecticide resistance. They were susceptible to organophosphates, neonicotinoids, and pyrroles, with mortality rates ranging from 98% to 100%. However, Ae. aegypti was resistant to DDT and propoxur in Bingerville. At all study sites, Ae. aegypti was resistant to apha-cyermethrin, lambda-cyhalothrin, prallethrin, and deltamethrin, with mortality rates ranging from 2% to 93%. Ae. albopictus was susceptible to transfluthrin and deltamethrin, with a mortality rate of over 98%.

Conclusion: This study showed that Ae. aegypti and Ae. albopictus were susceptible to organophosphates, neonicotinoids, and pyrroles, but resistant to pyrethroids and organochlorines. Ae. albopictus is susceptible to all classes of insecticides. Vector control tools based on organophosphates, neonicotinoids, and/or pyrroles are recommended to prevent arboviral outbreaks in Abidjan, Côte d'Ivoire.

OL.120

Niveaux élevés de stress oxydatif chez les personnes vivant avec le virus de l'immunodéficience humaine et suivant un traitement antirétroviral en Côte d'Ivoire

High levels of oxidative stress in people living with human immunodeficiency virus and undergoing antiretroviral treatment in Côte d'Ivoire

Kipré Laurent Séri[1], serikiprel@gmail.com ; Aya Jeanne Armande Aké[2]; Gnogbo Alexis Bahi[1]; Lydie Boyvin[1]; Kouabla Liliane Siransy[2]; Yassongui Mamadou Sékongo[2]; Allico Joseph Djaman[1]

[1] Institut Pasteur de Côte d'Ivoire (IPCI)

[2] Centre National de Transfusion Sanguine de Côte d'Ivoire (CNTSCI)

Résumé

Introduction : Lors d'une infection par le VIH, le virus et le traitement antirétroviral (TARV) génèrent un stress oxydatif. Cette relation entre l'infection par le VIH, l'ART et l'OS représente un obstacle complexe dans la gestion du VIH/sida. L'objectif de cette étude est de déterminer le niveau de stress oxydatif en fonction de l'évolution du nombre de lymphocytes T CD4+ et de l'âge des personnes vivant avec le VIH en Côte d'Ivoire à l'aide du rapport cuivre/zinc (Cu/Zn). Méthodologie : 254 personnes (127 infectées par le VIH sous ARV et 127 témoins) ont été recrutées pour cette étude. Le nombre de CD4 a été déterminé par cytométrie en flux (FacsCalibur). Le COBAS Integra 400 Plus a été utilisé pour mesurer les paramètres biochimiques. Les taux sériques de cuivre et de zinc ont été déterminés par spectrophotométrie d'absorption atomique à flamme air/acétylène (Varian AA20 Pattern®, France). Le rapport Cu/Zn a été obtenu en divisant la concentration en cuivre par la concentration en zinc. Résultats : Parmi les séropositifs, l'âge moyen était de 32 ± 0,50 ans, avec des rapports Cu/Zn supérieurs à 2 chez 31,4 % des femmes et 80,7 % des hommes. Une corrélation positive (r = 0,190 ; p = 0,032) a été observée entre le rapport Cu/Zn et l'âge. Pour les numérations de CD4+ inférieures à 200 cellules/mm3, des rapports Cu/Zn élevés ont été observés chez les femmes (1,75 ± 0,49) et les hommes (1,91 ± 0,19). Conclusion : Des niveaux élevés de stress oxydatif associés à une progression du processus inflammatoire avec l'âge ont été observés chez les patients sous traitement antirétroviral, en particulier ceux dont le nombre de lymphocytes T CD4+ était inférieur à 200 cellules/mm3. Une évaluation prochaine du rapport Cu/Zn en fonction des différents types d'ARV prescrits aux patients devrait compléter ces présents résultats.

Abstract

Introduction : During HIV infection, the virus and antiretroviral therapy (ART) generate oxidative stress. This relationship between HIV infection, ART and OS represents a complex obstacle in the management of HIV/AIDS. The objective of this study is to determine the level of oxidative stress based on changes in CD4+ T-cell counts and the age of people living with HIV in Côte d'Ivoire using the copper/zinc (Cu/Zn) ratio. Methodology : 254 individuals (127 HIV-infected individuals on ARV and 127 controls) were recruited for this study. CD4 counts were determined by flow cytometry (FacsCalibur). The COBAS Integra 400 Plus was used to measure biochemical parameters. Serum copper and zinc levels were determined by air/acetylene flame atomic absorption spectrophotometry (Varian AA20 Pattern®, France). The Cu/Zn ratio was obtained by dividing the copper concentration by the zinc concentration. Results : Among HIV-positive individuals, the mean age was 32 ± 0.50 years, with Cu/Zn ratios greater than 2 in 31.4% of women and 80.7% of men. A positive correlation (r = 0.190; p = 0.032) was observed between the Cu/Zn ratio and age. For CD4+ counts below 200 cells/mm3, high Cu/Zn ratios were observed in women (1.75 ± 0.49) and men (1.91 ± 0.19). Conclusion : High levels of oxidative stress associated with progression of the inflammatory process with age were observed in patients receiving antiretroviral therapy, particularly those with CD4+ T-cell counts below 200 cells/mm3. A forthcoming assessment of the Cu/Zn ratio according to the different types of ARV prescribed to patients should complement these current results.

OL.121

Occasions manquées de vaccination : une vue d'ensemble dans les établissements de santé en Côte d'Ivoire en 2025

Missed vaccination opportunities: an overview in healthcare facilities in Côte d'Ivoire in 2025

Kevin Sylvestre YOHOU[1], yoskev@gmail.com ; Anastase MIAN[1]; Tania NZI-BOA[1]; Mathilde MANOUAN[1]; Akissi Régine ATTIA-KONAN[1]; William YAVO[1]; Juile SACKOU-KOUAKOU[1]

[1] Institut National de Santé Publique

Résumé

Introduction : Une occasion manquée de vaccination est définie comme tout contact d'un enfant éligible avec un service de santé qui n'aboutit pas à l'administration de tous les vaccins requis auxquels il a droit. En Côte d'Ivoire, la vaccination se fait de façon routinière dans tous les établissements de santé. L'objectif de cette étude était d'apprécier la gestion des occasions manquées de vaccination dans les établissements de santé.

Méthode : Une étude transversale descriptive a été menée de juillet à novembre 2025 auprès de 44 responsables d'établissements de santé en Côte d'Ivoire. Les données ont été saisies sur ODK Collect et analysées avec PYTHON®.

Résultats : La référence pour la vaccination d'un enfant d'un service vers le service de vaccination existait dans 37 des 44 établissements de santé.
Les documentations des références faites entre juin à août 2025, ont été retrouvées dans les registres du service de vaccination et de consultations des autres services préventifs et curatifs dans 14 établissements de santé. Les occasions manquées de vaccination des enfants référés au service de vaccination étaient relatives aux prestations de vaccination (n=4), à la disponibilité des vaccins et des intrants (n=3) et à la disponibilité des ressources humaines (n=3).

Discussion : Bien que la pratique de référence vers les services de vaccination fût reconnue par la majorité des établissements de santé, seul 1 tiers des établissements de santé documentait les références. Le système de vaccination était le principal mis en cause pour expliquer la non vaccination suite aux références faites par les services.

Conclusion: Afin de réduire les occasions manquées de vaccination dans tous les établissements de santé, des interventions qui devraient être envisagées sont le renforcement de la logistique vaccinale, la disponibilité des agents de santé et la collaboration entre les services.

Abstract

Introduction: A missed vaccination opportunity is defined as any contact between an eligible child and a health service that does not result in the administration of all the required vaccines to which the child is entitled. In Côte d'Ivoire, vaccination is routinely carried out in all health facilities. The objective of this study was to assess the management of missed vaccination opportunities in health facilities.

Method: A descriptive cross-sectional study was conducted from July to November 2025 among 44 health facility managers in Côte d'Ivoire. Data were entered into ODK Collect and analyzed using PYTHON®.

Results: The referral system for vaccinating a child from one department to the vaccination department existed in 37 of the 44 health facilities.
Referral Documentations made between June and August 2025, was found in the records of the vaccination department and other preventive and curative departments in 14 health facilities. Missed opportunities for vaccination of children referred to the vaccination department were related to

vaccination services (n=4), availability of vaccines and supplies (n=3), and availability of human resources (n=3).

Discussion: Although referral to vaccination services was recognized by the majority of health facilities, only one-third of health facilities documented referrals. The vaccination system was the main factor cited to explain non-vaccination following referrals made by the services.

Conclusion: In order to reduce missed vaccination opportunities in all health facilities, interventions that should be considered include strengthening vaccination logistics, ensuring the availability of health workers, and promoting collaboration between services.

OL.122

ORIGINE, DISTRIBUTION ET INCIDENCE DE LA RAGE HUMAINE EN CÔTE D'IVOIRE DE 2013 À 2023

ORIGIN, DISTRIBUTION AND INCIDENCE OF HUMAN RABIES IN CÔTE D'IVOIRE FROM 2013 TO 2023

Yannick Konan[1], konankouassiyannick@upgc.edu.ci ; Clemence Kouassi[2]; Carine Ossey[3]; Martial Brou[3]; Maxime Diane[4]; Edgard Valery Adjogoua[3]

[1] Département de biochimie génétique, Université Pelefero Gon Coulibaly

[2] Département des sciences de la vie et de la terre, École normale d'Abidjan

[3] Département des virus épidémiques, Institut Pasteur de Côte d'Ivoire

[4] Centre de ressources biologiques, Institut Pasteur de Côte d'Ivoire

Résumé

Contexte : Cette étude vise à décrire les caractéristiques épidémiologiques des cas de rage humaine en Côte d'Ivoire sur une période de 11 ans, de 2013 à 2023. Méthodes : Une analyse rétrospective a été menée sur tous les cas de rage humaine notifiés au niveau national pendant la période étudiée. Les échantillons ont été analysés par RT-qPCR à l'aide d'amorces ciblant le gène de la nucléoprotéine, conformément aux directives de diagnostic de la rage de l'OMS. Les données sociodémographiques, cliniques et épidémiologiques ont été compilées et analysées. Résultats : Sur 180 cas suspects, 152 (84,44 %) ont été confirmés positifs, ce qui représente une moyenne annuelle de 14 cas. Les hommes représentaient les deux tiers des cas suspects et 68,42 % des cas confirmés. L'âge moyen des cas était de 25,98 ans. Les groupes socioprofessionnels les plus touchés étaient les écoliers (28,29 %), les agriculteurs (20,39 %) et les employés de maison (13,16 %). Le district autonome d'Abidjan, ainsi que les régions de Loh-Djiboua, Gbêkê et Haut-Sassandra, ont enregistré les taux de positivité les plus élevés. La plupart des infections (90,8 %) résultaient d'un contact de troisième degré (morsures), principalement au niveau des membres supérieurs (46,71 %). La forme spastique de la rage était prédominante (84,87 %). Aucun des patients positifs n'avait été vacciné. La transmission était principalement due à des chiens errants (82,24 %). Conclusion : La rage humaine reste un problème de santé publique majeur en Côte d'Ivoire, touchant principalement les écoliers et se concentrant surtout dans les zones rurales. Les stratégies de prévention, notamment la vaccination et le contrôle des animaux errants restent essentielles.

Abstract

Background : This study aims to describe the epidemiological characteristics of human rabies cases in Côte d'Ivoire over an 11-year period from 2013 to 2023. Methods : A retrospective analysis was conducted on all cases of human rabies reported nationally during the study period. Samples were analyzed by RT-qPCR using primers targeting the nucleoprotein gene according to WHO rabies diagnostic guidelines. Sociodemographic, clinical, and epidemiological data were compiled and analyzed. Results : Of 180 suspected cases, 152 (84.44%) were confirmed positive, representing an annual average of 14 cases. Men accounted for two-thirds of suspected cases and 68.42% of confirmed cases. The average age of cases was 25.98 years. The socio-professional groups most affected were schoolchildren (28.29%), farmers (20.39%), and housekeepers (13.16%). The autonomous district of Abidjan, as well as the regions of Loh-Djiboua, Gbêkê, and Haut-Sassandra, had the highest positivity rates. Most infections (90.8%) resulted from third-degree contact (bites), mainly to the upper limbs (46.71%). The spastic form of rabies was predominant (84.87%). None of the positive patients had been vaccinated. Transmission was mainly due to wandering dogs (82.24%). Conclusion: Human rabies remains a major public health issue in Côte d'Ivoire, mainly affecting schoolchildren and mostly located in rural areas. Prevention strategies, including vaccination and controlling wandering animals, are crucial.

OL.123

Perception de la substitution médicamenteuse dans un contexte de couverture maladie universelle : cas d'une communauté urbaine de Yopougon, Côte d'Ivoire

Perception of drug substitution in the context of universal health coverage: evidence from an urban community in Yopougon, Côte d'Ivoire

Akissi Régine Attia Konan[1], attiaregci@gmail.com ; Kouamé Koffi[2]; Jérôme Kouamé[1]; Kouakou Yaki Modeste Yao[2]; Julie Ghislaine Sackou Kouakou[1]

[1] Institut National de Santé Publique, Université Félix Houphouët Boigny, Côte d'Ivoire

[2] Université Félix Houphouët Boigny, Côte d'Ivoire

Résumé

Introduction
La substitution médicamenteuse s'inscrit dans une logique de maîtrise des dépenses de santé et constitue ainsi un outil central de régulation des dépenses de l'assurance maladie. Cependant, il peut exister des résistances à cette substitution auprès des patients. Ce travail a pour objectif de décrire la perception des patients sur la substitution.
Méthodes
Une enquête transversale a été réalisée dans les officines de pharmacie de la commune de Yopougon, ville d'Abidjan d'avril à mai 2024. A partir d'un échantillonnage aléatoire, 25 patients ont été inclus dans chacune des 17 pharmacies tirées au sort. Une échelle de Likert à 5 niveaux a permis de recueillir les différentes perceptions sur les médicaments génériques, la substitution médicamenteuse en cas de maladie aigüe, chronique et douleur. Une régression multinomiale a permis d'identifier les facteurs influençant la perception sur la substitution médicamenteuse.
Résultats
Au total, 425 personnes ont été interrogées avec un âge moyen de 31,97(±8,17- ans, un sex-ratio (F/M) de 1,2. Elles avaient un niveau de scolarisation du supérieur (52%) et la majorité jugeait son état de santé bon (60%). Près de 4 patients sur 10 étaient favorables aux médicaments génériques. Près de 6 sur 10 l'étaient pour la substitution médicamenteuse et respectivement 79,5%, 78,6% et 57,6% en cas de paludisme, douleur et hypertension artérielle. Les hommes (OR=2,04) et les patients du niveau supérieur de scolarisation (OR=3,04) étaient plus favorables à la substitution médicamenteuse quand ceux qui jugeaient l'état de santé bon y étaient moins favorables (OR=0,36).
Conclusion
La substitution médicamenteuse est bien perçue par les patients de la commune de Yopougon bien que son adhésion diminue avec les maladies chroniques. Les caractéristiques sociodémographiques et l'état de santé semble déterminer ces choix. Une éducation thérapeutique des populations sur la substitution médicamenteuse pourrait renforcer la politique de substitution pour une soutenabilité des dépenses pharmaceutiques.

Abstract

Introduction
Drug substitution forms part of a strategy to control healthcare expenditure and is therefore a key instrument for regulating health insurance spending. However, patients may exhibit resistance to such substitution. This study aimed to describe patients' perceptions of drug substitution in an urban setting.
Methods
A cross-sectional survey was conducted in community pharmacies in the municipality of Yopougon, Abidjan, between April and May 2024. Using random sampling, 25 patients were recruited from each of 17 randomly selected pharmacies. Patients' perceptions of generic medicines and drug substitution in the context of acute and chronic diseases, as well as pain management, were assessed using a 5-point Likert scale. Multinomial logistic regression analysis was performed to identify factors associated with perceptions of drug substitution.
Results
A total of 425 participants were included in the study. The mean age was 31.97 ± 8.17 years, with a

female-to-male ratio of 1.2. More than half of the respondents had a higher education level (52%), and the majority reported good self-perceived health (60%). Approximately 40% of participants expressed a favorable opinion of generic medicines, while nearly 60% were in favor of drug substitution. Acceptance of substitution varied by clinical condition, with favorable perceptions reported for malaria (79.5%), pain (78.6%), and hypertension (57.6%). Male participants (OR = 2.04) and those with higher education levels (OR = 3.04) were significantly more likely to favor drug substitution, whereas participants who perceived their health as good were less likely to support substitution (OR = 0.36).

Conclusion

Drug substitution is well perceived by patients in the municipality of Yopougon; however, acceptance decreases with chronic diseases. Sociodemographic characteristics and self-perceived health status appear to influence patients' attitudes toward substitution. Strengthening therapeutic education on drug substitution may enhance public acceptance and support policies aimed at ensuring the sustainability of Pharmaceutical expenditures.

OL.124

Perceptions de la sexualité, influences socioculturelles et obstacles à la prévention des comportements sexuel à risque chez les adolescents et jeunes adultes en Côte d'Ivoire

Perceptions of sexuality, sociocultural influences and barriers to the prevention of risky sexual behaviour among adolescents and young adults in Côte d'Ivoire

Kouamé Mathias N'dri[1], ndri_kmat@yahoo.fr ; Yao Eugène konan[2]; N'cho Simplice Dagnan[2]

[1] Université Félix Houphouët-Boigny, Institut Pasteur de Côte d'Ivoire

[2] Université Félix Houphouët-Boigny

Résumé

Les adolescents et jeunes adultes (AJA) en Côte d'Ivoire demeurent fortement exposés aux IST, au VIH et aux grossesses non désirées en raison de comportements sexuels à risque. Cette étude analyse leurs perceptions de la sexualité, les influences socioculturelles qui orientent leurs pratiques et les obstacles limitant leur accès à une éducation sexuelle adéquate.
Méthodes
Quarante-quatre entretiens semi-directifs ont été réalisés en milieu urbain et rural auprès de 32 AJAs âgés de 15 à 24 ans, 8 parents et 4 professionnels de la santé. Les données enregistrées puis transcrites ont été analysées thématiquement à l'aide d'un codage inductif et déductif.
Résultats
Les résultats indiquent que, pour les AJAs, la sexualité représente un besoin naturel et une source de plaisir, mais leurs connaissances des comportements sexuels à risques et des IST restent limitées et souvent erronées. Les normes de genre influencent fortement les comportements : les garçons jouissent d'une plus grande liberté, tandis que les filles subissent une pression sociale et des conséquences plus lourdes, comme la déscolarisation liée à une grossesse. La dépendance économique réduit leur capacité à négocier la protection. Les pairs et les réseaux sociaux jouent aussi un rôle majeur dans l'adoption de pratiques à risque. Les normes communautaires et religieuses empreint de tabou, l'absente d'une communication ouverte entre parents et enfant sur la sexualité, freinent l'adoption de pratiques sexuelles protectrices. Les obstacles institutionnels incluent le manque d'information, la peur du jugement, l'éloignement des services et l'insuffisance des ressources.
Conclusion
Cette étude montre l'importance d'une éducation sexuelle adaptée et sensible au genre, impliquant familles et communautés, ainsi que l'amélioration de l'accès aux services pour réduire les comportements sexuels à risque.

Abstract

Introduction
Adolescents and young adults (AYA) in Côte d'Ivoire remain highly vulnerable to STIs, HIV and unwanted pregnancies due to risky sexual behaviour. This study analyses their perceptions of sexuality, the socio-cultural influences that guide their practices and the barriers limiting their access to adequate sex education.
Methods
Forty-four semi-structured interviews were conducted in urban and rural areas with 32 AYAs aged 15 to 24, 8 parents, and 4 health professionals. The recorded and transcribed data were analysed thematically using inductive and deductive coding.
Results
The results indicate that, for AJAs, sexuality is a natural need and a source of pleasure, but their knowledge of risky sexual behaviour and STIs remains limited and often inaccurate. Gender norms strongly influence behaviour: boys enjoy greater freedom, while girls face social pressure and more severe consequences, such as dropping out of school due to pregnancy. Economic dependence reduces their ability to negotiate protection. Peers and social networks also play a major role in the adoption of

risky practices. Community and religious norms steeped in taboo, and the lack of open communication between parents and children about sexuality, hinder the adoption of protective sexual practices. Institutional barriers include lack of information, fear of judgement, distance from services and insufficient resources.

Conclusion

This study highlights the importance of appropriate, gender-sensitive sex education involving families and communities, as well as improved access to services, in order to reduce risky sexual behaviour.

OL.125

Perceptions et comportements associés aux risques sanitaires relatifs aux moustiques chez les communautés rurales de la région du Poro en Côte d'Ivoire

Perceptions and behaviors associated with health risks related to mosquitoes among rural communities in the Poro region of Côte d'Ivoire

Wonna Lacina SORO[1], sorowonnalacina08@gmail.com ; Ablan Anne-Marie ETTIEN[2]; Gilbert FOKOU[3]

[1] Université Peleforo Gon Coulibaly de Korhogo / Centre Suisse de Recherches Scientifiques en Côte d'Ivoire

[2] Université Peleforo Gon Coulibaly de Korhogo

[3] Centre Suisse de Recherches Scientifiques en Côte d'Ivoire

Résumé

Face aux moustiques, scientifiquement perçus comme facteurs de maladies et de nuisances, certaines communautés adoptent pourtant des comportements problématiques. La moustiquaire imprégnée, jusque-là considérée comme l'un des moyens les plus efficaces contre l'agressivité des moustiques, connait une utilisation discontinue et différenciée chez les communautés rurales de la région du Poro. Discontinue, parce que son utilisation ne couvre pas les moments de chaleur ; et différenciée, parce qu'elle est utilisée comme clôture de protection des volailles et des jardins potagers, mais aussi comme outil de ramassage du coton. Cette communication s'intéresse aux déterminants des perceptions et des comportements de ces communautés rurales face aux risques sanitaires associés aux moustiques. Pour y parvenir, elle s'appuie sur des données qualitatives collectées auprès de jeunes et d'adultes des deux sexes et analphabètes, données collectées dans le cadre d'une étude de base portant sur l'évaluation de l'acceptabilité sociale de la moustiquaire-piège, un nouvel outil de lutte antivectorielle en cours de développement. Par le biais d'un corpus qualitatif issu de 16 focus groupes de discussion et d'observations directes réalisés dans quatre villages de la région, il résulte que les perceptions et les comportements des communautés sont liés aux ressources dont elles disposent pour réagir efficacement aux risques sanitaires, à la catégorisation sociale de ces risques, et au dispositif d'intéressement mis en place par les autorités administratives. Ainsi, la communication conclut que les perceptions et les comportements sont construits à partir de la nature perçue des risques sanitaires, du capital réactif des communautés face à ces risques et de la nature des relations entre administration et communautés dans la gestion de ces risques.

Abstract

Faced with mosquitoes, scientifically recognized as factors of diseases and nuisances, some communities nevertheless adopt problematic behaviors. The insecticide-treated net, until now considered one of the most effective means against mosquito aggressiveness, is used inconsistently and in varied ways among rural communities in the Poro region. Inconsistent, because its use does not cover the hottest times; and varied, because it is used as a protective barrier for poultry and vegetable gardens, but also as a tool for collecting cotton. This paper focuses on the determinants of perceptions and behaviors of these rural communities regarding health risks associated with mosquitoes. To do so, it relies on qualitative data collected from young people and adults of both sexes who are illiterate, data gathered as part of a baseline study assessing the social acceptability of the mosquito trap net, a new vector control tool currently under development. Through a qualitative corpus derived from 16 focus group discussions and direct observations conducted in four villages in the region, it appears that the perceptions and behaviors of communities are linked to the resources they have to effectively respond to health risks, the social categorization of these risks, and the incentive system established by administrative authorities. Thus, the paper concludes that perceptions and behaviors are shaped by the perceived nature of health risks, the communities' reactive capacity in the face of these risks, and the nature of the relationships between the administration and communities in managing these risks.

OL.126

Plantes antimicrobiennes et résistance bactérienne : état des lieux et perspectives durables.

Antimicrobial Plants and Bacterial Resistance: Current Status and Sustainable Perspectives

Issialou Alamou KOUDORO[1], issiakou2000@gmail.com ; Gnimansou Abraham FAVI[2]; Gbèwonmèdéa Hospice DASSOU[2]; Cossi Aristide ADOMOU[2]

[1] Laboratoire des Sciences du Végétal et Pharmacopée Ecole Doctorale des Sciences de la Vie et de la Terre, Université d'Abomey-Calavi (UAC), Benin.

[2] Bénin

Résumé

La résistance bactérienne représente aujourd'hui un défi majeur pour la santé publique mondiale avec une mortalité estimée à 700 000 décès par an et des projections atteignant 10 millions d'ici 2050. L'Afrique de l'Ouest est fortement touchée avec 100 décès pour 100 mille habitants. Cette recrudescence est aggravée par les changements climatiques, les pollutions environnementales qui offrent un milieu de croissance favorables aux bactéries pathogènes. L'efficacité des antibiotiques se trouve compromise, et leurs effets secondaires conduisent progressivement à leur retrait du marché.
En réponse à cette problématique, de nombreuses études ont évalué l'efficacité des extraits végétaux, sans qu'une synthèse globale actualisée ne soit proposée à ce jour, notamment en ce qui concerne les perspectives de conservation et de gestion durable de ces ressources.
Cette revue systématique, conduite selon la méthode PRISMA à l'échelle mondiale, compile les résultats majeurs issus de la littérature sur les plantes antimicrobiennes. Les résultats obtenus montrent que les extraits végétaux présentent des propriétés antimicrobiennes capables d'inhiber les mécanismes de résistance bactérienne et d'ouvrir la voie à la découverte de nouvelles molécules actives.
Bien que de nombreuses données pharmacologiques aient été collectées, les études menées en Afrique de l'Ouest demeurent rares. Cette revue souligne par ailleurs des insuffisances majeures liées aux dimensions écologiques, à l'évaluation de la toxicité chronique, aux effets indésirables ainsi qu'aux modalités de conservation. Ces limites constituent des freins à une intégration durable et sécurisée des plantes antimicrobiennes dans les systèmes de santé, d'où la nécessité de considérer ces aspects dans les travaux et publications à venir.

Abstract

Bacterial resistance is now a major challenge for global public health, with an estimated 700,000 deaths per year and projections reaching 10 million by 2050. West Africa is severely affected with 100 deaths per 100,000 inhabitants. This resurgence is exacerbated by climate change and environmental pollution, which provide a favorable growth environment for pathogenic bacteria. The effectiveness of antibiotics is compromised, and their side effects are gradually leading to their withdrawal from the market. In response to this problem, numerous studies have evaluated the effectiveness of plant extracts, but no comprehensive, up-to-date summary has been proposed to date, particularly with regard to the prospects for conservation and sustainable management of these resources. This systematic review, conducted according to the PRISMA method on a global scale, compiles the major results from the literature on antimicrobial plants.
The results obtained show that plant extracts have antimicrobial properties capable of inhibiting bacterial resistance mechanisms and paving the way for the discovery of new active molecules. Although a great deal of pharmacological data has been collected, studies conducted in West Africa remain rare.
This review also highlights major shortcomings related to ecological dimensions, chronic toxicity assessment, adverse effects, and storage conditions. These limitations hinder the sustainable and safe integration of antimicrobial plants into healthcare systems, hence the need to consider these aspects in future work and publications.

OL.127

Politique humaniste de l’économie de la santé pour une couverture sanitaire universelle en Afrique à la lumière de Béatrice Majnoni

A Humanistic Health Economics Policy for Universal Health Coverage in Africa in Light of Béatrice Majnoni’s Thought

Awa Timité, awatimite2@gmail.com

Philosophie, Bioéthique (Economie de la santé) Université Alassane Ouattara (Côte d'Ivoire)

Résumé

Politique humaniste de l’économie de la santé pour une couverture sanitaire universelle en Afrique à la lumière de Béatrice Majnoni

TIMITÉ Awa
Docteur en Philosophie
awatimite2@gmail.com
Résumé :
À partir de la source lumineuse de la réflexion de Béatrice Majnoni sur le bien-fondé de l’humanisation des politiques sanitaires, notre analyse se pose au cœur des politiques de couverture universelle de santé en Afrique comme une stratégie de réussite de ces initiatives africaines grande portée. Dans un contexte africain marqué par des crises sanitaires récurrentes, des inégalités d’accès aux soins et une pression croissante sur les systèmes de santé et d’une réelle paupérisation, l’approche utilitariste de l’économie de la santé montre ses limites. À travers une méthodologie mixte combinant des méthodes analytique, critique et comparative des politiques de santé en Afrique, nous voulons démontrer que l’économie de la santé ne peut être réduite à une logique de coûts et de rentabilité. Elle doit intégrer des principes de dignité, de justice sociale et de solidarité. Cette réflexion se veut une contribution axiologique et opérationnelle au profit d’une politique sanitaire humanitaire, qui se nourrit aux sources de la réflexion philosophique et bioéthique et de l’idéologie des droits de l’homme.
Mots clés : Bioéthique, couverture sanitaire, dignité, droits de l’homme, économie de la santé, équité, politiques publiques.

Abstract

A Humanistic Health Economics Policy for Universal Health Coverage in Africa in Light of Béatrice Majnoni’s Thought

TIMITÉ Awa, PhD in Philosophy
awatimite2@gmail.com

Abstract:
Drawing from the illuminating insights of Béatrice Majnoni on the importance of humanizing health policies, this analysis positions itself at the heart of universal health coverage strategies in Africa as a pathway to the success of these far-reaching initiatives. In an African context marked by recurrent health crises, unequal access to care, increasing pressure on health systems, and widespread impoverishment, the utilitarian approach to health economics reveals its limitations. Through a mixed methodology combining analytical, critical, and comparative approaches to health policies in Africa, we aim to demonstrate that health economics cannot be reduced to a logic of cost-efficiency and profitability. It must instead incorporate principles of dignity, social justice, and solidarity. This reflection offers both axiological and operational contributions in support of a humanitarian health policy rooted in philosophical and bioethical thought and the ideology of human rights.

Keywords: Bioethics, health coverage, dignity, human rights, health economics, equity, public policy.

OL.128

Polymorphismes des promoteurs des gènes des métalloprotéinases matricielles (MMP) dans le cancer du col de l'utérus

Polymorphisms in the promoters of matrix metalloproteinase (MMP) genes in cervical cancer

Ina Marie Angèle TRAORE, belima08@yahoo.fr

CNRST

Résumé

Les métalloprotéinases matricielles (MMP) constituent une famille d'enzymes jouant un rôle clé dans divers processus physiologiques et pathologiques. Des variations génétiques situées dans les promoteurs de certains gènes MMP, notamment MMP1 (-1607) et MMP3 (-1171), modulent leur transcription et leur expression. Plusieurs travaux ont déjà suggéré une association entre ces polymorphismes et la progression tumorale, incluant métastases et récidives. L'objectif de cette étude d'évaluer les différences de niveau de transcription des polymorphismes des gènes MMP1 et MMP3 dans les cas de cancers du col de l'utérus (CCU) au Burkina Faso

L'étude a concerné 92 patientes atteintes de cancer du col de l'utérus (CCU), confirmées histologiquement. Chez ces patientes, les génotypes des gènes MMP1 et MMP3 ont été déterminés par PCR classique, suivie d'une visualisation sur gel d'agarose. L'expression des transcrits a ensuite été quantifiée par PCR en temps réel afin d'évaluer l'impact des polymorphismes sur l'activité transcriptionnelle.

Les résultats montrent que les allèles 2G (MMP1) et 5A (MMP3) étaient les plus fréquents dans la population d'étude. L'analyse des haplotypes a révélé une forte association entre ces deux types d'allèles, suggérant une interaction synergique dans le développement du CCU. Par ailleurs, la présence des allèles 2G et 5A était corrélée à une augmentation significative du niveau de transcription des gènes correspondants. Cette surexpression pourrait se traduire par une activité enzymatique accrue, favorisant la dégradation de la matrice extracellulaire et contribuant ainsi à l'invasion et à la progression tumorale.

En conclusion, nos données mettent en évidence le rôle potentiel des polymorphismes MMP1 et MMP3 dans la carcinogenèse cervicale.

Abstract

Matrix metalloproteinases (MMPs) are a family of enzymes that play a key role in various physiological and pathological processes. Genetic variations located in the promoters of certain MMP genes, notably MMP1 (-1607) and MMP3 (-1171), modulate their transcription and expression. Several studies have already suggested an association between these polymorphisms and tumor progression, including metastasis and recurrence. The objective of this study was to evaluate differences in the transcription levels of MMP1 and MMP3 gene polymorphisms in cases of cervical cancer (CC) in Burkina Faso.

The study involved 92 patients with histologically confirmed cervical cancer (CC). In these patients, the genotypes of the MMP1 and MMP3 genes were determined by conventional PCR, followed by visualization on agarose gel. Transcript expression was then quantified by real-time PCR to assess the impact of polymorphisms on transcriptional activity.

The results show that alleles 2G (MMP1) and 5A (MMP3) were the most common in the study population. Haplotype analysis revealed a strong association between these two allele types, suggesting a synergistic interaction in the development of CCU. Furthermore, the presence of the 2G and 5A alleles was correlated with a significant increase in the transcription level of the corresponding genes.

This overexpression could result in increased enzyme activity, promoting the degradation of the extracellular matrix and thus contributing to tumor invasion and progression. In conclusion, our data highlight the potential role of MMP1 and MMP3 polymorphisms in cervical carcinogenesis.

OL.129

Portage digestif de bactéries multirésistantes chez les patients à l'admission dans deux services de réanimation d'Abidjan, Côte d'Ivoire

Digestive Carriage of Multidrug-Resistant Bacteria in Patients at Admission to Two Intensive Care Units in Abidjan, Côte d'Ivoire

Kouadio Stéphane KOFFI[1], koffi.ks@gmail.com ; Avolah Flora AHONZO[2]; Marie Pascale TETTY[2]; Longodjoh Estelle SILUE[2]; Yikpé Denis AYE[3]; Narcisse BOUA[4]

[1] UFR Sciences Médicales, Université Félix Houphouët-Boigny, Abidjan, Côte d'Ivoire ; Laboratoire de Bactériologie – Virologie, CHU de Treichville

[2] Laboratoire de Bactériologie – Virologie, CHU de Treichville

[3] UFR Sciences Médicales, Université Félix Houphouët-Boigny, Abidjan, Côte d'Ivoire ; Service de Réanimation, CHU d'Angré

[4] UFR Sciences Médicales, Université Félix Houphouët-Boigny, Abidjan, Côte d'Ivoire ; Service de Réanimation, CHU de Treichville

Résumé

Contexte
Les bactéries multirésistantes (BMR) représentent un enjeu majeur de santé publique, notamment en raison de leur rôle dans les infections associées aux soins (IAS), particulièrement en réanimation. La question de leur origine à l'admission en réanimation reste cruciale. Sont-elles acquises en amont ou sélectionnées sur place ? Répondre à cette question est essentiel pour orienter les stratégies de prévention d'où l'intérêt de cette étude dont l'objectif était d'évaluer la prévalence du portage digestif de BMR chez les patients à l'admission et de décrire les profils bactériens rencontrés.
Matériel et méthodes
Cette étude transversale a été menée dans les services de réanimation des CHU de Treichville et d'Angré de novembre 2024 à août 2025 sur les patients admis dans lesdits services. Des écouvillons rectaux étaient prélevés dans les 24 premières heures d'admission et analysés au laboratoire de Bactériologie – Virologie du CHU de Treichville. Les BMR étaient isolées sur des milieux sélectifs et identifiées par les méthodes conventionnelles et le MALDI-TOF. Les bactéries recherchées incluaient les entérobactéries productrices de BLSE (EBLSE) ou de carbapénémases (EPC), Pseudomonas aeruginosa résistant à la ceftazidime ou aux carbapénèmes, Acinetobacter baumannii résistant à l'imipénème, Staphylococcus aureus résistant à la méticilline (SARM) et les entérocoques résistants à la vancomycine.
Résultats
Chez les 74 patients inclus (âge moyen de 46,0 ± 23,0 ans, sex ratio 0,85), une antibiothérapie préalable était notée dans 44,6 % des cas. Le taux de portage digestif de BMR était de 62,2 %. Les bacilles Gram négatif prédominaient (84,4 %), notamment Klebsiella pneumoniae et Escherichia coli (31,3 % respectivement). Les BMR les plus fréquentes étaient les EPC suivis des EBLSE représentant 42,2 % et 35,9% respectivement. Les SARM représentaient 14,1 % de l'ensemble des souches.
Conclusion
Ces résultats montrent un niveau préoccupant de portage digestif des BMR dès l'admission en réanimation, soulignant l'intérêt du dépistage systématique et de mesures d'isolement préventives.

Abstract

Background
Multidrug-resistant bacteria (MDRB) represent a major public health challenge, particularly due to their involvement in healthcare-associated infections (HAIs), especially in intensive care units (ICUs). The question of their origin at ICU admission remains critical: are these bacteria acquired prior to admission or selected within the ICU? Addressing this issue is essential for guiding prevention strategies, which underlies the rationale for this study. The objective was to assess the prevalence of digestive tract carriage of MDRB at ICU admission and to describe the bacterial profiles encountered.
Materials and Methods

This cross-sectional study was conducted in the ICUs of Treichville and Angré University Hospitals from November 2024 to August 2025 among patients admitted to these units. Rectal swabs were collected within the first 24 hours of admission and analysed at the Bacteriology–Virology Laboratory of Treichville University Hospital. MDRB were isolated on selective media and identified using conventional methods and MALDI-TOF mass spectrometry. Targeted bacteria included extended-spectrum β-lactamase–producing Enterobacteriaceae (ESBL-E) and carbapenemase-producing Enterobacteriaceae (CPE), Pseudomonas aeruginosa resistant to ceftazidime or carbapenems, Acinetobacter baumannii resistant to imipenem, methicillin-resistant Staphylococcus aureus (MRSA), and vancomycin-resistant Enterococcus spp (VRE).

Results

Among the 74 included patients (mean age 46.0 ± 23.0 years; sex ratio 0.85), prior antibiotic exposure was documented in 44.6% of cases. The prevalence of digestive carriage of MDRB was 62.2%. Gram-negative bacilli predominated (84.4%), with Klebsiella pneumoniae and Escherichia coli each accounting for 31.3% of isolates. The most frequently identified MDRB were CPE, followed by ESBL-E, representing 42.2% and 35.9% of isolates, respectively. MRSA accounted for 14.1% of all strains.

Conclusion

These findings reveal a concerning level of digestive carriage of MDRB at ICU admission, highlighting the importance of systematic screening and the implementation of preventive isolation measures.

OL.130

Pouvoir antimicrobien d'extraits de Adansonia digitata, de Ocimum gratissimum, de Momordica charantia et de Crateva adansonii sur les souches bactériennes multirésistantes isolées de plaies chroniques à Ouinhi (Bénin)

Antimicrobial activity of extracts from Adansonia digitata, Ocimum gratissimum, Momordica charantia, and Crateva adansonii against multidrug-resistant bacterial strains isolated from chronic wounds in Ouinhi (Benin).

Dagbédji Damien TOFFA[1], dagbedjidamientofffa@gmail.com ; Roddyca Juliana DAHOU[2]; Brifelle Mètogbé Aline TENTE[2]; Zinsou Franck MIGNANWANDE[1]; Roch Christian JOHNSON[1]

[1] 1Centre Interfacultaire de Formation et de Recherche en Environnement pour le développement Durable, Université d'Abomey-Calavi, Benin

[2] Ecole Doctorale des Sciences de la Vie et de la Terre, Université d'Abomey-Calavi, Benin

Résumé

Face au défi thérapeutique posé par les infections de plaies chroniques, la présente étude vise à évaluer et comparer le potentiel antimicrobien d'extraits de quatre plantes médicinales – Adansonia digitata L., Ocimum gratissimum, Momordica charantia et Crateva adansonii – en combinaison avec des antibiotiques conventionnels, sur des souches isolées dans la Commune de Ouinhi (Bénin).
La méthodologie adoptée a associé des techniques de microbiologie classique et de biologie moléculaire : identification bactérienne et antibiogramme par diffusion sur milieu solide, détection par PCR des gènes majeurs de résistance aux bêta-lactamines (blaTEM, blaSHV, blaOXA-1, blaCTXM-15) et aux autres familles (ermB, mecA), détermination des Concentrations Minimales Inhibitrices (CMI) par microdilution, et évaluation des interactions par le calcul de l'indice de Concentration Fractionnaire Inhibitrice (CFI).
Les résultats ont révélé une prédominance de Escherichia coli (53 %) et de Staphylococcus aureus (47 %), toutes les souches présentant une résistance aux antibiotiques testés. Le gène blaTEM a été détecté chez la totalité des souches d'E. coli, tandis que le gène blaOXA-1 like n'a été identifié que chez 22 % d'entre elles. Les indices CFI, compris entre 0,000624 et 0,32, ont mis en évidence un effet synergique significatif pour l'ensemble des combinaisons plantes-antibiotiques évaluées.
Ces résultats valident scientifiquement l'intérêt thérapeutique de l'utilisation adjuvante de ces espèces végétales, ouvrant ainsi une piste prometteuse pour le développement de stratégies complémentaires contre les infections multirésistantes des plaies chroniques.

Abstract

Faced with the therapeutic challenge posed by chronic wound infections, this study aims to evaluate and compare the antimicrobial potential of extracts from four medicinal plants—Adansonia digitata L., Ocimum gratissimum, Momordica charantia, and Crateva adansonii—in combination with conventional antibiotics on strains isolated in the municipality of Ouinhi (Benin).
The methodology adopted combined classical microbiology and molecular biology techniques: bacterial identification and antibiogram by diffusion on solid medium, PCR detection of major beta-lactam resistance genes (blaTEM, blaSHV, blaOXA-1, blaCTXM-15) and other families (ermB, mecA), determination of Minimum Inhibitory Concentrations (MIC) by microdilution, and evaluation of interactions by calculating the Fractional Inhibitory Concentration (FIC) index.
The results revealed a predominance of Escherichia coli (53%) and Staphylococcus aureus (47%), with all strains showing resistance to the antibiotics tested. The blaTEM gene was detected in all E. coli strains, while the blaOXA-1-like gene was identified in only 22% of them. The CFI indices, ranging from 0.000624 to 0.32, showed a significant synergistic effect for all of the plant-antibiotic combinations evaluated.
These results scientifically validate the therapeutic value of using these plant species as adjuvants, opening up a promising avenue for the development of complementary strategies against multi-resistant infections in chronic wounds.

OL.131

Pratiques phytothérapeutiques dans la prise en charge de l'infertilité humaine au Bénin: entre enjeux et solutions durables pour le bien être sanitaire

Phytotherapy Practices in the Management of Human Infertility in Benin: Between Challenges and Sustainable Solutions for Health Well-Being

Rafath ALIASSOU[1], rafathaliassou16@gmail.com ; Danh Annick N'GUESSAN[1]; Agnès Oladoun BADOU SAVI[2]; Charles Lambert BABADJIDE[3]

[1] Université d'Abomey-Calavi

[2] Faculté des sciences de la santé (FSS), Laboratoire d'Études et de Recherches sur les Dynamiques Sociales et le Développement Local (LASDEL), Université d'Abomey-Calavi

[3] Laboratoire d'Anthropologie et de Sociologie de la Dynamique Environnementale Éducationnelle, Rurale et du Genre (LASDEERG), Université d'Abomey-Calavi

Résumé

En Afrique, en complément des soins médicaux, il existe des pratiques médicinales de guérison. La présente recherche vise à analyser les représentations sociales autour de l'infertilité, des pratiques phytothérapeutiques qui sous-tendent une telle orientation pour une solution durable sanitaire. De nature qualitative, les recherches ont été faites grâce à des entretiens, à la recherche documentaire et à l'observation. Les outils appropriés à chaque technique ont permis de collecter les données auprès de 65 personnes par saturation et ont été analysées par le modèle d'interaction symbolique Herbert Blumer (1973). De l'analyse des résultats obtenus, l'on retient que les perceptions autour de l'infertilité et des pratiques médicinales sont perçues différemment par les acteurs. On note également que les histoires sociales et les vécus des acteurs favorisent le recours aux plantes médicinales pour résoudre le problème d'infertilité dans les foyers. Le dysfonctionnement du système de soins médicaux, malgré les efforts fournis par les autorités étatiques, contraint certaines personnes infertiles à s'orienter vers le traitement à base de plantes médicinales. Enfin, la prise en compte des pratiques médicinales dans le traitement de l'infertilité humaine et son intégration dans le système de soins nationaux dépendent de la politique sanitaire au Bénin.

Abstract

In Africa, alongside medical care, there are medicinal healing practices. The present research aims to analyze social representations surrounding infertility and the phytotherapeutic practices that underlie such an approach as a sustainable health solution. Of a qualitative nature, the research was conducted through interviews, documentary research, and observation. The tools appropriate to each technique allowed data to be collected from 65 people through saturation and were analyzed using Herbert Blumer's (1973) symbolic interaction model. From the analysis of the results obtained, it can be concluded that perceptions of infertility and medicinal practices are viewed differently by the stakeholders. It is also noted that the social histories and experiences of the stakeholders encourage the use of medicinal plants to address infertility issues in households. The dysfunction of the medical care system, despite the efforts made by state authorities, forces some infertile individuals to turn to treatments based on medicinal plants. Finally, the consideration of medicinal practices in the treatment of human infertility and their integration into the national healthcare system depend on health policy in Benin.

OL.132

Prévalence de l’infection a Toxoplasma gondii chez les porcs et les phacochères au senegal

Prévalence of Toxoplasma gondii infection in pigs and wild boars in senegal

Kacou Martial N'DA[1], ndakacoumartial@gmail.com ; Oubri Bassa GBATI[1]

[1] Ecole Inter-Etats des Sciences et Médecine Vétérinaire de Dakar

Résumé

La toxoplasmose est une zoonose avec une importance majeure en santé publique. Pour en savoir plus sur cette maladie au Sénégal, cette étude a été mise en œuvre pour déterminer la prévalence de l’infection à Toxoplasma gondii chez les porcs et les phacochères dans les régions de Saint-Louis et de Ziguinchor. Pour ce faire, des prélèvements de viande desdites espèces ont été effectués dans les zones de l’étude afin d’en récolter leurs jus pour effectuer des analyses ELISA. Au, total 419 prélèvements musculaires de porcs ont été effectués. Chez les phacochères, 83 prélèvements musculaires ont été effectués uniquement dans la Région de Saint-Louis. Les jus de viande ont été soumis à un test ELISA afin de détecter les anticorps spécifiques contre Toxoplasma gondii. Au terme de l’étude la prévalence globale de l’infection à Toxoplasma gondii chez les porcs était de 55,4 % (IC à 95 % : 50,6 % - 60,1 %). Selon la région, la prévalence de l’infection à Toxoplasma gondii a été de 30,85 % (IC à 95 % : 24,5 % à 37,2 %) à Saint-Louis et de 77,9 % (IC à 95 % : 72,5 % - 83,5 %) à Ziguinchor avec une variation significative. Par rapport au sexe des animaux, nous avons noté une prévalence de 69,1 % (IC à 95 % : 61,7 % - 76,3 %) chez les mâles contre 49,6 % (IC à 95 % : 41,6 % - 53,6 %) chez les femelles avec une variation non-significative. En ce qui concerne les phacochères, la prévalence a été de 7,2 % et les infections ont été notées uniquement chez les mâles. La circulation de Toxoplasma gondii dans la viande de porc et de phacochère a été confirmée. L'existence du parasite dans le muscle indique qu'il y a possibilité de transmission à l'homme.

Abstract

Toxoplasmosis is a zoonosis with major public health implications. To learn more about this disease in Senegal, this study was conducted to determine the prevalence of Toxoplasma gondii infection in pigs and warthogs in the Saint-Louis and Ziguinchor regions. To do this, meat samples were taken from these species in the study areas in order to collect their juices for ELISA analysis. A total of 419 muscle samples were taken from pigs. In warthogs, 83 muscle samples were taken in the Saint-Louis region alone. The meat juices were subjected to an ELISA test to detect specific antibodies against Toxoplasma gondii. At the end of the study, the overall prevalence of Toxoplasma gondii infection in pigs was 55.4% (95% CI: 50.6% - 60.1%). Depending on the region, the prevalence of Toxoplasma gondii infection was 30.85% (95% CI: 24.5% to 37.2%) in Saint-Louis and 77.9% (95% CI: 72.5% to 83.5%) in Ziguinchor, with significant variation. In terms of animal sex, we noted a prevalence of 69.1% (95% CI: 61.7%–76.3%) in males compared to 49.6% (95% CI: 41.6%–53.6%) in females, with no significant variation. For warthogs, the prevalence was 7.2%, with infections noted only in males.
The circulation of Toxoplasma gondii in pork and warthog meat has been confirmed. The presence of the parasite in muscle tissue indicates that transmission to humans is possible.

OL.133

Prévalence de l'infection par le virus de l'hépatite B et facteurs associés chez les étudiants résidant sur un campus universitaire du sud-est du Gabon

Prevalence of hepatitis B virus infection and associated factors among students residing on a university campus in southeastern Gabon

Augustin MOUINGA ONDEME[1], ondeme@yahoo.fr ; Moussa Yaro[1]; Guy-Roger Ndong-Atome[2]; Madeleine Meba[2]; Neil Michel Longo-Pendy[3]; Roseanne Mounanga-Mourimarodi[1]

[1] Unité des Infections Rétrovirales et Pathologies Associées, Département de Virologie, Centre Interdisciplinaire de Recherches Médicales de Franceville, Franceville, Gabon

[2] Département de Biochimie, Université des Sciences et Techniques de Masuku, Franceville, Gabon

[3] Unité de Recherche en Ecologie de la Sante, Centre Interdisciplinaire de Recherches Médicales de Franceville, Franceville, Gabon

Résumé

Introduction.
L'infection par le virus de l'hépatite B (VHB) demeure un problème majeur de santé publique en Afrique subsaharienne. Toutefois, son impact au sein de la population estudiantine gabonaise est peu documentée. La présente étude vise à estimer la prévalence du VHB et à identifier les facteurs associés à l'exposition et au portage viral chez des étudiants en milieu universitaire.

Méthodes.
Nous avons conduit une étude transversale, de mars à juillet 2023, auprès des étudiants au sud-est du Gabon. Après information et consentement éclairé, les participants ont rempli un questionnaire standardisé suivi d'un prélèvement sanguin. L'AgHBs et les anticorps anti-HBc ont été détectés à l'aide des tests Monolisa™ HBsAg ULTRA et Monolisa™ Anti-HBc PLUS (Bio-Rad). Chez les sujets AgHBs positifs, l'ADN viral a été extrait avec le kit DNeasy® Blood and Tissue (QIAGEN) et la charge virale du VHB a été quantifiée avec le kit GENERIC CHARGE VIRALE HBV, (Bocentric). Les analyses statistiques ont été réalisées avec le logiciel R.

Résultats.
Au total, 462 étudiants âgés majoritairement de moins de 25 ans (50,9 %) ont été inclus, avec une prédominance masculine (70,8 %). La prévalence de l'AgHBs était de 5,6 % contre 39,8 % pour les anticorps anti-HBc. Parmi les particpants AgHBs positifs, 50 % présentaient une charge virale détectable. L'utilisation du préservatif était associée au portage de l'AgHBs ($p = 0,04$). La présence d'anticorps anti-HBc était associée au sexe masculin ($p = 0,0001$), à l'âge plus avancé ($p = 0,009$), à la consommation fréquente d'alcool ($p = 0,008$) et aux antécédents familiaux de VHB ($p = 0,002$).

Conclusion.
Cette étude révèle une exposition élevée et une prévalence intermédiaire du VHB en milieu universitaire, justifiant la nécessité de renforcer le dépistage et de la prévention ciblée chez les étudiants.

Abstract

Background
Hepatitis B virus (HBV) infection remains a major public health problem in sub-Saharan Africa. However, its impact among Gabonese students has been little documented. This study aims to determine HBV prevalence and associated factors of infections within a student population in the Southeastern part of Gabon.

Methods
A university-based cross-sectional study was conducted among Gabonese students from March to July

2023. Laboratory assessment of HBV-markers was done to estimate infection status of on-campus students. Furthermore, chi-squared and multivariate logistic regression analyses were performed to determine association between variables.

Results
A total of 462 students, most of whom were under 25 years of age (50.9%), were included, with a predominance of males (70.8%). The prevalence of HBsAg was 5.6% comparatively to 39.8% for anti-HBc antibodies. Among HBsAg-positive participants, 50% had a detectable viral load. Several factors were associated with having Anti-HBc markers, whereas the use of condom was determinant in acquiring HBsAg-markers. The odds of having contact with HBsAg-markers were significant with regular alcohol consumption. While the odds of having Anti-HBc-markers were significantly increased in older students, in those sharing shaped materials, and even higher in those having HBV-family history.

Conclusion
This screening effort demonstrated that HBV is circulating among Gabonese students and highlighted possible associated factors. Preventive measures should be elaborated including mass screening to identify and treat HBV-carriers, raising awareness on the necessity of adopting safe behaviors and lifestyles among other learners and young adults living on- and off-campus.

OL.134

Prévalence des Klebsiella pneumoniae hypervirulentes chez les femmes souffrant d'une infection urinaire à Libreville, au Gabon.

Prevalence of hypervirulent Klebsiella pneumoniae in women with urinary tract infection in Libreville, Gabon.

Jean Fabrice YALA[1], yalajeanfabrice@gmail.com ; Evrard MAYOMBO NGOUSSOU[1]; Rolande MABIKA MABIKA[1]; Ornella ZONG MINKO[1]; Léonce Fausther ONDJIAGUI[1]; Florian MBADINGA MACKANGA[2]; Franck MOUNIOKO[3]

[1] Centre interdisciplinaire de Recherches Médicales de Franceville (CIRMF)

[2] Laboratoire d'analyses biomédicales de l'Hôpital d'Instructions des Armées Omar BONGO ONDIMBA

[3] Centre interdisciplinaire de Recherches Médicales de Franceville (CIRMF)/USTM

Résumé

Introduction
Les bactéries du genre Klebsiella sont reconnues comme le deuxième uropathogène après E. coli. Ces infections sont majoritairement causées par l'èspèce Klebsiella pneumoniae et sont dues à des souches dites «classiques» généralement moins virulente et multi-résistantes, par opposition aux souches dites «hypervirulentes» qui sont en évolution constante dans le monde. L'objectif de cette étude est de déterminer la prévalence des isolats de Klebsiella pneumoniae hypervirulents (hvKP) parmi les isolats Klebsiella pneumoniae chez les femmes souffrant d'une infection urinaire à Libreville, au Gabon.
Matériel et méthodes
La détection phénotypique des isolats hvKP a été faite par la méthode du « test de corde » sur différents milieux gélosé : Columbia additionné de sang, Cled seulle ou supplémentée de sang. Moléculairement, la détection a été effectuée par la recherche du gène iutA par PCR. Enfin, la sensibilité de 32 isolats de Klebsiella. pneumoniae uropathogènes à la fosfomycine a été évaluée par la méthode des disques.
Résultats
Les résultats phénotypiques montrent que 15,63% (15/96) des isolats de Klebsiella pneumoniae uropathogènes sont hypervirulents dont la plus forte prévalence est obtenue avec le milieu Cled (11,46%), suivi du Cled + sang (8,83%) et enfin Columbia+ sang (5,2%). Globalement, 95,83% des isolats sont porteurs du gène iutA. Ces résultats révèlent également que la totalité (100% ; 15/15) des isolats hvKP phénotypiquement portent le gène iutA, contre 95,06% (77/81) des isolats classiques. Par contre, 4,94% ne portent pas de gène iutA. Par ailleurs, les résultats de la sensibilité montrent que tous des isolats hvKP (100%) sont résistantes à la fosfomycine.
Conclusion.
C'est la première détection des isolats hvKP au Gabon et qui plus démontrent une quasi résistance à la fosfomycine. Cela souligne donc la nécessité d'une surveillance des isolats de Klebsiella pneumoniae dans les infections bactériennes au Gabon pour une meilleure prise en charge.

Abstract

Introduction
The bacteria of the genus Klebsiella are recognized as the second uropathogen after E. coli. These infections are mainly caused by the species Klebsiella pneumoniae and are due to so-called "classic" strains generally less virulent and multi-resistant, as opposed to so-called "hypervirulent" strains which are constantly evolving around the world. The objective of this study is to determine the prevalence of hypervirulent Klebsiella pneumoniae (hvKP) isolates among Klebsiella pneumoniae isolates in women with a urinary tract infection in Libreville, Gabon.
Material and methods
The phenotypic detection of hvKP isolates was carried out by the 'rope test' method on different agar media: Columbia with added blood, Cled only or supplemented with blood. Molecularly, the detection was carried out by searching for the iutA gene by PCR. Finally, the sensitivity of 32 isolates of Klebsiella pneumoniae uropathogens to fosfomycin was evaluated by the disc method.

Results

The phenotypic results show that 15.63% (15/96) of the isolates of uropathogenic Klebsiella pneumoniae are hypervirulent, the highest prevalence being obtained with Cled medium (11.46%), followed by Cled + blood (8.83%) and finally Columbia+ blood (5.2%). Overall, 95.83% of the isolates carry the iutA gene. These results also reveal that all (100%; 15/15) of hvKP isolates phenotypically carry the iutA gene, compared to 95.06% (77/81) of conventional isolates. On the other hand, 4.94% do not carry an iutA gene. Furthermore, the sensitivity results show that all hvKP isolates (100%) are resistant to fosfomycin.

Conclusion

This is the first detection of hvKP isolates in Gabon and which moreover demonstrate near-resistance to fosfomycin. This therefore highlights the need for surveillance of Klebsiella pneumoniae isolates in bacterial infections in Gabon for better management.

OL.135

Prévalence et déterminants de l'usage des méthodes contraceptives dans les établissements secondaires de Bouaké nord-est (centre Côte d'Ivoire)

Prevalence and determinants of contraceptive use in secondary schools in northeast Bouaké (central Ivory Coast)

EDITH ADJO APPIA Épouse NIANGORAN, niangoranadjo@yahoo.com

Université Alassane Ouattara

Résumé

La recrudescence des grossesses en milieu scolaire constitue un enjeu majeur tant pour les pouvoirs publics que pour les parents d'élèves, tous soucieux du bien-être des enfants et en quête de solutions durables. Dans ce contexte, la présente étude s'attèle à analyser la prévalence et les déterminants de l'usage des méthodes contraceptives dans les établissements scolaires de Bouaké nord-est (centre Côte d'Ivoire). Il s'agit d'une étude rétrospective de type analytique et descriptif conduite dans sept établissements secondaires de ladite localité dont cinq privés (Collège Saint Jacques, Collège Iman Malick, Collège MUDES, Collège Emmanuel Kant et le collège les majors de Bouaké) et deux publics (Lycée moderne jeune filles et le lycée moderne Belleville). L'objectif de cette étude est d'évaluer les proportions d'élèves ayant recours aux méthodes contraceptives et d'identifier les facteurs explicatifs de cette pratique. A cet effet, la collecte des données s'est appuyée sur une recherche documentaire approfondie, des entretiens semi directifs avec des responsables administratifs, scolaires et sanitaires, ainsi que l'administration d'un questionnaire aux élèves des établissements retenus. Le choix des établissements s'est effectué selon la méthode de choix raisonné tandis qu'un échantillon de 370 élèves a été constitué selon la méthode de quota. Les résultats de l'étude révèlent que l'effet systémique de la non implication des établissements et des parents, la méconnaissance des méthodes et le coût élevé des médicaments expliquent l'usage des méthodes contraceptives à 94% pour les élèves ayant un âge compris entre 20 et 24 ans, à 5,53% pour la tranche d'âge située entre 15 et 19 ans et seulement moins d'1% pour ceux de 10 à 14 ans.

Abstract

The rise in pregnancies among schoolchildren is a major concern for both public authorities and parents, all of whom are worried about children's well-being and seeking lasting solutions. In this context, the present study analyzes the prevalence and determinants of contraceptive use in schools in northeastern Bouaké (central Ivory Coast). This retrospective analytical and descriptive study was conducted in seven secondary schools in the area, five private (Collège Saint Jacques, Collège Iman Malick, Collège MUDES, Collège Emmanuel Kant, and Collège Les Majors de Bouaké) and two public (Lycée Moderne Jeunes Filles and Lycée Moderne Belleville). The objective of this study was to assess the proportion of students using contraceptive methods and to identify the factors explaining this practice. To this end, data collection relied on a thorough literature review, semi-structured interviews with administrative, educational, and health officials, as well as the administration of a questionnaire to students in the selected schools. Schools were chosen using purposive sampling, while a sample of 370 students was selected using quota sampling. The study results reveal that the systemic effect of the lack of involvement from schools and parents, a lack of awareness of the methods, and the high cost of medication explain contraceptive use in 94% of students aged 20 to 24, in 5.53% of those aged 15 to 19, and in less than 1% of those aged 10 to 14.

OL.136

Prévalence et facteurs associés au stress chez les professionnels de santé dans les hôpitaux de la zone sanitaire Parakou-N'Dali (Bénin) en 2023

Prevalence and factors associated with stress among healthcare professionals in hospitals in the Parakou-N'Dali health zone (Benin) in 2023

Ibrahim MAMA CISSE[1], onjourna@gmail.com ; Ménonli ADJOBIMEY[2]; Rose MIKPONHOUE[2]; Ahoya Christophe Fabien GOUNONGBE[1]; Antoine Vikkey HINSON[2]; Ahoumènou Paul AYELO[2]

[1] 1. Département de Médecine et Spécialités Médicales, Faculté de Médecine, Université de Parakou, Bénin.

[2] 2. Département de Médecine et Spécialités Médicales, Faculté des Sciences de la Santé, Université d'Abomey-Calavi, Bénin

Résumé

Introduction : Le stress est un risque psychosocial présent dans tous les domaines de travail. Chez le personnel soignant hospitalier, il résulte de la forte exigence émotionnelle et de l'interaction entre le soignant et son cadre de travail.
Objectif : Étudier les facteurs associés au stress chez les professionnels de santé des hôpitaux de la zone sanitaire Parakou-N'Dali en 2023.
Méthodes : Il s'est agi d'une étude transversale à visée analytique avec recueil prospectif des données sur la période allant du 03 avril au 02 mai 2023. Elle a concerné les professionnels de santé exerçant dans les hôpitaux de la zone sanitaire Parakou-N'Dali. Le stress a été évalué par le questionnaire de Karasek et le Burn-out par le MBI (Maslash burnout inventory). Les tests statistiques de Chi-carré et de Fischer ont été utilisés pour déterminer les associations entre le stress et les variables indépendantes au seuil de 5%.
Résultats : Au total 566 professionnels de santé ont été éligibles et 415 ont accepté participer à l'enquête. Leur âge moyen est 34,4 ans ± 9,28 ans et on note une prédominance féminine avec un sex ratio à 0,50. La prévalence globale du stress était de 90,6 %. Les professionnels de santé exerçant dans les formations sanitaires publiques (91,6 %) et les sage-femmes (94,8 %) étaient les plus stressés. De même les situations stressantes liées au travail ont induit le burnout chez 65,78 % des professionnels de ces hôpitaux. La charge du travail (p-value=0,024 ; ORa=0,48) et le fait d'avoir subi un évènement marquant dans sa vie (p-value=0,008 ; ORa=0,31) étaient les facteurs associés au stress.
Conclusion : La fréquence du stress est élevée dans cette étude avec déjà près des deux tiers des professionnels de santé en situation de burnout.

Abstract

Introduction: Stress is a psychosocial risk present in all work environments. Among hospital healthcare staff, it results from high emotional demands and the interaction between the healthcare worker and their work environment.
Objective: To study the factors associated with stress among healthcare professionals in hospitals in the Parakou-N'Dali health district in 2023.
Methods: This was a cross-sectional study with prospective data collection over the period from April 3 to May 2, 2023. It included healthcare professionals working in hospitals in the Parakou-N'Dali health district. Stress was assessed using the Karasek questionnaire, and burnout was assessed using the Maslash Burnout Inventory (MBI). Chi-square and Fisher's exact tests were used to determine the associations between stress and independent variables at the 5% significance level.
Results: A total of 566 healthcare professionals were eligible, and 415 agreed to participate in the survey. Their mean age was 34.4 years ± 9.28 years, with a female predominance and a sex ratio of 0.50. The overall prevalence of stress was 90.6%. Healthcare professionals working in public health facilities (91.6%) and midwives (94.8%) were the most stressed. Similarly, work-related stressful situations led to burnout in 65.78% of professionals in these hospitals. Workload (p-value = 0.024; aOR = 0.48) and experiencing a significant life event (p-value = 0.008; aOR = 0.31) were the factors associated with stress.

Conclusion: The prevalence of stress is high in this study, with nearly two-thirds of healthcare professionals already experiencing burnout.

OL.137

Profils immunitaires basés sur les cytokines à l'accouchement comme indicateurs du risque d'infection palustre chez les primigestes au Burkina Faso : une analyse exploratoire par regroupement hiérarchique

Cytokine-Driven Immune Phenotypes at Delivery as Indicators of Malaria Infection Risk Among Primigravidae in Burkina Faso: An Exploratory Clustering Analysis

Ousmane Traore[1], ousmane.traore@crun.bf ; Toussaint Rouamba[1]; Serge Henri Zango[1]; Maminata Traoré-Coulibaly[1]; Schallig Henk D. F. H.[2]; Halidou Tinto[1]

[1] Institut de Recherche en Sciences de la Santé, Unité de Recherche Clinique de Nanoro (IRSS-URCN), Nanoro, Burkina Faso

[2] Amsterdam University Medical Center, Department of Medical Microbiology, and Infection Prevention, Laboratory for Experimental Parasitology, Amsterdam, The Netherlands; Amsterdam Institute for Global health and Development, Amsterdam, The Netherlands

Résumé

Introduction : Dans les zones endémiques du paludisme comme le Burkina Faso, les femmes primigestes sont particulièrement vulnérables à l'infection palustre, y compris à l'accouchement et durant la période post-partum. Cette susceptibilité semble liée à des profils immunologiques encore peu caractérisés.

Objectif : Cette étude exploratoire visait à identifier, à l'aide d'analyses multivariées, des profils immunitaires associés à un risque accru d'infection par Plasmodium falciparum chez les primigestes au moment de l'accouchement.

Méthodologie : Nous avons recruté 33 primigestes à Nanoro (Burkina Faso). Les taux d'anticorps dirigés contre trois antigènes de P. falciparum (PfCSP, PfAMA-1, EBA-175) ainsi que les concentrations de cinq cytokines (IL-4, IL-6, IL-10, TNF-α, IFN-γ) ont été mesurés dans le sang maternel à l'accouchement. Une analyse en composantes principales (ACP) suivie d'un regroupement hiérarchique a permis d'identifier des profils immunitaires.

Résultats : Trois profils distincts ont été mis en évidence : (1) un profil faiblement inflammatoire, (2) un profil dominé par le TNF-α, et (3) un profil fortement inflammatoire avec élévation simultanée de IL-6 et TNF-α. Tous les sujets du profil très inflammatoire étaient infectés au moment de l'accouchement ($p = 0,04$), suggérant une association entre ce profil immunitaire et le risque d'infection palustre périnatale.

Conclusion : Nos résultats suggèrent que des profils immunitaires basés sur les cytokines peuvent servir d'indicateurs précoces du risque d'infection palustre chez les primigestes. Ces données ouvrent la voie à des stratégies ciblées de prévention post-partum établies sur l'immunoprofilage.

Abstract

Introduction: In malaria-endemic regions such as Burkina Faso, primigravid women remain highly vulnerable to Plasmodium falciparum infection during delivery and the early postpartum period. This susceptibility may be related to distinct, yet poorly characterized, immune profiles.

Objective: This exploratory study aimed to identify immune phenotypes associated with an increased risk of malaria infection at delivery, using multivariate analytical methods.

Methods: We enrolled 33 primigravid women in Nanoro, Burkina Faso. Antibody levels against three P. falciparum antigens (PfCSP, PfAMA-1, and EBA-175) and plasma concentrations of five cytokines (IL-4, IL-6, IL-10, TNF-α, and IFN-γ) were measured at the time of delivery. Principal component analysis (PCA) followed by hierarchical clustering was applied to define immune profiles.

Results: Three distinct immune profiles emerged: (1) a low-inflammatory profile, (2) a TNF-α–dominant profile, and (3) a highly pro-inflammatory profile marked by simultaneous elevation of IL-6 and TNF-α. All women in the highly inflammatory profile were infected with Plasmodium falciparum at delivery ($p = 0.04$), indicating a strong association between this immune pattern and peripartum malaria infection.

Conclusion: Our findings suggest that cytokine-based immune profiles at delivery may serve as early immunological indicators of malaria infection risk among primigravidae. This study offers initial evidence to endorse the utilisation of immune profiling as a method for identifying women at elevated risk of postpartum malaria, thereby facilitating targeted monitoring and preventive strategies in endemic regions.

OL.138

Qualité de vie des patients opérés de la cataracte dans le service d'ophtalmologie du CHD Atacora (Bénin) en 2025.

Quality of life of patients who have undergone cataract surgery in the ophthalmology department of CHD Atacora (Benin) in 2025

Théodore SOUSSIA[1], soussiatheodore@gmail.com ; Rodrigue AHOSSI[1]; Soulé ALAMOU[2]; Lisette ODOULAMI[2]

[1] Institut National Médico-Sanitaire, Université d'Abomey-Calavi, Bénin

[2] Faculté des Sciences de la Santé, Université d'Abomey-Calavi, Bénin

Résumé

Introduction : La cataracte constitue la première cause de cécité évitable dans le monde et au Bénin. Bien que la chirurgie constitue un traitement efficace permettant la restauration de la vision, son impact sur la qualité de vie des patients représente un enjeu majeur en ophtalmologie. L'objectif de cette recherche est d'évaluer la qualité de vie des patients opérés de la cataracte dans le service d'Ophtalmologie du Centre hospitalier départemental (CHD) Atacora (Bénin) en 2025.
Méthodes : Il s'est agi d'une étude transversale, descriptive et analytique à collecte prospective des données, réalisée du 16 juin au 15 septembre 2025. Un échantillonnage exhaustif a permis de sélectionner tous les patients opérés de la cataracte durant la période d'étude répondant aux critères de sélection. Les données ont été recueillies à l'aide d'un questionnaire structuré, puis analysées à l'aide du logiciel STATA 15.
Résultats : L'étude a concerné 53 patients dont l'âge moyen était de 62,6±10,1 ans, avec une prédominance féminine (64,15%). Les patients provenaient majoritairement du milieu rural (64,15%). Environ un tiers (32,08%) d'entre eux n'étaient pas instruits. L'acuité visuelle moyenne est passée de 1/20 en préopératoire à 8/10 en postopératoire. Le score global de qualité de vie est passé d'un niveau moyen (29,79%) à un niveau excellent (98,5%) après la chirurgie. Les complications postopératoires observées étaient l'opacification capsulaire postérieure (3,77%) et le décollement de rétine (1,89%). L'âge avancé, les comorbidités et certaines complications postopératoires ont influencé négativement la qualité de vie de certains patients.
Conclusion : La chirurgie de la cataracte au CHD Atacora améliore significativement la qualité de vie des patients au plan fonctionnelle et psychosociale.

Abstract

Introduction: Cataracts are the leading cause of preventable blindness worldwide and in Benin. Although surgery is an effective treatment for restoring vision, its impact on patients' quality of life is a major issue in ophthalmology. The aim of this research is to assess the quality of life of patients who have undergone cataract surgery in the Ophthalmology Department of the Atacora Departmental Hospital Centre (CHD) in Benin in 2025.
Methods: This is a cross-sectional, descriptive, and analytical study with prospective data collection, conducted from 16 June to 15 September 2025. Exhaustive sampling was used, including all patients who underwent cataract surgery during the study period and met the inclusion criteria. Data were collected using a structured questionnaire before and after surgery and then analysed using STATA 14 software.
Results: The study involved 53 patients with a mean age of 62.6±10.1 years, with a predominance of females (64.15%). The majority of patients came from rural areas (64.15%). Approximately one-third (32.08%) of them were uneducated. The average visual acuity improved from 1/20 preoperatively to 8/10 postoperatively. The overall quality of life score improved from an average level (29.79%) to an excellent level (98.5%) after surgery. Postoperative complications observed included posterior capsular opacification (3.77%) and retinal detachment (1.89%). Advanced age, comorbidities and certain postoperative complications had a negative impact on the quality of life of some patients.
Conclusion: Cataract surgery at CHD Atacora significantly improves patients' quality of life in functional and psychosocial terms.

OL.139

Quelle médecine pour une société résiliente face aux pathologies émergentes à l'ère de l'intelligence artificielle en Afrique ?

What kind of medicine is needed for a society that is resilient to emerging diseases in the age of artificial intelligence in Africa?

Boaman Jovit Majoie DOUTI, doutijovit@ymail.com

Equipe de recherche "Sport Santé et développement" (2SD) de l'Université de lomé

Résumé

Face à l'émergence de nouvelles pathologies, le scientisme médical s'est souvent nourri de l'optimisme des progrès technologiques réalisables sur les plans de la détection, du diagnostic, et du suivi médical. Cette conviction semble gagner en force avec l'avènement de l'Intelligence artificielle (IA) dont l'effet le plus attendu sur le continent africain est l'accroissement du pouvoir prédictif de la médecine et la réduction des incertitudes médicales. S'il n'existe aucun doute sur l'efficacité clinique de la « médecine intelligente » à prévenir et à soigner, c'est bien du point de vue du rapport éthique à l'humain et de la conservation des identités culturelles de soins que des interrogations subsistent. Ces interrogations que tente d'éclairer notre communication mettent en perspective les risques liés à l'hypertechnicisation et à l'hyperprocéduralisation des soins, à la crainte de production automatisée de modèles de soins en rupture avec les logiques d'acceptabilité culturelle, au rangement de la pratique médicale dans une catégorie qui participe à la mort de la relation médecin-patient. Ce qui pose problème, c'est la croyance d'une médecine qui fort de son pouvoir numérique peut agir sur la maladie en opérant un recentrage sur elle-même sans un dialogue avec l'humain. En se donnant pour principal repère méthodologique l'analyse documentaire et les entretiens qualitatifs réalisés dans les formations sanitaires et espaces de soins traditionnels au Togo, la présente communication analyse les conditions de légitimation culturelle et de validation sociale d'une médecine dont les contours tendent à se redessiner à l'ère de l'innovation numérique. D'une part, les résultats mettent en évidence l'irréductibilité de la relation de soins à un contenu dématérialisé et dépersonnalisé. D'autre part, la résilience face aux pathologies ne peut s'opérer qu'à condition d'une remise en contexte culturel des approches E-soins et de la valorisation par le numérique d'une médecine traditionnelle africaine.

Abstract

Faced with the emergence of new pathologies, medical scientism has often been fueled by optimism regarding the technological advances achievable in detection, diagnosis, and medical monitoring. This conviction seems to be gaining strength with the advent of Artificial Intelligence (AI), whose most anticipated effect on the African continent is the increased predictive power of medicine and the reduction of medical uncertainties. While there is no doubt about the clinical effectiveness of "smart medicine" in preventing and treating illness, questions remain concerning the ethical relationship to human beings and the preservation of cultural healthcare identities. These questions, which our presentation attempts to address, highlight the risks associated with the over-technologization and over-proceduralization of healthcare, the fear of the automated production of care models that break with the logic of cultural acceptability, and the categorization of medical practice that contributes to the erosion of the doctor-patient relationship. The problem lies in the belief that medicine, empowered by digital technology, can act on illness by focusing solely on itself, without engaging in dialogue with the human and social context. Using documentary analysis and qualitative interviews conducted in healthcare facilities and traditional healing spaces in Togo as its primary methodological framework, this paper analyzes the conditions for cultural legitimation and social validation of a medicine whose contours are being redefined in the era of digital innovation. On the one hand, the results highlight the irreducibility of the healthcare relationship to a dematerialized and depersonalized content. On the other hand, resilience in the face of illness can only be achieved through a cultural recontextualization of e-health approaches and the digital valorization of traditional African medicine.

OL.140

Raccourcissement du traitement de l'ulcère de Buruli en Afrique de l'Ouest : point d'étape de l'essai BLMs4BU

Shortening Buruli ulcer treatment in western Africa: an update on the BLMs4BU trial

Roch Christian Johnson[1], rochchristianjohnson@gmail.com ; Emma Sáez-López[2]; Sèdjro Gimatal Esaï Anagonou[1]

[1] Centre Interfacultaire de Formation et de Recherche en Environnement pour le Développement Durable, Université d'Abomey-Calavi, Bénin

[2] Department of Microbiology, Paediatrics, Radiology and Public Health, Faculty of Medicine, University of Zaragoza, CIBERES, Zaragoza, Espagne

Résumé

Introduction : L'organisation Mondiale de Santé (OMS) recommande pour l'Ulcère de Buruli (UB) l'administration de rifampicine (R) et clarithromycine (C) pendant 8 semaines (RC8). Des études précliniques ont démontré que l'association amoxicilline/clavulanate (A) et RC présente une grande efficacité in vitro contre Mycobacterium ulcerans. L'objectif est d'évaluer la non- infériorité d'un régime de 4 semaines de A combiné à la RC (RCA4) par rapport au traitement standard sur 12 mois.
Méthodes : L'essai comprend des études de phase II et III randomisées, ouvertes, de non-infériorité et multicentriques. Les patients ont été recrutés activement et passivement et inclus après un diagnostic clinique (score d'UB très probable ou probable de l'OMS), confirmé par qPCR IS2404, stratifié en fonction de la catégorie de lésion de l'UB et suivi pendant 12 mois avec une prise en charge standardisée. Le critère principal d'efficacité est la proportion de patients présentant une guérison complète des lésions sans récidive et sans excision chirurgicale majeure 12 mois après le traitement.
Résultats : L'essai de phase II au Bénin a recruté 151 participants. La répartition femme-homme est de 1,28 ; environ 51% des participants ont un âge < 15ans. Plus de 96% des participants présentent une seule lésion. Les lésions de catégorie III sont plus fréquentes (44 %). L'allocation du traitement est équilibrée entre les deux bras. 98 ont terminé le suivi à 12 mois et aucun d'entre eux n'a eu besoin d'une chirurgie d'excision majeure. Seuls des événements indésirables ou des effets secondaires légers et transitoires ont été enregistrés. Le recrutement des cibles étant terminé (80% de puissance requise), le traitement expérimental RCA4 démontre son innocuité. Une évaluation de non-infériorité de l'efficacité sera réalisée à la fin de l'étude. L'essai de phase III est en cours et a recruté 72 participants au Togo et en Côte d'Ivoire.
Conclusion : Ce traitement plus court, entièrement oral et largement adapté, pourrait établir un nouveau paradigme pour la prise en charge de l'UB.

Abstract

Introduction: For Buruli Ulcer (BU), the World Health Organization (WHO) recommended the administration of rifampicin (R) and clarithromycin (C) for 8 weeks (RC8). Preclinical studies have demonstrated that the combination of amoxicillin/clavulanate (A) and RC is highly effective in vitro against Mycobacterium ulcerans. The aim is to evaluate the non-inferiority of a 4-week regimen of A combined with RC (RCA4) versus standard WHO recommended treatment (RC8) in achieving cure rates at month 12 post-treatment initiation
Methods: The trial comprises randomized, open-label, non-inferiority, multicenter phase II and III studies. Patients were actively and passively recruited and included after clinical diagnosis (Very Likely or Likely WHO BU score), confirmed by qPCR IS2404, stratified according to BU lesion category and followed up for 12 months with standardized management. Primary efficacy outcome is the proportion of patients with complete healing of lesions without recurrence and without major surgical excision within 12 months of initiating treatment.
Results: The Phase II trial in Benin recruited 151 participants. Female-male distribution was balanced, with around 51% of participants aged < 15 years. Over 96% of participants had a single lesion. Category III lesions were more frequent (44 %). Treatment allocation is balanced between the two

arms. 98 completed follow-ups at 12 months, and none required major excision surgery. Only mild and transient adverse events or side effects were recorded. Since the recruitment is completed (80% power requirement), the RCA4 demonstrates its safety. A non-inferiority assessment of efficacy will be carried out at the end of the study. The Phase III trial is currently underway and has recruited 72 participants in Togo and Côte d'Ivoire.
Conclusion: This shorter, all-oral, widely adapted treatment could establish a new paradigm in BU.

OL.141

Récupération améliorée post césarienne à la Clinique Universitaire de Gynécologie et obstétrique (CUGO) du Centre National Hospitalier et Universitaire Hubert Koutoukou Maga (CNHU-HKM) en 2022

Enhanced rehabilitation is a multidisciplinary approach to the postoperative

BENEDICTE INGRID OLOWO[1], olowoingrid@yahoo.fr ; MATHIEU OGOUDJOBI[1]; CHRISTELLE TOBADA[1]; CHRITIANE TSHABU AGUEMON[1]; EUGENE ZOUMENOU[1]

[1] FSS

Résumé

Introduction : La réhabilitation améliorée est une approche multidisciplinaire de la période post opératoire visant au rétablissement des opérés. Objectif : Etudier les pratiques en matière de Récupération améliorée post césarienne aux soins intensifs de la CUGO du CNHU-HKM.
Méthode : Il s'est agi d'une étude transversale à visée descriptive et analytique avec une collecte prospective de 18 juillet au 18 octobre 2022 à la CUGO du CNHU-HKM. Etaient inclues ; les femmes ayant bénéficié d'une césarienne, et donné un consentement. Etaient exclues ; celles avec une pathologie préexistante entrainant une altération de la conscience ; et les patientes transférées secondairement dans le service de réanimation. Les données ont été collectées sur le logiciel Kobocollet ; traitées et analysées grâce au logiciel SPSS 25.
Résultats : Au total 130 femmes césarisées ont été recensées. La fréquence de la césarienne était donc de 56,63%. L'âge moyen était de 28,42± 5,861 avec des extrêmes de [13- 41] ans. La tranche d'âge la plus représentée est [20 et 30 [ans (51,50%). La rachianesthésie était plus pratiquée. Admises aux soins intensifs 30 minutes après la césarienne ; les femmes (88%) ont bénéficié d'une bithérapie ; d'anti douleur et d'antibioprophylaxie ; 3% ont respecté une reprise précoce de l'alimentation liquide et 26,90% de l'alimentation solide. L'ablation de cathéter avant 24h (4,60%) ; une levée précoce (72%) ; la marche précoce (64%) ; une prévention de l'HPPI (92%) et thromboprophylaxie (94%) ont été faites. Elles (51%) ont établi de lien avec leur enfant dans les 24 heures et 74% ont été sorties après 72h sans prévention de NVPO et (53,1%) ont eu de complications post opératoires immédiates, et 3% après l'exéat.
Conclusion : Grace aux résultats, le protocole est mis à jour et une seconde évaluation des pratiques professionnelles sera faite après sensibilisation de l'équipe pluridisciplinaire

Abstract

Introduction: Enhanced recovery is an approach to the postoperative period aimed at improving patient's recovery.Objective: To assess practices related to enhanced recovery after cesarean section in the intensive care unit of the Gynecology and Obstetrics Emergency Unit (CUGO) at CNHU-HKM.
Methods: It was a cross-sectional study with descriptive and analytical purposes, with prospective data collection conducted from July 18 to October 18, 2022. Included were women who had undergone a cesarean section and had provided informed consent. Excluded were women with pre-existing conditions causing impaired consciousness and those secondarily transferred to the intensive care unit. Data were collected using the KoboCollect software and processed and analyzed with SPSS version 25.
Results: A total of 130 women who underwent cesarean section were recorded. The cesarean section rate was 56.63%. The mean age was 28.42 ± 5.86 years, with a range of 13 to 41 years. The most represented age group was 20–30 years (51.5%). Spinal anesthesia was the most commonly used technique. Thirty minutes after cesarean delivery, upon admission to the intensive care unit, 88% of women received dual therapy consisting of analgesia and antibiotic prophylaxis. Early resumption of oral liquid intake was observed in 3% of cases and solid food intake in 26.9%. Urinary catheter removal within 24 hours occurred in 4.6% of cases; early mobilization in 72%; early ambulation in 64%; prevention of postpartum hemorrhage in 92%; and thromboprophylaxis in 94%. Mother–infant bonding within 24 hours was established in 51% of cases, and 74% of women were discharged after 72 hours without postoperative nausea and vomiting prophylaxis. Immediate postoperative complications occurred in 53.1% of cases, and 3% experienced complications after discharge.

Conclusion: Based on these findings, the protocol was updated, and a second evaluation of professional practices will be conducted after sensitization of the multidisciplinary team.

OL.142

Relation entre les profils de résistance aux insecticides chez Anopheles gambiae sensu lato et les pratiques agricoles en Côte d'Ivoire

Relationship between insecticide resistance profiles in Anopheles gambiae sensu lato and agricultural practices in Côte d'Ivoire

France-Paraudie A. Kouadio[1], paraudie.kouadio@csrs.ci ; Nadja C. Wipf[2]; Angele S. Nygble[3]; Behi K. Fodjo[4]; Christabelle G. Sadia[4]; John Vontas[5]; Konstantinos Mavridis[6]

[1] Université Nangui Abrogoua, Centre Suisse de Recherches Scientifiques en Côte d'Ivoire (CSRS), Abidjan, Côte d'Ivoire

[2] Department of Epidemiology and Public Health, Swiss Tropical and Public Health Institute, Kreuzstrasse 2, P.O. Box, 4123 Basel, Switzerland

[3] 2Université Nangui Abrogoua, Abidjan, Côte d'Ivoire

[4] Centre Suisse de Recherches Scientifiques en Côte d'Ivoire (CSRS), Abidjan, Côte d'Ivoire

[5] Pesticide Science Laboratory, Department of Crop Science, Agricultural University of Athens, 11855 Athens, Greece

[6] Institute of Molecular Biology and Biotechnology, Foundation for Research and Technology-Hellas, Heraklion 70013, Greece

Résumé

Contexte : La résistance croissante des moustiques aux insecticides compromet fortement les stratégies de lutte contre le paludisme. Les zones agricoles, en raison de l'utilisation de pesticides, exercent une pression de sélection importante sur les habitats larvaires des moustiques. Cette étude visait à évaluer l'influence des pratiques agricoles sur la résistance phénotypique aux insecticides et les mécanismes moléculaires associés chez Anopheles gambiae sensu lato.
Méthodes : Des larves d'An. gambiae s.l. ont été collectées dans six sites représentant trois types de systèmes agricoles : riziculture, maraîchage et cacaoculture. Les femelles adultes émergées ont été soumises aux tests de sensibilité de l'Organisation mondiale de la Santé (OMS) avec des concentrations discriminantes de bendiocarbe (0,1 %), deltaméthrine (0,05 %), DDT (4 %) et malathion (5 %). Les mutations des sites cibles ainsi que l'expression de gènes impliqués dans la résistance métabolique ont été analysées par des tests multiplex à sondes TaqMan.
Résultats : Toutes les populations étudiées étaient résistantes au bendiocarbe, à la deltaméthrine et au DDT. Une résistance au malathion a été observée uniquement dans les sites de cultures maraîchères. La mutation Vgsc-L995F, associée à la résistance aux pyréthrinoïdes et au DDT, était largement répandue, avec les fréquences les plus élevées dans les sites de cacaoculture (80–87 %), souvent en homozygotie et parfois associée à la mutation Vgsc-N1570Y. La mutation Ace1 était principalement détectée dans les zones maraîchères, à des fréquences modérées en riziculture et faibles en cacaoculture. En revanche, les gènes de résistance métabolique CYP6M2, CYP6P3, CYP6P4, CYP6Z1 et CYP9K1 étaient fortement surexprimés dans les populations issues des zones rizicoles par rapport à la souche sensible Kisumu.
Conclusion : Cette étude met en évidence des associations nettes entre les pratiques agricoles et des profils spécifiques de résistance aux insecticides chez An. gambiae s.l., probablement liées à l'usage des pesticides agricoles.

Abstract

Background: While growing resistance to insecticides in mosquitoes is increasingly drowning out malaria control strategies, agricultural areas are known to induce strong selection pressure among larval habitats. The current study aimed to assess whether phenotypic insecticide resistance and associated molecular resistance mechanisms in Anopheles gambiae sensu lato differ between agricultural practices
Methods: An. gambiae s.l larvae were collected in two areas of each of three different types of agricultural practices: rice, vegetable and cocoa. Emerged adult females were exposured to

discriminating concentrations of bendiocarb (0.1%), deltamethrin (0.05%), DDT (4%) and malathion (5%) using World Health Organization (WHO) susceptibility bioassays. Then, target sites mutation and metabolic genes expression were characterized and quantified by Multiplex TaqMan-probe assays.
Results: The An. gambiae s.l. populations from all six agricultural sites were resistant to bendiocarb, deltamethrin and DDT, while the populations from the two vegetable cultivation sites were additionally resistant to malathion. Most tested mosquitoes carried at least one mutant Vgsc-L995F allele that is associated with pyrethroid and DDT resistance. In the cocoa cultivation sites, we observed the highest 995F frequencies (80–87%), including a majority of homozygous mutants and several in co-occurrence with the Vgsc-N1570Y mutation. We detected the Ace1 mutation most frequently in vegetable-growing sites (51–60%), at a moderate frequency in rice (20–22%) and rarely in cocoa-growing sites (3–4%). In contrast, CYP6M2, CYP6P3, CYP6P4, CYP6Z1 and CYP9K1, previously associated with metabolic insecticide resistance, showed the highest expression levels in the populations from rice-growing sites compared to the susceptible Kisumu reference strain.
Conclusion: In our study, we observed intriguing associations between the type of agricultural practices and certain insecticide resistance profiles in the malaria vector An. gambiae s.l. which might arise from the use of pesticides deployed for protecting crops.

OL.143

Réponse transcriptomique aux polluants agrochimiques chez le moustique Anopheles gambiae à l'aide de la technologie de séquençage de nouvelle generation

Transcriptomic response to agrochemical pollutants in Anopheles gambiae mosquitoes using next-generation sequencing technology

Christabelle SADIA[1], christabellesadia@gmail.com ; Jean-Marc Bonneville[2]; Marius Zoh[3]; Fodjo Behi[4]; France-Paraudie Kouadio[5]; Jean-Philippe David[2]; Chouaïbou Mouhamadou[6]

[1] Université Péléforo Gon Coulibaly, Korhogo, Côte d'Ivoire

[2] Laboratoire d'Ecologie Alpine (LECA) UMR 5553, Univ. Grenoble-Alpes, Univ. Savoie Mont Blanc, CNRS, 38000 Grenoble, France

[3] Université Allassane Ouattara, Centre d'Entomologie Médicale et Vétérinaire, Bouaké Côte d'Ivoire

[4] Université Nangui Abrogoua, Abidjan, Côte d'Ivoire

[5] Université Allassane Ouattara, Bouaké Côte d'Ivoire

[6] Centre Suisse de Recherches Scientifiques (CSRS), Abidjan, Côte d'Ivoire

Résumé

Plusieurs éléments indiquent que les pesticides utilisés dans l'agriculture contribuent à l'émergence et à la propagation de la résistance des moustiques aux insecticides utilisés pour lutter contre les vecteurs. Cependant, l'impact d'une telle pression de sélection indirecte a rarement été quantifié et les mécanismes moléculaires impliqués sont encore mal caractérisés. Dans ce contexte, la transcriptomique a permis de mettre en evidence les voies adaptatives utilises par les moustiques pour augmenter la resistance.

Méthodes

Les larves de moustiques ont été sélectionnées pendant 30 générations à l'aide de trois mélanges agrochimiques différents contenant (i) des insecticides, (ii) des composés non insecticides et (iii) à la fois des composés insecticides et non insecticides. Un séquençage d'ARN a été effectué sur toutes les lignées à la génération 30 afin d'identifier les variations du niveau de transcription des gènes et les polymorphismes associés à chaque régime de sélection.

Résultats

Le séquençage de l'ARN a identifié 63 gènes de résistance candidats surexprimés dans au moins une lignée sélectionnée. Il s'agit notamment de gènes codant pour des enzymes de détoxification ou des protéines cuticulaires précédemment associées à la résistance aux insecticides, ainsi que d'autres gènes potentiellement associés à la réponse au stress chimique. L'analyse du polymorphisme a permis d'identifier des gènes soumis à une sélection sur plusieurs loci génomiques, ce qui confirme une réponse adaptative multigénique aux mélanges agrochimiques.

Conclusion

Cette étude montre le role important de la transcriptomique pour la detection rapide de le resistance dans les population de moustique. Elle a également permis de montrer les differentes voies adaptative utilisé par les moustiques pour augmenter leur resistance face aux moustiques.

Abstract

There is considerable evidence that pesticides used in agriculture contribute to the emergence and spread of mosquito resistance to insecticides used for vector control. However, the impact of such indirect selection pressure has rarely been quantified and the molecular mechanisms involved are still poorly characterised. In this context, transcriptomics has revealed the adaptive pathways used by mosquitoes to increase resistance.

Methods

Mosquito larvae were selected for 30 generations using three different agrochemical mixtures

containing (i) insecticides, (ii) non-insecticidal compounds, and (iii) both insecticidal and non-insecticidal compounds. RNA sequencing was performed on all lines at generation 30 to identify variations in gene transcription levels and polymorphisms associated with each selection regime.

Results

RNA sequencing identified 63 candidate resistance genes overexpressed in at least one selected line. These include genes encoding detoxification enzymes or cuticular proteins previously associated with insecticide resistance, as well as other genes potentially associated with chemical stress response. Polymorphism analysis identified genes subject to selection at multiple genomic loci, confirming a multigene adaptive response to agrochemical mixtures.

Conclusion

This study demonstrates the important role of transcriptomics in the rapid detection of resistance in mosquito populations. It also highlights the different adaptive pathways used by mosquitoes to increase their resistance to insecticides.

OL.144

Réponse virologique sous Dolutégravir chez les enfants et adolescents en milieu rural gabonais : une étude transversale (2023-2025).

Virological response to dolutegravir in children and adolescents in rural Gabon: a cross-sectional study (2023-2025).

Roseanne Mounanga Mourimarodi[1], roseannemounanga@gmail.com ; Jeordy Dimitri Egone-Ondo[1]; Abdoulaye Diane[1]; Gabriel Falque[1]; Augustin Mouinga-Ondeme[1]

[1] Centre International de Recherches Médicales de Franceville (CIRMF)

Résumé

Introduction
Au Gabon, malgré l'adoption du Dolutégravir (DTG) en pédiatrie, l'accès à la surveillance de la charge virale (CV) reste un défi en zone rurale. L'adhésion thérapeutique, conditionnée par l'environnement psychosocial, est le garant du succès virologique. Cette étude visait à évaluer la prévalence de la suppression virale au sein d'une cohorte pédiatrique suivie en zone rurale.
Méthodologie
Une étude descriptive transversale a été réalisée de Aout 2023 à avril 2025 en milieu rural. Quarante-et-un (41) jeunes patients sous traitement antirétroviral ont été inclus. La quantification de l'ARN-VIH plasmatique a été réalisée par RT-PCR en utilisant le kit Generic HIV Viral Load (Biocentric) sur un système Applied Biosystems™. La suppression virale a été définie par une CV < 1000 copies/mL.
Résultats
L'âge moyen était de 11,9 ans (± 4,95), avec une forte proportion d'orphelins (56,1 %). Le schéma TDF-3TC-DTG était prédominant (73,2 %) avec une exposition moyenne de 16,2 mois(IC 95 % : [9.92, 22.46]). Sur les 35 patients ayant un résultat de CV disponible, seuls 23 (65,7 % ; IC 95 % : [47,8–80,9]) présentaient une suppression virale. À l'inverse, 12 patients (34,3 % ; IC 95 % : [19,1–52,2]) étaient en situation de non-suppression virale. Aucune variable (âge, sexe, statut d'orphelin) n'a montré d'association statistiquement significative avec le statut virologique (p > 0,05), bien que des tendances soient observées chez les adolescents (p=0,15).
Conclusion
Ces résultats révèlent une non-suppression virale préoccupante (34,3 %), loin des objectifs de l'OMS, malgré l'utilisation d'une molécule à haute barrière génétique. Ces résultats soulignent l'urgence de renforcer le suivi de l'observance et de décentraliser la biologie moléculaire. Des études génotypiques sont donc nécessaires pour documenter les résistances sur l'intégrase en zones isolées.

Abstract

Introduction
In Gabon, despite the adoption of dolutegravir (DTG) in pediatrics, access to viral load (VL) monitoring remains a challenge in rural areas. Adherence to treatment, which is influenced by the psychosocial environment, is key to virological success. This study aimed to assess the prevalence of viral suppression in a pediatric cohort monitored in rural areas.
Methodology
A descriptive cross-sectional study was conducted from August 2023 to April 2025 in rural areas. Forty-one (41) young patients undergoing antiretroviral treatment were included. Plasma HIV RNA quantification was performed by RT-PCR using the Generic HIV Viral Load kit (Biocentric) on an Applied Biosystems™ system. Viral suppression was defined as a CV < 1000 copies/mL.
Results
The mean age was 11.9 years (± 4.95), with a high proportion of orphans (56.1%). The TDF-3TC-DTG regimen was predominant (73.2%) with a mean exposure of 16.2 months (95% CI: [9.92, 22.46]). Of the 35 patients with available VC results, only 23 (65.7%; 95% CI: [47.8–80.9]) had viral suppression. Conversely, 12 patients (34.3%; 95% CI: [19.1–52.2]) had non-viral suppression. No variable (age, sex, orphan status) showed a statistically significant association with virological status (p > 0.05), although

trends were observed in adolescents (p=0.15).
Conclusion
These results reveal a worrying lack of viral suppression (34.3%), far from the WHO targets, despite the use of a molecule with a high genetic barrier. These results highlight the urgent need to strengthen compliance monitoring and decentralize molecular biology. Genotypic studies are therefore needed to document integrase resistance in isolated areas.

OL.145

Réponses anticorps à la vaccination antipaludique par sporozoïtes entiers dans les études d'infection palustre humaine contrôlée

Antibody Responses to Whole-Sporozoite Malaria Vaccination in Controlled Human Malaria Infection Studies

Rolf FENDEL, rolf.fendel@uni-tuebingen.de

University of Tübingen, Germany

Résumé

L'immunisation par sporozoïtes entiers, soit avec le vaccin PfSPZ atténué par irradiation, soit avec des PfSPZ vivants administrés sous chimioprophylaxie (PfSPZ-CVac), a montré une efficacité élevée contre Plasmodium falciparum dans des essais d'infection palustre humaine contrôlée (CHMI). Afin de définir la contribution de l'immunité humorale au sein de ces différentes plateformes, nous avons réalisé une analyse comparative des réponses IgG et IgM spécifiques d'antigènes chez des adultes naïfs ou préalablement exposés au paludisme après CHMI homologue et hétérologue. Les profils d'anticorps ont été évalués à l'aide de puces protéiques et d'immunodosages spécifiques, puis corrélés aux données de protection.

La vaccination a induit une réponse immunodominante constante dirigée contre la protéine circumsporozoïte (PfCSP), indépendamment du schéma vaccinal et de la population étudiée. De plus, des anticorps dirigés contre un nombre limité d'antigènes non-CSP, notamment PfMSP5 et PfMSP2, ont été détectés de manière reproductible, suggérant une exposition antigénique plus large que celle attendue pour des vaccins ciblant les stades pré-érythrocytaires. Le schéma PfSPZ-CVac a induit des niveaux d'anticorps plus élevés ainsi qu'une plus grande diversité antigénique que le vaccin PfSPZ atténué par irradiation. La protection était associée à des concentrations accrues d'anticorps anti-PfCSP ainsi qu'à des signatures multi-antigéniques, plutôt qu'à la réactivité contre un antigène unique, tandis que l'exposition antérieure au paludisme influençait principalement l'amplitude des réponses sans modifier les profils d'immunodominance.

Dans l'ensemble, ces résultats offrent une vue d'ensemble des profils d'immunité humorale induits par la vaccination à sporozoïtes entiers et mettent en évidence des caractéristiques sérologiques communes associées à la protection. Ils soutiennent le rôle central des anticorps anti-PfCSP et identifient des cibles antigéniques supplémentaires susceptibles de contribuer à l'immunité vaccinale et de servir de corrélats de protection dans de futurs essais.

Abstract

Résumé en anglaisWhole-sporozoite immunization with radiation-attenuated PfSPZ Vaccine or live PfSPZ administered under chemoprophylaxis (PfSPZ-CVac) has demonstrated high efficacy against Plasmodium falciparum in controlled human malaria infection (CHMI) trials. To define the contribution of humoral immunity across these platforms, we performed a comparative analysis of antigen-specific IgG and IgM responses in malaria-naïve and malaria-exposed adults following homologous and heterologous CHMI. Antibody profiles were assessed using protein microarrays and antigen-specific immunoassays and related to protective outcomes.

Vaccination induced a consistent immunodominant response to circumsporozoite protein (PfCSP) across regimens and study populations. In addition, antibodies to a limited number of non-CSP antigens, including PfMSP5 and PfMSP2, were reproducibly detected, indicating broader antigen exposure than expected for pre-erythrocytic vaccines. PfSPZ-CVac generated higher antibody magnitudes and greater antigenic breadth than radiation-attenuated PfSPZ Vaccine. Protection was associated with increased anti-PfCSP levels and multi-antigen response signatures rather than single-antigen reactivity alone, while prior malaria exposure primarily affected response amplitude but not immunodominance patterns.

Together, these data provide a concise overview of the humoral immune profiles induced by whole-sporozoite vaccination and identify shared serological features linked to protection. The findings support a central role for anti-PfCSP antibodies and highlight additional targets that may contribute to vaccine-induced immunity and serve as candidate correlates in future trials.

OL.146

Réponses IgG humaines contre extraits de glande salivaire d'Aedes aegypti dans les populations rurales et urbaines au Burkina Faso: utilisation d'un nouvel outil immuno-épidémiologique pour évaluer l'exposition humaine au vecteur majeur de la dengue

"HUMAN IgG RESPONSES TO Aedes aegypti SALIVARY GLAND EXTRACTS IN RURAL AND URBAN POPULATIONS IN BURKINA FASO: USE OF A NEW IMMUNO-EPIDEMIOLOGICAL TOOL TO ASSESS HUMAN EXPOSURE TO DENGUE MAJOR VECTOR BITES"

Michaël KABORE[1], kaboremichael039@gmail.com ; Yéri Esther HIEN[1]; Enock Ibrango[1]; Jean Noël Dado Koussé[1]; Fatimata T hiombiano[1]; Mireille Ouédraogo[1]; Abdoul Rahamani Nikiema[1]

[1] Laboratoire de Biochimie et Immunologie Appliquées (LABIA), École Doctorale Sciences et Technologies, Université Joseph KI-ZERBO, 03 BP 7021

Résumé

La dengue est une maladie infectieuse dont l'endémicité a été confirmé au Burkina Faso avec des épidémies notifiées en 2013, 2016, 2017 et 2023. Malgré l'utilisation d'anticorps contre les extraits de glandes salivaires Aedes Aegypti, les données d'exposition sont relativement faibles au Burkina Faso. La présente étude vise à évaluer et à comparer la réponse anticorps de type IgG d'Aedes Aegypti chez les enfants et les adultes vivant dans des zones urbaines et rurales du Burkina Faso.
Une étude transversale descriptive a été conduite à Ouagadougou et Sapouy, où des échantillons de sang (n = 676) des enfants et des adultes ont été prélevés. Après l'isolement des glandes salivaires de Aedes aegypti, la réponse anticorps de type IgG contre les antigènes de glandes salivaires a été évaluée par ELISA. La différence de valeur moyenne d'IgG entre deux groupes indépendants a été testée à l'aide du test non paramétrique de Mann-Whitney et la différence entre plus de deux groupes indépendants a été testée à l'aide du test non paramétrique de Kruskal-Wallis. Toutes les différences ont été considérées comme significative pour $p<0,05$.
Il ressort de cette étude que les taux d'IgG anti glandes salivaires de Aedes aegypti montre des niveaux d'exposition différents en fonction du lieu de résidence et de l'activité. Les participants vivant en zone rurale avaient un niveau moyen d'IgG plus élevé les enfants des zones urbaines ($p<0,0001$). L'analyse statistique a révélé une différence significative entre les tranches d'âge des participants ($p<0,0001$).
La réponse IgG sérique constitue un indicateur sensible et spécifique de l'exposition aux piqûres de moustiques, capable de détecter des variations liées à l'environnement, aux comportements humains et aux interventions de lutte antivectorielle.

Abstract

Dengue fever and more severe forms of dengue are major re-emerging infectious diseases, and represent a risk in low and middle-income countries. Studies confirmed its endemicity in Burkina Faso with epidemics notified in 2013, 2016, 2017 and 2023. Despite use of antibodies against Aedes aegypti salivary glands extracts as a relevant biomarker of Aedes bites exposure, data are relatively weak in Burkina Faso. The present study aims to evaluate and compare IgG specific responses to SGE of Aedes aegypti in children and adults living in urban and rural areas in Burkina Faso. Cross-sectional descriptive studies were carried out in Ouagadougou and Sapouy, where blood samples (n = 676) from children and adults were collected. After Aedes aegypti salivary glands isolation, IgG response against SGE were evaluated by ELISA. The difference of mean IgG value between two independent groups was tested using nonparametric Mann-Whitney U test and difference between more than two independent groups was tested using the nonparametric Kruskal–Wallis test. All differences were considered significant at $P < 0.05$. Rural area participants demonstrated greater IgG to Aedes aegypti SGE than urban ($p < 0.0001$). A significant difference was observed between different age groups ($p < 0.0001$) and according to level of education in children ($p < 0.0001$). Evaluation of specific IgG to Aedes aegypti salivary gland extracts as biomarkers in Burkina Faso populations allowed us to show that Aedes aegypti bites is strongly influenced by living environment and age.

OL.147

Résultats anatomiques et fonctionnels du traitement chirurgical des fractures bimalléolaires

Anatomical and functional results of surgical treatment for bimaleolar fractures

Noufanangue Kanfitine KOMBATE[1], kludovick67@yahoo.fr ; Yaovi Edem JAMES[2]; Joel M. ATANA[2]; Kwassi E Dzissah[3]; Kondo BIGNANDI[4]; Y. K. D KOULEKE[4]; Atchi WALLA[2]

[1] CHU -Campus; Université de Lome

[2] CHU-Campus; Université de Lome

[3] Hôpital Saint Jean de Dieu d'Afagnan; Univer

[4] CHU-Campus; Université de Lomé

Résumé

Introduction : Les fractures bimalléolaires sont des lésions fréquentes et graves compromettant parfois le pronostic fonctionnel. Le traitemont chirurgical est de plus en plus recommandé. L'objectif de cette étude était d'évaluer la récupération fonctionnelle et les résultats anatomiques des fractures bimalléolaires opérés dans trois hopitaux du Togo.
Matériels et méthodes :
Il s'agissait d'une étude rétrospective, multicentrique descriptive et analytique portant sur des patients opérés de fractures bimalléolaires dans trois hôpitaux du Togo (CHU-SO; CHU Campus; Hôpital d'Afagnan), entre janvier 2020 et décembre 2024. Il s'agissait de 198 patients âgés de plus de 18 ans, d'âge moyen 49 ans (18- 68 ans), suivis et revus pendant un recul de 6 mois. Les accidents de la circulation routière étaient majoritairement représntés. Les fractures étaient fermées dans 155 cas (78,28%). Les lésions radiographiques étaient classées selon Danis et Weber : type A (n=35) ; type B (n=102); type C(n=61). L'évaluation était basée sur les critères anatomiques de Lecestre et Ramadier en post-opératoire, le score fonctionnel de Kitaoka à 08 mois.Le test de Khi2 a été réalisé pour comparer les variables qualitatives.
Résultats :
Le délai de la chirurgie était moins de 07 jours chez 89 patients (44,94 %), sur une série 198 patients. Les résultats globaux ont été bons chez 167 (84,34%) des patients. Les résultats radiologiques évalués selon les critères anatomiques de Lecestre et de Ramadier, ont été bons dans 149 (75,25%) en post opératoire et dans 144 (72,73%) lors l'évaluation au dernier recul. Les résultats étaient excellents à bons dans 89,5 % selon le score de Kitaoka.
Conclusion : La mobilisation précoce après le traitement chirurgical des fractures bimalléolaires donnait de bons et excellents résultats fonctionnels. Elle permet d'éviter un rétentissement néfaste sur la cheville.

Abstract

Introduction : Bimalleolar fractures are common and serious injuries that sometimes compromise functional prognosis. Surgical treatment is increasingly recommended. The objective of this study was to evaluate the functional recovery and anatomical results of bimalleolar fractures operated on in three hospitals in Togo.
Materials and methods:This was a retrospective, multicenter, descriptive, and analytical study of patients who underwent surgery for bimallolar fractures in three hospitals in Togo (CHU-SO; CHU Campus; Afagnan Hospital) between January 2020 and December 2024. The study included 198 patients over the age of 18, with a mean age of 49 years (range 18-68 years), who were followed up and reviewed over a period of 6 months. Road traffic accidents were the most common cause of injury. The fractures were closed in 155 cases (78.28%). Radiographic lesions were classified according to Danis and Weber: type A (n=35); type B (n=102); type C (n=61). The evaluation was based on the anatomical criteria of Lecestre and Ramadier postoperatively and the Kitaoka functional score at 8 months. The Chi-square test was performed to compare the qualitative variables.
Results: Surgery was performed within 7 days in 89 patients (44.94%) out of a series of 198 patients. Overall results were good in 167 (84.34%) patients. Radiological results, assessed according to the

anatomical criteria of Lecestre and Ramadier, were good in 149 (75.25%) postoperatively and in 144 (72.73%) at the last follow-up. Results were excellent to good in 89.5% according to the Kitaoka score. Conclusion: Early mobilization after surgical treatment of bimalleolar fractures yielded good to excellent functional results. It helps to avoid adverse effects on the ankle.

OL.148

Réticence des femmes à l'adoption de la contraception moderne après avortement au Burkina Faso : comprendre les causes et conséquences

Women's Reluctance to Adopt Modern Contraception After Abortion in Burkina Faso: Understanding the Causes and Consequences

Missida Blandine BILA[1], blandinebila@gmail.com ; Assita GOUO[1]; Maurice YAMEOGO[2]; Danielle BELEMSAGA[1]; Rachidatou COMPAORE[1]; Séni KOUANDA[1]; HHFA-PSSR/IRSS et IASP EQUIPE[1]

[1] IRSS/CNRST

[2] IASP

Résumé

Introduction
La croissance démographique freine l'atteinte des OMD au Burkina Faso. Malgré une politique de planification familiale depuis 1985, la prévalence contraceptive reste faible (22 % en 2021), notamment chez les femmes ayant vécu un avortement, en raison de résistances et de contextes complexes.
Méthodologie
Les données qualitatives proviennent d'entretiens réalisés en décembre 2022 dans divers centres de santé publique. Quatorze femmes post-avortement, six conjoints et dix observations ont été étudiés, grâce à l'appui des soignants et à l'analyse manuelle de leur contenu.
Résultats
Résultat 1 : Les femmes ayant bénéficié de soins après avortement et n'ayant pas d'enfants vivants sont souvent réticentes à adopter des méthodes contraceptives modernes, principalement par crainte d'effets négatifs sur leur fertilité. L'exemple d'une femme ayant subi dix fausses couches consécutives illustre cette peur : la répétition des échecs de grossesse et la diminution des chances de concevoir rendent la contraception suspecte, même si elle n'est pas directement responsable des fausses couches. La difficulté à procréer renforce l'idée que la contraception peut entraver un projet de maternité.
Résultat 2 : Les femmes ayant déjà des enfants vivants hésitent ou renoncent aux contraceptifs modernes sous l'influence de leur entourage, qui les met en garde contre d'éventuels effets néfastes sur la santé. Un cas typique est celui d'une mère de trois enfants, convaincue que la mauvaise santé de sa co-épouse est due à l'utilisation de contraceptifs, ce qui alimente ses propres craintes face à la planification familiale.
Conclusion
Malgré la disponibilité des contraceptifs modernes, de nombreuses femmes post-avortement refusent leur utilisation, par crainte d'effets secondaires ou de stérilité, et sous l'influence de leur entourage. Des stratégies incitatives adaptées sont nécessaires dans les services de santé sexuelle et reproductive.

Abstract

Introduction
Population growth is holding back the achievement of the MDGs in Burkina Faso. Despite a family planning policy since 1985, contraceptive prevalence remains low (22% in 2021), especially among women who have had an abortion, due to resistance and complex contexts.
Methodology
Qualitative data comes from interviews conducted in December 2022 at various public health centres. Fourteen post-abortion women, six spouses and ten observations were studied, thanks to the support of caregivers and the manual analysis of their content.
Results
Outcome 1: Women who have received postabortion care and do not have live children are often reluctant to adopt modern contraceptive methods, mainly for fear of negative effects on their fertility. The example of a woman who has suffered ten consecutive miscarriages illustrates this fear: the repetition of pregnancy failures and the reduced chances of conceiving make contraception suspect, even if it is not directly responsible for the miscarriages. The difficulty of procreating reinforces the idea that contraception can hinder a project of motherhood.

Outcome 2: Women with already living children are reluctant or give up modern contraceptives under the influence of those around them, who warn them of possible adverse health effects. A typical case is that of a mother of three, convinced that her co-wife's poor health is due to contraceptive use, which fuels her own fears about family planning.
Conclusion
Despite the availability of modern contraceptives, many post-abortion women refuse to use them, for fear of side effects or infertility, and under the influence of those around them. Appropriate incentive strategies are needed in sexual and reproductive health services.

OL.149

Risque épidémique de la dengue et de la fièvre jaune associé à la dynamique saisonnière d'Aedes aegypti dans les zones urbaines et péri-urbaines au sud-est de la Côte d'Ivoire

Epidemic risk of dengue and yellow fever associated with the seasonal dynamics of Aedes aegypti in urban and peri-urban areas in southeastern Côte d'Ivoire

N. Yasmine Biré[1], birenandy2014@gmail.com ; B.Z. Juilien Zahouli[1]; D.K. Jean Dibo[1]; F. Jacques Mavoungou[2]; Steffen Bormann[3]; Stefanie Becker[4]; Mahama Touré[1]

[1] Centre d'Entomologie Médicale et Vétérinaire, Université Alassane Ouattara, Bouaké, Côte d'Ivoire

[2] Institut de Recherche en Ecologie Tropicale, Centre Nationale de la Recherche Scientifique et Technologique, Libreville, Gabon

[3] Institute for Tropical Medicine, University of Tübingen, Tübingen, Germany

[4] Research Center for Emerging Infections and Zoonoses, Hanover, Germany

Résumé

Introduction : Abidjan (Côte d'Ivoire) connaît des épidémies récurrentes d'arboviroses transmises par Aedes aegypti, dont la prolifération est favorisée par la saisonnalité et l'urbanisation rapide, en particulier dans le district sanitaire de Cocody-Bingerville.
Objectif : Cette étude visait à évaluer le risque épidémique de dengue et de fièvre jaune en relation avec la dynamique saisonnière de la ponte d'Aedes aegypti en zones urbaine et péri-urbaine.
Méthodes : Des enquêtes entomologiques et socio-écologiques ont été menées de d'août 2023 à juillet 2024, comprenant quatre enquêtes saisonnières (PSS, PSP, LSS, LSP). Les œufs, larves et pupes d'Aedes ont été collectés à l'aide de pondoirs-pièges et de prospections larvaires. L'abondance d'Aedes aegypti, les indices de ponte (indice de positivité des pondoirs-pièges (IPP), nombre moyen d'œufs par pondoirs-pièges (MOP) et indice de densité des œufs (IDO)) et les indices de Stegomyia (indice de maison (IM), indice de conteneur (IC) et indice de Breteau (IB)) ont été calculés et comparés selon les zones, les saisons et les seuils épidémiques de l'OMS.
Résultats : Aedes aegypti dominait (99,8% urbain, 98,1% péri-urbain), avec des pics en grande saison pluvieuse (39,2-46,0%) et sèche (30,1-25,4%). Les indices de ponte étaient plus élevés dans les zones urbaines comparées aux zones péri-urbaines (IPP=53,0% versus 40,0%, MOP = 8,7 œufs/pondoir versus 4,6 œufs/pondoir, IDO =16,4 versus 11,6). Les gîtes principaux étaient les pneus (63,7% urbain) et les petits conteneurs (34,4% péri-urbain). Les indices Stegomyia élevés en zone urbaine (IC=36,7%, IM=48,0%, IB=56,2 vs 29,9%, 35,9% et 41,4) et en saisons pluvieuses ; tous > seuils OMS.
Conclusion : La dynamique saisonnière d'Aedes aegypti, amplifiée par l'urbanisation, augmente le risque de dengue et de fièvre jaune à Abidjan. Des stratégies intégrées, combinant sensibilisation communautaire et gestion ciblée des gîtes larvaires, sont essentielles pour réduire durablement ce risque

Abstract

Background : Abidjan (Côte d'Ivoire) experiences recurrent arbovirus epidemics transmitted by Aedes aegypti, whose proliferation is influenced by seasonality and rapid urbanization, particularly in the Cocody-Bingerville health district.
Aim: This study aimed to assess the epidemic risk of dengue and yellow fever in relation to the seasonal dynamics of Aedes aegypti oviposition in urban and peri-urban areas.
Methods: Entomological and socio-ecological surveys were conducted from August 2023 to July 2024, comprising four seasonal surveys (SDS, SRS, LDS, LRS). Eggs, larvae, and pupae of Aedes were collected using ovitraps and larval surveys. The abundance of Aedes aegypti, oviposition indices (Ovitrap Positive Index: OPI, Mean Eggs per Ovitrap: MEO, Egg Density Index: EDI) and Stegomyia indices (House Index: HI, Container Index: CI, Breteau Index: BI) were calculated and compared across areas, seasons, and against WHO epidemic thresholds.
Results: Aedes aegypti was dominant (99.8% in urban areas, 98.1% in peri-urban areas), with peaks during the major rainy season (39.2-46.0%) and dry season (30.1-25.4%). Oviposition indices were

higher in urban areas: OPI = 53.0% (versus 40.0%), MEO = 8.7 eggs/ovitrap versus 4.6), EDI = 16.4 (versus 11.6). Main breeding sites were tires (63.7% urban) and small containers (34.4% peri-urban). Stegomyia indices were elevated in urban areas (CI = 36.7%, HI = 48.0%, BI = 56.2 versus29.9%, 35.9%, and 41.4% in peri-urban areas) and during the rainy seasons; all values exceeded WHO thresholds.
Conclusion: The seasonal dynamics of Aedes aegypti, amplified by urbanization, increase the epidemic risk of dengue and yellow fever in Abidjan. Integrated strategies combining community awareness and targeted breeding site management are essential to sustainably reduce this risk.

OL.150

Rupture biographique et réintégration sociale des sujets victimes d'accident vasculaire cérébral (AVC) en Côte d'Ivoire

Biographical disruption and social reintegration of stroke victims in Ivory Coast

Anon Félix N'DIA[1], felixndianon@yahoo.fr ; N'cho Jérôme KPATTA[2]

[1] Université Felix Houphouet-Boigny Abidjan-Côte d'Ivoire

[2] Université Félix Houphouet-Boigny Abidjan-Côte d'Ivoire

Résumé

Loin de se réduire à un simple évènement biomédical, l'accident vasculaire cérébral (AVC) surgit comme une rupture dans le parcours de vie du sujet victime. Ainsi, il impose une reconfiguration des rôles sociaux et des habitudes pouvant générer un isolement, une perte d'autonomie et une altération de l'image de soi. Cependant, les sujets victimes d'AVC font face à une rupture de leur trajectoire de vie marquée par des défis de réintégration sociale. Cette recherche vise à analyser l'impact de l'offre de soins sur le processus de réintégration sociale et de reconstruction biographique des sujets victimes AVC. Essentiellement qualitative, l'étude a été menée à l'aide d'un guide d'entretien semi-directif auprès des sujets victimes AVC, des aidants familiaux et du personnel de santé. Les données recueillies et traitées avec le logiciel NVIVO 14 ont eu pour cadre de référence la sociologie de la santé avec l'usage de la théorie de l'identité sociale pour interpréter le phénomène. Les sujets auprès de qui les enquêtes ont été conduites, ont été retenus à partir de l'échantillonnage par choix raisonné. L'analyse de contenu a servi de cadre pour analyser les données recueillies. Il est ressorti de l'analyse et de l'interprétation des données trois résultats que sont : la survenue de l'AVC instaure une rupture de la trajectoire biographique chez les sujets victimes, caractérisée par une désarticulation de l'identité, des rôles sociaux. Les difficultés de réintégration sociale sont expliquées par la perception négative du handicap et l'insuffisance du système de soutien socio-sanitaire. En somme, la réintégration post AVC se situe entre la solidarité communautaire (E. Durkheim), la gestion du stigmate (E. Goffman) et la lutte pour la reconnaissance sociale (P. Bourdieu).
Mots-clés : Rupture biographique, AVC, reconstruction sociale, identité, sujets

Abstract

Far from being a simple biomedical event, stroke emerges as a disruption in the life trajectory of the affected individual. It necessitates a reconfiguration of social roles and habits, potentially leading to isolation, loss of autonomy, and a diminished self-image. Furthermore, stroke survivors face a significant life trajectory disruption marked by challenges of social reintegration. This research aims to analyze the impact of healthcare provision on the social reintegration and biographical reconstruction processes of stroke survivors. Primarily qualitative, the study was conducted using a semi-structured interview guide with stroke

survivors, family caregivers, and healthcare professionals. The data collected and processed using NVIVO 14 software were framed within the sociology of health, employing social identity theory to interpret the phenomenon. Participants were selected through purposive sampling. Content analysis was used to analyze the collected data. The analysis and interpretation of the data revealed three key findings: A stroke disrupts the life trajectory of affected individuals, characterized by a disarticulation of identity and social roles. Difficulties with social reintegration are explained by the negative perception of disability and the inadequacy of the social and healthcare support system. In short, post-stroke reintegration lies at the intersection of community solidarity (E. Durkheim), managing stigma (E. Goffman), and the struggle for social recognition (P. Bourdieu).
Keywords: Biographical rupture, stroke, social reconstruction, identity, subject

OL.151

Sécurité transfusionnelle des concentrés érythrocytaires : détermination des hématies parasitées par Plasmodium au Centre National de Transfusion Sanguine de Côte d'Ivoire

Transfusion safety of red blood cell concentrates: determination of Plasmodium-infected red blood cells at the National Blood Transfusion Center of Côte d'Ivoire

Aya Jeanne Armande AKE[1], akeyarmande@yahoo.fr ; Saydou KABORE[1]; Kouabla Liliane SIRANSY[2]; Stéphane Tosséa KOUI[1]; Jean-Jacques Renaud DECHI[1]; Bamory DEMBELE[2]; Yassongui Mamadou SEKONGO[1]

[1] Centre National de Transfusion Sanguine de Côte d'Ivoire

[2] Université Félix Houphouët-Boigny, Côte d'Ivoire, Centre National de Transfusion Sanguine de Côte d'Ivoire

Résumé

Introduction. La sécurité transfusionnelle est l'ensemble des mesures garantissant des transfusions sanguines sûres, Elle prend en compte toutes les étapes de la chaîne transfusionnelle et permet de réduire tous les risques immunologiques (réactions) et infectieux transmissibles par transfusion des produits sanguins dont les concentrés érythrocytaires. La Côte d'Ivoire étant un pays endémique au paludisme, le risque d'infection par Plasmodium demeure un enjeu majeur pour les transfusions sanguines. L'objectif de cette étude était d'évaluer la qualité des concentrés érythrocytaires par la détermination des hématies parasitées par Plasmodium.
Méthodologie. Cette étude transversale a été réalisée sur des poches de concentrés érythrocytaires de juillet 2024 à décembre 2025 au laboratoire de contrôle qualité du Centre National de Transfusion Sanguine de Côte d'Ivoire. La détection des hématies parasitées par Plasmodium (MI-RBC) s'est faite grâce à l'automate d'hématologie le Sysmex XN 31. Et les données collectées par son logiciel Sysmex XN 31 ont été analysées par le logiciel Excel 2016.
Résultats. Au total 1672 poches de concentrés érythrocytaires (CE) ont été contrôlées pour la détermination des hématies parasitées par Plasmodium. 1170 CE soit 70 % provenaient des hommes contre 502 CE des femmes soit 30%. Les unités pédiatriques étaient de 826 et les unités adultes étaient de 846. Au total 72/1672 concentrés érythrocytaires contrôlés ont eu des hématies parasitées par Plasmodium, soit 49/72 CE pour les unités adultes et 23/72 CE pour les unités pédiatriques.
Conclusion. Les données ont monté la présence d'hématies parasitées par Plasmodium dans 72 poches de concentrés érythrocytaires contrôlées. Confirmant ainsi le risque d'infection par Plasmodium des concentrés érythrocytaires. Ces résultats pourraient servir à renforcer la sécurité transfusionnelle des CE au CNTSCI et réduire la transmission du paludisme par la transfusion sanguine

Abstract

Introduction. Transfusion safety refers to all measures taken to ensure safe blood transfusions. It covers all stages of the transfusion chain and helps reduce all immunological (reactions) and infectious risks that can be transmitted through the transfusion of blood products, including red blood cell concentrates. As Côte d'Ivoire is a malaria-endemic country, the risk of Plasmodium infection remains a major issue for blood transfusions. The objective of this study was to evaluate the quality of red blood cell concentrates by determining the number of red blood cells infected with Plasmodium.
Methodology. This cross-sectional study was conducted on bags of erythrocyte concentrates from July 2024 to December 2025 at the quality control laboratory of the National Blood Transfusion Center of Côte d'Ivoire. Plasmodium-infected red blood cells (MI-RBC) were detected using the Sysmex XN 31 hematology analyzer. Data were collected using the Sysmex XN 31 software and analyzed using Excel 2016.
Results. A total of 1672 bags of erythrocyte concentrates (EC) were tested for the presence of Plasmodium-infected red blood cells. 1170 EC, or 70%, came from men, compared with 502 EC, or 30%, from women. There were 826 pediatric units and 846 adult units. A total of 72/1672 erythrocyte

concentrates tested had red blood cells parasitized by Plasmodium, i.e., 49/72 EC for adult units and 23/72 EC for pediatric units.
Conclusion. The data showed the presence of Plasmodium-infected red blood cells in 72 bags of erythrocyte concentrates tested. This confirms the risk of Plasmodium infection in erythrocyte concentrates. These results could be used to improve the safety of blood transfusions for ECs at the CNTSCI and reduce the transmission of malaria through blood transfusions.

OL.152

Sensibilité de neuf (9) variétés de cotonnier vis à vis de jassides du cotonnier en Côte d'Ivoire

Sensitivity of nine (9) cotton varieties to cotton jassids in Côte d'Ivoire

Pitou Woklin Euloge KONE[1], eulogepitou@gmail.com ; Malanno KOUAKOU[2]; Koffi Eric KWADJO[3]; Ochou Germain OCHOU[2]

[1] Université de Man, Côte d'Ivoire

[2] Centre National de Recherche Agronomique, Côte d'Ivoire

[3] Université Nangui Abrogoua, Côte d'Ivoire

Résumé

Les attaques de jassides sur plants demeurent persistantes, ces dernières années, durant le cycle cultural du cotonnier en Côte d'Ivoire. De fortes infestations des cicadelles infligent d'importants dégâts sur plants entrainant des pertes de production. Pour une gestion des ravageurs, la pilosité variétale est un caractère efficace exploité. Cette étude vise à déterminer l'influence du caractère pilosité des variétés de coton sur les infestations de jassides. Les densité et longueur de poils à la surface inférieure de la feuille ont été déterminées pour neuf (9) variétés de cotonnier par observation et décomptage à l'aide de microscope optique. Des relevés parasitaires hebdomadaires sur plants ont été effectués selon la méthode de la diagonale. Les résultats obtenus ont révélé une corrélation positive entre nombre de jassides et niveaux de dégâts. Le nombre moyen de plants attaqués a été de 0,19 pour NV 2 ; 0,61 pour NV 1 ; 0,69 pour ISA 205K et Sicama ; 1,31 pour ISA 784 ; 2,53 pour Gouassou ; 3,14 pour Y 331C ; 4,08 pour ISA 268A et 7,03 pour W 766C. Les plus fortes densités de poils (206,40 ; 204,01 ; 202,06 et 200,48 poils/cm²) ont été observées respectivement chez les variétés NV 2, Gouassou, NV 1 et ISA 205K. Les longueurs de poils pour NV 2, ISA 784, ISA 205K, Gouassou, NV 1, Sicama, W 766C, Y 331C et ISA 268A ont respectivement été de 2,63 ; 2,60 ; 2,56 ; 2,54 ; 2,50 ; 2,49 ; 2,36 ; 2,32 et 2,18 mm. Les valeurs de corrélation déterminées entre densité de poils et niveaux de dégâts, longueur de poils et niveaux de dégâts ont été respectivement de -0,76 et -0,70. Ces observations suggèrent l'utilisation de variétés à forte densité de pilosité sur la feuille pour la production de coton.

Abstract

Cotton leafhoppers have been persistently attacking plants during the cotton growing cycle in Côte d'Ivoire in recent years. Heavy infestations of leafhoppers cause significant damage to plants, leading to production losses. Varietal hairiness is an effective trait exploited for pest management. This study aims to determine the influence of hairiness in cotton varieties on leafhopper infestations. The density and length of hairs on the underside of the leaf were determined for nine (9) cotton varieties by observation and counting using an optical microscope. Weekly parasite surveys on plants were carried out using the diagonal method. The results revealed a positive correlation between the number of whiteflies and the level of damage. The average number of plants attacked was 0.19 for NV 2; 0.61 for NV 1; 0.69 for ISA 205K and Sicama; 1.31 for ISA 784; 2.53 for Gouassou; 3.14 for Y 331C; 4.08 for ISA 268A; and 7.03 for W 766C. The highest hair densities (206.40; 204.01; 202.06 and 200.48 hairs/cm²) were observed for NV 2, Gouassou, NV 1 and ISA 205K varieties, respectively. The hair lengths for NV 2, ISA 784, ISA 205K, Gouassou, NV 1, Sicama, W 766C, Y 331C, and ISA 268A were 2.63, 2.60, 2.56, 2.54; 2.50; 2.49; 2.36; 2.32 and 2.18 mm, respectively. The correlation values determined between hair density and damage levels, and hair length and damage levels were -0.76 and -0.70, respectively. These observations suggest the use of varieties with high hair density on the leaf for cotton production.

OL.153

Séquençage portable de l'ADN libre circulant par technologie Nanopore pour le diagnostic du sepsis et l'investigation des épidémies dans des contextes ruraux à ressources limitées

Portable Cell-Free DNA Nanopore Sequencing for Sepsis Diagnostics and Outbreak Investigation in Resource-Limited Rural Settings

Anna Rommerskirchen[1], Anna.rommerskirchen@med.uni-duesseldorf.de ; Tafese Beyene Tufa[2]; Pascal Massion[3]; Melanie Schwarz-Caddedu[3]; Kristina Vogel[3]; Kirsten Eberhardt[3]; Alexander Dilthey[1]

[1] Institut für Medizinische Mikrobiologie und Krankenhaushygiene, Heinrich-Heine Universität Düsseldorf, Germany

[2] College of Health Sciences, Arsi University, Asella, Ethiopia

[3] Clinic for Gastroenterology, Hepatology and Infectiology, University Hospital Düsseldorf, Germany

Résumé

Ce projet explore la mise en œuvre du séquençage portable de l'ADN libre circulant (cfDNA) utilisant la technologie Nanopore pour un diagnostic intégré du sepsis et l'investigation des épidémies dans des contextes ruraux à ressources limitées. Les méthodes diagnostiques conventionnelles du sepsis sont souvent lentes, dépendantes d'infrastructures complexes et limitées dans leur capacité à détecter un large éventail de pathogènes, en particulier chez les populations vulnérables telles que les jeunes enfants et les patients atteints d'un VIH avancé. Grâce au séquençage métagénomique indépendant de la culture directement à partir du plasma, cette approche permet une identification rapide et complète des agents pathogènes, incluant bactéries, virus, champignons et parasites. Parallèlement, le développement de capacités locales de séquençage, via des formations ciblées et la mise en place d'une infrastructure bioinformatique sur site, permet une surveillance génomique en temps réel et renforce les capacités de réponse aux épidémies. Les premiers résultats démontrent la faisabilité de cette approche, notamment par la détection de pathogènes dans des cas où les méthodes conventionnelles échouent. Globalement, cette stratégie illustre le potentiel de combiner diagnostics moléculaires innovants et renforcement des capacités locales afin d'améliorer les résultats cliniques, la gestion des antimicrobiens et la préparation aux épidémies dans les environnements à ressources limitées.

Contexte: La résistance aux antimicrobiens (RAM) constitue une menace croissante pour la santé mondiale et nécessite de solides compétences en prescription antibiotique raisonnée. Nous avons développé l'Antibiotic Compass, un dispositif innovant d'apprentissage mixte destiné aux étudiants en dernière année de médecine, visant à renforcer les connaissances, la prise de décision clinique et la compréhension des différences contextuelles d'utilisation des antibiotiques. Le projet inclut un transfert international de l'Allemagne vers le Malawi dans le cadre d'un partenariat entre l'University Medical Center Freiburg et la Kamuzu University of Health Sciences à Blantyre.

Méthodes : Introduit en 2021 à Freiburg, l'Antibiotic Compass associe dix modules d'e-learning à des sessions présentielles interactives. Le programme renforce les principes fondamentaux de microbiologie et de pharmacologie, promeut un raisonnement structuré pour les traitements empiriques et ciblés et met l'accent sur des stratégies concrètes de bon usage. Les modules comprennent de courtes vidéos, des quiz cliniques et une représentation visuelle structurée des antibiotiques organisée selon leur usage clinique pratique. L'évaluation comprenait un questionnaire standardisé mesurant le sentiment de préparation dans 27 domaines de compétence, ainsi qu'une évaluation globale du cours.

Pour le transfert international, une analyse structurée des besoins à Blantyre a examiné la disponibilité des antibiotiques, les pratiques de prescription et l'infrastructure diagnostique.

Résultats : À Freiburg, 232 étudiants ont suivi le cours. L'évaluation globale était excellente (note moyenne 1,1/6). Le sentiment de préparation s'est amélioré dans les 27 domaines évalués. L'analyse des besoins a révélé des différences marquées, notamment une disponibilité inconstante des antibiotiques, un recours empirique aux céphalosporines de troisième génération au Malawi, des délais prolongés en microbiologie avec accès limité aux tests de sensibilité. L'adaptation a donc privilégié une prise de décision guidée par la disponibilité des ressources.

Conclusions : L'Antibiotic Compass est un dispositif pédagogique bien accepté qui renforce la confiance

en prescription chez les étudiants en médecine. Le transfert international nécessite une adaptation sensible au contexte tout en contribuant à relever le défi mondial de la RAM.

Abstract

This project explores the implementation of portable cell-free DNA (cfDNA) sequencing using Nanopore technology for integrated sepsis diagnostics and outbreak investigation in resource-limited rural settings. Conventional diagnostic methods for sepsis are often slow, infrastructure-dependent, and limited in their ability to detect a broad range of pathogens, particularly in vulnerable populations such as young children and patients with advanced HIV. By applying culture-independent metagenomic sequencing directly from plasma, this approach enables rapid, comprehensive pathogen identification, including bacteria, viruses, fungi, and parasites. At the same time, the establishment of local sequencing capacity—through targeted training and on-site bioinformatics infrastructure—allows real-time genomic surveillance and strengthens outbreak response capabilities. Initial findings demonstrate the feasibility of this approach, including successful pathogen detection in cases where conventional diagnostics fail. Overall, this strategy highlights the potential of combining innovative molecular diagnostics with capacity building to improve clinical outcomes, antimicrobial stewardship, and epidemic preparedness in low-resource environments.

Background: Antimicrobial resistance (AMR) is a growing global health threat, requiring strong competencies in rational antibiotic prescribing. We developed the Antibiotic Compass, an innovative blended-learning tool for final-year medical students, designed to strengthen knowledge, clinical decision-making, and awareness of contextual differences in antibiotic use. The project includes international transfer from Germany to Malawi in a collaborative teaching partnership between the University Medical Center Freiburg and the Kamuzu University of Health Sciences Blantyre, explicitly addressing differences in resources and practice between contexts.

Methods: Introduced in 2021 at Freiburg University Medical Center, the Antibiotic Compass combines ten structured e-learning modules with interactive in-person sessions focused on clinical decision-making. The didactic framework reinforces core principles of microbiology and pharmacology, promotes structured reasoning for empiric and targeted therapy, and emphasizes practical stewardship strategies. Digital modules include short explainer videos, case-based quizzes, and an innovative visual “antimicrobial shelving system” that organizes agents to support cognitive structuring and practical application. Course evaluation included standardized feedback and assessment of self-perceived preparedness across 27 competency domains of rational antibiotic prescribing1. For international transfer, a structured needs assessment in Blantyre examined antimicrobial availability, prescribing practices, and diagnostic infrastructure.

Results: Since implementation, 232 final-year students have participated in the course in Freiburg. Overall evaluation was excellent (mean grade 1.1 on German 1–6 scale). Self-perceived preparedness improved across all 27 prescribing competencies. Needs assessment revealed marked contextual differences between Freiburg and Blantyre, including inconsistent antibiotic availability and empiric reliance on third-generation cephalosporins in Blantyre due to limited access to penicillins, prolonged microbiology turnaround times, and intermittent susceptibility testing capacity. The Blantyre adaptation therefore prioritized availability-driven decision-making rather than spectrum-based optimization alone.

Conclusions: The Antibiotic Compass is a well-accepted educational tool that enhances prescribing confidence among medical students. Successful international transfer requires context-sensitive adaptation reflecting local resource constraints while addressing the shared global challenge of AMR.

OL.154

Séroprévalence du SARS-CoV-2 en population générale dans deux communes de la ville d'Abidjan pendant la quatrième vague de l'épidémie en Côte d'Ivoire.

Seroprevalence of SARS-CoV-2 in the general population of two districts in Abidjan during the fourth wave of the epidemic in Côte d'Ivoire.

Man-Koumba Soumahoro[1], mksoumahoro@pasteur.ci ; Kouadio Narcisse Tano[1]; Constant Koné[1]; Alain Yéo[2]; Yves Landry Kangah[1]; Daouda Sévédé[2]; Mireille Dosso[2]

[1] Institut Pasteur de Côte d'Ivoire, Département Epidémiologie et Santé des population, Côte d'Ivoire

[2] Institut Pasteur de Côte d'Ivoire, Département Bactériologie-Virologie, Côte d'Ivoire

Résumé

Contexte : La pandémie de Covid-19 a eu un impact variable selon les communes d'Abidjan. Les objectifs étaient d'estimer la séroprévalence du SARS-CoV-2 et d'identifier les déterminant de la séropositivité dans deux communes aux profils de diffusion opposés au début de l'épidémie : Cocody (fort) et Port-Bouët (faible).
Méthodes : Deux enquêtes transversales par sondage en grappe ont été menées de février à juin 2022 en populations générale à Cocody et à Port-Bouët. Les données sociodémographiques, les antécédents médicaux, le statut vaccinal et les comportements préventifs ont été recueillis via questionnaire. La séroprévalence a été déterminée par dosage des anticorps anti-SARS-CoV-2 (IgG/IgM). Les variables qualitatives ont été comparées par le test du Chi² avec correction de Rao et Scott. Pour identifier les facteurs associés à la séropositivité, un modèle de régression logistique multivarié a été construit.
Résultats : Sur 1617 participants (801 à Cocody, 816 à Port-Bouët), l'âge moyen était de 33,6□17,5 ans à Cocody et 31,7□19,5 ans à Port-Bouët, avec une prédominance féminine et une forte proportion (≥70%) de non vaccinés dans les deux communes. La séroprévalence était de 87,3 % (IC95%: 83,3-90,5%) à Cocody et 86,1 % à Port-Bouët (IC95%: 83,4–88,4%). A Cocody, les facteurs associés à la séropositivité incluaient la vaccination, l'âge ≥65 ans (ORa=5,89 ; IC95% : 1,03–33,67). A Port-Bouët, la séropositivité était principalement associée à la déclaration d'un contact avec un cas (ORa=12.3, IC95%: 1.04 – 146,7), à l'âge compris entre 12 et 17 ans (ORa=4.1, IC95%: 1.10 – 15,15). Dans les deux commune, le statut vaccinal apparaissait associé à la séropositivité dans des contexte où près des trois quarts des participant n'avaient reçu aucune dose de vaccin.
Conclusion : L'étude met en évidence une large diffusion du virus suggérant l'atteinte l'immunité collective, surtout à Cocody. L'âge, la vaccination et certains comportements préventifs se révèlent comme des déterminants majeurs. Ces résultats soulignent l'importance de stratégies de prévention ciblées et confirment la nécessité de renforcer l'éducation sanitaire et la vaccination pour limiter la transmission lors de futures vagues.

Abstract

Abstract
Background : The Covid-19 pandemic had a variable impact depending on the districts of Abidjan. The objectives were to estimate the seroprevalence of SARS-CoV-2 and to identify factors associated with seropositivity in two districts with contrasting transmission profiles at the start of the epidemic: Cocody (high) and Port-Bouët (low).
Methods : Two cross-sectional cluster surveys were conducted from February to June 2022 among the general population in Cocody and Port-Bouët. Sociodemographic data, medical history, vaccination status, and preventive behaviours were collected via questionnaire. Seroprevalence was determined by measuring anti-SARS-CoV-2 antibodies (IgG/IgM). Qualitative variables were compared using the Chi² test with Rao and Scott correction. To identify factors associated with seropositivity, a multivariate logistic regression model was constructed.
Results : Among 1,617 participants (801 in Cocody, 816 in Port-Bouët), the mean age was 33.6□17.5 years in Cocody and 31.7□19.5 years in Port-Bouët, with a predominance of females and a high proportion (≥70%) of unvaccinated individuals in both districts. Seroprevalence was 87.3% (95% CI: 83.3–90.5%) in Cocody and 86.1% in Port-Bouët (95% CI: 83.4–88.4%). In Cocody, factors associated

with seropositivity included vaccination and age ≥65 years (aOR=5.89; 95% CI: 1.03–33.67). In Port-Bouët, seropositivity was mainly associated with reporting contact with a case (aOR=12.33; 95% CI: 1.04–146.7), and age between 12 and 17 years (aOR=4.08; 95% CI: 1.10–15.15). In both districts, vaccination status appeared to be associated with seropositivity in a context where nearly three quarters of participants had not received any vaccine dose.
Conclusion : The study highlights widespread transmission of the virus, suggesting the achievement of herd immunity, particularly in Cocody. Age, vaccination, and certain preventive behaviours emerged as major determinants. These results emphasise the importance of targeted prevention strategies and confirm the need to strengthen health education and vaccination to limit transmission during future waves.

OL.155

Sexualité chez les personnes âgées vivant dans la commune de Parakou : défis et perspectives

Sexuality among the elderly living in the commune of Parakou: challenges and perspectives

Codjo Abodourin albert Charles Patrick Makoutode[1], makoutotodepatrick@yahoo.fr ; Leila Salé[2]; Nadine Adjovi[2]

[1] Institut Régional de la Santé Publique, Université d'Abomey-Calavi, Benin, Auteur

[2] Institut de Formation en Soins Infirmier et Obstétricaux, Université de Parakou, Bénin, co-auteur

Résumé

Contexte et justification : Le vieillissement démographique est un phénomène mondial qui touche progressivement le Bénin. Malgré la reconnaissance par l'OMS de la sexualité comme droit fondamental à tout âge, les personnes âgées demeurent exclues des programmes de santé sexuelle et reproductive. À Parakou, ville multiculturelle du Bénin, la sexualité des aînés reste invisibilisée et stigmatisée, engendrant des conséquences graves sur les plans individuel, relationnel, sanitaire et social.
Objectif : Étudier les défis liés à la sexualité chez les personnes âgées vivant dans la commune de Parakou en 2025.
Méthodes : Étude transversale descriptive et analytique menée en octobre 2025 auprès de 226 personnes âgées de 60 ans et plus, sélectionnées par échantillonnage aléatoire à plusieurs degrés dans 8 quartiers des 1er et 2ème arrondissements de Parakou. Les données ont été collectées à l'aide d'un questionnaire structuré sur KoboCollect et analysées avec Jamovi 2.7.12. Le cadre théorique mobilisait le modèle socio-écologique de Bronfenbrenner et le Health Belief Model.
Résultats : La proportion de l'activité sexuelle était de 47,8% (IC 95% : 41,3%-54,3%), significativement supérieure à l'hypothèse initiale de 15,9%. Cette proportion variait selon le sexe (hommes 58,6% vs femmes 28,4%), l'âge (59,4% chez les 60-69 ans vs 13,3% chez les 80 ans et plus) et le statut matrimonial (64,3% chez les mariés vs 5,7% chez les veufs). Parmi les personnes sexuellement actives, 67,6% avaient 1-3 rapports mensuels, 94,4% pratiquaient des rapports pénétratifs et 89,8% se déclaraient satisfaits. L'utilisation du préservatif restait très limitée (0% toujours, 56,5% jamais). Les analyses univariée identifiaient 15 facteurs significativement associés à l'activité sexuelle. La régression logistique multiple révélait cinq facteurs significativement associés à l'activité sexuelle: présence d'un partenaire régulier (OR=8,73 ; IC 95% : [4,85-15,72] ; p<0,05), qualité de la relation affective (OR=2,79 ; IC 95% : [1,55-5,02]; p<0,05), sexe masculin (OR=2,35 ; IC 95% : [1,31-4,23] ; p<0,05), activité physique régulière (OR=2,29 ; IC 95% : [1,27-4,12] ; p<0,05) et absence de maladies chroniques (OR=1,89 ; IC 95% : [1,05-3,45] ; p<0,05). Seulement 39,4% des personnes âgées avaient déjà discuté de sexualité avec un professionnel de santé, et 76,5% souhaitaient des services adaptés.
Conclusion : Cette première étude béninoise révèle que près de la moitié des personnes âgées de Parakou maintiennent une activité sexuelle, déterminée par des facteurs relationnels, sociodémographiques, biologiques et institutionnels. Les lacunes majeures dans la prise en charge médicale et la prévention des IST appellent à des réformes urgentes des politiques de santé publique, à la formation des professionnels et à des actions de sensibilisation communautaire pour garantir un vieillissement sexuel digne et épanoui.

Abstract

Background and Rationale: Population aging is a global phenomenon gradually affecting Benin. Despite the WHO's recognition of sexuality as a fundamental right at any age, the elderly remain excluded from sexual and reproductive health programs. In Parakou, a multicultural city in Benin, elderly sexuality remains invisible and stigmatized, leading to serious individual, relational, health, and social consequences.
Objective: To study the challenges related to sexuality among elderly people living in the commune of Parakou in 2025.

Methods: A descriptive and analytical cross-sectional study was conducted in October 2025 among 226 people aged 60 and over, selected by multi-stage random sampling across 8 neighborhoods in the 1st and 2nd districts of Parakou. Data were collected using a structured questionnaire on KoboCollect and analyzed with Jamovi 2.7.12. The theoretical framework utilized Bronfenbrenner's socio-ecological model and the Health Belief Model.
Results: The proportion of sexual activity was 47.8% (95% CI: 41.3%–54.3%), significantly higher than the initial hypothesis of 15.9%. This proportion varied by gender (men 58.6% vs. women 28.4%), age (59.4% among 60–69 year olds vs. 13.3% among those aged 80 and over), and marital status (64.3% among the married vs. 5.7% among the widowed). Among sexually active individuals, 67.6% had 1–3 sexual encounters per month, 94.4% practiced penetrative intercourse, and 89.8% reported being satisfied. Condom use remained very limited (0% "always", 56.5% "never"). Univariate analyses identified 15 factors significantly associated with sexual activity. Multiple logistic regression revealed five factors significantly associated with sexual activity: presence of a regular partner (OR=8.73; 95% CI: [4.85–15.72]; $p<0.05$), quality of the emotional relationship (OR=2.79; 95% CI: [1.55–5.02]; $p<0.05$), male gender (OR=2.35; 95% CI: [1.31–4.23]; $p<0.05$), regular physical activity (OR=2.29; 95% CI: [1.27–4.12]; $p<0.05$), and absence of chronic diseases (OR=1.89; 95% CI: [1.05–3.45]; $p<0.05$). Only 39.4% of the elderly had ever discussed sexuality with a healthcare professional, and 76.5% desired adapted services.
Conclusion: This first Beninese study reveals that nearly half of the elderly in Parakou maintain sexual activity, determined by relational, sociodemographic, biological, and institutional factors. Major gaps in medical care and STI prevention call for urgent public health policy reforms, professional training, and community awareness actions to ensure dignified and fulfilling sexual aging.

OL.156

Socialisation alimentaire et valorisation du patrimoine gastronomique ivoirien

Food socialization and promotion of Ivorian gastronomic heritage

Taté Roger Oulahi[1], outaro72@gmail.com ; Laurence Attigbi[2]; Memon . Fofana[3]; Seri Faustin Dedy[4]; Arnaud Kevin Dayoro[4]

[1] Institut National d'Hygiène Publique, Côte d'Ivoire

[2] Université Alassane Ouattara, Côte d'Ivoire

[3] Université Peleforo Gon Coulibaly, Côte d'Ivoire

[4] Université Félix Houphouët Boigny, Côte d'Ivoire

Résumé

Cet article étudie d'un point de vue sociologique la socialisation alimentaire et ses enjeux dans les sociétés urbaines contemporaines. La question de la valorisation des aliments locaux s'inscrit tantôt comme une revendication identitaire, tantôt comme un moyen de réduction de la consommation des aliments ultra-transformés. Enfin, la valorisation du patrimoine gastronomique dans la socialisation alimentaire est mise en exergue à travers des productions de discours chez des femmes promotrices du festival les « goûters de mon enfance ». Ces résultats montrent comment un festival gastronomique et culturel participe à la socialisation alimentaire de la jeune génération.

Abstract

This article examines, from a sociological perspective, food socialization and its implications in contemporary urban societies. The issue of promoting local foods is sometimes framed as a claim of identity, and sometimes as a means of reducing the consumption of ultra-processed foods. Finally, the valorization of gastronomic heritage in food socialization is highlighted through the discourse produced by women promoting the "Snacks of My Childhood" festival. These results show how a gastronomic and cultural festival contributes to the food socialization of the younger generation.

OL.157

STIGMATISATION A L'EGARD DE LA LÈPRE : AMPLEUR ET FACTEURS ASSOCIÉS DANS LE DÉPARTEMENT DU ZOU AU BENIN

Leprosy-Related Stigma : Magnitude and Associated Factors in the Zou Department, Benin

Diane Edwige ZANVO[1], dianezanvo@yahoo.fr ; Christelle GBAGUIDI[1]; Jean Gabin HOUEZO[1]; Inès AGBO[1]; Fernand Aimé GUEDOU[1]; Anna GINE-MARCH[2]; Roch Christian JOHNSON[1]

[1] Centre Interfacultaire de Formation et de Recherche en Environnement pour le développement Durable, Université d'Abomey-Calavi, Bénin

[2] Anesvad Foundation

Résumé

Depuis l'Antiquité, la lèpre est considérée comme une maladie incurable et contagieuse provoquant des déformations du visage, des mains et des pieds. Ces déformations engendrent la terreur d'une possible contagion chez les proches, et cette peur est à la base du rejet, de la discrimination des patients ainsi que de leur exclusion de la société. L'objectif de cette étude était d'étudier l'ampleur et les facteurs associés à la stigmatisation à l'égard de la lèpre dans le département du Zou au Bénin. Il s'est agi d'une étude transversale descriptive analytique qui s'est déroulée du 15 novembre 2024 au 29 janvier 2025. Elle a porté sur les sujets contacts vivant dans un rayon de 100 mètres d'un ancien malade de lèpre multibacillaire enregistrés entre 2013 et 2023 dans le département du Zou. Les données ont été collectées avec l'application ODK Collect. L'Outil standardisé Explanatory Model Interview Catalogue (EMIC) a été utilisé pour évaluer la stigmatisation de la lèpre. Une régression linéaire robuste a été utilisée pour étudier l'influence des variables explicatives sur la stigmatisation. L'analyse a porté sur 343 sujets. Ils étaient majoritairement de sexe féminin (213) avec un sex ratio F/M de 1,64. L'âge médian était de 32 ans ; [23 ans ; 47 ans]. Le score total médian des items de l'EMIC était de 17,75 ± 6,94. Par ailleurs, les participants vivant en zone rurale présentent un score moyen de stigmatisation supérieur de 4,62 unités à celui des individus en milieu urbain (β = 4,62 ; IC95% [0,31 ; 8,93] ; p = 0,036). Les résultats issus de cette étude montrent une forte stigmatisation associée à la lèpre. Il est donc nécessaire de mettre en place des interventions pour réduire les idées fausses et améliorer les attitudes des membres de la communauté à l'égard de la lèpre.

Abstract

Since ancient times, leprosy has been considered an incurable and contagious disease that causes deformities of the face, hands, and feet. These deformities cause fear of possible contagion among loved ones, and this fear is the basis for the rejection, discrimination, and exclusion of patients from society. The objective of this study was to investigate the extent and factors associated with stigma towards leprosy in the Zou department of Benin. It was a descriptive analytical cross-sectional study conducted from November 15, 2024, to January 29, 2025. It focused on contact subjects living within a 100-meter radius of a former multibacillary leprosy patient registered between 2013 and 2023 in the Zou department. Data were collected using the ODK Collect application. The standardized Explanatory Model Interview Catalog (EMIC) tool was used to assess leprosy stigma. Robust linear regression was used to study the influence of explanatory variables on stigma. The analysis included 343 subjects. The majority were female (213) with a female-to-male sex ratio of 1.64. The median age was 32 years [23 years; 47 years]. The median total score for the EMIC items was 17.75 ± 6.94. Furthermore, participants living in rural areas had an average stigma score 4.62 units higher than those living in urban areas (β = 4.62; 95% CI [0.31; 8.93]; p = 0.036). The results of this study show a high level of stigma associated with leprosy. It is therefore necessary to implement interventions to reduce misconceptions and improve community members' attitudes toward leprosy.

OL.158

Surveillance de la prévalence du paludisme chez les patients tuberculeux à Brazzaville.

Monitoring the prevalence of malaria among tuberculosis patients in Brazzaville

Chyvanelle AKIRIDZO[1], chyvanelle@gmail.com ; Nadia TONDO[2]; Prisca Nadine CASIMIRO[1]; Brunelle MATONDO DIASSIVI[1]

[1] Institut National de Recherche en sciences de la santé

[2] Hopital de reference de Makélékélé

Résumé

Introduction : En République du Congo, le paludisme et la tuberculose restent des défis de santé publiques majeurs avec une incidence élevée de 215 cas pour 1 000 habitants et 368 cas pour 100.000 habitants respectivement, avec une mortalité préoccupante, ce qui montre que le paludisme et la tuberculose sont loin d'être éliminés, mais des bases solides sont posées pour la lutte contre ces deux maladies. Les deux maladies partagent la fièvre, fatigue, et toux, mais la TB est souvent insidieuse avec une toux persistante, tandis que le paludisme présente des accès fébriles cycliques avec frissons et sueurs.
Méthodologie : Il s'est agit d'une transversale à visée descriptive, qui s'est déroulée du 28 Aout 2025 au 19 décembre 2025, dans le service de maladie infectieuse de l'hôpital de référence de makélékélé. Le diagnostic du paludisme a été fait par TDR et confirmé par la PCR et le diagnostic de la tuberculose a été fait par GeneXpert.
Résultats : Au total 150 patients tuberculeux ont été examiné. L'âge médian des donneurs de sang était de 25 ans. La prévalence du paludisme par TDR était de 7,33 % (11 /150), positivité confirmée par PCR (11/150). La prévalence des autres paramètres était de 12,7 % pour l'HTA et 2,67% pour le VIH. Les facteurs de risque associés à un portage asymptomatique du Plasmodium étaient la saison des pluies, le caractère irrégulier des dons, le nombre élevé d'antécédents d'accès palustre et l'absence de traitement lors du dernier épisode.
Conclusion : La présente étude a montré une prévalence faible de paludisme chez les patients tuberculeux. Cette baisse peut être due à une meilleure prise en charge globale (dépistage et traitement combinés TB/paludisme) et le fait que ses deux maladies ont presque les mêmes signes basiques.

Abstract

Introduction: In the Republic of Congo, malaria and tuberculosis remain major public health challenges with a high incidence of 215 cases per 1,000 inhabitants and 368 cases per 100,000 inhabitants respectively, with worrying mortality rates, showing that malaria and tuberculosis are far from being eliminated, but solid foundations have been laid for the fight against these two diseases. Both diseases share fever, fatigue, and cough, but TB is often insidious with a persistent cough, while malaria presents with cyclical fever attacks with chills and sweats.
Methods: This was a descriptive cross-sectional study conducted from August 28, 2025, to December 19, 2025, in the infectious disease department of the Makélékélé referral hospital. Malaria was diagnosed using rapid diagnostic tests (RDTs) and confirmed by PCR, while tuberculosis was diagnosed using GeneXpert.
Results: A total of 150 tuberculosis patients were examined. The median age of blood donors was 25 years. The prevalence of malaria by RDT was 7.33% (11/150), confirmed by PCR (11/150). The prevalence of other parameters was 12.7% for hypertension and 2.67% for HIV. Risk factors associated with asymptomatic Plasmodium carriage were the rainy season, irregular blood donations, a high number of previous malaria episodes, and lack of treatment during the last episode.
Conclusion: This study showed a low prevalence of malaria among tuberculosis patients. This decline may be due to improved overall care (combined TB/malaria screening and treatment) and the fact that these two diseases have almost the same basic signs.

OL.159

Survie en hémodialyse à Lomé

Survival outcomes among hemodialysis patients in Lomé

Kossi Akomola SABI[1], kossi.sabi@gmail.com ; Badomta DOLAAMA[2]; Latame Komla ADOLI[3]; Eyram Yoan Yawo Makafui AMEKOUDI[4]

[1] Service de Néphrologie-Hémodialyse du Centre Hospitalier Universitaire Sylvanus Olympio de Lomé,Togo

[2] Service de Néphrologie-Hémodialyse du Centre Hospitalier Universitaire Sylvanus Olympio de Lomé, Togo

[3] Département de Santé Publique de l'Université de Lomé, Togo

[4] Service de Néphrologie du Centre Hospitalier Universitaire de Kara, Togo

Résumé

Objectif : L'objectif de cette étude était d'étudier la survie des patients hémodialysés à Lomé.
Méthode d'étude : Il s'est agi d'une étude de cohorte multicentrique rétrospective portant sur des patients hémodialysés durant la période d'étude allant du 1er janvier 2015 au 31 Décembre 2025 dans quatre centres d'hémodialyse de Lomé. La collecte des données a été faite à partir des dossiers des patients. La survie a été estimée par la méthode de Kaplan–Meier. Les facteurs associés au décès ont été étudiés par un modèle de Cox en analyse univariée puis multivariée avec un seuil de significativité fixé à $p < 0,05$.
Résultats : Au total, 1126 cas ont été inclus. L'âge moyen était de 43,7 ± 14,1 ans avec un sex ratio H/F de 1,28. L'hypertension artérielle était présente chez 79% des patients. Le taux de survie était de 49,6% à 1 an ; 31,5% à 3 ans et de 21,5 % à 5 ans. La dialyse était initiée dans 96,5% des cas en urgence sur un cathéter provisoire. . L'infection sur cathéter a été documentée chez 34,30%. La mortalité était de 94,8%. En analyse de Cox, la mortalité était significativement plus élevée chez les patients sans emploi, avec un risque multiplié d'environ 8,8 par rapport aux patients ayant un emploi (HR=8,843 ; p<0,001). Un mauvais état général était fortement associé au décès (HR =15 ; p<0,001), de même que la présence d'œdèmes des membres inférieurs (HR=25 ; p<0,001). Enfin, une urémie initiale >3 g/L était associée à une augmentation du risque de décès (HR=2 ; p<0,001).
Conclusion : La survie en hémodialyse est influencée par de multiples facteurs incluant la technique, la biologie, les comorbidités, le contexte socioéconomique. Il est donc important d'agir sur ces facteurs afin d'améliorer la qualité de vie des patients.

Abstract

Objective: This study aimed to assess the survival of patients receiving maintenance hemodialysis in Lomé.

Methods: We conducted a multicenter retrospective cohort study including hemodialysis patients treated between 1 January 2015 and 31 December 2025 in four hemodialysis centers in Lome. Data were extracted from patients' medical records. Survival was estimated using the Kaplan–Meier method. Factors associated with mortality were investigated using Cox proportional hazards models in univariable and multivariable analyses, with statistical significance set at $p < 0.05$.

Results: A total of 1126 patients were included. The mean age was 43.7 ± 14.1 years, with a male-to-female ratio of 1.28. Hypertension was present in 79% of patients. Survival rates were 49.6% at 1 year, 31.5% at 3 years, and 21.5% at 5 years. Hemodialysis was initiated as an emergency in 96.5% of cases using a temporary catheter. Catheter-related infection was documented in 34.3% of patients. Overall mortality was 94.8%. In Cox analysis, mortality was significantly higher among unemployed patients, with an approximately 8.8-fold increased risk compared with employed patients (HR = 8.843; $p < 0.001$). Poor performance status was strongly associated with death (HR = 15; $p < 0.001$), as was the presence of lower-limb oedema (HR = 25; $p < 0.001$). Finally, baseline serum urea > 3 g/L was associated with an increased risk of death (HR=2; $p < 0.001$).

Conclusion: Survival among hemodialysis patients is influenced by multiple factors, including dialysis-related parameters, biological status, comorbidities, and the socioeconomic context. Targeting these determinants is essential to improve patient outcomes and quality of life.

OL.160

SYNTHÈSE SOUS IRRADIATION MICRO-ONDE DE NOUVEAUX DÉRIVÉS N-(SULFONAMIDOPROPYL)-5-ARYLMÉTHYLIDÈNE RHODANINES ET LEUR ÉVALUATION BIOLOGIQUE

SYNTHESIS UNDER MICROWAVE IRRADIATION OF NEW DERIVATIVES N-(SULFONAMIDOPROPYL)-5-ARYLMÉTHYLIDÈNE RHODANINES AND THEIR BIOLOGICAL EVALUATION

N'ta Christelle Mélissa AMBEU-LOKO, chris_meliss@yahoo.fr

Université Félix Houphouët-Boigny

Résumé

Résumé : Les travaux du laboratoire de recherche CORINT (Chimie Organique et Interfaces) de l'Université de Rennes (France) sont basés sur la synthèse de molécules à visée thérapeutique multiple contre la malaria, la leishmaniose, le cancer et les maladies neurodégénératives. Deuxième cause de mortalité à l'échelle mondiale, le cancer représente près d'un décès sur six dans le monde.1 Le dysfonctionnement de certaines protéines kinases, en milieu cellulaire, est impliqué dans la régulation de l'activité de protéines cibles et le cancer.2 Face à ce constat, il est urgent d'explorer de nouvelles substances biologiquement actives contre cette maladie invasive. Ainsi, ces travaux ont pour but de synthétiser de nouvelles molécules avec un noyau rhodanine possédant des propriétés anti-tumorales, anticonvulsives, antibactériennes, etc.3 La synthèse des N-(sulfonamidopropyl)-5-arylméthylidène rhodanines a été réalisée à partir d'une réaction de monoprotection d'une diamine commerciale, suivie d'une sulfonylation avec des chlorures de sulfonamides et enfin d'une condensation de Knoevenagel en présence de DIPEA, avec le bis-(carboxyméthyl)trithiocarbonate et différents aldéhydes aromatiques. Les nouveaux composés ont été soumis à des tests biologiques in vitro sur des lignées cellulaires cancéreuses, des fibroblastes sains et des protéines kinases impliquées dans le cancer. Parmi les molécules synthétisées, six (6) ont présenté une activité.4

Références bibliographiques
1- Cadre d'action régional sur la prévention et la lutte anticancéreuse, Union internationale contre le cancer (UICC): Journée mondiale contre le cancer, 2023.
2- Debdab, M.; Carreaux, F.; Renault, S.; Soundararajan, M.; Fedorov, O.; Filippakopoulos, P.; Lozach, O.; Babault, L.; Tahtouh, T.; Baratte, B.; Ogawa, Y.; Hagiwara, M.; Eisenreich, A.; Rauch, U.; Knapp, S.; Meijer, L.; Bazureau, J.-P. J. Med. Chem. 2011, 54, 4172.
3- Alegaon, S. G.; Alagawadi, K. R.; Sonkusare, P. V.; Chaudhary, S. M.; Dadwe, D. H.; Shah, A. S. Bioorg. Med. Chem. Lett. 2012, 22, 1917.
4- Christelle N'Ta Ambeu, Pauline Ferreira, Rémy Le Guével, Anne Corlu, Sandrine Ruchaud, Stéphane Bach, Vincent Dorcet, Janat Mamyrbekova, Jean-Pierre Bazureau, Beilstein Journal of Organic Chemistry, 2023, soumis pour publication.

Abstract

Abstract: The work of CORINT research laboratory (Organic Chemistry and Interfaces) at the University of Rennes (France) is based on the synthesis of molecules with multiple therapeutic applications against malaria, leishmaniasis, cancer and neurodegenerative diseases. The second leading cause of death worldwide, cancer accounts for nearly one under six deaths worldwide.1 The dysfunction of some protein kinases, in the cellular environment, is involved in the regulation of the activity of target proteins and cancer.2 With this observation, it is urgent to explore new biologically active substances against this invasive disease. Thus, this work aims to synthesize new molecules with a rhodanine nucleus possessing anti-tumor, anticonvulsive, antibacterial properties, etc.3 The synthesis of N-(sulfonamidopropyl)-5-arylmethylidene rhodanines was carried out from a mono-protection reaction of a commercial diamine, followed by a sulfonylation with sulfonamide chlorides and finally by a Knoevenagel condensation in presence of DIPEA, with bis-(carboxymethyl)trithiocarbonate and various aromatic alde-hydes. The new compounds were tested in vitro on cancer cell lines, healthy

fibroblasts and protein kinases implicated in cancer. Among the synthesized compounds, six (6) exhibited activity.4

References

1- Regional Framework for Action on Cancer Prevention and Control, International Union Against Cancer (UICC): World Cancer Day, 2023.
2- Debdab, M.; Carreaux, F.; Renault, S.; Soundararajan, M.; Fedorov, O.; Filippakopoulos, P.; Lozach, O.; Babault, L.; Tahtouh, T.; Baratte, B.; Ogawa, Y.; Hagiwara, M.; Eisenreich, A.; Rauch, U.; Knapp, S.; Meijer, L.; Bazureau, J.-P. J. Med. Chem. 2011, 54, 4172.
3- Alegaon, S. G.; Alagawadi, K. R.; Sonkusare, P. V.; Chaudhary, S. M.; Dadwe, D. H.; Shah, A. S. Bioorg. Med. Chem. Lett. 2012, 22, 1917.
4- Christelle N'Ta Ambeu, Pauline Ferreira, Rémy Le Guével, Anne Corlu, Sandrine Ruchaud, Stéphane Bach, Vincent Dorcet, Janat Mamyrbekova, Jean-Pierre Bazureau, Beilstein Journal of Organic Chemistry, 2023, submitted for publication.

OL.161

Taux élevés des génotypes oncogènes du HPV chez les femmes vivant avec le VIH, une urgence de renforcer la vaccination prophylactique chez les populations féminines vivant au Gabon.

High rate of oncogenic HPV genotypes among women living with HIV: an urgent need to strengthen prophylactic vaccination among female populations in Gabon

Jéordy Dimitri Engone Ondo[1], engonejordy@gmail.com ; Marcelle Mboumba Mboumba[1]; Augustin Mouinga Ondeme[1]; Pamela Moussavou-Boundzanga[2]; Roseanne Mounanga Mourimarodi[1]; Abdoulaye Diane[1]; Christ Ognari Ayoumi[1]

[1] Centre International de Recherches Médicales de Franceville, Gabon

[2] Laboratoire de Biologie Moléculaire et Cellulaire (LABMC), Université des Sciences et Techniques de Masuku, Gabon

Résumé

Objectifs. Les femmes vivant avec le VIH (FVIH) présentent un risque élevé de développer un cancer du col de l'utérus associé au Virus du Papilloma Humain à haut risque (VPH-HR) que les femmes séronégatives. Nous avons évalué la distribution du génotype du VPH-HR et les concentrations plasmatiques de l'antigène cancéreux 125 (CA-125) chez les FVIH d'une ville rurale du Gabon.
Méthodes. Du 12 au 23 juin 2023 nous avons mené une étude pilote et transversale auprès FVIH fréquentant un centre de santé en zone rurale. Après obtention du consentement, une inspection visuelle du col de l'utérus ainsi que des prélèvements cervico-vaginaux et sanguins ont été réalisés. L'ARN du VIH et les concentrations de CA-125 ont été mesurées à l'aide du kit Cepheid®Xpert ®HIV-1ViralLoad et du test BioMérieux VIDAS®CA-125II, respectivement. La détection et le génotypage du VPH ont été réalisés par PCR à l'aide des couples d'amorces MY09/MY11 et GP5+/GP6+. Les séquences obtenues ont été traitées à l'aide du logiciel MEGA 9.1 et BLAST 2.16.0. Les analyses statistiques ont été faites à l'aide du logiciel statistique standard DATAtab version 1.
Résultats. Cinquante-huit FVIH (âge médian : 52 ans IQR[43 – 58]) ont été recrutées. La prévalence du VPH était de 68,96 %. Parmi les échantillons positifs au VPH-HR (41,37%), 87,5 % (21/24) étaient des génotypes vaccinaux, tandis que 12,5 % (3/24) étaient non vaccinaux. Les types prédominants de VPH-HR étaient le VPH-16 (13,8 %), le VPH-33 (10,34 %) et le VPH-35 (5,17 %). La plupart des participantes présentaient une cytologie cervicale normale (62,07 %), et une minorité (14,29 %) présentait des taux élevés de CA-125, sans corrélation avec des anomalies cytologiques.
Conclusion. Les FVIH vivant en zone rurale au Gabon présentent une forte prévalence d'infection à VPH-HR, soulignant l'urgence de renforcer le dépistage, la prévention et la vaccination contre le VPH.

Abstract

Objectives: Women living with HIV (WLHIV) are at a higher risk of developing cervical cancer associated with high-risk human papillomavirus (HR-HPV) compared to HIV-negative women. This study aimed to assess the distribution of HR-HPV genotypes and plasma concentrations of cancer antigen 125 (CA-125) among WLHIV in a rural area of Gabon.
Methods: From June 12 to June 23, 2023, a pilot cross-sectional study was conducted among WLHIV attending a rural health center. After obtaining informed consent, visual inspection of the cervix was performed, along with cervico-vaginal and blood sample collection. HIV RNA levels and CA-125 concentrations were measured using the Cepheid® Xpert® HIV-1 Viral Load assay and the BioMérieux VIDAS® CA-125 II test, respectively. HPV detection and genotyping were performed by PCR using the MY09/MY11 and GP5+/GP6+ primer sets. The obtained sequences were analyzed using MEGA version 9.1 and BLAST version 2.16.0. Statistical analyses were conducted using DATAtab version 1.
Results: A total of 58 WLHIV were enrolled (median age: 52 years; IQR [43–58]). The overall prevalence of HPV infection was 68.96%. Among HR-HPV–positive samples (41.37%), 87.5% (21/24) corresponded to vaccine-covered genotypes, while 12.5% (3/24) were non-vaccine genotypes. The predominant HR-HPV types were HPV-16 (13.8%), HPV-33 (10.34%), and HPV-35 (5.17%). Most participants had normal

cervical cytology (62.07%), and a minority (14.29%) showed elevated CA-125 levels, with no correlation with cytological abnormalities.
Conclusion: WLHIV living in rural areas of Gabon exhibit a high prevalence of HR-HPV infection, highlighting the urgent need to strengthen cervical cancer screening, prevention strategies, and HPV vaccination programs.

OL.162

Télésurveillance de la trypanosomiase humaine africaine dans un contexte d'élimination

Remote Surveillance of Human African Trypanosomiasis in an Elimination Context

Yao Guy Pacôme Adingra[1], gpcome@gmail.com ; Bamoro Coulibaly[2]; Dramane Kaba[2]; Kassi Martial N'djetchi[3]; Vincent Jamoneau[4]; Fabrice Courtin[5]; Paul Bessell[6]

[1] Centre Universitaire de Recherche et d'Application en Télédétection (CURAT), Université Félix Houphouët-Boigny (UFHB)

[2] Institut Pierre Richet (IPR-INSP), Côte d'Ivoire

[3] Université Jean Lorougnon Guédé (UJLoG), Côte d'Ivoire

[4] Institut de Recherche pour le Développement (IRD), France

[5] Institut de Recherche pour le Développement (IRD), Côte d'Ivoire

[6] FIND, Suisse

Résumé

La Côte d'Ivoire a éliminé la THA comme problème de santé publique en 2020, mais la surveillance reste cruciale pour prévenir sa réémergence. L'objectif de ce travail est de montrer comment l'usage des technologies mobiles et des SIG optimise l'identification des sites de surveillance et la collecte des données à distance. La méthodologie a intégré une analyse spatiale combinant les couches d'information temps d'accès (Global Travel Time), d'occupation du sol et de densité démographique (WorldPop) pour implanter 42 sites de surveillance. L'utilisation de smartphones équipés d'ODK (Open Data Kit) a permis aux agents de santé de transmettre en temps réel les données de dépistage vers un serveur central. Les résultats ont montré que 43 % de la population des zones à risque et 62% dans les zones endémiques se situait à moins de 30 minutes d'un centre de dépistage. Le système a permis de recueillir 907 tests dont 21 étaient positifs (2,3 %), mais aucun cas n'a été confirmé. En conclusion, ce système de télésurveillance, combinant technologies mobiles et analyse spatiale, constitue un outil décisionnel essentiel pour maintenir l'élimination de la THA.

Abstract

Côte d'Ivoire eliminated HAT (Human African Trypanosomiasis) as a public health problem in 2020, but surveillance remains crucial to prevent resurgence and identify remaining cases in scattered hotspots. This study demonstrates how mobile technologies and GIS optimize surveillance site selection and remote data collection. The methodology incorporated spatial analysis combining travel time (Global Travel Time), land use, and population density (WorldPop) layers to establish 42 surveillance sites. Health workers used ODK (Open Data Kit)-equipped smartphones to transmit real-time screening data to a central server. Results showed that 43% of at-risk populations and 62% in endemic areas were within 30 minutes of a screening center. The system collected 907 tests, with 21 positives (2.3%), though no cases were confirmed. In conclusion, this integrated tele-surveillance system combining mobile technologies and spatial analysis serves as a key decision-making tool to sustain HAT elimination.

OL.163

Tendance évolutive des indicateurs de la lutte contre l'ulcère de Buruli au Bénin entre 2008 et 2023

Trends in indicators for the fight against Buruli ulcer in Benin between 2008 and 2023

Sèna Godwin Gérard KPOTON[1], brodelinekpot@gmail.com ; Harvey Johnson[2]; G. Esaï Anagonou[3]; Lotus Hotegni[4]; Karine Seignon[3]; Perrin Catraye[5]; Roch Christian Johnson[3]

[1] Centre de Dépistage et de Traitement de l'ulcère de Buruli de Lalo, Bénin

[2] Université d'Abomey Calavi Laboratoire Hecotes

[3] Centre Inter Facultaire de Recherche en Environnement santé et Développement Durable (CIFRED)

[4] Centre de Dépistage et de Traitement de l'ulcère de Buruli d'Allada

[5] Centre de Dépistage et de Traitement de la Lèpre et de l'ulcère de Buruli de Pobé

Résumé

La maladie à Mycobacterium ulcerans est une infection cutanée débilitante touchant surtout les pays africains pauvres. L'OMS a défini des indicateurs de suivi de la lutte dans les pays affectés. Cette étude ayant porté sur les patients au Bénin et disposant d'un résultat de PCR au moins, s'est fixée comme objectif de décrire l'évolution de ces indicateurs au Bénin entre janvier 2008 et décembre 2023.
3128 patients dont 80,81% avec une PCR positive étaient inclus. Les cas ont régulièrement chuté de 299 à 88 après 2016. Les proportions d'enfants de moins de 15 ans étaient élevée (50,6 à 55,2%) avant 2016, alors que les adultes étaient plus affectés après. La légère prédominance féminine a été observée toutes ces années. Les limitations fonctionnelles au dépistage ont été progressivement réduites (44% en 2008 à 16,2% en 2023). Cependant les lésions ulcérées et de catégorie 3, ont augmenté dans le temps. Celles ulcérées sont passées de 2019 à 2023 (79,2 à 98,9%) et celles de catégorie 3 étaient de 54,3 à 74,1% après 2016. La confirmation par PCR s'est améliorée au cours de la période. Déjà supérieur à la norme de 70% en 2008, elle a oscillé entre 81,6 et 94,6% entre 2014 et 2021.
La lutte contre la maladie à M. ulcerans évolue dans le bon sens au Bénin au vu de la tendance des indicateurs. Des études évaluant le lien entre les déterminants sociaux de la santé permettraient de mieux comprendre les facteurs contributifs. Aussi l'intégration au dispositif de la nouvelle politique de santé communautaire aiderait à atteindre plus tôt les cas résiduels.

Abstract

Mycobacterium ulcerans disease is a debilitating skin infection that mainly affects poor African countries. The WHO has defined indicators for monitoring the fight against the disease in affected countries. This study, which focused on patients in Benin with at least one PCR result, aimed to describe the evolution of these indicators in Benin between January 2008 and December 2023.
A total of 3,128 patients, 80.81% of whom were PCR-positive, were included. The number of cases fell steadily from 299 to 88 after 2016. The proportion of children under 15 was high (50.6 to 55.2%) before 2016, while adults were more affected after that date. A slight female predominance was observed throughout these years. Functional limitations at screening were gradually reduced (44% in 2008 to 16.2% in 2023). However, ulcerated and category 3 lesions increased over time. Ulcerated lesions increased from 2019 to 2023 (79.2% to 98.9%) and category 3 lesions increased from 54.3% to 74.1% after 2016. PCR confirmation improved over the period. Already above the 70% standard in 2008, it fluctuated between 81.6% and 94.6% between 2014 and 2021.
The fight against M. ulcerans disease is progressing well in Benin, given the trend in indicators. Studies assessing the link between social determinants of health would provide a better understanding of the contributing factors. Integration into the new community health policy would also help to identify residual cases earlier.

OL.164

Tendances épidémiologiques des Paralysies Flasques Aiguës de 2019 à 2024 en Côte d'Ivoire

Epidemiological trends in acute flaccid paralysis from 2019 to 2024 in Côte d'Ivoire

Assikohon Pulchérie GOUZILE[1], gouzilepul.2006@gmail.com ; Lepri Nicaise Aka[2]; Koffi Akolly[3]; Takpaya Gnaro[4]; Tiokang Arnold Sadio[3]; Fifonsi Diane Gbeasor[3]; Issaka Tiembre[5]

[1] Institut National d'Hygiène Publique (INHP)

[2] Direction de la Coordination du Programme Elargi de Vaccination (DCPEV)

[3] West African Field Epidemiology and Laboratory Training Program (WA-FELTP)

[4] Centre de Formation et de Recherche en Santé Publique (CFRSP), Lomé, Togo

[5] .Institut National d'Hygiène Publique (INHP), Abidjan, Côte d'Ivoire

Résumé

Introduction : La surveillance de la Paralysie Flasque Aiguë (PFA) constitue un indicateur clé pour le suivi de la circulation des poliovirus dans le cadre de l'éradication mondiale de la poliomyélite. L'objectif de cette étude était de décrire les tendances épidémiologiques et d'évaluer la performance du système de surveillance en Côte d'Ivoire de 2019 à 2024.
Méthode : Il s'agit d'une étude transversale descriptive des données de surveillance de PFA de 2019 à 2024 dans les 113 districts sanitaires de la Côte d'Ivoire extrait de la base des données de la Direction de Coordination du Programme Élargi de Vaccination (DCPEV). L'échantillon était constitué de 4736 cas de PFA. La caractérisation des variables démographiques et cliniques s'est faite par une analyse descriptive simple et la performance a été évaluée conformément aux normes de l'OMS.
Résultats : Le sex-ratio H/F était de 1,2 et 73,90 % des cas avaient moins de 5 ans. Le taux de PFA non-Polio était de 6,2 pour 100 000 enfants de moins de 5 ans . La proportion de selles prélevées dans les 11 jours suivant le début de la paralysie en 24 heures était de 99,98 % et 31,17 % des cas avaient été investigués dans les 48 heures après le début de la paralysie. Dans 72,7 % des cas, deux prélèvements étaient recueillis et envoyés au laboratoire dans les 14 jours et 90,84 % sont arrivés dans de bonnes conditions, tandis que 41,66 % étaient arrivés dans un délai de trois jours. Un entérovirus non-poliomyélitique était isolé dans 12,48% des cas et 86,87 % des résultats étaient communiqués dans un délai de 35 jours.

Conclusion : De façon générale le système a satisfait à la plupart des indicateurs de performance standard de l'OMS, cependant certains indicateurs (délai de notification, promptitude d'enquête...) doivent être améliorés.

Abstract

Introduction : Surveillance of acute flaccid paralysis (AFP) is a key indicator for monitoring poliovirus circulation in the context of global polio eradication. The objective of this study was to describe epidemiological trends and evaluate the performance of the surveillance system in Côte d'Ivoire from 2019 to 2024.
Method : This is a descriptive cross-sectional study of AFP surveillance data from 2019 to 2024 in the 113 health districts of Côte d'Ivoire extracted from the database of the Directorate for Coordination of the Expanded Program on Immunization (DCPEV). The sample consisted of 4,736 cases of PFA. Demographic and clinical variables were characterized using simple descriptive analysis, and performance was evaluated in accordance with WHO standards.
Results: The male-to-female sex ratio was 1.2, and 73.90% of cases were under 5 years of age. The non-polio AFP rate was 6.2 per 100,000 children under 5 years of age. The proportion of stool samples collected within 11 days of the onset of paralysis within 24 hours was 99.98%, and 31.17% of cases were investigated within 48 hours of the onset of paralysis. In 72.7% of cases, two samples were collected and sent to the laboratory within 14 days, and 90.84% arrived in good condition, while 41.66% arrived within three days. A non-poliomyelitis enterovirus was isolated in 12.48% of cases, and 86.87%

of results were reported within 35 days.
Conclusion : Overall, the system met most of the WHO standard performance indicators, but some indicators (notification time, promptness of investigation, etc.) need to be improved.

OL.165

THÉORIE DE L'HARMONIE REPRODUCTIVE CONTEXTUELLE (THRC) : UNE THÉORIE INNOVANTE POUR LA PROMOTION DURABLE DE LA SANTÉ REPRODUCTIVE AUPRÈS DES POPULATIONS MARGINALISÉES DANS LES PAYS EN DÉVELOPPEMENT

CONTEXTUAL REPRODUCTIVE HARMONY THEORY (CRHT): AN INNOVATIVE THEORY FOR THE SUSTAINABLE PROMOTION OF REPRODUCTIVE HEALTH AMONG MARGINALIZED POPULATIONS IN DEVELOPING COUNTRIES

Beaudouin Jean-de-Dieu EDAYE[1], beaudouin@caresap.org ; Sabine AMOUZOUN[2]

[1] CaRESaP

[2] HIA-CHU de Parakou (Bénin)

Résumé

Cet article présente la Théorie de l'Harmonie Reproductive Contextuelle, une approche innovante visant à améliorer l'adoption et l'accessibilité des services de santé reproductive au sein des communautés marginalisées des pays en développement. Contrairement aux approches conventionnelles, souvent peu efficaces en raison de leur inadéquation avec les réalités socio-culturelles locales, la THRC propose une intégration harmonieuse des innovations médicales dans les normes et valeurs communautaires.

À travers une analyse critique des théories dominantes en santé reproductive et une étude quasi expérimentale menée dans des villages du sud du Bénin, cette théorie met en évidence des obstacles comportementaux et socio-culturels regroupés sous le concept de Cycle de Résistance Inertielle (CRI). Ce cycle permet d'expliquer pourquoi, malgré l'amélioration de l'accès à l'information et aux services de contraception, l'adoption des méthodes modernes demeure limitée.

La THRC repose sur quatre principes fondamentaux : l'Adaptation Contextuelle Dynamique (ACD), la Co-appropriation Proactive (CAP), le Renforcement Harmonique Multiniveau (RHM) et la Résilience Inclusive (IRI). Ces principes se traduisent par des dispositifs opérationnels tels que la Cartographie de l'Harmonie Sociale (CHS), les Cercles d'Engagement Harmonique (CEH), l'Approche Rituelle et Symbolique (ARS) ainsi que la Plateforme de Harmonisation Numérique (PHN).

En proposant une approche respectueuse des dynamiques socio-culturelles locales, la CRHT apporte une réponse durable aux défis de la santé reproductive. Son efficacité démontrée ouvre la voie à une mise à l'échelle à plus grande échelle, sous réserve d'adaptations appropriées aux contextes spécifiques des différentes communautés.

Abstract

This article introduces the Contextual Reproductive Harmony Theory (CRHT), an innovative approach aimed at improving the adoption and accessibility of reproductive health services among marginalized communities in developing countries. Unlike conventional approaches, which often fail due to their misalignment with local socio-cultural realities, CRHT proposes a harmonious integration of medical innovations within community norms and values.

Through a critical analysis of dominant theories in reproductive health and a quasi-experimental study conducted in villages in southern Benin, the article highlights behavioral and socio-cultural barriers grouped under the concept of the Inertial Resistance Cycle (IRC). This cycle explains why, despite increasing access to information and contraceptive services, the adoption of modern methods remains limited.

CRHT is based on four core principles: Dynamic Contextual Adaptation (DCA), Proactive Co-Ownership (PCO), Multilevel Harmonic Reinforcement (MHR), and Inclusive Resilience (IR). These principles translate into concrete actions such as Social Harmony Mapping (SHM), Harmonic Engagement Circles (HEC), the Ritual and Symbolic Approach (RSA), and the Digital Harmonization Platform (DHP).

CRHT provides a sustainable response to reproductive health challenges by offering an approach that respects local socio-cultural dynamics. Its proven effectiveness paves the way for broader-scale implementation, with necessary adjustments to fit the specific contexts of different communities.

OL.166

Thérapies combinées à base de moxidectine pour la filariose lymphatique : essai contrôlé randomisé, ouvert, avec évaluation en aveugle par les observateurs

Moxidectin combination therapies for lymphatic filariasis: an open-label, observer-masked, randomised controlled trial

Foungoye Allassane Ouattara[1], oufouala@gmail.com ; Benjamin G. Koudou[1]; Catherine M. Bjerum[2]; Toki Pascal Gabo[3]; Peter U. Fischer[4]; Gary J. Weil[4]; Philip J. Budge[4]

[1] Unité de Formation et de Recherches des Sciences de la Nature, Université Nangui Abrogoua, Côte d'Ivoire. Centre Suisse de Recherches Scientifiques en Côte d'Ivoire, Côte d'Ivoire

[2] Center for Global Health and Diseases, Case Western Reserve University School of Medicine, Cleveland, OH, USA

[3] Centre Hospitalier Régional d'Agboville, Agboville, Côte d'Ivoire

[4] Division of Infectious Diseases, Washington University School of Medicine, St Louis, MO, USA

Résumé

La filariose lymphatique, causée par Wuchereria bancrofti, demeure un important problème de santé publique en Afrique subsaharienne. Les programmes d'élimination reposent principalement sur l'administration massive annuelle d'ivermectine associée à l'albendazole (IA), afin de réduire la microfilarémie mais dont l'impact à long terme reste limité. Cette étude visait à évaluer si des schémas thérapeutiques combinés à base de moxidectine permettent une élimination plus durable de la microfilarémie comparativement aux traitements standards à base d'ivermectine.
Un essai clinique randomisé, ouvert, parallèle et de supériorité a été conduit en Côte d'Ivoire entre août 2020 et juillet 2021, pour l'enrôlement. Des adultes âgés de 18 à 70 ans, non enceintes ou allaitantes, présentant une microfilarémie ≥ 40 microfilaires/mL ont été randomisés, selon une stratification par sexe, pour recevoir l'un des quatre traitements suivants : ivermectine + albendazole (IA), moxidectine + albendazole (MoxA), ivermectine + diéthylcarbamazine + albendazole (IDA), ou moxidectine + diéthylcarbamazine + albendazole (MoxDA). Les critères principaux d'évaluation étaient l'élimination complète des microfilaires à 12 mois (MoxA vs IA) et à 24 mois (MoxDA vs IDA).
Au total, 164 participants ont été randomisés et 113 ont été inclus dans l'analyse d'efficacité primaire. À 12 mois, la proportion de participants amicrofilarémiques était significativement plus élevée dans le groupe MoxA (95 %) que dans le groupe IA (32 %), avec un rapport de risque ajusté de 2,79 (p = 0,0004). À 24 mois, aucune différence significative n'a été observée entre les groupes IDA et MoxDA (91 % dans les deux groupes). Par ailleurs, la majorité des participants traités par MoxA sont restés amicrofilarémiques jusqu'à 24 mois.
En conclusion, une dose unique de moxidectine associée à l'albendazole s'est montrée nettement plus efficace que le traitement standard IA pour l'élimination durable de la microfilarémie.

Abstract

Lymphatic filariasis, caused by Wuchereria bancrofti, remains a major public health problem in sub-Saharan Africa. Elimination programmes primarily rely on annual mass drug administration of ivermectin combined with albendazole (IA) to reduce microfilaraemia, but the long-term impact of this strategy remains limited. This study aimed to assess whether moxidectin-based combination regimens achieve a more sustained elimination of microfilaraemia compared with standard ivermectin-based treatments. A randomised, open-label, parallel-group, superiority clinical trial was conducted in Côte d'Ivoire, with enrolment between August 2020 and July 2021. Adults aged 18-70 years, not pregnant or breastfeeding, with microfilaraemia ≥ 40 microfilariae/mL were randomised, stratified by sex, to receive one of four treatments: ivermectin plus albendazole (IA), moxidectin plus albendazole (MoxA), ivermectin plus diethylcarbamazine plus albendazole (IDA), or moxidectin plus diethylcarbamazine plus albendazole (MoxDA). The primary endpoints were complete clearance of microfilariae at 12 months (MoxA vs IA) and at 24 months (MoxDA vs IDA). Overall, 164 participants were randomised and 113 were included in the primary efficacy analysis. At 12 months, the proportion of amicrofilaraemic participants was significantly higher in the MoxA group (95%) than in the IA group (32%), with an

adjusted risk ratio of 2.79 (p = 0.0004). At 24 months, no significant difference was observed between the IDA and MoxDA groups (91% in both groups). In addition, most participants treated with MoxA remained amicrofilaraemic up to 24 months. In conclusion, a single dose of moxidectin combined with albendazole was more effective than the standard IA regimen for sustained elimination of microfilaraemia.

OL.167

Traitement par sorafenib dans le Carcinome Hépatocellulaire avancé : expérience du service de Médecine interne du CHU Souro Sanou.

Treatment with sorafenib in advanced hepatocellular carcinoma: experience of the Internal Medicine Department at Souro Sanou University Hospital.

Maneguedo Alexandre BOENA[1], alexboena@gmail.com ; Mohamed Dieudonné OUATTARA[1]; Mariama Stephanie MILLOGO[1]; Damien KONKOBO[2]; Ollo Roland SOME[2]

[1] CHUSS/Burkina Faso

[2] CHUSS/UNB/Burkina Faso

Résumé

Introduction
Au Burkina Faso le carcinome hépato-cellulaire (CHC) représente le 1er cancer en termes d'incidence selon le Globocan 2022. Le diagnostic tardif et l'accès limité aux traitement innovants notamment l'immunothérapie compliquent sa prise en charge. Dans ce contexte, le sorafenib demeure le principal traitement systémique utilisé bien que les données locales sur son efficacité soient limitées. L'objectif de cette étude est d'évaluer la réponse et la tolérance du traitement par sorafenib chez les patients atteints de CHC avancé.
Méthodes
Il s'est agi d'une étude rétrospective descriptive incluant les patients atteints de CHC avancé non résécable traités par sorafenib en 2024 et 2025. Les variables étudiées étaient : Données socio-démographiques, étiologiques, stade BCLC, réponse tumorale, survie globale et les toxicités. (évaluées selon les critères CTCAE v5).
Résultats
Ont été inclus 47 patients. Le sexe masculin était prédominant (76,6%). L'âge moyen était de 54 ans. La majorité des patients (85,1%) étaient classés BCLC C. Les étiologies du CHC étaient dominées par les causes virales (46,8%), suivies des causes alcooliques (29,8%). Après traitement par sorafenib, la survie globale médiane observée était de 7,2 mois. L'évaluation de la réponse tumorale a montré une réponse partielle chez 10,6 % et une maladie stable chez 27,7 %. Une progression de la maladie a été observée chez 61,7 %. Le taux de contrôle était de 38,3 %. Les toxicités les plus fréquentes étaient l'asthénie (55,3%), la dépigmentation cutanée (42,6%) et le syndrome main-pied (27,7%). Des toxicités de grade ≥ 3 ont été observées chez 23,4%. Une adaptation thérapeutique a été nécessaire chez 31,9% des patients.

Conclusion
Le sorafenib au regard de l'objectif thérapeutique palliatif procure des motifs de satisfaction dans le contexte de ressources limitées. Une étude prospective sur un échantillon plus large serait nécessaire afin de mieux évaluer l'impact du traitement sur la qualité de vie dans une approche comparative.

Abstract

Introduction
In Burkina Faso, hepatocellular carcinoma (HCC) is the most common cancer in terms of incidence, according to Globocan 2022. Late diagnosis and limited access to innovative treatments, particularly immunotherapy, complicate its management. In this context, sorafenib remains the main systemic treatment used, although local data on its efficacy are limited. The objective of this study is to evaluate the response and tolerance of sorafenib treatment in patients with advanced HCC.
Methods
This was a retrospective descriptive study including patients with advanced unresectable HCC treated with sorafenib in 2024 and 2025. The variables studied were: sociodemographic and etiological data, BCLC stage, tumor response, overall survival, and toxicities (assessed according to CTCAE v5 criteria).
Results
Forty-seven patients were included. Males predominated (76.6%). The mean age was 54 years. The

majority of patients (85.1%) were classified as BCLC C. The etiologies of HCC were dominated by viral causes (46.8%), followed by alcoholic causes (29.8%). After treatment with sorafenib, the median overall survival observed was 7.2 months. Tumor response assessment showed a partial response in 10.6% and stable disease in 27.7%. Disease progression was observed in 61.7%. The control rate was 38.3%. The most common toxicities were asthenia (55.3%), skin depigmentation (42.6%), and hand-foot syndrome (27.7%). Grade ≥ 3 toxicities were observed in 23.4%. Treatment adjustment was necessary in 31.9% of patients.

Conclusion

Sorafenib, when considered in terms of its palliative therapeutic objective, provides grounds for satisfaction in the context of limited resources. A prospective study on a larger sample would be necessary in order to better assess the impact of treatment on quality of life in a comparative approach.

OL.168

Troubles de la personnalité chez les soignants des Unités de Soins Palliatifs au sud du Bénin

Personality disorders among caregivers in palliative care units in southern Benin

André OTTI[1], drandreotti74@gmail.com ; Serge Sourou EVÈNAMIA[1]; Elvyre KLIKPO[2]; Ida AGBÉTÈ[1]; Affissou IDOSSOU[3]; Yémalin Tchéyon Narcisse NONONHOU[4]; Charles SOSSA JEROME[5]

[1] Département des Sciences Infirmières, Institut National Médico-Sanitaire (INMeS), Université d'Abomey-Calavi (UAC), Cotonou, Bénin

[2] Département de Santé Mentale, Faculté des Sciences de la Santé (FSS), Université d'Abomey-Calavi (UAC), Cotonou, Bénin

[3] Unité de Soins Palliatifs, Service de Médecine, Hôpital de zone de Sakété, Direction Départementale de la Santé du Plateau, Ministère de la Santé, Cotonou, Bénin

[4] Centre National Hospitalier Universitaire de Psychiatrie de Cotonou (CNHUPC), Direction Départementale de la Santé du Littoral, Ministère de la Santé, Cotonou, Bénin

[5] Département de Promotion de la Santé, Institut Régional de Santé Publique (IRSP) Comlan Alfred QUENUM, Université d'Abomey-Calavi (UAC), Ouidah, Bénin.

Résumé

Introduction : Les Unités de Soins Palliatifs (USP) favorisent une exposition émotionnelle intense des soignants, ce qui pourrait impacter significativement, leur santé mentale et ainsi, influencer la qualité des soins et sécurité des patients. Objectif : Evaluer la prévalence des Troubles de la Personnalité (TP) chez les soignants de neuf USP au sud du Bénin. Méthode : Un devis descriptif mixte exploratoire a été adopté. Le cadre intégrateur de référence était composé de (du) :1- la typologie des TP selon l'approche catégorielle décrite dans le DSM-5 ; 2- modèle vulnérabilité–stress ; 3- la théorie des schémas précoces inadaptés ; 4-modèle biosocial de Linehan et ; 5- modèle dimensionnel des traits pathologiques du DSM-5. L'auto questionnaire standard « le Personality Diagnostic Questionnaire (PDQ-4+), a été utilisé pour le dépistage. Un score ≥ 25 indiquait une probabilité élevée de TP. Un entretien structuré a été ensuite mené avec les soignants ayant atteint le seuil pathologique à l'aide de l'échelle de signification clinique PDQ-4+ afin de faire une interprétation plus prudente et plus rigoureuse des profils de personnalité identifiés. Résultats : Les protocoles PDQ-4+ de 36 soignants sur les 43 recrutés, ont été validés dont 21 (58,33%) présentaient une probabilité élevée de TP (score ≥ 25). La prévalence des TP a été estimée à 42,86% (9/21). Par ailleurs, 44,4% des enquêtés (n=36) ont été classés dans la catégorie cluster A des TP et 28,71%, cluster C, dominés respectivement par les traits paranoïaques (58,33%) et obsessionnels-compulsifs (55,56%) et ils étaient 80,56% à exprimer un besoin d'accompagnement psychologique. Discussion et conclusion : L'étude a mis en évidence, la forte vulnérabilité psychologique des soignants en soins palliatifs d'où la nécessité de développer des mécanismes d'accompagnement spécifiques susceptibles de les rendre plus résilients face à l'exposition répétée à la mort et à la charge émotionnelle prolongée.

Abstract

Introduction : Palliative Care Units (PCUs) often expose caregivers to intense emotional stress, which can significantly impact their mental health and thus influence the quality of care and patient safety. Objective : To assess the prevalence of Personality Disorders (PD) among caregivers in nine PCUs in southern Benin. Method : A descriptive mixed-methods exploratory design was adopted. The integrative framework consisted of: 1- the typology of PDs according to the categorical approach described in the DSM-5; 2- the vulnerability-stress model; 3- the theory of early maladaptive schemas; 4- Linehan's biosocial model; and 5- the dimensional model of pathological traits from the DSM-5. The standard self-administered questionnaire, the Personality Diagnostic Questionnaire (PDQ-4+), was used for screening. A score ≥ 25 indicated a high probability of PD. A structured interview was then conducted with caregivers who had reached the pathological threshold using the PDQ-4+ clinical significance scale in order to make a more cautious and rigorous interpretation of the identified personality profiles.

Results : The PDQ-4+ protocols of 36 out of the 43 recruited caregivers were validated, with 21 (58.33%) exhibiting a high probability of panic disorder (score ≥ 25). The prevalence of panic disorder was estimated at 42.86% (9/21). Furthermore, 44.4% of respondents (n=36) were classified in the panic disorder cluster A category and 28.71% in cluster C, dominated respectively by paranoid (58.33%) and obsessive-compulsive (55.56%) traits, and 80.56% expressed a need for psychological support. Discussion and conclusion : The study highlighted the significant psychological vulnerability of palliative care caregivers, hence the need to develop specific support mechanisms to make them more resilient to repeated exposure to death and prolonged emotional burden.

OL.169

Un isolat local de la bactérie Serratia spp. associé à Anopheles gambiae présente une forte activité de blocage de la transmission de Plasmodium falciparum

A Local bacterium Serratia spp. isolate from Anopheles gambiae exhibits strong Plasmodium falciparum transmission-Blocking Activity

Haoua Traoré[1] , Haouatraore7035@gmail.com ; Edounou Jacques Gnambani[2]; Domonbabele François de Sales Hien[3]; Martin Bienvenu Somda[4]; Abdoul Salam Ouedraogo[5]; Abdoulaye Diabaté[6]; Etienne Bilgo[6]

[1] Centre National de la Recherche Scientifique et Technologique (CNRST) /Institut de Recherche en Sciences de la Sante (IRSS) / Laboratoire de Recherche sur les Maladies Infectieuses et Parasitaires (LR-MIP),Université Nazi BONI, Burkina Faso

[2] Centre National de la Recherche Scientifique et Technologique (CNRST) /Institut de Recherche en Sciences de la Sante (IRSS) / Laboratoire de Recherche sur les Maladies Infectieuses et Parasitaires (LR-MIP)- / Bobo-Dioulasso, Burkina Faso

[3] Centre National de la Recherche Scientifique et Technologique (CNRST) /Institut de Recherche en Sciences de la Sante (IRSS) / Laboratoire de Recherche sur les Maladies Infectieuses et Parasitaires (LR-MIP) / Bobo-Dioulasso, Burkina Faso

[4] Centre International de Recherche-Développement sur l'Elevage en Zone Subhumide (CIRDES), Université Nazi BONI, Burkina Faso

[5] Institut National de Santé Publique (INSP)/Centre Muraz-, Université NAZI BONI

[6] Centre National de la Recherche Scientifique et Technologique (CNRST) /Institut de Recherche en Sciences de la Sante (IRSS) / Laboratoire de Recherche sur les Maladies Infectieuses et Parasitaires - Institut National de Santé Publique (INSP)/Centre Muraz

Résumé

Introduction : L'émergence et la propagation rapide de la résistance aux insecticides et aux médicaments compromettent la lutte contre le paludisme. L'élimination du paludisme nécessite l'introduction de nouveaux outils de contrôle. Parmi les stratégies de lutte prometteuses contre le paludisme figure l'utilisation des symbiotes des moustiques capables de bloquer le développement du parasite au sein du moustique.
Méthodologie : Cette étude visait à déterminer la capacité de la bactérie Serratia spp. isolée au Burkina a inhibé le développement du Plasmodium au sein d'Anopheles gambiae. L'étude s'est déroulée de juin 2024 à novembre 2025, au Centre Muraz et à l'IRSS. Des moustiques de laboratoire et des moustiques sauvages collectés dans les localités de Soumousso et la Vallée du Kou ont été coinfectés avec la bactérie Serratia et Plasmodium. À l'aide des techniques de microbiologie et d'infection expérimentale, nous avons pu déterminer l'effet de blocage du développement du Plasmodium.
Résultats : La souche locale de Serratia a réduit significativement le développement du Plasmodium (χ^2_5 = 22,31, p < 0,001), avec un pourcentage de réduction d'environ 60 %. Le nombre moyen d'oocystes était de 24,64 dans le groupe contrôle, contre seulement 9,82 chez les moustiques traités à Serratia. La prévalence des oocystes était de 0,81, IC 95 % [0,75-0,86] pour le groupe contrôle et 0,37 %, IC 95 % [0,31-0,44] pour les traités à la bactérie Serratia spp.
Conclusion : Ces résultats confirment ainsi l'effet inhibiteur de Serratia spp. sur le développement de Plasmodium falciparum. Des essais en conditions sont nécessaires pour l'utilisation de ce bioagent dans l'arsenal des outils de lutte contre cette parasitose.

Abstract

Introduction :The emergence and rapid spread of insecticide and drug resistance are undermining malaria control efforts. Malaria elimination requires the introduction of new control tools. Among the most promising malaria control strategies is the use of mosquito symbionts capable of blocking parasite development within the mosquito.
Methods : This study aimed to determine the ability of Serratia spp. isolated in Burkina Faso to inhibit

the development of Plasmodium within Anopheles gambiae. The study was conducted from June 2024 to November 2025 at Centre Muraz and the IRSS. Laboratory-reared mosquitoes and wild mosquitoes collected from Soumousso and the Kou Valley were co-infected with Serratia spp. and Plasmodium. Using microbiological and experimental infection techniques, we assessed the transmission-blocking effect of Serratia spp. on Plasmodium development.
Results :The local Serratia strain significantly reduced Plasmodium development ($\chi^2_5 = 22.31$, $p < 0.001$), with a reduction rate of approximately 60%. The mean number of oocysts decreased from 24.64 in the control group to 9.82 in the Serratia-treated group. Oocyst prevalence was 0.81 (95% CI : 0.75–0.86) in the control group and 0.37 (95% CI : 0.31–0.44) in mosquitoes treated with Serratia spp.
Conclusion :These results confirm the inhibitory effect of Serratia spp. on the development of Plasmodium falciparum. Semi-field trials are required to support the integration of this bioagent into the arsenal of malaria control tools.

OL.170

Une étude pragmatique pour évaluer l'éfficacité et la tolérabilité d'une seule dose de la sulfadoxine-pyriméthamine plus artesunate-pyronaridine (SPAP) pour le traitement du paludisme simple chez les adultes et les enfants au Gabon

A pragmatic study to evaluate the efficacy and tolerability of a single-dose sulfadoxine-pyrimethamine plus artesunate-pyronaridin (SPAP) regimen for the treatment of uncomplicated malaria in adults and children in Gabon.

Alex Hounmenou Zinsou[1], alex.zinsou@cermel.org ; Wilfrid Ndzebe Ndoumba[1]; Anita Lumeka Kabwende[1]; Ayôla Akim Adegnika[1]

[1] Centre de recherches médicales de Lambaréné

Résumé

Introduction :
À côté des combinaisons thérapeutiques à base d'artémisinine, il existe un besoin de médicament antipaludique à dose unique, celui-ci contribuerait à prévenir les résistances et réduire le coût du traitement dans la pratique réelle. Nous avons mené de mars 2024 à novembre 2026 une étude visant à atteindre cet objectif.
Matériel et Méthodes :
Il s'est agi d'une étude comparative randomisée de non-infériorité de 2 ans. Tous les patients diagnostiqués de paludisme simple par un test rapide ou par microscopie, après obtention du consentement éclairé, ont été recrutés dans l'étude. Les patients appartenaient soit au groupe SPAP traité par dose unique, soit au groupe contrôle traité par l'Artéméther-luméfantrine (AL). Les patients ont été suivis aux jours 7, 28 et 42 pour capturer les effets indésirables, élaborer une évaluation hépatique, hématologique et une microscopie de contrôle. Notre échantillon était sur la base d'obtenir 424 patients évaluables avec une microscopie positive. Le principal critère d'évaluation était la réponse clinique et parasitologique adéquate ajustée par PCR (ACPR) au jour 28.
Résultats :
Au total 1002 patients ont été recrutés dont 0,54 % ont été traités par SPAP et 0,46 % par AL, près de 81% ont été suivis jusqu'au jour 28. L'âge moyen était de 11 ans, 52% était de sexe féminin, l'hémoglobine était en moyenne de 11 g/dl, et la densité parasitaire moyenne de 3178 trophozoïtes/µl. L'ACPR au jour 28 de SPAP était de 94% contre 90% pour AL, la tolérabilité était de 1% et 4% pour AL et SPAP respectivement, les effets indésirables au cours du suivi étaient dominés par la baisse de l'hémoglobine.
Conclusion :
Plus de 1000 patients atteints de paludisme simple ont été traités. Cette étude a déduit que SPAP était aussi bien toléré et d'une efficacité égale à AL.

Abstract

Introduction
In addition to artemisinin-based combination therapies, there is a need for a single-dose antimalarial drug, which would help prevent resistance and reduce the cost of treatment in real-world practice. We conducted a study from March 2024 to November 2026 aimed at achieving this objective.
Materials and Methods:
This was a 2-year, randomized, non-inferiority comparative study. All patients diagnosed with uncomplicated malaria by rapid test or microscopy, after obtaining informed consent, were recruited into the study. Patients were assigned to either the SPAP group treated with a single dose or the control group treated with artemether-lumefantrine (AL). Patients were followed up on days 7, 28, and 42 to assess adverse events, perform liver and hematological evaluations, and undergo follow-up microscopy. Our sample size was based on obtaining 424 evaluable patients with a positive microscopy. The primary endpoint was adequate clinical and parasitological response adjusted by PCR (ACPR) on day 28.

Results:
A total of 1002 patients were recruited, of whom 0.54% were treated with SPAP and 0.46% with AL. Approximately 81% were followed up to day 28. The mean age was 11 years, 52% were female, the mean hemoglobin level was 11 g/dL, and the mean parasite density was 3178 trophozoites/µL. The ACPR on day 28 of SPAP was 94% compared to 90% for AL. Tolerability was 1% and 4% for AL and SPAP, respectively. Adverse events during follow-up were dominated by a decrease in hemoglobin.
Conclusion:
More than 1000 patients with uncomplicated malaria were treated. This study concluded that SPAP was as well tolerated and as effective as AL.

OL.171

UTILISATION DES NOUVELLES TECHNOLOGIES DE L'INFORMATION ET DE LA COMMUNICATION COMME MOYEN D'ELABORATION D'ICONOGRAPHIE SUR LES MALFORMATIONS CONGENITALES

USE OF NEW INFORMATION AND COMMUNICATION TECHNOLOGIES AS A MEANS OF DEVELOPING ICONOGRAPHY ON CONGENITAL ABNOMALIES

Foli Yvon AGBEKO[1], agbekocames2022@gmail.com ; Nadiedjoa Kokou DOUTI[1]; Koffi Edem DJADOU[2]; Gamedzi Komlatsè AKAKPO NUMADO[3]

[1] service de Pediatrie, CHU Campus,Lomé,Togo

[2] service de Pediatrie, CHR Tsévié, Tsévié, Togo

[3] Ecole Nationale des sage femmes de Lomé ; service de chirurgie pediatrique, CHU Campus,Lomé,Togo

Résumé

Introduction : Les Nouvelles Technologies de l'Information et de la Communication (NTIC) regroupent toutes les technologies modernes basées principalement sur l'informatique, Internet et les télécommunications. Elles représentent des outils puissants de partages sociaux et davantage, professionnels. L'objectif de la présente étude est d'exposer l'utilité des NTIC comme moyen de recueil d'images et vidéos sur les malformations congénitales à des fins didactiques (constitution d'une photothèque/vidéothèque).
Méthodes :
Etude transversale prospective, ce travail a consisté en un recueil d'images et vidéos de malformations congénitales visibles dépistées en salle d'accouchement dans les maternités au Togo, du 1er décembre 2024 au 1er décembre 2025. Les images/vidéos sont enregistrées par la sage – femme responsable / élèves et envoyé via WhatsApp à un investigateur principal au niveau central (pédiatre). Au plan éthique, avant chaque prise d'images photographiques ou de vidéos, un consentement éclairé et une autorisation des parents a été requise pour constituer cette iconographie.
Résultats :
Cent quarante élèves sage-femmes ont participé à l'étude. En douze mois, dix-huit malformations ont été recensées, soit une fréquence de 1,5 nouvelles malformations par mois. Le sexe ratio était des nouveau-nés était de 1,2. Les enfants étaient à J0 (94,4 %). Les anomalies notifiées étaient : anencéphalies (03) dont l'une avec encéphalocèle, spina bifida (02) dont l'un associé à une hydrocéphalie, cyclocéphalie(01), laparoschisis(02), omphalocèle (02), ectopia cordis(02), syndactylie(01), sirénomélie(01), jumeaux siamois(01), aplasie cutanée(01), anomalie du développement sexuel(02) et hirsutisme(01). quatre décès (22,2 %) ont été relevés en per partum ou le jour de la naissance (anencéphalies).
Conclusion :
Les NTIC telles le réseau WhatsApp professionnel ont permis de constituer une iconographie sur 18 malformations congénitales en une année. Elles permettent d'atteindre un large éventail de professionnels de santé sur l'étendue du territoire national et réduit les déplacements onéreux. Elles présentent une utilité manifeste dans le domaine de l'enseignement et de la recherche clinique.
Mots - clés : technologie, informatique, communication, malformations congénitales, Togo

Abstract

Introduction :
New Information and Communication Technologies (NICT) encompass all modern technologies based primarily on computing, the Internet and telecommunications. They are powerful tools for social sharing and, increasingly, professional sharing. The aim of this study is to demonstrate the usefulness of NICT as a means of collecting images and videos of congenital abnomalies for educational purposes (creation of a photo/video library).

Methods :

A prospective cross-sectional study, this work consisted of collecting images and videos of visible congenital malformations detected in delivery rooms in maternity wards in Togo, from 1st December 2024 to 1st December 2025. The images/videos were recorded by the midwife in charge/students and sent via WhatsApp to a principal investigator at the central level (paediatrician). For ethical reasons, before any photographs or videos were taken, informed consent and authorisation from the parents was required in order to compile this iconography.
Results :
One hundred and forty midwifery students participated in the study. Over a twelve-month period, eighteen malformations were recorded, representing a frequency of 1.5 new malformations per month. The sex ratio of newborns was 1.2. The children were at D0 (94.4 %). The anomalies reported were : anencephaly (03), one of which with encephalocele, spina bifida (02), one of which associated with hydrocephalus, cyclocephaly (01), laparoschisis (02), omphalocele (02), ectopia cordis (02), syndactyly (01), sirenomelia (01), conjoined twins (01), skin aplasia (01), sexual development anomaly (02) and hirsutism (01). Four deaths (22.2 %) were recorded during labour or on the day of birth (anencephaly).
Conclusion :
NICT such as the professional WhatsApp network have made it possible to compile an iconography of 18 congenital malformations in one year. They make it possible to reach a wide range of health professionals throughout the country and reduce costly travel. They are clearly useful in the field of teaching and clinical research.
Keywords : technology, information, communication, congenital abnomalies, Togo

OL.172

Validation moléculaire des biomarqueurs protéomiques plasmatiques pour la détection du carcinome hépatocellulaire dans l'hépatite B chronique

Molecular Validation of Plasma Proteomic Biomarkers for Hepatocellular Carcinoma Detection in Chronic Hepatitis B

Tegwinde Rebeca Compaore[1], rebecca23fr@yahoo.fr ; Sanata Nadine Kiemde[2]; Souleymane Ouattara[3]; Sidnooma Veronique Zongo[4]; Lassina Traore[2]; Sandrine Hema/Soudre[2]; W. Florencia Djigma[2]

[1] Centre National de la Recherche Scientifique et Technologique, Institut de Recherche en Sciences de la Santé, Burkina Faso

[2] Université Joseph KI-ZERBO, Burkina Faso

[3] Université Yembila Abdoulaye TOGUYENI, Burkina Faso

[4] Centre de Recherche Biomoleculaire Pietro Annigoni

Résumé

Introduction : Le carcinome hépatocellulaire (CHC) est le sixième cancer le plus fréquent et la troisième cause de mortalité par cancer dans le monde, ce qui représente un lourd fardeau pour la santé mondiale. L'infection chronique par le virus de l'hépatite B (VHB) est un facteur étiologique majeur du CHC ; cependant, des biomarqueurs fiables permettant une détection précoce et une stratification des risques restent limités. Cette étude visait à valider au niveau moléculaire huit (8) protéines précédemment identifiées par protéomique comme étant exprimées de manière différentielle à différents stades du CHC lié au VHB.
Méthode : Une analyse rétrospective a été réalisée sur 23 échantillons FFPE provenant de patients atteints d'un carcinome hépatocellulaire lié au VHB, comprenant des tissus tumoraux et des tissus hépatiques non tumoraux adjacents appariés provenant de l'hôpital Tengandogo, au Burkina Faso. L'expression géniques de huit (8) protéines candidates identifiées par protéomique ont été évaluées. L'extraction d'ARN, la synthèse d'ADNc et la PCR quantitative ont été réalisées à l'aide de méthodes standard. Les données cliniques ont été extraites des dossiers médicaux et les analyses statistiques ont été réalisées à l'aide du logiciel GraphPad Prism 10 ($p < 0,05$).
Conclusion : Cette étude fournit une validation moléculaire du PFN1 en tant que gène différentiellement exprimé dans le carcinome hépatocellulaire lié au VHB, avec une expression significativement plus élevée dans les tissus tumoraux que dans le foie non tumoral adjacent. Bien que les autres protéines candidates n'aient pas montré de différences transcriptionnelles significatives, ces résultats mettent en évidence le PFN1 comme biomarqueur potentiel du CHC dans le contexte d'une infection chronique par le VHB. D'autres études sur des cohortes indépendantes plus importantes sont nécessaires pour confirmer son utilité clinique pour la détection précoce et la stratification des risques.

Abstract

Introduction: Hepatocellular carcinoma (HCC) is the sixth most common malignancy and the third leading cause of cancer-related mortality worldwide, representing a major global health burden. Chronic hepatitis B virus (HBV) infection is a principal etiological factor for HCC; however, reliable biomarkers for early detection and risk stratification remain limited. This study aimed to molecularly validate eight proteins previously identified by proteomic as differentially expressed across stages of HBV-related HCC.
Method: A retrospective analysis was performed on 23 FFPE samples from patients with HBV-related hepatocellular carcinoma, including matched tumor and adjacent non-tumorous liver tissues from Tengandogo Hospital, Burkina Faso. Eight proteomics-identified candidate proteins were evaluated. RNA extraction, cDNA synthesis, and quantitative PCR were conducted using standard methods. Clinical data were retrieved from medical records, and statistical analyses were performed with GraphPad Prism 10 ($p < 0.05$).
Results: The mean age of participants was 58.6 ± 12.1 years (range: 40–83), with a marked male predominance (15 men, 78.9%; 4 women, 21.1%). Among the eight candidate proteins evaluated, only PFN1 demonstrated a statistically significant difference in expression ($p = 0.035$), with higher mRNA

levels observed in HCC tumor tissues compared with matched adjacent non-tumorous liver tissues. No significant differences in mRNA expression were observed for ICAM1, TIMP1, IGFBP7, PF4V1, GPLD1, TUBA1B, or MDH1 between tumor and adjacent tissues.
Conclusion: This study provides molecular validation of PFN1 as a differentially expressed gene in HBV-related hepatocellular carcinoma, with significantly higher expression in tumor tissue compared with adjacent non-tumorous liver. While the remaining candidate proteins did not show significant transcriptional differences, these findings highlight PFN1 as a potential biomarker of HCC in the context of chronic HBV infection. Further studies in larger, independent cohorts are warranted to confirm its clinical utility for early detection and risk stratification.

OL.173

Variantes anatomiques du complexe nez- sinus chez les patients présentant une rhinosinusite chronique à Parakou (Bénin)

Anatomical Variants of the Nose-Sinus Complex in Patients with Chronic Rhinosinusitis in Parakou (Benin)

Fatiou Alabi BOURAIMA, bouraimfat@yahoo.fr

Université de Parakou

Résumé

Introduction : La rhinosinusite chronique (RSC) est une inflammation de la muqueuse des sinus paranasaux évoluant depuis plus de 12 semaines.
Objectif : Etudier les variantes anatomiques du complexe nez sinus chez les patients présentant une rhinosinusite chronique.
Méthode : Il s'agissait d'une étude transversale de tous les patients chez qui le diagnostic de rhinosinusite chronique a été posé dans le service d'ORL du Centre Hospitalier Universitaire Départemental du Borgou de mai 2022 à juin 2025. Ont été inclus les patients ayant un dossier complet avec réalisation d'un scanner des sinus.
Résultats. Nous avons recensé 215 cas de rhinosinusite chronique en 03 années. La prévalence était de 5,15%, avec une prédominance féminine (51,63%) soit un sex-ratio de 0,94. L'âge moyen était de 36,01 ± 15,46 ans. La tranche d'âge la plus représentée était celle de 40 à 50 ans (24,19%). Le principal facteur de risque était l'allergie nasosinusienne (26,32%,). Les symptômes majeurs étaient les céphalées (69,30%), suivie par la rhinorrhée (64,19%). La localisation maxillaire était majoritaire (91,79%). Plus de la moitié des patients (53,20%) avaient une ou plusieurs variantes anatomiques. Les variantes anatomiques les plus représentées était la déviation septale (53,51%) suivi de concha bullosa (24,56%) et de procidence des canaux carotidiens dans le sinus sphénoïdal (20,18%). La déviation septale était plus observée du côté gauche (65,6 %) que du côté droit (34,4 %). En ce qui concerne la concha bullosa, notre étude révèle une prédominance unilatérale à droite, avec un taux de 53,6 %.
Conclusion : La rhinosinusite chronique est une affection fréquente et elle survient le plus souvent chez les femmes. La localisation maxillaire est la plus fréquente. La déviation septale est la variante anatomique la plus fréquente.

Abstract

Background: Chronic rhinosinusitis (CRS) is an inflammation of the mucosa of the paranasal sinuses that lasts for more than 12 weeks.
Objective: To assess the anatomical variations of the nose–sinus complex in patients with chronic rhinosinusitis.
Method: This was a cross-sectional analytical study including all patients diagnosed with chronic rhinosinusitis in the ENT department of the Borgou Departmental University Hospital Center, from May 2022 to June 2025. Only patients with complete medical records and a paranasal sinus CT scan were included.
Results: A total of 215 cases of chronic rhinosinusitis were recorded over a three-year period, representing a prevalence of 5.15%. Females were slightly more affected (51.63%), with a sex ratio of 0.94. The mean age was 36.01 ± 15.46 years, and the most represented age group was between 40 and 50 years (24.19%). The main risk factor identified was nasosinusal allergy (26.32%). The most common symptoms were headaches (69.30%) followed by rhinorrhea (64.19%). The maxillary sinus was the most frequently affected site (91.79%). More than half of the patients (53.20%) presented one or more anatomical variations.The most frequent anatomical variations were septal deviation (53.51%), concha bullosa (24.56%), and protrusion of the carotid canal into the sphenoid sinus (20.18%). Septal deviation was more commonly observed on the left side (65.6%) than on the right (34.4%). Regarding concha bullosa, a right-sided predominance was noted (53.6%).
Conclusion: Chronic rhinosinusitis is a common condition that occurs more frequently in women. The maxillary sinus is the most involved site, and septal deviation is the most frequent anatomical variation.

OL.174

Vécus des proches aidants des patients schizophrènes suivis au Centre National Hospitalier Universitaire de Psychiatrie de Cotonou : une étude qualitative de type phénoménologie herméneutique interprétative

Lived Experiences of Family Caregivers of Schizophrenic Patients Followed at the National University Hospital Center of Psychiatry in Cotonou: An Interpretive Hermeneutic Phenomenological Qualitative Study

André OTTI[1], drandreotti74@gmail.com ; Gbémiro Paul ABIOSSE[1]; Guy-Gérard AZA-GNANDJI[2]; Ida AGBÉTÉ[1]; Daniel KOUTCHONAN[3]; Yémalin Tchéyon Narcisse NONONHOU[4]; Charles SOSSA JEROME[5]

[1] Département des Sciences Infirmières, Institut National Médico-Sanitaire (INMeS), Université d'Abomey-Calavi (UAC), Cotonou, Bénin

[2] Département de Santé Mentale, Faculté des Sciences de la Santé (FSS), Université d'Abomey-Calavi (UAC), Cotonou, Bénin

[3] Centre de santé d'AÏDJÈDO, Direction Départementale de la Santé du Littoral, Ministère de la Santé, Cotonou, Bénin

[4] Centre National Hospitalier Universitaire de Psychiatrie de Cotonou (CNHUPC), Direction Départementale de la Santé du Littoral, Ministère de la Santé, Cotonou, Bénin

[5] Département de Promotion de la Santé, Institut Régional de Santé Publique (IRSP) Comlan Alfred QUENUM, Université d'Abomey-Calavi (UAC), Ouidah, Bénin.

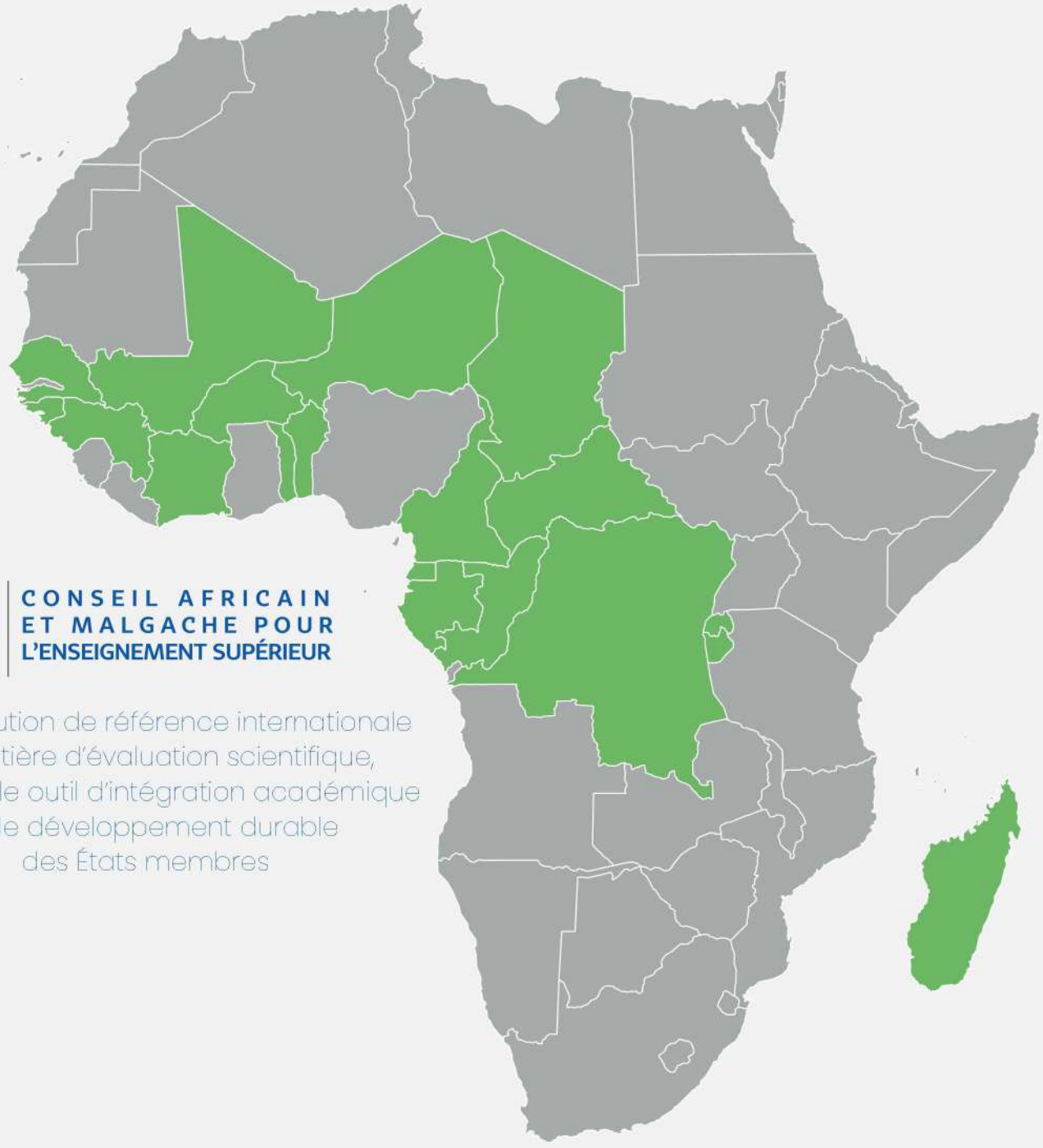
Résumé

Introduction : La désinstitutionalisation de la prise en charge des patients souffrants des pathologies chroniques comme la schizophrénie, a induit un changement de paradigme passant d'un modèle pathologique de la famille à un modèle de compétence, ce qui n'est pas sans conséquences sur la vie des Proches Aidants (PA). But : Comprendre les expériences vécues des PA des patients schizophrènes suivis au Centre National Hospitalier Universitaire de Psychiatrie de Cotonou (CNHUPC) au Bénin. Méthode : Un devis qualitatif de type phénoménologie herméneutique interprétative a été adopté. Le cadre intégrateur de référence utilisé était composé de la phénoménologie herméneutique de Van Manen et Adams et, de l'approche transactionnelle du stress et du coping de Lazarus et Folkman. Les données collectées par entretien semi-structuré auprès des PA sélectionnés par échantillonnage non probabiliste de type accidentel, ont été analysées moyennant la statistique descriptive et selon l'approche méthodologique d'analyse phénoménologique herméneutique préconisée par Van Manen. Résultats : Dix PA étaient inclus dans l'étude dont sept femmes (âge moyen : 38,9 ± 11 ans). Les PA vivaient une expérience émotionnelle intense marquée par la souffrance, la peur, la culpabilité et la résignation. Ils étaient également confrontés à la stigmatisation sociale et à l'isolement qui causaient des blessures invisibles. Sur le plan physique, leur accompagnement des patients schizophrènes engendrait fatigue chronique, troubles du sommeil, douleurs et parfois agressions. Leur vie professionnelle était fréquemment affectée, avec arrêts ou réductions d'activités professionnelles. Pour faire face à ces défis quotidiens, les PA ont adopté des stratégies de coping centrées sur la spiritualité et la foi et, l'acceptation et l'espoir. Discussion et conclusion : Des interventions susceptibles de réduire la charge émotionnelle et psychologique associée à leur rôle et, le renforcement de leur capacité par des formations spécifiques sur la gestion du stress et les stratégies d'autoprotection, sont à promouvoir.

Abstract

Introduction: The deinstitutionalization of care for patients suffering from chronic illnesses such as schizophrenia has led to a paradigm shift from a pathological model of the family to a competency-based model, which has significant consequences for the lives of informal caregivers. Aim: To understand the lived experiences of informal caregivers of schizophrenic patients treated at the National University Hospital Center of Psychiatry in Cotonou (CNHUPC) in Benin. Method: A qualitative, interpretive phenomenological approach was adopted. The integrative framework used consisted of the hermeneutic phenomenology of Van Manen and Adams, and the transactional model of

stress and coping by Lazarus and Folkman. Data collected through semi-structured interviews with participants selected using a non-probability, convenience sampling method were analyzed using descriptive statistics and according to the hermeneutic phenomenological analysis approach advocated by Van Manen. Results: Ten caregivers were included in the study, seven of whom were women (mean age: 38.9 ± 11 years). The caregivers experienced intense emotional distress marked by suffering, fear, guilt, and resignation. They also faced social stigma and isolation, which caused invisible wounds. Physically, caring for schizophrenic patients resulted in chronic fatigue, sleep disturbances, pain, and sometimes aggression. Their professional lives were frequently affected, with interruptions or reductions in work activities. To cope with these daily challenges, the caregivers adopted coping strategies centered on spirituality and faith, as well as acceptance and hope. Discussion and conclusion: Interventions likely to reduce the emotional and psychological burden associated with their role, and strengthening their capacity through specific training on stress management and self-protection strategies, should be promoted.



CONSEIL AFRICAIN ET MALGACHE POUR L'ENSEIGNEMENT SUPÉRIEUR

Une Institution de référence internationale
en matière d'évaluation scientifique,
un véritable outil d'intégration académique
et de développement durable
des États membres

1200 Logements, Ouagadougou, Burkina Faso
01 BP 134 Ouagadougou 01
Tél. : (+226) 25 36 81 46
E-mail : cames@lecames.org
Site web : https://www.lecames.org